

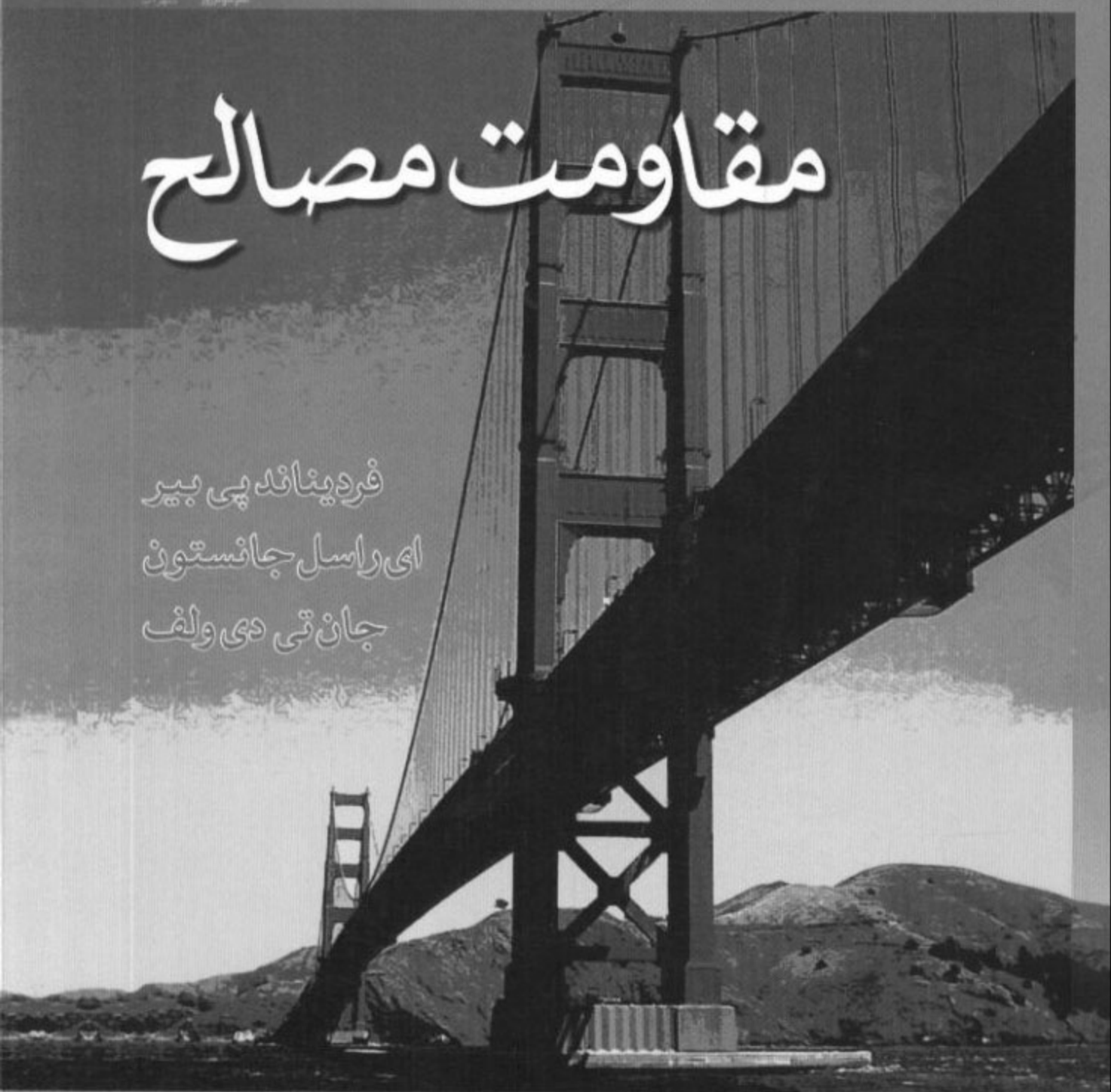
مقاومت مصالح

civilinc.ir

مقاومت مصالح

فردیناند پی بیر
ای راسل چافستون
جان قی دی ولف

بهرام پوستی



فهرست نمادها

P_U	بار نهایی (LRFD)	a	ثابت؛ فاصله
q	نیروی برشی برای طول واحد؛ جریان برشی	A, B, C, \dots	نیروها، واکنشها
Q	نیرو	A, B, C, \dots	نقاط
Q	مان اول سطح	A, a	مساحت
r	شعاع؛ شعاع زیراسیون	b	فاصله؛ عرض
R	نیرو، واکنش	c	ثابت؛ فاصله؛ شعاع
R	شعاع؛ مدول گیختگی	C	مرکز هندسی
s	طول	C_1, C_2, \dots	ثابت‌های انگرال‌گیری
S	مدول مقطع الاستیک	C_p	ضریب پایداری ستون
t	ضخامت؛ فاصله؛ انحراف مماسی	d	فاصله؛ قطر؛ عمق
T	گشتاور	D	قطر
T	دما	e	فاصله؛ خروج از مرکز؛ اتساع
τ	مختصات قائم	E	مدول الاستیته
τ	چگالی انرژی کرنشی	f	فرکانس، تابع
U	انرژی کرنشی؛ کار	F	نیرو
v	سرعت	$F.S.$	ضریب اطمینان
V	نیروی برشی	G	مدول صلابت؛ مدول برش
V	حجم؛ برش	h	فاصله؛ ارتفاع
w	عرض؛ فاصله؛ بار برای طول واحد	H	نیرو
W, w	وزن، بار	H, J, K	نقاط
x, y, z	مختصات قائم؛ فاصله؛ تغییر مکان؛ خیزها	I, I_x, \dots	مان اینرسی
$\bar{x}, \bar{y}, \bar{z}$	مختصات مرکز هندسی	I_{xy}, \dots	حاصلضرب اینرسی
Z	مدول مقطع پلاستیک	J	مان اینرسی قطبی
α, β, γ	زوايا	k	ثابت فنر؛ ضریب شکل؛ مدول کپهای؛ ثابت
α	ضریب انبساط گرمایی؛ ضریب تأثیر	K	ضریب تمرکز تنش؛ ثابت فنر پیچشی
γ	کرنش برشی؛ وزن مخصوص	l	طول؛ دهانه
γ_D	ضریب بار، بار مرده (LRFD)	L	طول؛ دهانه
γ_L	ضریب بار، بار زنده (LRFD)	L_e	طول مؤثر
δ	تغییرشکل؛ تغییر مکان	m	جرم
ϵ	کرنش قائم	M	کوبیل
θ	زاویه، شبیب	M, M_x, \dots	لنگر خمی
λ	کسینوس هادی	M_D	لنگر خمی، بار مرده (LRFD)
ν	نسبت پواسون	M_L	لنگر خمی، بار زنده (LRFD)
ρ	شعاع انحنا، فاصله؛ چگالی	M_U	لنگر خمی، بار نهایی (LRFD)
σ	تنش قائم	n	عدد؛ نسبت مدول‌های الاستیته؛ جهت قائم
τ	تنش برشی	p	شار
ϕ	زاویه، زاویه پیچش؛ ضریب مقاومت	P	نیرو؛ بار مرکز
w	سرعت زاویه‌ای	P_D	بار مرده (LRFD)
		P_L	بار زنده (LRFD)

فهرست مطالب ادب

۱

مقدمه - مفهوم تنش

۱

۲	مقدمه	۱-۱
۲	مرودروش‌های استاتیک	۲-۱
۴	تنش در عضوهای یک سازه	۳-۱
۵	تحلیل و طراحی	۴-۱
۵	بارگذاری محوری؛ تنش قائم	۵-۱
۷	تنش برشی	۶-۱
۹	تنش تکیه‌گاهی در اتصالات	۷-۱
۹	کاربرد تنش در تحلیل و طراحی سازه‌های ساده	۸-۱
۱۱	روش حل مسائل	۹-۱
۱۲	دقت عددی	۱۰-۱
۱۹	تنش وارد بر صفحه مایلی که تحت بارگذاری محوری است	۱۱-۱
۲۰	تنش تحت شرایط کلی بارگذاری؛ مولفه‌های تنش	۱۲-۱
۲۲	نکات طراحی	۱۳-۱
۳۳	مرور و خلاصه فصل ۱	

۲

تنش و کرنش - بارگذاری محوری

۲۱

۴۲	مقدمه	۱-۲
۴۲	کرنش قائم تحت بارگذاری محوری	۲-۲
۴۴	نمودار تنش-کرنش	۳-۲
۴۸	تنش حقیقی و کرنش حقیقی	۴-۲
۴۸	قانون هوک؛ مدل الاستیستیته	۵-۲
۴۹	مقایسه رفتار الاستیک و پلاستیک ماده	۶-۲
۵۱	بارگذاری‌های تکراری؛ خستگی	۷-۲

۵۲	تغییر شکل عضوها تحت بارگذاری محوری	۸-۲
۵۹	مسائل نامعین استاتیکی	۹-۲
۶۲	مسائل مربوط به تغییرات دما	۱۰-۲
۷۲	نسبت پواسون	۱۱-۲
۷۳	بارگذاری چند محوری؛ قانون عمومی هوک	۱۲-۲
۷۴	اتساع؛ مدول کپهای	۱۳-۲
۷۵	کرنش برشی	۱۴-۲
۷۸	توضیح بیشتر درباره تغییر شکل‌ها در بارگذاری محوری؛ رابطه بین E و G	۱۵-۲
۸۰	رابطه‌های تنش-کرنش برای مواد مرکب تقویت شده با تار	۱۶-۲
۸۸	توزیع تنش و کرنش در بارگذاری محوری؛ اصل سنت-وانات	۱۷-۲
۸۹	تمرکز تنش	۱۸-۲
۹۱	تغییر شکل پلاستیک	۱۹-۲
۹۴	تنش‌های باقیمانده	۲۰-۲
۱۰۲	مرور و خلاصه فصل ۲	

۳

پیچش

۱۱۳

۱۱۴	مقدمه	۱-۳
۱۱۵	مقدمه‌ای درباره تنش در شفت	۲-۳
۱۱۶	تغییر شکل در شفت دایره‌ای	۳-۳
۱۱۹	تنش در ناحیه الاستیک	۴-۲
۱۲۸	زاویه پیچش در ناحیه الاستیک	۵-۲
۱۳۰	شفت‌های نامعین استاتیکی	۶-۳
۱۳۹	طراحی شفت‌های انتقال قدرت	۷-۳
۱۴۱	تمرکز تنش در شفت‌های دایره‌ای	۸-۳
۱۴۵	تغییر شکل پلاستیک در شفت‌های دایره‌ای	۹-۲
۱۴۶	شفت‌های دایره‌ای الاستوپلاستیک	۱۰-۲
۱۴۹	تنش‌های باقیمانده در شفت‌های دایره‌ای	۱۱-۲
۱۵۶	پیچش عضوهای غیر دایره‌ای	۱۲-۲
۱۵۸	شفت‌های توتالی جدار نازک	۱۲-۲
۱۶۶	مرور و خلاصه فصل ۳	

۴

خمس خالص

۱۷۵

۱۷۶	مقدمه	۱-۴
۱۷۷	عضو متقارن در خمس خالص	۲-۴
۱۷۸	تغییر شکل عضو متقارن در خمس خالص	۲-۴

۱۸۰	تنش و تغییرشکل در ناحیه الاستیک	۴-۴
۱۸۲	تغییرشکل در مقطع عرضی	۵-۴
۱۹۱	خمش عضوهایی که از مواد مختلف ساخته شده‌اند	۶-۴
۱۹۴	تمرکز تنش	۷-۴
۲۰۱	تغییرشکل پلاستیک	۸-۴
۲۰۲	عضوهای الاستوپلاستیک	۹-۴
۲۰۶	تغییرشکل پلاستیک عضوهایی که فقط یک صفحه تقارن دارند	۱۰-۴
۲۰۶	تنش‌های باقیمانده	۱۱-۴
۲۱۴	بارگذاری محوری خارج از مرکز در صفحه تقارن	۱۲-۴
۲۲۲	خمش نامتقارن	۱۳-۴
۲۲۶	حالت کلی بارگذاری محوری خارج از مرکز	۱۴-۴
۲۲۵	خمش عضوهای خمیده	۱۵-۴
۲۲۴	مرور و خلاصه فصل ۴	

۵

تحلیل و طراحی تیرهای دار خمث

۲۵۳

۲۵۴	مقدمه	۱-۵
۲۵۶	نمودار برش و نمودار لنگر خمثی	۲-۵
۲۶۵	روابط میان بار، برش، و لنگر خمثی	۳-۵
۲۷۲	طراحی تیرهای منشوری تحت خمث	۴-۵
۲۸۰	استفاده از توابع تکینی برای تعیین برش و لنگر خمثی در یک تیر	۵-۵
۲۹۰	تیرهای غیرمنشوری	۶-۵
۲۹۸	مرور و خلاصه فصل ۵	

۶

تنش برشی در تیرهای عضوهای جدارنازک

۳۰۵

۲۰۶	مقدمه	۱-۶
۲۰۷	برش وارد بروجه افقی یک جزء از تیر	۲-۶
۲۰۹	تعیین تنش برشی در تیرها	۳-۶
۲۱۰	تنش برشی در انواع تیرها	۴-۶
۲۱۱	توضیح بیشتر درباره توزیع تنش در یک تیر باریک مستطیلی	۵-۶
۲۱۸	نیروی برشی طولی وارد بر یک جزء تیر با شکل اختیاری	۶-۶
۲۲۰	تنش برشی در عضوهای جدار نازک	۷-۶

۳۴۲.....	مرور و خلاصه فصل ۶	۸-۶
۳۲۰.....	بارگذاری نامتقارن در عضوهای جدار نازک؛ مرکز برش	۹-۶
۳۲۲.....	تغییر شکل پلاستیک	۸-۶

V

تبديلات تنش و کرنش

۴۴۹

۲۵۰.....	مقدمه	۱-۷
۲۵۲.....	تبديل تنش صفحه‌ای	۲-۷
۲۵۳.....	تنش‌های اصلی؛ ماکریزم تنش برشمی	۲-۷
۲۶۱.....	دایره مور برای تنش صفحه‌ای	۴-۷
۲۶۹.....	حالات کلی تنش	۵-۷
۲۷۰.....	کاربرد دایره مور برای تحلیل تنش سه‌بعدی	۶-۷
۲۷۲.....	معیارهای تسلیم برای مواد نرم تحت تنش صفحه‌ای	۷-۷
۲۷۵.....	معیارهای شکست برای مواد شکننده تحت تنش صفحه‌ای	۸-۷
۲۸۲.....	تنش در مخزن‌های جدار نازک پرفشار	۹-۷
۲۸۹.....	تبديل کرنش صفحه‌ای	۱۰-۷
۲۹۲.....	دایره مور برای کرنش صفحه‌ای	۱۱-۷
۲۹۴.....	تحلیل سه‌بعدی کرنش	۱۲-۷
۲۹۷.....	اندازه‌گیری‌های کرنش؛ گلبرگ کرنش	۱۲-۷
۴۰۳.....	مرور و خلاصه فصل ۷	۷

A

تنش‌های اصلی در شرایط معین بارگذاری

۴۱۱

۴۱۲.....	مقدمه	۱-۸
۴۱۲.....	تنش‌های اصلی در تیر	۲-۸
۴۱۵.....	طراحی شفت‌های انتقال قدرت	۳-۸
۴۲۲.....	پتنش در بارگذاری ترکیبی	۴-۸
۴۲۸.....	مرور و خلاصه فصل ۸	۸

B

خیز تیرها

۴۴۳

۴۴۴.....	مقدمه	۱-۹
۴۴۵.....	تغییر شکل تیر تحت بارگذاری عرضی	۲-۹
۴۴۶.....	معادله منحنی الاستیک	۳-۹



۴۵۱	تعیین منحنی الاستیک از توزیع بار
۴۵۲	تیرهای نامعین استاتیکی
۴۶۱	استفاده از توابع تکینی برای تعیین شیب و خیز تیر
۴۷۰	روش ترکیب
۴۷۱	کاربرد اصل ترکیب برای تیرهای نامعین استاتیکی
۴۷۹	قضایای لنگر مساحت
۴۸۱	کاربرد قضایای لنگر مساحت برای تیرهای طردای و تیر با بارگذاری متقارن
۴۸۲	نمودارهای جزء به جزء لنگر خمی
۴۹۰	کاربرد قضایای لنگر مساحت برای تیر با بارگذاری نامتقارن
۴۹۲	خیز ماکریم
۴۹۴	استفاده از قضایای لنگر مساحت برای تیرهای نامعین استاتیکی
۵۰۳	مرور و خلاصه فصل ۹

۱۰

ستون‌ها

۵۱۵

۵۱۶	۱-۱۰ مقدمه
۵۱۶	۲-۱۰ پایداری سازدها
۵۱۸	۳-۱۰ فرمول اویلر برای ستون‌های دو سر مفصلی
۵۲۰	۴-۱۰ تعیین فرمول اویلر برای ستون‌ها با سایر شرایط انتها
۵۲۹	۵-۱۰ بارگذاری خارج از مرکز؛ فرمول سکانت
۵۳۷	۶-۱۰ طراحی ستون‌های تحت بار مرکزی
۵۴۹	۷-۱۰ طراحی ستون‌های تحت بار خارج از مرکز
۵۵۷	مرور و خلاصه فصل ۱۰

۱۱

روش‌های انرژی

۵۶۵

۵۶۶	۱-۱۱ مقدمه
۵۶۶	۲-۱۱ انرژی کرنشی
۵۶۷	۳-۱۱ چگالی انرژی کرنشی
۵۶۹	۴-۱۱ انرژی کرنشی الاستیک برای تنش‌های قائم
۵۷۱	۵-۱۱ انرژی کرنشی الاستیک برای تنش برشی
۵۷۳	۶-۱۱ انرژی کرنشی برای حالت کلی تنش
۵۸۲	۷-۱۱ بارگذاری ضربه‌ای
۵۸۴	۸-۱۱ طراحی در بارهای ضربه‌ای
۵۸۵	۹-۱۱ گار و انرژی در پیگ بار تنها

۵۸۷	۱۰-۱۱ خیز تحت یک بار تنها با روش کار-انرژی
۵۹۵	۱۱-۱۱ کار و انرژی تحت چند بار
۵۹۷	۱۲-۱۱ قضیه کاستیلیانو
۵۹۸	۱۲-۱۱ تعیین خیز با استفاده از قضیه کاستیلیانو
۶۰۱	۱۴-۱۱ سازه‌های نامعین استاتیکی
۶۱۱	مرور و خلاصه فصل ۱۱

پیوست‌ها

۶۱۹

۶۲۱	الف ممان سطوح
۶۲۹	ب خواص نوعی مواد صنعتی
۶۳۱	ج خواص مقاطع فولادی نورد شده
۶۳۷	د خیز و شبیب تیرها

مقاومت مصالح

مقدمه مفهوم تنش



در این فصل، تنش‌های موجود در اغلب اجزای دستگاه حفاری بالا (مانند عضوهای دوپنجه‌یی، اکسل‌ها، پیچ و مهره‌ها و پین‌ها) بررسی می‌شوند.

RuEB

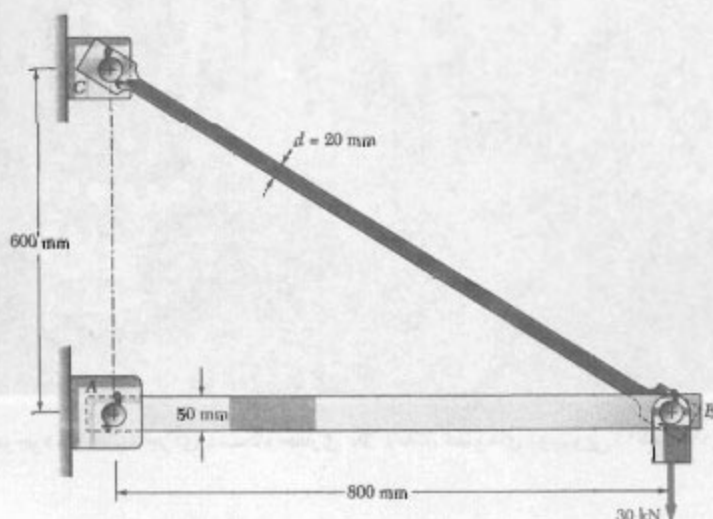
۱-۱ مقدمه

هدف اصلی از مطالعه مقاومت مصالح این است که مهندسان به ابزار تحلیل و طراحی انواع ماشین‌آلات و سازه‌هایی که تحت بار قرار دارند دست یابند.

در تحلیل و طراحی هر سازه‌ای، باتنش و تغیر شکل سر و کار داریم. لذا، در فصل اول، مفهوم تنش را مطالعه می‌کنیم.

در قسمت ۲-۱، روش‌های بنیادی در استاتیک را مرور، و از آنها برای تعیین نیروها در عضوهای مفصلی استفاده می‌کنیم. در قسمت ۳-۱، مفهوم تنش در عضو یک سازه و نحوه تعیین تنش را از نیروی موجود در آن عضو بررسی می‌کنیم. پس از بحث مختصری درباره تحلیل و طراحی مهندسی در قسمت ۴-۱، تنش‌های قائم در یک عضو را که تحت بارگذاری محوری است در قسمت ۵-۱، و تنش‌های برشی ناشی از اعمال نیروهای عرضی مساوی و مخالف را در قسمت ۶-۱، و تنش‌های تکیه‌گاهی ناشی از پسیج و مهره‌ها و مفصل‌ها را در قسمت ۷-۱ مطالعه می‌کنیم. این مفاهیم را برای تعیین تنش در عضوهای سازه‌ای قسمت ۲-۱ به کار می‌بریم.

قسمت اول این فصل را با توصیف روش حل یک مسئله (قسمت ۱-۴) و با بحثی درباره دقت عددی که در محاسبات مهندسی به کار می‌رود (قسمت ۱۰-۱) به پایان می‌بریم.



شکل ۱-۱

در قسمت ۱۱-۱، که در آن مجدداً یک عضو دو تیر و بی‌پی تحت بارگذاری محوری مورد بررسی قرار می‌گیرد، می‌بینیم که تنش‌های وارد بر یک صفحه مابین شامل تنش‌های قائم و برشی است، و در قسمت ۱۲-۱ خواهیم دید که برای توصیف حالت تنش در یک نقطه از جسمی که تحت کالی ترین شرایط بارگذاری است نیاز به مش مولقه است.

سرانجام، در قسمت ۱۳-۱، استقامت نهایی یک عضو را از نمونه آزمایشی تعیین می‌کنیم و از آن برای محاسبه باز مجاز یک عضو ساختمانی استفاده می‌کنیم.

۱-۲ مرور روش‌های استاتیک

در این قسمت، روش‌های بنیادی استاتیک را برای تعیین نیروها در عضوهای یک سازه ساده مرور می‌کنیم. سازه نشان داده شده در شکل ۱-۱ را، که برای تحمل بار ۳۰ kN است، در نظر بگیرید. این سازه از بازوی AB با مقطع عرضی مستطیلی 50×600 mm و از میله BC با مقطع عرضی دایره‌ای به قطر ۲۰ mm تشکیل شده است. این بازو و میله توسط مفصل B بهم متصل شده‌اند و توسط مفصل‌ها و بسته‌ها، به ترتیب، در A و C نگه داشته شده‌اند. در گام اول، سازه را از تکیه‌گاههای A و C جدا می‌کنیم. سپس، با ترسیم نمودار آزاد آن، واکنش‌هایی را که این تکیه‌گاهها بر سازه وارد می‌کنند نشان می‌دهیم (شکل ۲-۱). توجه کنید که با

با جایگذاری A از $(4-1)$ در $(3-1)$ ، داریم $C_y = +30 \text{ kN}$. با بیان بردازی واکنش‌ها در A و C ، نتیجه می‌شود:

$$A = +40 \text{ kN} \rightarrow C_x = +40 \text{ kN} \leftarrow, C_y = 30 \text{ kN} \uparrow$$

توجه کنید که واکنش در A در امتداد محور بازوی AB است و در آن عضو ایجاد فشار می‌کند. چون مولفه‌های C_x و C_y به ترتیب، با مولفه‌های لقی و عمودی فاصله B تا C متناسب‌اند، نتیجه می‌شود واکنش در C برابر با 30 kN است. این واکنش در امتداد میله BC قرار دارد و در آن ایجاد کشش می‌کند.

نتایج بالا را با توجه به این مطلب نیز می‌توان به دست آورد که AB و BC عضوهای دوپیویی هستند؛ یعنی، عضوهایی که فقط از دو نقطه تحت تأثیر نیرو و قرار می‌گیرند (A و B برای عضو AB و C برای عضو BC). در حقیقت، برای یک عضو دوپیویی، خطوط اثر برایندهای نیروهای وارد بر هر یک از این دو نقطه در خلاف جهت هم هستند و از این دو نقطه می‌گذرند. با استفاده از این خاصیت، و با در نظر گرفتن نمودار آزاد مفصل B ، می‌توان حل ساده‌تری را به دست آورد. نیروهای وارد بر مفصل B عبارتند از نیروهای F_{AB} ، F_{BC} و بار 30 kN (شکل ۴-۱الف). با ترسیم مثلث نیروها می‌توان گفت مفصل در تعادل است (شکل ۴-۱ب).

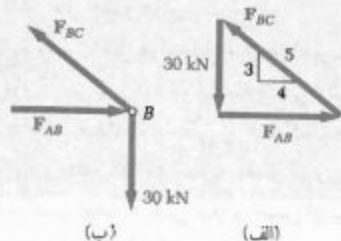
چون نیروی F_{BC} در امتداد عضو BC است، شبیه آن با شبیه BC برابر است. بنابراین،

$$\frac{F_{AB}}{4} = \frac{F_{BC}}{5} = \frac{30 \text{ kN}}{3}$$

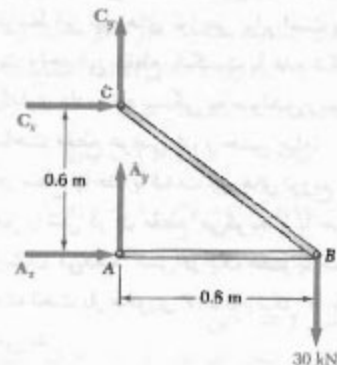
در نتیجه،

$$F_{AB} = 40 \text{ kN} \quad F_{BC} = 50 \text{ kN}$$

نیروهای F'_{AB} و F'_{BC} که از مفصل B ، به ترتیب، بر بازوی AB میله BC وارد می‌شوند مساوی و متضاد با F_{AB} و F_{BC} هستند (شکل ۴-۱).



شکل ۴-۱



شکل ۲-۱

حذف جزئیات غیر ضرور می‌توان ترسیم نمودار آزاد را ساده کرد. گفتنی است که AB و BC عضوهای دوپیویی هستند. ولی بدون توجه به این مطلب و با در نظر گرفتن جهت‌های فرضی برای واکنش‌های مجهول A و C ، تحلیل را پیش می‌بریم. لذا، C_x و C_y در C نشان می‌دهیم و معادله‌های تعادل زیر را می‌نویسیم:

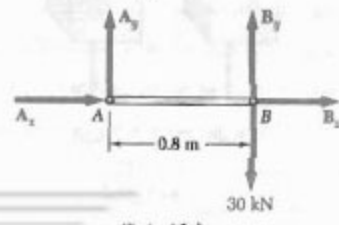
$$+\sum M_C = 0 : A_x(0.8 \text{ m}) - (30 \text{ kN})(+1.8 \text{ m}) = 0 \\ A_x = +40 \text{ kN} \quad (2-1)$$

$$\rightarrow \sum F_x = 0 : A_x + C_x = 0 \\ C_x = -A_x \quad C_x = -40 \text{ kN} \quad (2-1)$$

$$+\uparrow \sum F_y = 0 : A_y + C_y - 30 \text{ kN} = 0 \\ A_y + C_y = +30 \text{ kN} \quad (3-1)$$

دو ناز چهار مجهول را پیدا کرده‌ایم، ولی نمی‌توانیم دو مجهول دیگر را از این معادله‌ها بیابیم. از نمودار آزاد سازه نیز نمی‌توانیم معادله مستقل خاصی به دست آوریم. لذا، سازه را جزء جزء می‌کنیم. با در نظر گرفتن نمودار آزاد بازوی AB (شکل ۳-۱)، معادله تعادل زیر را می‌نویسیم:

$$+\sum M_B = 0 : -A_y(0.8 \text{ m}) = 0 \\ A_y = 0 \quad (4-1)$$



شکل ۳-۱

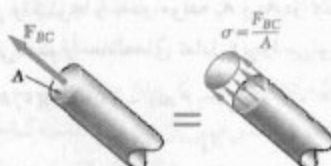


در تمام مساحت مقطع عرضی توزیع شده‌اند (شکل ۱-۷) و شدت متوسط این نیروهای توزیعی برابر است با نیروی وارد BC بر مساحت واحد این مقطع. شکست یا عدم شکست میله BC تحت بارگذاری داده شده بستگی به عوامل زیر دارد: نیروی F_{BC} ، مساحت مقطع عرضی A ، و جنس میله.

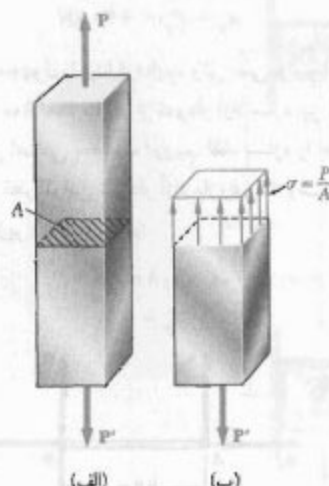
نیرو در سطح واحد، یا شدت نیروهای توزیع شده روزی یک مقطع معین را تش در آن مقطع می‌گویند و با حرف یونانی σ (سیگما) نشان می‌دهند. تنش در یک عضو با مساحت مقطع عرضی A که تحت بار محوری P است (شکل ۱-۸) از رابطه زیر بدست می‌آید:

$$\sigma = \frac{P}{A} \quad (5-1)$$

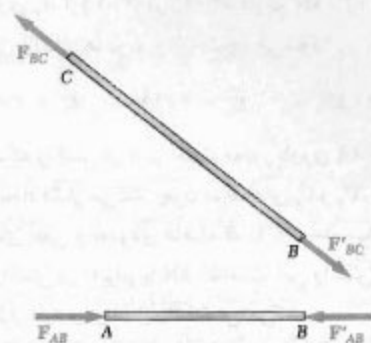
از علامت مثبت برای تنش کششی و از علامت منفی برای تنش فشاری استفاده می‌شود.



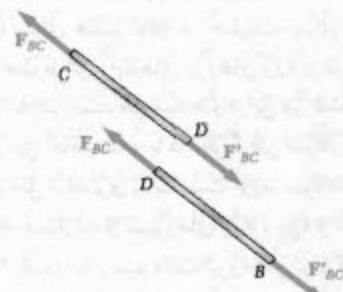
شکل ۱-۷



شکل ۱-۸



شکل ۱-۹



شکل ۱-۱۰

با معلوم بودن نیروها در دو سر عضوها، می‌توان نیروهای داخلی را در آنها بدست آورد. اگر میله BC را در نقطه اختیاری D مقطع بزنیم، دو قسمت CD و BD خواهیم داشت (شکل ۱-۶). برای تعادل این دو قسمت، نیروهای kN را باید در D بر هر دو وارد کرد. لذا، با اعمال بار 30 kN در نقطه B ، نیروی داخلی 50 kN در میله BC بوجود می‌آید. با توجه به جهت نیروهای F_{BC} و F'_BC در شکل ۱-۶، می‌توان گفت میله در کشش است. با روش مشابه می‌توان گفت نیروی داخلی در بازوی AB برابر با 40 kN است و بازو تحت فشار می‌باشد.

۱-۳ تنش در عضوهای یک سازه

گرچه نتایج قسمت قبل در تحلیل سازه‌ها اهمیت دارند، ولی با آنها نمی‌توان پیش‌بینی کرد که آیا سازه می‌تواند بار وارد را تحمل کند یا نه. مثلاً، گیختگی یا عدم گیختگی میله BC تحت بارگذاری داده شده نه تنها به مقدار نیروی داخلی F_{BC} ، بلکه به مساحت مقطع عرضی میله و جنس آن نیز بستگی دارد. در حقیقت، نیروی داخلی F_{BC} برایند نیروهای جزئی است که

$$\text{معادله (۵-۱)}: \sigma_{\text{all}} = \frac{P}{A} \quad A = \frac{P}{\sigma_{\text{all}}} = \frac{\Delta \times 10^7 \text{ N}}{100 \times 10^9 \text{ Pa}} = 500 \times 10^{-9} \text{ m}^2$$

اما $A = \pi r^2$. درنتیجه،

$$r = \sqrt{\frac{A}{\pi}} = \sqrt{\frac{500 \times 10^{-9} \text{ m}^2}{\pi}} = 12,62 \times 10^{-3} \text{ m} = 12,62 \text{ mm}$$

$$d = 2r = 25,2 \text{ mm}$$

یعنی، میله آلومینیمی به قطر ۲۶ mm یا بیشتر مناسب خواهد بود.

۱-۵ بارگذاری محوری؛ تشن قائم
میله BC، که در قسمت قبل به آن اشاره شد، یک عضو دونیرویی است. لذا، نیروهای F_{BC} و F_{BC}' که در دو سر C آن وارد می‌شوند (شکل ۱-۵) در امتداد محور میله قرار دارند. کفته می‌شود میله تحت بارگذاری محوری است. مثلاً، عضوهای خرپای پل نشان داده شده در شکل ۱-۹ تحت بارگذاری محوری قرار دارند.

میله BC در شکل ۱-۵ را دوباره در نظر می‌گیریم. قبل، برای تعیین نیروی داخلی در میله و تشن متناظر، میله را در امتداد عمود بر محور مقطع زدیم؛ از این رو، نیروی داخلی بر صفحه این مقطع عمود ہو (شکل ۱-۷) و تشن متناظر را تشن قائم می‌گویند. تشن قائم در عضوی که تحت بارگذاری محوری است از فرمول ۱-۵ به دست می‌آید:

$$\sigma = \frac{P}{A} \quad (۱-۵)$$



شکل ۱-۹ خرپای این پل از عضوهای دونیرویی کشی یا فشاری تشکیل شده است.

با P بر حسب نیوتون (N) و A بر حسب متر مربع (m^2)، تنش σ بر حسب N/m^2 است. این واحد را پاسکال (Pa) می‌گویند. ولی، پاسکال کمیت بسیار کوچکی است و در عمل از مقربهای آن، مانند کیلوپاسکال (kPa)، مگاپاسکال (MPa) و گیگاپاسکال (GPa) استفاده می‌شود:

$$1 \text{ kPa} = 10^3 \text{ Pa} = 10^3 \text{ N/m}^2$$

$$1 \text{ MPa} = 10^6 \text{ Pa} = 10^6 \text{ N/m}^2$$

$$1 \text{ GPa} = 10^9 \text{ Pa} = 10^9 \text{ N/m}^2$$

۱-۴ تحلیل و طراحی

سازه شکل ۱-۱ را مجدداً در نظر بگیرید و فرض کنید میله BC به قطر ۲۰ mm، از فولاد (با ماکریزم تنش مجاز $\sigma_{\text{all}} = 165 \text{ MPa}$) ساخته شده است. آیا میله BC می‌تواند بار وارده را تحمل کند؟ قبلاً، مقدار نیرویی در میله F_{BC} در میله BC پیداست آمد. با استفاده از معادله ۱-۵، تنش ناشی از این بارگذاری را می‌یابیم:

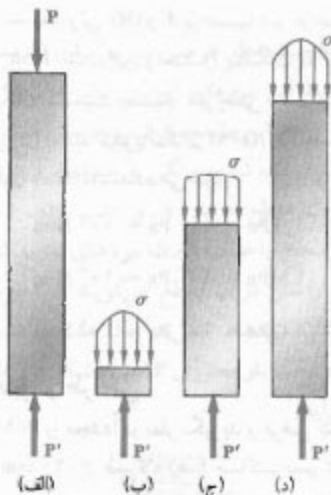
$$P = F_{BC} = +\Delta \text{ kN} = +50 \times 10^3 \text{ N}$$

$$A = \pi r^2 = \pi \left(\frac{20 \text{ mm}}{2} \right)^2 = \pi (10 \times 10^{-3} \text{ m})^2 = 314 \times 10^{-6} \text{ m}^2$$

$$\sigma = \frac{P}{A} = \frac{+50 \times 10^3 \text{ N}}{314 \times 10^{-6} \text{ m}^2} = +159 \times 10^6 \text{ Pa} = +159 \text{ MPa}$$

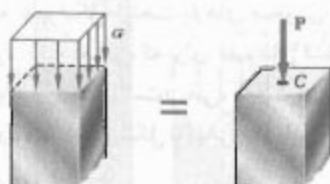
چون σ حاصله کوچکتر از مقدار تنش مجاز خواهد است، نتیجه می‌شود که میله BC با اطمینان می‌تواند بار وارده را تحمل کند. برای تکمیل تحلیل، باید تشن فشاری در بازوی AB را تعیین، و تشن‌های ایجاد شده در مفصل‌ها و یاتاقانها را بیابیم. این کار را بعداً در این فصل انجام می‌دهیم. همچنین باید تعیین کنیم که آیا تغییر شکل‌های ایجاد شده بر اثر بارگذاری وارده قابل قبول‌اند یا نه. مطالعه تغییر شکل‌ها تحت بارهای محوری در فصل ۲ انجام می‌شود. نکته اضافی، که برای عضوهای فشاری باید در نظر گرفت، پایداری عضو است؛ یعنی، قابلیت آن برای تحمل بار وارده بدون اینکه تغییر شکل ناگهانی دهد. این موضوع را در فصل ۱۰ بررسی می‌کنیم.

نقش مهندس فقط تحلیل تنش در سازه‌ها و ماشین‌آلات موجود نیست، بلکه باید سازه‌ها و ماشین‌آلات جدید را برای انجام عملیات خاصی نیز طراحی نماید. برای مثال، مجدداً به سازه شکل ۱-۱ بر می‌گردیم، و فرض می‌کنیم می‌خواهیم از آلومینیم با تشن مجاز $\sigma_{\text{all}} = 100 \text{ MPa}$ استفاده کنیم. نیرو در میله BC عبارت است از $P = F_{BC} = 50 \text{ kN}$.



شکل ۱۱-۱

لذا، حجم زیر هر یک از سطوح تنش در شکل ۱۱-۱ با مقدار P برابر است. البته، این تنها اطلاعاتی است که از استاتیک می‌توان درباره توزیع تنش‌های قائم در مقاطع مختلف میله به دست آورد. توزیع واقعی تنش‌ها در یک مقطع معین، از مسائل نامعین استاتیکی است. برای اطلاعات پیشتر درباره این توزیع، باید تغییرشکل‌های ناشی از حالت‌های خاص اعمال بارها در دو سر میله را در نظر بگیریم. این را در فصل ۲ بررسی می‌کنیم. در عمل، فرض می‌کنیم که توزیع تنش‌های قائم در عضوی که به طور محوری بارگذاری شده است پکتواخت می‌باشد، به جز در مجاورت نقاط اثر بارها که پکتواخت نیست. در این حالت، مقدار σ تنش با σ_{ave} برابر است و آن را از فرمول (۵-۱) می‌توان به دست آورد. با فرض توزیع پکتواخت تنش در مقطع عرضی، از استاتیک^{*} نتیجه می‌گیریم برابر P نیروهای داخلی



شکل ۱۲-۱

* نگاه کنید به:

Ferdinand P. Beer and E. Russell Johnston, Jr., Mechanics for Engineers, 4th ed., McGraw-Hill, New York, 1987, or Vector Mechanics for Engineers, 6th ed., McGraw-Hill, New York, 1996, secs. 5.2 and 5.3.



شکل ۱۰-۱

گفتشی است که σ در فرمول (۵-۱)، مقدار متوسط تنش را روی مقطع عرضی نشان می‌دهد، نه تشن در یک نقطه خاص از مقطع عرضی را.

برای تعریف تنش در نقطه معین Q از مقطع عرضی، باید مساحت کوچک ΔA را در نظر بگیریم (شکل ۱۰-۱). از تقسیم مقدار ΔF بر ΔA ، مقدار متوسط تنش را روی ΔA می‌یابیم. با میل دادن ΔA به سمت صفر، تنش در نقطه Q بدست می‌آید:

$$\sigma = \lim_{\Delta A \rightarrow 0} \frac{\Delta F}{\Delta A} \quad (6-1)$$

به طور کلی، مقدار تنش σ در نقطه معین Q از مقطع عرضی با مقدار تنش متوسطی که فرمول (۵-۱) می‌دهد متفاوت است، و در هر مقطع تغییر می‌کند. در میله باریکی که تحت بارهای متتمرکز مساوی و متضاد P و P' قرار دارد (شکل ۱۱-۱ الف)، این تغییر در مقاطع دور از نقاط اثر بارهای متتمرکز کوچک است (شکل ۱۱-۱ج)، اما در مجاورت این نقاط قابل توجه می‌باشد (شکل ۱۱-۱ب، ود).

از معادله (۶-۱) نتیجه می‌شود که مقدار برابر نیروهای داخلی توزیعی چنین است:

$$\int dF = \int_A \sigma dA$$

اما تعادل هر یک لایه ای میله شکل ۱۱-۱ نشان می‌دهد که این مقدار برابر است با مقدار بارهای متتمرکز. یعنی،

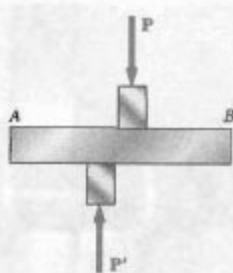
$$P = \int dF = \int_A \sigma dA \quad (6-1)$$

لنگر $M = Pd^2$. در این حالت، توزیع نیروها و توزیع تنش های متناظر سختی تو اندیکواخت یا متقارن باشند (شکل ۱۱-۱). این مطلب را در فصل ۴ به تفصیل برسی می کنیم.

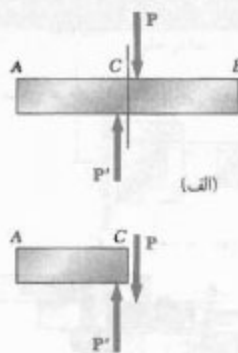
۱-۶ تنش برشی

در قسمت های ۲-۱ و ۳-۱، نیروهای داخلی و تنش های متناظر بر مقطع تحت برسی عمود بودند. با اعمال نیروهای عرضی P و P' بر عضو AB (شکل ۱۵-۱)، تنش کاملاً متقارن به وجود می آید. با عبور یک مقطع در C بین نقاط اثر دو نیرو (شکل ۱۶-۱الف)، نمودار قسمت AC به دست می آید (شکل ۱۶-۱ب). از تعادل این قسمت نتیجه می شود که در صفحه مقطع عرضی نیروهای داخلی وجود دارد، و برآیند آنها است. این نیروهای جزئی داخلی را نیروهای برشی، و برآیند آنها را برش در آن مقطع می گویند. از تقسیم برش P بر مساحت A مقطع عرضی، تنش برشی متوسط بدست می آید:

$$\tau_{avg} = \frac{P}{A} \quad (۱۶-۱)$$



شکل ۱۵-۱

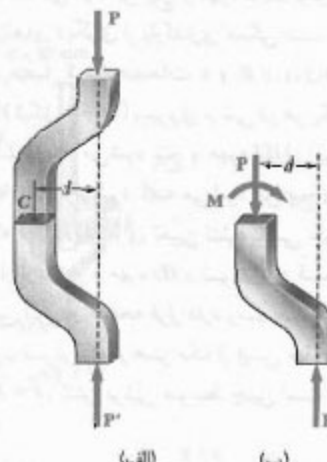


شکل ۱۶-۱

در مرکزوار مقطع عرضی (نقطه C در شکل ۱۶-۱) وارد می شود. یعنی، توزیع بکواخت تنش فقط وقی امکان پذیر است که خط اثر بارهای مرکز P و P' از مرکزوار مقطع عرضی تحت برسی بگذرد (شکل ۱۳-۱). این نوع بارگذاری را بارگذاری مرکزی می گویند و فرض می شود که در تمام عضوهای دونیرویی مستقیم، که در خربها و سازه های مفصل وجود دارند (مانند عضو شکل ۱-۱)، روی می دهد. اگر یک عضو دونیرویی به طور محوری بارگذاری شود و بار دارای خروج از مرکز باشد (شکل ۱۴-۱ ب) نشان داده شده است نتیجه می شود که نیروهای داخلی وجود دارد، و برآیند آنها است با نیرویی P وارد در مرکزوار آن مقطع معین معادل است با نیرویی P' وارد در مرکزوار آن مقطع و کوبل M با

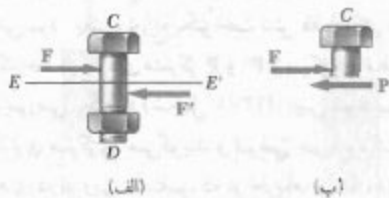


شکل ۱۳-۱

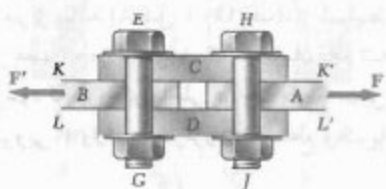


شکل ۱۴-۱

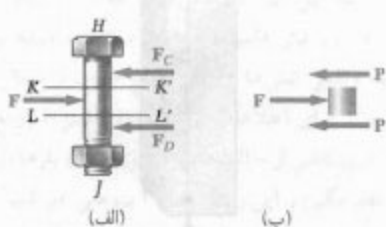
* به آن گشطاو نیز می گویند - مترجم.



شکل ۱۹-۱



شکل ۲۰-۱



شکل ۲۱-۱

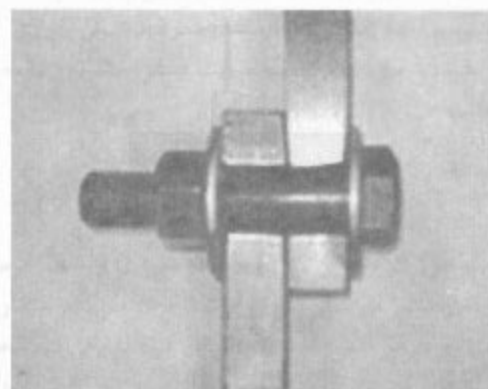
گفته می شود این پیچ و مهره تحت برش تنها قرار دارد، البته،
حالات های دیگری از بارگذاری ممکن است روی دهد. مثلاً اگر
برای متصل کردن صفحات A و B از ورق های C و D استفاده
شود (شکل ۲۰-۱)، نیروی برشی در هر یک از دو صفحه KK' و
LL' باعث می شود پیچ و مهره HJ (و نیز پیچ و مهره EG)
تحت برش قرار گیرد. گفته می شود این پیچ و مهره ها تحت برش
دوگانه قرار دارند. برای تعیین تنش برشی متوسط در هر صفحه،
نمودار آزاد پیچ و مهره HJ و نمودار آزاد قسمتی از پیچ و مهره را
که بین این دو صفحه قرار دارد رسم می کنیم (شکل ۲۱-۱).
چون برش P در هر یک از این مقاطع عبارت است از
 $P = F/2$ ، تنش برشی متوسط چنین است:

$$\tau_{ave} = \frac{P}{A} = \frac{F/2}{A} = \frac{F}{2A} \quad (10-1)$$

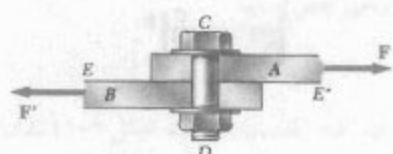
برخلاف آنچه که قبل برای تنش های قائم گفتیم، توزیع
تش های برشی در عرض مقطع رائیی تو ان یکنواخت
فرض کرد. همانطور که در فصل ۶ خواهید دید، مقدار
واقعی تنش برشی از صفر در سطح عضو تا مقدار ماقریزم
 τ_{max} ، که می تواند بزرگتر از مقدار متوسط τ_{ave} باشد،
تغییر می کند.

تش های برشی معمولاً در پیچ و مهره ها، مفصل ها و پره ها
روی می دهد (شکل ۱۷-۱)، دو صفحه A و B را که با پیچ و
مهره CD بهم متصل شده اند در نظر بگیرید (شکل ۱۸-۱). اگر
این صفحات تحت نیروهای کششی F قرار گیرند، تنش هایی در
صفحة EE' به وجود می آید. با ترسیم نمودارهای پیچ و مهره و
می شود که برش P در این مقطع با F برابر است. تنش برشی
متوسط در این مقطع چنین است:

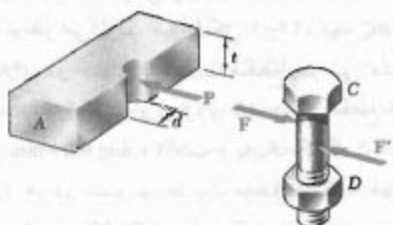
$$\tau_{ave} = \frac{P}{A} = \frac{F}{A} \quad (4-1)$$



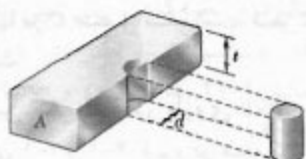
شکل ۱۷-۱ نمای عرضی اتصال پیچی تحت برش



شکل ۱۸-۱

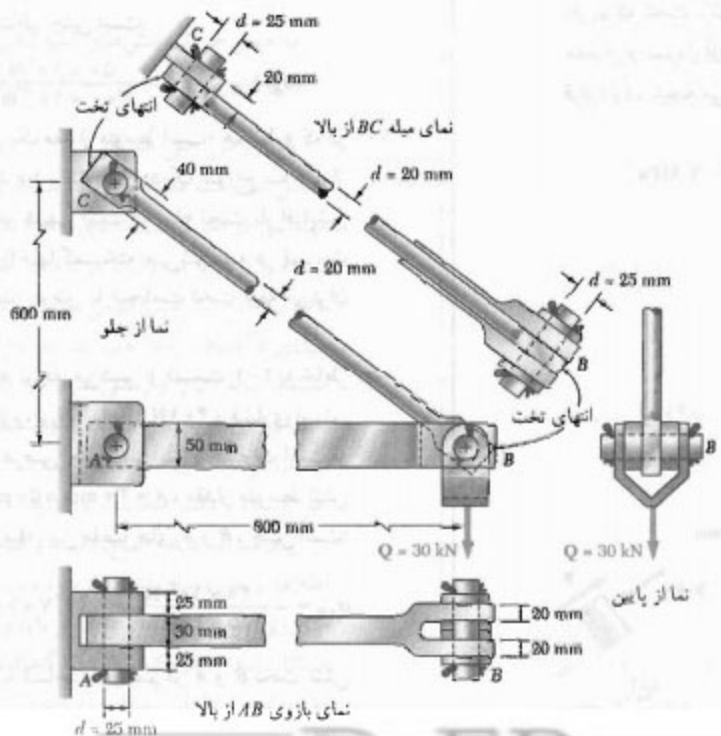


شکل ۲۲-۱



شکل ۲۲-۲

۱-۸ کاربرد تنش در تحلیل و طراحی سازه‌های ساده
حال، می‌خواهیم تنش در عضوها و اتصالات سازه‌های ساده
دو بعدی مختلف را تعیین، و این سازه‌ها را طراحی کنیم.



شکل ۲۴-۱

۷-۱ تنش تکیه‌گاهی در اتصالات

پیچ و مهره، مفصل‌ها و پرچ‌ها، تنش‌هایی را در امتداد سطح تماس عضوهای متصله به وجود می‌آورند. مثلاً، دو صفحه A و B را که توسط پیچ و مهره CD به هم متصل‌اند (شکل ۱۸-۱) در نظر بگیرید. پیچ و مهره، نیروی P را بر صفحه A وارد می‌کنند که برابر و متناسب با نیروی F وارد از صفحه بر پیچ و مهره است (شکل ۱-۲۲)؛ نیروی P برایند نیروهای جزئی توزیع شده روی سطح داخلی نیم استوانه‌ای به قطر d و به طول t است (ضخامت صفحه است). چون توزیع این نیروها و توزیع تنش‌های متاظر-کاملاً پیچیده است، در عمل از مقدار متسط نامی تنش، σ_h ، که آن را تنش تکیه‌گاهی می‌گویند استفاده می‌شود. این تنش، از تقسیم بار P بر مساحت منطبق تصویر پیچ و مهره روی مقطع صفحه بدست می‌آید (شکل ۱-۲۳). این مساحت برابر است با $\pi d t$. که در آن ضخامت صفحه و d قطر پیچ و مهره است. در نتیجه،

$$\sigma_h = \frac{P}{A} = \frac{P}{\pi d t} \quad (11-1)$$

ب- تعیین تنش برشی در اتصالات مختلف. برای تعیین تنش برشی در اتصالاتی مانند بیچ و مهره، مفصل یا پرج، ابتدا نیروهای واردہ از عضوهای مختلفی را که توسط این اتصالات در هم متصل شده‌اند نشان می‌دهیم. مثلاً، برای مفصل C در شکل ۲۵-۱ (الف)، شکل ۲۵-۲ (ب) و رسم می‌کنیم، در این شکل، نیروی $P = 50\text{ kN}$ واردہ از عضو BC بر مفصل C و نیروی مساوی و متفاوت پیش از را که از براکت وارد می‌شود نشان می‌دهیم. با ترسیم قسمتی از مفصل واقع در زیر صفحه DD' که تنش‌های برشی در آنجا به وجود می‌آیند (شکل ۲۵-۱ (ج)), نتیجه می‌شود برش در آن صفحه عبارت است از $\tau = \frac{P}{A} = \frac{50 \times 10^3}{491 \times 10^{-7}} = 50 \text{ MPa}$. مساحت مقطع عرضی مفصل

برابر است با:

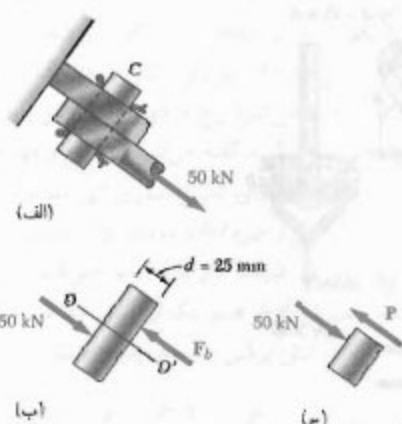
$$A = \pi r^2 = \pi \left(\frac{25 \text{ mm}}{2} \right)^2 = \pi (12.5 \times 10^{-3} \text{ m})^2 = 491 \times 10^{-7} \text{ m}^2$$

لذا، مقدار متوسط تنش برشی در مفصل C چنین است:

$$\tau_{\text{ave}} = \frac{P}{A} = \frac{50 \times 10^3 \text{ N}}{491 \times 10^{-7} \text{ m}^2} = 102 \text{ MPa}$$

حال، مفصل A را در نظر می‌گیریم (شکل ۲۶-۱) و توجه داریم که تحت برش دوگانه است. با ترسیم نمودار آزاد این مفصل و نمودار آزاد قسمتی از آن که بین صفحات DD' و EE' قرار دارد، نتیجه می‌شود که $P = 20 \text{ kN}$. یعنی،

$$\tau_{\text{ave}} = \frac{P}{A} = \frac{20 \text{ kN}}{491 \times 10^{-7} \text{ m}^2} = 40.7 \text{ MPa}$$



شکل ۲۵

به سازه شکل ۱-۱ برمی‌گردیم و تکیه‌گاهها و اتصالات A و B را در نظر می‌گیریم. طبق شکل ۲۴-۱، میله BC به قطر 20 mm دارای دو انتهای تخت با مقطع عرضی مستطیلی $20 \text{ mm} \times 40 \text{ mm}$ است، و پیازوی AB دارای مقطع عرضی مستطیلی $30 \text{ mm} \times 50 \text{ mm}$ است و با پک رکابک در انتهای B اتصال دارد. هر دو عضو توسط یک مفصل در B به هم متصل شده‌اند. در B، بار $P = 50 \text{ kN}$ توسط براکت U شکل وارد شده است. پیازوی AB پیشی که در پک براکت دوگانه جازده شده است در A نگه داشته شده است، و میله BC توسط یک براکت تنها در C متصل شده است. قطر تمام مفصل‌ها 25 mm است.

الف- تعیین تنش قائم در پیازوی AB و میله BC. طبق قسمت‌های ۲-۱ و ۴-۱، نیرو در میله BC برابر است با $F_{BC} = 50 \text{ kN}$ و مساحت مقطع عرضی دایره‌ای برابر است با $A = 314 \times 10^{-7} \text{ m}^2$: تنش متوسط نام متناظر عبارت است از $\sigma_{BC} = \frac{F_{BC}}{A} = \frac{50 \times 10^3}{314 \times 10^{-7}} = 159 \text{ MPa}$. ولی، قسمت‌های تخت میله نیز تحت کشش‌اند و در باریکاترین قسمت، که سوراخی در آنجا قرار دارد،

$$A = (20 \text{ mm})(40 \text{ mm} - 25 \text{ mm}) = 300 \times 10^{-7} \text{ m}^2$$

مقدار متوسط تنش متناظر چنین است:

$$(\sigma_{BC})_{\text{میله}} = \frac{P}{A} = \frac{50 \times 10^3 \text{ N}}{300 \times 10^{-7} \text{ m}^2} = 167 \text{ MPa}$$

توجه کنید که این یک مقدار متوسط است؛ همانطور که در قسمت ۱۸-۲ خواهید دید، تنش در نزدیک سوراخ به مقدار خیلی بیشتری می‌رسد. بدیهی است که میله تحت بار افزایشی در نزدیک یکی از سوراخها گذشته می‌شود نه در قسمت استوانه‌ای؛ لذا، با افزایش عرض یا ضخامت تخت میله می‌توان طراحی آن را بهبود داد.

حال، به پیازوی AB توجه می‌کنیم. از قسمت ۲-۱ به خاطر داریم که نیرو در این پیازو، F_{AB} ، برابر با 40 kN و فشاری است. چون مساحت مقطع عرضی مستطیلی پیازو عبارت است از $A = 30 \text{ mm} \times 50 \text{ mm} = 1.5 \times 10^{-7} \text{ m}^2$ ، مقدار متوسط تنش قائم در قسمت اصلی میله، بین مفصل‌های A و B، چنین است:

$$\sigma_{AB} = -\frac{40 \times 10^3 \text{ N}}{1.5 \times 10^{-7} \text{ m}^2} = -26.7 \times 10^7 \text{ Pa} = -26.7 \text{ MPa}$$

توجه کنید که مقاطع با مساحت مینیمم در A و B تحت تنش نیستند، زیرا پیازو تحت فشار است و مقصی‌های را هل می‌دهد (در حالی که میله RC مفصل‌ها را می‌کند).

قسمت‌های DE (شکل ۲۷-۱ب) و DG (شکل ۲۷-۱ج) نتیجه می‌شود برش در مقاطع E و G ، به ترتیب، عبارت از $P_E = 15 \text{ kN}$ و $P_G = 25 \text{ kN}$ می‌باشد. چون بارگذاری مفصل به طور متقارن است، ما کمیم مقدار برش در مفصل B عبارت است از $P_B = 25 \text{ kN}$ و بیشترین تنش‌های برشی در مقاطع G و H روى می‌دهند؛ در این مقاطع،

$$\tau_{ave} = \frac{P_G}{A} = \frac{25 \text{ kN}}{\pi \times 10^{-3} \text{ m}^2} = 50 / 9 \text{ MPa}$$

ج - تعیین تنش‌های تکیه‌گاهی برای تعیین تنش تکیه‌گاهی نامی در A از عضو AB ، از فرمول (۱۱-۱) استفاده می‌کنیم. از شکل ۲۴-۱، $t = 30 \text{ mm}$ ، $d = 25 \text{ mm}$ و $P = F_{AB} = 40 \text{ kN}$

$$\sigma_b = \frac{P}{td} = \frac{40 \text{ kN}}{(30 \text{ mm})(25 \text{ mm})} = 53.3 \text{ MPa}$$

برای تعیین تنش تکیه‌گاهی در براکت A ، از $d = 25 \text{ mm}$ و $t = 2(25 \text{ mm}) = 50 \text{ mm}$ استفاده می‌کنیم:

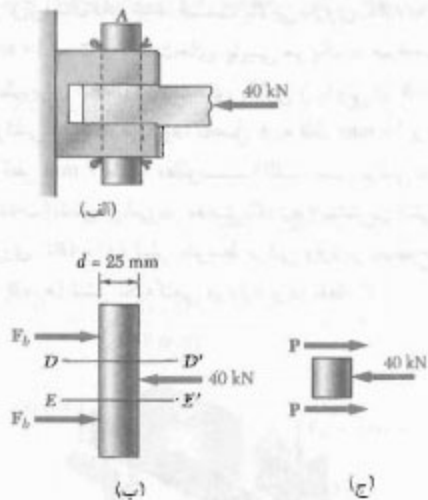
$$\sigma_b = \frac{P}{td} = \frac{40 \text{ kN}}{(50 \text{ mm})(25 \text{ mm})} = 32 \text{ MPa}$$

به همین طریق، تنش‌های تکیه‌گاهی در B از عضو AB ، در C از عضو BC ، و در براکت C را می‌یابیم.

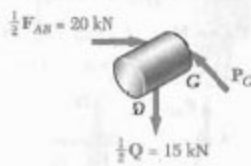
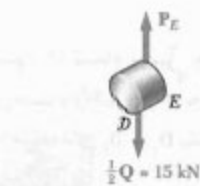
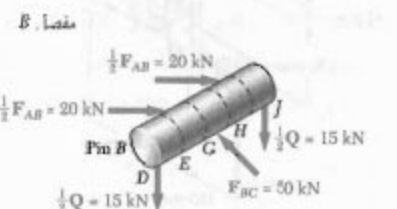
۹-۱ روش حل مسائل

مسائل مقاومت مصالح را باید به عنوان یک مسئله واقعی مهندسی در نظر گرفت. با تجربه و ابتکار، به سهولت می‌توان مسئله را درک و فرمول‌بندی کرد؛ در این رابطه، بیان مسئله به طور واضح نیز نقش مهمی دارد. مسئله را باید با کاربرد اصول پیادی استاتیک و مقاومت مصالح حل کرد. پس از تعیین پاسخ مسئله، باید آن را وارسی کرد. در اینجا مجدداً می‌توان از احساس و تجربه بهره گرفت. اگر نتیجه حاصل رضایت‌بخش نباشد، فرمول‌بندی مسئله، صحت روش‌های مورد استفاده در حل مسئله و دقت محاسبات را باید به دقت وارسی کرد.

یان مسئله باید واضح، دقیق، و شامل اطلاعات داده شده و اطلاعات مورد نیاز باشد. طرحواره ساده‌ای که تمام کمیت‌های ضروری موجود را نشان دهد نیز باید رسم کرد. برای حل اغلب مسائل، ابتدا باید دو اکش در تکیه‌گاهها، لنجگاه‌ها و فرونهای داخلی را تعیین کرد. برای این منظور، باید یک یا چند نمودار آزاد را رسم کرد (در قسمت ۲-۱)، و با توجه معادله‌های تعادل به



شکل ۲۶-۱

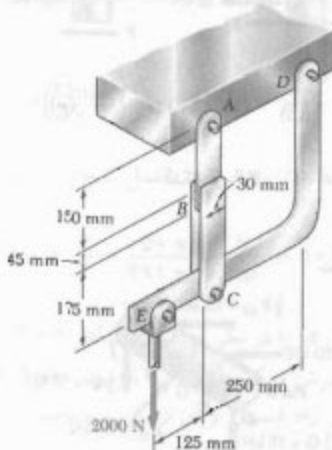


شکل ۲۷-۱

اکنون، مفصل B را در نظر می‌گیریم (شکل ۲۷-۱الف). این مفصل را می‌توان به هنج قسمت تقسیم کرد، که هر کدام تحت نیروهای واردۀ از بازو، میله، و براکت قرار داردند. با در نظر گرفتن

مسئله نمونه ۱-۱

در آویز نشان داده شده، قسمت بالایی بازوی ABC به ضخامت 6 mm 10 mm است و قسمت های پایینی هر یک به ضخامت 6 mm است. برای اتصال قسمت های بالایی و پایینی در B ، از چسب C اپوکسی استفاده می شود. مفصل A به قطر 10 mm و مفصل C به قطر 6 mm است. مطلوب است: (الف) تنش برشی در مفصل A ، (ب) تنش برشی در مفصل C ، (ج) بیشترین تنش قائم در بازوی ABC . (د) تنش متوسط برشی وارد بر سطوح چسبی در B . (ه) تنش تکیه گاهی در بازو و در نقطه C .



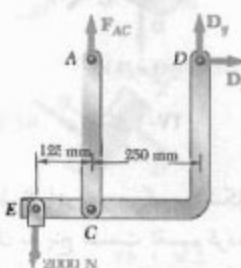
حل

جسم آزاد تمام آویز. چون بازوی ABC یک عضو دونیرویی است، واکنش در A به صورت عمودی است؛ واکنش در D را با مؤلفه های D_x و D_y نشان می دهیم و می نویسیم:

$$+\sum M_D = 0 :$$

$$(2000\text{ N})(375\text{ mm}) - F_{AC}(250\text{ mm}) = 0$$

$$F_{AC} = +4000\text{ N} \quad (\text{کشی})$$



حل نیازهای مجھول پرداخت. سپس، تنش ها و تغییر شکل های مورد نیاز را محاسبه کرد. پس از تعیین پاسخ، باید آن را به دقت و ارسی کرد. با رعایت آحاد در محاسبات و وارسی آحاد پاسخ می توان به علت اشتباها پی برد، مثلاً، در طراحی میله ای که در قسمت ۴-۱ برمی شد، پس از کاربرد آحاد در محاسبات، دیدیم که قطر موره نیاز میله پر حسب میلیمتر بیان شد که واحد درست است؛ اگر واحد دیگری بعدست می آوردیم، در جایی اشتباها روی داده بود.

با جایگذاری مقادیر عددی حاصل در معادله ای که هنوز موره استفاده قرار نگرفته است، معمولاً خطای محاسبه پیدا می شود.

۱-۱ دقت عددی

دقت حل مسئله بستگی به دو مورد زیر دارد: (۱) دقت داده ها، (۲) دقت محاسبات.

دقت حل نباید بیشتر از دقت دو مورد بالا باشد. مثلاً، اگر بار وارد بر یک تیز 300 kN و خطای ممکن آن 40 N باشد، خطای نسبی که میزان دقت داده ها را می سنجد چنین است:

$$\frac{40\text{ N}}{300\text{ kN}} = 0.0013 = 0.13\%$$

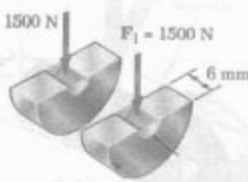
لذا، هنگام محاسبه واکنش در یکی از تکیه گاه های تیز توان آن را به صورت 57288 N بیان کرد. دقت محاسبات، هر چه باشد، دقت حل نمی تواند بیشتر از 13% درصد باشد و خطای ممکن پاسخ می تواند به اندازه $(57288\text{ N}) \times \frac{0.13}{100} = 74\text{ N}$ باشد. پاسخ صحیح به صورت $5728\text{ N} \pm 74\text{ N}$ است.

در مسائل مهندسی، دقت داده ها به ندرت بیشتر از $\frac{1}{2}\%$ درصد است. بنابراین، پاسخ این مسائل را به ندرت با دقت بیش از 2% درصد می نویسند. به عنوان یک قاعده عملی، برای ثبت اعدادی که با 1° شروع می شوند از 4 رقم، و برای سایر اعداد از 3 رقم استفاده می شود. در یک مسئله، دقت داده ها باید با هم قابل مقایسه باشند مگر اینکه خلاف آن ذکر شده باشد. مثلاً، نیروی 160 N به صورت $N = 160$ و نیروی 60 N به صورت $N = 60$ نوشته می شود.

مهندسان و دانشجویان از ماشین حساب و کامپیوتر خیلی استفاده می کنند. سرعت و دقت این وسایل باعث سهولت محاسبات عددی در حل اغلب مسائل مهندسی می شود. ولی، دانشجویان نباید تعداد ارقام با معنی را که بیت می کنند بیشتر از تعداد مورد نیاز باشد. همانطور که در بالا گفته شد، دقت بیش از 2% درصد در حل مسائل مهندسی به ندرت مورد نیاز است.

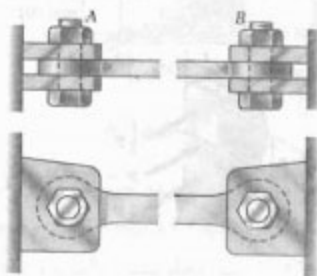
ه. تنش تکیه‌گاهی در بازو در نقطه C. برای هر قسمت بازو، $F_1 = 1500 \text{ N}$ و مساحت نامی تکیه‌گاهی برابر است با $(6 \text{ mm})(7 \text{ mm}) = 36 \text{ mm}^2$. می‌نویسیم:

$$\sigma_b = \frac{F_1}{A} = \frac{1500 \text{ N}}{36 \text{ mm}^2} \Rightarrow \sigma_b = 41.7 \text{ MPa} \quad \blacktriangleleft$$



مسئله نمونه ۱-۱

یک میله مهار فولادی برای تحمل نیروی کشش $P = 120 \text{ kN}$ طراحی شده است. این میله بین برآکت‌های دوتایی A و B پیچ شده است. میله از یک ورق به ضخامت 20 mm ساخته شده است. ماکریم تنش‌های مجاز برای فولاد به کار رفته عبارتند از: (الف) قطر d پیچ و مهره، (ب) اندازه b در هر انتهای میله، (ج) اندازه h میله.



حل

الف. قطر پیچ و مهره. چون پیچ و مهره تحت برش دوگانه است، $F_1 = \frac{1}{4}P = 30 \text{ kN}$

$$\tau_A = \frac{F_1}{A} = \frac{30 \text{ kN}}{\frac{1}{4}\pi d^2} \Rightarrow 100 \text{ MPa} = \frac{30 \text{ kN}}{\frac{1}{4}\pi d^2}$$

$$\Rightarrow d = 4.8 \text{ mm}$$

از $d = 28 \text{ mm}$ استفاده می‌کنیم.

حال، تنش تکیه‌گاهی بین ورق به ضخامت 20 mm و پیچ و مهره به قطر 28 mm را وارسی می‌کنیم:

$$\tau_b = \frac{P}{td} = \frac{120 \text{ kN}}{(0.02 \text{ m})(0.028 \text{ m})} = 214 \text{ MPa} < 200 \text{ MPa}$$

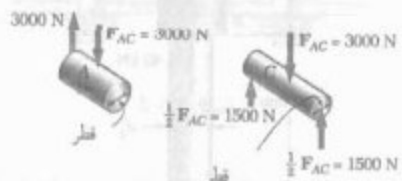
(درست است)

الف. تنش برشی در مفصل A. چون این مفصل تحت برش تهامت است،

$$\tau_A = \frac{F_{AC}}{A} = \frac{3000 \text{ N}}{\frac{1}{4}\pi (10 \text{ mm})^2} \quad \tau_A = 38.1 \text{ MPa} \quad \blacktriangleleft$$

ب. تنش برشی در مفصل C. چون این مفصل تحت برش دوگانه است،

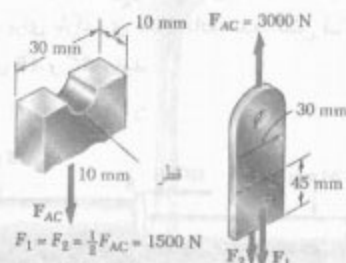
$$\tau_C = \frac{\frac{1}{4}F_{AC}}{A} = \frac{1500 \text{ N}}{\frac{1}{4}\pi (7 \text{ mm})^2} \quad \tau_C = 53.1 \text{ MPa} \quad \blacktriangleleft$$



ج. بیشترین تنش قائم در بازوی ABC. بیشترین تنش در کمترین مساحت بوجود می‌آید: مساحت مینیمم نیز در مقطع A است، یعنی جایی که سوراخ 10 mm قرار دارد. می‌نویسیم:

$$\sigma_c = \frac{F_{AC}}{A_{\text{net}}} = \frac{3000 \text{ N}}{(10 \text{ mm})(70 \text{ mm} - 10 \text{ mm})} = \frac{3000 \text{ N}}{500 \text{ mm}^2}$$

$$\sigma_c = 15 \text{ MPa} \quad \blacktriangleleft$$



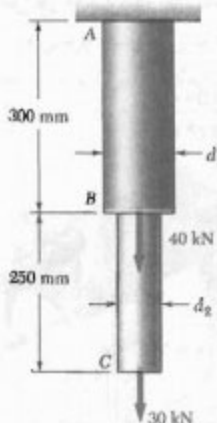
د. تنش متوسط برشی در B. توجه کنید که هر دو طرف قسمت بالایی باز پیچ خورده است و نیروی برشی وارد به هر طرف برابر است با $F_1 = (\frac{3000 \text{ N}}{2}) = 1500 \text{ N}$.

برای تنش متوسط برشی وارد بر هر سطح چنین است:

$$\tau_B = \frac{F_1}{A} = \frac{1500 \text{ N}}{(70 \text{ mm})(70 \text{ mm})} \quad \tau_B = 17.1 \text{ MPa} \quad \blacktriangleleft$$

مسائل

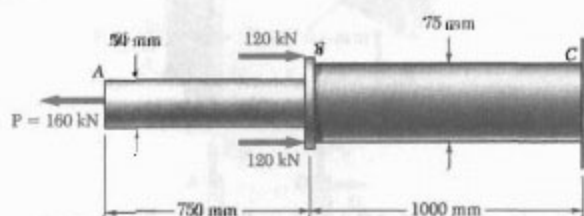
۱-۱ دو میله توپر استوانه‌ای AB و BC در B بهم جوش شده‌اند. $d_1 = 30 \text{ mm}$ و $d_2 = 50 \text{ mm}$. تنش قائم متوسط در وسط میله‌های AB و BC را باید.



شکل ۱-۱م و ۱-۲م

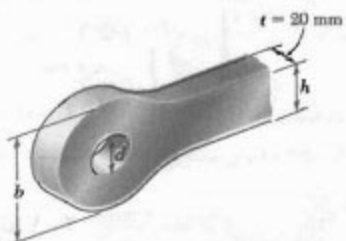
۲-۱ دو میله توپر استوانه‌ای AB و BC در B بهم جوش شده‌اند. تنش قائم متوسط در هر یک از دو میله نباید از 140 MPa بیشتر شود. کمترین مقدار مجاز قطرهای d_1 و d_2 را باید.

۳-۱ دو میله توپر استوانه‌ای AB و BC در B بهم جوش شده‌اند. برای بارگذاری تشن داده شده، تنش قائم را در وسط میله‌های AB و BC باید.



شکل ۳-۱م

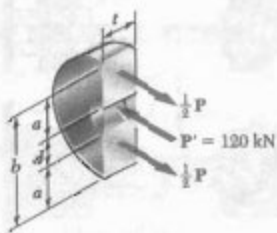
۴-۱ در مثاله ۱-۳-۱، مطلوب است مقدار P به طوری که مقدار تنش کششی در میله AB با مقدار تنش فشاری در میله BC برابر باشد.



ب. اندازه b ، یکی از قسمت‌های انتهایی میله را در نظر می‌گیریم. با توجه به اینکه ضخامت ورق 20 mm است و تنش متوسط کششی نباید از 175 MPa بیشتر شود، می‌نویسیم

$$\sigma = \frac{\frac{1}{4}P}{ta} \Rightarrow 175 \text{ MPa} = \frac{\frac{1}{4} \times 40 \text{ kN}}{(0.02 \times 14) \text{ mm}} \Rightarrow a = 14 / 17 \text{ mm}$$

$$b = d + 2a = 14 \text{ mm} + 2(14 / 17 \text{ mm}) \Rightarrow b = 22 / 17 \text{ mm}$$

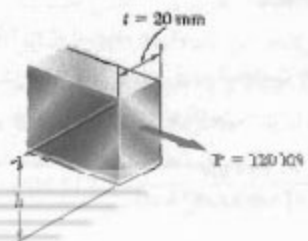


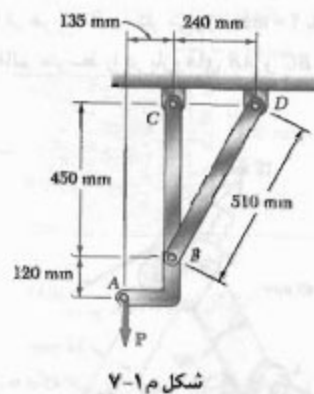
ج. اندازه h . با توجه به اینکه ضخامت ورق 20 mm است،

$$\sigma = \frac{P}{th} \Rightarrow 175 \text{ MPa} = \frac{120 \text{ kN}}{(0.02 \times 20) \text{ mm}}$$

$$\Rightarrow h = 34 / 3 \text{ mm}$$

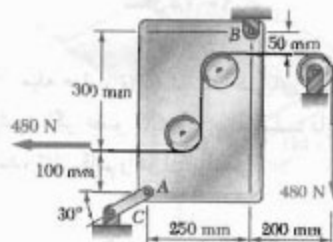
از $h = 35 \text{ mm}$ استفاده می‌کنیم. ◀





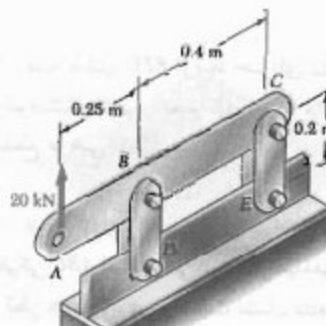
شکل ۷-۱م

۸-۱ رابط AC داری مقطع عرضی یکنواخت مستطیلی به ضخامت 3 mm و به عرض 25 mm است. تنش قائم را در قسمت مرکزی این رابط بیابید.



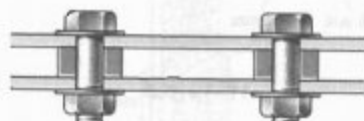
شکل ۸-۱م

۹-۱ هر یک از چهار میله عمودی دارای مقطع عرضی یکنواخت مستطیلی $8\text{ mm} \times 36\text{ mm}$ است و قطر هر یک از مفصلها 16 mm است. مطلوبست مراکزیم مقدار تنش قائم متوسط: (الف) در رابط CE , (ب) در رابط BD .



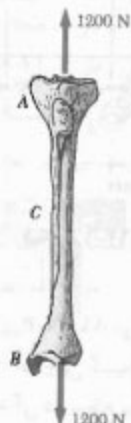
شکل ۹-۱م

۵-۱ دو ورق فولادی توسط پیچ و مهره‌های فولادی پر استحکام به قطر 16 mm به هم متصل شده‌اند. این پیچ و مهره‌ها در داخل فاصله‌اندازهای برنجی استوانه‌ای به طور محکم جازده شده‌اند. با توجه به اینکه تنش قائم متوسط در پیچ و مهره‌ها باید از 200 MPa و در فاصله‌اندازها را برای انتسابی تربین و مطمئن ترین طرح بیابید.



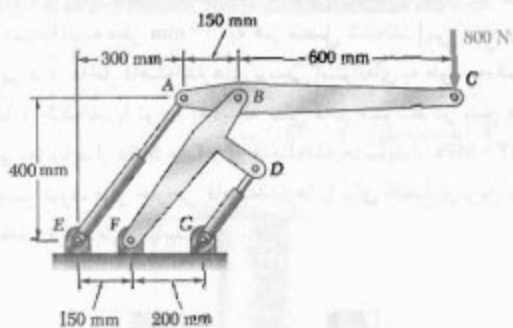
شکل ۵-۱م

۶-۱ کرنش منجی که در نقطه C روی سطح استخوان AB قرار دارد نشان می‌دهد که وقتی استخوان تحت تأثیر دو نیروی $3/A_0\text{ MPa}$ قرار می‌گیرد، تنش قائم متوسط در آن 1200 N است. با فرض اینکه مقطع عرضی استخوان در C به صورت حلقه‌ای است و قطر خارجی آن 25 mm است، قطر داخلی مقطع عرضی استخوان را در C بیابید.



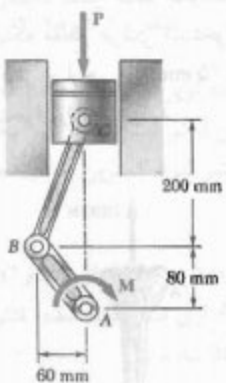
شکل ۶-۱م

۷-۱ اگر لسعت مرکزی میله BD دارای مقطع عرضی یکنواخت 80 mm^2 باشد، مطلوبست مقدار P به طوری که تنش قائم در قسمت BD برابر با 55 MPa باشد.



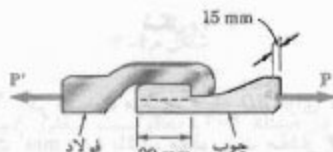
شکل م-۱۳

۱۴-۱ کوپل M با مقدار 150 N.m بر یک لنگ وارد شده است. برای وضعیت نشان داده شده، مطابق است: (الف) نیروی P مورد نیاز برای اینکه مجموعه در تعادل باشد، (ب) تنش قائم متوسط در شاتون BC، با مساحت مقطع عرضی یکنواخت



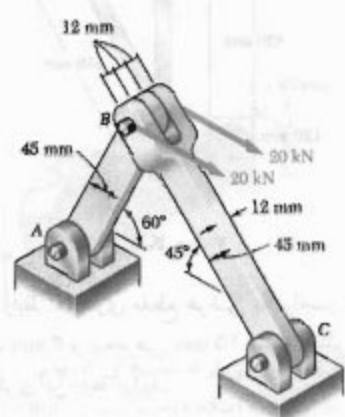
شکل ۱۴-۱

۱۵-۱ وقتی نیروی P به 8 kN می‌رسد، نمونه چوبی بر اثر نیروی برشی در امتداد خط‌چین گسیخته می‌شود. تشخیص برشی متوسط را هنگام گسیختگی در سطح برش پیابید.



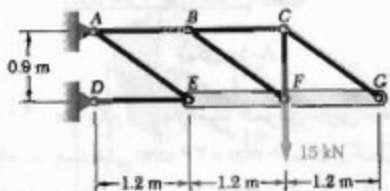
10-1.e. [5]

-1 دو نیروی افقی 20 kN بر مفصل B اثر می‌کنند. اگر قطعه پیش که در هر اتصال به کار می‌رود 20 mm باشد، ماکریم مقدار تنش قائم متوسط را در بازوی‌های AB و BC پیدا کنید.



شکل م-۱۰

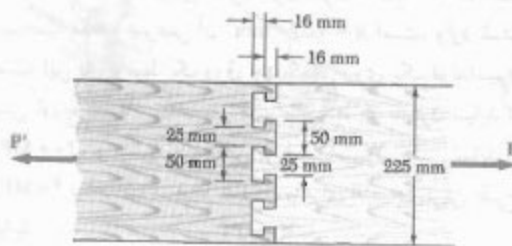
۱۱-۱ میله صلب EFG توسط خرپای نشان داده شده
تحمل می‌شود. اگر عضو CG یک میله صلب دایره‌ای به قطر
۱۸ mm باشد، تنش قائم را در آن ساید.



شکل م ۱۱-۱ و ۱۲-۱

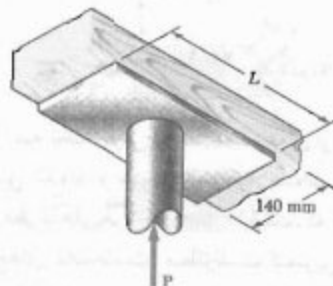
۱۲-۱ میله صلب EFG توسط خربای نشان داده شده
تحمل می‌شود. تنش قائم در عضو AE برابر با 105 MPa است.
مساحت مقطع عرضی آن را باید.

۱۳-۱ از دو سیلندر هیدرولیکی برای کترل وضعیت بازوی مکانیکی ABC استفاده می‌شود. اگر میله‌های DG و AE ممکن به قطر 20 mm در وضعیت نشان داده شده موازی باشند، تنش قائم متوسط را در آنها بسازد.



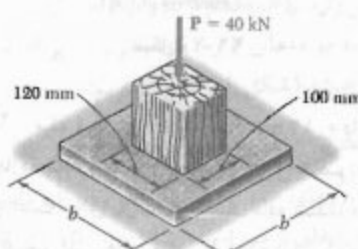
شکل ۱۸-۱

۱۹-۱ نیروی محوری P وارد بر سطون 750 kN است. تنش تکیه‌گاهی در پایه چوبی نگهدار ستون نباید از 30 MPa بیشتر شود. کمترین طول مجاز L پایه چوبی را باید.



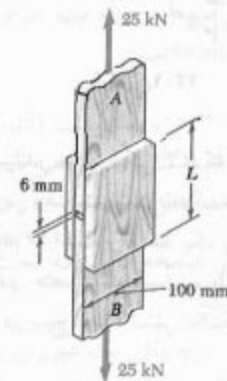
شکل ۱۹-۱

۲۰-۱ بار محوری 40 kN بر یک تیر چوبی کوتاه وارد شده است. این تیر روی پایه یعنی فرار دارد، مطابق است: (الف) ماکریسم تنش تکیه‌گاهی وارد بر پایه یعنی، (ب) اندازه پایه، به طوری که تنش متوسط تکیه‌گاهی در خاک 145 kPa شود.



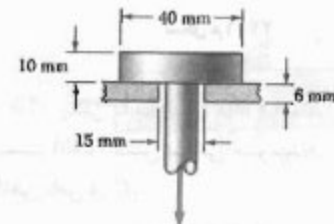
شکل ۲۰-۱

۱۶-۱ عضوهای چوبی A و B ، که متوسط تخته‌های چند لایه به هم متصل شده‌اند، در تمام سطوح تماس چسب خورده‌اند. فاصله آزاد دو انتهای عضوهای 8 mm است، کمترین طول مجاز L را باید در حوزه‌تیکه بدانیم تنش متوسط برشی نباید از 840 kPa بیشتر شود.



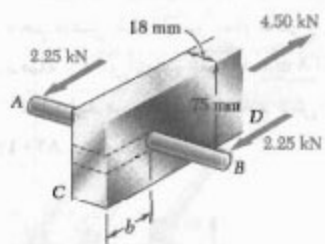
شکل ۱۶-۱

۱۷-۱ بار P بر میله فولادی نشان داده شده وارد می‌شود. این میله در داخل سوراخی به قطر 15 mm ، که در یک ورق آلمینیمی تعبیه شده است، قرار دارد. تنش برشی در میله فولادی نباید از 126 MPa و در صفحه آلمینیمی نباید از 70 MPa بیشتر شود. بیشترین بار P را که می‌توان بر میله وارد کرد باید.



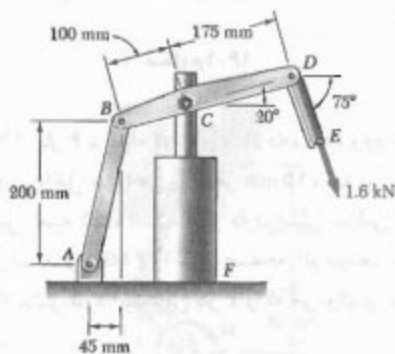
شکل ۱۷-۱

۱۸-۱ دو تخته چوبی، هر یک به ضخامت 12 mm و به عرض 225 mm ، با چسب به هم متصل شده‌اند. اگر تنش متوسط برشی برای خرابی کردن چسب 8 MPa باشد، مقدار بار محوری P را که باعث خرابی چسب می‌شود باید.



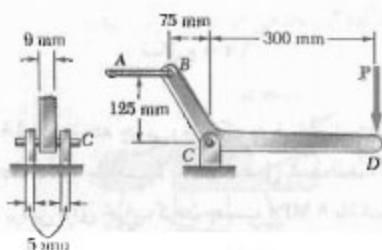
شکل ۲۳-۱م

۲۴-۱ سیلندر هیدرولیکی CF ، که وضعیت میله DE را کنترل می‌کند، در وضعیت نشان داده شده قفل است. عضو BD به ضخامت ۱۶ mm است و توسط یک پیچ به قطر ۱۰ mm به یک میله عمودی متصل شده است. مطلوب است: (الف) تنش برشی متوسط در پیچ، (ب) تنش تکیه گاهی در نقطه C از عضو BD .



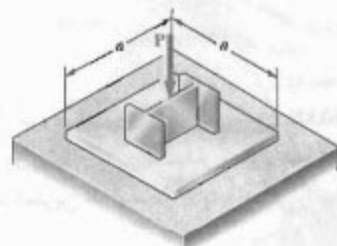
شکل ۲۴-۱م

۲۵-۱ پین C به قطر ۶ mm است. اگر $P = 500 \text{ N}$ باشد، (الف) تنش برشی متوسط در پین، (ب) تنش تکیه گاهی تامی در C .



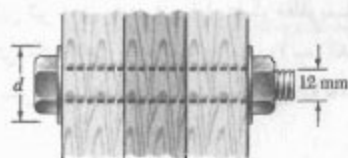
شکل ۲۵-۱م

۲۱-۱ بار محوری P بر ستون کوتاه $W 200 \times 59$ ، که مساحت مقطع عرضی آن $A = 7560 \text{ mm}^2$ است، وارد شده است. این بار توسط یک ورق چهارگوش روی یک فونداسیون بتنی توزیع شده است. تنش قائم متوسط در ستون نباید از 20 MPa و تنش تکیه گاهی بر فونداسیون بتنی نباید از 20 MPa بیشتر شود. ضلع a ورق را برای اقتصادی ترین طرح بیابی.



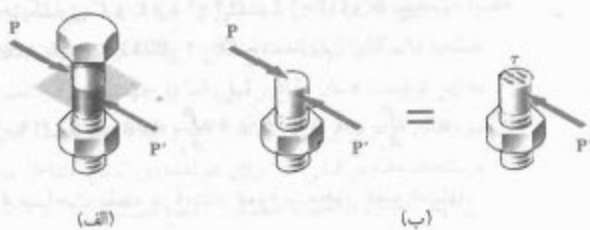
شکل ۲۱-۱م

۲۲-۱ سه تخته چوبی مجموعه‌ای از پیچ و مهره‌ها به هم متصل شده‌اند و ستونی را تشکیل داده‌اند. قطر هر پیچ ۱۲ mm و قطر داخلی هر واشر ۱۶ mm است، که کمی بزرگتر از قطر سوراخ‌های تخته‌هاست. مطلوب است کمترین قطر مجاز خارجی d واشرها، در صورتی که بدانیم تنش قائم متوسط در پیچ و مهره‌ها 35 MPa است و تنش تکیه گاهی بین واشرها و تخته‌ها نباید از 8 MPa بیشتر شود.

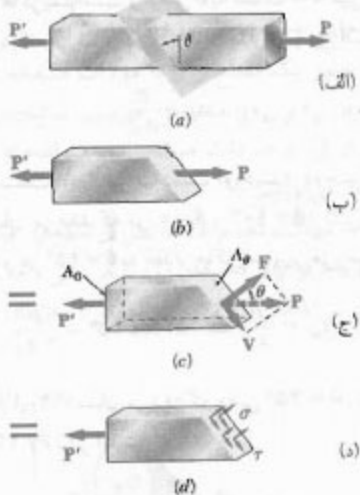


شکل ۲۲-۱م

۲۳-۱ میله فولادی AB به قطر 12 mm ، داخل سوراخ دایره‌ای جازده شده است. این سوراخ داخل عضر چوبی CD تعبیه شده است. برای بارگذاری نشان داده شده، مطلوب است: (الف) ماکریتم تنش قائم متوسط در چوب، (ب) فاصله b به طوری که تنش برشی متوسط در سطح خط‌چین 620 kPa باشد، (ج) تنش تکیه گاهی متوسط در چوب.



شکل ۲۹-۱



شکل ۳۰-۱

عضو دونبرویی شکل ۲۸-۱ را که تحت تأثیر نیروهای محوری P و P' قرار دارد در نظر بگیرید. اگر این عضو را تحت زاویه θ با عمود مقطع بزنیم (شکل ۳۰-۱(الف)) و نمودار آزاد قسمتی از عضو را که در سمت چپ آن مقطع است رسم کنیم (شکل ۳۰-۱(ب)), از شرایط تعادل جسم آزاد دیده می شود که نیروهای توزیعی وارد بر آن مقطع با نیروی P معادل‌اند. با تجزیه P به مولفه‌های F و V که، به ترتیب، بر آن مقطع عمود و مماس هستند (شکل ۳۰-۱(ج)), داریم:

$$F = P \cos \theta \quad V = P \sin \theta \quad (۱۲-۱)$$

نیروی F برایند نیروهای عمودی توزیع شده روی آن مقطع، و نیروی V برایند نیروهای پرشی است (شکل ۳۰-۱(د)). از تقسیم P بر مساحت A_θ و V بر آن مقطع، به ترتیب، مقدار متوسط تنش قائم و تنش پرشی بدست می‌آید:

$$\sigma = \frac{F}{A_\theta} \quad \tau = \frac{V}{A_\theta} \quad (۱۲-۱)$$

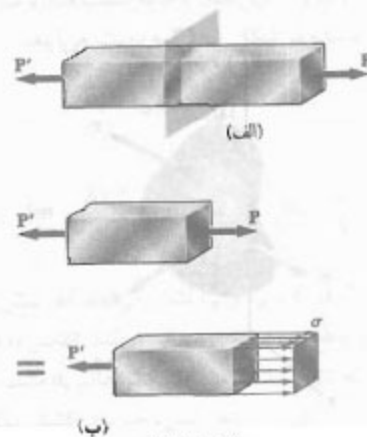
۲۶-۱ اگر $P = 75\text{ N}$, مطلوبست: (الف) قطر پین C به طوری که تنش پرشی متوسط در آن 40 MPa باشد، (ب) تنش تکیه‌گاهی متاظر در C .

۲۷-۱ در مسئله ۹-۱، مطلوبست: (الف) تنش پرشی متوسط در مفصل B , (ب) تنش تکیه‌گاهی متوسط در B از بازوی BD , (ج) تنش تکیه‌گاهی متوسط در A از عضو ABC , در صورتی که بدانیم این عضو دارای مقطع عرضی مستطیلی یکنواخت $10\text{ mm} \times 5\text{ mm}$ است.

۲۸-۱ در مسئله ۱۰-۱، مطلوبست: (الف) تنش پرشی متوسط در مفصل C , (ب) تنش تکیه‌گاهی متوسط در C از عضو BC , (ج) تنش تکیه‌گاهی متوسط در B از عضو BC .

۱۱-۱ تنش وارد بر صفحه مایلی که تحت بارگذاری محوری است

در قسمت‌های قبل دیدیم که وقتی یک عضو دو نیرویی تحت نیروی محوری قرار می‌گیرد (شکل ۲۸-۱(الف)), فقط تنش قائم در آن به وجود می‌آید (شکل ۲۸-۱(ب)). همچنین، دیدیم که نیروهای عرضی وارد بر پیچ و مهره‌ها و مفصل‌ها (شکل ۲۹-۱(الف)) فقط تنش پرشی در آن اتصالات ایجاد می‌کنند (شکل ۲۹-۱(ب)). در این فصل خواهید دید که نیروهای محوری در صفحاتی که بر محور عرضی عمود نباشند تنش‌های قائم و پرشی را با هم به وجود می‌آورند. به طور مشابه، نیروهای عرضی وارد بر یک پیچ و مهره نیز در صفحاتی که بر محور پیچ و مهره عمود نباشند تنش‌های قائم و پرشی را با هم ایجاد می‌کنند.



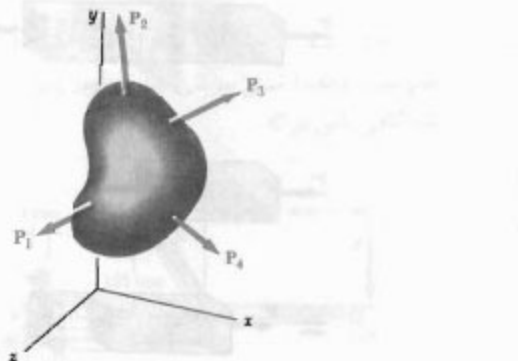
شکل ۲۸-۱

نایاب حاصل در معادله‌های (۱۵-۱)، (۱۶-۱) و (۱۷-۱) در شکل ۳۱-۱ نشان داده شده‌اند. گفتنی است که، بر حسب وضعیت مقطع تحت بارگذاری، ممکن است فقط تنش قائم $\sigma_m = P/A_0$ (شکل ۳۱-۱ ب)، یا یک تنش قائم و یک تنش برشی با مقدار یکسان $\tau_m = P/2A_0$ (شکل ۳۱-۱ ج و د) در آن مقطع به وجود آید.

۱۲-۱ تنش تحت شرایط کلی بارگذاری: مولفه‌های تنش تا به حال، عضوها تحت بارگذاری محوری و اتصالات تحت بارگذاری عرضی قرار داشتند. ولی، اغلب عضوهای ساختمانی و اجزای ماشین آلات تحت شرایط بارگذاری پیچیده‌تری داشتند.

جسمی را در نظر بگیرید که تحت چند بار P_1 و P_2 و ... قرار دارد (شکل ۳۲-۱). برای بررسی تنش حاصل از این بارها در نقطه Q از جسم، ابتدا این جسم را توسط صفحه‌ای به موازات صفحه yz در نقطه Q مقطع می‌زنیم. قسمتی از جسم در سمت چپ این مقطع تحت تأثیر چند بار اولیه، نیروهای قائم و برشی توزیعی قرار دارد.

نیروهای قائم و برشی را که در مساحت کوچک ΔA پیرامون نقطه Q اثر می‌کنند، به ترتیب، با ΔF^x و ΔV^x نشان می‌دهیم (شکل ۳۳-۱ (الف)). توجه کنید که برای نشان دادن نیروهای ΔF^x و ΔV^x ، که بر یک سطح عمود بر محور x اثر می‌کنند، از آندیس x استفاده می‌شود. در حالی که نیروی قائم ΔF^x دارای جهت کاملاً مشخص است، نیروی برشی ΔV^x می‌تواند هر جهتی را در صفحه مقطع دارا باشد. بنابراین، ΔV^x به دو مولفه ΔV_y^x و ΔV_z^x در جهت‌های موازی با محورهای y و z



شکل ۳۲-۱

با جایگذاری F و V (۱۲-۱) در (۱۳-۱) و با توجه به اینکه $A_\theta = A_0 / \cos \theta$ (شکل ۳۰-۱ ج)، داریم:

$$\sigma = \frac{P}{A_0} \cos^2 \theta \quad \tau = \frac{P}{A_0} \sin \theta \cos \theta \quad (۱۴-۱)$$

(۱۴-۱) مساحت مقطع در امتداد عمود بر محور عضو است).

از اولین معادله (۱۴-۱) دیده می‌شود که در $\theta = 0^\circ$ ، یعنی وقتی صفحه مقطع بر محور عضو عمود است، تنش قائم σ دارای مقدار ماقریم است و وقتی $\theta = 90^\circ$ می‌شود، σ به صفر نزدیک می‌شود. در $\theta = 90^\circ$ ، مقدار σ چنین است:

$$\sigma_m = \frac{P}{A_0} \quad (۱۵-۱)$$

(این را در قسمت ۳-۱ نیز به دست آوردیم). دومین معادله (۱۴-۱) نشان می‌دهد که در $\theta = 90^\circ$ و $\theta = 0^\circ$ ، تنش برشی τ صفر است، و در $\theta = 45^\circ$ به مقدار ماقریم ذیر می‌رسد:

$$\tau_m = \frac{P}{A_0} \sin 45^\circ \cos 45^\circ = \frac{P}{2A_0} \quad (۱۶-۱)$$

معادله اول (۱۴-۱) نشان می‌دهد که وقتی $\theta = 45^\circ$ ، تنش قائم σ نیز با $P/2A_0$ برابر است:

$$\sigma' = \frac{P}{A_0} \cos^2 45^\circ = \frac{P}{2A_0} \quad (۱۷-۱)$$



(الف) بارگذاری محوری



(ب) تنش های برای



(ج) تنش های برای



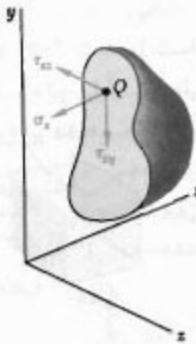
(د) تنش های برای

شکل ۳۱-۱

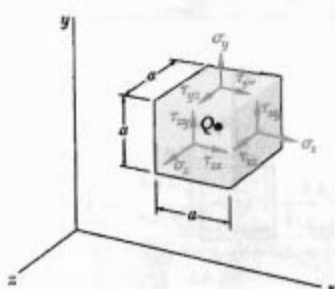
تحلیل بالا را برای قسمتی از جسم که در سمت راست صفحه قائم گذاشت (شکل ۳۵-۱) نیز می‌توان به کار برد. به این ترتیب، همان مقادیر قبل، اماًا در جهت‌های مخالف، برای نیروهای قائم و برشی ΔF^x ، ΔF^y و ΔF^z به دست می‌آید. درنتیجه، مقادیر قبلی نیز برای مولفه‌های تنش متناظر به دست می‌آیند. اماًچون جهت عمود بر مقطع در شکل ۳۵-۱ به طرف خارج در جهت $-z$ است، علامت مثبت برای τ_{xy} نشان می‌دهد که پیکان آن در جهت $-z$ است. به طور مشابه، علامت‌های مثبت برای τ_{yz} و τ_{zx} نشان می‌دهد که پیکان آنها، به ترتیب، در جهت‌های $-y$ و $-x$ است (شکل ۳۵-۱).

با عبور یک مقطع از Q به موازات صفحه xy ، مولفه‌های تنش σ_x ، σ_y و σ_z را مشخص می‌کنیم. سرانجام، با عبور یک مقطع از Q به موازات صفحه xy ، مولفه‌ای σ_{xy} ، مولفه‌ای σ_{yz} و σ_{zx} را به دست می‌آوریم.

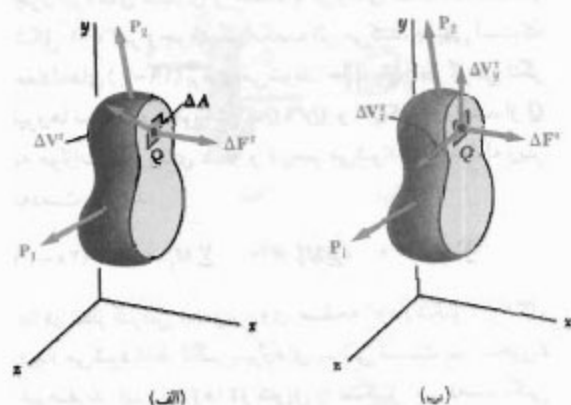
برای سهولت تجسم حالت تنش در نقطه Q ، مکعب کوچکی به ضلع a با مرکز Q و تنش‌های ولاد بر هر شش وجه مکعب را درنظر می‌گیریم (شکل ۳۶-۱). مولفه‌های نشان داده شده در شکل



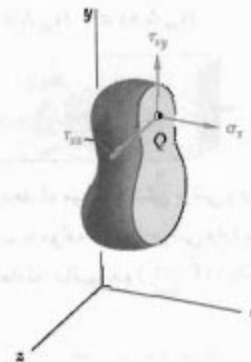
شکل ۳۵-۱



شکل ۳۶-۱



شکل ۳۳-۱



شکل ۳۴-۱

تجزیه می‌کنیم (شکل ۳۳-۱ ب). از تقسیم مقدار هر نیرو بر مساحت ΔA و با میل دادن ΔA به سمت صفر، سه مولفه تنش نشان داده شده در شکل ۳۴-۱ به دست می‌آیند:

$$\sigma_x = \lim_{\Delta A \rightarrow 0} \frac{\Delta F^x}{\Delta A} \quad (18-1)$$

$$\tau_{xy} = \lim_{\Delta A \rightarrow 0} \frac{\Delta V_y^x}{\Delta A} \quad \tau_{xz} = \lim_{\Delta A \rightarrow 0} \frac{\Delta V_z^x}{\Delta A}$$

اندیس اول در سوی x ، σ_x و τ_{xz} نشان می‌دهد که تنش‌های تحت برسی بر سطح عمود بر محور x اثر می‌کنند. اندیس دوم در سوی y و τ_{xy} جهت مولفه تنش را نشان می‌دهد. تنش قائم σ_x مثبت است هرگاه پیکان آن در سوی $+x$ باشد؛ یعنی، جسم در کشش باشد. در غیر اینصورت، منفی است. به طور مشابه، مولفه‌ای τ_{xy} مثبت برای $+y$ و τ_{xz} مثبت هرگاه پیکان آنها، به ترتیب، در سوی $+z$ و $+z$ باشد.

چون نيروهای مساوی و متضاد با نيروهای نشان داده شده در شکل ۳۷-۱ بر وجود دیگر مکعب اثر می‌كشند، بدینها است که معادله‌های (۱۹-۱) برقرار می‌شوند. حال، با درنظر گرفتن لنگر نيروها نسبت به محورهای x , y و z که، به ترتیب، از Q به موازات محورهای x , y و z رسم می‌شوند، سه معادله زیر به دست می‌آیند:

$$\sum M_x = 0 \quad \sum M_y = 0 \quad \sum M_z = 0 \quad (20-1)$$

با درنظر گرفتن تصویر روی صفحه yx (شکل ۳۸-۱)، دیده می‌شود فقط لنگر نيروهای برشی نسبت به محور z غير صفرند. اين نيروها در كوبيل را تشکيل می‌دهند، يكى لنگر مشت پاد ساعتگرد a ($\tau_{xy} \Delta A$)، و دیگرى لنگر منى ساعتگرد a ($\tau_{yz} \Delta A$). لذا، از آخرین معادله (۲۰-۱)،

$$-\sum M_z = 0 : \quad (\tau_{xy} \Delta A) a - (\tau_{yz} \Delta A) a = 0$$

در نتيجه،

$$\tau_{xy} = \tau_{yz} \quad (21-1)$$

رابطه بالانشان می‌دهد که مولقه x -تش برشی وارد بر وجه عمود بر محور z برابر است با مولقه x -تش برشی وارد بر وجه عمود بر محور y . از دو معادله پايانه (۲۰-۱)، رابطه‌های زير را می‌يابيم:

$$\tau_{yz} = \tau_{zy} \quad \tau_{zx} = \tau_{xz} \quad (22-1)$$

از معادله‌های (۲۱-۱) و (۲۲-۱) نتيجه می‌شود که برای تعریف حالت تشن در نقطه داده شده Q ، به جای نه مولقه تشن، فقط شش مولقه تشن سورد تيانند. اين شش مولقه عبارتند از σ_x , τ_{yz} , τ_{xy} , τ_{xz} , τ_{yz} و τ_{xy} . ضمناً، در يك نقطه داده شده، يوش نمی‌تواند فقط در يك صفحه روی دهد؛ بلکه، يك تشن برشی مساوی با آن بر صفحه دیگرى که بر صفحه اوپل عمود است وارد می‌شود. مثلاً، پیچ و مهره شکل ۲۹-۱ و مکعب کوچکی را در مرکز Q پیچ و مهره در نظر می‌گيريم (شکل ۳۹-۱الف). دیده می‌شود تشن‌های برشی با مقدار P مساوی بر دو وجه افقی مکعب وبر دو وجهی که بر نيروهای P' و P'' عمودند وارد می‌شوند (شکل ۳۹-۱ب).

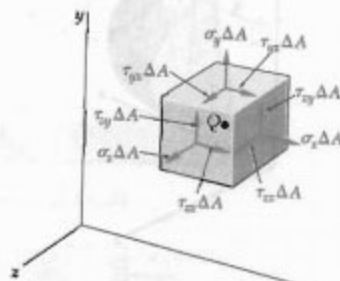
قبل از خاتمه اين بحث، مجددًا عضوي راکه تحت بارگذاري محوري است درنظر می‌گيريم و مکعب کوچک راکه وجوده آن

عبارة تند از σ_x , τ_{yz} و τ_{xy} (تش‌های قائم وارد بر وجوده عمود بر محورهای x , y و z) و شش مولقه تشن برشی τ_{xy} , τ_{yz} , τ_{zx} و غيره، طبق تعریف، τ_{xy} مولقه x -تش برشی وارد بر وجه عمود بر محور x است، و τ_{yz} مولقه y -تش برشی وارد بر وجه عمود بر محور y را تشان می‌دهد. توجه كنيد که در شکل ۳۶-۱ فقط تشن‌های وارد بر سه وجه مکعب نشان داده شده‌اند، بر وجوده

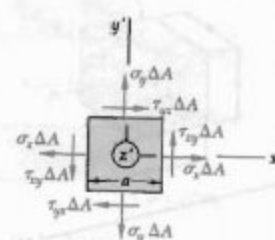
ديگر نيز تشن‌های مساوی و مخالف با تشن‌های نشان داده شده اثر می‌كشند. گرچه تشن‌های وارد بر وجوده مکعب با تشن‌های موجود در Q كمی تفاوت دارند، ولی خطاهای موجود کم است و وقتی ضلع «مکعب به سمت صفر ميل می‌كند، اين خطاهای آن بین می‌روند.

حال، رابطه‌های مهم بين مولقه‌های تشن برشی را به دست می‌آوريم. تعداد آزاد مکعب کوچکی را با مرکز Q در نظر می‌گيريم (شکل ۳۷-۱). با ضرب کردن مولقه‌های تشن مناظر در مساحت ΔA هر وجه، نيروهای قائم و برشی وارد بر وجوده مختلف مکعب را می‌يابيم. ابتدا، سه معادله تعادل زير را می‌نويسيم:

$$\sum F_x = 0 \quad \sum F_y = 0 \quad \sum F_z = 0 \quad (19-1)$$



شکل ۳۷-۱



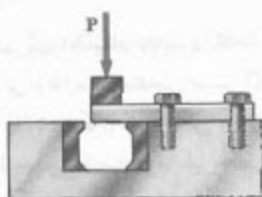
شکل ۳۸-۱

برای طراحی سازه‌ها و ماشین‌آلاتی که عمل خاصی را به طور مطمئن و اقتصادی انجام می‌دهند استفاده کنند.

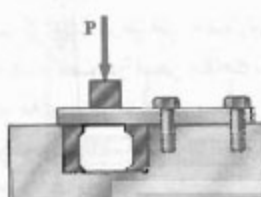
الف- تعیین استقامت نهایی یک ماده، نکته مهمی که طرح باید در نظر گیرد این است که ماده انتخاب شده تحت یک نیرو چه رفتاری دارد. این کار، با آزمایش روی نمونه‌هایی از آن ماده انجام می‌شود. مثلاً نمونه فولادی را می‌توان در ماشین آزمایشگاهی تحت نیروی کششی محوری مرکزی معلومی قرار داد (قسمت ۳-۲). با افزایش مقدار نیرو، تغییرات حاصل در نمونه، مانند تغییر طول و قطر، اندازه‌گیری می‌شود. وقتی نیروی وارد از حد تحمل نمونه بیشتر می‌شود، نمونه گسیخته می‌شود یا تحمل بار کمتری را شروع می‌کند. این بزرگترین نیرو را بار نهایی نمونه می‌گویند و با آن P_u نشان داده می‌شود. چون بار وارد از مرکز می‌گذرد، از تقسیم بار نهایی بر مساحت مقطع عرضی اولیه نمونه، تنش قائم نهایی، یا استقامت نهایی کششی ماده، بدست می‌آید:

$$\sigma_u = \frac{P_u}{A} \quad (23-1)$$

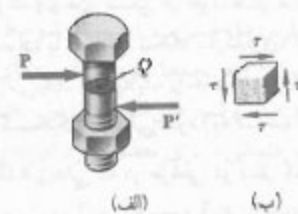
برای تعیین تنش برشی نهایی، یا استقامت نهایی برشی یک ماده، روش‌های آزمایشی مختلفی وجود دارد. یکی از رایج‌ترین آنها، پیچش لوله دایره‌ای است (قسمت ۳-۵). در روشی که دقت کمتری دارد، یک میله مستطیلی یا دایره‌ای را مطابق (شکل ۴۱-۱) در وسیله‌ای قرار می‌دهند. با افزایش بار P ، بار نهایی P_u برای برش تنها بدست می‌آید. اگر انتهای آزاد نمونه روی هر دو طرف قالب‌های آبدیده‌ای قرار گیرد



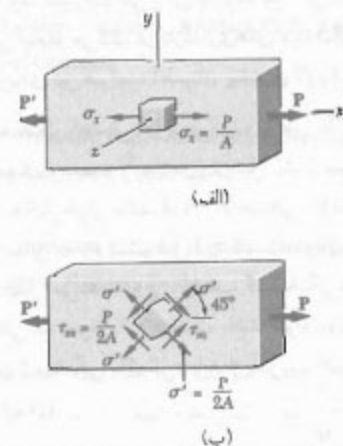
شکل ۴۱-۱



شکل ۴۲-۱



شکل ۳۹-۱



شکل ۴۰-۱

به موازات وجود این عضو هستند انتخاب می‌کنیم. با توجه به نتایج قسمت ۱۱-۱، فقط تنش‌های قائم σ_y بر جوهری از مکعب که بر محور x عمودند وارد می‌شوند (شکل ۴۰-۱الف). ولی، اگر مکعب حول محور z به اندازه 45° بچرخد به طوری که بر مقاطع شکل‌های ۳۱-۱ و ۳۱-۲ مطابق شود، تنش‌های قائم و برشی با مقدار مساوی بر چهار وجه آن وارد می‌شوند (شکل ۴۰-۱ب). لذا، بر حسب وضعیت جزء تحت بارگذاری، حالت‌های مختلف تنش در آن به وجود می‌آید. در فصل ۷، در این باره بیشتر بحث می‌شود.

۱۳-۱ نکات طراحی

در قسمت‌های قبل، نحوه تعیین تنش در میله‌ها، پیچ و مهره‌ها، و مفصل‌ها را تحت شرایط بارگذاری ساده آموختیم. در فصل‌های بعد، تنش‌های اراده‌ای پیچیده‌تر تعیین می‌کنیم. ولی، در کاربردهای مهندسی، به ثابت پیش می‌آید که تعیین تنش تنها هدف باشد. بلکه، مهندسان می‌خواهند از این موضوع

۲. تعداد بارگذاری‌های ممکن در طول عمر سازه یا ماشین. در اغلب مواد، با افزایش تعداد بارگذاری، استقامت نهایی کاهش می‌یابد. این پدیده را خستگی می‌گویند و می‌تواند باعث گیختگی ناگهانی شود (به قسمت ۷-۲ نگاه کنید).

۳. نوع بارگذاری‌هایی که در طراحی در نظر گرفته می‌شوند، یا ممکن است در آینده به وجود آیند. تعداد بسیار اندکی از بارگذاری‌ها را می‌توان با دقت کامل پیش‌بینی کرد - اغلب بارگذاری‌های طراحی دارای تخمین‌های صنعتی‌اند به علاوه، تغیرات آتی برای کاربرد، تغییراتی را در بارگذاری واقعی ایجاد می‌کند. در بارگذاری‌های دینامیکی، چرخه‌ای، یا ضربه‌ای نیز ضرایب اطمینان بیشتری لازم است.

۴. نوع گیختگی احتمالی. مواد شکننده به طور ناگهانی گیخته می‌شوند، و معمولاً علامتی از قبل نشان نمی‌دهند. ولی، مواد چکش خوار مانند فولاد ساختمانی، با نشان دادن یک تغییر شکل به نام تسلیم قبل از شکست، درباره وجود اضافه بار اخطار می‌دهند. ولی، اغلب گیختگی‌های کمانشی ناگهانی‌اند، خواه ماده شکننده باشد خواه نباشد. در صورت امکان گیختگی ناگهانی، باید از ضریب اطمینان بزرگتری استفاده کرد.

۵. خطای ناشی از روش‌های تحلیل. در تمام روش‌های طراحی، از فرض‌های ساده‌کننده استفاده می‌شود. لذا، تنش‌های واقعی با مقدار تقریبی محاسبه می‌شوند.

عوایض ایجاد شده در آینده بر اثر تعمیر و نگهداری ضعیف یا بر اثر عوامل طبیعی غیر قابل اجتناب. در نقاطی که کنترل شرایطی چون خوردگی و افت کیفیت کار مشکلی است، از ضریب اطمینان بزرگتر باید استفاده کرد.

۶. اهمیت یک عضو برای یکپارچگی کل سازه. عضوهای مهار کننده را در بسیاری از موارد می‌توان با ضریب اطمینان کمتر از ضرایب اطمینان عضوهای اصلی طراحی کرد.

علاوه بر نکات بالا، خطر جانی و مالی را که گیختگی در پی دارد باید در نظر گرفت. وقتی گیختگی خطر جانی ندارد و فقط اندکی خطر مالی دارد، می‌توان از ضریب اطمینان کمتری استفاده کرد. گفتنی است که با استفاده از ضریب اطمینان بیش از اندازه، ماشین ممکن است در شرایط طراحی کار نکند. مثلاً، ضرایب اطمینان بزرگ تأثیر نامطلوبی بر وزن یک هواپیما دارد.

* در اغلب رشته‌های مهندسی، به خصوص مهندسی هوافضا، به جای ضریب اطمینان از حلقه اطمینان استفاده می‌شود، که برابر است با ضریب اطمینان نهایی: ۱ یعنی، $F.S. = ۱/۰۰$.

(شکل ۴-۱)، بار نهایی برای، برش دوگانه بعدست می‌آید. در هر حالت، از تقسیم بار نهایی بر مساحت کلی که تحت برش قرار دارد، تنش برشی نهایی را بدست می‌آید. در حالت برش تنها، این مساحت عبارت است از مساحت مقطع عرضی A نموده، و در تنش دوگانه برابر است با دو برابر مساحت مقطع عرضی آن.

ب- بار مجاز و تنش مجاز؛ ضریب اطمینان. ماکریم باری که یک عضو ساختمانی یا یک قطعه ماشینی مجاز است تحت شرایط معمولی تحمل کند خیلی کمتر از بار نهایی است، و آن را بار مجاز و، گاهی، بار کاری یا بار طراحی می‌گویند. لذا، برای اطمینان از عملکرد عضو، فقط بار مجاز که کسری از بار نهایی عضو است مورد استفاده قرار می‌گیرد. نسبت بار نهایی به بار مجاز را ضریب اطمینان^{*} می‌گویند:

$$\frac{\text{بار نهایی}}{\text{بار مجاز}} = F.S. = \text{ضریب اطمینان} \quad (۲۴-۱)$$

یک تعریف دیگر برای ضریب اطمینان چنین است:

$$\frac{\text{تش نهایی}}{\text{تش مجاز}} = F.S. = \text{ضریب اطمینان} \quad (۲۵-۱)$$

اگر یک رابطه خطی بین بار و تنش وجود داشته باشد، دو عبارت داده شده برای ضریب اطمینان در معادله‌های (۲۴-۱) و (۲۵-۱) همانند. ولی، در اغلب کاربردهای مهندسی، وقتی بار به مقدار نهایی اش نزدیک می‌شود، این رابطه خطی از بین می‌رود و ضریب اطمینان حاصل از معادله (۲۵-۱)، یک ارزیابی واقعی برای ضریب اطمینان طراحی نیست. با وجود این، از روش تنش مجاز طراحی (معادله ۲۵-۱) خیلی استفاده می‌شود.

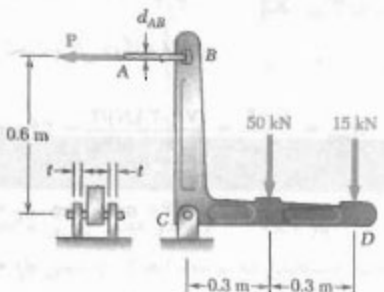
ج- انتخاب ضریب اطمینان مناسب. انتخاب ضریب اطمینان یکی از مهم‌ترین وظایف مهندسی است. اگر ضریب اطمینان خیلی کوچک باشد، امکان گیختگی وجود دارد و اگر خیلی بزرگ باشد، طرح غیر اقتصادی یا غیر عملی می‌شود. انتخاب ضریب اطمینان مناسب نیاز به قضاوت مهندسی دارد، و این قضاوت به عوامل بسیاری بستگی دارد که در زیر چند نمونه آورده شده‌اند:

۱. تغییراتی که ممکن است در خواص عضو روی دهد. ترکیب، استقامت و ابعاد عضو در صمن ساخت، تغییرات کوچکی می‌دهند. به علاوه، خواص ماده ممکن است تغییر کند. مثلاً، بر اثر گرمایش، ممکن است تنش‌های باقیمانده در عضو به وجود آید. در هنگام ساخت، ابتار کردن یا انتقال، ممکن است عضو دستخوش تغییر شکل شود.

بزرگتر است. در این کتاب، از روش طراحی بر مبنای تنش مجاز استفاده شده است. ولی، در این فصل و فصل های ۵ و ۱۰، چند مسئله نیز با استفاده از روش LRFD حل شده اند.

مثاله نمو نه ۱-۳

مطابق شکل، دو نیرو بر براکت BCD وارد شده‌اند. (الف) اگر میله کنترل AB از فولاد با تنش قائم نهایی 60 MPa باشد، قطر آن را برای ضریب اطمینان $3/2$ در برابر گسیختگی بساید.
 (ب) مفصل C از فولاد با تنش برشی نهایی 35 MPa ساخته شده است. قطر آن را برای ضریب اطمینان $3/2$ در برابر برش بساید. (ج) فخامت مواد نیاز تکه گاه C را بساید در صورتی که تنش تکه گاهی مجاز فولاد به کار رفته 30 MPa باشد.



4

جسم آزاد تمام براکت. واکنش در C با مولفه‌های C_x و C_y نشان داده شده است.

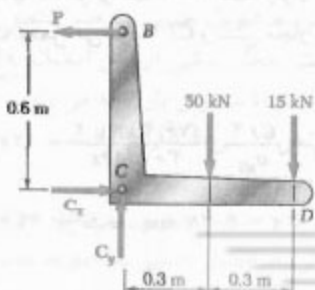
$$P(\circ, \hat{r} m) - (\Delta \circ kN)(\circ, \hat{r} m) - (\nabla \Delta kN)(\circ, \hat{r} m) = \circ$$

$P = \nabla \circ kN$

$$\sum F_x = 0 : \quad C_r = 70 \text{ kN}$$

$$\sum F_y = 0 : \quad C_u = 95 \text{ kN}$$

$$\Rightarrow C = \sqrt{C_x^2 + C_y^2} = \sqrt{9} \cdot 10^3 \text{ kN}$$



در اغلب کاربردها، ضرایب اطمینان توسط آیین نامه ها تعیین می شوند. این آیین نامه ها توسط کمیته های مشکل از مهندسان محترم نوشته می شود. در زیر، چند نمونه از آیین نامه های ساختمانی را برای بعضی مواد آورده ایم.

- 1 -

American Institute of Steel Construction, Specifications for
Structural Steel Buildings

۲۷

American Concrete Institute, Building Code Requirements
for Structural Concrete

۱۰۷

American Forest and Paper Association, National Design
Specification for Wood Construction

۴۰۰

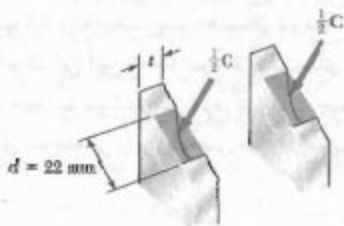
American Association of State Highway Officials, Standard
Specifications for Highway Bridges

د. طراحی بر مبنای ضریب بار و مقاومت. کفته‌یم که در طراحی مبتنی بر تنش مجاز، تمام عدم قطعیت‌ها در طراحی یک عضو ساخته‌نامی یا قطعه مکانیکی را می‌توان با ضریب اطمینان از بین نبرد. در روش دیگری که مقبولیت زیادی در بین مهندسان ساخته‌نام دارد، برای تفکیک این عدم قطعیت‌های سازه و باری که سازه برای تحمل آن طرح می‌شود می‌توان از سه ضریب مختلف استفاده کرد. این روش، که آن را طراحی بر مبنای ضریب بار و مقاومت (*LRFD*) می‌گویند به طراحی این امکان را نیز می‌دهد که بین عدم قطعیت‌های بار و زنده P_1 ، یعنی باری که توسط سازه تحمل می‌شود، و بارهای دیگر P_2 ، یعنی وزن قسمتی از سازه که در بار کل سهم دارد، تمايز قابل شود.

هنگام استفاده از این روش، ابتدا باید بار نهایی P سازه، یعنی ساری که تحت آن سازه غیر قابل استفاده می‌شود، تعیین کرد. اگر نامساوی زیر برقرار باشد، طرح پیشنهادی قابل قبول است:

$$\gamma_D P_{D^*} + \gamma_L P_L \leq \phi P_U \quad (\text{YF-1})$$

ضریب فراز ضرب مقاومت می‌گویند؛ این ضریب عدم قطعیت‌های مربوط به سازه را در نظر می‌گیرد و معمولاً کمتر از ۱ است؛ ضرایب ۰.۷ و ۰.۶ را ضرایب بار می‌گویند. این ضرایب، به ترتیب، عدم قطعیت‌های بار مرده و بار نامنده را در نظر می‌گیرند و معمولاً از ۰.۷ معمولاً از ۰.۶ باشند.



الف - میله کترل AB، چون ضریب اطمینان ۳/۲ است،
تنش مجاز برابر است با:

$$\sigma_{\text{all}} = \frac{\sigma_U}{F.S.} = \frac{۹۰ \text{ MPa}}{۳/۲} = ۱۸۱ \text{ MPa}$$

برای $P = ۴۰ \text{ kN}$ ، مساحت مقطع عرضی مورد نیاز عبارت است از:

$$A_{\text{req}} = \frac{P}{\sigma_{\text{all}}} = \frac{۴۰ \text{ kN}}{۱۸۱ \text{ MPa}} = ۲۲۰ \times 10^{-۶} \text{ m}^2$$

$$A_{\text{req}} = \frac{\pi}{۴} d_{AB}^2 = ۲۲۰ \times 10^{-۶} \text{ m}^2 \Rightarrow d_{AB} = ۱۷.۷ \text{ mm} \ll$$

ب - پرش در مفصل C. برای ضریب اطمینان ۳/۲، داریم

$$\tau_{\text{all}} = \frac{\tau_U}{F.S.} = \frac{۱۵۰ \text{ MPa}}{۳/۲} = ۱۰۶ \text{ MPa}$$

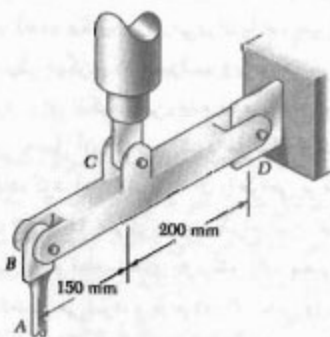
چون مفصل تحت پرش دوگانه است،

$$A_{\text{req}} = \frac{C/\tau}{\tau_{\text{all}}} = \frac{(V\tau/۳ \text{ kN})/\tau}{۱۰۶ \text{ MPa}} = ۳۶۰ \text{ mm}^2$$

$$A_{\text{req}} = \frac{\pi}{۴} d_C^2 = ۳۶۰ \text{ mm}^2 \Rightarrow d_C = ۲۱.۴ \text{ mm}$$

$$d_C = ۲۲ \text{ mm} \ll$$

از قطر 22 mm برای مفصل استفاده می شود.



حل

ضریب اطمینان، در ابتدۀ باگسیختگی، در هر سه پیچ و مهره و در میله کترل باید 3 یا بیشتر باشد. این چهار معیار مستقل را به طور جداگانه بررسی می کنیم.

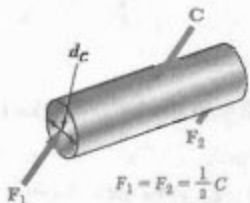
جسم آزاد: تیر BCD . ابتدا نیرو در C را بر حسب نیروهای واردۀ در B و D می بابیم.

$$+\sum M_B = ۰ :$$

$$B(۳۵۰ \text{ mm}) - C(۲۵۰ \text{ mm}) = ۰ \Rightarrow C = ۱,۷۵۰ \cdot B \quad (1)$$

$$+\sum M_B = ۰ :$$

$$-D(۳۵۰ \text{ mm}) + C(۱۵۰ \text{ mm}) = ۰ \Rightarrow C = ۲,۷۷ D \quad (2)$$



ج - تنش تکیه گاهی در C . یا استفاده از $d = ۲۲ \text{ mm}$ مساحت نامی تکیه گاه هر برآکت 22×2 است. چون نیرویی که توسط هر برآکت تحمل می شود $2 \times ۱۰۶ \text{ MPa}$ و تنش مجاز تکیه گاهی ۳۰ MPa است،

$$A_{\text{req}} = \frac{C/2}{\sigma_{\text{all}}} = \frac{(V\tau/۳ \text{ kN})/2}{۳۰ \text{ MPa}} = ۱۲۷/۲ \text{ mm}^2$$

لذا، $22 \times 2 = ۱۲۷/۲$. در نتیجه، $t = ۵/۷ \text{ mm}$ از $t = ۶ \text{ mm}$ استفاده می شود.

پیچ و مهره

چون این پیچ و مهره مانند B است، نیروی مجاز چنین است:
 $D = B = 12,66 \text{ kN}$

$$C = 2,33 D = 2,33(12,66 \text{ kN}) \Rightarrow C = 24,16 \text{ kN} \quad \square$$

پیچ و مهره

مجدداً، $\tau_{\text{all}} = 93,33 \text{ MPa}$ و می‌نویسیم:

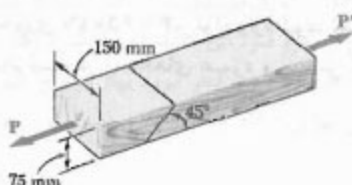
$$C = 2 F_i = 2 (\tau_{\text{all}} A) = 2 (93,33 \text{ MPa}) \left(\frac{1}{4} \pi\right) (12 \times 10^{-3} \text{ m})^2 \\ \Rightarrow C = 21,11 \text{ kN} \quad \square$$

خلاصه، چهار مقدار ماکریم مجاز را برای نیرو در C تعیین کردیم. برای برقراری تمام این معیارها، کوچکترین مقدار را انتخاب می‌کنیم؛ یعنی،

$$C = 21,11 \text{ kN} \quad \square$$

مسائل

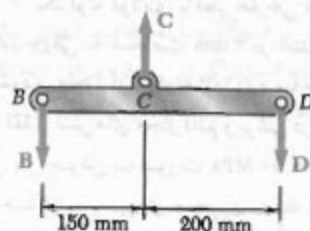
۲۹-۱ ۱۱ بار $P = 11 \text{ kN}$ بر دو عضو چوبی با مقطع عرضی یکنواخت مستطیلی که توسط اتصال چسبی به هم متصل شده‌اند، وارد شده است. تنش‌های قائم و برشی در این اتصال را باید.



شکل م ۲۹-۱ و ۳۰-۱

۳۰-۱ دو عضو چوبی با مقطع عرضی یکنواخت مستطیلی توسط اتصال چسبی به هم متصل شده‌اند. اگر ماکریم تنش مجاز برشی در این اتصال 620 kPa باشد، مطلوب است: (الف) بیشترین بار P که می‌توان با اطمینان وارد کرد، (ب) تنش کششی متناظر در وصله.

۳۱-۱ دو عضو چوبی با مقطع عرضی یکنواخت مستطیلی توسط اتصال چسبی به هم متصل شده‌اند. اگر $P = 5,7 \text{ kN}$ ، تنش‌های قائم و برشی در این اتصال را باید.



میله کترول. برای ضریب اطمینان ۳/۰

$$\sigma_{\text{all}} = \frac{\sigma_U}{F.S.} = \frac{420 \text{ MPa}}{3,0} = 140 \text{ MPa}$$

نیروی مجاز در میله کترول چنین است:

$$B = \sigma_{\text{all}} (A) = (140 \text{ MPa}) \frac{1}{4} \pi (11 \times 10^{-3} \text{ m})^2 = 13,3 \text{ kN}$$

با استفاده از معادله (۱)، بیشترین مقدار مجاز C برابر است با:

$$C = 1,750 \cdot B = 1,750 \cdot (13,3 \text{ kN}) \Rightarrow C = 24,25 \text{ kN} \quad \square$$

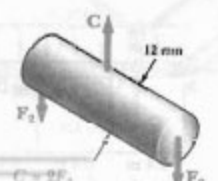
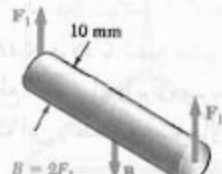
پیچ و مهره

۲۹-۲ $\tau_{\text{all}} = \tau_U / F.S. = (480 \text{ MPa}) / 3 = 93,33 \text{ MPa}$
مهره تحت برش دوگانه است، مقدار مجاز نیروی B وارد بر پیچ و مهره عبارت است از:

$$B = 2 F_i = 2 (\tau_{\text{all}} A) = 2 (93,33 \text{ MPa}) \left(\frac{1}{4} \pi\right) (10 \times 10^{-3} \text{ m})^2 \\ = 14,66 \text{ kN}$$

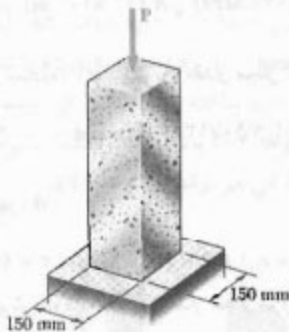
از معادله (۱)

$$C = 1,750 \cdot B = 1,750 \cdot (14,66 \text{ kN}) \Rightarrow C = 25,99 \text{ kN} \quad \square$$



۳۴-۱ یک لوله فولادی با قطر خارجی 300 mm از طریق جوش دادن ورقی به ضخامت 6 mm در امتداد مارپیچی که با صفحه عمود بر محور لوله زاویه 25° دارد ساخته شده است. اگر ماکریعم مقدار تنش‌های مجاز قائم و برشی در امتدادهای عمود و مماس بر جوش به صورت $\sigma = 50\text{ MPa}$ و $\tau = 30\text{ MPa}$ باشد، ماکریعم نیروی محوری را که می‌توان بر لوله وارد کرد بیابید.

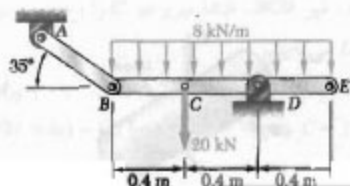
۳۵-۱ ۱ بار $960\text{ kN} = P$ بر قطعه گرانیتی نشان داده شده اثر می‌کند. ماکریعم مقدار تنش‌های قائم و برشی را بیابید. وضعیت صفحه متناظر با هر یک از این مقادیر ماکریعم مشخص کنید.



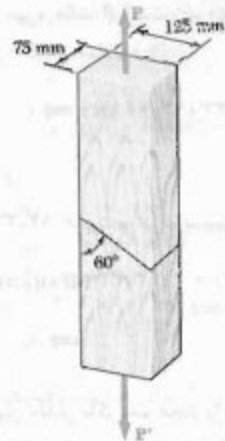
شکل ۳۵-۱ م و ۳۶-۱

۳۶-۱ ۱ بار مرکزی P بر قطعه گرانیتی نشان داده شده اثر می‌کند. اگر ماکریعم مقدار تنش برشی حاصل در قطعه باشد، مطلوبست: (الف) مقدار P ، (ب) وضعیت سطوحی که ماکریعم تنش برشی بر آن وارد می‌شود، (ج) تنش قائم واردہ بر آن سطح، (د) ماکریعم مقدار تنش قائم در قطعه.

۳۷-۱ رابط AB از فولاد با تنش قائم نهایی 450 MPa است. مساحت مقطع عرضی آن را برای ضرب اطمینان $3/5$ بخوبی بیابید. فرض کنید که این رابط در مفصل‌های A و B به خوبی تقویت شده است.



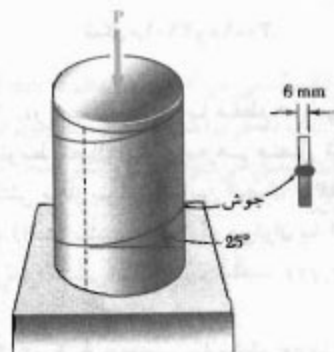
شکل ۳۷-۱



شکل ۳۶-۱ م و ۳۱-۱

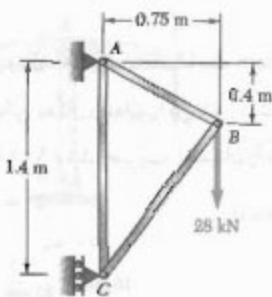
۳۲-۱ دو عضو چوبی با مقطع عرضی یکنواخت مستطبی توسط اتصال چسبی به هم متصل شده‌اند. اگر ماکریعم تنش مجاز کششی در این اتصال 525 kPa باشد، مطلوبست: (الف) بیشترین بار P که با اطمینان تحمل می‌شود، (ب) تنش برشی متناظر در این اتصال.

۳۳-۱ یک لوله فولادی با قطر خارجی 300 mm از طریق جوش دادن ورقی به ضخامت 6 mm در امتداد مارپیچی که با صفحه عمود بر محور لوله زاویه 25° دارد ساخته شده است. اگر نیروی محوری $P = 250\text{ kN}$ بر لوله وارد شود، تنش‌های قائم و برشی، به ترتیب، در امتدادهای عمود و مماس بر جوش را بیابید.



شکل ۳۶-۱ م و ۳۴-۱

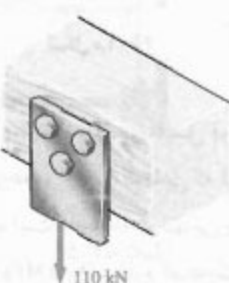
۴۱-۱ عضوهای AB و AC میله‌های هم جنس با مقطع عرضی چهارگوش ساخته شده‌اند. میله چهارگوشی از همان جنس و به ضلع 20 mm تحت بار 20 kN گشته می‌شود. برای ضرب اطمینان $2/2$ برای هر دو میله، ابعاد مورد نیاز مقطع عرضی آنها را باید.



شکل ۴۱-۱ و ۴۲-۱

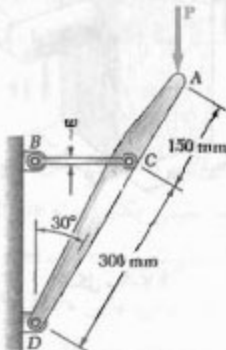
۴۲-۱ عضوهای AB و AC میله‌های هم جنس با مقطع عرضی چهارگوش ساخته شده‌اند. میله چهارگوشی از همان جنس و به ضلع 20 mm تحت بار 20 kN گشته می‌شود. اگر مقطع عرضی میله AB به ضلع 15 mm باشد، مطلوب است: (الف) ضرب اطمینان برای میله AB . (ب) ابعاد مقطع عرضی میله AC در صورتی که دلایی ضرب اطمینان میله AB باشد.

۴۳-۱ برای اتصال ورق فولادی نشان داده شده به یک تیر چوبی، از سه پیچ و مهره فولادی استفاده می‌شود. اگر بار 110 kN بر این ورق وارد شود، قطر مورد نیاز پیچ و مهره را باید. تنش برخی نهایی فولاد 260 MPa و ضرب اطمینان $3/35$ باشد.



شکل ۴۳-۱ و ۴۴-۱

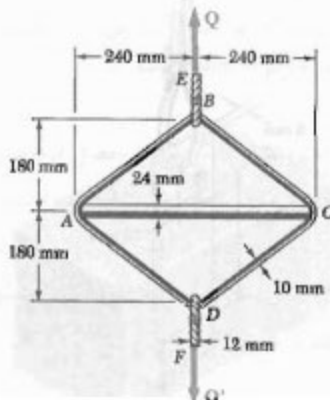
۳۸-۱ بازوی افقی BC به ضخامت 6 mm و به عرض $w = 25\text{ mm}$ است، و از فولاد با استقامت نهایی کششی 450 MPa ساخته شده است. اگر این سازه برای تحمل بار طرح شده باشد، ضرب اطمینان چقدر است؟



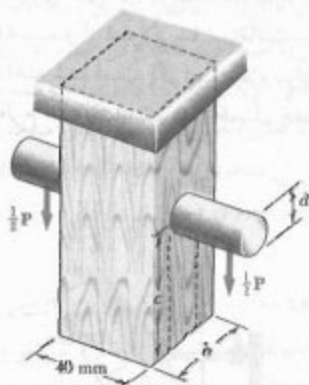
شکل ۳۸-۱ و ۳۹-۱

۳۹-۱ بازوی افقی BC به ضخامت 6 mm با استقامت نهایی کششی 450 MPa ساخته شده است. اگر این سازه برای تحمل بار $P = 32\text{ kN}$ طرح شده باشد، عرض w برای ضرب اطمینان چقدر است؟

۴۰-۱ حلقه فولادی $ABCD$ به طول $1/2\text{ m}$ و به قطر 10 mm ، مطابق شکل، پیرامون میله آلومینیمی AC به قطر 24 mm قرار گرفته است. از کابل‌های BE و DF ، هر یک به قطر 12 mm ، برای اعمال بار Q استقامت نهایی میله 480 MPa و استقامت نهایی حلقه و کابل‌ها باشد، بیشترین بار Q را برای ضرب اطمینان کلی 3 باید.



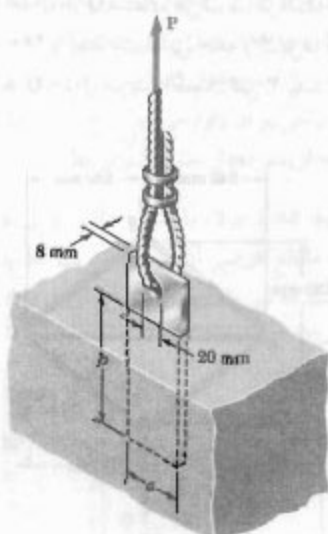
شکل ۴۰-۱



شکل ۴۷-۱

۴۸-۱ در مسئله ۴۷-۱، اگر $P = 70 \text{ kN}$ و $d = 16 \text{ mm}$ باشد، مطلوب است: (الف) ضربی اطمینان مفصل، (ب) مقدار b و c در صورتی که ضربی اطمینان مفصل $2/3$ باشد.

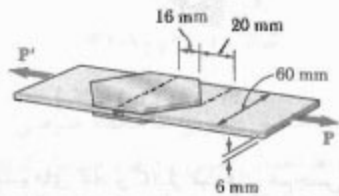
۴۹-۱ یک ورق فولادی به ضخامت 8 mm در یک تیغه افقی قرار گرفته است و از آن برای مهار کردن یک کابل عمودی پر مقاومت استفاده شده است. قطر سوراخ داخل ورق 20 mm است، استقامت نهایی فولاد به کار رفته 250 MPa است، و تنش اتصالی نهایی بین ورق و بتون 2 MPa است. اگر ضربی اطمینان برای بار $P = 10 \text{ kN}$ برابر با $3/5$ باشد، مطلوب است:



شکل ۴۹-۱

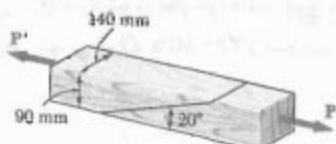
۴۴-۱ از سه پیچ و مهره فولادی به قطر 18 mm برای متصل کردن ورق فولادی نشان داده شده به یک تیر چوبی استفاده می‌شود. اگر بار 110 kN بر این ورق وارد شود و تنش برشی نهایی این فولاد 360 MPa باشد، ضربی اطمینان را بیابید.

۴۵-۱ دو ورق، هر یک به ضخامت 2 mm ، برای اتصال یک نوار پلاستیکی به کار رفته‌اند. اگر تنش برشی نهایی اتصال بین سطوح 90 kPa باشد، ضربی اطمینان را در رابطه با برش بیابید. $P = 1/3 \text{ kN}$



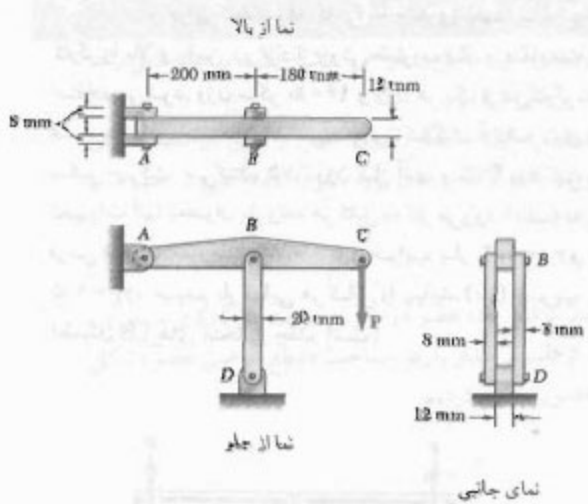
شکل ۴۵-۱

۴۶-۱ دو عضو چوبی با مقطع عرضی یکنواخت مستطیلی $90 \times 140 \text{ mm}$ توسط اتصال چسبی به هم متصل شده‌اند. اگر ماکریم تنش برشی مجاز در این اتصال 520 kPa باشد، ماکریم بار محوری P را بیابید.



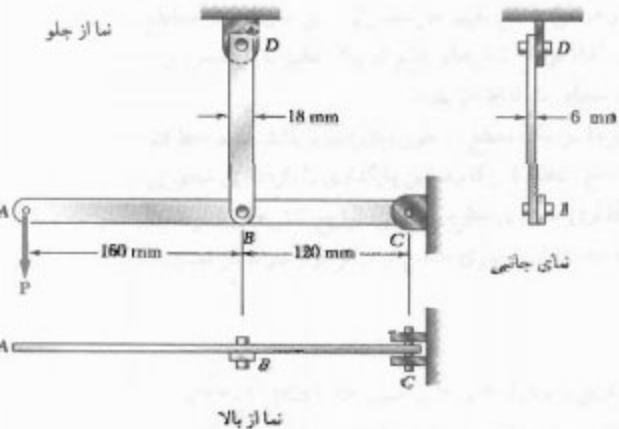
شکل ۴۶-۱

۴۷-۱ بار P ، مطابق شکل، بر مفصل فولادی وارد شده است. این مفصل در عضو چوبی گوتاهی که از سقف آویزان است جا زده شده است. استقامت نهایی چوب در کشش 4 MPa و در برش $7/5 \text{ MPa}$ است، و استقامت نهایی فولاد در برش 100 MPa است. $c = 55 \text{ mm}$ ، $b = 40 \text{ mm}$ و $d = 12 \text{ mm}$. بار P را برای ضربی اطمینان کلی $3/2$ بیابید.



شکل م-۱۴ و ۱۵

۵۵-۱ در سازه فولادی نشان داده شده، قطع پین‌های B ، C و D ، به ترتیب، 6 mm ، 12 mm و 10 mm است. تنش برش نهایی در تمام اتصالات 150 MPa و تنش قائم نهایی در میله BD برابر با 400 MPa است. برای ضریب اطمینان 3 ، ماکزیمم بار P را بیابید. میله BD در پیرامون سوراخ پین‌ها تقویت نشده است.



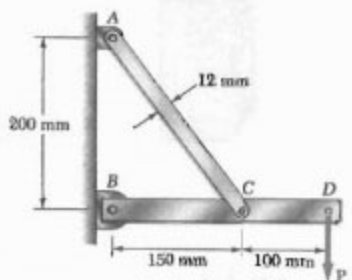
شکل م-۱۶

۵۶-۱ مسئله ۱-۵۵ را با این فرض حل کنید که قطر پین‌های A و B برابر با 12 mm باشد.

(الف) عرض a مورد نیاز ورق، (ب) مینیمم عمق b جایگذاری ورق با آن عرض در تیغه بتی، (از تنش‌های قائم بین پتن و انتهای پایینی ورق صرفنظر کنید).

-۱۵۰ در مسئله ۱-۴۹-۱، اگر $P = 12\text{ kN}$ ، ضریب اطمینان را برای مهار کابل بیابید.

۵۱-۱ میله فولادی AC دارای تنش قائم نهایی 250 MPa مقطع عرضی مستطیلی یکنواخت $12\text{ mm} \times 6\text{ mm}$ است. قطر پین‌های A ، B و C ، به ترتیب، 10 mm ، 8 mm و 6 mm است. پین‌ها از فولاد با تنش برش نهایی 170 MPa هستند و تحت برش تنها قرار دارند. برای ضریب اطمینان 3 ، 25 ، ماکزیمم بار P را بیابید. میله AC در پیرامون سوراخ پین‌ها تقویت نشده است.



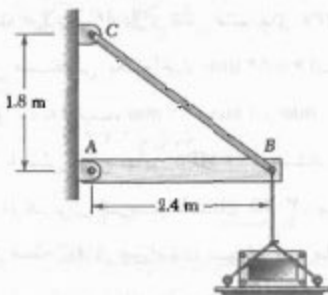
شکل م-۱۶

۵۲-۱ مسئله ۱-۵۱ را با این فرض حل کنید که قطر پین‌های A ، B و C برابر با 8 mm باشد.

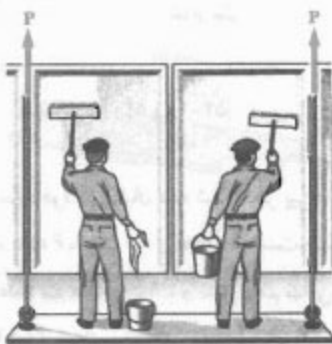
۵۳-۱ در سازه نشان داده شده، از مفصل A به قطر 8 mm و مفصل‌های B و C به قطر 12 mm استفاده شده است. اگر تنش برش نهایی در تمام اتصالات 100 MPa باشد و تنش قائم نهایی در هر یک از دو عضوی که B و D را به هم متصل می‌کند 250 MPa باشد، پار مجاز P را برای ضریب اطمینان کلی 3 بیابید.

۵۴-۱ مسئله ۱-۵۳ را با این فرض حل کنید که قطر مفصل A برابر با 10 mm باشد.

۵۷-۱^{*} برای انتخاب دو کابلی که سکوی نگهدارنده دو کارگر را بالا و پایین می‌برد از روش ضرب بار و مقاومت استفاده می‌شود. وزن سکو 16 lb و وزن هر یک از دو کارگر، همراه با تجهیزات، 195 lb است. چون کارگران آزادانه روی سکو حرکت می‌کنند، 75% وزن کل آنها و 75% وزن کل تجهیزات آنها به عنوان بار زنده هر کابل به کار می‌رود (الف) به فرض ضرب بار مقاومت $1,85\text{ lb}$ و ضرب بار $1/2$ و $\gamma_L = 1,5$ ، میبینم بار نهایی هر کابل را باید (ب) ضرب بار اطمینان کابل‌های انتخابی چقدر است؟



شکل ۵۸-۱



شکل ۵۷-۱

مرور و خلاصه فصل ۱

در این فصل، مفهوم تنش و روش‌های تحلیل و طراحی ماشین‌آلات و سازه‌هایی را در تحت بارگذاری قرار می‌گیرند بررسی کردیم.

در قسمت ۲-۱، کاربرد روش‌های استاتیک را برای تعیین واکنش در تکیه‌گاههای یک سازه مرور کردیم. از نمودار جسم آزاد نیز برای تعیین نیروهای داخلی در عضوهای مختلف سازه استفاده کردیم.

بارگذاری محوری. تنش قائم

در قسمت ۱-۳، با در نظر گرفتن یک عضو دوپریوی تחת بارگذاری محوری، مفهوم تنش را بررسی کردیم. از تقسیم مقدار بار بر مساحت مقطع عرضی عضو (شکل ۱-۱۸-الف)، تنش قائم در آن عضو را تعیین کردیم:

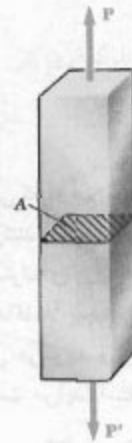
$$\sigma = \frac{P}{A} \quad (۱-۱)$$

در قسمت ۱-۴، درباره تحلیل و طراحی سازه‌ها و ماشین‌آلات بحث کردیم. همانطور که در قسمت ۱-۵ گفته شد، مقدار σ حاصل از معادله (۱-۱) تنش متوسط در مقطع را نشان می‌دهد نه تنش در نقطه خاص Q از آن مقطع را. با در نظر گرفتن مساحت A در پیامون نقطه Q و مقدار نیروی وارد بر آن، تنش در آن نقطه را به صورت زیر تعریف کردیم:

$$\sigma = \lim_{\Delta A \rightarrow 0} \frac{\Delta F}{\Delta A} \quad (۱-۲)$$

به طور کلی، مقدار حاصله برای σ در نقطه Q با مقدار تنش متوسط حاصل از فرمول (۱-۱) متفاوت است. تنش σ در عرض مقطع تغییر می‌کند. ولی، این تغییرات در مقاطع دوران نطاً اثر بار کوچک است. لذا، توزیع تنش‌های قائم در یک عضو با بار محوری را یکنواخت فرض می‌کیم مگر در مجاورت نقاط اثر بارها.

البته، برای اینکه توزیع تنش‌ها در یک مقطع به طور یکنواخت باشد، باید خط اثر بارهای P و P' از مرکز وار آن مقطع (نقطه C) بگذرد. این بارگذاری را بارگذاری محوری مرکزی می‌گویند. در حالت بارگذاری محوری خارج از مرکز، توزیع تنش‌ها یکنواخت نیست. تنش در عضوهایی را که تحت بار محوری خارج از مرکز قرار دارند در فصل ۴ بررسی می‌کیم.

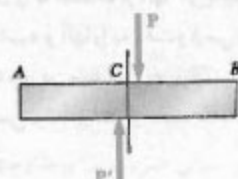


شکل ۱-۱۸-الف

با اعمال نیروهای عرضی مساوی و متضاد P و P' بر عضو AB (شکل ۱-۱۶-الف)، تنش برشی τ در مقاطع بین نقاط اثر دو نیرو به وجود می‌آید (قسمت ۱-۶). این تنش در عرض مقطع به طور قابل توجه تغییر می‌کند و توزیع آن را نیز تواد یکنواخت فرض کرد. تنش برشی متوسط در یک مقطع از رابطه زیر بدست می‌آید:

$$\tau_{ave} = \frac{P}{A} \quad (۱-۳)$$

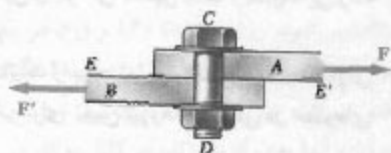
نیروهای عرضی. تنش برشی



شکل ۱-۱۶-الف

در پیچ و مهره‌ها، مفصل‌ها، یا پرج‌ها نیز تنش برشی به وجود می‌آید. مثلاً در پیچ و مهره CD (شکل ۱۸-۱)، که تحت برش تنها است.

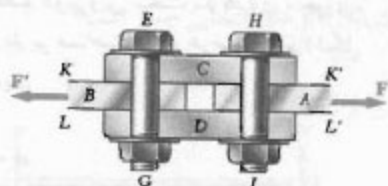
$$\tau_{ave} = \frac{P}{A} = \frac{F}{A} \quad (9-1)$$



شکل ۱۸-۱

ولی، در پیچ و مهره‌های EG و HJ (شکل ۲۰-۱)، که هر دو تحت برش دوگانه‌اند،

$$\tau_{ave} = \frac{P}{A} = \frac{F/2}{A} = \frac{F}{2A} \quad (10-1)$$



شکل ۲۰-۱

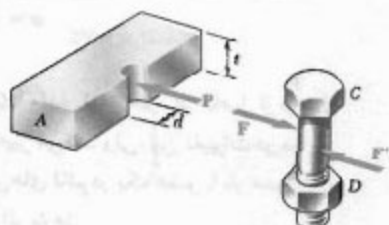
پیچ و مهره‌ها، مفصل‌ها، و پرج‌ها نیز در عضوهایی که به هم متصل می‌کنند در امتداد سطح تکه گاهی، یا سطح تماس، ایجاد تنش می‌کنند (قسمت ۷-۱). مثلاً پیچ و مهره CD در شکل ۱۸-۱، تنش‌هایی را بر سطح نیم استوانه‌ای ورق $\frac{1}{4}$ که با پیچ تماس دارد وارد می‌کند (شکل ۲۲-۱). چون توزیع این تنش‌ها کاملاً پیچیده است، در عمل از مقادیر نامی تنش متوسط (σ_b)، که آن را تنش تکه گاهی می‌گویند و از تقسیم بار P بر مساحت مستطیلی تصویر پیچ و مهره روی ورق بدست می‌آید، استفاده می‌شود. اگر ضخامت ورق را با t و قطر سوراخ را با d نشان دهیم،

$$\sigma_b = \frac{P}{A} = \frac{P}{\frac{\pi d^2}{4}} \quad (11-1)$$

در قسمت ۸-۱، برای تحلیل یک سازه ساده منشکل از دو عضو با اتصال مفصلی، از مفاهیم قبل استفاده کردیم؛ یعنی، تنش‌های قاتم در این دو عضو، باریکترین مقاطع، تنش‌های برشی در مفصل‌های مختلف و تنش تکه گاهی در هر اتصال را بررسی کردیم.

در قسمت ۹-۱، روش حل مسائل مقاومت مصالح را توضیح دادیم، و گفتیم که حل باشد با یک بیان واضح و دقیق از مسئله شروع شود. آنگاه، پس از ترسیم چند نمودار آزاد، معادله‌های تعادل را نوشت و نیروهای مجهول را با استفاده از آنها می‌یابیم. با حل این نیروها، تنش‌ها و تغییرشکل‌های مورد نیاز را محاسبه و آنها را به دقت و لوسی می‌کنیم. قسمت اول این فصل را با بحث درباره دقت عددی در مهندسی به پایان بردهیم، و به این نکته توجه داشتیم که دقت پاسخ هیچ وقت نمی‌تواند بیشتر از دقت داده‌ها باشد (قسمت ۱۰-۱).

تش تکه گاهی



شکل ۲۲-۱

روش حل

در قسمت ۱۱-۱، تنش‌های ایجاد شده در یک مقطع مایل را در عضو دونبرویس که تحت بارگذاری محوری قرار داشت بررسی کردیم. دیدیم که در این حالت هر دو تنش قائم و تنش برشی بدون وجود می‌آیند. زاویه مقطع با یک صفحه عمودی را با θ (شکل ۱-۳۰الف) و مساحت مقطع عمود بر محور عضو را با A_0 نشان دادیم و عبارتهای زیر را برای تنش قائم σ و تنش برشی τ وارد بر یک مقطع مایل بدست آوریم:

$$\sigma = \frac{P}{A_0} \cos^2 \theta \quad \tau = \frac{P}{A_0} \sin \theta \cos \theta \quad (14-1)$$

دیدیم که تنش قائم برای $\theta = 0^\circ$ دارای مقدار ماکزیمم $\sigma_m = P/A_0$ است، و برای $\theta = 45^\circ$ تنش برشی دارای مقدار ماکزیمم $\tau_m = P/2A_0$ است. همچنین، دیدیم که در $\sigma = P/2A_0$, $\theta = 45^\circ$, $\tau = 0$ و در $\theta = 0^\circ$, $\theta = 0$, $\tau = 0$.

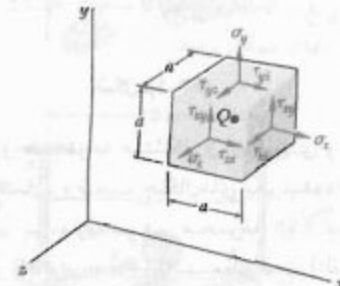
تش در مقطع مایل



شکل ۱-۳۰-الف

درباره حالت تنش در نقطه Q از جسمی که تحت بارگذاری کلی است نیز بحث کردیم (قسمت ۱۲-۱). مکعب کوچکی با مرکز Q را در نظر گرفتیم (شکل ۳۶-۱) و تنش قائم وارد بر یک وجه مکعب را در امتداد عمود بر محور x با σ_x و مولفه‌های لوزی تنش برشی وارد بر همان وجه مکعب را په ترتیب، با τ_{xy} , τ_{xz} و τ_{yz} نشان دادیم. این روش را برای دو وجه دیگر مکعب تکرار کردیم و دیدیم که $\tau_{xy} = \tau_{yx}$, $\tau_{xz} = \tau_{zx}$, $\tau_{yz} = \tau_{zy}$. نتیجه گرفتیم که برای مشخص کردن حالت تنش در نقطه معین Q ، شش مولفه تنش، یعنی σ_x , σ_y , σ_z , τ_{xy} , τ_{xz} , τ_{yz} مورد نیازند.

تش در بارگذاری کلی



شکل ۳۶-۱

در قسمت ۱۳-۱، درباره مقاومیم مختلف در طراحی سازه‌های مهندسی بحث کردیم. دیدیم که بارهایی یک عضو ساخته‌انی یا یک قطعه مکانیکی، باری است که پیش‌بینی می‌شود عضو یا قطعه تحت آن گشخته شود؛ این بار از روی تنش نهایی یا استقامت نهایی ماده، که با آزمایش به دست می‌آید، تعیین می‌شود. بارهایی به طور قابل توجه از بار مجاز بیشتر است (بار مجاز باری است که عضو یا قطعه تحت شرایط عادی تحمل می‌کند). نسبت بار نهایی به بار مجاز را ضریب اطمینان می‌گویند:

$$\frac{\text{بار نهایی}}{\text{بار مجاز}} = F.S. = \text{ضریب اطمینان} \quad (26-1)$$

تعیین ضریب اطمینان، که در طراحی یک سازه باید از آن استفاده کرد، بستگی به عوامل گوناگونی دارد که بعضی از آنها در این قسمت فهرست شدند.

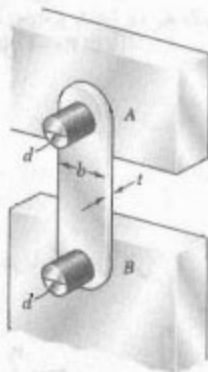
ضریب اطمینان

قسمت ۱۳-۱ را باید درباره روش دیگر طراحی، به نام طراحی بر مبنای ضریب بار و مقاومت، به بیان بردیم. در این روش، عین‌تاں می‌تواند عدم قطعیت‌های مربوط به سازه و بارهایش را هم تکیک کند.

طراحی بر مبنای ضریب بار و مقاومت

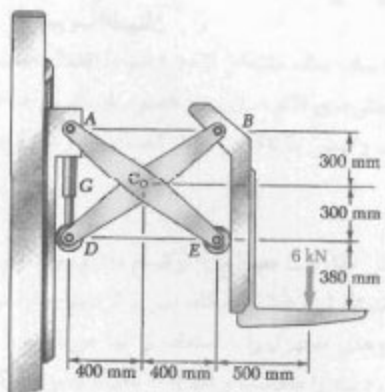
مسائل تكميلي

٥٩-١ ٥٩ برای خربی و بارگذاری نشان داده شده، تنش قائم متوسط را در عضو BE بیابید. مساحت مقطع عرضی این عضو 375 mm^2 است.



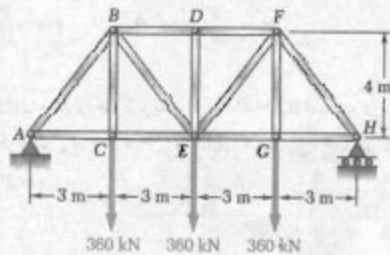
شكل ٤٢-١م

٤٣-١ دو مجموعه مستقل از میله‌بندی و سیلندر هیدرولیکی همان، وضعیت چنگال‌های یک لیفت تراک را کنترل می‌کنند. بار واردۀ بزرگ مجموعه 6 kN است. اگر ضخامت عضو BD برابر 16 mm باشد، مطلوبست: (الف) تنش برخشی متوسط در پین B به قطر 12 mm ، (ب) تنش تکیه‌گاهی در نقطه B از عضو BD .



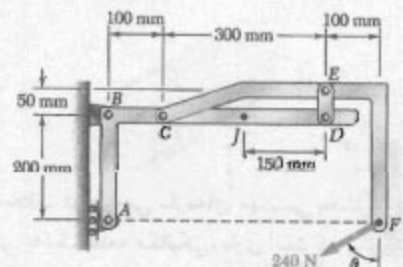
شكل ٤٣-١م

٤٤-١ تنش برخشی متوسط در پین B به قطر 10 mm باید از 120 MPa و تنش تکیه‌گاهی متوسط در عضو AB و براکت B باید از 90 MPa بیشتر شود. ماکریم بار P را بیابید.



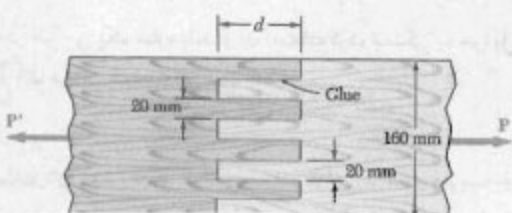
شكل ٥٩-١م

٤٥-١ اگر عرض و ضخامت رابط DE ، به ترتیب، 25 mm و 3 mm باشد، مطلوبست تنش قائم در قسمت مرکزی آن در صورتی که: (الف) $\theta = 0^\circ$ ، (ب) $\theta = 90^\circ$.



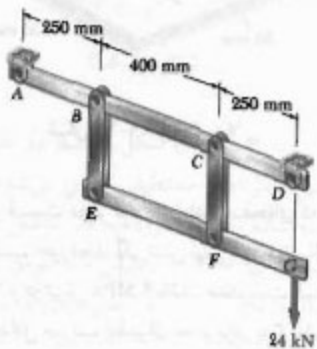
شكل ٤٥-١م

٤٦-١ دو قطعه چوبی، هر یک به ضخامت 22 mm و به عرض 160 mm ، توسط اتصال خشک زمانه‌ای نشان داده شده به هم متصل‌اند. اگر چوب به دار رفته تحت تنش برخشی متوسط $P = 820 \text{ kPa}$ در امتداد دانه‌بندی اش بریده شود و $P = V_r P_0$ کمترین طول مجاز d را بیابید.



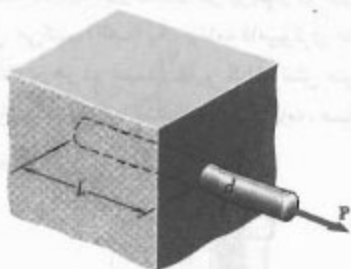
شكل ٤٦-١م

۶۷-۱ هر یک از دو بازوی عمودی CF که دو بازوی افقی را به هم متصل می‌کند دارای مقطع عرضی مستطیلی $10 \text{ mm} \times 40 \text{ mm}$ است و از فولاد با استقامت نهایی کششی 400 MPa ساخته شده است. هر یک از مفصل‌های C و F به قطر 20 mm و از فولاد با استقامت نهایی برشی 150 MPa است. ضرب اطمینان کلی بازوی‌های CF و مفصل‌هایی که آنها را به عضوهای افقی متصل می‌کند باید.



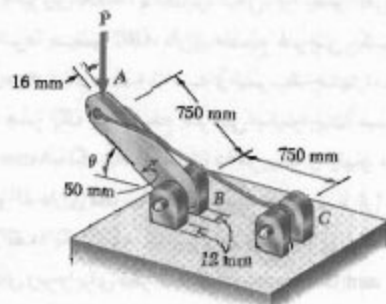
شکل ۶۷-۱

۶۸-۱ بار P بر میله فولادی وارد شده است. این میله داخل یک قطعه بتی جازده شده است. مطلوب است کمترین طول L به طوری که ماکریعم تنش قائم مجاز در میله ایجاد شود. نتیجه را برحسب قطر d میله، تنش قائم مجاز σ_{all} فولاد، و تنش مجاز متوسط اتصال σ_{all} بین بین و سطح استوانه‌ای میله بیان کنید. (از تنش قائم بین بین و انتهای میله صرف نظر کنید).



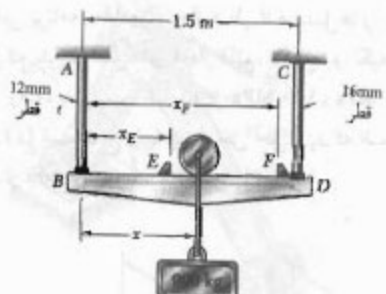
شکل ۶۸-۱

۶۹-۱ دو قسمت عضو AB در امتداد صفحه‌ای که با افق زاویه θ دارد به هم چسب خورده‌اند. اگر تنش نهایی اتصال چسبی در کشش 17 MPa و در برش 4 MPa باشد، ضرب اطمینان: (الف) مقدار θ متناظر با ماکریعم ضرب اطمینان، (ب) مقدار ماکریعم ضرب اطمینان.



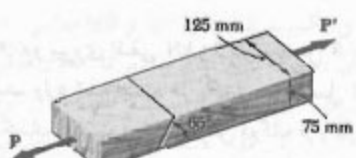
شکل ۶۹-۱

۶۵-۱ بار 90 kg را می‌توان در امتداد تیر BD بین مواعظ E و F حرکت داد. اگر σ_{all} برای میله‌های AB و CD با AB برابر با 22 MPa باشد، مواعظ را کجا قرار دهیم تا فاصله حرکت مجاز بار به یشترين مقدار ممکن برسد.



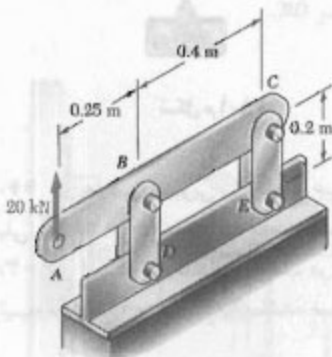
شکل ۶۵-۱

۶۶-۱ دو عضو چوبی با مقطع عرضی یکنواخت مستطیلی $75 \times 125 \text{ mm}$ با چسب بهم متصل شده‌اند. اگر $P = 3,6 \text{ kN}$ و استقامت نهایی چوب در کشش و برش، به ترتیب، $1,1 \text{ MPa}$ و $1,4 \text{ MPa}$ باشد، ضرب اطمینان را بیابید.



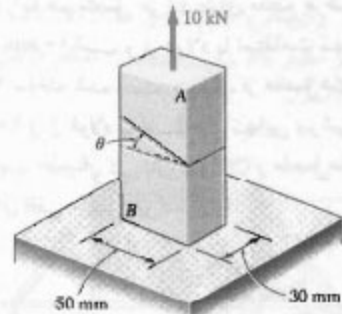
شکل ۶۶-۱

۱-ک ۲ نیروی 20 kN ، مطابق شکل، بر عضو افقی ABC وارد می‌شود. عضو C دارای مقطع عرضی یکنواخت مستطیل $10\text{ mm} \times 50\text{ mm}$ است و توسط چهار بازوی عمودی، هر یک با مقطع عرضی یکنواخت مستطیلی $8\text{ mm} \times 36\text{ mm}$ ، نگه داشته می‌شود. هر یک از چهار مفصل در این دارای قطر یکسان d است و تحت پرش دوگانه قرار دارد. (الف) یک برنامه کامپیوتی بنویسید و با استفاده از آن کمیت‌های زیر را برای قطر d در گستره 10 mm تا 30 mm ، با نمو 1 mm ، محاسبه کنید: (۱) ماکریم مقدار تنش قائم متوسط در بازوهای متصل‌کننده مفصل‌های B و D ، (۲) تنش قائم متوسط در بازوهای متصل‌کننده مفصل‌های C و E ، (۳) تنش برشی متوسط در مفصل B ، (۴) تنش برشی متوسط در مفصل C ، (۵) تنش تکیه‌گاهی متوسط در B از عضو ABC ، (۶) تنش تکیه‌گاهی متوسط در C از عضو ABC . (ب) با مقایسه مقادیر حاصل برای $d = 16\text{ mm}$ با پاسخ‌های بدست آمده در مسائل ۱-۸، ۲۳-۱، ۲۴-۱ و ۲۴-۲، این برنامه را وارسی کنید. (ج) با استفاده از این برنامه، مقادیر مجاز قطر d مفصل‌ها را باید در صورتی که بدانیم تنش‌های مجاز قائم، برشی، و تکیه‌گاهی فولاد به کار رفته، به ترتیب، عبارتند از 150 MPa ، 90 MPa ، و 230 MPa . (د) قسمت ج را با این فرض حل کنید که ضخامت عضو ABC از 10 mm به 8 mm کاهش یابد.



شکل ک ۱

۱-ک ۳ دو تیروی افقی 20 kN بر مفصل B مجموعه نشان داده شده وارد شده است. هر یک از سه مفصل A و B و C دارای قطر یکسان d است و تحت پرش دوگان قرار دارد. (الف) یک برنامه کامپیوتی بنویسید و با استفاده از آن کمیت‌های زیر را برای مقادیر d در گستره $1, 25\text{ mm}$ تا $37,5\text{ mm}$ ، با تمرن ۱-۱، محاسبه کنید: (۱) ماکریم مقدار تنش قائم



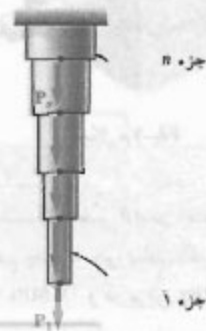
شکل ک ۲

۱-۱ دو قسمت عضو AB در امتداد صفحه‌ای که با افق زاویه θ دارد به هم چسب خورده‌اند. اگر تنش نهایی برای اتصال جنسی در کش 17 MPa و در پرش 9 MPa باشد، مطلوبست گستره مقدار θ که به ازای آن حداقل ضریب اطمینان عضو برابر با ۳ باشد.

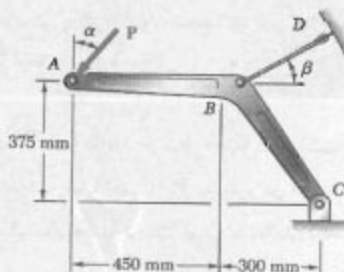
مسائل کامپیوتی

مسائل زیر برای حل با کامپیوت طرح شده‌اند.

۱-ک ۱ یک میله توپر فولادی از "جزء استوانه‌ای" که به هم جوش‌اند تشکیل شده است. این میله تحت بارگذاری نشان داده شده قرار دارد. قطر جزء A را با d و بار وارد بر انتهای پایینی آن را با P_1 نشان می‌دهیم. اگر P_1 ، مطابق شکل، به طرف پایین باشد، مقدار P_2 آن را مشت می‌گیریم و در غیر اینصورت منفی فرض می‌کنیم. (الف) یک برنامه کامپیوتی بنویسید و با استفاده از آن، در هر دو سیستم SI و U.S.، تنش متوسط در هر جزء میله را بیابید. (ب) با استفاده از این برنامه، مسائل ۱-۱ و ۱-۳ را حل کنید.

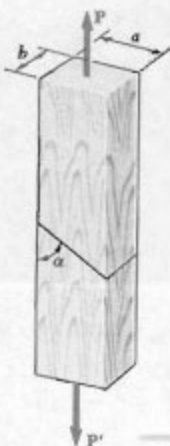


شکل ک ۱



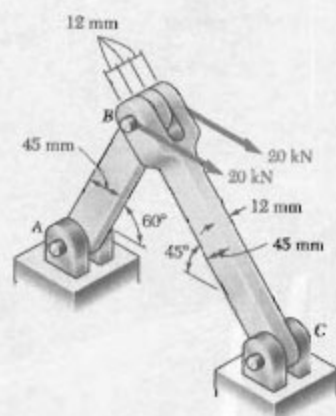
شکل ۱-۴

۱-۵ بار P، مطابق شکل، توسط دو عضو چوبی با مقاطع عرضی یکنواخت مستطیلی تحمل می‌شود. این دو عضو توسط وصله ساده چسب خورده به هم متصل شده‌اند. (الف) اگر استقامت نهایی اتصال در کشش و در برش را بهتر ترتیب، با نشان دهیم، یک برنامه کامپیوتی پیوسيد و با استفاده از آن، برای مقادیر داده شده a , b , P , σ_u و τ_u (که در آحاد SI یا U.S. بیان شده‌اند)، و برای مقادیر α از 5° تا 85° در بازه‌های 5° , 10° و 15° (۱) تنش قائم در اتصال، (۲) کمیت‌های زیر را محاسبه کنید: (۳) ضریب اطمینان نسبت به گسیختگی در کشش، (۴) ضریب اطمینان نسبت به گسیختگی در برش، (۵) ضریب اطمینان کلی برای اتصال چسب خورده. (ب) با استفاده از ابعاد و بارگذاری عضوها در مسائل ۲۹-۱، ۲۹-۲، ۳۲-۱ و ۳۲-۲، و برای چسب به کار رفته در مسئله ۲۹-۱ داریم $\sigma_u = 1126 \text{ MPa}$ و $\tau_u = 1.5 \text{ MPa}$.



شکل ۱-۵

(۲) تنش قائم متوسط در عضو BC ، AB ، BC متوسط در عضو AB ، (۳) تنش برشی متوسط در مفصل A ، A تنش برشی متوسط در مفصل C ، (۴) تنش تکیه گاهی متوسط در A از عضو AB ، (۵) تنش تکیه گاهی متوسط در C از عضو BC ، (۶) تنش تکیه گاهی متوسط در B از عضو RC ، (۷) با مقایسه مقادیر حاصل برای متوسط در B از عضو RC ، (ب) با مقدار d بآسانی میتوان مسافت $15-1$ و 20 mm را بدست آمد، برای مسافت $15-1$ و 20 mm، این برنامه را وارسی کنید، (ج) با استفاده از این برنامه، مقادیر مجاز قطر d مفصل ها را بسایید، در صورتیکه مدانیم تنش های مجاز قائم، برشی و تکیه گاهی برای فولاد به کار رفته، بده ترتیب، عبارتند از 150 MPa، 150 MPa، 90 و 250 MPa، (د) فرمت ج را با این فرض حل کنید که، در طرح جدید، ضخامت و عرض دو عضو، به ترتیب، از 12 به 8 mm، و از 45 به 60 mm تغییر پائند.



شکل ۱-۵

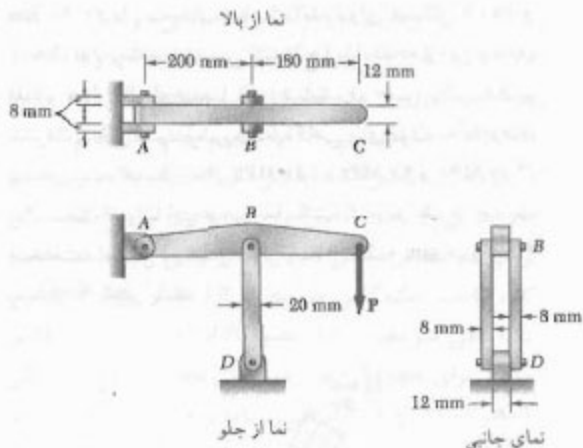
۱- که با عصود زاویه α دارد، $P = 16 \text{ kN}$ ، مطابق شکل بر عضو ABC وارد می‌شود. این عضو توسط مفصل C و کابل RD ، که با افق زاویه β دارد، نگه داشته می‌شود.

(الف) اگر بال نهایی کابل 100 kN باشد، یک برنامه کامپیوتویی بنویسید و با آن جدولی از ضریب اطمینان کابل را برای مقادیر α و β از مغز تا 45° تشکیل دهید. برای این منظور، نمودار $\text{tg}\beta$ و β را طوری بگیرید که نمو α و $\text{tg}\beta$ برابر با 1° باشد.

(ب) نشان دهید که برای تمام مقادیر α ، مقدار ماکریزم ضریب اطمینان برای $\beta = 38,66^\circ$ است و علت آن را توضیح دهید.

(ج) کمترین مقدار مسکن ضریب اطمینان را برای نیز مقدار مناظر α را باید و تیجه حاصل را توضیح دهی.

وارسی نکنید. (د) با استفاده از این برنامه، بار مجاز P_{all} ، و اینکه کدام یک از تنش‌ها بحرانی است را برای معلومات زیر بیانید:
 $\sigma_U = 110 \text{ MPa}$ ، $d_s = d_c = 15 \text{ mm}$
 $F.S. = 3/2$ برای مفصل‌های فولادی، و
 $\tau_{UJ} = 100 \text{ MPa}$



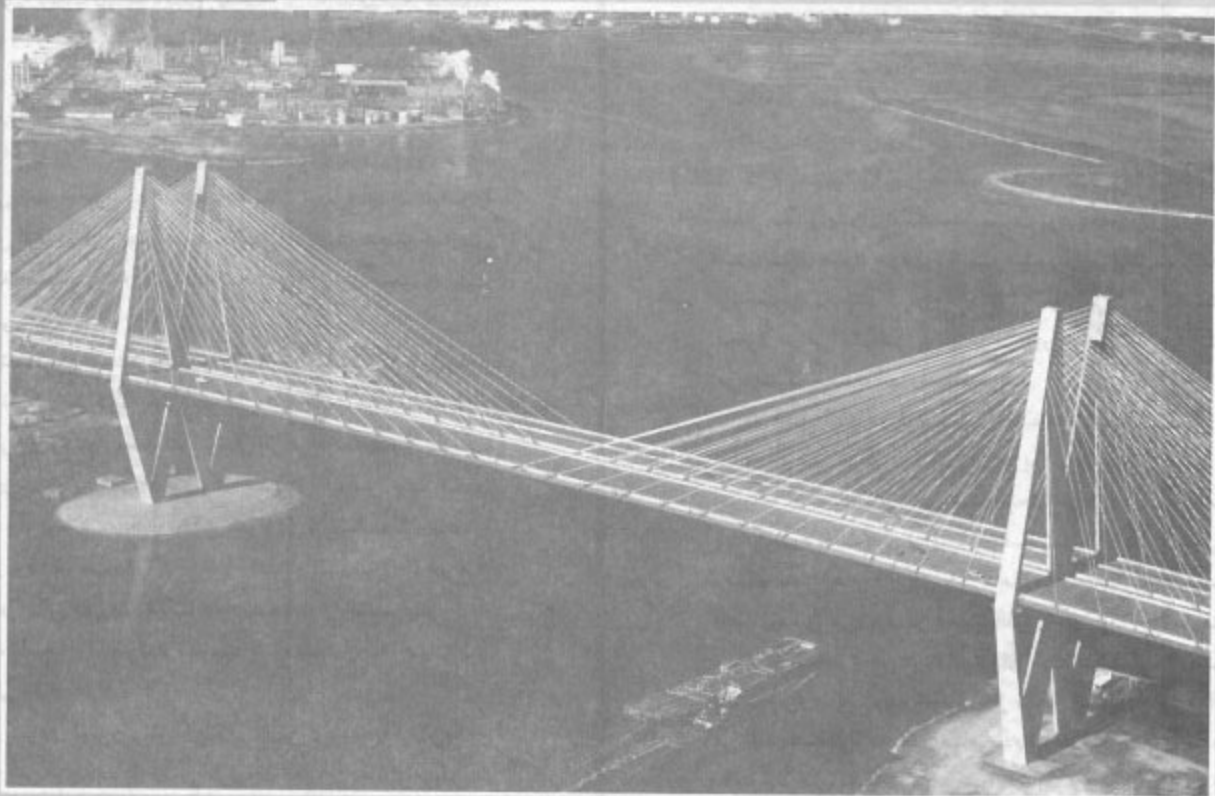
شکل ۱-۵-۶

داریم $\sigma_U = 110 \text{ psi}$ و $\tau_{UJ} = 214 \text{ psi}$. (ج) نشان دهید که تنش برشی در هر یک از این حالت برای $\alpha = 45^\circ$ دارای مقدار ماکزیمم است.

۱-ک ۶ عضو ABC توسط مفصل و براکت A و توسط دو بازو نگه داشته شده است. این دو بازو در B به عضو ABC و در D به یک تکیه‌گاه ثابت لولا شده‌اند. (الف) یک برنامه کامپیوتري بنویسید و یا استفاده از آن بار مجاز P_{all} را برای موارد زیر محاسبه کنید: (۱) برای هر قطر داده شده d ، برای مفصل A ، (۲) برای قطر مشترک d ، مفصل‌های B و C ، (۳) برای تنش قائم نهایی σ_U در هر یک از دو بازو، (۴) برای تنش برشی نهایی τ_{UJ} در هر یک از سه مفصل، (۵) برای ضریب اطمینان کلی دلخواه، برنامه باید نشان دهد که کدام یک از سه تنش زیر بحرانی است: تنش قائم در بازوها، تنش برشی در مفصل A ، یا تنش برشی در مفصل‌های B و C . (ب و ج) با استفاده از داده‌های مسائل ۵۳-۱ و ۵۴-۱، و با مقایسه پاسخ‌های بدست آمده برای P_{all} با مقادیر بدست آمده در تنش، این برنامه را

۲

تنش و کرنش بارگذاری محوری



در این فصل، تغییر شکل های اجزای ساختمانی را که تحت بارگذاری محوری اند بررسی می کنیم. برای طراحی این پل کابلی، واقع در بندر هوستون، تغییر طول مهارهای قطعی به دقت در نظر گرفته شده اند.

۱-۲ مقدمه

بخش اول این فصل با قسمت ۲-۸ پایان می‌گیرد، که در آن تغییرشکل انواع مختلف عضوها تحت شرایط گوناگون بارگذاری محوری تعیین می‌شود.

در قسمت‌های ۹-۲ و ۱۰-۲، مسائل نامعین استاتیکی را بررسی می‌کنیم؛ یعنی، مسائلی که در آنها واکنش‌ها و نیروهای داخلی رانی توان صرفاً با استاتیک به دست آورد. معادله‌های تعادل را که از نمودار آزاد یک عضو به دست می‌آیند باید با رابطه‌هایی که شامل تغییرشکل‌ها هستند کامل کرد؛ این رابطه‌ها از هندسه مسئله به دست می‌آیند.

در قسمت‌های ۱۱-۲ تا ۱۵-۲، ثابت‌های اضافی مربوط به مواد ایزوتropیک - یعنی، موادی که مشخصه‌های مکانیکی آنها مستقل از جهت است - تعریف می‌شوند؛ مانند نسبت پوامون که عوامل زیر را به هم ارتباط می‌دهد: کرنش جانبی و کرنش محوری، مدول کهای (که تغییر حجم یک ماده را تحت فشار هیدرولاستاتیکی شخص می‌کند) و مدول صلابت (که مولفه‌های تش‌برشی و کرنش برشی را به هم ارتباط می‌دهد). رابطه‌های تش-کرنش برای یک ماده ایزوتropیک تحت بارگذاری چند محوری را نیز استنتاج می‌کنیم.

در قسمت ۱۶-۲، رابطه‌های تش-کرنش را که شامل چند مقدار متایر مدول الاستیتی، نسبت پوامون و مدول صلابت است، برای مواد مرکب تقویت شده با تار تحت بارگذاری چندمحوری به دست می‌آوریم. چون این مواد ایزوتropیک نیستند، معمولاً خواص مشخصی به نام خواص اورتوتروپیک از خود نشان می‌دهند که مطالعه آنها را ساده می‌کند.

در فصل قبل، دو فرض زیر را در نظر گرفتیم: (۱) تش در مقاطع عرضی به طور یکنواخت توزیع می‌شود، (۲) مواد به صورت الاستیک باقی می‌مانند. صحت فرض اول در قسمت ۱۷-۲ مورد بحث قرار می‌گیرد. در قسمت ۱۸-۲، تعریف تش در نزدیک سوراخ‌های دایره‌ای و گرددها (ماهیچه‌ها) در میله‌های تخت بررسی می‌شود. در قسمت‌های ۱۹-۲ و ۲۰-۲، درباره تش و تغییرشکل در عضوهای ساخته شده از مواد چکش‌خواری بحث می‌شود که از نقطه تسلیم خود فراتر می‌روند. همانطور که بعداً خواهد دید، تغییرشکل‌های پلاستیک دائم و تش‌های باقیمانده از این شرایط بارگذاری ناشی می‌شوند.

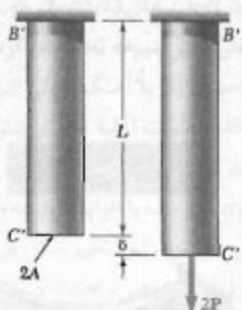
۲-۲ کرنش قائم تحت بارگذاری محوری میله BC، به طول L و با مساحت مقطع عرضی یکنواخت A ، را که از نقطه B آویزان شده است در نظر می‌گیریم (شکل ۱-۱الف). با اعمال بار P بر انتهای C، میله افزایش ملول می‌دهد (شکل ۱-۱ب)، با ترسیم مقدار ۱ بار برس

در فصل ۱، تش‌های حاصل از بارهای وارد بر عضوها را تحلیل کردیم. همچنین، طراحی عضوها و اتصالات ساده را، به طوری که تحت شرایط خاص بارگذاری گیخته نشوند، آموختیم. جنبه دیگر تحلیل و طراحی سازه‌ها مربوط می‌شود به تغییرشکل‌هایی که توسط بارهای وارد ایجاد می‌شوند. بدینه است که باید از تغییرشکل‌های بزرگ جلوگیری شود تا سازه بتواند منظورهای طراحی را پرآورده کند. اما، تحلیل تغییرشکل‌ها در تعیین تش‌ها نیز کمک می‌کند. در حقیقت، همیشه نمی‌توان نیروهای موجود در عضوهای یک سازه را فقط با کاربرد اصول استاتیک تعیین کرده، زیرا در استاتیک فرض می‌شود که سازه‌ها صلب و تغییرشکل ناپذیرند. با درنظر گرفتن سازه‌های مهندسی به عنوان سازه‌های تغییرشکل‌پذیر و با تحلیل تغییرشکل‌های عضوهای مختلف آنها، می‌توان نیروهای نامعین استاتیکی، یعنی نیروهایی را که با استاتیک نمی‌توان تعیین کرد، به دست آورد. همچنین، در قسمت ۵-۱ نشان دادیم که توزیع تش‌ها در یک عضو از نظر استاتیکی نامعین است، حتی اگر نیرو در آن عضو معلوم باشد. لذا، برای تعیین توزیع واقعی تش‌ها در یک عضو، باید تغییرشکل‌های آن عضو را تحلیل کرد. در این فصل، تغییرشکل‌های یک عضو سازه‌ای مانند میله، یا ورق را که تحت بارگذاری محوری است بروزرسی می‌کنیم.

ابتدا، کوتشن قالم ۴ در یک عضورا به عنوان تغییرشکل طول واحد عضو تعریف می‌کنیم. با ترسیم تش ۷ بر حسب کرنش ۴، هنگام افزایش بار وارد بر عضو نمودار انتش-کوتشن ماده عضو را به دست می‌آوریم. از این نمودار می‌توان بعضی از خواص مهم ماده، مانند مدول الاستیتی، و چکش خواری یا شکتدگی ماده را تعیین کرد (قسمت‌های ۲-۲ تا ۵-۲). در قسمت ۵-۲ خواهید دید در حالی که رفتار اغلب مواد مستقل از جهت بار وارد است، پاسخ مواد مرکب تقویت شده با تار به جهت بار بستگی دارد.

از نمودار تش-کرنش می‌توان تعیین کرد که آیا کرنش‌ها در نمونه پس از حذف بار از بین می‌روند یا در این حالت می‌گویند ماده به طور الاستیتیکی رفتار می‌کند - یا اینکه یک تغییرشکل پلاستیکی دائم در آن به وجود می‌آید (به قسمت ۶-۲ نگاه کنید).

در قسمت ۷-۲، پایده خستگی را بروزرسی می‌کنیم، که به موجب آن یک عضو پس از تکرار زیاد بارگذاری گیخته می‌شوند، حتی اثر تش‌ها در گستره الاستیک باشد.

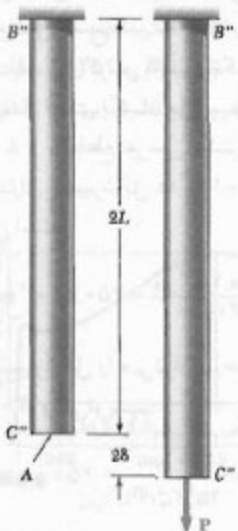


شکل ۲-۲

منحنی $\sigma = P/A$ بر حسب کرنش $\delta = \delta/L$ است، مخصوص خواص ماده را نشان می‌دهد و شکل آن به ابعاد نموده موردن استفاده پستگی ندارد. این منحنی را مودارت-کرنش می‌گویند و در قسمت ۳-۲ به تفصیل بررسی می‌شود.

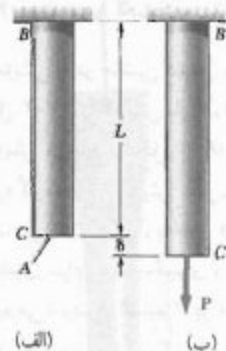
تغییرشکل ۸، نمودار بارگذاری-تغییرشکل را به دست می‌آوریم (شکل ۲-۲). گرچه این نمودار شامل اطلاعات مفیدی برای تحلیل میله تحت بررسی است، ولی از آن نمی‌توان برای پیش‌بینی تغییرشکل یک میله از همان جنس وی با ابعاد دیگر استفاده کرد. مشاهده می‌شود اگر تغییرشکل ۸ توسط بار P در میله BC ایجاد شود، بار P باعث می‌شود همان تغییرشکل در میله $B'C'$ ، به طول L و با مساحت مقطع عرضی A ، به وجود آید (شکل ۲-۳). در هر دو حالت، مقدار تشکیل پیکان است و برابر است با $P/A = \sigma$. از طرف دیگر، بار P که بر میله $B'C'$ ، با مساحت مقطع عرضی A و به طول $2L$ ، وارد می‌شود باعث می‌شود تغییرشکل ۲۸ در این میله به وجود آید (شکل ۴-۲)؛ یعنی، دوباره تغییرشکلی که در میله BC به وجود می‌آید. اما در هر دو حالت، نسبت تغییرشکل به طول میله دارای مقدار پیکان δ/L است. با توجه به این مطلب، مفهوم کرنش را وارد می‌کنیم: کرنش فاکتم در میله‌ای که تحت بارگذاری محوری است به عنوان تغییرشکل طول واحد آن میله تعريف می‌شود. اگر کرنش قائم را با ϵ نشان می‌دهیم،

$$\epsilon = \frac{\delta}{L} \quad (1-2)$$

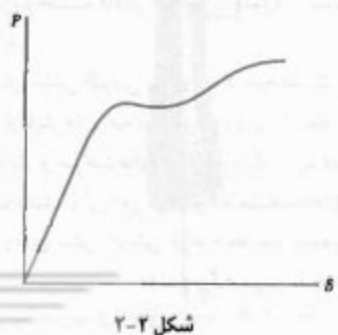


شکل ۴-۲

چون میله BC مذکور دارای مساحت مقطع عرضی یکنواخت A است، می‌توان فرض کرد تشکیل قائم σ در تمام میله دارای مقدار ثابت P/A است. لذا، کرنش به عنوان نسبت تغییرشکل به طول کل میله تعريف شد. ولی، در یک عضو با مساحت مقطع عرضی متغیر، تشکیل قائم $\sigma = P/A$ در امتداد عرض تغییر می‌کند و کرنش را باید در نقطه معین θ تعريف کرد.

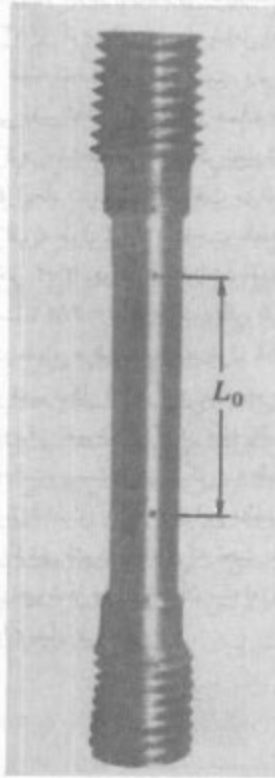


شکل ۱-۲



شکل ۲-۲

در نظر می‌گیرند، فاصله L بین این دو علامت را طول سنجه می‌گویند.



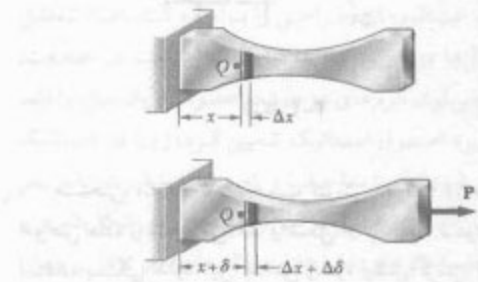
شکل ۲-۶ نمونه نوعی تحت آزمون کشش

سپس، نمونه آزمایشی را در ماشین کشش تحت بار مرکزی P قرار می‌دهند (شکل ۲-۷). با افزایش بار P ، فاصله L بین دو علامت سنجه نیز افزایش می‌یابد (شکل ۲-۸). فاصله L را با سنجه شماره‌دار اندازه گرفته، و افزایش طول $\delta = L - L_0$ را برای هر مقدار P ثبت می‌کنند. اغلب، به طور همزمان، از یک سنجه شماره‌دار ثانوی برای اندازه گیری و ثبت تغییرات قطر نمونه نیز استفاده می‌شود. از تقسیم P بر مساحت مقطع عرضی اولیه نمونه (A_0) می‌توان تنش σ و از تقسیم δ بر فاصله اولیه L_0 می‌توان کرنش ϵ را تعیین کرد. سپس، با ترمیم ϵ (در طول) بر حسب σ (در عرض)، نمودار تنش-کرنش به دست می‌آید.

نمودارهای تنش-کرنش برای مواد مختلف کاملاً با هم مقاومت اند و آزمایش‌های مختلف کشش روی یک ماده خاص، در دماهای مقاومت و سرعت‌های مختلف بارگذاری، ممکن است نتایج مختلف دهند. ولی، می‌توان وجه مشخصه‌های مشترکی را برای نمودارهای تنش-کرنش مواد مختلف تشخیص داد و مراواد ابر مبنای این مشخصه‌ها به دو گروه زیر تقسیم بندی کرد: موادچکش خواه و مواد شکننده.

برای این منظور، جزء کوچکی را با طول تغییر شکل نداده Δx در نظر می‌گیریم (شکل ۲-۵). اگر تغییر شکل این جزء را تحت بارگذاری داده شده با $\Delta\delta$ نشان دهیم، کرنش قائم در نصفه δ چنین است:

$$\epsilon = \lim_{\Delta x \rightarrow 0} \frac{\Delta\delta}{\Delta x} = \frac{d\delta}{dx} \quad (2-2)$$



شکل ۲-۲

چون تغییر شکل و طول در آحاد یکسان بیان می‌شوند، کرنش قائم ϵ ، که حاصل تقسیم δ بر L (یا $d\delta$ بر dx) است، یک کمیت بی بعد است. لذا، برای کرنش قائم در یک عضو در هر دو آحاد SI و U.S. به مقدار عددی یکسان می‌رسیم. مثلاً، میله‌ای با طول $L = ۰,۶۰۰\text{ m}$ و یا مقطع عرضی یکنواخت را در نظر بگیرید. این میله دارای تغییر شکل $\delta = ۱۵۰ \times 10^{-۳} = ۱۵۰\text{ }\mu\text{m}$ است. کرنش متناظر چنین است

$$\epsilon = \frac{\delta}{L} = \frac{150 \times 10^{-3} \text{ m}}{0,600 \text{ m}} = 250 \times 10^{-6} \text{ m/m} = 250 \times 10^{-9}$$

نوجه کنید که تغییر شکل را می‌توان بر حسب میکرومتر بیان کرد. $150\text{ }\mu\text{m} = 150\text{ }\mu\text{m}$ و می‌نویسیم:

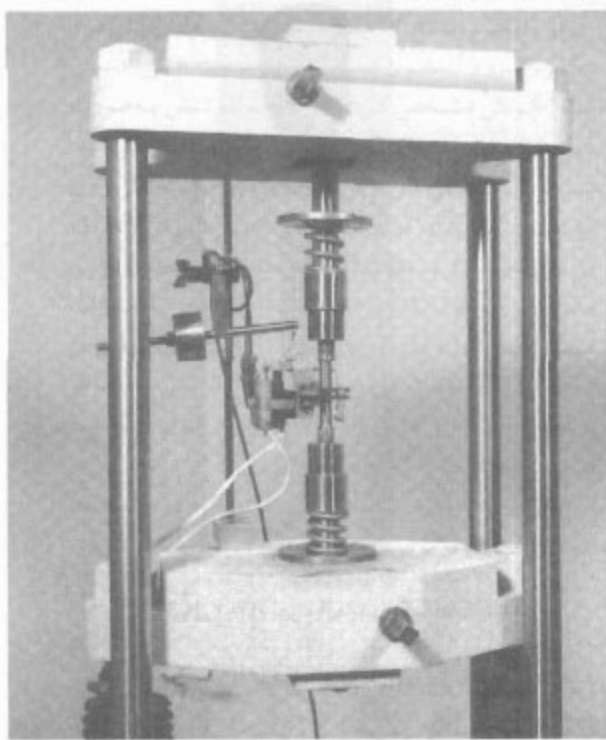
$$\epsilon = \frac{\delta}{L} = \frac{150\text{ }\mu\text{m}}{0,600\text{ m}} = 250\text{ }\mu\text{m/m} = 250\text{ }\mu$$

(μ تلفظ می‌شود "میکرو").

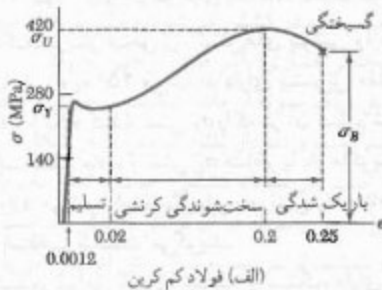
۲-۲ نمودار تنش-کرنش

در قسمت ۲-۲ دیدیم که نمودار تنش-کرنش، یکی از مشخصه‌های مهم مواد است. برای تعیین نمودار تنش-کرنش یک ماده، معمولاً نمونه‌ای از آن را تحت آزمایش کشش قرار می‌دهند. در شکل ۲-۶، یکی از این نمونه‌ها نشان داده شده است. مساحت مقطع عرضی قسمت استوانه‌ای مرکزی نمونه را به دقت تعیین کرده و دو علامت متواروی این قسمت

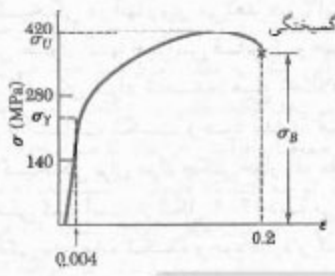
مواد چکش خوار، شامل فولاد ساختمانی و بسیاری از آلیاژهای فلزی، با قابلیت شان برای تسلیم در دماهای معمولی مشخص می‌شوند. وقتی نمونه تحت بار افزایشی قرار می‌گیرد، ابتدا طول آن بر حسب بار با آهنگ خیلی کم به طور خطی افزایش می‌باید. لذا، قسمت اولیه نمودار تنش-کرنش یک خط راست با شبیه تند است (شکل ۹-۲). ولی، پس از اینکه نمونه به تنش بحرانی σ_U می‌رسد، با افزایش بار به مقدار کم دستخوش تغییر شکل بزرگی می‌شود. این تغییر شکل بر اثر تغش ماده در امتداد سطوح مایل است؛ یعنی، عمدهاً از تنش‌های برشی ناشی می‌شود. همانطور که از نمودارهای تنش-کرنش دو ماده چکش خوار نوعی (شکل ۹-۲) می‌توان دید، افزایش طول نمونه پس از شروع تسلیم ممکن است ۲۰٪ برابر تغییر شکل آن قبل از تسلیم باشد. پس از اینکه بار به مقدار ماکریم معینی می‌رسد، قطر قسمتی از نمونه شروع به کاهش می‌کند که ناشی از تاپیداری محلی است (شکل ۱۰-۲الف). این پدیده را باریک‌شدنگی می‌گویند. پس از شروع باریک‌شدنگی، سارهای کمتری برای افزایش بیشتر نمونه مورد تیازند، تا سرانجام گسیختگی نهایی روی می‌دهد (شکل ۱۰-۲ب). توجه داریم که گسیختگی در امتداد یک سطح مخروطی روی می‌دهد که با سطح اولیه نمونه تقریباً زاویه 45° می‌سازد. این نشان می‌دهد که شکست مواد چکش خوار اساساً ناشی از برش است و



شکل ۷-۲ از این ماشین برای آزمایش نمونه‌های کششی، مانند آنچه که در این فصل نشان داده شدند، استفاده می‌شود.



(الف) فولاد کم کربن



(ب) آلیاژ آلومنیوم

شکل ۹-۳ نمودارهای تنش-کرنش در ماده چکش خوار نوعی



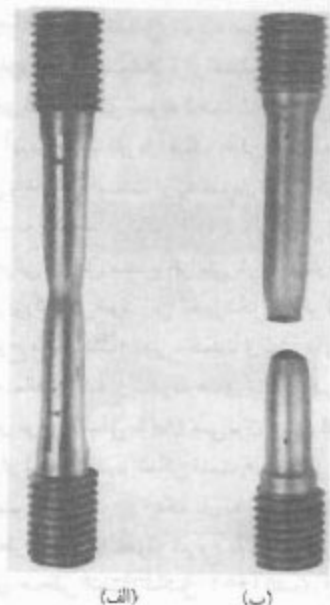
شکل ۱۰-۲ نمونه آزمایشی برای بارگذاری محوری



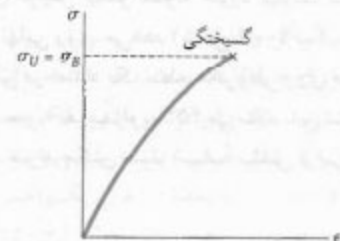
شکل ۲-۲ نمونه آزمایشی یک ماده شکننده.

نمودارهای نتش-گرنش شکل ۹-۲ نشان می‌دهند که فولاد و آلومینیم ساختمانی، که هر دو چکش خوارند، دارای مشخصه‌های تسلیم مستقیماتاند. در فولاد ساختمانی (شکل ۹-۲ الف)، پس از شروع تسلیم، نتش در گستره بزرگی از مقادیر بزرگ شاست (شکل ۹-۲ ب). این نتیجه باشد که نتش افزایش یابد تا به مقدار ماکزیمم σ_u برسد. این ناشی از خاصیتی از ماده به نام سخت شوندگی گرنشی است. استقامت تسلیم فولاد ساختمانی در آزمون گشته را با رؤیت برای که روی ماسیون آزمون نشان داده می‌شود می‌توان تعیین کرد. پس از افزایش دائمی پار، دیده می‌شود که باز ناگهان کمی کاهش یافته و برای مدتی در همین مقدار می‌ماند؛ ولی، افزایش طول نمونه ادامه می‌یابد. در یک آزمایش سیار دقیق، می‌توان نقطه تسلیم بالایی را (که متضاد است با بار درست قبل از شروع تسلیم) از نقطه تسلیم پایی (که متضاد است با بار مرد نیاز برای حفظ تسلیم) از یکدیگر تمیز داد. چون نقطه تسلیم بالایی گذراست، برای تعیین استقامت نهایی ماده باید از نقطه تسلیم پایی استفاده کرد.

* آزمایش‌های کشش که در این قسمت توصیف شدند در دماهای معمولی در نظر گرفته می‌شوند. ولی، ماده‌ای که در دماهای معمولی چکش خوار است در دماهای خیلی پایین ممکن است مشخصه‌های یک ماده شکننده را از خود نشان دهد. و یک ماده شکننده معمولی ممکن است در دماهای خیلی زیاد چکش خوار شود. لذا، در دماهای غیر معمولی، باید به جای واژه چکش خوار با شکننده از واژه در حالت چکش خواری بادر حالت شکنندگی صحبت کرد.



شکل ۲-۳ نمونه آزمایشی یک ماده چکش خوار.



شکل ۲-۴ نمودار نتش-گرنش برای یک ماده شکننده نوعی.

نشان می‌دهد که، دربار محوری، نتش‌های برشی وارد پس سطوحی که با بار زاویه 45° می‌سازند دارای بیشترین مقدارند (به قسمت ۱۱-۱ نگاه کنید). نتش σ_7 را که در آن تسلیم شروع می‌شود استقامت تسلیم ماده، و نتش σ_5 متناظر با بار ماکزیمم را که بر نمونه وارد می‌شود استقامت نهایی، و نتش σ_8 متناظر با گسیختگی را استقامت شکست می‌گویند.

مواد شکننده، شامل چدن، شیشه و منگ، دارای این مشخصه‌های که گسیختگی در آنها روی می‌دهد بدون اینکه قبلاً آهنگ افزایش طول آنها افزایش قابل توجهی دهد (شکل ۱۱-۲). لذا، برای مواد شکننده، هیچ اختلافی بین استقامت نهایی و استقامت شکست وجود ندارد. همچنین، گرنش در زمان گسیختگی برای مواد چکش خوار، در مقایسه با مواد شکننده، خیلی کمتر است. از شکل ۱۲-۲ دیده می‌شود که حالت بارگذاری شکننده ماده شکننده وجود تاره و گسیختگی در امتداد سطح عمود بر بار روی می‌دهد. یعنی، نتش‌های قائم عامل اصلی شکست مواد شکننده‌اند.

برای فولادهای معمولی با استقامت تسلیم $\sigma_0 = 50 \text{ ksi}$ تا 21% است. یعنی، مینیمم کرنش متوسط هنگام گسیختگی باید 21 mm/mm باشد.

یکی دیگر از معیارهای چکش خواری، درصد کاهش مساحت است، با تعریف زیر

$$\frac{A_0 - A_B}{A_0} = 100 \quad \text{درصد کاهش مساحت}$$

که در آن A_0 و A_B به ترتیب، مساحت مقطع عرضی نمونه و مینیمم مساحت مقطع عرضی آن هنگام گسیختگی است. برای فولاد ساختمانی، درصد کاهش مساحت معمولاً 60% تا 70% درصد است.

تابه حال، فقط درباره آزمایش‌های کشش بحث کرده‌ایم. اگر نمونه‌ای از یک ماده چکش خوار تحت فشار قرار گیرد، منحنی تنش-کرنش حاصل اساساً از لحاظ قسمت خطی اولیه و شروع قسمت متناظر با تسلیم و سخت‌شوندگی کرنشی مانند منحنی تنش-کرنش در آزمایش کشش است. گفتنی است که برای یک فولاد معین، استقامت تسلیم در کشش و فشار دارای مقدار یکسان است. برای مقادیر بزرگتر کرنش، منحنی‌های تنش-کرنش در کشش و فشار از هم فاصله می‌گیرند. باید توجه داشت که باریکشدنگی در آزمایش فشار روی نمی‌دهد. در اغلب مواد شکننده، دیده می‌شود که استقامت نهایی در فشار خیلی بیشتر از استقامت نهایی آن در کشش است و این ناشی از وجود نقص‌ها، مانند ترک‌ها یا حفره‌های میکرو‌سکوپی است که باعث تضعیف ماده در کشش می‌شوند، ولی بر مقاومت آن در مقابل گسیختگی فشاری تأثیر قابل توجهی ندارند.

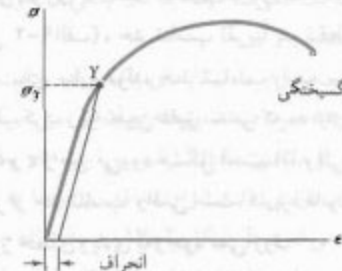
بنابراین، یک نمونه از ماده شکننده با خواص مختلف در کشش و فشار است و نمودار تنش-کرنش آن در شکل ۱۴-۲ نشان داده شده است. در سمت کشش نمودار، ابتدا یک ناحیه الاستیک خطی را می‌بینیم که در آن کرنش با تنش متناسب است. پس از نقطه تسلیم، کرنش سریع‌تر از تنش افزایش می‌باید تا سرانجام، گسیختگی روی می‌دهد. ماده در فشار رفتار متفاوتی دارد. اول اینکه، ناحیه الاستیک خطی به طور قابل توجه وسیع‌تر است، دوم، وقتی تنش به مقدار ماکریسم خود می‌رسد، گسیختگی روی نمی‌دهد بلکه مقدار تنش کاهش می‌باید تا سرانجام، گسیختگی روی می‌دهد. توجه کنید که مدول الاستیستیه، که با شیب منحنی تنش-کرنش قسمت خطی نمودار نشان داده می‌شود، در کشش و فشار دارای مقدار یکسان است. این موضوع برای اغلب مواد شکننده صحت دارد.

در آلومینیم (شکل ۹-۲ ب) و پیولوی از مواد چکش خوار دیگر، شروع تسلیم را نمی‌توان با قسمت افقی منحنی تنش-کرنش مشخص کرد. در این مواد، تنش به صورت غیرخطی افزایش می‌باید تا اینکه به استقامت نهایی می‌رسد. سپس، باریکشدنگی شروع می‌شود و سرانجام گسیختگی روی می‌دهد. در این مواد، استقامت نهایی 60% را با روش انحراف می‌توان تعیین کرد. مثلاً، با ترسیم یک خط از تقاطع‌ای روى محور افقی به طول $L_B - L_0 = 2\% \times 100 = 2\%$ (یا 0.02m) به موازات قسمت خطی اولیه نمودار تنش-کرنش، استقامت نهایی در انحراف 2% بدست می‌آید (شکل ۱۳-۲). تنش 50% متناظر با نقطه 2 که به این طریق بدست می‌آید به عنوان استقامت نهایی در انحراف $2\%/\text{mm}$ تعریف می‌شود:

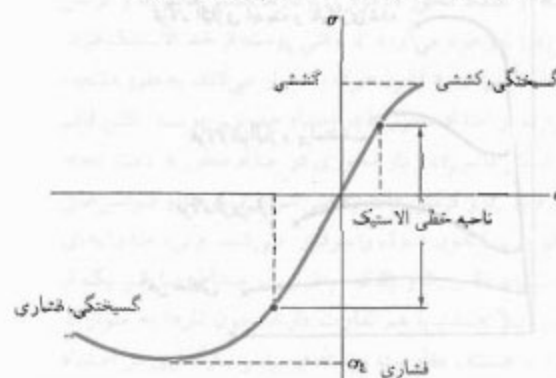
یکی از معیارهای استاندارد برای چکش خواری یک ماده، درصد افزایش طول آن است که به صورت زیر تعریف می‌شود

$$\frac{L_B - L_0}{L_0} = 100 \quad \text{درصد افزایش طول}$$

که در آن L_0 و L_B به ترتیب، طول اولیه نمونه تحت کشش و طول نهایی آن هنگام گسیختگی است. مینیمم افزایش طولی که برای طول سنجه 50 mm در نظر می‌گیرند



شکل ۱۳-۲ تعیین استقامت تسلیم با روش انحراف.



شکل ۱۴-۲ نمودار تنش-کرنش برای بتن.

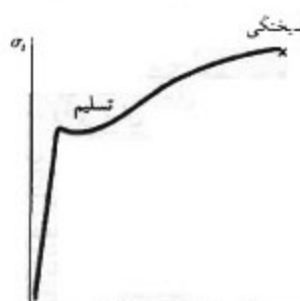
۴-۲ تنش حقيقی و کرنش حقيقی

به خاطر داریم که تنش رسم شده در نمودارهای ۹-۲ و ۱۱-۲ از تقیم بار P بر مساحت مقطع عرضی اولیه نمونه، A_0 ، به دست آمد. چون مساحت مقطع عرضی نمونه با افزایش P کاهش می‌یابد، تنش هر این نمودارها تنش حقيقی در نمونه نیست. در مواد چکن خوار، پس از شروع تسلیم، بین تنش مهندسی محاسباتی $\sigma = P/A_0$ و تنش حقيقی $\sigma_i = P/A_i$ ، که از تقیم P بر مساحت مقطع عرضی نمونه تغییر شکل داده به دست می‌آید، اختلاف وجود دارد. تنش مهندسی σ ، که با بار P متناسب است، در حالت بارگذاری با افزایش P کاهش می‌یابد؛ ولی، تنش حقيقی σ_i ، که با P متناسب متفاوت و با A نسبت معکوس دارد، همچنان افزایش می‌یابد تا نمونه کشیده شود.

اغلب به جای رابطه $\epsilon = \delta/L_0$ که آن را کرنش مهندسی می‌گویند، از کرنش حقيقی ϵ_i با تعریف زیر استفاده می‌شود:

$$\epsilon_i = \int_{L_0}^L \frac{dL}{L} = \ln \frac{L}{L_0} \quad (3-2)$$

نموداری که با ترسیم تنش حقيقی بر حسب کرنش حقيقی به دست می‌آید (شکل ۱۵-۲)، رفتار ماده را دقیق‌تر توضیح می‌دهد. همانطور که قبلاً دیدیم، تنش حقيقی در حالت بارگذاری کاهش نمی‌یابد. همچنین، با استفاده از تنش حقيقی و کرنش حقيقی، نتایج حاصل از آزمایش‌های کشش و فشار اساساً نمودار یک‌ان را می‌دهند؛ ولی، با ترسیم تنش مهندسی بر حسب کرنش مهندسی، برای مقادیر بزرگ کرنش چنین نیست. البته، مهندسان که مسئولیت آنها بررسی این موضوع است که آیا بار P باعث ایجاد یک تنش و تغییر شکل قابل قبول در عضو می‌شود یا نه، از نمودار مبنی بر تنش مهندسی $\sigma = P/A_i$ و کرنش مهندسی $\epsilon = \delta/L_0$ استفاده می‌کنند، زیرا این عبارت‌ها شامل مساحت مقطع عرضی A_i و طول اولیه L_0 است و اینها داده‌های قابل دسترسی هستند.



شکل ۱۵-۲ تنش حقيقی بر حسب کرنش حقيقی برای یک ماده چکن خوار نوعی.

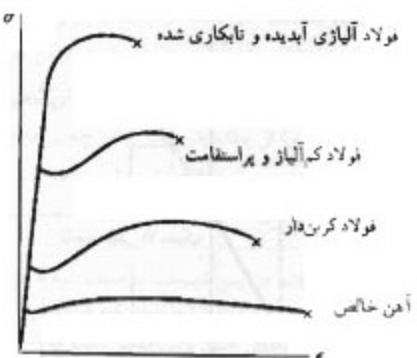
۵-۲ قانون هوک؛ مدول الاستیستیت

اغلب سازه‌های مهندسی که برای تغییر شکل‌های نسبتاً کوچک طراحی می‌شوند، فقط شامل قسمت خطی نمودار تنش-کرنش هستند. برای آن قسمت اولیه نمودار (شکل ۹-۲)، تنش σ با کرنش ϵ به طور مستقیم متناسب است و می‌توان نوشت:

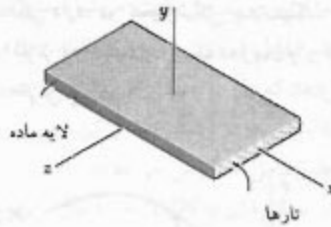
$$\sigma = E\epsilon \quad (4-2)$$

این رابطه را، به اختصار ریاضی دان انگلیسی رابرт هوک (۱۷۰۳ - ۱۶۳۵)، قانون هوک می‌گویند. ضرب E را، به اختصار داشتمند انگلیسی توماس یانگ (۱۸۲۹ - ۱۷۷۳)، مدول الاستیستیت یا مدول یانگ ماده می‌گویند. چون E یک کمیت بین بعد است، E با آحاداً σ بیان می‌شود؛ در SI، E بر حسب پاسکال یا یکی از مضرب‌های آن است.

بیشترین مقدار تنشی که به ازای آن می‌توان قانون هوک را برای ماده‌ای به کار برد حد تاب آن ماده می‌گویند، در مواد چکن خواری که نقطه تسلیم کاملاً مشخصی دارند (مانند شکل ۹-۲ الف)، حد تاب تقریباً بر نقطه تسلیم منطبق است. برای سایر مواد، حد تاب را به سهولت نمی‌توان تعريف کرد، زیرا تعیین دقیق تنشی که به ازای آن رابطه خطی بین σ و ϵ بین می‌رود مشکل است. اماً وقی مقدار تنش کمی بیشتر از حد تاب واقعی است، کاربرد قانون هوک برای مواد مذکور خطای زیادی به وجود نمی‌آورد.



شکل ۱۶-۲ نمودارهای تنش-کرنش برای آهن و درجات مختلف فولاد.



شکل ۱۷-۲ پوسته ماده مرکب تقویت شده با تار.

با ترکیب تعدادی پوسته، یک ورقه به دست می‌آید. اگر ورقه فقط تحت بار محوری کششی قرار گیرد، تارها در تمام پوسته‌ها باید دارای همان وضعیت باشند تا بیشترین استقامت ممکن حاصل شود. اما اگر ورقه تحت فشار قرار گیرد، ماده ماتریس ممکن است آنقدر محکم باشد که از کمالش تارها جلوگیری کند. در این حالت، پایداری جانی ورقه را با استقرار بعضی از پوسته‌ها به طوری که تارهای آنها بر بار عمود باشند می‌توان افزایش داد. استقرار بعضی از پوسته‌ها به گونه‌ای که تارهای آنها تحت زاویه 30° ، 45° ، یا 60° نسبت به بار باشد نیز می‌تواند مقاومت ورقه را در برابر برش صفحه‌ای افزایش دهد. در قسمت ۱۶-۲، مواد مرکب تقویت شده با تار و رفتار آنها تحت بارگذاری‌های چند محوری بررسی می‌شود.

۱۶-۲ مقایسه رفتار الاستیک و پلاستیک ماده

اگر کرنش‌هایی که با اعمال بار معینی در یک نمونه آزمایشی به وجود می‌آیند هنگام حذف بار از بین بروند، می‌گویند ماده بصورت الاستیک رفتار می‌کند. بیشترین مقدار تشنجی که به ازای آن ماده به صورت الاستیک رفتار می‌گذرد حد الاستیک آن ماده نام دارد.

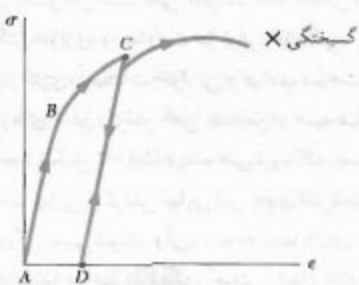
اگر ماده دارای نقطه تسلیم کاملاً مشخص باشد (شکل ۹-۲ (الف)، حد الاستیک، حد تناسب (قسمت ۵-۲) و نقطه تسلیم آن اساساً با هم برابرند. به عبارت دیگر، تا وقتی تشن کمتر از نقطه تسلیم است، ماده به صورت الاستیک و خطی رفتار می‌کند. در حالت تسلیم (قسمت ۳-۳)، با حذف بار، تشن و کرنش در امتداد خط CD ، که به موازات قسمت خطی AB منحنی بارگذاری است (شکل ۱۸-۲)، به صورت خطی کاهش می‌یابد. این موضوع که «پس از حذف بار به صفر برآیند» در نشان می‌دهد که تغییر شکل پلاستیک (دامنی) را داده است. در اغلب مواد، تغییر شکل پلاستیک نه فقط به

بعضی از خواص فیزیکی فلزات ساختمانی، مانند استقامت، چکش خواری و مقاومت در برابر خوردگی، بستگی شدیدی به آلبازی کاری، عملیات حرارتی و فرایند ساخت دارند. مثلاً، از نمودارهای تشن-کرنش آهن خالص و سه فولاد با درجات مختلف (شکل ۱۶-۲) دیده می‌شود که استقامت تسلیم، استقامت نهایی و کرنش نهایی این چهار فلز دستخوش تغییرات بزرگی می‌شوند. ولی، تمام آنها دارای مدول الاستیتیه یکسانند؛ به عبارت دیگر، «سفتی آنها» (مقاومت در برابر تغییر شکل در ناحیه خطی) یکسان است. بنابراین، اگر فولاد پر استقامتی را در یک سازه جایگزین فولاد با استقامت کمتر کنیم و همچوییک از ابعاد را تغییر ندهیم، سازه دارای ظرفیت بسیار پذیری بیشتری خواهد شد، اما سفتی آن تغییر نمی‌کند.

برای هر یک از موادی که تا به حال بررسی شده‌اند، رابطه بین تشن قائم و کرنش قائم، $E_c = E_t = \sigma$ ، مستقل از امتداد بارگذاری بود زیرا خواص مکانیکی، از قبیل الاستیتیه E ، مستقل از امتداد تحت بررسی بود. این ماده را همسانگرد، و موادی را که خواص آنها به امتداد بستگی دارد ناهمسانگرد می‌گویند. مواد مرکب تقویت شده با تار یکی از مواد مهم ناهمسانگرد هستند.

این مواد مرکب با قرار دادن تارهای یک ماده سفت و با استقامت در یک ماده نرم ضعیفتر، که به آن ماتریس می‌گویند، ساخته می‌شوند. از موادی مانند گرافیت، شیشه و پلیمرها به عنوان تار، و از موادی مانند انواع مختلف رزین‌ها به عنوان ماتریس استفاده می‌شود. در شکل ۱۷-۲، پوسته ماده مرکبی که نشان داده شده است؛ این ماده از تعداد زیادی تارهای موازی که در ماتریس قرار دارند تشکیل شده است، بار محوری وارد بر پوسته در امتداد محور \perp (موازی با تارها) تشن قائم E_c و کرنش قائم E_t را بوجود می‌آورد. تا وقتی پوسته از حد الاستیک فراتر نرفته است، E_c و E_t قانون هوک را برقرار می‌کنند. به طور مشابه، بار واردۀ در امتداد محور \perp (در امتداد عمود بر پوسته) تشن قائم E_c و کرنش قائم E_t را بوجود می‌آورند. ماده می‌تواند در امتداد محور \parallel باعث ایجاد تشن قائم E_c و کرنش قائم E_t می‌شود؛ تشن‌ها و کرنش‌های مذکور نیز قانون هوک را برقرار می‌کنند. ولی، مدولهای الاستیتیه E_c و E_t که، به ترتیب، متناظر با هر یک از بارهای بالا هستند با هم تفاوت دارند. چون تارها به موازات محور \perp هستند، مقاومت پوسته در برابر بارگذاری در امتداد محور \perp بخیلی بیشتر از مقاومت آن در برابر بارگذاری در امتداد محورهای \parallel است، و E_c از E_t یا E_c بخیلی بزرگتر است.

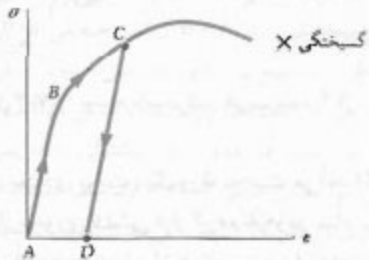
ماکریسم مقدار تنش، بلکه به مدت اعمال این تنش قبل از حذف بار نیز بستگی دارد. در تغییرشکل پلاستیک، قسمت وابسته به تنش را المغزش، و قسمت وابسته به زمان را که به دما نیز بستگی دارد - خوش می گویند.



شکل ۱۹-۲

فرض می کنیم ماده از نوع فولاد متوسط است که استقامت تسلیم آن در کشش و فشار دارای مقدار یکسان است. بار اولیه کششی است و تانقطه C در نمودار تنش-کرنش اعمال می شود (شکل ۲۰-۲). پس از باربرداری (نقطه D)، یک بار فشاری اعمال می شود و ماده را به نقطه H می رسانند. در این نقطه، تنش برابر است با σ_y . دیده می شود که قسمت DH نمودار تنش-کرنش خمیده است و نقطه تسلیم کاملاً مشخصی نیست. این را اثر باشینگر می گویند. با حفظ بار فشاری، ماده در امتداد خط HJ تسلیم می شود.

اگر بار پس از نقطه لرزش شود، تنش در امتداد خط JK به صفر بر می گردد، و توجه داریم که شیب JK با مدول الاستیستی E برابر است. تغییرشکل پلاستیک حاصل، یعنی AK، بر حسب طول پاره خط های BC و HJ و BC می تواند ثابت، متفاوت یا صفر باشد. با اعمال مجدد بار کششی، قسمتی از نمودار تنش-کرنش که از K شروع می شود (قسمت خطوط های BC و HJ) به طرف بالا و سمت راست خمیده می شود تا سرانجام، تنش به مقدار تسلیم σ_y می رسد.

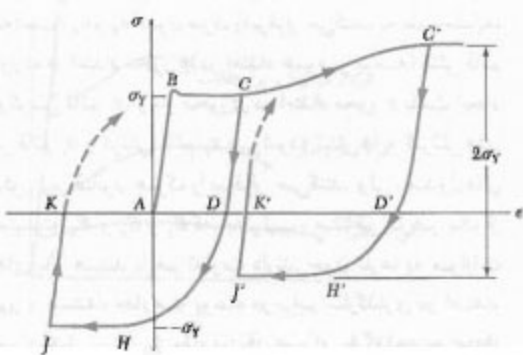


شکل ۱۸-۲

وقتی مدادای دارای نقطه تسلیم کاملاً مشخصی نیست، حد الاستیستی را نمی توان با دقیق تعیین کرد. ولی، این فرض که حد الاستیستی پا استقامات تسلیم برابر است (روش انحراف در قسمت ۲-۳)، فقط خطای کمی را وارد می کند. در حقیقت، از شکل ۱۳-۲ دیده می شود خط مستقیم که برای تعیین نقطه Y به کار می رود منحنی باربرداری را پس از اینکه تنش به مقدار ماکریسم σ_y می رسد نیز نشان می دهد. وقتی ماده به صورت الاستیستی رفتار نمی کند، کرنش پلاستیک حاصل به همان کوچکی انحراف انتخابی است.

اگر نمونه، پس از بارگذاری و باربرداری (شکل ۱۹-۲)، مجلداً بارگذاری شود، منحنی بارگذاری جدید تقریباً از همان منحنی باربرداری اولیه پیروی می کند تا اینکه تقریباً به نقطه C می رسد؛ سپس، به سمت راست خمیده می شود و به قسمت خمیده نمودار تنش-کرنش اولیه متصل می شود. توجه داریم که قسمت خط مستقیم منحنی بارگذاری جدید از قسمت متاظر منحنی اولیه طولانی تر است. لذا، بر اثر سخت شوندنگی کرنشی که در بارگذاری اولیه نمونه روی می دهد، حد تناسب و حد الاستیستی افزایش می یابند. ولی، چون نقطه گیختگی بی تغییر می ماند، چکش خواری نمونه، که اکنون باید از نقطه D اندازه گیری شود، کاهش می یابد.

در این بحث، فرض شد که نمونه در هر دو حالت در جهت یکسان بارگذاری شده است. حال، می خواهیم حالتی را بررسی می کنیم که یک بار ثالثی در جهت مخالف با بار اولیه وارد شود.



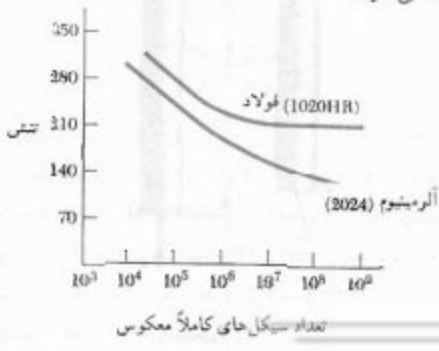
شکل ۲۰-۲

بعضی بارگذاری‌ها دارای ماهیت نوسانی‌اند. مثلاً، عبور اتومبیل‌ها از روی یک پل باعث می‌شود تنش‌های حاصل حول مقدار تنش ناشی از وزن پل نوسان کنند. حالت شدیدتر وقتی روی می‌دهد که بار در سیکل بارگذاری به طور کامل معکوس شود. مثلاً، تنش‌های در اکسل یک واگن قطار پس از هر نیم دوران چرخ به طور کامل معکوس می‌شوند.

تعداد سیکل‌های بارگذاری مورد نیاز برای آیجاد خستگی در یک نمونه از طریق بارگذاری‌های تکراری متوالی و بارگذاری‌های معکوس را می‌توان برای هر مقدار ماکریسم تنش به طور آزمایشی تعیین کرد. با انجام مجموعه‌ای از این آزمایش‌ها، با استفاده از مقادیر مختلف ماکریسم تنش، داده‌های حاصل را به صورت متحنی^{۴۰-۴۱} می‌توانرسم کرد. در هر آزمایش، ماکریسم تنش^{۴۲} در عرض و تعداد سیکل‌ها، «۱» در ضول رسم می‌شود؛ چون تعداد زیادی سیکل برای گسیختگی نیاز است، «در مقیاس لگاریتمی رسم می‌شود.

در شکل ۲۱-۲، یک منحنی نوعی^{۴۳-۴۴} برای فولاد نشان داده شده است. توجه داریم که اگر تنش ماکریسم وارده زیاد باشد، تعداد نسبتاً اندکی سیکل باعث گسیختگی می‌شود. با کاهش مقدار تنش ماکریسم، تعداد سیکل‌های لازم برای گسیختگی افزایش می‌یابد تا اینکه تنش به حد دوام می‌رسد. حد دوام، تنشی است که به ارزی آن خستگی روی نمی‌دهد، حتی اگر تعداد سیکل‌های بارگذاری تاحدود باشد. حد دوام برای یک فولاد کم کربن، مانند فولاد ساختمانی، تقریباً نصف استقامت نهایی فولاد است.

برای فلزات غیر آهنی، مانند آلومینیم و مس، منحنی نوعی^{۴۵-۴۶} (شکل ۲۱-۲) نشان می‌دهد که با افزایش تعداد سیکل‌های بارگذاری، تنش در خستگی دائم‌کاهش می‌یابد. در این فلزات، حد خستگی به عنوان تنش متاضر با خستگی حاصل پس از تعداد معینی سیکل بارگذاری، مثلاً ۵۰۰ میلیون سیکل، تعریف می‌شود.



شکل ۲۱.۲

اگر بارگذاری اولیه آنقدر بزرگ باشد که باعث سخت‌شوندگی کرنشی ماده شود (نقطه C)، بارگذاری در امتداد خط C'D' روی می‌دهد. با اعمال بار معکوس، تنش از نوع فشاری می‌شود، در نقطه H' به مقدار ماکریسم می‌رسد و تا تسلیم ماده در امتداد خط H'J' ثابت می‌ماند. توجه داریم که مقدار ماکریسم تنش فشاری کمتر از σ_0 است، و تغییر کلی تنش بین C' و H' هنوز با σ_0 برابر است.

اگر نقطه K یا K' هر مبدأ A منطبق باشد، تغییر شکل دانش برآبر با صفر است و نمونه ممکن است به حالت اولیه‌اش برگردد. ولی، تغییرات داخلی روی خواهد داد و در صورتی که همان سیکل بارگذاری تکرار شود، نمونه پس از چند تکرار گیخته می‌شود بدون اینکه قابل علامتی از خود نشان دهد. این موضوع نشان می‌دهد که تغییر شکل‌های پلاستیک اضافی نمونه باعث می‌شود مشخصه‌های ماده به شدت تغییر گنند. بنابراین، در ناحیه پلاستیک به ندرت می‌توان بارگذاری معکوس را به کار برد و فقط در شرایط دقیقاً کنترل شده، مانند اصلاح مواد آسیب دیده یا تنظیم سازه یا ماشین، از آن استفاده می‌شود.

۷-۲ بارگذاری‌های تکراری: خستگی در قسمت‌های قبل، رفتار یک نمونه آزمایشی را ناحت بارگذاری محوری بررسی کردیم. توجه داریم که اگر ماکریسم تنش در نمونه از حد الاستیک ماده فراتر نرود، نمونه پس از حذف بار به حالت اولیه‌اش بر می‌گردد. می‌توان نتیجه گرفت که یک بارگذاری معین را می‌توان به دفعات تکرار کرد، به شرطی که تنش‌ها در ناحیه الاستیک باشند. این نتیجه گیری برای بارگذاری‌هایی که حتی صدها مرتبه تکرار می‌شوند صحت دارد. ولی، همانطور که بعداً خواهید دید برای بارگذاری‌هایی که هزاران یا میلیون‌ها مرتبه تکرار می‌شوند صحت ندارد. در چنین مواردی، تحت تنشی که خیلی کمتر از استقامت شکست استاتیکی است، گسیختگی روی می‌دهد؛ این پدیده گسیختگی می‌گویند. گسیختگی ناشی از خستگی، حتی برای موادی که در حالت عادی چکش خوارند، دارای ماهیت شکنندگی است.

در طراحی تمام اجزای ساختمانی و ماشین‌آلات که تحت بارهای تکراری یا نوسانی قرار دارند باید خستگی را در نظر گرفت. تعداد سیکل‌های بارگذاری که در طی عمر مفید یک جزء می‌توان پیش‌بینی کرد خیلی تغییر می‌کند. مثلاً، تیری که یک جرثقیل صنعتی رانگه می‌دارد ممکن است دو میلیون مرتبه در ۲۵ سال بارگذاری شود (تقریباً ۳۰۰ بارگذاری در یک روز کاری). میل‌لنگ اتومبیلی که ۲۰۰۰۰۰ مایل کار می‌کند تقریباً نیم میلیارد مرتبه بارگذاری می‌شود. تیله یک توپین در عمر خود ممکن است صدها میلیارد مرتبه بارگذاری می‌شود.

با جایگذاری ϵ از (۵-۲) در (۶-۲) :

$$\delta = \frac{PL}{AE} \quad (7-2)$$

از معادله (۷-۲) وقتی می‌توان استفاده کرد که میله همگن (دارای E) باشد، مساحت A مقطع عرضی آن یکنواخت باشد و از سر بارگذاری شده باشد. اگر میله در نقاط دیگری بارگذاری شده باشد یا از چند قسمت با مقطع عرضی متفاوت و از مواد مختلف ساخته شده باشد، باید آن را به اجزای مختلف تقسیم کرد که هر کدام شرایط مورد نیاز را برای کاربرد فرمول (۷-۲) برقرار کند. اگر P ، L ، E و ϵ ، به ترتیب، نیروی داخلی، طول، مساحت مقطع عرضی و مدول الاستیستیه جزء آ باشند، تغییرشکل کلی میله را به صورت زیر می‌توان نوشت:

$$\delta = \sum_i \frac{P_i L_i}{A_i E_i} \quad (8-2)$$

طبق قسمت ۲-۲، کرنش ϵ در میله‌ای با مقطع عرضی متغیر (شکل ۵-۲) به وضعیت نقطه Q (که ϵ در آنجا محاسبه می‌شود) بستگی دارد و به صورت $\epsilon = d\delta/dx$ تعریف می‌شود. با حل $d\delta$ و با جایگذاری ϵ از معادله (۵-۲)، تغییرشکل یک جزء با طول dx چنین است:

$$d\delta = \epsilon dx = \frac{P}{AE} dx$$

با انتگرال‌گیری از عبارت بالا در طول میله، تغییرشکل کلی میله بدست می‌آید:

$$\delta = \int_0^L \frac{P}{AE} dx \quad (9-2)$$

وقتی مساحت مقطع عرضی A تابعی از x است یا نیروی داخلی P به x بستگی دارد (مانند میله اوبیزانی که تحت وزن خود قرار دارد)، باید به جای فرمول (۷-۲) از فرمول (۹-۲) استفاده کرد.

مثال ۱-۲

تغییرشکل میله فولادی نشان داده شده در شکل ۲۲-۲ (الف) را تحت بارهای داده شده بباید. ($E = 200 \text{ GPa}$).

آزمایش بر روی نمونه‌های آزمایشی شفت‌ها، فترها و سایر اجزایی که گیخته شدند نشان داد که گیختگی ابتدا با یک ترک میکرو‌سکوپی، یا نقص مشابه آن، شروع می‌شود و در هر بارگذاری کمی بزرگتر می‌شود. در بارگذاری‌های متوالی، این گیختگی ناشی از خستگی می‌تواند در هر ترک با نقص شروع شود، شرایط در سطح يك نمونه تأثیر مهمی بر حد دوام دارد. حد دوام نمونه‌های ماشین کاری و پرداخت شده پیشتر از حد دوام نمونه‌های نورد شده، آهنگری شده، یا خورده شده است. در کاربردهای داخل آب دریا، یا در مایه کاربردهایی که احتمال خوردن وجود دارد، حد دوام ممکن است تا ۵۰٪ کاهش یابد.

۸-۲ تغییرشکل عضوها تحت بارگذاری محوری میله همگن BC به طول L با مساحت مقطع عرضی یکنواخت A تحت بار محوری مرکزی P قرار دارد (شکل ۲۲-۲). اگر نتش محوری از حد تناسب ماده فراتر نروده، می‌توان قانون هوک را به کار برد:

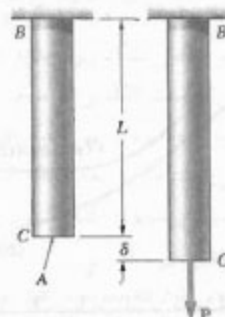
$$\sigma = E \epsilon \quad (4-2)$$

در نتیجه،

$$\epsilon = \frac{\sigma}{E} = \frac{P}{AE} \quad (5-2)$$

طبق قسمت ۲-۲، $\epsilon = \delta/L$. در نتیجه،

$$\delta = \epsilon L \quad (6-2)$$

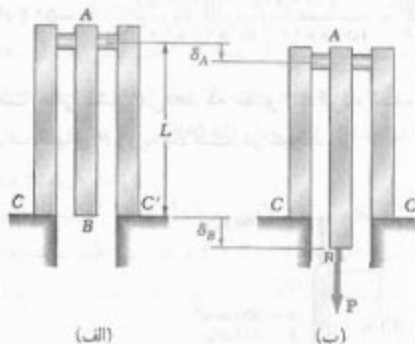


شکل ۲۲-۲

میله BC در شکل ۲۴-۲، که از آن برای استنتاج فرمول (۷-۲) استفاده شد، و میله AD در شکل ۲۳-۲ که در مثال ۱-۲ به کار رفت، هر دو از یک سر به تکیه گاه ثابت متصل‌اند. از این‌رو، تغییرشکل ۵ میله با تغییر مکان سر آزاد آن برابر بود. ولی اگر هر دو سر میله حرکت کنند، تغییرشکل میله با تغییر مکان نسبی یک سر میله تسبیت به سر دیگر سنجیده می‌شود. مثلاً، مجموعه نشان داده شده در شکل ۲۴-۲‌الف را در نظر بگیرید. این مجموعه از سه میله الاستیک به طول L ، که با مفصل صلب A به هم متصل‌اند، تشکیل شده است. اگر بار P بر B وارد شود (شکل ۲۴-۲‌ب)، هر یک از سه میله تغییرشکل B می‌دهند. چون میله‌های AC و AC' در C و C' به تکیه گاه‌های ثابت متصل شده‌اند، تغییرشکل مشترک آنها با تغییر مکان نقطه A اندازه‌گیری می‌شود. از طرف دیگر، چون هر دو سر میله حرکت می‌کنند، تغییرشکل AB با اختلاف تغییر مکان‌های A و B ، یعنی با تغییر مکان B نسبت به A و δ_B و δ_A سنجیده می‌شود. اگر این تغییر مکان نسبی را با $\delta_{B/A}$ نشان دهیم،

$$\delta_{B/A} = \delta_B - \delta_A = \frac{PL}{AE} \quad (10-2)$$

که در آن A مساحت مقطع عرضی AB و E مدول الاستیستیته آن است.

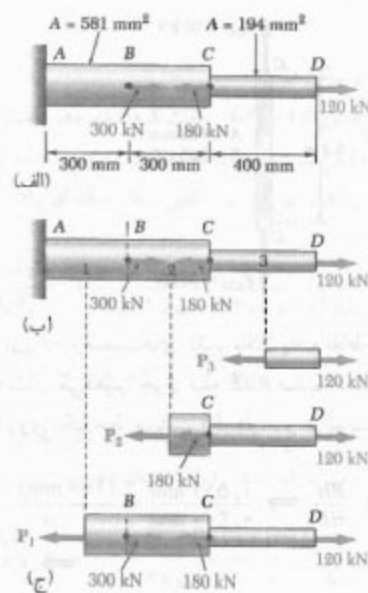


شکل ۲۴-۲

مسئله نمونه ۱-۲

میله صلب BDE توسط دو بازوی AB و CD نگه داشته شده است. بازوی AB از آلومینیم ($E = 70 \text{ GPa}$) و دارای مساحت مقطع عرضی $50 \times 50 \text{ mm}^2$ است؛ بازوی CD از فولاد ($E = 200 \text{ GPa}$) و با مساحت مقطع عرضی $60 \times 60 \text{ mm}^2$ است.

برای تنش و کرنش kN قابل‌نقد، مطابق‌بود انتحراف نقاط (الف)، (ب) و (ج).



شکل ۲۳-۲

میله را به سه قسم نشان داده شده در شکل ۲۳-۲ ب تقسیم می‌کنیم و می‌نویسیم:

$$L_1 = L_\tau = 300 \text{ mm} \quad L_\tau = 400 \text{ mm} \\ A_1 = A_\tau = 50 \times 50 \text{ mm}^2 \quad A_\tau = 194 \text{ mm}^2$$

برای تعیین نیروهای داخلی P_1 ، P_τ ، P_r و P_τ ، هر یک از این سه قسم را مقطع می‌زنیم و نمودار آزاد قسمتی از میله را که در سمت راست آن مقطع قرار دارد رسم می‌کنیم (شکل ۲۳-۲‌ج). با توجه به تعادل این قسمت‌ها،

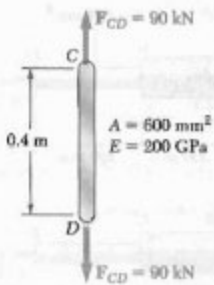
$$P_1 = 240 \text{ kN} = 240 \times 10^3 \text{ N}$$

$$P_\tau = -60 \text{ kN} = -60 \times 10^3 \text{ N}$$

$$P_r = 120 \text{ kN} = 120 \times 10^3 \text{ N}$$

با جایگذاری در معادله (۸-۲)

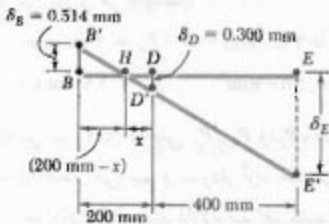
$$\begin{aligned} \delta &= \sum_i \frac{P_i L_i}{A_i E_i} = \frac{1}{E} \left(\frac{P_1 L_1}{A_1} + \frac{P_\tau L_\tau}{A_\tau} + \frac{P_r L_\tau}{A_\tau} \right) \\ &= \frac{1}{200 \times 10^9} \left[\frac{(240 \times 10^3)(0.75)}{50 \times 50 \times 10^{-4}} \right. \\ &\quad \left. + \frac{(-60 \times 10^3)(0.75)}{194 \times 10^{-4}} + \frac{(120 \times 10^3)(0.75)}{194 \times 10^{-4}} \right] \\ &= \frac{1740 \times 10^3}{200 \times 10^9} = 1.74 \times 10^{-3} \text{ m} = 1.74 \text{ mm} \end{aligned}$$



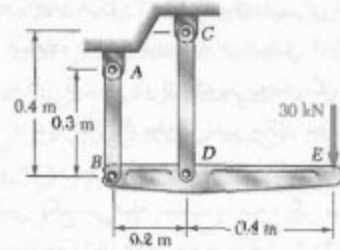
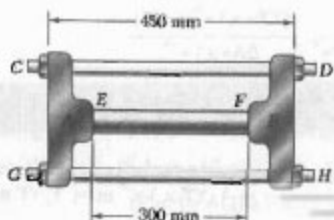
ج - انحراف E . وضعیت‌های تغییر مکان یافته نقاط B و D را با D' و B' نشان می‌دهیم. چون میله BDE صلب است، نقاط E و E' روی یک خط مستقیم قرار دارند و می‌نویسیم:

$$\frac{BB'}{DD'} = \frac{BH}{HD} \Rightarrow \frac{\delta_B - \delta_D}{\delta_D} = \frac{(200 \text{ mm}) - x}{x} \Rightarrow x = 178 \text{ mm}$$

$$\frac{EE'}{DD'} = \frac{HE}{HD} \Rightarrow \frac{\delta_E}{\delta_D} = \frac{(100 \text{ mm}) + (178 \text{ mm})}{178 \text{ mm}} \Rightarrow \delta_E = 142 \text{ mm} \downarrow$$



مسئله نمونه ۲
قطعات ریختگی A و B توسط دو پیچ و مهره فولادی CD و GH به قطر 18 mm به هم متصل شده و با دوسر میله آلمینیمی EF به قطر 38 mm تماس دارند. پیچ‌ها تک راهه و با گام 20 mm هستند. پس از اینکه پیچ و مهره‌ها محکم می‌شوند، مهره‌های D و H به اندیشه یک چهارم دور سفت می‌شوند. اگر E برای فولاد 200 GPa و برای آلمینیم 70 GPa باشد، تنش قائم در میله را بیابید.



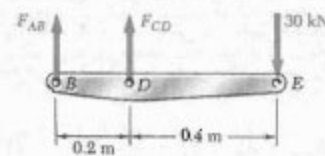
حل

بودار آزاد: میله
 $\sum M_B = 0 : -(30 \text{ kN})(0.5 \text{ m}) + F_{CD}(0.2 \text{ m}) = 0$

$$F_{CD} = +90 \text{ kN} \quad F_{CD} = 90 \text{ kN} \quad (\text{کشی})$$

$$\sum M_D = 0 : -(30 \text{ kN})(0.4 \text{ m}) - F_{AB}(0.2 \text{ m}) = 0$$

$$F_{AB} = -90 \text{ kN} \quad F_{AB} = 90 \text{ kN} \quad (\text{فتاری})$$

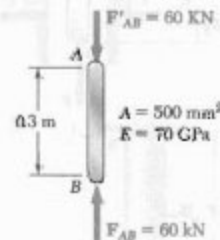


الف - انحراف δ . چون نیروی داخلی در بازوی AB فشاری است، $P = -90 \text{ kN}$

$$\delta_B = \frac{PL}{AE} = \frac{(-90 \times 10^3 \text{ N})(0.2 \text{ m})}{(500 \times 10^{-9} \text{ m}^2)(70 \times 10^9 \text{ Pa})} = -0.514 \times 10^{-3} \text{ m}$$

علامت منفی نشان می‌دهد که عضو AB کوتاه شده است.
لذا، انحراف انتهای B رو به بالاست. در نتیجه،

$$\delta_B = 0.514 \text{ mm} \uparrow$$



ب - انحراف D . در میله CD , $P = 90 \text{ kN}$, CD در نتیجه،

$$\delta_D = \frac{PL}{AE} = \frac{(40 \times 10^3 \text{ N})(0.4 \text{ m})}{(300 \times 10^{-9} \text{ m}^2)(70 \times 10^9 \text{ Pa})}$$

$$\delta_D = 0.300 \text{ mm} \uparrow$$

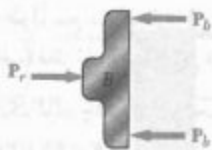
$$= 300 \times 10^{-3} \text{ m} \quad \delta_D = 0.300 \text{ mm} \downarrow$$



حل

تفییر شکل ها

پیچ های CD و GH . سفت کردن مهره ها باعث ایجاد کشش در پیچ ها می شود. به علت تقارن، هر دو پیچ تحت نیروی داخلی یکسان P_b قرار می گیرند و تغییر شکل یکسان δ_b را می دهند:



نیرو در پیچ ها و در میله
با جایگذاری P_r از (δ) در (Δ)

$$0,625 \text{ mm} = \lambda / \lambda 42 \times 10^{-3} P_b + 3,779 \times 10^{-3} (2P_b)$$

$$\Rightarrow P_b = 3\lambda / 1 \times 10^3 \text{ N} = 3\lambda / 1 \text{ kN}$$

$$P_r = 2P_b = 2(3\lambda / 1 \text{ kN}) = 6\lambda / 2 \text{ kN}$$

تنش در میله

$$\sigma_r = \frac{P_r}{A_r} = \frac{6\lambda / 2 \text{ kN}}{\frac{1}{4}\pi (3\lambda \text{ mm})^2} \Rightarrow \sigma_r = 6\lambda / 19 \text{ MPa} \quad (\Delta)$$

مسائل

۱-۲ یک میله فولادی به طول $2,2 \text{ m}$ است و تحت بار نباید بیش از $1/2 \text{ mm}$ $8,5 \text{ kN}$ $E = 200 \text{ GPa}$ مطلوبست: (الف) کمترین قطر میله، (ب) تنش قائم متناظر تحت بار $8,5 \text{ kN}$.

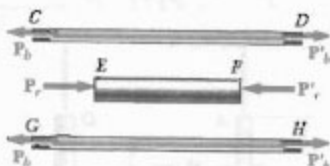
۲-۲ یک سیم فولادی به طول 6 m تحت نیروی کشش 48 mm $E = 200 \text{ GPa}$ و افزایش طول میله باشد، مطلوبست: (الف) کمترین قطر سیم، (ب) تنش قائم متناظر.

۳-۲ یک میله کترل از جنس برنج زرد تحت کشش $3,2 \text{ kN}$ نباید بیش از 3 mm کشیده شود. اگر $E = 105 \text{ GPa}$ و ماکریسم تنش قائم مجاز 180 MPa باشد، مطلوبست: (الف) کمترین قطر میله، (ب) ماکریسم طول متناظر میله.

۴-۲ دو علامت سنجه دقیقاً به فاصله 250 mm روی یک میله آلمینیمی، با $E = 73 \text{ GPa}$ و با استقامت نهایی 140 MPa و به قطر 12 mm ، تحریز دارند. اگر فاصله بین این دو علامت پس از اعمال نیرو $250,28 \text{ mm}$ باشد، مطلوبست: (الف) تنش در میله، (ب) ضریب اطمینان.

میله EF . این میله تحت فشار است. اگر مقدار نیرو در میله را با P_r و تغییر شکل میله را با δ_r نشان دهیم،

$$\delta_r = - \frac{P_r L_r}{A_r E_r} = - \frac{P_r (300 \text{ mm})}{\frac{1}{4}\pi (3\lambda \text{ mm})^2 (V_0 \times 10^3 \text{ N/mm}^2)} = -3,779 \times 10^{-3} P_r \quad (2)$$



تفییر شکل D نسبت به B . سفت کردن مهره ها به اندازه یک چهارم دور باعث می شود دو سر D و H تغییر مکان $\frac{1}{4}(2,5 \text{ mm})$ را نسبت به قطعه B بدتهند. با در نظر گرفتن سر D ، من نویسیم:

$$\delta_{DH} = \frac{1}{4} (2,5 \text{ mm}) = 0,625 \text{ mm} \quad (3)$$

اما $\delta_D = \delta_B$ ، که در آن δ_D و δ_B تغییر مکان های D و B هستند. اگر فرض کنیم قطعه A در یک مکان ثابت نگه داشته می شود و مهره های D و H سفت می شوند، این تغییر مکان ها، به ترتیب، با تغییر شکل پیچ ها و میله برابرند. بنابراین،

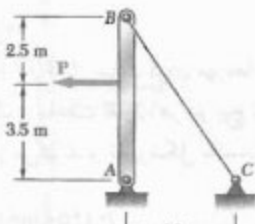
$$\delta_{DH} = \delta_b = \delta_r \quad (4)$$

با جایگذاری از (۱)، (۲) و (۳) در (۴)،

$$0,625 \text{ mm} = \lambda / \lambda 42 \times 10^{-3} P_b + 3,779 \times 10^{-3} P_r \quad (5)$$

جسم آزاد: قطعه B

$$\sum F = 0; \quad P_r - 2P_b = 0 \Rightarrow P_r = 2P_b \quad (6)$$



شکل ۱۳-۲

۵-۲ یک نخ نایلونی تحت نیروی کششی 8 N قرار دارد. اگر $E = 5\text{ GPa}$ و طول نخ به اندازه 1 m درصد افزایش یابد، مطلوبست: (الف) قطر نخ، (ب) تنش در نخ.

۶-۲ از یک لوله چدنی برای تحمل بار فشاری استفاده می شود. اگر $E = 69\text{ GPa}$ و ماکریم تغییر مجاز طول لوله 25% باشد، مطلوبست: (الف) ماکریم تنش قائم در لوله، (ب) مینیمم ضخامت دیواره لوله برای بار $7/2\text{ kN}$ در صورتی که قطر لوله 5 mm باشد.

۷-۲ سیم فولادی به طول 9 mm و به قطر 6 mm تحت نیروی کششی P به اندازه 11 mm افزایش طول می دهد. اگر $E = 200\text{ GPa}$ مطلوبست: (الف) مقدار P ، (ب) تنش قائم منتظر در سیم.

۸-۲ سیم چهارگوش آلومینیومی تحت بار کششی نباید بیش از $1/4\text{ mm}$ افزایش طول دهد. اگر $E = 70\text{ GPa}$ و تنش مجاز کششی 120 MPa باشد، مطلوبست: (الف) ماکریم طول مجاز سیم، (ب) ابعاد موردنیاز مقطع عرضی برای بار کششی 28 kN .

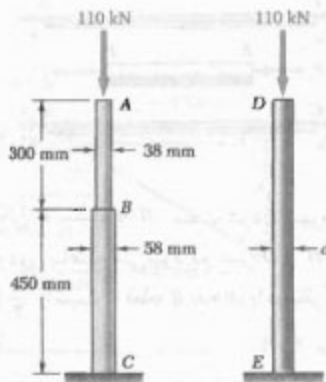
۹-۲ بار کششی 9 kN بر یک سیم فولادی، به طول 50 m و با $E = 200\text{ GPa}$ وارد می شود. اگر تنش قائم در سیم نباید از 150 MPa و افزایش طول آن نباید از 25 mm بیشتر شود، کمترین قطر سیم را بیابید.

۱۰-۲ قطعه ای به طول 250 mm و با مقطع عرضی $50 \times 40\text{ mm}$ برای تحمل بار فشاری مرکزی P به کار می روند. این قطعه از برتر، با $E = 95\text{ GPa}$ ساخته شده است. اگر تنش قائم در قطعه نباید از 80 MPa و کاهش طول آن نباید از 12% طول اولیه اش بیشتر شود، ماکریم باری را که می توان بر قطعه وارد کرد بیابید.

۱۱-۲ میله آلومینیومی به طول 15 mm تحت بار محوری 3 kN نباید بیش از 1 mm افزایش طول دهد و تنش قائم در آن نباید بیش از 40 MPa باشد. اگر $E = 70\text{ GPa}$ ، ابعاد موردنیاز میله را بیابید.

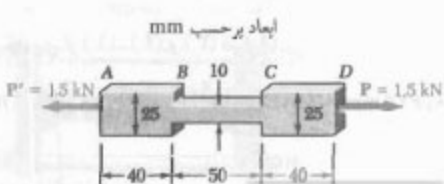
۱۲-۲ نخ نایلونی تحت بار 10 N قرار دارد. اگر $E = 3/5\text{ GPa}$ و ماکریم تنش قائم مجاز طول نخ 42 MPa است، افزایش طول نخ نباید بیش از 1% باشد. قطر نخ را بیابید.

۱۳-۲ کابل BC به قطر 4 mm از فولاد، $E = 200\text{ GPa}$ ساخته شده است. اگر ماکریم تنش در کابل نباید از 140 MPa و افزایش طول کابل نباید از 6 mm بیشتر شود، ماکریم بار P را که می توان وارد کرد بیابید.

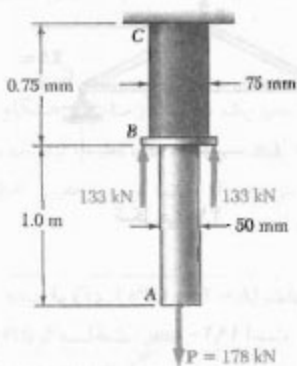


شکل ۱۴-۲

۱۵-۲ قطعه نشان داده شده از ورقی به ضخامت 5 mm ساخته شده است. برای $E = 3/10\text{ GPa}$ ، مطلوبست: (الف) تغییر شکل کلی قطعه، (ب) تغییر شکل قسمت مرکزی BC .

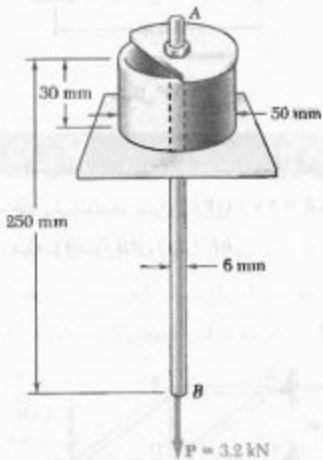


شکل ۱۵-۲



شکل م ۱۹-۲

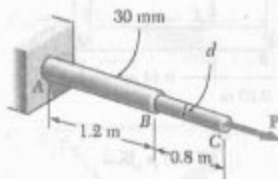
۲۰-۲ استوانه توخالی با ضخامت دیواره ۳ mm از جنس پلی اسٹیرن ($E = ۳ \text{ GPa}$)، ورق دایره‌ای (که فقط قسمتی از آن نشان داده شده است) میله فولادی ($E = ۲۰۰ \text{ GPa}$) به قطر ۶ mm را نگه داشته‌اند. برای $P = ۲۷.۲ \text{ kN}$ ، مطلوبست: (الف) افزایش طول AB ، (ب) انحراف نقطه B ، (ج) تنش قائم متوسط در میله AB .



شکل م ۲۰-۲

۲۱-۲ برای خربای فولادی ($E = ۲۰۰ \text{ GPa}$) و بارگذاری نشان داده شده، مطلوبست تغییر شکل عضو‌های AB و AD ، در صورتی که مساحت مقطع عرضی آنها، به ترتیب، 2400 mm^2 و 1800 mm^2 باشد.

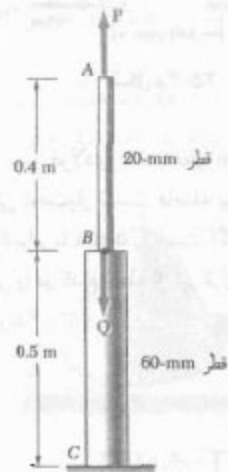
۱۶-۲ بار محوری با مقدار $P = ۵۸ \text{ kN}$ بر انتهای C میله ABC وارد می‌شود. اگر $E = ۱۰۵ \text{ GPa}$ ، مطلوبست قطر قسمت BC که لزای آن انحراف نقطه C برابر با 3 mm باشد.



شکل م ۱۶-۲

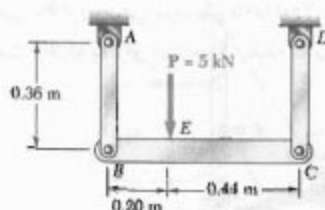
۱۷-۲ میله ABC از آلومینیم ($E = 70 \text{ GPa}$) ساخته شده است. اگر $P = 6 \text{ kN}$ و $Q = ۴۲ \text{ kN}$ ، مطلوبست: (الف) مقدار Q به طوری که انحراف نقطه A صفر باشد، (ب) انحراف نقطه B .

۱۸-۲ میله ABC از آلومینیوم ($E = 70 \text{ GPa}$) ساخته شده است. برای $P = 6 \text{ kN}$ و $Q = ۴۲ \text{ kN}$ ، مطلوبست: (الف) انحراف A ، (ب) انحراف B .



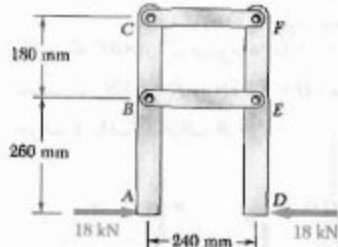
شکل م ۱۸-۲

۱۹-۲ دو میله استوانه‌ای در B بهم متصل شده‌اند. میله AB از فولاد ($E = ۲۰۰ \text{ GPa}$) و از برنج BC ($E = ۱۰۵ \text{ GPa}$) می‌باشد. مطلوبست: (الف) تغییر شکل کلی میله مركب ABC (ب) انحراف نقطه B .



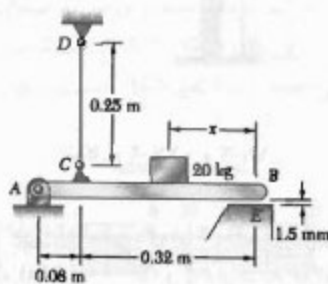
شکل ۲۴-۲

۲۵-۲ عضوهای ABC و DEF توسط عضوهای فولادی ساخته شده‌اند. هر یک از بازوها از زوج ورق‌های $25 \times 35\text{ mm}$ ساخته شده است. مطلوب است تغییر طول: (الف) عضو BE ، (ب) عضو CF .

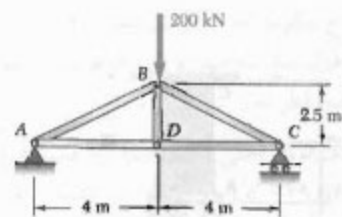


شکل ۲۵-۲

۲۶-۲ سیم فولادی به قطر 2 mm طوری تنظیم شده است که وقتی تحت بار نیست فاصله بین سر B از تیر ACB با نقطه تماس E برابر با 1.5 mm است. اگر $E = 200\text{ GPa}$ ، قطعه 20 کیلوگرمی را در کدام نقطه از تیر قرار دهیم تا نقاط B و E با هم تماس گیرند؟

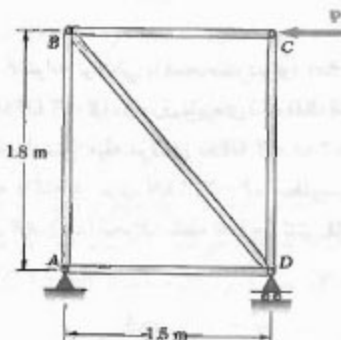


شکل ۲۶-۲



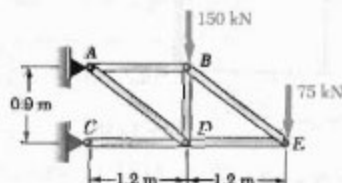
شکل ۲۱-۲

۲۲-۲ قاب فولادی ($E = 200\text{ GPa}$) نشان داده شده دارای مهار قطری BD با مساحت 1920 mm^2 است. اگر تغییر طول عضو BD نباید از 1.6 mm بیشتر شود، بیشترین بار مجاز P را بیابید.



شکل ۲۲-۲

۲۳-۲ عضوهای AB و BE از میله‌های فولادی به قطر 25 mm ساخته شده‌اند. برای $E = 200\text{ GPa}$ ، مطلوب است افزایش طول میله: (الف) AB ، (ب) BE .



شکل ۲۳-۲

۲۴-۲ هر یک از بازوهای AB و CD از آلومینیم ($E = 75\text{ GPa}$) ساخته شده است و دارای مساحت مقطع عرضی 125 mm^2 است. اگر این بازوها عضو صلب BC را نگه دارند، انحراف نقطه E را بیابید.

۳۱-۲ اگر "کرنش مهندسی" در یک نمونه کششی را با ϵ_x نشان دهیم، ثابت کنید که کرنش حقیقی عبارت است از $\epsilon_x = \ln(1 + \epsilon)$.

۳۲-۲ حجم یک نمونه آزمایشی هنگام تغییرشکل پلاستیک اساساً ثابت می‌ماند. اگر قطر اولیه نمونه d_1 باشد، نشان دهید که وقتی قطر d است، کرنش حقیقی عبارت است از $\epsilon_x = 2 \ln(d_1/d)$.

۹-۲ مسائل نامعین استاتیکی
در قسمت قبل، برای تعیین نیروهای داخلی در قسمت‌های مختلف عضوی که تحت بارگذاری قرار داشت از نمودار آزاد و معادله‌های تعادل استفاده می‌کردیم. سپس، با جایگذاری مقادیر حاصل در معادله (۸-۲) یا (۹-۲)، تغییرشکل عضو را به دست می‌آورديم.

ولی، در بسیاری از مسائل نمی‌توان به صورت بالا عمل کرد. در این مسائل، معادله‌های تعادل را باید با رابطه‌هایی که شامل تغییرشکل‌ها هستند تکمیل کرد؛ این تغییرشکل‌ها از هندسه مسئله تعیین می‌شوند. چون صرفاً با استاتیک نمی‌توان واکنش‌ها یا نیروهای داخلی را پیدا کرد، این نوع مسائل را نامعین استاتیکی می‌گویند.

مثال ۹-۲

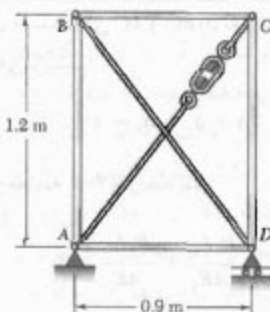
میله‌ای به طول L ، مساحت مقطع عرضی A ، و مدول الاستیستیه E در داخل لوله‌ای به طول L و با مساحت مقطع عرضی A_1 و مدول الاستیستیه E_1 قرار دارد (شکل ۲۵-۲). اگر نیروی P بر صفحه صلب انتهایی وارد شود، تغییرشکل میله و لوله را بیایید.

نیروهای محوری در میله و لوله را، به ترتیب، با P_1 و P_2 نشان می‌دهیم و نمودار آزاد سه جزء نشان داده شده را رسم کنید (شکل ۲۵-۲ ب، ج، د). در نمودار آخر،

$$P_1 + P_2 = P \quad (11-2)$$

با این معادله نمی‌توان دو نیروی داخلی مجهول P_1 و P_2 را حل کرده و مسئله نامعین استاتیکی است.

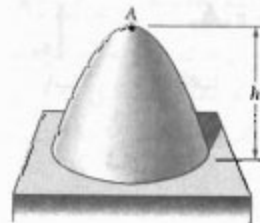
۲۷-۲ عضوهای CD و AB از نوع میله‌های فولادی به قطر 30 mm و عضوهای BC و AD از نوع میله‌های فولادی به قطر 22 mm هستند. وقتی بست قوریاغه‌ای سفت می‌شود، عضو قطر AC تحت کشش قرار می‌گیرد. اگر $E = 200\text{ GPa}$ ، مطلوبست بیشترین کشش مجاز در AC به طوری که تغییرشکل عضوهای CD و AB از 10 mm بیشتر نشود.



شکل ۲۷-۲

۲۸-۲ برای سازه زاده شده در مسئله ۲۷-۲، مطلوبست:
(الف) فاصله h به طوری که تغییرشکل عضوهای AB ، BC ، CD ، AD برابر باشند.
(ب) کشش متناظر در عضو AC .

۲۹-۲ انحراف رأس A مخروط همگن دلیلی به ارتفاع h ، چگالی ρ و مدول الاستیستیه E را تحت تأثیر وزن مخروط بیایید.



شکل ۲۹-۲

۳۰-۲ کابل همگنی به طول L و با مقطع عرضی یکتاخت از یک سر آویزان شده است. (الف) اگر چنگالی کابل را با ρ و مدول الاستیستیه آن را با E نشان دهیم، افزایش طول کابل را برابر اثر وزن آن بیایید. (ب) نشان دهید که اگر کابل افقی بود و نیروی برابر با نصف وزنش بر هر سر آن وارد می‌شد، همان افزایش طول را می‌دارد.

نمودار آزاد میله را در میکنیم (شکل ۲۶-۲ب) و معادله تعادل را می‌نویسیم:

$$R_A + R_B = P \quad (14-2)$$

این معادله شامل دو واکنش مجهول R_A و R_B است. لذا، مسئله نامعین است ایکی است.

طبق شکل هندسی، افزایش طول کلی میله صفر است. افزایش طول قسمت‌های AC و BC را، به ترتیب، با δ_1 و δ_2 نشان می‌دهیم و می‌نویسیم:

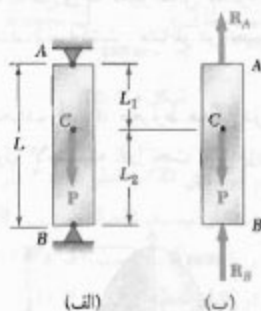
$$\delta = \delta_1 + \delta_2 = 0$$

با استفاده از معادله ۷-۲ و رابطه بالا،

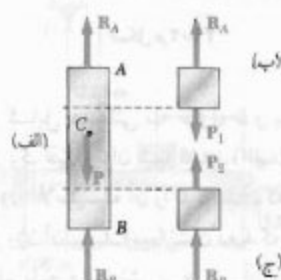
$$\delta = \frac{P_1 L_1}{AE} + \frac{P_2 L_2}{AE} = 0 \quad (15-2)$$

از نمودار آزاد قسمت‌های ب و ج شکل ۲۷-۲، به ترتیب، $P_1 = -R_B$ و $P_2 = R_A$. با جایگذاری این مقادیر در معادله (۱۵-۲)، نتیجه می‌شود:

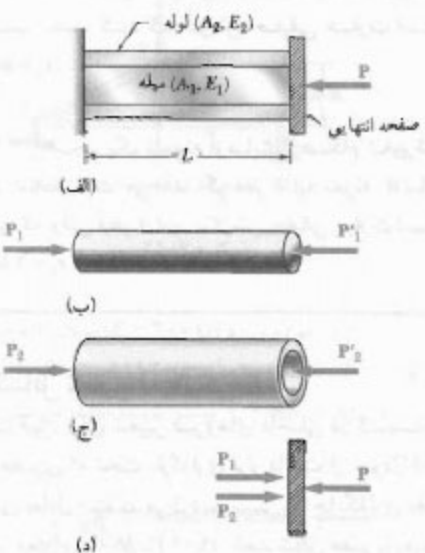
$$R_A L_1 - R_B L_2 = 0 \quad (16-2)$$



شکل ۲۶-۲



شکل ۲۷-۲



شکل ۲۵-۲

باتوجه به شکل هندسی، تغییرشکل‌های میله و لوله با هم برابرند. طبق معادله (۷-۲)،

$$\delta_1 = \frac{P_1 L_1}{A_1 E_1} \quad \delta_2 = \frac{P_2 L_2}{A_2 E_2} \quad (12-2)$$

این دو تغییرشکل را مساوی هم قرار می‌دهیم:

$$\frac{P_1}{A_1 E_1} = \frac{P_2}{A_2 E_2} \quad (13-2)$$

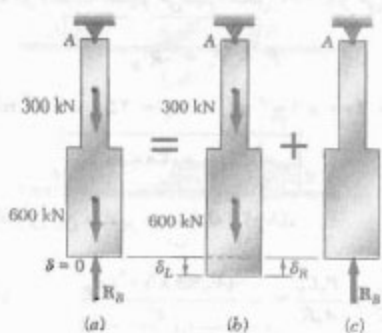
با حل معادله‌های (۱۱-۲) و (۱۳-۲)،

$$P_1 = \frac{A_1 E_1 P}{A_1 E_1 + A_2 E_2} \quad P_2 = \frac{A_2 E_2 P}{A_1 E_1 + A_2 E_2}$$

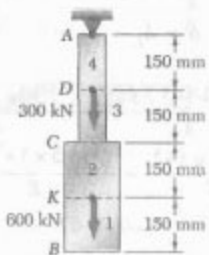
هر یک از معادله‌های (۱۲-۲) را برای تعیین تغییرشکل مشترک میله و لوله می‌توان به کار برد.

مثال ۲۶-۲

میله AB به طول L و با مقطع عرضی یکنواخت، قبل از بارگذاری به تکیه‌گاههای صلب A و B متصل است. تنش در قسمت‌های AC و BC را بر اثر بار P که در نقطه C وارد شده است بباید (شکل ۲۶-۲الف).



شکل ۲۹-۲



شکل ۳۰-۲

میله را به چهار قسمت تقسیم می‌کنیم (شکل ۳۰-۲)، و تغییر شکل δ_L را از معادله (۸-۲) می‌یابیم. با استفاده از مثال ۱-۲، می‌نویسیم:

$$P_1 = 0 \quad P_T = P_T = 600 \times 10^7 \text{ N} \quad P_4 = 900 \times 10^7 \text{ N}$$

$$A_1 = A_T = 400 \times 10^{-9} \text{ m}^2 \quad A_T = A_4 = 250 \times 10^{-9} \text{ m}^2$$

$$L_1 = L_T = L_4 = L_T = 0.15 \text{ m}$$

با جایگذاری این مقادیر در معادله (۸-۲)

$$\begin{aligned} \delta_L &= \sum_{i=1}^T \frac{P_i L_i}{A_i E} = \left(0 + \frac{600 \times 10^7 \text{ N}}{400 \times 10^{-9} \text{ m}^2} \right. \\ &\quad \left. + \frac{600 \times 10^7 \text{ N}}{250 \times 10^{-9} \text{ m}^2} + \frac{900 \times 10^7 \text{ N}}{250 \times 10^{-9} \text{ m}^2} \right) \frac{0.15 \text{ m}}{E} \\ \Rightarrow \delta_L &= \frac{1125 \times 10^8}{E} \end{aligned} \quad (۱۷-۲)$$

* در قسمت ۱۷-۲، شرایط کلی را که به موجب آن می‌توان با این روش اثر ترکیبی بند بار را بدست آورد بحث فراز من دیگر.

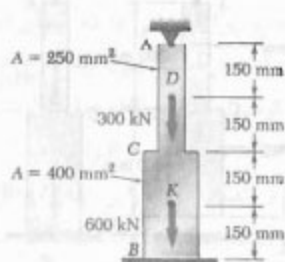
با حل همزمان معادله‌های (۱۴-۲) و (۱۶-۲)، $R_A = PL_1/L$ و $R_B = PL_2/L$ تنش‌های خواسته شده در AC و BC ، به ترتیب، از تقسیم $P_T = R_A$ و $P_T = R_B$ بر مساحت مقطع عرضی میله بدست می‌آید:

$$\sigma_1 = \frac{PL_1}{AL} \quad \sigma_4 = -\frac{PL_2}{AL}$$

روش برهمنهش (ترکیب). اگر تعداد تکیه‌گاه‌های سازه‌ای بیش از تعداد لازم برای حفظ تعادل سازه باشد، سازه نامعین استاتیکی است. در این حالت، تعداد واکنش‌های مجهول بیش از تعداد معادله‌های تعادل است. اغلب، یکی از این واکنش‌ها را زائدگرفته و تکیه‌گاه متناظر آن را حذف می‌کنیم (واکنش زائد را می‌توان بسازه مجهولی دانست که، همراه با سایر بارها، تغییر شکل‌های حاصل از بارهای داده شده و حاصل از واکنش زائد را به طور جداگانه در نظر گرفته، و با ترکیب این تغییر شکل‌ها به نتیجه دلخواه می‌رسیم).

مثال ۴-۲

در شکل ۲۸-۲، واکنش در A و B را بیابید. فرض کنید میله قبل از بارگذاری به هر دو تکیه‌گاه کاملاً متصل است. واکنش در B را زائد می‌گیریم و میله را از تکیه‌گاهش جدا می‌کنیم. حال، واکنش R_B را به عنوان بار مجهول می‌گیریم (شکل ۲۹-۲ الف) و آن را از این شرایط بدست می‌آوریم که تغییر شکل میله صفر است. با در نظر گرفتن جداگانه تغییر شکل ناشی از بارهای داده شده (یعنی شکل ۲۹-۲ ب) و تغییر شکل ناشی از واکنش زائد R_B (شکل ۲۹-۲ ب)، مسئله را می‌توان حل کرد.



شکل ۲۸-۲

حال، با در نظر گرفتن تغییر شکل ناشی از واکنش زائد R_B ، میله را به دو قسمت تقسیم می کنیم (شکل ۳۱-۲) و منویسیم:

$$P_L = P_T = -R_B$$

$$A_1 = 400 \times 10^{-3} \text{ m}^2 \quad A_2 = 250 \times 10^{-3} \text{ m}^2$$

$$L_1 = L_2 = 0.300 \text{ m}$$

با جایگذاری این مقادیر در معادله (۱۸-۲)،

$$\delta_R = \frac{P_L L_1}{A_1 E} + \frac{P_T L_2}{A_2 E} = -\frac{(1/90 \times 10^7) R_B}{E} \quad (18-2)$$

تغییر شکل کلی میله را مساوی صفر قرار می دهیم، و منویسیم:

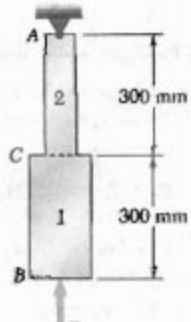
$$\delta = \delta_L + \delta_R = 0 \quad (19-2)$$

با جایگذاری δ_L و δ_R از (۱۷-۲) و (۱۸-۲) در (۱۹-۲)،

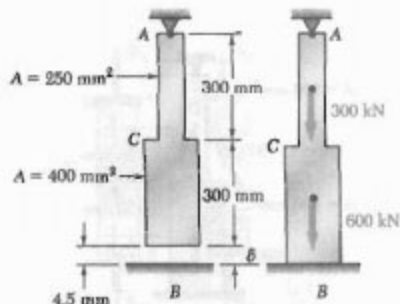
$$\delta = \frac{1/120 \times 10^4}{E} - \frac{(1/90 \times 10^7) R_B}{E} = 0$$

درنتیجه،

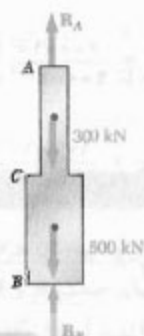
$$R_B = 500 \times 10^7 \text{ N} = 500 \text{ kN}$$



شکل ۲۱-۲



شکل ۳۲-۲



شکل ۳۲-۲

واکنش R_A در تکیه گاه فوقانی از نمودار آزاد میله (شکل ۳۲-۲) بدست می آید. منویسیم:

$$+\uparrow \sum F_y = 0 : \quad R_A - 300 \text{ kN} - 600 \text{ kN} + R_B = 0$$

$$R_A = 900 \text{ kN} - R_B = 400 \text{ kN} - 500 \text{ kN} = 222 \text{ kN}$$

با تعیین واکنش ها، به سهولت می توان تنش و گردنگ در میله را بدست آورد. باید توجه داشت که تغییر شکل کلی میله صفر است، ولی هر قسمت آن تحت بارگذاری و قیدهای داده شده تغییر شکل می دهد.

مثال ۲

مثال قبل را با این فرض حل کنید که، قبیل از بارگذاری، فاصله $E = 200 \text{ GPa}$ وجود دارد (شکل ۳۳-۲). از همان روش مثال ۲ استفاده می کنیم. واکنش در B را زائد می گیریم، و با استفاده از بارهای داده شده و واکنش زائد R_B ، به ترتیب، تغییر شکل های δ_L و δ_R را می باییم. در این حالت، تغییر شکل کلی صفر نیست و $\delta = 4.5 \text{ mm}$. بنابراین،

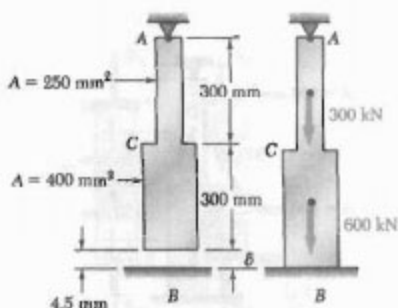
$$\delta = \delta_L + \delta_R = 4.5 \times 10^{-3} \text{ m} \quad (20-2)$$

با جایگذاری δ_L و δ_R از (۱۷-۲) و (۱۸-۲) در (۲۰-۲) و با $E = 200 \text{ GPa} = 200 \times 10^9 \text{ Pa}$ توجه به اینکه

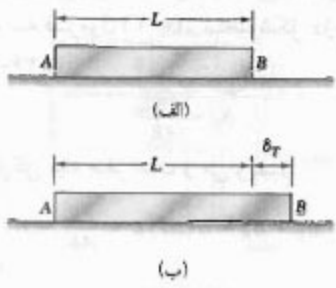
$$\delta = \frac{1/120 \times 10^4}{200 \times 10^9} - \frac{(1/90 \times 10^7) R_B}{200 \times 10^9} = 4.5 \times 10^{-3} \text{ m}$$

درنتیجه،

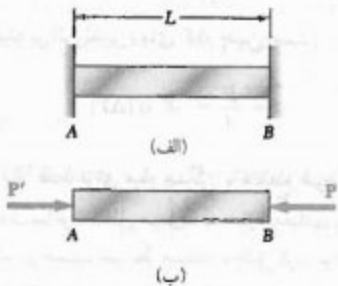
$$R_B = 115,4 \times 10^7 \text{ N} = 115,4 \text{ kN}$$



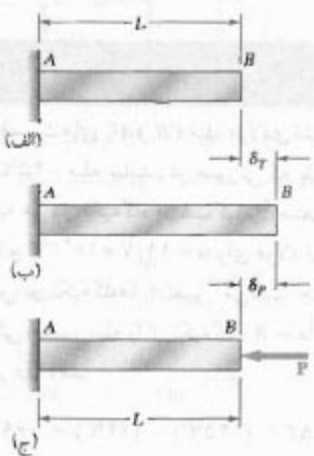
شکل ۳۲-۲



شکل ۳۴-۲



شکل ۳۵-۲



شکل ۳۶-۲

برای تعیین تنش σ ناشی از تغییر دمای ΔT در این حالت، یک مسئله زامعین استاتیکی روبرو هستیم. بنابراین، ابتدا باید واکنش در تکه‌گاهها را از شرط صفر بودن کشیدگی میله محاسبه کنیم. با استفاده از روش ترکیب، که در قسمت ۹-۲ توصیف شد، میله را از تکه‌گاه B جدا می‌کنیم (شکل ۳۶-۲الف) و می‌گذاریم تحت تغییر دمای ΔT آزادانه کشیده شود (شکل ۳۶-۲ب). طبق فرمول (۲۱-۲)، کشیدگی عانتظر چنین است:

$$\delta_T = \alpha(\Delta T)L$$

از نمودار آزاد میله (شکل ۳۶-۲)، واکنش در A را می‌یابیم:

$$\uparrow \sum F_y = 0 : R_A - ۳۰۰ \text{ kN} - ۵۰۰ \text{ kN} + R_B = 0$$

$$R_A = ۴۰۰ \text{ kN} - R_B = ۴۰۰ \text{ kN} = ۱۱۵,۴ \text{ kN} = VAD \text{ kN}$$

۱۰-۲ مسائل مربوط به تغییرات دما

تا به حال، تمام عضوها و سازه‌ها هنگام پارگذاری در دمای ثابت بودند. حال می‌خواهیم اثر تغییر دما را بررسی کنیم. میله همسکن AB با مقطع عرضی یکتوخت و به طول L را روی یک سطح صاف افقی در نظر می‌گیریم (شکل ۳۶-۲الف). اگر دمای میله به اندازه ΔT افزایش باید، میله به اندازه δ_T کشیده می‌شود (شکل ۳۶-۲ب)، به طوری که:

$$\delta_T = \alpha(\Delta T)L \quad (۲۱-۲)$$

α مشخصه‌ای از ماده، به نام ضریب انبساط گویایی، است. δ_T و L بر حسب آحاد طول، و α بر حسب $\frac{1}{F}$ یا $\frac{1}{C}$ بیان می‌شود. تغییر شکل δ_T با کرنش $\epsilon_T = \delta_T/L$ همراه است. با توجه به معادله (۲۱-۲)،

$$\epsilon_T = \alpha \Delta T \quad (۲۲-۲)$$

در اکنون گویایی می‌گویند. در حالت بالا، هیچ تنشی در ارتباط با گردنی ϵ_T وجود ندارد زیرا میله آزادانه روی سطح قرار دارد. حال فرض می‌کنیم که میله AB بین دو تکه گاه ثابت به فاصله L از هم قرار دارد (شکل ۳۶-۲الف). ابتدا هیچ تنش یا گردنی وجود ندارد. اگر دمای میله را به اندازه ΔT افزایش دهیم، میله کشیده نمی‌شود زیرا قیدهای در دو انتهای آن قرار دارند؛ لذا، کشیدگی δ_T میله صفر است. چون میله دارای مقطع عرضی یکتوخت است، گردنی ϵ_T در هر نقطه عبارت است از $\epsilon_T = \delta_T/L$ و آنهم صفر است. ولی، پس از افزایش دما، تکه گاهها دونبیری مساوی و متضاد P را بر میله وارد می‌کنند و مانع کشیدگی آن می‌شوند (شکل ۳۶-۲ب). لذا، تنش (بدون گردنی) در میله به وجود می‌آید.

حال، با اعمال نیروی مجهول R_B در انتهای B (شکل ۲-۳۸ج) از معادله (۸-۲) برای تغییرشکل متناظر δ_R استفاده می‌کنیم. مقادیر زیر را در معادله ۸-۲ جایگذاری می‌کنیم:

$$L_1 = L_2 = ۳۰۰ \text{ mm}$$

$$A_1 = ۷۸۰ \text{ mm}^2$$

$$A_2 = ۷۵۰ \text{ mm}^2$$

$$P_1 = P_2 = R_B$$

$$E = ۲۰۰ \text{ GPa}$$

در نتیجه،

$$\begin{aligned}\delta_R &= \frac{P_1 L_1}{A_1 E} + \frac{P_2 L_2}{A_2 E} \\ &= \frac{R_B}{۲۰۰ \text{ GPa}} \left(\frac{۳۰۰ \text{ mm}}{۷۸۰ \text{ mm}^2} + \frac{۳۰۰ \text{ mm}}{۷۵۰ \text{ mm}^2} \right) \\ &= (۵,۹۵ \times ۱۰^{-۶} \text{ mm/N}) R_B\end{aligned}$$

تغییرشکل کلی میله بر اثر وجود قیدها صفر است و می‌نویسیم:

$$\delta = \delta_T + \delta_R = ۰$$

$$= -۰,۴۸۴ \text{ mm} + (۵,۹۵ \times ۱۰^{-۶} \text{ mm/N}) R_B = ۰$$

در نتیجه،

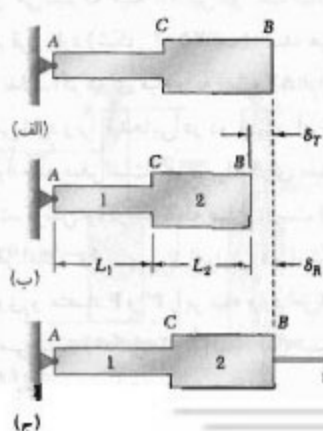
$$R_B = ۸۱,۳۴ \times ۱۰^۶ \text{ N} = ۸۱,۳۴ \text{ kN}$$

واکنش در A مساوی و متفاوت با واکنش بالاست.

نیروها در دو قسمت میله عبارتند از CB میله عبارتند از: لذا، تشن در قسمت‌های AC و CB میله عبارتند از:

$$\sigma_1 = \frac{P_1}{A_1} = \frac{۸۱,۳۴ \text{ kN}}{۷۸۰ \text{ mm}^2} = ۱۰۵,۱ \text{ MPa}$$

$$\sigma_2 = \frac{P_2}{A_2} = \frac{۸۱,۳۴ \text{ kN}}{۷۵۰ \text{ mm}^2} = ۱۰۵,۵ \text{ MPa}$$



شکل ۲-۳۸

حال، با اعمال نیروی P به عنوان واکنش زائد در انتهای B و با توجه به فرمول (۷-۲)، تغییرشکل دوم را می‌باشیم (شکل ۲-۳۶-۲):

$$\delta_P = \frac{PL}{AE}$$

تغییرشکل کل میله صفر است و می‌نویسیم:

$$\delta = \delta_T + \delta_P = \alpha(\Delta T)L + \frac{PL}{AE} = ۰$$

در نتیجه،

$$P = -AE \alpha(\Delta T)$$

تشن در میله بر اثر تغییر دمای ΔT چنین است:

$$\sigma = \frac{P}{A} = -E \alpha(\Delta T) \quad (۳۲-۲)$$

نتیجه بالا فقط برای میله همگن با مقطع عرضی یکنواخت به کار می‌رود. سایر مسائل مربوط به سازه مقیدی راکه تغییر دما می‌دهد باید برحسب شرایط مسئله تحلیل کرد. برای این منظور، از یک روش کلی می‌توان استفاده کرد؛ یعنی، تغییرشکل ناشی از تغییر دما و ناشی از واکنش زائد را به طور جداگانه محاسبه، و با ترکیب آنها مسئله را حل کرد.

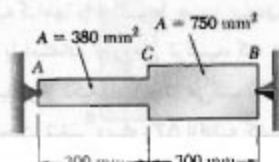
مثال ۲-۶

مقدار تشن در قسمت‌های AC و CB میله فولادی نشان داده شده را برای دمای -۴۵°C - میله بیابید، در صورتی که بدایم میله در دمای $+۲۴^\circ\text{C}$ به هر دو تکیه‌گاه صلب کاملاً متصل است. از $E = ۲۰۰ \text{ GPa}$ و $\alpha = ۱۱,۷ \times ۱۰^{-۶} / ^\circ\text{C}$ است. ابتدا واکنش در تکیه‌گاهها را تعیین می‌کنیم. چون مسئله نامعین استاتیکی است، میله را از تکیه‌گاه B جدا می‌کنیم و می‌گذاریم تغییر دما دهد:

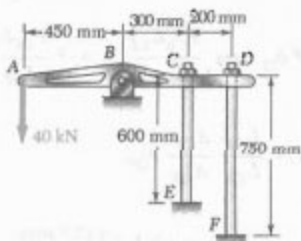
$$\Delta T = (-۴۵^\circ\text{C}) - (۲۴^\circ\text{C}) = -۶۹^\circ\text{C}$$

تغییرشکل متناظر (شکل ۲-۳۸-۲ب) چنین است:

$$\begin{aligned}\delta_T &= \alpha(\Delta T)L = (۱۱,۷ \times ۱۰^{-۶} / ^\circ\text{C})(-۶۹^\circ\text{C})(۶۰۰ \text{ mm}) \\ &= -۰,۴۸۴ \text{ mm}\end{aligned}$$

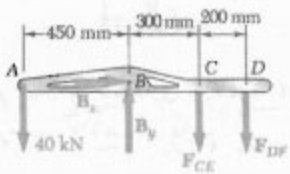


شکل ۲-۳۷



استاتیک، نمودار آزاد میله $ABCD$ را رسم، و توجه می‌کنیم که واکنش در B و نیروهای واردہ از میله‌ها نامعین استاتیکی‌اند. با استفاده از استاتیک، می‌نویسیم:

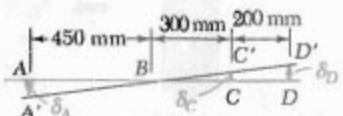
$$\begin{aligned} \sum M_B &= 0 : \\ (40 \text{ kN})(450 \text{ mm}) - F_{CE}(300 \text{ mm}) - F_{DF}(500 \text{ mm}) &= 0 \\ \Rightarrow 300 F_{CE} + 500 F_{DF} &= 18000 \quad (1) \end{aligned}$$



هندسه. پس از اعمال بار 40 kN ، وضعیت میله به صورت BCC' در می‌آید. از مثلث‌های مشابه $A'BC'D'$ و BDD' :

$$\frac{\delta_C}{300 \text{ mm}} = \frac{\delta_D}{500 \text{ mm}} \Rightarrow \delta_C = 0.6 \delta_D \quad (2)$$

$$\frac{\delta_A}{450 \text{ mm}} = \frac{\delta_D}{500 \text{ mm}} \Rightarrow \delta_A = 0.9 \delta_D \quad (3)$$



تفییر شکل‌ها. با استفاده از معادله (۲-۲)،

$$\delta_C = \frac{F_{CE} L_{CE}}{A_{CE} E} \quad \delta_D = \frac{F_{DF} L_{DF}}{A_{DF} E}$$

گرچه تغییر شکل کلی میله صفر است، ولی تغییر شکل قسمت‌های CB و AC صفر نیست. لذا، گرنش ϵ_{AC} در AC را محاسبه می‌کنیم. گرنش ϵ_{AC} را می‌توان به دو قسمت تقسیم کرد: (۱) گرنش گرمایی ϵ_T ناشی از تغییر دما ΔT در میله مقید نشده (شکل ۳۸-۲ ب)، از معادله (۲۲-۲)،

$$\begin{aligned} \epsilon_T &= \alpha \Delta T = (11.7 \times 10^{-5} / ^\circ\text{C})(-69^\circ\text{C}) \\ &= -8.9 \times 10^{-5} \text{ mm/mm} \end{aligned}$$

(۲) گرنش ناشی از تنش، σ ، که آن هم از نیروی R_B وارد بر میله ناشی می‌شود (شکل ۳۸-۲ ج). با توجه به قانون هوک، این مولفه گرنش چنین است:

$$\sigma_1 = \frac{+444,1 \text{ MPa}}{200 \text{ GPa}} = +1070,0 \times 10^{-5} \text{ mm/mm}$$

درنتجه،

$$\begin{aligned} \epsilon_{AC} &= \epsilon_T + \frac{\sigma_1}{E} = -8.9 \times 10^{-5} + 1070,0 \times 10^{-5} \\ &= +263,2 \times 10^{-5} \text{ mm/mm} \end{aligned}$$

با محاسبه مشابه، گرنش در قسمت CB میله بدست می‌آید:

$$\begin{aligned} \epsilon_{CB} &= \epsilon_T + \frac{\sigma_1}{E} = -8.9 \times 10^{-5} + 542,0 \times 10^{-5} \\ &= -264,8 \times 10^{-5} \text{ mm/mm} \end{aligned}$$

تفییر شکل‌های δ_{AC} و δ_{CB} در دو قسمت میله عبارتند از:

$$\begin{aligned} \delta_{AC} &= \epsilon_{AC}(AC) = (+263,2 \times 10^{-5})(300 \text{ mm}) \\ &= +0,079 \text{ mm} \\ \delta_{CB} &= \epsilon_{CB}(CB) = (-264,8 \times 10^{-5})(300 \text{ mm}) \\ &= -0,079 \text{ mm} \end{aligned}$$

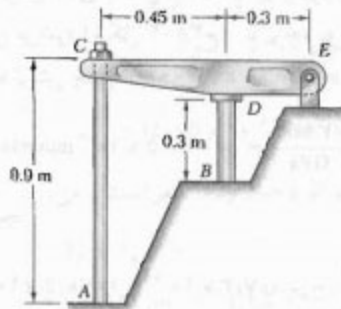
دیده می‌شود که مجموع این دو تغییر شکل، $\delta = \delta_{AC} + \delta_{CB}$ ، صفر است در حالی که هیچیک از آنها صفر نیست.

مسئله نمونه ۳-۲

میله CE به قطر 12 mm و میله DF به قطر 18 mm میله $ABCD$ متصل شده‌اند. اگر میله‌ها از آلومینیوم ($E = 70 \text{ GPa}$) باشند، مطلوب است: (الف) نیرو در هر میله، (ب) انحراف در نقطه A .

مجموعه C است، میله AC با بیج و مهره سفت می‌شود. سپس، دمای استوانه برنجی تا 50°C افزایش می‌یابد ولی میله فولادی در 20°C می‌ماند. اگر قبل از تغییر دما تنش وجود داشته باشد، تنش در استوانه را بیابید.

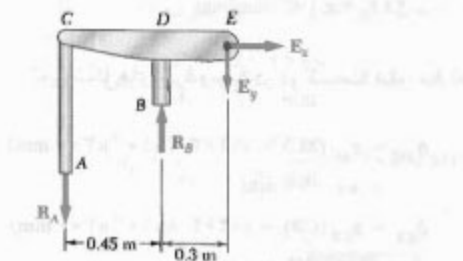
$$\begin{array}{ll} \text{میله فولادی } AC & \text{استوانه برنجی } BD \\ E = 200 \text{ GPa} & E = 100 \text{ GPa} \\ \alpha = 11, \sqrt{10^{-6}/^{\circ}\text{C}} & \alpha = 20/4 \times 10^{-6}/^{\circ}\text{C} \end{array}$$



حل

استاتیک. نمره‌لار آزاد تمام مجموعه را رسم می‌کنیم و می‌نویسیم

$$\begin{aligned} \sum M_E = 0 : R_A (0, \sqrt{5} \text{ m}) - R_B (0, \sqrt{3} \text{ m}) &= 0 \\ \Rightarrow R_A = 0, \frac{4}{5} R_B &\quad (1) \end{aligned}$$



تفیر شکل‌ها. با در نظر گرفتن R_B به عنوان واکنش زائد، از روش ترکیب استفاده می‌کیم. با حذف تکیه گاه B ، افزایش دمای استوانه باعث می‌شود نقطه B به اندازه δ_D پایین آید. واکنش R_B باعث انحراف δ_A می‌شود. درنتیجه، انحراف نهایی صفر است (شکل ۳).

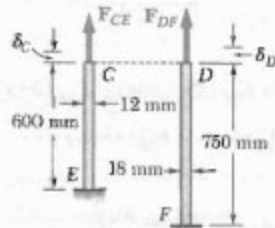
انحراف δ_D . به علت افزایش دمای 50°C به 20°C طول استوانه برنجی به اندازه δ_D افزایش می‌یابد:

$$\delta_T = L (\Delta T) \alpha = (0, 3 \text{ m}) (20^{\circ}\text{C}) (20/4 \times 10^{-6}/^{\circ}\text{C}) = 18,1 \times 10^{-6} \text{ m} \downarrow$$

با جایگذاری δ_D در (۲)،

$$\delta_C = 0, \frac{4}{5} \delta_D \Rightarrow \frac{F_{CE} L_{CE}}{A_{CE} E} = 0, \frac{4}{5} \frac{F_{DF} L_{DF}}{A_{DF} E}$$

$$\begin{aligned} \Rightarrow F_{CE} &= 0, \frac{4}{5} \frac{L_{DF}}{L_{CE}} \frac{A_{CE}}{A_{DF}} F_{DF} \\ &= 0, \frac{4}{5} \left(\frac{750 \text{ mm}}{600 \text{ mm}} \right) \left[\frac{1}{\sqrt{3}} \pi (12 \text{ mm})^2 \right] F_{DF} \\ \Rightarrow F_{CE} &= 0, 777 F_{DF} \end{aligned}$$



نیرو در هر میله. با جایگذاری F_{CE} در (۱) و با توجه به اینکه نیروها برحسب kN هستند، داریم

$$\begin{aligned} 700 (0, 777 F_{DF}) + 500 F_{DF} &= 18000 \\ \Rightarrow F_{DF} &= 70 \text{ kN} \end{aligned} \quad \blacktriangleleft$$

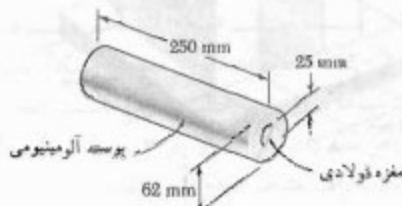
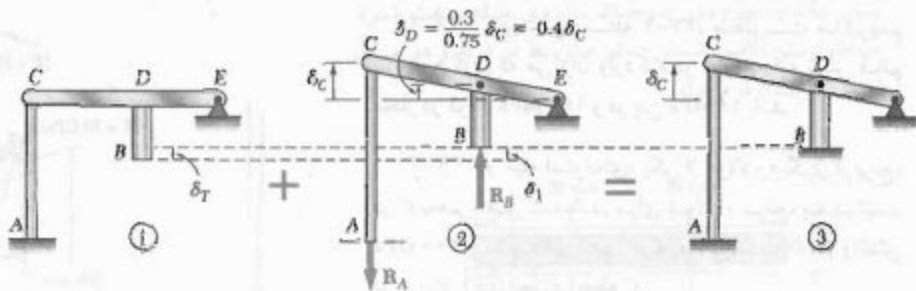
$$\begin{aligned} F_{CE} &= 0, 777 F_{DF} = 0, 777 (70 \text{ kN}) \\ \Rightarrow F_{CE} &= 55 \text{ kN} \end{aligned} \quad \blacktriangleleft$$

انحراف‌ها. انحراف نقطه D چنین است:

$$\delta_D = \frac{F_{DF} L_{DF}}{A_{DF} E} = \frac{(70 \times 10^3 \text{ N})(750 \text{ mm})}{\frac{1}{\sqrt{3}} \pi (12)^2 (100 \text{ GPa})} \Rightarrow \delta_D = 1,26 \text{ mm}$$

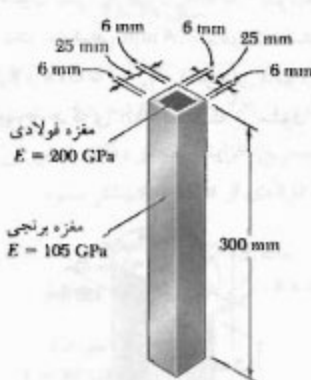
$$\begin{aligned} \delta_A &= 0, \frac{4}{5} \delta_D = 0, \frac{4}{5} (1,26 \text{ mm}) \\ \Rightarrow \delta_A &= 1,17 \text{ mm} \end{aligned} \quad \blacktriangleleft$$

مسئله نمونه ۴-۲
میله صلب CDE دارای تکیه گاه مفصلی E است و روی استوانه برنجی BD به قطر 30 mm قرار دارد. میله فولادی AC به قطر 22 mm از سوراخ داخل میله CDE گذشته است. وقتی دمای



شکل ۲۳-۲

۳۴-۲ با اعمال یک نیروی محوری از جانب صفحات صلب انتهایی بر مجموعه، طول مجموعه به اندازه ۱۵ mm کاهش می یابد. مطلوب است: (الف) مقدار نیروی وارد، (ب) نش در مغازه فولادی.



شکل ۲۴-۲

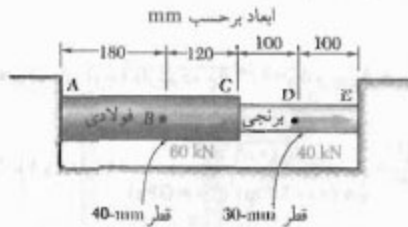
۳۵-۲ نیروی محوری مرکزی با مقدار $P = 450 \text{ kN}$ از صفحه صلب انتهایی بر قطعه مرکب وارد شده است. اگر $h = 30 \text{ mm}$ باشد، مطلوب است: (الف) نش قائم در مغازه برقی، (ب) نش قائم در صفحات آلومینیومی.

مسائل

۳۳-۲ نیروهای فشاری مرکزی 260 kN از طریق صفحات صلب بر هر دوسر مجموعه نشان داده شده وارد شده است. اگر $E_a = 70 \text{ GPa}$ و $E_s = 200 \text{ GPa}$ باشد، مطلوب است: (الف) نش قائم در هسته فولادی و در پوسته آلومینیومی، (ب) تغییر شکل مجموعه

۳۸-۲ برای ستون مستله ۲، ۳۷-۲، مطلوب است ماکزیمم فیبروی مرکزی که می‌توان وارد کرد در صورتی که تنش قائم مجاز در فولاد 160 MPa و در بتون 18 MPa باشد.

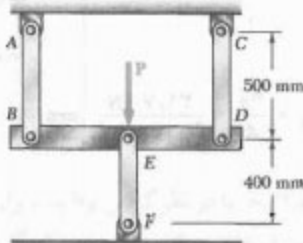
۳۹-۲ دو میله استوانه‌ای، یکی از فولاد و دیگری از برنج، در C بهم متصل شده‌اند. برای فولاد و برنج، به ترتیب، مطلوب است: (الف) $E_s = 200 \text{ GPa}$ و (ب) $E_s = 105 \text{ GPa}$. مطلوب است: (الف) واکنش در A و E، (ب) انحراف نقطه C.



شکل ۳۹-۲م

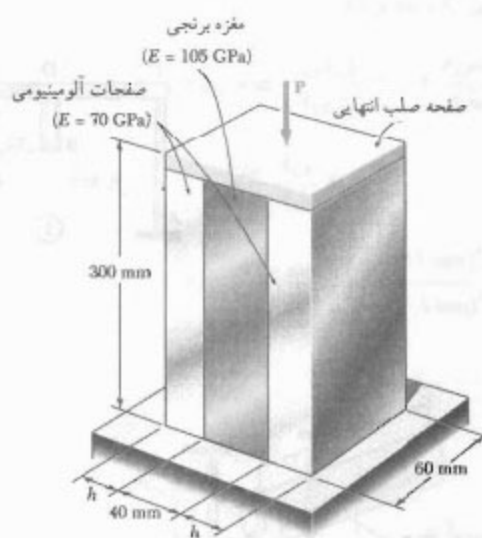
۴۰-۲ مستله ۳۹-۲ را با این فرض حل کنید که میله AC از برنج و میله CE از فولاد باشد.

۴۱-۲ سه میله فولادی ($E = 200 \text{ GPa}$) با بار P با مقدار 236 kN را تحمل می‌کنند. مساحت مقطع عرضی میله‌های AB، EF و CD، به ترتیب، 200 mm^2 ، 200 mm^2 و 625 mm^2 است. مطلوب است: (الف) تغییر طول میله EF، (ب) تنش در هر میله.



شکل ۴۱-۲م

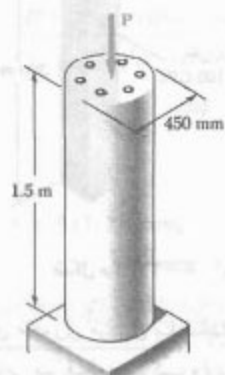
۴۲-۲ لوله آلومینیومی به طول 250 mm ، با قطر خارجی 36 mm و با قطر داخلی 28 mm است. یک میله برنجی به قطر 25 mm داخل این لوله قرار داده می‌شود. سپس، دو بوش پیچ دار در دو انتهای لوله پیچ می‌شود گام پیچ‌ها 1.5 mm است. برای آلومینیوم و برنج، به ترتیب، $E_a = 70 \text{ GPa}$ و $E_b = 105 \text{ GPa}$. جون میله کمی بلندتر از لوله است، بوش را



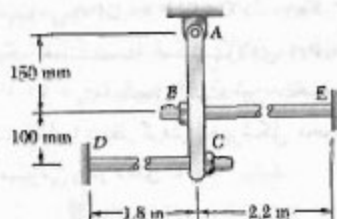
شکل ۳۵-۲م

۳۶-۲ برای قطعه مرکب نشان داده شده در مستله ۳۶-۲ مطلوب است: (الف) مقدار h در صورتی که قسمت تحت بار صفحات آلمینیومی نصف قسمت تحت بار مغزه برنجی باشد، (ب) بار کل در صورتی که تنش در مغزه برنجی 80 MPa باشد.

۳۷-۲ ستون بتونی به طول 1.5 m توسط شش میله فولادی، هر یک به قطر 28 mm ، تقویت شده است. اگر را برای بار محوری مرکزی 1550 kN که بر ستون وارد می‌شود باید.

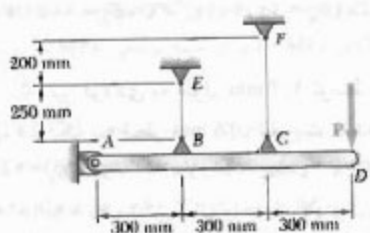


شکل ۳۷-۲م



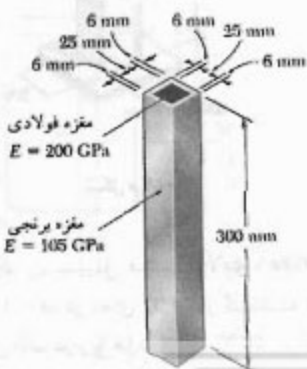
شکل ۴۵-۲م

۴۶-۲ میله صلب AD توسط دو سیم فولادی (۴) به قطر 1.5 mm و مفصل A نگه داشته شده است. اگر سیم‌ها در ابتدا در حالت کشیده باشد، (الف) کشش اضافی در هر سیم را بر اثر اعمال بار P با مقدار 900 N در D بیاید، (ب) انحراف متاضر نقطه D را بیاید.



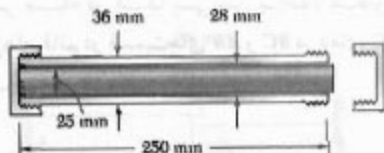
شکل ۴۶-۲م

۴۷-۲ پوسته برنجی ($\alpha_b = 20, 9 \times 10^{-6}/^\circ\text{C}$) کاملاً به سفره فولادی ($\alpha_s = 11, 7 \times 10^{-6}/^\circ\text{C}$) متصل شده است. مطلوب است بیشترین افزایش مجاز دما در صورتی که بخواهیم تنش در سفره فولادی از 55 MPa بیش نشود.



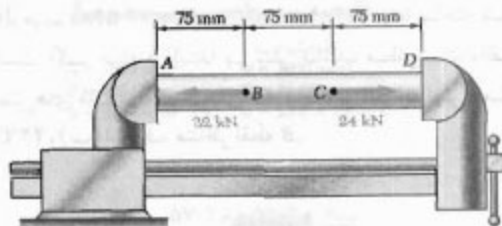
شکل ۴۷-۲م

باید یک چهارم دور چرخاند تاروی میله سفت شود. مطلوب است: (الف) تنش قائم متوسط در لوله و در میله، (ب) انحراف لوله و میله.



شکل ۴۲-۲م

۴۳-۲ یک لوله فولادی ($E = 200\text{ GPa}$) یا قطر خارجی 30 mm و ضخامت 3 mm در گیره‌ای قرار گرفته است. این گیره طوری تنظیم می‌شود که فکهایش درست با دو انتهای لوله تماس می‌گیرند بدون اینکه فشار وارد کند. سپس، دو نیروی نشان داده شده بر لوله وارد می‌شوند. پس از اعمال نیروها، گیره تنظیم می‌شود به طوری که فاصله بین فکهایش 2 mm کاهش می‌یابد. مطلوب است: (الف) نیروی وارد از گیره بر لوله در D و D ، (ب) تغییر طول قسمت BC لوله.

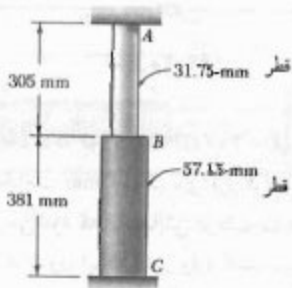


شکل ۴۳-۲م

۴۴-۲ مسئله ۴۳-۲ را با این فرض حل کنید که گیره، پس از اعمال نیروها، طوری تنظیم شود که فاصله بین فکهایش 1 mm کاهش یابد.

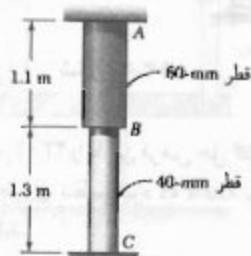
۴۵-۲ قطر هر یک از میله‌های فولادی BE و CD برابر با 16 mm است. گام پیچ‌های انتهایی $2,5\text{ mm}$ است. مهره B ، C ، پس از محکم شدن، به اندازه یک دور کامل سفت می‌شود. مطلوب است: (الف) کشش در میله CD ، (ب) انحراف نقطه C عضو صلب ABC .

۵۲-۲ میله‌ای از دو قسمت استوانه‌ای AB و BC تشکیل شده است و از دو انتهای مسقید است. قسمت AB از فولاد (۳۱.۷۵ mm قطر) با $\alpha_a = 11.7 \times 10^{-6}/^{\circ}\text{C}$ و $E_a = 200 \text{ GPa}$ و قسمت BC از برنج (۵۷.۱۵ mm قطر) با $\alpha_b = 18.7 \times 10^{-6}/^{\circ}\text{C}$ و $E_b = 120 \text{ GPa}$ ساخته شده است. اگر میله در ابتدا بی‌تش باشد، مطابق با (الف) تنش‌های قائم در قسمت‌های AB و BC بر دمای 18°C است. (الف) تنش‌های قائم در قسمت‌های AB و BC بر دمای 18°C (ب) انحراف متناظر نقطه B .



شکل ۵۲-۲

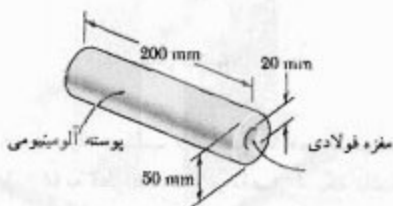
۵۳-۲ میله‌ای از دو قسمت AB و BC تشکیل شده است و از دو انتهای مسقید است. قسمت AB از برنج با $\alpha_b = 10.9 \times 10^{-6}/^{\circ}\text{C}$ و $E_b = 105 \text{ GPa}$ و قسمت BC از آلمینیم با $\alpha_a = 23.9 \times 10^{-6}/^{\circ}\text{C}$ و $E_a = 77 \text{ GPa}$ ساخته شده است. اگر میله در ابتدا بی‌تش باشد، مطابق با (الف) تنش‌های قائم در قسمت‌های AB و BC بر اثر افزایش دمای 42°C (ب) انحراف متناظر نقطه B .



شکل ۵۳-۲

۵۴-۲ در مثاله ۴۲-۲، تنش قائم متوسط را در نوله و میله با این فرض بیاید که مهره‌ها در دمای 15°C سقت شوند و دمای نهایی 55°C باشد، (برای آلمینیوم، $\alpha = 23.6 \times 10^{-6}/^{\circ}\text{C}$ و برای برنج، $\alpha = 20.9 \times ۱۰^{-6}/^{\circ}\text{C}$)

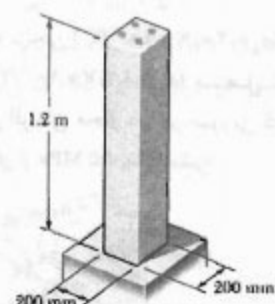
۴۸-۲ مجموعه نشان داده شده مشکل است از یک پوسته آلمینیومی ($a_a = 23.6 \times 10^{-6}/^{\circ}\text{C}$ ، $E_a = 70 \text{ GPa}$) به یک هسته فولادی ($a_g = 20.9 \times 10^{-6}/^{\circ}\text{C}$) متصل است. این مجموعه در دمای 20°C است. فقط با درنظر گرفتن تغییرشکل محوری، تنش در پوسته آلمینیومی را در دمای 180°C باید.



شکل ۴۸-۲

۴۹-۲ مثله ۴۸-۲ را با این فرض حل کنید که هسته از برنج ($a_g = 20.9 \times 10^{-6}/^{\circ}\text{C}$ ، $E_g = 105 \text{ GPa}$) باشد.

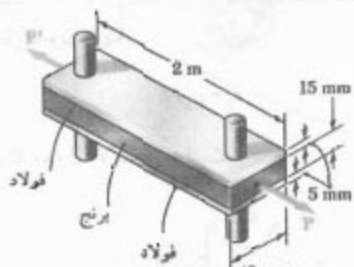
۵۰-۲ تیر فولادی به طول 1.2 m توسط چهار میله فولادی، هر یک به قطر 18 mm ، تقویت شده است. اگر $E_c = 25 \text{ GPa}$ ، $\alpha_c = 11.7 \times 10^{-6}/^{\circ}\text{C}$ ، $E_s = 200 \text{ GPa}$ و $\alpha_s = 9.9 \times 10^{-6}/^{\circ}\text{C}$ ، تنش قائم را در فولاد و بتن در دمای 27°C باید.



شکل ۵۰-۲

۵۱-۲ یک ریل فولادی ($E = 200 \text{ GPa}$) در دمای 60°C کار گذاشته شده است. مطابق با (الف) بهم جوش شده باشد و مسیر پوسته‌ای را تشکیل داده باشد، (ب) به طول 12 m و با فاصله 6 mm باشد.

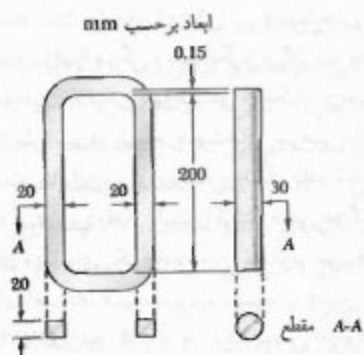
پس از ساخت، دمای میله‌های فولادی را به دمای اتاق بر من گردانند. مطلوب است: (الف) افزایش دمایی که برای جازدن مفصلها در میله‌های فولادی نیاز است، (ب) تنش در میله برنجی پس از اینکه تحت بار قرار می‌گیرد.



شکل ۵۸-۲

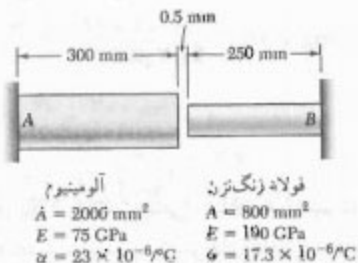
۵۸-۲ مطلوب است ماکریم بار P که می‌توان بر میله برنجی مسئله ۵۸-۲ وارد کرد در صورتی که بخواهیم تنش قائم در میله‌های فولادی 30 MPa و در میله برنجی 25 MPa باشد.

۵۸-۳ یک بسازوی بررنجی ($E_b = 70 \text{ GPa}$) و یک میله فولادی ($E_s = 200 \text{ GPa}$) و یک میله برنجی ($E_g = 200 \text{ GPa}$) در دمای 20°C دارای ابعاد نشان داده شده‌اند. میله فولادی سرد می‌شود تا اینکه آزادانه در بسازو جا می‌خورد. سپس، دمای کل مجموعه تا 150°C افزایش می‌یابد. مطلوب است: (الف) تنش قائم نهایی در میله فولادی، (ب) طول نهایی میله فولادی.



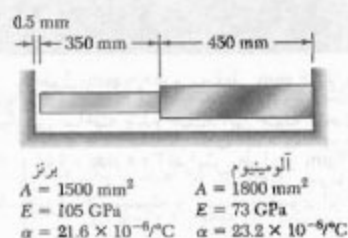
شکل ۵۸-۳

۵۵-۲ در دمای اتاق (20°C) فاصله 5 mm بین دو انتهای میله‌های نشان داده شده وجود دارد. در لحظه بعد، وقتی دما به 140°C می‌رسد، مطلوب است: (الف) تنش قائم در میله آلمینیمی، (ب) تغییر طول میله آلمینیمی.



شکل ۵۵-۲

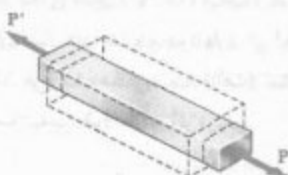
۵۶-۲ اگر در دمای 24°C فاصله 5 mm وجود داشته باشد، مطلوب است: (الف) دمایی که به ازای آن تنش قائم در میله آلمینیمی 75 MPa است، (ب) طول دقیق متناظر میله آلمینیمی.



شکل ۵۶-۲ و ۵۷-۲

۵۷-۲ مطلوب است: (الف) نیروی فشاری در میله‌های نشان داده شده پس از اینکه دما به اندازه 82°C افزایش یابد، (ب) تغییر طول متناظر میله برنزی.

۵۸-۴ از دو میله فولادی ($E_s = 200 \text{ GPa}$) و $E_g = 200 \text{ GPa}$ ($\alpha_g = 11.7 \times 10^{-6} / ^\circ\text{C}$) برای تقویت میله برنجی ($E_b = 105 \text{ GPa}$ و $\alpha_b = 20.9 \times 10^{-6} / ^\circ\text{C}$ ، که تحت بار $P = 25 \text{ kN}$ قرار دارد، استفاده شده است. هنگام ساخت میله‌های فولادی، فاصله بین مرکز سوراخ‌هایی که برای تعیین مفصل هاست به اندازه 5 mm کمتر از 2 m (فاصله مورد نیاز) در می‌آید. لذا، میله‌های فولادی را در کوره‌ای قرار می‌دهند تا طول آنها افزایش یابد به طوری که مفصلها را بستان جا زده.



شکل ۴۰-۲

با

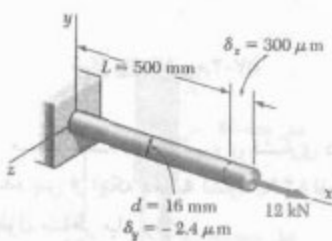
$$\nu = -\frac{\epsilon_y}{\epsilon_x} = -\frac{E_y}{E_x} \quad (46-2)$$

در معادله‌های بالا از علامت منفی استفاده می‌کنیم تا مقدار مشتبی برای ν بدست آید، زیرا کرنش‌های محوری و جانبی در تمام مواد صنعتی دارای علامت مخالفاند.^{**} با حل معادله (۴۶-۲) برای ϵ_y و ϵ_z و با توجه به معادله (۲۴-۲)،

$$\epsilon_x = \frac{\sigma_x}{E} \quad \epsilon_y = \epsilon_z = -\frac{\nu \sigma_x}{E} \quad (47-2)$$

مثال ۷-۲

میله‌ای به طول ۵۰۰ mm و به قطر ۱۶ mm از ماده همگن و همسانگردی ساخته شده است. این میله تحت بار محوری ۱۲ kN به اندازه ۳۰۰ μm افزایش طول و ۴/۲ μm کاهش قطر می‌دهد. مدل الاستیستیه و نسبت پواسون آن را بیابید.



شکل ۴۱-۲

* شاید فکر کنید به علت اثر ترکیبی کشیدگی محوری و القابض عرضی، حجم میله ثابت می‌ماند، ولی اینطور نیست.

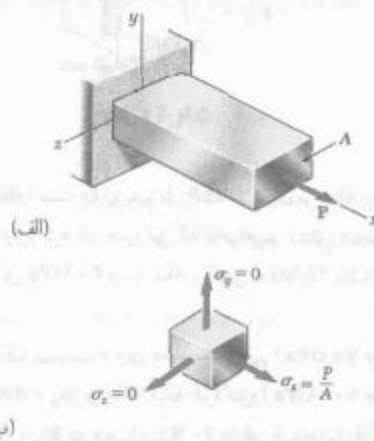
** البته، بعضی از مواد آزمایشی، مانند فرم‌های پلیمر، هنگام کشیدگی به طور جانبی متبسط می‌شوند. در این حالت، چون کرنش‌های محوری و جانبی دارای علامت یکسانند، نسبت پواسون این مواد مغایر است.

(See Roderic Lakes, "Foam Structures with a Negative Poisson's Ratio," *Science*, 27 February 1987, Volume 235, p. 1038-1040.)

۱۱-۲ نسبت پواسون در قسمت اول این فصل دیدیم که وقتی میله بارگذاری همگن به طور محوری بارگذاری می‌شود، تا مادامی که ماده از حد الاستیک خود فراتر نرفته است، تنش و کرنش از قانون هوک پیروی می‌کنند. اگر بار P در امتداد محور x وارد شود (شکل ۴۹-۲)، $\sigma_z = P/A$ که در آن A مساحت مقطع عرضی است. طبق قانون هوک،

$$\epsilon_z = \sigma_z/E \quad (44-2)$$

که در آن E مدل الاستیستیه است.



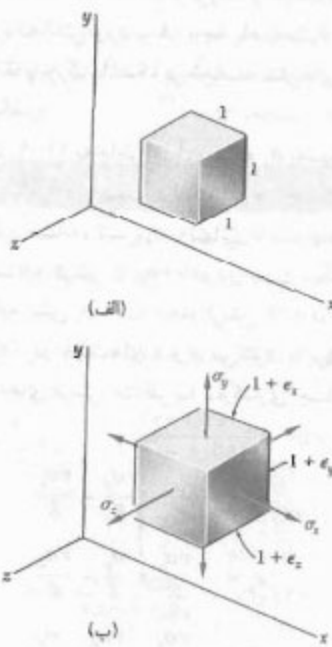
شکل ۴۹-۲

گفتی است که تنش‌های قائم وارد بر وجود عمد بر محورهای y و z صفر هستند؛ یعنی $\sigma_y = 0$ و $\sigma_z = 0$ (شکل ۴۹-۲ ب). ولی، کرنش‌های ϵ_y و ϵ_z صفر نیستند. در تمام مواد، کشیدگی حاصل از اعمال نیروی محوری P با انقباض عرضی همراه است (شکل ۴۰-۲). در قسمت‌های ۱۲-۲ تا ۱۵-۲، تمام مواد را همگن و همسانگرد می‌گیریم؛ یعنی، فرض می‌کنیم خواص مکانیکی آنها مستقل از مکان و جهت است. درنتیجه، کرنش نیز در تمام جهت‌های عرضی دارای مقدار یکسان است. بنابراین، برای بارگذاری نشان داده شده در شکل ۴۹-۲، $\epsilon_z = \epsilon_y$ ، این مقدار ثابت را کرنش جاتی می‌گویند. یکی از ثابت‌های مهم برای یک ماده معین، نسبت پواسون است که به افتخار ریاضی دان فرانسوی، سیمون دنیس پواسون (۱۷۸۱-۱۸۴۰) نامیده شده و با حرف یونانی ν (ν) نشان داده می‌شود. برای بارگذاری نشان داده شده در شکل ۴۹-۲،

کرنش جاتی	ν
کرنش محوری	$\sigma_z = P/A$

$$(25-2)$$

مساحت مقطع عرضی میله.



شکل ۴۳-۲

یک جزء مکعبی به ضلع واحد از ماده همانگرد را در نظر می‌گیریم (شکل ۴۳-۲ (الف)). تحت بارگذاری چند محوری داده شده، این جزء به صورت مکعب مستطیلی به اضلاع $1 + \epsilon_x$, $1 + \epsilon_y$ و $1 + \epsilon_z$ در می‌آید، که در آن σ_x , σ_y و σ_z گرنش قائم در سه جهت هستند (شکل ۴۳-۲ (ب)). برای تغییر شکل سایر اجزا، جزء تحت بررسی می‌تواند حرکت انتقالی نیز داشته باشد، ولی در اینجا فقط تغییر شکل واقعی جزء را در نظر گرفته‌ایم، نه هر تغییر مکان ممکن جسم صلب را.

برای بیان مولفه‌های گرنش ϵ_x , ϵ_y و ϵ_z بر حسب مولفه‌های تنش σ_x , σ_y و σ_z ، تأثیر هر مولفه تنش را به طور جداگانه در نظر می‌گیریم و با جمع این آثار به توجه دلخواه می‌رسیم. برای این منظور، از اصل ترکیب استفاده می‌کنیم. طبق این اصل، با تعیین جداگانه تأثیر بارهای مختلف و با ترکیب تابع حلول می‌توان تأثیر بارگذاری ترکیبی را بر یک سازه بدست آورد، در صورتی که شرایط زیر برقرار باشند:

- رابطه هر اثر با پارسی که این اثر را ایجاد می‌کند به صورت خطی باشد.

- تغییر شکل ناشی از هر بار دارای مقدار کوچکی باشد و بر شرایط کاربرد سایر بارها تأثیر نگذارد.

با اختیاب محور x در امتداد محور میله (شکل ۴۱-۲)، می‌نویسیم:

$$\sigma_x = \frac{P}{A} = \frac{12 \times 10^7 \text{ N}}{2 \times 1 \times 10^{-9} \text{ m}^2} = 6000 \text{ MPa}$$

$$\epsilon_x = \frac{\delta_x}{L} = \frac{300 \mu\text{m}}{600 \text{ mm}} = 500 \times 10^{-6}$$

$$\epsilon_y = \frac{\delta_y}{d} = \frac{-2/4 \mu\text{m}}{16 \text{ mm}} = -150 \times 10^{-6}$$

از قانون هوک، $\sigma_x = E \epsilon_x$ در نتیجه،

$$E = \frac{\sigma_x}{\epsilon_x} = \frac{6000 \text{ MPa}}{500 \times 10^{-6}} = 12000 \text{ GPa}$$

از معادله (۲۶-۲)،

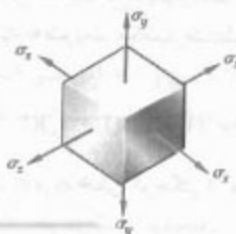
$$\nu = -\frac{\epsilon_y}{\epsilon_x} = -\frac{-150 \times 10^{-6}}{500 \times 10^{-6}} = 0.25$$

۱۲-۲ بارگذاری چند محوری؛ قانون عمومی هوک

تا به حال، عضوهای باریکی را که تحت بار محوری قرار دارند بررسی کردیم. بار محوری در امتداد یک محور تنها وارد می‌شود. اگر این محور را محور x و نیروی داخلی در مکان خاصی را P بگیریم، مولفه‌های تنش متناظر عبارتند از

$$\sigma_x = P/A \quad \sigma_y = 0 \quad \sigma_z = 0$$

حال، عضوهایی را در نظر می‌گیریم که تحت نیروهای وارد در سه جهت مختصاتی قرار دارند. این نیروها تنش‌های قائم غیر صفر σ_x , σ_y و σ_z را ایجاد می‌کنند (شکل ۴۲-۲). این حالت را بارگذاری چند محوری می‌گویند. گفتشی است که حالت تنش موجود مانند حالت کلی تنش در قسمت ۱۲-۱ نیست، زیرا تنش برشی در شکل ۴۲-۲ وجود ندارد.



شکل ۴۲-۲

امان

$$\epsilon_x = \delta_x / AB = (-30 \times 10^{-7} \text{ mm}) / (100 \text{ mm})$$

$$= -300 \times 10^{-7} \text{ mm/mm}$$

درنتیجه،

$$\epsilon_y = \epsilon_z = \epsilon_x = -300 \times 10^{-7} \text{ mm/mm}$$

لذا،

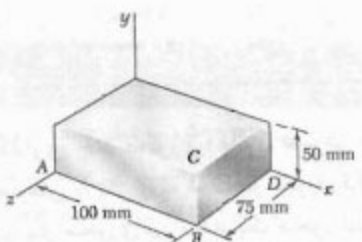
$$\delta_y = \epsilon_y (BC) = (-300 \times 10^{-7})(50 \text{ mm}) = -15 \times 10^{-7} \text{ mm}$$

$$\delta_z = \epsilon_z (BD) = (-300 \times 10^{-7})(75 \text{ in}) = -22.5 \times 10^{-7} \text{ mm}$$

(ب) فشار از معادله (۲۹-۲)،

$$p = -\frac{E \epsilon_x}{1 - \nu} = -\frac{(200 \text{ GPa})(-300 \times 10^{-7})}{1 - 0.58}$$

$$p = 142.4 \text{ MPa}$$



شکل ۴۴-۲

۱۳-۲ اتساع: مدول کبهای

در این قسمت، اثر تنش‌های قائم σ_x ، σ_y و σ_z وارد بر جزء حجم یک ماده همانگرد را بررسی می‌کنیم. برای این منظور، جزء نشان داده شده در شکل ۴۴-۲ را در نظر می‌گیریم. این جزء در حالت بی‌تش به‌شکل مکعب با حجم واحد است، و تحت تنش‌های σ_x ، σ_y و σ_z به صورت مکعب مستطیل با حجم زیر درمی‌آید:

$$\nu = (1 + \epsilon_x)(1 + \epsilon_y)(1 + \epsilon_z)$$

چون کرنش‌های ϵ_x ، ϵ_y و ϵ_z خیلی کوچکتر از واحد هستند، از حاصل ضرب آنها صرف نظر می‌شود. درنتیجه،

$$\nu = 1 + \epsilon_x + \epsilon_y + \epsilon_z$$

در بارگذاری چند محوری، شرط اول وقتی برقرار می‌شود که تنش‌ها از حد تناسب ماده فراتر نروند، و شرط دوم نیز وقتی برقرار می‌شود که تنش وارد بر هر وجه باعث نشود تغییر شکل سایر جوهر آنقدر بزرگ باشد که بر محاسبه تنش‌های وارد بر آن وجوده تأثیر بگذارد.

از قسمت ۱۱-۲ به خاطر می‌آوریم که ϵ_x به‌تهابی باعث ایجاد کرنش E/σ_x در جهت x و کرنش در جهت‌های y و z می‌شود. به طور مشابه، تنش σ_y به‌تهابی باعث ایجاد کرنش E/σ_y در جهت y و کرنش E/σ_z در جهت z می‌شود. سرانجام، مولفه تنش σ_z باعث ایجاد کرنش E/σ_z در جهت z و کرنش، مولفه‌های کرنش متناظر با بارگذاری چند محوری عبارتند از:

$$\begin{aligned}\epsilon_x &= +\frac{\sigma_x}{E} - \frac{\nu \sigma_y}{E} - \frac{\nu \sigma_z}{E} \\ \epsilon_y &= -\frac{\nu \sigma_x}{E} + \frac{\sigma_y}{E} - \frac{\nu \sigma_z}{E} \\ \epsilon_z &= -\frac{\nu \sigma_x}{E} - \frac{\nu \sigma_y}{E} + \frac{\sigma_z}{E}\end{aligned}\quad (28-2)$$

رابطه‌های (۲۸-۲) را قانون عمومی هوک برای بارگذاری چندمحوری یک ماده همانگرد می‌گویند. همانطور که قبلاً گفتیم، نتایج حاصل فقط تا وقتی صحت دارند که تنش‌ها از حد تناسب فراتر نروند و تغییر شکل‌ها کوچک باشند. مقدار مشتبه برای مولفه تنش می‌رساند که این مولفه کثی است، و مقدار منفی می‌رساند که فشاری است. به طور مشابه، مقدار مشتبه برای مولفه کرنش به معنای انبساط و مقدار منفی به معنای انقباض است.

مثال ۱۴-۲

قطعه فولادی نشان داده شده (شکل ۴۲-۲) تحت فشار یکتاختی است که بر تمام وجوده آن وارد می‌شود. اگر تغییر طول ضلع AB برای $\nu = 0.29$ باشد، مطلوب است: (الف) تغییر طول دو ضلع دیگر، (ب) فشار P وارد بر وجوده قطعه. فرض کنید $E = 200 \text{ GPa}$ و $\nu = 0.29$.

(الف) تغییر طول اضلاع دیگر. با جایگذاری $\sigma_x = \sigma_y = \sigma_z = -P/E$ در رابطه‌های (۲۸-۲)، دیده می‌شود سه مولفه کرنش دارای مقدار یکسان زیر هستند:

$$\epsilon_x = \epsilon_y = \epsilon_z = -\frac{P}{E} (1 - 2\nu) \quad (29-2)$$

از طرف دیگر، یک ماده ایندیفال با $\nu = 0.5$ ، کاملاً تراکم ناپذیر است ($\epsilon = 0$). در نتیجه الاستیک $\epsilon > 0$. لذا، از معادله ۳۱-۲ نتیجه می‌شود کثیفگی یک ماده در یک جهت باعث افزایش حجم آن می‌شود (مثالاً، در جهت x ، $\epsilon_x > 0$ و $\sigma_y = \sigma_z = 0$. درنتیجه، $\epsilon > 0$).

مثال ۹-۲

تغییر حجم قطعه فولادی نشان داده شده را تحت تأثیر فشار هیدروستاتیکی $p = 180 \text{ MPa}$ ، $E = 200 \text{ GPa}$ و $\nu = 0.29$ می‌سپاید.

از معادله (۳۳-۲)، مدول کپهای فولاد را می‌یابیم:

$$k = \frac{E}{2(1-\nu)} = \frac{200 \text{ GPa}}{2(1-0.29)} = 158.7 \text{ GPa}$$

از معادله (۳۴-۲)،

$$\epsilon = -\frac{p}{k} = -\frac{180 \text{ MPa}}{158.7 \text{ GPa}} = -1.134 \times 10^{-3}$$

حجم قطعه در حالت پیش برابر است با:

$$V = (80 \text{ mm})(40 \text{ mm})(80 \text{ mm}) = 192 \times 10^6 \text{ mm}^3$$

تغییر حجم واحد است، یعنی $\epsilon = \Delta V/V$. درنتیجه،

$$\Delta V = \epsilon V = (-1.134 \times 10^{-3})(192 \times 10^6 \text{ mm}^3)$$

$$\Delta V = -218 \text{ mm}^3$$

۱۴-۲ کرنش برتری

در قسمت ۱۲-۲، هنگام استنتاج رابطه‌های (۲۸-۲) بین تشن‌های قائم و کسرنچه‌های قائم در یک ماده همگن و همسانگرد، فرض کردیم که تشن برتری وجود ندارد. در حالت کلی تر شکل ۴۵-۲، تشن‌های برتری ϵ_x, ϵ_y و ϵ_z (و نیز، تشن‌های برتری منتظر ϵ_x, ϵ_y و ϵ_z) وجود دارند. این تشن‌ها تأثیری روی کرنش‌های قائم ندارند و تا وقتی تمام تغییر‌شکل‌های موجود کوچک هستند، بر استنتاج با صحت

* چون اتساع تغییر حجم را نشان می‌دهد، از وضعیت جزء تحت برسی مستقل است. لذا، از معادله‌های (۳۰-۲) و (۳۱-۲) نتیجه می‌شود که کمیت‌های $\epsilon_x + \epsilon_y + \epsilon_z$ و $\sigma_x + \sigma_y + \sigma_z$ نیز مستقل از وضعیت جزء هستند. این علاوه بر این، در فصل ۷ اثبات می‌کنیم.

** در تأثیر پلاستیک، حجم ماده تقریباً ثابت می‌ماند.

اگر تغییر حجم جزء را با نشان دهیم، داریم:

$$\epsilon = \nu - 1 = 1 + \epsilon_x + \epsilon_y + \epsilon_z - 1$$

با

$$\epsilon = \epsilon_x + \epsilon_y + \epsilon_z \quad (30-2)$$

چون این جزء در ابتدا دارای حجم واحد بوده است، کمیت ϵ تغییر حجم واحد را نشان می‌دهد و آن را اتساع ماده می‌گویند. با جابگذاری ϵ_x, ϵ_y و ϵ_z از معادله (۲۸-۲) در معادله (۳۰-۲)،

$$\epsilon = \frac{\sigma_x + \sigma_y + \sigma_z}{E} - \frac{2\nu(\sigma_x + \sigma_y + \sigma_z)}{E}$$

$$\epsilon = \frac{1 - 2\nu}{E} (\sigma_x + \sigma_y + \sigma_z) \quad (31-2)$$

در حالت خاصی که جسم تحت فشار یکنواخت هیدروستاتیکی p قرار دارد، هر یک از مولفه‌های تشن برابر با ϵ است. از معادله (۳۱-۲)،

$$\epsilon = -\frac{2(1 - 2\nu)}{E} p \quad (32-2)$$

با تعریف ثابت زیر،

$$k = \frac{E}{2(1 - 2\nu)} \quad (33-2)$$

معادله (۳۲-۲) به صورت زیر در می‌آید:

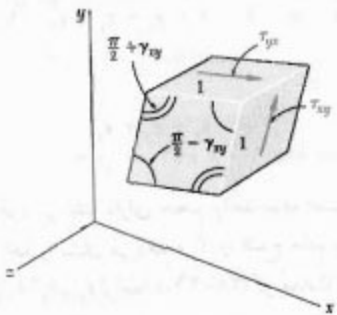
$$\epsilon = -\frac{p}{k} \quad (34-2)$$

ثابت k را مدول کپهای با مدول تراکم ماده می‌گویند، و مانند مدول الاستیستیه E بر حسب پاسکال است.

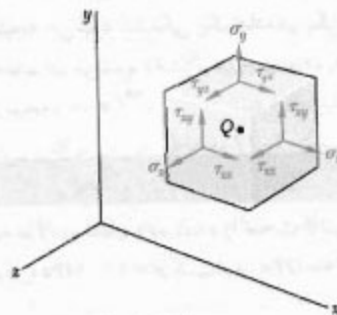
ماده پایداری که تحت فشار هیدروستاتیکی است فقط کاهش حجم می‌دهد؛ لذا اتساع ϵ در معادله (۳۴-۲) منفی است یعنی، مدول کپهای k یک کمیت مثبت است. با توجه به معادله (۳۳-۲)، $\epsilon = 1 - 2\nu > 0$. اما، طبق قسمت ۱۱-۲، «برای تمام مواد صنعتی دارای مقدار مثبت است. لذا، برای این مواد،

$$\frac{1}{k} < \nu < 0 \quad (35-2)$$

گفتی است ماده اپدۀ الی که مقدار لا آن صفر است می‌تواند در یک جهت کشیده شود بدون اینکه انقباض جانبی داشته باشد.

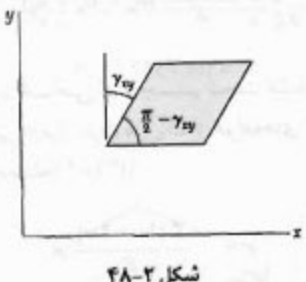


شکل ۴۷-۲

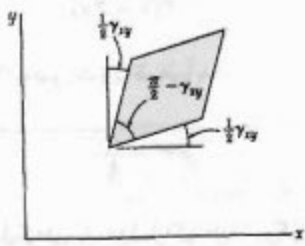


شکل ۴۵-۲

رابطه‌های (۲۸-۲) تأثیر نمی‌گذارند. البته، تنش‌های برشی گرایش دارند جزء مکعبی را به صورت مکعب مستطیل مابین درآورند.
ابتدا، یک جزء مکعبی با اضلاع واحد را در نظر می‌گیریم (شکل ۴۶-۲). فقط تنش‌های برشی τ_{xy} و τ_{xz} بر وجودی از این جزء که، به ترتیب، بر محورهای x و z عمودی وارد می‌شوند و آن را به صورت متوازی السطوحی با اضلاع واحد در می‌آورند (شکل ۴۷-۲). دو تا از زوایای بین چهار وجهی که تحت تنش قرار دارند از $\frac{\pi}{2}$ به $\frac{\pi}{2}$ کاهش می‌یابند، و دو تای دیگر از $\frac{\pi}{2}$ به $\frac{\pi}{2}$ افزایش می‌یابند. زاویه کوچک γ_{xy} (که بر حسب رادیان بیان می‌شود) کوشش برشی متناظر با امتدادهای x و z است. اگر زاویه بین دو وجهی که در جهت‌های مثبت محورهای x و y هستند در ضمن تغییر شکل جزء کاهش یابد (شکل ۴۷-۲)، کوشش برشی مثبت است؛ در غیر این صورت، منفی است.



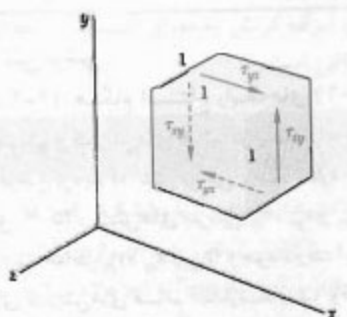
شکل ۴۸-۲



شکل ۴۹-۲

$$\text{طبق قسمت ۱۲-۱} \quad \tau_{xy} = \gamma_{xy}$$

* بعضی مؤلفین، در تعریف کوشش چرخش صلب‌گونه‌ای همراه است که در آن وجوده افقی جزء نمی‌پرسیدند. لذا، کوشش τ_{xy} را با زاویه چرخش دو جزء دیگر نشان می‌دهند (شکل ۴۸-۲). بعضی دیگر چرخش صلب‌گونه‌ای را در نظر می‌گیرند که در آن وجوده افقی به اندازه $\frac{\pi}{2}$ پیاده‌ساخته‌گرد، و وجوده عمودی به اندازه $\frac{\pi}{2}$ ساخته‌گرد (شکل ۴۹-۲). در این کتاب ترجیح می‌دهیم کوشش برشی بر طبق رواهی عجای اینکه چرخش یک وجهه عین تحت شرایط محدودی یا گیریم، به عنوان تغییر زاویه بین دو وجه در نظر بگیریم.



شکل ۴۶-۲

بر اثر تغییر شکل سایر اجزا، جزء تحت بررسی می‌تواند دستخوش چرخش کلی نیز بشود. ولی، همانطور که در بررسی تنش‌های قائم داشتیم، در اینجا فقط تغییر شکل واقعی جزء را در نظر می‌گیریم، نه هر گونه تغییر مکان ممکن صلب‌گونه را**.

حال، جزء کوچکی از ماده‌ای را که تحت تنش‌های برشی τ_{yz} و τ_{xy} قرار دارد (شکل ۲-۵۰) در نظر گرفته، و کرنش برشی γ_{xy} را به عنوان تغییر زاویه بین وجوهی که تحت تنش قرار دارند تعریف می‌کنیم. به طور مشابه، با در نظر گرفتن جزئی که تحت تنش‌های برشی τ_{xz} و τ_{yz} قرار دارد (شکل ۲-۵۱)، کرنش برشی γ_{xz} را تعریف می‌کنیم. اگر تنش‌ها از حد تناسب فراتر نروند، دو رابطه اضافی زیر داریم:

$$\tau_{yz} = G\gamma_{yz} \quad \tau_{xz} = G\gamma_{xz} \quad (37-2)$$

که در آن ثابت G همان است که در معادله (۳۶-۲) به کار رفت. برای حالت کلی تنش داده شده در شکل ۴۵-۲ و تا وقتی که هیچ یک از تنش‌های موجود از حد تناسب فراتر نرفته‌اند، با استفاده از اصل ترکیب می‌توان نتایج این قسمت و قسمت ۱۲-۲ را باهم ترکیب کرد. برای ماده همگن و همسانگردی که تحت کلی ترین حالت تنش است، گروه معادله‌های زیر به دست می‌آید:

$$\begin{aligned} \varepsilon_x &= +\frac{\sigma_x}{E} - \frac{\nu\sigma_y}{E} - \frac{\nu\sigma_z}{E} \\ \varepsilon_y &= -\frac{\nu\sigma_x}{E} + \frac{\sigma_y}{E} - \frac{\nu\sigma_z}{E} \quad (38-2) \\ \varepsilon_z &= -\frac{\nu\sigma_x}{E} - \frac{\nu\sigma_y}{E} + \frac{\sigma_z}{E} \end{aligned}$$

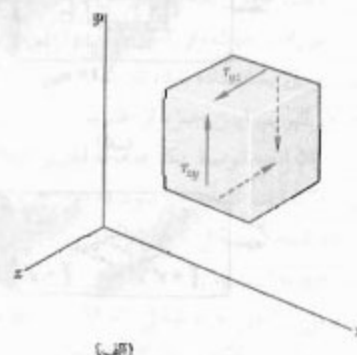
$$\gamma_{xy} = \frac{\tau_{xy}}{G} \quad \gamma_{yz} = \frac{\tau_{yz}}{G} \quad \gamma_{xz} = \frac{\tau_{xz}}{G}$$

برای هر ماده‌ای فقط باید دو تا از این ثابت‌ها را به طور آزمایشی تعیین کرد. همانطور که در قسمت بعد خواهید دید، ثابت سوم را با محاسبه بسیار ساده‌ای می‌توان به دست آورد.

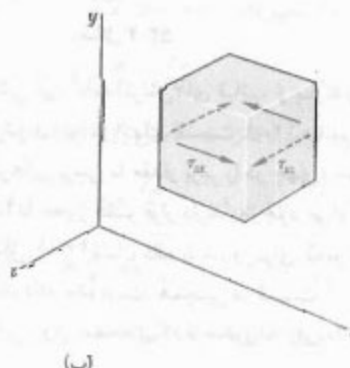
با ترسیم مقدار τ_{xy} بر حسب مقدار γ_{xy} ، نمودار تنش کرنش برشی به دست می‌آید. همانطور که در فصل ۳ خواهید دید، این کار با آزمایش پیچش انجام می‌شود. نمودار حاصل مشابه است با نمودار تنش کرنش قائم که از آزمایش کشش به دست می‌آید. ولی، استقامت تسلیم برشی، استقامت نهایی برشی و غیره تقریباً نصف استقامت تسلیم کششی، استقامت نهایی کششی و غیره است. همانطور که در بررسی کرنش برشی یک خط راست داشتم، قسمت اولیه نمودار تنش کرنش برشی یک خط راست است. در مواد همگن و همسانگرد و در حالی که مقدار تنش برشی از حد تناسب برش بیشتر نیست، داریم:

$$\tau_{xy} = G\gamma_{xy} \quad (36-2)$$

این رابطه را قانون هوک برای تنش و کرنش برشی، و ثابت G را مدول صلابت یا مدول برشی ماده می‌گویند. کرنش زاویه‌ای γ_{xy} بر حسب رادیان و بی بعد است مدول G ، که مانند τ_{xy} بر حسب پاسکال بیان می‌شود، برای هر ماده‌ای کمتر از نصف مدول الاستیسیته E آن ماده و بیشتر از یک سوم آن است.*



(آ)



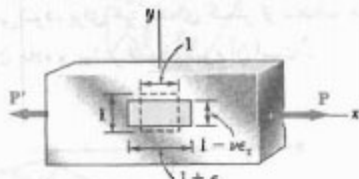
(ب)

شکل ۲-۵۰

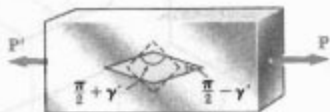
مثال ۱۰-۲

۱۰-۲ توضیح بیشتر درباره تغیر شکل ها در بارگذاری محوری: رابطه بین E و G

فرض کنید میله پاریکی تحت بار کششی P ، واقع در جهت x قرار می‌گیرد. در قسمت ۱۱-۲ دیدیم که این میله در جهت x کشیده می‌شود و در جهت‌های y و z منقبض می‌شود. اگر ϵ_x کرنش محوری باشد، کرنش‌های جانبی با $\epsilon_y = \epsilon_z = \gamma$ بیان می‌شوند، که در آن γ نسبت پواسون است. لذا، یک جزء مکعبی، به ضلع واحد (شکل ۵۳-۲الف) به صورت مکعب مستطیل با اضلاع $1 + \epsilon_x$ ، $1 - \epsilon_x$ و $1 - \gamma\epsilon_x$ در می‌آید. فقط یک وجه این جزء در شکل نشان داده شده است. از سوی دیگر، اگر این جزء تحت زاویه 45° نسبت به محور بار قرار داشته باشد (شکل ۵۳-۲ب)، وجه نشان داده شده در شکل به صورت لوپی در می‌آید. یعنی، بار محوری P باعث می‌شود کرنش برخشی γ برابر با افزایش پاکاهش هر یک از زوایای نشان داده شده در شکل ۵۳-۲ب، در این جزء به وجود آید.



(الف)



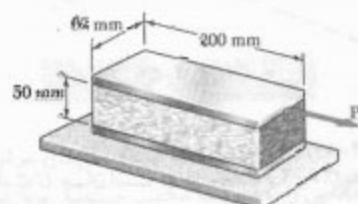
(ب)

شکل ۵۳-۲

کرنش‌های برخشی نیز، همانند کرنش‌های قائم، از بارگذاری محوری ناشی می‌شوند زیرا در انتهای قسمت ۱۱-۱ دیدیم که بار محوری P تنش‌های برخشی با مقدار برابر را در چهار وجهی که تحت زاویه 45° با محور عرضی قرار دارند به وجود می‌آورد. این موضوع در شکل ۱۱-۱ نشان داده شد، و برای سهولت مجدداً در اینجا نشان داده شده است. همچنین در قسمت ۱۱-۱ دیدیم که تنش برخشی روی صفحه‌ای که با محور بار زاویه 45°

* توجه کنید که بار P باعث ایجاد کرنش‌های قائم در جزء نشان داده شده در شکل ۵۳-۲ب نیز می‌شود (به مسئله ۷۴-۲ نگاه کنید).

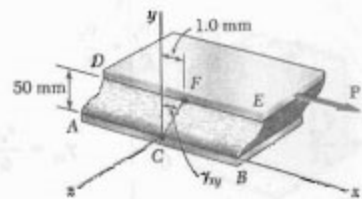
قطعه مستطیلی، که از ماده‌ای با مدول صلابت $G = 630 \text{ MPa}$ ساخته شده است، به دو صفحه صلب افقی متصل است. صفحه پایین ثابت است و صفحه بالایی تحت تأثیر نیروی افقی P قرار دارد (شکل ۵۱-۲). صفحه بالایی تحت تأثیر این نیرو به اندازه 1 mm حرکت می‌کند. مطلوب است: (الف) کرنش برخشی در ماده، (ب) نیروی P وارد بر صفحه بالایی.



شکل ۵۱-۲

(الف) کرنش برخشی. محورهای مختصات را در جهت‌های نشان داده شده، و مبدأ را در نقطه میانی C از ضلع AB در نظر می‌گیریم (شکل ۵۲-۲). طبق تعریف، کرنش برخشی γ_{xy} با زاویه بین عمود و خط CF ، که نقاط میانی اضلاع AB و DE را به هم متصل می‌کند، برابر است. چون این زاویه کوچک است،

$$\gamma_{xy} \approx \tan \gamma_{xy} = \frac{1 \text{ mm}}{50 \text{ mm}} \Rightarrow \gamma_{xy} = 0.02^\circ \text{ rad}$$



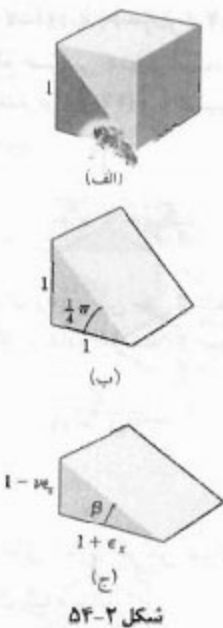
شکل ۵۲-۲

(ب) نیروی وارد بر صفحه بالایی. ابتدا، تنش برخشی γ_{xy} را می‌یابیم. با استفاده از قانون هوک،

$$\tau_{xy} = G\gamma_{xy} = (630 \text{ MPa})(0.02^\circ \text{ rad}) = 12.6 \text{ MPa}$$

نیروی وارد بر صفحه بالایی چنین است:

$$P = \tau_{xy} A = (12.6 \text{ MPa})(200 \text{ mm})(0.4 \text{ mm}) = 156.4 \text{ kN}$$



شکل ۵۴-۲

از شکل ۵۴-۲ ج

$$\tan \beta = \frac{1 - \nu \epsilon_x}{1 + \epsilon_x} \quad (54-2)$$

عضوهای سمت راست (۳۹-۲) و (۴۰-۲) را مساوی هم قرار می‌دهیم و γ_m را می‌یابیم:

$$\gamma_m = \frac{(1 + \nu) \epsilon_x}{1 + \frac{1 - \nu}{2} \epsilon_x}$$

چون $1 < \epsilon_x$ ، مخرج عبارت بالا را می‌توان واحد گرفت.
در نتیجه،

$$\gamma_m = (1 + \nu) \epsilon_x \quad (41-2)$$

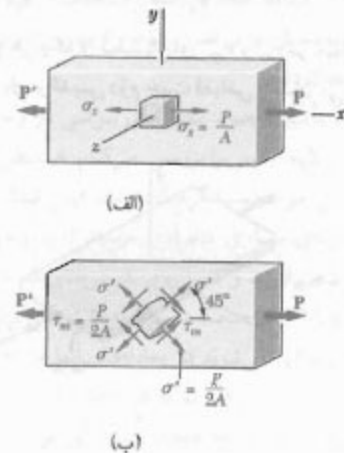
که رابطه دلخواه بین ماکریم کرنش برش γ_m و کرنش محوری ϵ_x است.

برای تعیین رابطه میان ثابت‌های E ، ν و G از قانون هوك استفاده می‌کنیم. طبق این قانون، $\gamma_m = \tau_m/G$ و در بارگذاری محوری، $\epsilon_x = \sigma_x/E$. لذا، معادله (۴۱-۲) را به صورت زیر می‌نویسیم:

$$\frac{\tau_m}{G} = (1 + \nu) \frac{\sigma_x}{E}$$

$$\frac{E}{G} = (1 + \nu) \frac{\sigma_x}{\tau_m} \quad (41-2)$$

دارد دارای مقدار ماکریم است. طبق قانون هوك، کرنش برشی از هرای جزء شکل ۵۳-۲ ب نیز ماکریم است؛ یعنی، $\gamma_m = \beta$.



شکل ۵۴-۳ (تکراری)

مطالعه تبدیلات نش را تا فصل ۷ به تعویق می‌اندازیم، و در این قسمت فقط رابطه بین کرنش برشی ماکریم γ_m و کرنش قائم β در جهت بار را بدست می‌آوریم. برای این منظور، جزء منتشری نشان داده شده در شکل‌های ۵۴-۲ (الف) و ۵۴-۲ (ب) در نظر می‌گیریم. این جزء از طریق برش جزء مکعبی در شکل ۵۳-۲ (الف) توسعه یک صفحه قطری ایجاد شده است. از شکل ۵۴-۲ (الف) نتیجه می‌شود که این جزء جدید به صورت نشان داده شده در شکل ۵۴-۲ (ج) در می‌آید، که وجوده افقی و عمودی آن، به ترتیب، ϵ_x و $-1 - \nu \epsilon_x$ است. اما زاویه بین زوایای قائم جزء مکعبی نشان داده شده در شکل ۵۳-۲ (ب) است. لذا، تغییر زاویه فوق الذکر نصف $\gamma_m = \pi/2$ است.

$$\beta = \frac{\pi}{4} - \frac{\gamma_m}{2}$$

با کاربرد فرمول تائزات تفاضل زوایا، داریم

$$\tan \beta = \frac{\tan \frac{\pi}{4} - \tan \frac{\gamma_m}{2}}{1 + \tan \frac{\pi}{4} \tan \frac{\gamma_m}{2}} = \frac{1 - \tan \frac{\gamma_m}{2}}{1 + \tan \frac{\gamma_m}{2}}$$

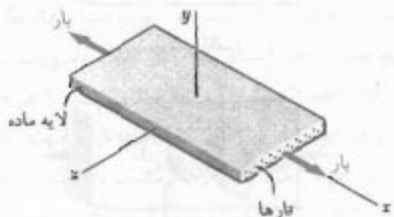
چون $\gamma_m/2$ خیلی کوچک است،

$$\tan \beta = \frac{1 - \frac{\gamma_m}{2}}{1 + \frac{\gamma_m}{2}} \quad (39-2)$$

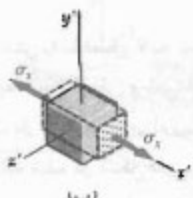
نسبت‌های پواسون متناظر دارای مقادیر متفاوت‌اند:

$$\nu_{xy} = -\frac{\epsilon_y}{\epsilon_x} \quad \nu_{yz} = -\frac{\epsilon_z}{\epsilon_x} \quad (44-2)$$

اندیس اول در هر یک از نسبت‌های ν_{xy} و ν_{yz} در معادله‌های (۴۴-۲) امتداد بار، و اندیس دوم جهت انقباض را نشان می‌دهد.



(الف)



شکل ۴۴-۲

از بحث بالا نتیجه می‌شود که در حالت بارگذاری چند محوری یک لایه از ماده مرکب، برای توصیف رابطه تنش-کرنش می‌توان از معادله‌های مشابه با معادله‌های (۲۸-۲) استفاده کرد. ولی، در حال حاضر، با سه مدول الاستیتیه مختلف و شش نسبت پواسون متفاوت سر و کار داریم. می‌توییم:

$$\begin{aligned} \epsilon_x &= \frac{\sigma_x}{E_x} - \frac{\nu_{yx}\sigma_y}{E_y} - \frac{\nu_{zx}\sigma_z}{E_z} \\ \epsilon_y &= -\frac{\nu_{xy}\sigma_x}{E_x} + \frac{\sigma_y}{E_y} - \frac{\nu_{zy}\sigma_z}{E_z} \\ \epsilon_z &= -\frac{\nu_{xz}\sigma_x}{E_x} - \frac{\nu_{yz}\sigma_y}{E_y} + \frac{\sigma_z}{E_z} \end{aligned} \quad (45-2)$$

معادله‌های (۴۵-۲) را به عنوان تبدیلات تنش-کرنش برای لایه داده شده می‌توان در نظر گرفت. از این تبدیلات نتیجه می‌شود که ضرایب مولفه‌های تنش متقابل هستند؛ یعنی،

$$\frac{\nu_{xy}}{E_x} = \frac{\nu_{yx}}{E_y} \quad \frac{\nu_{yz}}{E_y} = \frac{\nu_{zy}}{E_z} \quad \frac{\nu_{zx}}{E_z} = \frac{\nu_{xz}}{E_x} \quad (46-2)$$

با نتیجه به شکل ۴۵-۱، که در آن $A = P/2A$ و $\sigma_x = P/A$ مساحت مقطع عرضی عضو است. لذا، $\nu_{xy}/\tau_m = 2$. با جایگذاری این مقدار در (۴۶-۲) و با تقسیم عضوهای آن بر ۲، رابطه زیر را می‌یابیم:

$$\frac{E}{YG} = 1 + \nu \quad (43-2)$$

از رابطه بالا می‌توان برای تعیین یکی از ثابت‌های E ، G یا ν از روی دو ثابت دیگر استفاده کرد. مثلاً، از معادله (۴۳-۲)،

$$G = \frac{E}{2(1+\nu)} \quad (43-2)$$

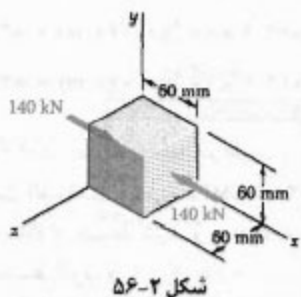
۱۶-۲* رابطه‌های تنش-کرنش برای مواد مرکب تقویت شده با تار

در قسمت ۵-۲، مواد مرکب تقویت شده با تار به طور خلاصه بررسی شدند. در آن قسمت نشان دادیم که این مواد را با استقرار تارهای یک ماده محکم و سفت در داخل ماده ضعیفتر و ترمتری، به نام ماتریس، می‌سازند. همچنین، نشان دادیم که رابطه بین تنش قائم و کرنش قائم متناظر در یک لایه از ماده مرکب پستگی به جهت اعمال بار دارد. بنابراین، برای توصیف رابطه بین تنش قائم و کرنش قائم، مدول‌های مختلف الاستیتیه E_x ، E_y و E_z مورد نیازند (زیرا ممکن است بار به موازات تارها، در امتداد عمود بر لایه یا در جهت عرضی وارد شود).

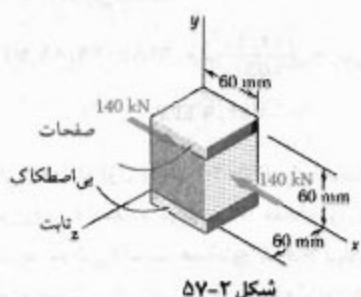
مجدداً لایه ماده مرکب توصیف شده در قسمت ۵-۲ را در نظر می‌گیریم و فرض می‌کنیم تحت بارگذشتی تک محوری ترک دارد. این بار به موازات تارهای لایه، یعنی در جهت x (شکل ۴۵-۲(الف)، وارد می‌شود. برای سهولت، یک ماده خیالی همگن را که خواص آن از ترکیب خواص تارها و ماتریس بدست آمده است درنظر می‌گیریم. حال، جزء کوچکی از این ماده را انتخاب می‌کنیم (شکل ۴۵-۲(ب)). تنش قائم متناظر را با σ_x نشان می‌دهیم. ملاحظه می‌کنیم که $\sigma_y = \sigma_z = 0$. همانطور که در قسمت ۵-۲ نشان داده شد، کرنش قائم متناظر در امتداد x عبارت است از $\nu_{xy} = \nu_{yz} = \nu_{zx} = \nu$ ، که در آن E_x مدول الاستیتیه ماده مرکب در جهت x است.

همانطور که برای مواد همسانگرد دیدیم، کشیدگی ماده در جهت x با انقباض در جهت‌های y و z همراه است. این انقباض‌ها به نحوه استقرار تارها در ماتریس پستگی دارد و معمولاً مقدار مختلفی دارند. درنتیجه، کرنش‌های جاتی ν_{xy} ، ν_{yz} و ν_{zx}

صفحه بی اصطکاک ثابت از انبساط آن در امتداد x جلوگیری کند
(شکل ۵۷-۲).



شکل ۵۷-۲



شکل ۵۷-۲

(الف) انبساط آزاد در امتدادهای x و y . تنش σ_x را در امتداد بارگذاری می‌باشیم:

$$\sigma_x = \frac{P}{A} = \frac{-140 \times 10^3 \text{ N}}{(0.06 \text{ m})(0.06 \text{ m})} = -38,89 \text{ MPa}$$

چون مکعب در امتدادهای x و y بارگذاری نشده است و مقید نیست، $\sigma_x = \sigma_y = 0$. با جایگذاری داده‌ها در معادله‌های ۵۷-۲، داریم:

$$\epsilon_x = \frac{\sigma_x}{E_x} = \frac{-38,89 \text{ MPa}}{155,0 \text{ GPa}} = -250,9 \times 10^{-6}$$

$$\epsilon_y = -\frac{\nu_{xy}\sigma_x}{E_x} = -\frac{(0.248)(-38,89 \text{ MPa})}{155,0 \text{ GPa}} = +62,22 \times 10^{-6}$$

$$\epsilon_z = -\frac{\nu_{xz}\sigma_x}{E_x} = \frac{(0.248)(-38,89 \text{ MPa})}{155,0 \text{ GPa}} = +62,22 \times 10^{-6}$$

* برای اطلاعات بیشتر درباره مواد مرکب تقویت شده با تار، نگاه کنید به Hyer, M. W., *Stress Analysis of Fiber-Reinforced Composite Materials*, McGraw-Hill, New York, 1998.

این معادله‌ها نشان می‌دهند که نسبت‌های پواسون ν_{xy} و ν_{xz} کوچک‌تر از ۰.۲۴۸ هم مستقل نیستند، و اگر مدول‌های الاستیتیک متغیر معلوم باشند، هر یک از آنها را لازم دیگری می‌توان به دست آورد. همین موضوع برای ν_{xy} و ν_{xz} برای ν_{xy} و ν_{xz} صحبت دارد.

حال، تأثیر وجود تنش‌های برشی در وجود یک جزء کوچک از لایه ترکیبی را بررسی می‌کنیم. همانطور که در قسمت ۱۴-۲ برای مواد همسانگرد گفته شد، این تنش‌ها به صورت زوج بردارهای مساوی متضادی هستند که بر وجود مقابل یک جزء لازم می‌شوند و تأثیری بر کرنش‌های قائم ندارند. لذا، معادله‌های (۵۴-۲) صحبت دارند. البته، تنش‌های برشی باعث ایجاد کرنش‌های برشی می‌شوند که معادله‌های آنها مشابه سه معادله آخر (۳۸-۲) است، با این تفاوت که در اینجا باید از سه مدول صلابت مختلف G_{xy} ، G_{yz} و G_{zx} استفاده کرد. به این ترتیب،

$$\gamma_{xy} = \frac{\tau_{xy}}{G_{xy}} \quad \gamma_{yz} = \frac{\tau_{yz}}{G_{yz}} \quad \gamma_{zx} = \frac{\tau_{zx}}{G_{zx}} \quad (47-2)$$

موادی را که میزانهای کرنش ϵ_x ، ϵ_y و ϵ_z آنها فقط به تنش‌های قائم متناسب گارند مواد اورتوتروپیک می‌گویند و با همین خاصیت از مواد ناهمسانگرد تغییک می‌شوند.

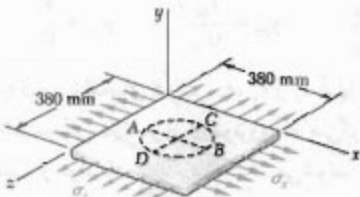
همانطور که در قسمت ۵-۲ دیدیم، با ترکیب تعدادی لایه می‌توان یک پوسته تحت بدبست آورد. اگر تارها در تمام لایه‌ها دارای وضعیت یکسان باشند، پوسته مقاومت بیشتری در برابر بارکشی محوری دارد و از نوع اورتوتروپیک خواهد بود. اگر بعضی از لایه‌های پوسته طوری قرار گیرند که تارهای آنها تحت زاویه عمود بر تارهای سایر لایه‌ها باشد، پوسته دارای پایداری جانبی بیشتری است و مجدداً از نوع اورتوتروپیک است. از سوی دیگر، اگر هر یک از لایه‌ها طوری قرار گیرند که تارهای آنها به موازات تارهای سایر لایه‌ها نباشد و عمود بر آنها نیز نباشد، پوسته اورتوتروپیک نخواهد بود.

۱۱-۲

مکعبی به ضلع 60 mm از لایه‌های اپوکسی گرافیت، که تارهای آن در امتداد x است، ساخته شده است. این مکعب تحت بار فشاری 140 kN در امتداد x قرار دارد. خواص این ماده مركب عبارتند از: $E_y = 12,10 \text{ GPa}$ ، $E_x = 155 \text{ GPa}$ ، $E_z = 12,10 \text{ GPa}$ ، $\nu_{xy} = 0.248$ ، $\nu_{yz} = 0.248$ و $\nu_{xz} = 0.458$. مطلوب است تغییر ابعاد مکعب، با این فرض که (الف) مکعب در امتدادهای x و y آزادانه مبیسط شود (شکل ۵۶-۶)، (ب) مکعب در امتداد z آزادانه منطبق شود، اثاب در

با مقایسه نتایج قسمت‌های الف و ب، دیده می‌شود که اختلاف بین مقادیر δ_x در امتداد تارها ناچیز است. ولی، اختلاف بین مقادیر تغییر شکل جانسی δ_z ناچیز نیست. بدینه است که وقته مکعب تواند در امتداد z تغییر شکل دهد، تغییر شکل جانسی δ_z بیشتر خواهد بود.

مسئله نمونه ۵-۳
 سوراخی به قطر $d = 225 \text{ mm}$ روى یک ورق بسی تش آلمینیمی با ضخامت $t = 18 \text{ mm}$ با سوزن خط‌کشی شده است. نیروهای وارد بر ورق باعث ایجاد تنش‌های قائم $E = 70 \text{ GPa}$ و $\sigma_x = 140 \text{ MPa}$ و $\sigma_z = 140 \text{ MPa}$ مطلوبست؛ (الف) تغییر قطر AB ، (ب) تغییر قطر CD ، (ج) تغییر ضخامت ورق، (د) تغییر حجم ورق.



حل

قانون هوك در اینجا $\sigma_y = 0$. با استفاده از معادله‌های (۲۸-۲)، کرنش در هر یک از جهت‌های مختصات را می‌یابیم:

$$\begin{aligned} \epsilon_x &= +\frac{\sigma_x}{E} - \frac{\nu \sigma_y}{E} - \frac{\nu \sigma_z}{E} \\ &= \frac{1}{70 \text{ GPa}} \left[(140 \text{ MPa}) - 0 - \frac{1}{3} (140 \text{ MPa}) \right] \\ &= +0,033 \times 10^{-3} \text{ mm/mm} \end{aligned}$$

$$\begin{aligned} \epsilon_y &= -\frac{\nu \sigma_x}{E} + \frac{\sigma_y}{E} - \frac{\nu \sigma_z}{E} \\ &= \frac{1}{70 \text{ GPa}} \left[-\frac{1}{3} (140 \text{ MPa}) + 0 - \frac{1}{3} (140 \text{ MPa}) \right] \\ &= -0,067 \times 10^{-3} \text{ mm/mm} \end{aligned}$$

$$\begin{aligned} \epsilon_z &= -\frac{\nu \sigma_x}{E} - \frac{\nu \sigma_y}{E} + \frac{\sigma_z}{E} \\ &= \frac{1}{70 \text{ GPa}} \left[-\frac{1}{3} (140 \text{ MPa}) - 0 + (140 \text{ MPa}) \right] \\ &= +0,000 \times 10^{-3} \text{ mm/mm} \end{aligned}$$

با ضرب کردن کرنش‌های متناظر در طول ضلع مکعب، $L = 60 \text{ m}$ ، تغییرات ابعاد مکعب بدست می‌آیند:

$$\begin{aligned} \delta_x &= \epsilon_x L = (-249,7 \times 10^{-3})(0,060 \text{ m}) = -14,98 \mu\text{m} \\ \delta_y &= \epsilon_y L = (0,067 \times 10^{-3})(0,060 \text{ m}) = +0,77 \mu\text{m} \\ \delta_z &= \epsilon_z L = (+0,000 \times 10^{-3})(0,060 \text{ m}) = +0,00 \mu\text{m} \end{aligned}$$

(ب) انساط آزاد در امتداد x ، مقید در امتداد y . تنش در امتداد x مانند قسمت الف است، یعنی، $\sigma_x = -249,89 \text{ MPa}$ ، مکعب می‌تواند z منبسط شود، و $\sigma_z = 0$. مکعب نیز تواند در امتداد y منبسط شود، و $\sigma_y = 0$. لذا $\delta_y = 0$. $\epsilon_y = \delta_y/L = 0$ را در معادله دوم (۴۵-۲) جایگذاری و σ_y را می‌یابیم، پس از جایگذاری داده‌ها،

$$\begin{aligned} \sigma_y &= \left(\frac{E_y}{E_x} \right) \nu_{xy} \sigma_x = \left(\frac{12/10}{155/0} \right) (0,249)(-249,89 \text{ MPa}) \\ &= -752,4 \text{ kPa} \end{aligned}$$

اکنون از معادله اول و آخر (۴۵-۲) برای محاسبه مولفه‌های کرنش ϵ_x و ϵ_z استفاده می‌کنیم. اما معادله اول (۴۵-۲) شامل نسبت پواسون ν_{yz} است. همانطور که قبله دیدیم، این نسبت با ν_{yz} برابر نیست. برای تعیین ν_{yz} از معادله اول (۴۶-۲) استفاده می‌کنیم و می‌نویسیم:

$$\nu_{yz} = \left(\frac{E_y}{E_z} \right) \nu_{xy} = \left(\frac{12/10}{155/0} \right) (0,248) = 0,1936$$

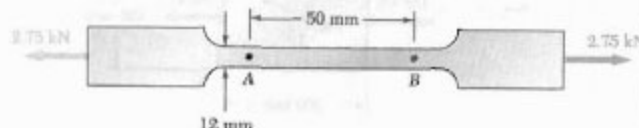
با قرار دادن $\nu_{yz} = 0,1936$ در معادله‌های اول و سوم (۴۵-۲) و با جایگذاری مقادیر داده شده $\sigma_x = -249,89 \text{ MPa}$ ، $\sigma_y = 0$ ، $\sigma_z = 0$ و $\nu_{xy} = 0,248$ از معادله‌ها، داریم:

$$\begin{aligned} \epsilon_x &= \frac{\sigma_x}{E_x} - \frac{\nu_{xy}\sigma_y}{E_y} = \frac{-249,89 \text{ MPa}}{155,0 \text{ GPa}} \\ &\quad - \frac{(0,1936)(-752,4 \text{ kPa})}{12/10 \text{ GPa}} = -249,7 \times 10^{-3} \\ \epsilon_z &= -\frac{\nu_{xz}\sigma_x}{E_x} - \frac{\nu_{yz}\sigma_y}{E_y} = -\frac{(0,248)(-249,89 \text{ MPa})}{155,0 \text{ GPa}} \\ &\quad - \frac{(0,1936)(-752,4 \text{ kPa})}{12/10 \text{ GPa}} = +0,77 \times 10^{-3} \end{aligned}$$

با ضرب کردن کرنش‌های متناظر در طول ضلع مکعب، تغییرات ابعاد مکعب بدست می‌آیند:

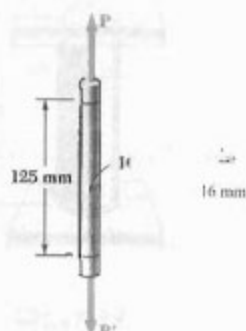
$$\begin{aligned} \delta_x &= \epsilon_x L = (-249,7 \times 10^{-3})(0,060 \text{ m}) = -14,98 \mu\text{m} \\ \delta_y &= \epsilon_y L = (0,067 \times 10^{-3})(0,060 \text{ m}) = 0 \\ \delta_z &= \epsilon_z L = (+0,77 \times 10^{-3})(0,060 \text{ m}) = +0,44 \mu\text{m} \end{aligned}$$

- (الف) تغییر طول سنجه $\delta = +0,30$
 (ب) تغییر عرض قسمت AB , (ج) تغییر ضخامت قسمت AB
 (د) تغییر مساحت مقطع عرضی AB



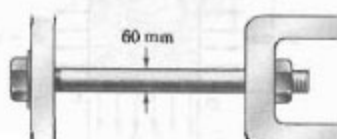
شکل ۶۲-۲م

۶۳-۲ از آزمایش کشش استاندارد برای تعیین خواص یک پلاستیک آزمایشی استفاده می‌شود. نمونه آزمایشی میله‌ای به قطر 16 mm است و تحت نیروی کششی 2 kN قرار دارد. اگر کشیدگی 11 mm و کاهش قطر $6,25\text{ mm}$ را برای طول سنجه 125 mm داشته باشیم، مدول الاستیستیته، مدول صلابت، و نسبت پواسون ماده را بیابید.



شکل ۶۳-۲م

۶۴-۲ تغییر قطر یک پیچ بزرگ فولادی، هنگام سفت شدن مهله، با دقت اندازه‌گیری می‌شود. اگر $E = 200\text{ GPa}$ و $\nu = 0,30$, نیروی داخلی در پیچ را برای کاهش قطر $13\text{ }\mu\text{m}$ بیابید.



شکل ۶۴-۲م

الف. قطر AB . تغییر طول آن عبارت است از $\delta_{B/A} = e_x d = (+0,30 \times 10^{-3}\text{ mm/mm})(225\text{ mm})$
 $\delta_{B/A} = e_x d = (+0,30 \times 10^{-3}\text{ mm/mm})(225\text{ mm})$
 $\delta_{B/A} = +0,12\text{ mm}$

ب. قطر CD
 $\delta_{C/D} = e_z d = (+1,80 \times 10^{-3}\text{ mm/mm})(225\text{ mm})$
 $\delta_{C/D} = +0,36\text{ mm}$
 ج. ضخامت. با توجه به $t = 18\text{ mm}$

$$\delta_t = e_y t = (-1,067 \times 10^{-3}\text{ mm/mm})(18\text{ mm})$$

$$\delta_t = -0,0192\text{ mm}$$

د. حجم ورق. با استفاده از معادله (۲-۳۰)

$$\epsilon = e_x + e_y + e_z = (+0,533 - 1,067 + 1,800) 10^{-3}$$

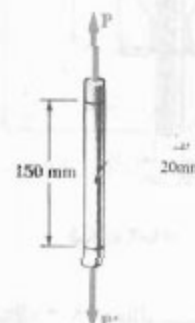
$$= +1,067 \times 10^{-3}$$

$$\Delta V = \epsilon V = +1,067 \times 10^{-3} [(3A \times 10^3)(3A \times 10^3)(18\text{ mm})]$$

$$\Delta V = +2733\text{ mm}^3$$

مسائل

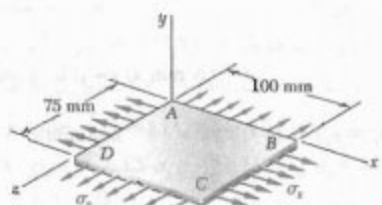
۶۱-۲ در آزمایش کشش استاندارد، یک میله فولادی به قطر 20 mm تحت نیروی کششی 17 kips قرار دارد. اگر $E = 70\text{ GPa}$ و $\nu = 0,30$, مطلوب است: (الف) کشیدگی میله با طول سنجه 150 mm , (ب) تغییر قطر میله.



شکل ۶۱-۲م

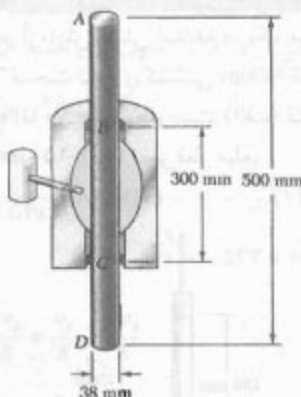
۶۲-۲ قطعه نشان داده شده از ورق تخت فولادی به ضخامت $1,6\text{ mm}$ ساخته شده است. برای این قطعه $E = 200\text{ GPa}$

۶۸-۲ بافتی که در سازه‌های بادشو به کار می‌رود تحت بارگذاری دو محوری قرار دارد و تنش‌های قائم $\sigma_x = 120 \text{ MPa}$ و $\sigma_z = 160 \text{ MPa}$ در آن به وجود آمده است. اگر خواص بافت را به صورت $E = 200 \text{ GPa}$ و $v = 0.34$ تقریب بزنیم، مطلوب است تغییر طول: (الف) ضلع AB ، (ب) ضلع BC ، (ج) قطر AC .



شکل ۶۸-۲

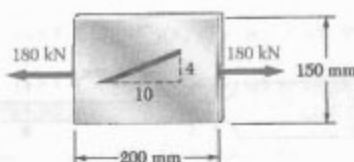
۶۹-۲ میله برنجی AD در زاکتی جازده شده است و فشار هیلروستاتیکی 42 MPa بر قسمت BC میله به طول 300 mm وارد شده است. اگر $E = 20 \text{ GPa}$ و $v = 0.36$ ، مطلوب است: (الف) تغییر طول کل AD ، (ب) تغییر قطر قسمت BC میله.



شکل ۶۹-۲

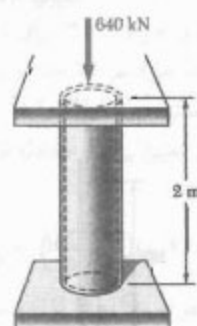
۷۰-۲ در مسئله ۶۹-۲، مطلوب است نیرویی که باید بر سر A و D وارد کرد تا: (الف) کرنش محوری در قسمت BC صفر باشد، (ب) طول کل AD تغییر نکند.

۶۵-۲ خط مایلی با شیب $4:1$ روی پرچ زرد، به عرض 150 mm و ضخامت 6 mm حک شده است. با استفاده از پیوست ب، شیب این خط را تحت بار محوری 180 kN بیابید.



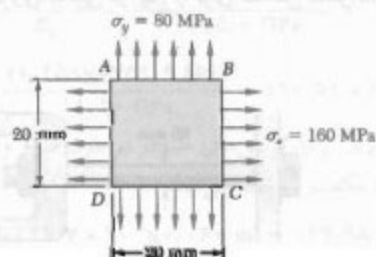
شکل ۶۵-۲

۶۶-۲ از یک لوله آلومینیمی به طول 2 m و با قطر خارجی 240 mm و با ضخامت دیواره 10 mm به عنوان یک ستون کوتاه استفاده می‌شود. این لوله، بار محوری مرکزی 640 kN را تحمل می‌کند. اگر $E = 73 \text{ GPa}$ و $v = 0.33$ ، مطلوب است: (الف) تغییر طول لوله، (ب) تغییر قطر خارجی، (ج) تغییر ضخامت دیواره آن.



شکل ۶۶-۲

۶۷-۲ مربعی به ضلع 20 mm روی مخزن فولادی بزرگی حک شده است. پس از این که مخزن تحت فشار قرار می‌گیرد، حالت تنش دو محوری نشان داده شده در مربع به وجود می‌آید. با استفاده از پیوست ب برای فولاد ساختمانی، درصد تغییر شبکه را بیابید.



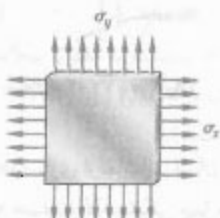
شکل ۶۷-۲

۷۴-۲ معمولاً، تش ناشی از جهت قائم در یک جهت معین صفر است؛ مثلاً، برای صفحه نازک نشان داده شده، $\sigma_z = 0$. در این حالت، که آن را تش صفحه‌ای می‌گویند، نشان دهد که اگر کرنش‌های ϵ_x و ϵ_y به طور آزمایشی تعیین شوند، $\sigma_x = \epsilon_x E$ و $\sigma_y = \epsilon_y E$ می‌توان به صورت زیر بیان کرد:

$$\sigma_x = E \frac{\epsilon_x + \nu \epsilon_y}{1 - \nu^2}$$

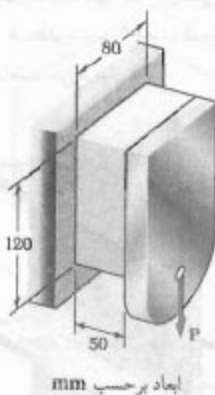
$$\sigma_y = E \frac{\epsilon_y + \nu \epsilon_x}{1 - \nu^2}$$

$$\epsilon_z = -\frac{y}{1 - \nu} (\epsilon_x + \epsilon_y)$$



شکل ۷۴-۲م

۷۵-۲ قطعه پلاستیکی نشان داده شده به یک تکیه‌گاه صلب و صفحه قائم متصل است. بار $P = 240 \text{ kN}$ بر قطعه وارد می‌شود. اگر برای پلاستیک $G = 1050 \text{ MPa}$ ، انحراف صفحه را بیابید.

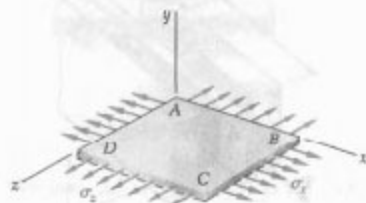


شکل ۷۵-۲م

۷۶-۲ در متن ۷۵-۲، مطلوب است بار P به طوری که انحراف 1.5 mm در قطعه بوجود آید.

۷۱-۲ برای عضوی که تحت بارگذاری محوری است، مطلوب است که نشان داده شده با محور بار زاویه 45° دارد برحسب کرنش محوری ϵ_z : (الف) با مقایسه و تراهای مثبت‌های نشان داده شده در شکل ۷۴-۲ که، به ترتیب، یک جزء را در قبیل و بعد از تغییر شکل نشان می‌دهند، (ب) با استفاده از مقادیر تش نشان مطلوب σ_z و σ_y نشان داده شده در شکل ۴۰.۱، و قانون عمومی هوک.

۷۲-۲ صفحه همگن ABCD تحت بارگذاری دو محوری نشان داده شده قرار دارد. می‌دانیم که $\sigma_z = \sigma_y = \sigma_0$ و تغییر طول صفحه در جهت x باید صفر باشد، یعنی، $\epsilon_x = 0$. اگر مدول الاستیسیته را با E و نسبت پواسون را با ν نشان دهیم، مطلوب است: (الف) مقدار موره نیاز σ_z ، (ب) نسبت ϵ_z / σ_0 .



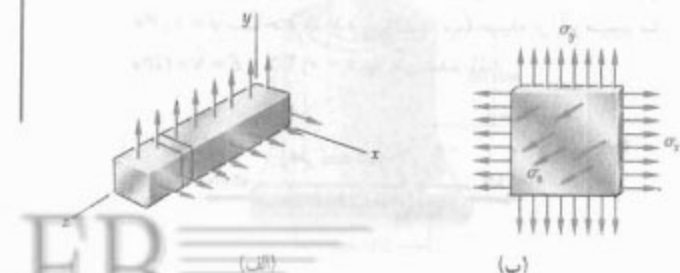
شکل ۷۲-۲م

۷۳-۲ در اغلب موارد، قیدهای فیزیکی مانع ایجاد کرنش در چهت خاصی می‌شوند؛ مثلاً، در حالت نشان داده شده که در آن از حرکت طولی منشور یا لند جلوگیری می‌شود، $\epsilon_x = 0$. مقاطع صفحه‌ای عمود بر محور طولی به صورت صفحه‌ای می‌مانند و فاصله بین آنها تغییر نمی‌کند. نشان دهد که در این حالت، که آن را کرنش صفحه‌ای می‌گویند، $\sigma_z = \sigma_y$ و $\epsilon_z = \epsilon_y$ را می‌توان به صورت زیر بیان کرد:

$$\sigma_z = \nu(\sigma_x + \sigma_y)$$

$$\epsilon_x = \frac{1}{E} [(1 - \nu^2) \sigma_x - \nu(1 + \nu) \sigma_y]$$

$$\epsilon_y = \frac{1}{E} [(1 - \nu^2) \sigma_y - \nu(1 + \nu) \sigma_x]$$

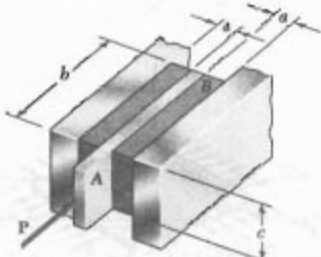


شکل ۷۳-۲م

۷۷-۲ واحد جداسازی ارتعاشات نشان داده شده مشکل است از دو قطعه سفت لاستیکی که به ورق AB و به تکه‌گاههای صلب متصل است. اگر نیروی $P = 22\text{ kN}$ باعث انحراف $\delta = 1.5\text{ mm}$ شود، مدول صلابت لاستیک را باید.

۸۱-۲ در مسئله ۸۱-۲، فرض کنید $b = 220\text{ mm}$ و $a = 30\text{ mm}$. مدول برشی G و تنش برشی ϵ را برای ماکریزم پاره جانبی $P = 19\text{ kN}$ و ماکریزم تغییر مکان $\delta = 12\text{ mm}$ بساید.

۸۱-۳ دو قطعه لاستیکی با مدول صلابت $G = 12\text{ MPa}$ به تکه‌گاههای صلب و به ورق AB متصل اند. اگر $c = 100\text{ mm}$ و $P = 40\text{ kN}$ ، مطلوبست کمترین ابعاد مجاز a و b در صورتی که بخواهیم تنش برشی در لاستیک از 4 MPa بیشتر نشود و کمترین انحراف ورق 0 mm باشد.

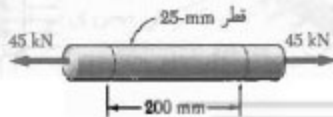


شکل ۸۱-۳ و ۸۱-۴

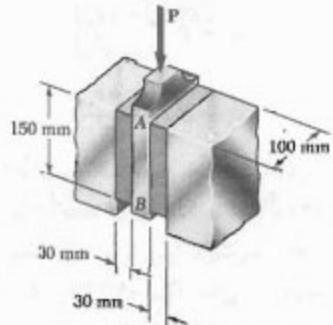
۸۲-۲ دو قطعه لاستیکی با مدول صلابت $G = 10\text{ MPa}$ به تکه‌گاههای صلب و به ورق AB متصل اند. اگر $b = 200\text{ mm}$ و $c = 125\text{ mm}$ ، مطلوبست بیشترین بار مجاز P و کمترین ضخامت مجاز a قطعات در صورتی که بخواهیم تنش برشی در لاستیک از 1.5 MPa بیشتر نشود و حداقل انحراف ورق 6 mm باشد.

۸۳-۲ مطلوبست تغییر حجم قطعه AB با طول سنبه در مسئله ۶۸-۲ (الف) با مقایسه اتساع ماده، (ب) با تغییر حجم اولیه قسمت AB از حجم نهایی آن.

۸۴-۲ مطلوبست اتساع e و تغییر حجم میله به طول 200 mm در صورتی که: (الف) میله از فولاد $E = 200\text{ GPa}$ و $v = 0.30$ ساخته شده باشد، (ب) میله از آلومینیم با $E = 70\text{ GPa}$ و $v = 0.35$ ساخته شده باشد.



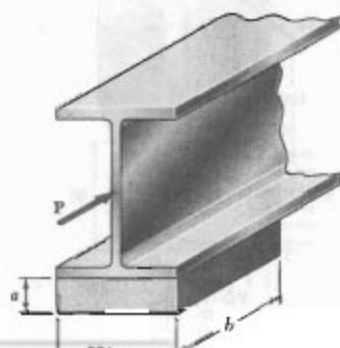
شکل ۸۴-۲



شکل ۷۸-۲ و ۷۷-۲

۷۸-۲ واحد جداسازی ارتعاشات نشان داده شده مشکل است از دو قطعه سفت لاستیکی با مدول صلابت $G = 19\text{ MPa}$ که به ورق AB و به تکه‌گاههای صلب متصل است. اگر P مقدار نیروی وارد و δ انحراف متناظر باشد، ثابت فریت مجموعه را باید.

۷۹-۲ برای انعطاف‌پذیری در ضمن زلزله، مطابق شکل از یاتاقان الاستومتریک ($G = 9\text{ MPa}$) برای نگهداری شاه تیر پل استفاده شده است. تیر تحت بار جانبی 22 kN تیاید بیشتر از 10 mm تغییر مکان دهد. اگر ماکریزم تنش برشی مجاز 420 kPa باشد، مطلوبست: (الف) کمترین بُعد مجاز a ، (ب) کمترین ضخامت مورد نیاز a .



شکل ۷۹-۲

۸۸-۲^{*} یک نکه گاه ایزولاسیون ارتعاشات مشکل است از میله A با شعاع R_A = ۱۰ mm و لوله B با شعاع داخلی R_B = ۲۵ mm که به یک استوانه لاستیکی تو خالی به طول ۸۰ mm و با مدول صلابت G = ۱۲ MPa متصل است. مطلوبت ماکریم نیروی مجاز P که بر میله A می‌توان وارد کرد در صورتی که بخواهیم انحراف از ۲.۵ mm بیشتر نشود.

۸۹-۲^{*} ثابت‌های E, G, k و v یک ماده با معادله‌های (۴۳-۲) و (۴۳-۲) به هم ارتباط داده می‌شوند. نشان دهد که:

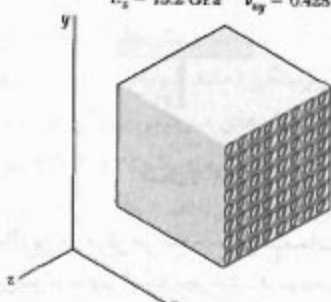
$$(الف) \quad k = GE / (4G - 2E)$$

$$(ب) \quad v = (3k - 2G) / (6k + 2G)$$

۹۰-۲^{*} نشان دهد که، برای تمام مواد، نسبت G/E (نسبت مدول الاستیسیته به مدول صلابت) همواره کمتر از $\frac{1}{2}$ و بیشتر از $\frac{1}{3}$ است (راهنمایی: به معادله (۴۳-۲) و به قسمت ۱۳-۲ مراجعه کنید).

۹۱-۲^{*} مکعبی به ضلع ۴۰ mm، از تارهای پلیمر شیشه که در امتداد x هستند ساخته شده است. مکعب نمی‌تواند در جهت‌های y و z تغییر شکل دهد و تحت بار کششی ۶۵ kN در امتداد x فشار دارد. مطلوبت: (الف) تغییر طول مکعب در جهت x, (ب) تنش‌های $\sigma_x, \sigma_y, \sigma_z$ و σ_{xy} .

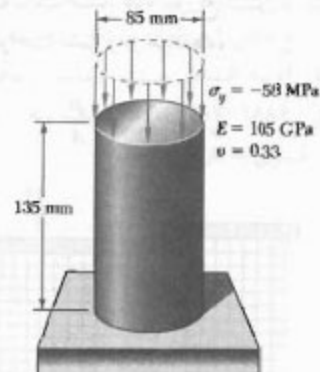
$$\begin{aligned} E_x &= 50 \text{ GPa} & v_{xz} &= 0.254 \\ E_y &= 15.2 \text{ GPa} & v_{xy} &= 0.254 \\ E_z &= 15.2 \text{ GPa} & v_{yz} &= 0.428 \end{aligned}$$



شکل ۹۱-۲

۹۲-۲^{*} مکعب مرکب مسئله ۸۹-۲ نمی‌تواند در جهت z تغییر شکل دهد و با اعمال بار کششی در جهت y ابهه انتازه ۵۰ mm در جهت z کشیده می‌شود. مطلوبت: (الف) تنش‌های $\sigma_x, \sigma_y, \sigma_z$ و σ_{xy} . (ب) تغییر بعد در جهت z.

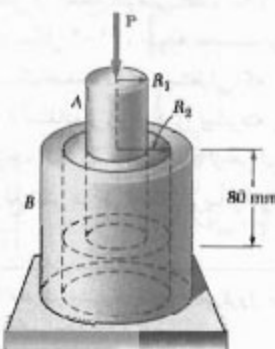
۸۵-۲^{*} (الف) برای بارگذاری محوری نشان داده شده، تغییر ارتفاع و تغییر حجم استوانه برنجی نشان داده شده را باید. (ب) قسمت (الف) را با این غرض حل کنید که بارگذاری به صورت هیدرولستایکی، با $\sigma_x = \sigma_y = \sigma_z = -70 \text{ MPa}$ باشد.



شکل ۸۵-۲

۸۶-۲^{*} کره فولادی توپری به قطر ۱۵۰ mm را در دریا تا عمق ۵ کلومتری پایین می‌برند (فشار در این نقطه ۵۰ MPa است). آگر $E = 200 \text{ GPa}$ و $v = 0.25$ ، مطلوبت: (الف) کاهش قطر کره، (ب) کاهش حجم کره، (ج) درصد افزایش چگالی کره

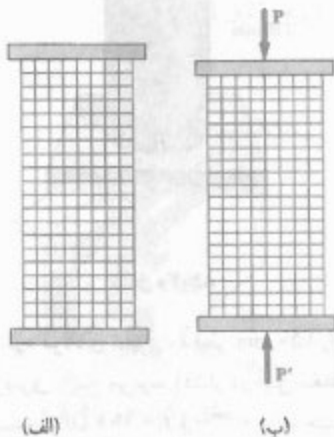
۸۷-۲^{*} یک نکه گاه ایزولاسیون ارتعاشات مشکل است از میله A با شعاع R_A و لوله B با شعاع داخلی R_B که به یک استوانه لاستیکی تو خالی به طول ۸۰ mm و با مدول صلابت ۱۰,۹۳ MPa G = ۱۰,۹۳ MPa متصصل است. آگر نیروی P با مقدار ۱۰ kN بابت انحراف میله A به مقدار ۲ mm شود، مقدار نسبت R_A/R_B را باید.



شکل ۸۷-۲ و ۸۸-۲

کرنش در تمام عضو به صورت یکنواخت خواهد بود، به عبارت دیگر، کرنش محوری ϵ_y و کرنش جانبی $\gamma_{xy} = \gamma_{yx}$ ثابت‌اند. اگر تنش‌ها از حد تابع فراتر نروند، با استفاده از قانون هوک می‌توان رابطه $E \epsilon_y = \sigma_y$ را نوشت. از این رابطه نتیجه می‌شود که تنش قائم σ_y ثابت است. لذا، توزیع تنش در تمام عضو به صورت یکنواخت است و در هر نقطه،

$$\sigma_y = (\sigma_y)_{\text{ave}} = \frac{P}{A}$$



شکل ۵۹-۲

از طرف دیگر، اگر بارها متمرکز باشند (شکل ۶۰-۲)، اجزای موجود در مجاورت نقاط اثر بارها تحت تنش‌های بزرگی قرار می‌گیرند، در حالی که سایر اجزای نزدیک انتهای عضو تحت تأثیر بارگذاری قرار نمی‌گیرند؛ این موضوع را با مشاهده تغییرشکل‌های بزرگ در نزدیک نقاط اثر بارها، و نبود تغییرشکل در گوشها می‌توان دید. هر چه اجزا از انتهای عضو دورتر می‌شوند، تغییرشکل‌ها یکنواخت‌تر می‌شوند؛ یعنی، توزیع کرنش و تنش در مقطع عرضی عضو یکنواخت‌تر است (شکل ۶۱-۲، ۶۱-۳). در شکل ۶۱-۲، نتیجه محاسبه توزیع تنش‌ها در مقاطع مختلف یک صفحه نازک مستطیلی، که تحت بارهای متمرکز قرار دارد، با استفاده از روش‌های پیشرفتی ویاضی نشان داده شده است. توجه کنید که در فاصله a از هر انتها (b عرض صفحه است)، توزیع تنش در هر مقطع تقریباً یکنواخت است و

* به عبارت دقیق‌تر، خط اثر مشترک بارها از مرکزوار مقطع هندسی بگذرد (به نسبت ۵۹-۲ مراجعه کنید).

** عضرهای باریک و بلندی که تحت بار زیاد قرار می‌گیرند ممکن است کمتر کنند. اگر این موقعیت در فصل ۱۰ بررسی می‌شود.

۱۷-۲ توزیع تنش و کرنش در بارگذاری محوری؛ اصل سنت-وینانت

تا به حال، در یک عضو با بارگذاری محوری فرض می‌کردیم تنش‌های نام در مقاطع عمود بر محور عضو به طور یکنواخت توزیع می‌شوند. در قسمت ۱۵-۱ دیدیم که چنین فرضی در نواحی مجاور نقاط اثر بارها اشتباه است، و برای تعیین تنش‌های واقعی در یک مقطع باید یک مسئله نامعین استاتیکی را حل کرد.

در قسمت ۹-۲، برای تعیین نیروها در مسائل نامعین استاتیکی از تغییرشکل‌های ناشی از این نیروها استفاده شد. لذا، می‌توان گفت برای تعیین تنش‌ها در یک عضو باشد که حاصل از این تنش‌ها را تحلیل کرد. در کتاب‌های پیشرفتی برای تعیین توزیع تنش‌های متناظر با شرایط مختلف اعمال بار در انتهای عضوهای، از روش مذکور و نظریه الاستیته استفاده می‌شود. برای تحلیل تنش‌ها می‌توان حالتی را در نظر گرفت که در آن از دو صفحه صلب برای انتقال بار به یک عضو ساخته شده از ماده همگن همسان‌گرد استفاده شده است (شکل ۵۸-۲).



شکل ۵۸-۲

با اعمال بار در مرکز هر صفحه، این صفحات * به طرف x نزدیک می‌شوند بدون اینکه بچرخند. درنتیجه، عضو کوتاه تر می‌شود و عرض و ضخامت آن افزایش می‌یابد. می‌توان فرض کرد عضو به طور مستقیم می‌ماند، مقاطع صفحه‌ای آن به صورت صفحه‌ای می‌مانند و تمام اجزای آن به طور یکسان تغییرشکل می‌دهند (این فرض با شرایط انتهایی داده شده سازگار است). شکل ۵۹-۲ یک مدل لاستیکی را قبل و بعد از بارگذاری نشان می‌دهد **. با تغییرشکل یکسان اجزاء، توزیع

برای محاسبه تنش در یک عضو، با استفاده از اصل سنت-ونانت می‌توان بارگذاری داده شده را با بارگذاری ساده‌تری جایگزین کرد. گفتنی است که هنگام کاربرد اصل مذکور به دو نکته مهم باید توجه داشت:

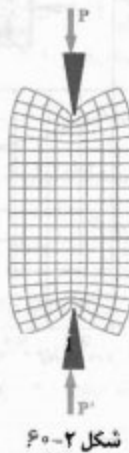
- ۱- بارگذاری واقعی و بارگذاری مورد استفاده در محاسبه تنش‌ها باید از نظر استاتیکی هم آزاد باشند.
- ۲- یا این روش نمی‌توان تنش‌ها را در مجاورت نقاط اثر بار محاسبه کرد، و برای این منظور باید از روش‌های پیشرفت‌نظری یا تجربی بهره‌گرفت.

صفحاتی که برای تعیین توزیع تنش یکنواخت در عضو شکل ۵۹-۲ به کار رفته‌اند نباید مانع انبساط آزاد جانبی عضو شوند. لذا، صفحات نمی‌توانند به صورت صلب به عضو متصل شوند و فرض می‌شود که آنها فقط با عضو تماس دارند و آنقدر صاف‌اند که مانع انبساط جانبی عضو نمی‌شوند. در عمل، این شرایط برای یک عضو فشاری برقرار می‌شوند، ولی برای عضو کشی برقرار نمی‌شوند. البته، این که نتوانیم فیکچری را به عنوان عضوی بگیریم که توزیع تنش‌ها در آن یکنواخت است موضوع مهمی نیست. مهم این است که مدلی را تصوید کیم که توزیع تنش در آن یکنواخت است، و سپس این مدل را با شرایط واقعی بارگذاری مقایسه کنیم.

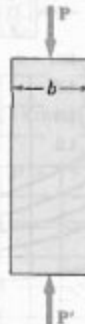
۱۸-۲ تمرکز تنش

در قسمت قبل دیدیم که تنش در نزدیک نقاط اثر بارهای متتمرکز ممکن است خیلی بزرگتر از مقدار متوسط آن باشد. وقتی عضوی دارای یک ناپیوستگی (مانند سوراخ یا تغییر ناگهانی مقطع عرضی است)، تنش‌های موضعی بزرگی در نزدیک ناپیوستگی به وجود می‌آید. شکل‌های ۶۲-۲ و ۶۳-۲ توزیع تنش در مقاطع بحرانی را نشان می‌دهند. شکل ۶۲-۲ برای میله تخت با یک سوراخ دایره‌ای است و توزیع تنش در یک مقطع گذرا از مرکز سوراخ را نشان می‌دهد. شکل ۶۳-۲ برای یک میله تخت است که از دو قسمت با عرض‌های متفاوت، که با گرده (ماهیچه) به هم متصل‌اند، تشکیل شده است؛ این شکل، توزیع تنش در بارگذاری‌کردن قسمت اتصال را نشان می‌دهد. در این قسمت، تنش بزرگی ایجاد می‌شود.

مقدار تنش σ_d در نقطه از آن مقطع را می‌توان با مقدار متوسط P/A برابر گرفت. لذا، در فاصله برابر با عرض عضو یا در فاصله بیشتر از آن، توزیع تنش در عرض یک مقطع به طور یکنواخت است، خواه عضو مانند شکل ۵۸-۲ بارگذاری شده باشد خواه مانند شکل ۶۰-۲، به عبارت دیگر، به جز در فواحی مجاور نقاط اثر بارها، توزیع تنش را می‌توان مستقل از حالت اعمال بار دانست. این اصل را، به افتخار سنت-ونانت ریاضی دان و مهندس فرانسوی (۱۸۸۶-۱۷۹۷)، نهل سنت-ونانت می‌گویند و برای هر نوع بارگذاری به کار می‌رود.



شکل ۶۰-۲



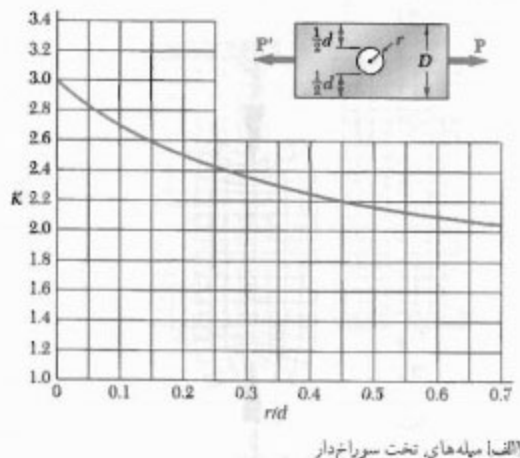
$$\begin{aligned}\sigma_{\min} &= 0.973 \sigma_{ave} \\ \sigma_{\max} &= 1.027 \sigma_{ave}\end{aligned}$$

$$\begin{aligned}\sigma_{\min} &= 0.198 \sigma_{ave} \\ \sigma_{\max} &= 2.575 \sigma_{ave}\end{aligned}$$

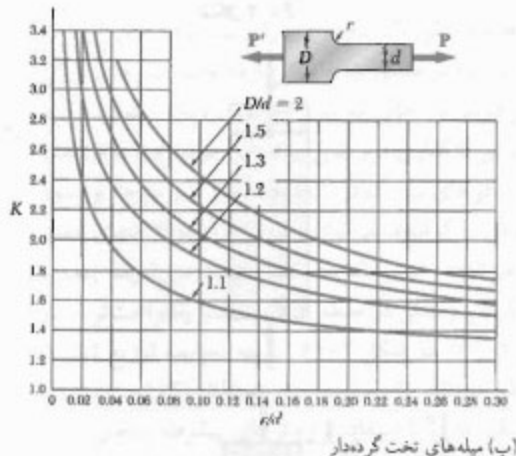
$$\begin{aligned}\sigma_{\min} &= 0.668 \sigma_{ave} \\ \sigma_{\max} &= 1.387 \sigma_{ave}\end{aligned}$$

شکل ۶۱-۲

تمرکز تنش را می‌توان بر حسب نسبت‌های پارامترهای هندسی موجود محاسبه، و نتایج حاصل را به صورت جدول یا نمودار بیان کرد (شکل ۶۴-۲). برای تعیین تنش ماکریم در نزدیک نایپوستگی عضوی که تحت بار محوری P قرار دارد، طراح فقط باید تنش متوسط $\sigma_{ave} = P/A$ را در مقطع بحرانی محاسبه کند، و نتیجه حاصل را در ضرب تمرکز تنش K ضرب کند. این روش تا وقتی صحت دارد که σ_{max} از حد تناسب ماده فراتر نرود، زیرا منحنی‌های شکل ۶۴-۲ با فرض رابطه خطی بین تنش و کرنش به دست آمده‌اند.

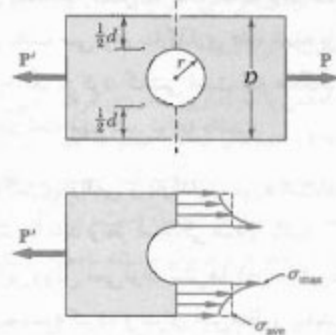


(الف) میله‌های تخت سوراخ دار

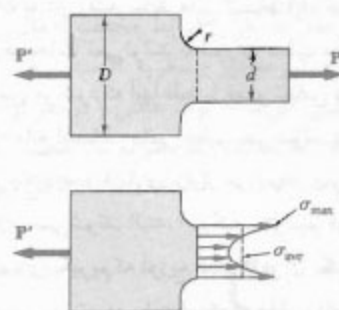


(ب) میله‌های تخت گردیده

شکل ۶۴-۲ خواص تمرکز تنش برای میله‌های تخت تحت بار محوری^{*} (نوجه کنید که تنش متوسط را باید در باریکترین مقطع محاسبه کرد: $\sigma_{ave} = P/4d$ ، که در آن ℓ ضخامت میله است).



شکل ۶۴-۲ توزیع تنش در نزدیک سوراخ دایره‌ای در میله تخت تحت بار محوری.



شکل ۶۴-۳ توزیع تنش در نزدیک گردها در میله تخت تحت بار محوری.

این نتایج، یا استفاده از روش فوتولاستیک، به طور تجربی بدست آمدند. نتایج مذکور مستقل از اندازه و جنس عضو هستند و فقط بستگی به نسبت پارامترهای هندسی عضو دارند، $D/d = 2r/d$ در سوراخ دایره‌ای، رنسبت‌های D/d و r/d در گردها. به علاوه، طراح بیشتر مایل است مقدار ماکریم تنش را در مقطع معینی بیابد، نه توزیع واقعی تنش در آن مقطع را، زیرا می‌خواهد پرسنی کنید که آیا، تحت بارگذاری داده شده، این مقدار ماکریم از تنش مجاز بیشتر است یا نه، و موضوع مکان این مقدار ماکریم برای او اهمیت ندارد. به این دلیل، نسبت زیر را تعریف می‌کنیم:

$$K = \frac{\sigma_{max}}{\sigma_{ave}} \quad (48-2)$$

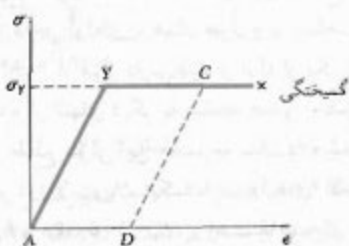
K عبارت است از نسبت تنش ماکریم به تنش متوسطی که در مقطع بحرانی (باریکترین مقطع) محاسبه می‌شود، و آن را ضرب تمرکز تنش برای نایپوستگی داده شده می‌گویند. خواص

* W. D. Pilkey, *Peterson's Stress Concentration Factors*, 2nd ed., John Wiley & Sons, New York, 1997.

مثال ۱۲-۲

قسمت‌های قبیل صحت خود را از دست می‌دهند. در این صورت، باید از یک تحلیل پیچیده‌تر، میتی بر رابطه غیرخطی بین تنش و کرنش، استفاده کرد.

تحلیل میتی بر رابطه واقعی بین تنش و کرنش فراتر از این کتاب است. ولی، با در نظر گرفتن یک ماده الاستوپلاستیک ایده‌آل که نمودار تنش-کرنش آن از دو پاره خط مستقیم تشکیل می‌شود (شکل ۶۵-۲)، رفتار پلاستیک را به خوبی می‌توان درک کرد. گفتنی است که نمودار تنش-کرنش فولاد متوسط در نواحی الاستیک و پلاستیک با این ایده‌آل سازی مشابه است. تا وقتی تنش σ کمتر از استقامات تسلیم σ_{all} است، ماده دارای رفتار الاستیک است و از قانون هوك، $\sigma = E\varepsilon$ ، پیروی می‌کند. وقتی σ به مقدار σ_{all} می‌رسد، ماده شروع به تسلیم می‌کند و تغییر شکل پلاستیک خود را تحت یک بار ثابت ادامه می‌دهد. با حذف بار، این بار برداری در امتداد پاره خط مستقیم CD به موازات قسمت اولیه AY متحمنی بارگذاری روی می‌دهد. پاره خط AB در محور افقی، کرنش متناظر با تغییر شکل پلاستیک دائم را که حاصل از بارگذاری و پاربرداری نمونه است نشان می‌دهد. گرچه هیچ ماده واقعی دقیقاً مانند شکل ۶۵-۲ رفتار نمی‌کند، ولی این نمودار در بحث تغییر شکل‌های پلاستیک مواد چکش خوار، مانند فولاد متوسط، مفید واقع می‌شود.



شکل ۶۵-۲

مثال ۱۳-۲

میله‌ای به طول $L = ۵۰۰ \text{ mm}$ و با مساحت مقطع عرضی $A = ۹۰ \text{ mm}^2$ از یک ماده الاستوپلاستیک ساخته شده است. این ماده در ناحیه الاستیک دارای مدول الاستیتیک $E = ۲۰۰ \text{ GPa}$ است و نقطه تسلیم آن، $\sigma_{\text{all}} = ۳۰ \text{ MPa}$ است. میله تاکشیگی 7 mm تحت بار محوری قرار می‌گیرد و سپس بر حذف می‌شود. تغییر شکل پلاستیک حاصل چقدر است؟

یک میله تحت فولادی از دو قسمت با عرض‌های ۴۰ mm و ۶۰ mm ، هر یک به ضخامت ۱۰ mm ، تشکیل شده است. این دو قسمت توسط گردهایی با شعاع $r = ۸ \text{ mm}$ به هم متصل شده‌اند. ماکریزیم بار محوری را که می‌توان با اطمینان بر این میله وارد کرد باید، تنش قائم مجاز را 165 MPa بگیرید. ابتدا نسبت‌های زیر را تشکیل می‌دهیم:

$$\frac{D}{d} = \frac{90 \text{ mm}}{40 \text{ mm}} = 1,50 \quad \frac{r}{d} = \frac{8 \text{ mm}}{40 \text{ mm}} = 0,20$$

با استفاده از منحنی شکل ۶۴-۲ ب متناظر با $D/d = 1,50$ ، $r/d = 0,20$ را می‌باییم:

$$K = 1,82$$

با جایگذاری این مقدار در معادله (۴۸-۲) و با حل σ_{ave} ،

$$\sigma_{\text{ave}} = \frac{\sigma_{\text{max}}}{1,82}$$

اما σ_{max} نمی‌تواند از تنش مجاز $\sigma_{\text{all}} = 165 \text{ MPa}$ بیشتر شود. با جایگذاری این مقدار برای σ_{max} ، σ_{ave} می‌شود تنش متوسط در باریک‌ترین قسمت میله ($d = 40 \text{ mm}$) نباید از مقدار زیر بیشتر شود:

$$\sigma_{\text{ave}} = \frac{165 \text{ MPa}}{1,82} = 90,7 \text{ MPa}$$

اما $\sigma_{\text{ave}} = P/A$. درنتیجه،

$$P = A\sigma_{\text{ave}} = (70 \text{ mm})(10 \text{ mm})(90,7 \text{ MPa}) = 36,3 \times 10^3 \text{ N}$$

$$P = 36,3 \text{ kN}$$

۱۹-۲ تغییر شکل پلاستیک

نتایج قسمت‌های قبل را از فرض رابطه خطی بین تنش و کرنش به دست آورديم. یعنی، فرض می‌کردیم ماده هیچ‌وقت از حد تابخ خود فراتر نمی‌رود. برای مواد شکننده، که گیختگی بدون تسلیم روی می‌دهد، فرض بالا را می‌توان به کار برد. ولی، در مواد چکش خوار این فرض می‌رساند که ماده از حد استقامات تسلیم خود فراتر نمی‌رود، تغییر شکل در محدوده الاستیک است و عضو، پس از حذف بار، شکل اولیه‌اش را باز می‌باید. ولی، اگر تنش در هر قسمت عضو از استقامات تسلیم ماده بیشتر شود، تغییر شکل پلاستیک روی می‌دهد و اغلب نتایج

ابتدا، نیروی داخلی و کشیدگی میله را تا شروع تسلیم تعیین کنیم:

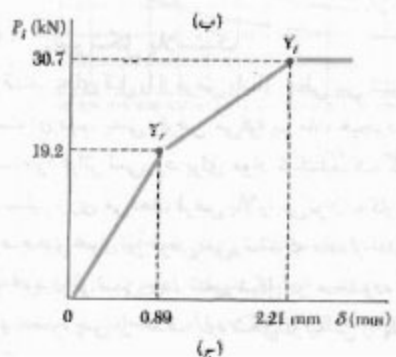
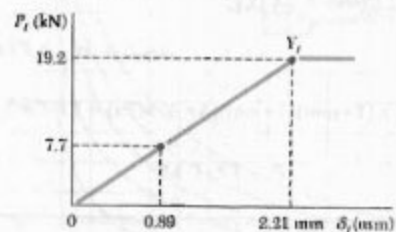
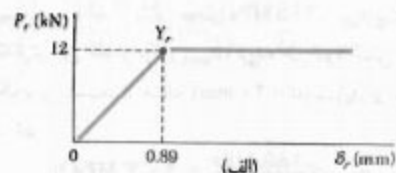
$$(P_r)_Y = (\sigma_r)_Y A_r = (250 \text{ MPa})(48 \text{ mm}^2) = 12 \text{ kN}$$

$$\begin{aligned} (\delta_r)_Y &= (\varepsilon_r)_Y L = \frac{(\sigma_r)_Y}{E_r} L = \frac{250 \text{ MPa}}{210 \text{ GPa}} (0,75 \text{ m}) \\ &= 0,184 \text{ mm} \end{aligned}$$

چون ماده الاستوپلاستیک است، نمودار نیرو-کشیدگی میله تنها از یک خط مستقیم مایل و یک خط مستقیم افقی تشکیل می‌شود (شکل ۶۷-۲ الف). با استفاده از همین روش برای لوله،

$$(P_r)_Y = (\sigma_r)_Y A_t = (310 \text{ MPa})(62 \text{ mm}^2) = 19,2 \text{ kN}$$

$$\begin{aligned} (\delta_r)_Y &= (\varepsilon_r)_Y L = \frac{(\sigma_r)_Y}{E_t} L = \frac{310 \text{ MPa}}{105 \text{ GPa}} (0,75 \text{ m}) \\ &= 2,21 \text{ mm} \end{aligned}$$



شکل ۶۷-۲

از شکل ۶۵-۲، کرنش ماکزیمم (که با طول نقطه C نشان داده می‌شود) چنین است:

$$\epsilon_C = \frac{\delta_C}{L} = \frac{V \text{ mm}}{500 \text{ mm}} = 14 \times 10^{-3}$$

کرنش تسلیم، که با طول نقطه Y نشان داده می‌شود، چنین است:

$$\epsilon_Y = \frac{\delta_Y}{E} = \frac{300 \times 10^{-3} \text{ Pa}}{200 \times 10^9 \text{ Pa}} = 1,5 \times 10^{-7}$$

کرنش پس از بار برداری با طول δ_D نشان داده می‌شود، از شکل ۶۵-۲،

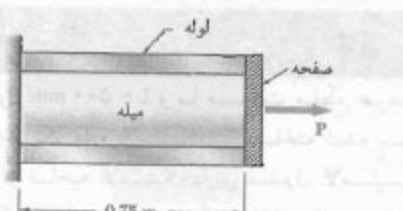
$$\begin{aligned} \epsilon_D &= AD = YC = \epsilon_C - \epsilon_Y \\ &= 14 \times 10^{-3} - 1,5 \times 10^{-7} = 12,5 \times 10^{-3} \end{aligned}$$

تغییر شکل پلاستیک δ_D متناظر با کرنش ϵ_D است:

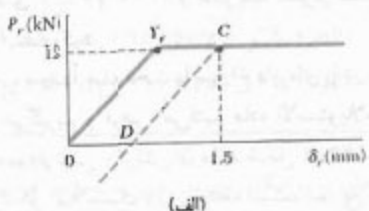
$$\delta_D = \epsilon_D L = (12,5 \times 10^{-3})(500 \text{ mm}) = 6,25 \text{ mm}$$

شکل ۶۷-۳

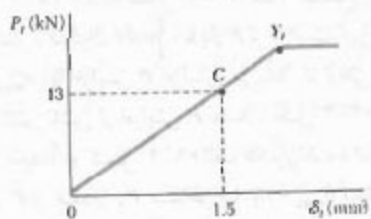
میله استوانه‌ای به طول ۰,۷۵ m و با مساحت مقطع عرضی $A_r = 48 \text{ mm}^2$ داخل لوله‌ای با همان طول و با مساحت مقطع عرضی $A_t = 62 \text{ mm}^2$ قرار دارد. میله و لوله از یک انتهای به تکیه‌گاه صلب و از انتهای دیگر به صفحه صلبی متصل‌اند؛ در شکل ۶۶-۲، مقطع طولی این مجموعه نشان داده شده است. میله و لوله هر دو الاستوپلاستیک، با مدول‌های الاستیتیک $E_r = 210 \text{ GPa}$ و $E_t = 105 \text{ GPa}$ ، و استقامات‌های تسلیم $(\sigma_r)_Y = 310 \text{ MPa}$ و $(\sigma_t)_Y = 250 \text{ MPa}$ وارد می‌شود. نمودار نیرو-کشیدگی مجموعه میله-لوله را رسم کنید.



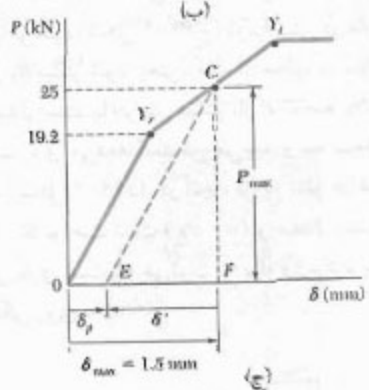
شکل ۶۶-۲



(الف)



(ب)



(ج)

شکل ۶۸-۲

باره خط FE در شکل ۶۸-۲ ج تغییرشکل δ' مجموعه را در ضمن بار برداری نشان می‌دهد، و باره خط OE تغییرشکل دانمی δ را پس از حذف بار P نشان می‌دهد. از مثلث CEF را پس از حذف بار P نشان می‌دهد. از مثلث CED را پس از حذف بار P نشان می‌دهد.

$$\delta' = -\frac{P_{max}}{m} = -\frac{25 \text{ kN}}{21/3 \text{ kN/mm}} = -1,174 \text{ mm}$$

لذا، تغییرشکل دانمی چنین است:

$$\begin{aligned} \delta_p &= \delta_{max} + \delta' = 1,5 \text{ mm} - 1,174 \text{ mm} \\ &= +0,326 \text{ mm} \end{aligned}$$

در قسمت ۱۸-۲، تعریف تنش را با فرض رابطه خطی بین تنش و کرنش بوروسی گردید. بنابراین، در تغییرشکل پلاستیک که مقدار σ_{max} حاصل از شکل های ۶۸-۲ و ۶۸-۲ از استقامت

نمودار نیرو - کشیدگی لوله تها در شکل ۶۸-۲ ب نشان داده شده است. نیرو و کشیدگی مجموعه میله - لوله عبارتند از

$$P = P_r + P_t \quad \delta = \delta_r + \delta_t$$

با جمع کردن عرض نمودارهای میله و لوله (شکل ۶۸-۲ ج)، نمودار نیرو - کشیدگی به دست می آید. نقاط r و t ، به ترتیب، متناظر با شروع تسلیم در میله و در لوله هستند.

مثال ۶۸-۲

اگر بار وارد بر مجموعه میله - لوله مثال ۱۴-۲ از صفر تا 25 kN افزایش یابد و سپس به صفر برگرد، مطلوب است: (الف) ماکریسم کشیدگی مجموعه، (ب) تغییرشکل پلاستیک پس از حذف بار.

(الف) ماکریسم کشیدگی. از شکل ۶۸-۲ ج دیده می شود که بار $P_{max} = 25 \text{ kN}$ در نمودار نیرو - کشیدگی مجموعه قرار دارد. لذا، میله به ناحیه پلاستیک، با $P_r = (P_r)_Y = 12 \text{ kN}$ و $\sigma_r = (\sigma_r)_Y = 250 \text{ MPa}$ رسیده است ولی لوله هستوز در ناحیه الاستیک است. می نویسیم:

$$P_t = P - P_r = 25 \text{ kN} - 12 \text{ kN} = 13 \text{ kN}$$

$$\sigma_t = \frac{P_t}{A_t} = \frac{13 \text{ kN}}{62 \text{ mm}^2} = 210 \text{ MPa}$$

$$\delta_t = \varepsilon_t L = \frac{\sigma_t}{E_t} L = \frac{210 \text{ MPa}}{105 \text{ GPa}} (0,75 \text{ m}) = 1,5 \text{ mm}$$

ماکریسم کشیدگی مجموعه عبارت است از:

$$\delta_{max} = \delta_t = 1,5 \text{ mm}$$

(ب) تغییرشکل پلاستیک (دانمی). وقتی بار P از 25 kN صفر کاهش می یابد، نیروهای داخلی P_r و P_t هر دو در امتداد یک خط مستقیم کاهش می یابند (شکل های ۶۸-۲ الف و ۶۸-۲ ج). نیروی P_r در امتداد خط CD به موازات قسمت اولیه منحنی بارگذاری کاهش می یابد، و نیروی P_t در امتداد منحنی بارگذاری اولیه کاهش می یابد زیرا تنش در لوله از مقدار تسلیم بیشتر نشده است. بنابراین، مجموع P آنها در امتداد خط CE به موازات قسمت $0Y$ منحنی نیرو - کشیدگی مجموعه کاهش می یابد (شکل ۶۸-۲ ج). از شکل ۶۸-۲ ج دیده می شود که شبیه $0Y$ و نیز شبیه CE ، چنین است:

$$m = \frac{19/4 \text{ kN}}{0,9 \text{ m}} = 21/3 \text{ kN/mm}$$

اکنون، مقدار ماکزیمم P_U بار را که به ازای آن تغییر شکل دائمی در میله به وجود نمی آید با مقدار P_Y که باعث گیختگی می شود مقایسه می کیم. با توجه به تعریف تنش متوسط، $K = \sigma_{\max}/\sigma_{ave}$ ، و تعریف ضریب تعریف تنش، $\sigma_y = \sigma_{\max}/\sigma_{ave}$ برای هر مقدار σ_{\max} که از σ_y بیشتر نباشد، می نویسیم:

$$P = \sigma_{ave} A = \frac{\sigma_{\max} A}{K} \quad (49-2)$$

وقتی $\sigma_{\max} = \sigma_y$ (شکل ۴۹-۲)، $P = P_Y$ ؛ از معادله (۴۹-۲)

$$P_Y = \frac{\sigma_y A}{K} \quad (50-2)$$

وقتی $P = P_U$ (شکل ۴۹-۲)، $\sigma_{ave} = \sigma_y$ و

$$P_U = \sigma_y A \quad (51-2)$$

با مقایسه معادله های (۵۰-۲) و (۵۱-۲)،

$$P_Y = \frac{P_U}{K} \quad (52-2)$$

۲۰-۲* تنش های باقیمانده

در مثال ۱۳-۲، میله ای را در نظر گرفتیم که فراتر از نقطه تسلیم خود کشیده می شود. میله، پس از حذف بار، شکل اولیه اش را بازنمی یافته و دستخوش تغییر شکل دائمی می شد؛ ولی، تمام تنش ها از بین می رفتند. اما واقعاً اینطور نیست. در حقیقت، وقتی فقط بعضی از اجزای یک سازه نامعین استاتیکی دستخوش تغییر شکل های پلاستیک می شوند (مانند مثال ۱۵-۲)، یا وقتی اجزای مختلف سازه تغییر شکل های پلاستیک متفاوت می دهند، آنجه که تنش های باقیمانده نامیده می شود پس از حذف بار در اجزای مختلف سازه بر جای می ماند.

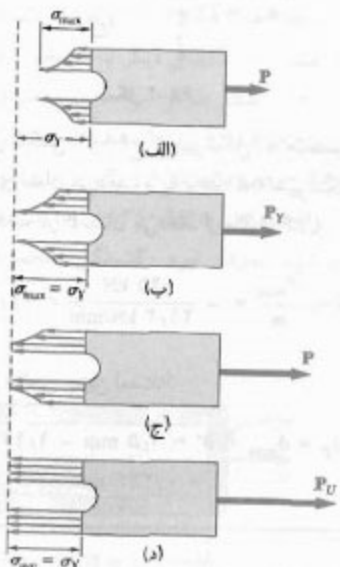
محاسبه تنش های باقیمانده در یک سازه واقعی معمولاً مشکل است، و با مثال زیر می خواهیم یک دید کلی درباره محاسبه این تنش ها بدست آوریم.

مثال ۱۶-۲

در مثال های ۱۴-۲ و ۱۵-۲، فرض کنید بار P از صفر تا 25kN افزایش یافته و سپس به صفر می رسد. تنش های باقیمانده در میله و لوله را بیابیم.

تسلیم σ_y بیشتر می شود، نمی توان از توزیع تنش داده شده در شکل های ۶۲-۲ و ۶۳-۲ و ضرایب تعریف تنش در شکل ۶۴-۲ استفاده کرد.

حال، مجدداً میله تحت با سوراخ دایره ای را در شکل ۶۲-۲ در نظر می گیریم و فرض می کنیم ماده الاستوپلاستیک است؛ یعنی، نمودار تنش - کرنش آن مانند شکل ۶۵-۲ است. تا وقتی تغییر شکل پلاستیک روی نداده است، توزیع تنش مانند قسمت ۱۸-۲ است (شکل ۶۹-۲الف). سطح زیر منحنی توزیع تنش، انتگرال $\int \sigma dA$ ، با بار P برابر است. این مساحت، و مقدار σ_{\max} ، با افزایش P افزایش می یابد. تا وقتی $\sigma_{\max} \leq \sigma_y$ توزیع تنش ناشی از افزایش P مانند شکل ۶۲-۲ است (این شکل، مجدداً در شکل ۶۹-۲الف تکرار شده است). وقتی مقدار P از مقدار P_Y متناظر با $\sigma_y = \sigma_{\max}$ بیشتر می شود (شکل ۶۹-۲ب)، منحنی توزیع تنش در مجاورت سوراخ صاف تر می شود (شکل ۶۹-۲ج)، زیرا تنش در ماده نمی تواند از مقدار σ_y بیشتر شود. یعنی، ماده در مجاورت سوراخ در حال تسلیم شدن است. با افزایش بیشتر بار P ، ناحیه پلاستیک که در آن تسلیم روی می دهد گسترش می یابد و به لبه های صفحه می رسد (شکل ۶۹-۲د). در آنجا، توزیع تنش در عرض صفحه به طور یکنواخت است ($\sigma = \sigma_y$) و مقدار متناظر $P = P_Y$ بیشترین باری است که می توان بر میله وارد کرد بدون اینکه گیختگی روی دهد.



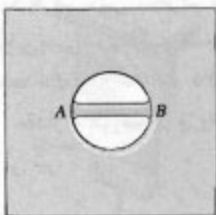
شکل ۶۹-۲ توزیع تنش در ماده الاستوپلاستیک که تحت بار افزایشی قرار دارد

با ترکیب تنش‌های ناشی از بارگذاری و تنش‌های معکوس ناشی از باربرداری، تنش‌های باقیمانده بعدست می‌آیند:

$$(\sigma_r)_{res} = \sigma_r + \sigma'_r = 250 \text{ MPa} - 329,7 \text{ MPa} = -79,7 \text{ MPa}$$

$$(\sigma_t)_{res} = \sigma_t + \sigma'_t = 210 \text{ MPa} - 164,9 \text{ MPa} = +45,1 \text{ MPa}$$

تغییر شکل‌های پلاستیک ناشی از تغییرات دما نیز می‌توانند تنش‌های باقیمانده به وجود آورند. مثلاً، توپی کوچکی را در نظر بگیرید که می‌خواهیم آن را به ورق بزرگی جوش دهیم. توپی را به صورت میله کوچک فولادی AB می‌گیریم که قرار است در عرض سوراخ کوچک داخل ورق جوش داده شود (شکل ۱۵-۲). در ضمن جوشکاری، دمای میله به بیش از 100°C می‌رسد و در این دما مدول الاستیستیه میله، و نیز سفتی و تنش، تقریباً صفر هستند. چون ورق بزرگ است، دمای آن خیلی بیش از دمای اتاق (20°C) نخواهد شد. لذا، هنگام جوشکاری، میله AB میله‌ای است با دمای $T = 100^{\circ}\text{C}$ و قادر تنش که به ورق با دمای 20°C متصل است.



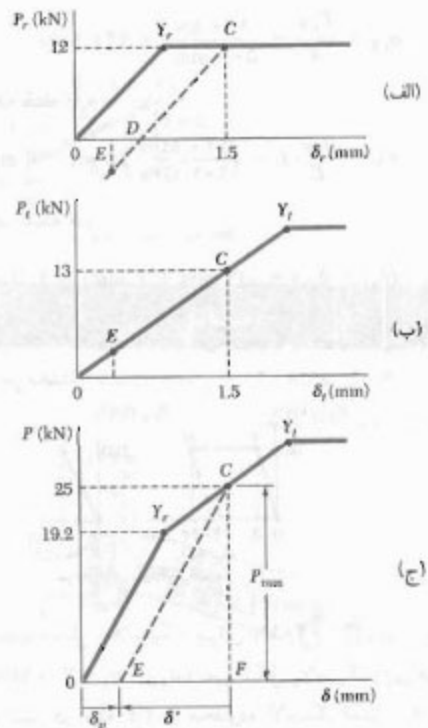
شکل ۱۵-۲

وقتی میله خنک می‌شود، مدول الاستیستیه آن افزایش می‌یابد و در 50°C به مقدار معمولی تقریباً 200 GPa می‌رسد با کاهش بیشتر دمای میله، حالتی داریم که در قسمت ۱۵-۲ بررسی و در شکل ۳۵-۲ نشان داده شد. با حل ΔT از معادله (۲۳-۲) و با قراردادن $\sigma = 300 \text{ MPa}$ و $\sigma'_t = 200 \text{ MPa}$ ، $\alpha = 12 \times 10^{-9}/^{\circ}\text{C}$ ، تغییر دمایی را که باعث تسلیم میله می‌شود می‌یابیم:

$$\Delta T = -\frac{\sigma}{Ea} = -\frac{300 \text{ MPa}}{(200 \text{ GPa})(12 \times 10^{-9}/^{\circ}\text{C})} = -125^{\circ}\text{C}$$

یعنی، میله در دمای تقریباً 375°C شروع به تسلیم می‌کند و وقتی تا دمای اتاق خنک می‌شود، این تسلیم را با یک مقدار تنش تقریباً ثابت حفظ می‌کند. به این ترتیب، تنش باقیمانده‌ای بر اثر جوشکاری در توپی و در جوش ایجاد می‌شود که تقریباً با استقامات فولاد به کار رفته برابر است.

از نمودارهای شکل ۱۵-۲ دیده می‌شود که پس از صفر شدن بار P، نیروهای داخلی P_r و P_t برابر با صفر نیستند و مقدار آنها، به ترتیب، با نقطه E در قسمت‌های (الف) و (ب) شکل نشان داده شده است. یعنی، تنش‌های متناظر پس از بارگذاری مجموعه نیز صفر نیستند. برای تعیین این تنش‌های باقیمانده، تنش‌های معکوس σ'_r و σ'_t ناشی از بارگذاری را محاسبه می‌کنیم و آنها را به تنش‌های ماکریم $\sigma_r = 250 \text{ MPa}$ و $\sigma_t = 210 \text{ MPa}$ ، که در قسمت الف مثال ۱۵-۲ به دست آمدند، اضافه می‌کنیم.



شکل ۱۵-۲

گرش حاصل از بارگذاری در لوله و میله، دارای مقدار یکسان است و برابر است با $L/E_r \delta$ ، که در آن δ تغییر شکل مجموعه در ضمن بارگذاری است و آن را در مثال ۱۵-۲ به دست آوردیم. می‌نویسیم:

$$\epsilon' = \frac{\delta'}{L} = \frac{-1/174 \text{ mm}}{1.75 \text{ m}} = -1.57 \times 10^{-3} \text{ mm/mm}$$

تش‌های معکوس متناظر در میله و لوله عبارتند از:

$$\sigma'_r = \epsilon' E_r = (-1.57 \times 10^{-3})(210 \text{ GPa}) = -329,7 \text{ MPa}$$

$$\sigma'_t = \epsilon' E_t = (-1.57 \times 10^{-3})(164,9 \text{ GPa}) = -164,9 \text{ MPa}$$

حد الاستیک. ماکزیمم مقدار Q و ماکزیمم انحراف الاستیک نقطه A وقتی روی می‌دهد که در میله AD $\sigma = \sigma_y$.

$$(P_{AD})_{\max} = \sigma_y A = (300 \text{ MPa})(400 \text{ mm}^2) = 120 \text{ kN}$$

$$Q_{\max} = \gamma (P_{AD})_{\max} = \gamma(120 \text{ kN}) \quad Q_{\max} = 240 \text{ kN} \quad \blacktriangleleft$$

$$\delta_{A1} = \varepsilon L = \frac{\sigma_y}{E} L = \left(\frac{300 \text{ MPa}}{200 \text{ GPa}}\right) 2 \text{ m} = 3 \text{ mm}$$

چون $P_{CE} = P_{AD} = 120 \text{ kN}$, تنش در میله CE چنین است:

$$\sigma_{CE} = \frac{P_{CE}}{A} = \frac{120 \text{ kN}}{500 \text{ mm}^2} = 240 \text{ MPa}$$

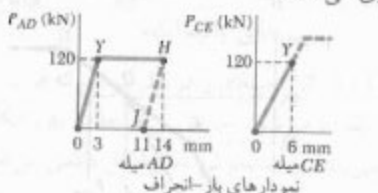
انحراف نقطه C

$$\delta_{C1} = \varepsilon L = \frac{\sigma_{CE}}{E} L = \left(\frac{240 \text{ MPa}}{200 \text{ GPa}}\right) 5 \text{ m} = 6 \text{ mm}$$

انحراف نقطه B

$$\delta_{B1} = \frac{1}{\gamma} (\delta_{A1} + \delta_{C1}) = \frac{1}{\gamma} (3 \text{ mm} + 6 \text{ mm}) = 4.5 \text{ mm}$$

چون $\delta_B = 10 \text{ mm}$, نتیجه می‌گیریم که تغییرشکل پلاستیک روی می‌دهد.



تغییرشکل پلاستیک. برای AD $Q = 240 \text{ kN}$, در میله AD $\sigma = \sigma_y = 300 \text{ MPa}$ (با) تغییرشکل پلاستیک روی می‌دهد.

چون تنش در میله CE در محدوده الاستیک است، $\delta_C = 6 \text{ mm}$ است. انحراف δ_B را، که به ازای آن $\delta_B = 10 \text{ mm}$ به صورت زیر می‌یابیم:

$$\delta_{B1} = 10 \text{ mm} = \frac{1}{\gamma} (\delta_{A1} + 6 \text{ mm}) \Rightarrow \delta_{A1} = 14 \text{ mm}$$

بار برداری. چون نیروی Q به تدریج حذف می‌شود، نیروی P_{AD} در امتداد خط HJ به موازات قسمت اویله نمودار بار-انحراف میله AD کاهش می‌یابد. انحراف نهایی نقطه A چنین است:

$$\delta_{A1} = 14 \text{ mm} - 3 \text{ mm} = 11 \text{ mm}$$

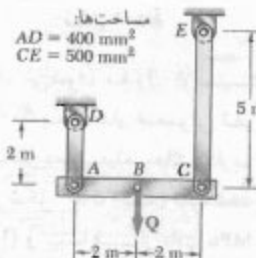
چون تنش در میله CE در محدوده الاستیک است، انحراف نهایی نقطه C صفر است.

فلزاتی که ریخته گری یا نورد گرم می‌شوند، هنگام سرمایش دستخوش تنش‌های باقیمانده می‌شوند. در این موارد، لایه‌های خارجی سریع‌تر از هسته داخلی خنک می‌شوند. در نتیجه، لایه‌های خارجی سفتی خود را سریع‌تر از هسته داخلی به دست می‌آورند. وقتی تمام نمونه به دمای اتفاق می‌رسد، هسته داخلی پیشتر از لایه‌های خارجی منقبض می‌شود. در نتیجه، تنش‌های باقیمانده کششی در هسته داخلی و تنش‌های باقیمانده فشاری در لایه‌های خارجی به وجود می‌آید.

تشهای باقیمانده ناشی از جوشکاری، ریخته گری و نورد گرم ممکن است خیلی بزرگ، و با استقامت تسیلم قابل مقایسه باشد. در صورت لزوم، با بازگرمایش نمونه در دمای تقریباً 60°C و سپس با خنک کردن آهسته آن در مدت ۱۲ تا 24°C ساعت می‌توان این تنش‌ها را حذف کرد.

مسئله نمونه ۶-۲

تیر صلب ABC از دو میله فولادی آویزان شده است و ابتدا به صورت افقی است. با اعمال آهسته نیروی Q ، نقطه میانی B به اندازه 10 mm به طرف پایین منحرف می‌شود. سپس، بار به تدریج حذف می‌شود. اگر فولاد میله‌ها از نوع الاستوپلاستیک با $\sigma_y = 300 \text{ MPa}$ و $E = 200 \text{ GPa}$ باشد، مطلوب است: (الف) مقدار ماکزیمم Q و وضعیت متناظر تیر، (ب) وضعیت نهایی تیر.

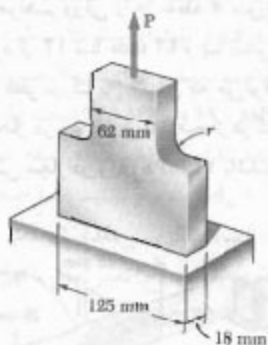


حل

استاتیک. چون Q در نقطه میانی تیر وارد می‌شود،

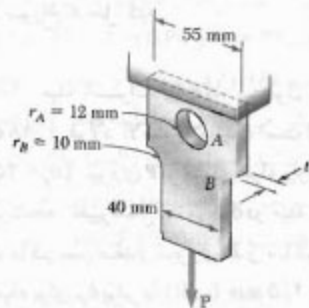
$$P_{AD} = P_{CE} \quad \text{و} \quad Q = 2 P_{AD}$$





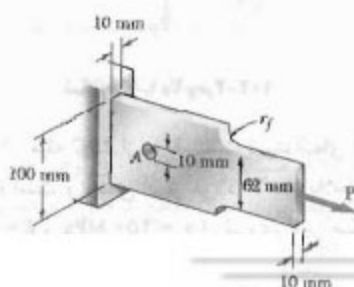
شکل ۹۵-۲ م و ۹۵-۳

۹۶-۲ م و ۹۶-۳ اگر برای $P = 35 \text{ kN}$ ، مطلوب است مینیمم ضخامت t ورق در صورتیکه تنش مجاز 125 MPa باشد.

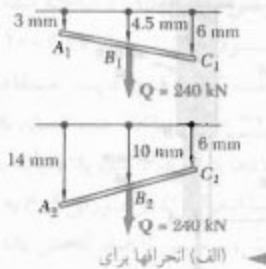


شکل ۹۷-۲ م

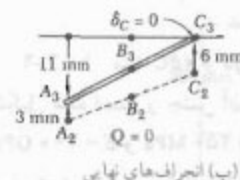
۹۸-۲ اگر قطر سوراخ نشان داده شده 10 mm باشد، مطلوب است: (الف) شعاع رُگرده (ماعیجه) که به ازای آن ماکریم تنش در سوراخ A و در رُگردهای با هم برابرند، (ب) بار ماکریم مجاز منتظر P در صورتی که تنش مجاز 105 MPa باشد.



شکل ۹۸-۲ م



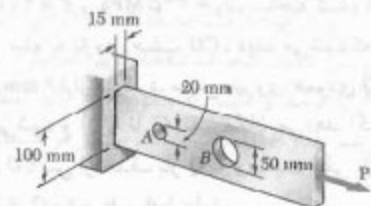
(الف) انحرافها برای



(ب) انحرافها برای

مسائل

۹۳-۲ اگر $\sigma_{all} = 120 \text{ MPa}$ ، ماکریم مقدار مجاز بار محوری مرکزی P را بیابید.

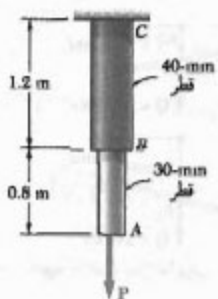


شکل ۹۴-۲ م و ۹۴-۳

۹۴-۲ در یک میله بلند فولادی که تحت بار محوری مرکزی قرار دارد دو سوراخ تعییه شده است. برای $P = 32 \text{ kN}$ ، مطلوب است ماکریم مقدار تنش: (الف) در A ، (ب) در B .

۹۵-۲ اگر $P = 40 \text{ kN}$ ، مطلوب است ماکریم تنش و قدرت: (الف) $r = 15 \text{ mm}$ ، (ب) $r = 12 \text{ mm}$

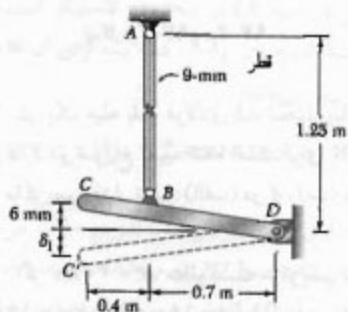
۹۶-۲ اگر تنش مجاز ورق نشان داده شده 110 MPa باشد، مطلوب است ماکریم مقدار مجاز P و قدرت: (الف) $r = 18 \text{ mm}$ ، (ب) $r = 15 \text{ mm}$



شکل ۱۰-۴-۲ و ۱۰-۳-۲

۱۰-۴-۲ میله ABC از دو قسمت استوانه‌ای AB و BC تشکیل شده است و جنس آن از فولاد الاستوپلاستیک است. میله به اندازه $\delta_y = 5 \text{ mm}$ کشیده می‌شود. در نتیجه، میله به اندازه $\delta_y = 5 \text{ mm}$ کشیده می‌شود. ماقریزم مقدار نیروی P و تغییرشکل دائمی در میله را پس از حذف این نیرو بیابید.

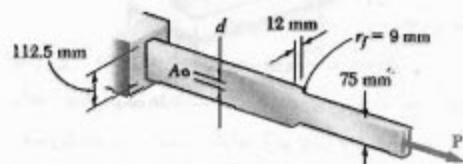
۱۰-۵-۲ میله AB از فولاد متوسط الاستوپلاستیک، با $\sigma_y = 245 \text{ MPa}$ و $E = 200 \text{ GPa}$ ، ساخته شده است. پس از اتصال میله به بازوی صلب CD ، دیده می‌شود که انتهای C ارتفاع 6 mm قرار می‌گیرد. سپس، نیروی عمودی Q بر انتهای C وارد می‌شود و آن را تا 3° تغییرمکان می‌دهد. اگر بخواهیم بازوی CD پس از حذف بار Q به وضعیت افقی بازگردد، مقدار مورد نیاز Q و انحراف δ را بیابید.



شکل ۱۰-۵-۲

۱۰-۶-۲ متنه ۱۰-۵-۲ را با این فرض حل کنید که نقطه تسلیم فولاد متوسط 250 MPa باشد.

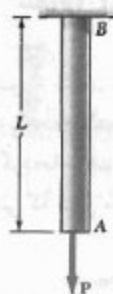
۹۹-۲ می خواهیم ورقی را در نقطه A سوراخ کنیم. قطر مستعهای موجود از 12 mm تا 24 mm و با نامو 3 mm است. (الف) مطلوب است قطر بزرگترین مستعای که می‌توان به کار برد به طوری که بار مجاز در سوراخ از بار مجاز در گردها بیشتر باشد. (ب) اگر تنش مجاز در ورق 14 MPa باشد، بار مجاز را بیابید.



شکل ۱۰۰-۲ و ۹۹-۲

۱۰۰-۲ (الف) برای $d = 12 \text{ mm}$ و $P = 58 \text{ kN}$ ، ماقریزم تنش را در ورق نشان داده شده بیابید. (ب) قسمت الف را با فرض نبود سوراخ A حل کنید.

۱۰۱-۲ میله استوانه‌ای AB ، به طول $L = 1.5 \text{ mm}$ و به قطر 18 mm ، از فولاد الاستوپلاستیک است ($E = 200 \text{ GPa}$ و $\sigma_y = 250 \text{ MPa}$). نیروی P بر انتهای میله وارد و سپس حذف می‌شود. در نتیجه، تغییرشکل دائمی δ در میله به وجود می‌آید. مطلوب است ماقریزم مقدار نیروی P و ماقریزم مقدار δ کشیدگی میله برای $\delta = 2.5 \text{ mm}$ برابر با: (الف) 2.5 mm ، (ب)



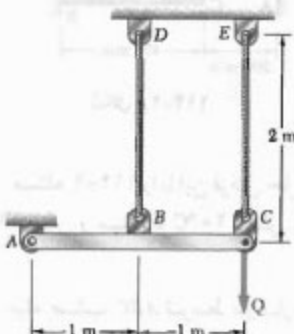
شکل ۱۰۱-۲ و ۱۰۰-۲

۱۰-۳-۲ میله ABC از دو قسمت استوانه‌ای AB و BC تشکیل شده است و جنس آن از فولاد الاستوپلاستیک است ($\sigma_y = 250 \text{ MPa}$ و $E = 200 \text{ GPa}$). نیروی P بر میله وارد و سپس حذف می‌شود. در نتیجه، تغییر شکل دائمی $\delta_P = 2 \text{ mm}$ در میله به وجود می‌آید. ماقریزم مقدار P و ماقریزم مقدار کشیدگی δ میله را بیابید.

متصل شده‌اند. این میله مرکب تحت بار محوری مركبی P قرار دارد. هر دو فولاد از نوع الاستوپلاستیک، با $E = 200 \text{ GPa}$ ، هستند. استقامت تسلیم برای فولادهای آبدیده و متوسط، به ترتیب، $\sigma_y = 690 \text{ MPa}$ و $\sigma_y = 345 \text{ MPa}$ است. بار P به تدریج از صفر افزایش می‌یابد تا اینکه تغییرشکل میله به مقدار ماکریم مطلوبست: (الف) ماکریم مقدار P ، (ب) ماکریم تنش در میله‌های فولادی آبدیده، (ج) تغییرشکل دائمی پس از حذف بار.

۱۱۰-۲ برای میله مرکب مسئله ۱۰۹-۲، اگر P به تدریج از صفر تا 436 kN افزایش و سپس تا صفر کاهش یابد، مطلوبست (الف) ماکریم تغییرشکل میله، (ب) ماکریم تنش در میله‌های فولادی آبدیده، (ج) تغییرشکل دائمی پس از حذف بار.

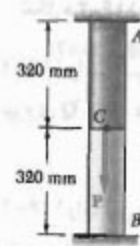
۱۱۱-۲ مساحت مقطع عرضی هر یک از کابل‌ها 100 mm^2 است. کابل‌ها از فولاد الاستوپلاستیک ساخته شده‌اند ($E = 200 \text{ GPa}$ و $\sigma_y = 345 \text{ MPa}$)، نیروی Q در نقطه C بر میله صلب ABC وارد می‌شود و مقدار آن به تدریج از صفر تا 50 kN افزایش می‌یابد و مجدداً به صفر می‌رسد. اگر کابل‌ها در ابتدا کشیده باشند، مطلوبست: (الف) ماکریم تنش در کابل BC ، (ب) ماکریم انحراف نقطه C ، (ج) تغییر مکان نقطه C . (راهنمایی: در قسمت ج، کابل CE کشیده نیست).



شکل ۱۱۱-۲

۱۱۲-۲ مسئله ۱۱۱-۲ را با این فرض حل کنید که به جای کابل از میله‌ای با همان مقطع عرضی و از همان جنس استفاده شرد. همچنین، فرض کنید که میله‌ها مهار شونده طوری که بتوانند نیروهای فشاری را بدون کشش تحمل کنند.

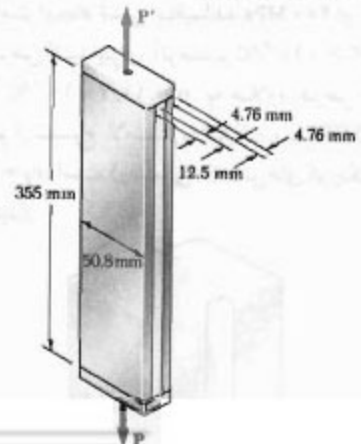
۱۰۷-۲ میله AB از دو قسم استوانه‌ای AC و BC ، هر یک با مساحت مقطع عرضی 2950 mm^2 ، ساخته شده است. قسم AC از فولاد متوسط $E = 200 \text{ GPa}$ و $\sigma_y = 250 \text{ MPa}$ ، و قسم BC از فولاد پر استقامت، با $E = 200 \text{ GPa}$ و $\sigma_y = 345 \text{ MPa}$ ، ساخته شده است. بار P در C وارد می‌شود. اگر فولادهای از نوع الاستوپلاستیک باشند، مطلوبست: (الف) ماکریم انحراف C در صورتی که P به تدریج از صفر تا 1625 kN افزایش، و سپس تا صفر کاهش یابد، (ب) ماکریم تنش در هر قسم میله، (ج) انحراف دائمی C .



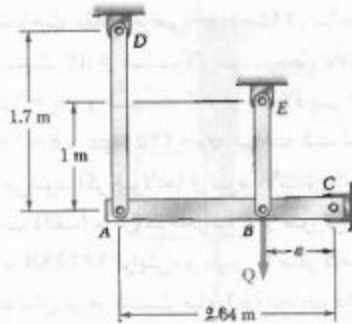
شکل ۱۰۷-۲

۱۰۸-۲ برای میله مرکب مسئله ۱۰۹-۲، اگر P به تدریج از صفر افزایش یابد، انحراف نقطه C به مقدار ماکریم $\delta_m = 0.5 \text{ mm}$ و سپس تا صفر کاهش یابد، مطلوبست: (الف) ماکریم مقدار P ، (ب) تنش ماکریم در هر قسم میله،

۱۰۹-۲ دو میله فولادی آبدیده، هر یک به ضخامت 12.5 mm ، به میله‌ای از فولاد متوسط به ضخامت 30.8 mm



شکل ۱۰۹-۲

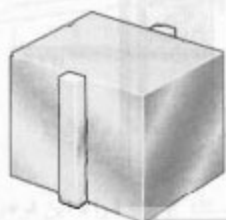


شکل ۱۱۶-۲

۱۱۷-۲ مسئله ۱۱۶-۲ را با این فرض حل کنید که مقدار $a = 1,776\text{ m}$ و مقدار نیروی Q وارد در B به تدریج از صفر تا 275 kN افزایش یابد.

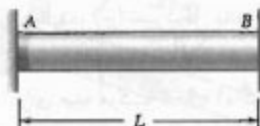
۱۱۸-۳ مسئله ۱۱۶-۲ را با این فرض حل کنید که مقدار نیروی Q وارد در B به تدریج از صفر تا 260 kN افزایش یابد و سپس مجدداً به صفر برسد. اگر $a = 0,640\text{ m}$ ، مطلوبست: (الف) تنش باقیمانده در هر میله، (ب) انحراف نهایی نقطه B . فرض کنید میله‌ها مهار شده‌اند به طوری که نیروی فشاری را بدون کمانش تحمل می‌کنند.

۱۱۹-۲ یک میله باریک آلمینیمی، مطابق شکل، به یک طرف ورق ضخیم فولادی متصل است. استادا، در $T_s = 21^\circ\text{C}$ ، تمام تنش‌ها صفر هستند. اگر دما به تدریج تا T_s افزایش و سپس تا T_f کاهش یابد. مطلوبست: (الف) پیش‌نیاز دمای T_s که باعث ایجاد تنش‌های باقیمانده نمی‌شود، (ب) دمای T_f که باعث ایجاد تنش باقیمانده 400 MPa در آلمینیم می‌شود. فرض کنید برای آلمینیم $\alpha_a = 23,6 \times 10^{-7}/^\circ\text{C}$ و برای فولاد $\alpha_s = 11,7 \times 10^{-7}/^\circ\text{C}$. به علاوه، فرض کنید که آلمینیم از نوع الاستوپلاستیک، با $E = 75\text{ GPa}$ و $\sigma_y = 400\text{ MPa}$ است. (دقتاً: از تنش‌های کوچک در ورق صرف نظر کنید).



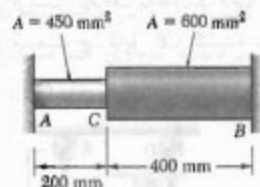
شکل ۱۱۹-۲

۱۱۳-۲ میله فولادی یکتواخت با مساحت مقطع عرضی A به تکه‌گاههای صلب متصل است و در دمای 7°C بی‌تش است. فولاد از نوع الاستوپلاستیک، با $\sigma_y = 250\text{ MPa}$ و $G = 200\text{ GPa}$ ، است. اگر $\alpha = 11,7 \times 10^{-7}/^\circ\text{C}$ وقیع دما تا 16°C افزایش می‌یابد، (ب) پس از اینکه دما مجدداً تا 7°C کاهش می‌یابد.



شکل ۱۱۳-۲

۱۱۴-۲ میله فولادی ABC به تکه‌گاههای صلب متصل است و در دمای 20°C در حالت بی‌تش است. فولاد از نوع الاستوپلاستیک، با $\sigma_y = 250\text{ MPa}$ و $E = 200\text{ GPa}$ ، است. دمای هر دو قسمت میله تا 120°C افزایش می‌یابد. اگر $\alpha = 11,7 \times 10^{-7}/^\circ\text{C}$ ، مطلوبست: (الف) تنش در قسمت AC ، (ب) انحراف نقطه C .



شکل ۱۱۴-۲

۱۱۵-۲ مسئله ۱۱۴-۲ را با این فرض حل کنید که دمای میله تا 120°C افزایش و سپس تا 20°C کاهش یابد.

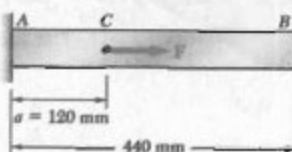
۱۱۶-۲ میله صلب ABC توسط دو بازوی AD و BE نگه داشته شده است. این دو بازو دارای مقاطع عرضی یکتواخت مستطیلی $37,5\text{ mm} \times 6\text{ mm}$ و از فولاد متوسط الاستوپلاستیک، با $E = 200\text{ GPa}$ و $\sigma_y = 250\text{ MPa}$ ، هستند. مقدار نیروی Q وارد در B به تدریج از صفر تا 260 kN افزایش می‌یابد. اگر $a = 0,64\text{ m}$ ، مطلوبست: (الف) مقدار تنش قائم در هر بازو، (ب) ماکریم انحراف نقطه B .

۱۲۰-۲ مسئله ۱۲۰-۲ را با فرض $a = 180 \text{ mm}$ حل کنید.

۱۲۲-۲ برای میله مرکب مسئله ۱۰۹-۲، اگر P به تدریج از صفر تا 520 kN افزایش و سپس تا صفر کاهش یابد، مطلوب است: (الف) انحراف دائمی نقطه C، (ب) تش باقیمانده در میله.

۱۲۳-۲ برای میله مرکب مسئله ۱۰۹-۲، اگر P به تدریج از صفر افزایش یابد تا تغییر شکل میله به مقادیر مراکزی بهم $\delta_m = 10 \text{ mm}$ برسد و سپس تا صفر کاهش یابد، تش های باقیمانده را در میله های فولادی آبدیده بیابید.

۱۲۰-۲ مبلغ AB دارای مساحت مقطع عرضی $120 \times 120 \text{ mm}^2$ و از فولاد استوپلاستیک، با $E = 200 \text{ GPa}$ و $\sigma_y = 250 \text{ MPa}$ ، است. اگر نیروی F به تدریج از صفر تا 520 kN افزایش و سپس تا صفر کاهش یابد، مطلوب است: (الف) انحراف دائمی نقطه C، (ب) تش باقیمانده در میله.



شکل ۱۲۰-۲

مرور و خلاصه فصل ۲

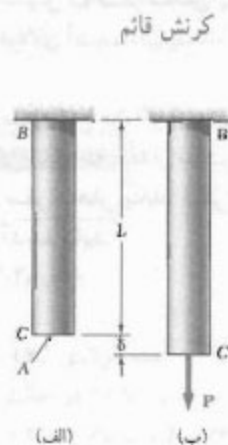
در این فصل، مفهوم کرنش و رابطه بین تنش و کرنش را در مواد مختلف مورد بحث قرار دادیم و تغییر شکل های اجرای ساخته ای را تحت بارگذاری محوری تعیین کردیم.

میله ای به طول L و با مقطع عرضی یکنواخت را در نظر گرفتم و تغییر شکل آن را تحت بار محوری P با δ نشان دادیم (شکل ۱-۲). کرنش قائم « ϵ » را در میله به عنوان تغییر شکل طول و اخذ تعریف کردیم [قسمت ۲-۲]:

$$\epsilon = \frac{\delta}{L} \quad (1-2)$$

در میله ای با مقطع عرضی متغیر، کرنش قائم در نقطه معین Q را با در نظر گرفتن جزء کوچکی از میله در نقطه Q تعریف کردیم. طول این جزء را با Δx و تغییر شکل آن را تحت بار داده شده با $\Delta\delta$ نشان دادیم و رابطه زیر را نوشتیم:

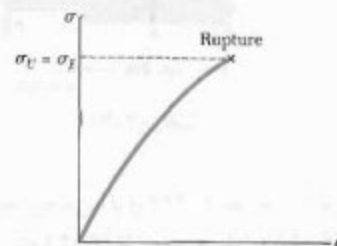
$$\epsilon = \lim_{\Delta x \rightarrow 0} \frac{\Delta\delta}{\Delta x} = \frac{d\delta}{dx} \quad (2-2)$$



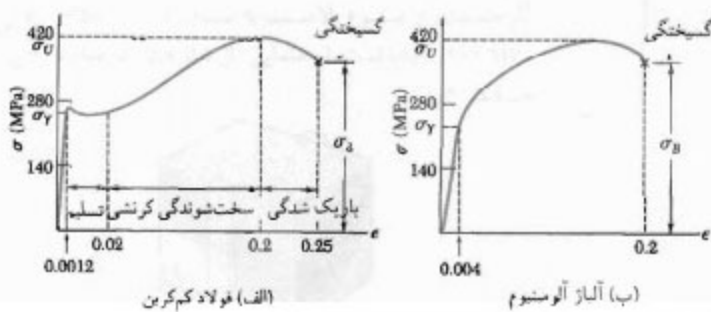
شکل ۱-۲ نمودار تنش-کرنش

با ترسیم تنش « σ » بر حسب کرنش « ϵ »، نمودارتنش-کرنش را بعدست آوردیم [قسمت ۲-۳]. از این نمودار، توانستیم میان مواد شکننده (ثرد) و چکش خوار (نرم) تمايز زیر را قائل شویم: نمونه ای که از ماده شکننده ساخته شده است گیخته می شود بدون اینکه آهنگ کشیدگی آن قبل از گیختگی تغییر قابل توجهی داشته باشد (شکل ۱۱-۲)، ولی نمونه چکش خوار پس از اینکه تنش آن به مقدار بحرانی σ_y ، به نام استقامت تسلیم، می رسد تسلیم می شود؛ یعنی، نمونه قبل از اینکه گیخته شود، با افزایش نسبتاً کوچک بار وارده (شکل ۹-۲) تغییر شکل قابل توجهی می دهد. بنابراین یکی از موادی است که خواص آن در کشش و قشار کاملاً متفاوت است.

نمودار تنش-کرنش



شکل ۱۱-۲



شکل ۹-۲

(ب) آلیز آلومینیوم

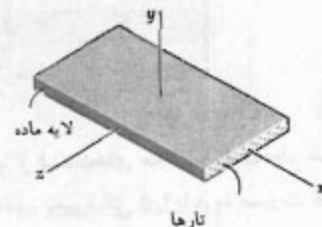
(الف) فولاد کم کربن

در قسمت ۲-۵ دیدیم که قسمت اولیه نمودار تنش-کرنش یک خط مستقیم است. یعنی، برای تغییرشکل‌های کم، تنش با کرنش به طور مستقیم متناسب است:

$$\sigma = E\varepsilon$$

این رابطه را قانون هوک، و E را مدول الاستیسیته می‌گویند. ماکریسم تنش را که معادله (۴-۲) برای آن به کار می‌رود حد تاسب ماده می‌گویند.

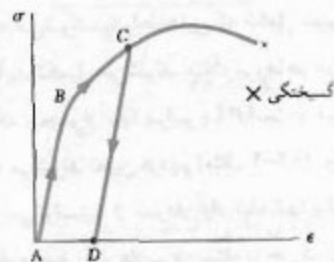
مواد تحت بررسی، همانگرد (دارای خواص مستقل از جهت) بودند. در قسمت ۵-۲، دسته‌ای از مواد ناهمانگرد را نیز بررسی کردیم؛ یعنی، موادی که خواص آنها به جهت بستگی دارد و آنها رامواد مرکب تقویت شده باشند می‌گویند. این مواد از تارهای محکم و سفتی که در لایه ضعیفتر و نرمتری قرار دارند ساخته شده‌اند (شکل ۱۷-۲). دیدیم که، بر حسب جهت بارگذاری، از مدول‌های الاستیسیته مختلف باید استفاده کرد.



شکل ۱۷-۲

حد الاستیک، تغییرشکل یلاستیک

اگر کرنش‌هایی که با اعمال بار معینی در نمونه‌ای به وجود می‌آیند با حذف بار از بین بروند، می‌گویند ماده رفتار الاستیکی دارد و ماکریسم تنش را که به ازای آن این حالت روی می‌دهد حد الاستیک ماده می‌گویند [قسمت ۶-۲]. اگر ماده از حد الاستیک خود فراتر رود، با حذف بار، تنش و کرنش به صورت خطی کاهش می‌یابند و کرنش به صفر نمی‌رسد (شکل ۱۸-۲). یعنی، یک تغییرشکل دائمی (پلاستیک) در ماده به وجود می‌آید.



شکل ۱۸-۲

خستگی، حد دوام

در قسمت ۷-۲، پذیده خستگی را بررسی کردیم. در این پذیده، عضوهای ساختمانی یا مکانیکی پس از تعداد زیادی بارگذاری تکراری گسیخته می‌شوند، حتی اگر تنش‌ها در محدوده الاستیک باشند. در آزمایش استاندارد خستگی، تعداد «سیکل بارگذاری-سابربرداری» مورد نیاز برای گسیختگی یک نمونه برای هر مقدار تنش ماکریسم « تعیین و متحمنی ۵۰ » رسم می‌شود. مقدار « را که به ازای آن، حتی برای تعداد نامحدودی سیکل، گسیختگی روی نمی‌دهد حد دوام ماده می‌گویند.

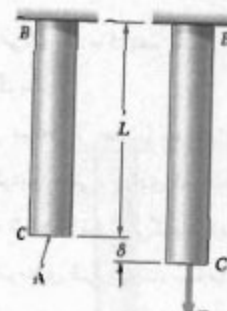
در قسمت ۲-۸، تغییر شکل های الاستاتیک انواع مختلف عضوهای ساختمانی و مکانیکی را در شرایط مختلف بارگذاری محوری تعیین کردیم. دیدیم اگر میله ای به طول L و با مساحت مقطع عرضی A در انتهای خود تحت بار محوری مرکزی P قرار گیرد (شکل ۲۲-۲)، تغییر شکل متناظر چنین است:

$$\delta = \frac{PL}{AE} \quad (7-2)$$

اگر میله در نقاط مختلف مختلف بارگذاری شود یا از قسمت های مختلف با مقاطع عرضی مختلف و از مواد مختلف تشکیل شده باشد، تغییر شکل δ را باید به صورت مجموع تغییر شکل های اجزای آن بیان کرد [مثال ۱-۲]:

$$\delta = \sum_i \frac{P L_i}{A_i E_i} \quad (8-2)$$

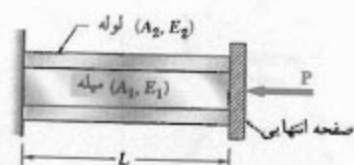
تغییر شکل الاستاتیک در
بارگذاری محوری



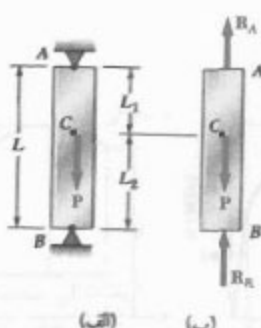
شکل ۲۲-۲

در قسمت ۹-۲، مسائل تامین استاتیکی را حل کردیم؛ یعنی، مسائلی را که در آنها واکنش ها و تیروهای داخلی را نمی توان صرفاً با استاتیک تعیین کرد. معادله های تعادل، که با توجه به نمودار آزاد عضو نوشته می شوند، با رابطه هایی که شامل تغییر شکل ها هستند و از هندسه مسئله بدست می آیند تکمیل می شوند. مثلاً، تیروها در میله و لوله شکل ۲۵-۲ الف را با توجه به اینکه مجموع آنها برابر با P است و نیز باعث تغییر شکل های مساوی در میله و لوله می شوند تعیین کردیم [مثال ۲-۲]. واکنش در تکیه گاه های میله شکل ۲۶-۲ را نیز نمی توانستیم از نمودار آزاد میله تنها بیابیم [مثال ۲-۳]؛ لذا، کشیدگی کلی میله را مساوی صفر قرار دادیم و مسئله را حل کردیم.

مسائل نامعین استاتیکی



شکل ۲۵-۲



شکل ۲۶-۲

در قسمت ۱۰-۲، مسانلی را که با تغییرات دما سر و کار دارند بررسی کردیم. ابتدا دیدیم که اگر دمای میله آزاد AB به طول L به اندازه ΔT افزایش یابد، کشیدگی آن چنین است:

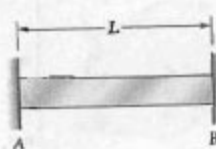
$$\delta_T = \alpha(\Delta T)L \quad (21-2)$$

که در آن α ضرب انبساط گرمایی ماده است. دیدیم که کرنش متناظر، به نام کرنش گرمایی، چنین است:

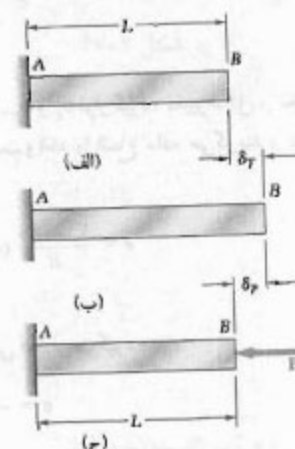
$$\varepsilon_T = \alpha \Delta T \quad (22-2)$$

هیچ تنشی وابسته به این کرنش نیست. ولی، اگر میله AB توسط تکیه‌گاه‌های ثابت مقدار شده باشد (شکل ۳۵-۲ الف)، با افزایش دمای میله، تنش‌هایی در آن به وجود می‌آید و این ناشی از واکنش در تکیه‌گاه‌هاست. برای تعیین مقدار P واکنش‌ها، میله را از تکیه‌گاه جدا کردیم (شکل ۳۶-۲) و دو تغییرشکل زیر را به طور جداگانه بررسی کردیم: یکی δ_T هنگام انبساط آزاد بر اثر تغییر دما و دیگری δ_P ناشی از نیروی P ، که برای برگرداندن میله به طول اولیه‌اش نیاز است به طوری که میله مجدداً قابل اتصال به تکیه‌گاه B باشد. تغییرشکل کلی $\delta_T + \delta_P = \delta$ را مساوی صفر قرار دادیم، و با حل آن P را تعیین کردیم. گرچه کرنش نهایی در میله AB صفر است، ولی برای میله‌های مشکل از قسمت‌هایی که مقاطع عرضی یا جنس مختلف دارند چنین نیست، زیرا تغییرشکل اجزای مختلف معمولاً صفر نیست [مثال ۲۰-۲].

مسائل تغییر دما



شکل ۳۵-۲ الف



شکل ۳۶-۲

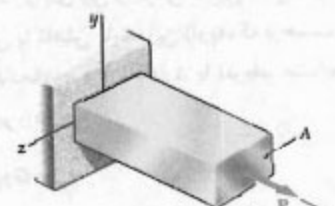
کرنش جانبی. نسبت پواسون

با اعمال بار محوری P بر میله همگن و باریک (شکل ۳۹-۲ الف)، در آن کرنش‌های محوری و جانبی (عرضی) به وجود می‌آید [قسمت ۱۱-۲]. نسبت کرنش جانبی به کرنش محوری را نسبت پواسون می‌گویند و با ν نشان می‌دهند:

$$\frac{\text{کرنش جانبی}}{\text{کرنش محوری}} = \nu \quad (25-2)$$

لذا، با توجه به کرنش محوری $\epsilon_x = \sigma_x/E$ در بارگذاری محوری، کرنش‌های جانبی را به صورت زیر بیان کردیم:

$$\epsilon_y = \epsilon_z = -\frac{\nu \sigma_x}{E} \quad (27-2)$$

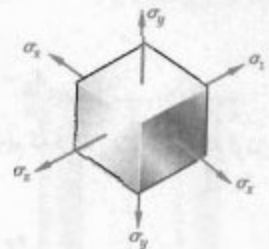


شکل ۳۹-۲ الف

بارگذاری چندمحوری

در قسمت ۱۲-۲، نتیجه بالا را برای بارگذاری چندمحوری، که تنش‌های شکل ۴۲-۲ را به وجود می‌آورد، بسط داده و قانون عمومی هوک را به صورت زیر بیان کردیم:

$$\begin{aligned}\epsilon_x &= +\frac{\sigma_x}{E} - \frac{\nu \sigma_y}{E} - \frac{\nu \sigma_z}{E} \\ \epsilon_y &= -\frac{\nu \sigma_x}{E} + \frac{\sigma_y}{E} - \frac{\nu \sigma_z}{E} \\ \epsilon_z &= -\frac{\nu \sigma_x}{E} - \frac{\nu \sigma_y}{E} + \frac{\sigma_z}{E}\end{aligned}\quad (۲۸-۲)$$



شکل ۴۲-۲

اگر جزئی از ماده‌ای تحت تنش‌های σ_x , σ_y و σ_z فشار گیرد، تغییر شکل و تغییر حجم می‌دهد [قسمت ۱۳-۲]. تغییر حجم برای حجم واحد را انتخاب ماده می‌گویند و با ϵ نشان داده می‌شود. دیدیم که:

$$\epsilon = \frac{1 - 2\nu}{E} (\sigma_x + \sigma_y + \sigma_z) \quad (۳۱-۲)$$

اتساع

وقتی ماده‌ای تحت فشار هیدروستاتیکی P فشار می‌گیرد،

$$\epsilon = -\frac{P}{k} \quad (۳۴-۲)$$

مدول کهای

کرا مدول کهای ماده می‌گویند:

$$k = \frac{E}{3(1 - 2\nu)} \quad (۳۳-۲)$$

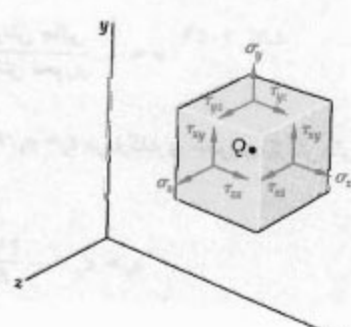
در فصل ۱ دیدیم که یک ماده تحت بارگذاری کلی شامل تنش‌های قائم و برشی قائم است (شکل ۴۵-۲). تنش‌های برشی گرایش دارند یک جزء مکعبی از ماده را به صورت متوازی السطوح مایل درآورند [قسمت ۱۴-۲]. مثلاً، تنش‌های τ_{xy} و τ_{yz} در شکل ۴۷-۲ (که دارای مقدار برابرند)، باعث می‌شوند زوایای بین وجوهی که این تنش‌ها بر آنها اثر می‌کنند به اندازه زاویه کوچک γ_{xy} گرایش یا کاهش یابند؛ این زاویه، که بر حسب رادیان بیان می‌شود، کرنش برشی متناظر با امتدادهای x و y نام دارد. با تعریف مشابه برای کرنش‌های برشی γ_{yz} و γ_{zx} ، رابطه‌های زیر را داریم:

$$\tau_{xy} = G \gamma_{xy}$$

$$\tau_{yz} = G \gamma_{yz} \quad \tau_{zx} = G \gamma_{zx} \quad (۳۷ \text{ و } ۳۶-۲)$$

این رابطه‌ها برای هر ماده همسانگردی که تحت برش با مقدار کمتر با مساوی حد تناسب فشار دارد صحت دارند. ثابت G را مدول صلابت ماده می‌گویند و رابطه‌های حاصل را قانون هوک برای تنش و کرنش برشی می‌گویند. این رابطه‌ها، همراه با معادله‌های (۲۸-۲)، بجزئی از معادله‌ها را تشکیل می‌دهند که به آنها قانون عمومی هوک برای

کرنش برشی . مدول صلابت



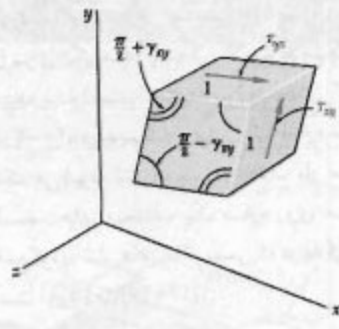
شکل ۴۵-۲

یک ماده همسانگرد می‌گویند.

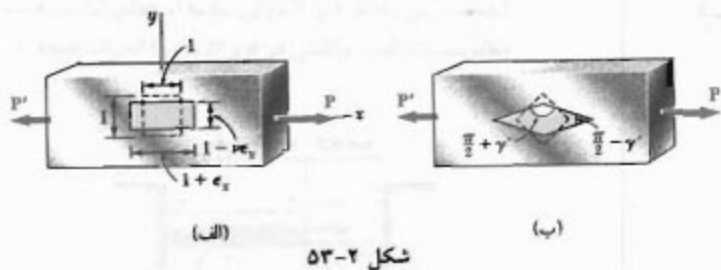
در قسمت ۱۵-۲ دیدیم که بار محوری وارد بر یک میله باریک فقط کرنش‌های قائم محوری و عرضی را در جزئی از ماده که در امتداد محور میله است به وجود می‌آورد. ولی، جزئی که تحت زاویه 45° قرار دارد (شکل ۴۷-۲) تحت کرنش‌های قائم و برشی، قرار می‌گیرد. همچنین، دیدیم که سه ثابت E , ν و G مستقل از هم نبودند. رابطه زیر را داشتیم:

$$\frac{E}{\sqrt{G}} = \nu + \gamma \quad (47-2)$$

از رابطه بالا برای تعیین هر یک از سه ثابت فوق الذکر از دو ثابت دیگر می‌توان استفاده کرد.



شکل ۴۷-۲



شکل ۵۳-۲

رابطه‌های تنش-کرنش برای مواد مرکب تقویت شده یا نار در قسمت ۱۶-۲ برسی شدند. معادله‌های مشابه با ۲۸-۲ و ۳۶-۲ و ۳۷ برای این مواد استنتاج شدند، و برای این منظور از مدول‌های صلابت، نسبت‌های پواسون و مدول‌های الاستیته مختلف استفاده گردید.

در قسمت ۱۷-۲، درباره مدل سنت-ونات بحث کردیم. طبق این اصل، توزیع تنش در یک عضو در نزدیکی نقاط اثر بارها مستقل از حالت واقعی اعمال بار است. طبق این اصل می‌توان توزیع تنش در عضوی را که تحت بار محوری تمرکز است یکنواخت گرفت، به جز در نزدیکی نقاط اثر بار که تمرکز تنش روی می‌دهد.

در عضوهای ساختمانی در نزدیکی نایپوستگی، مانند سوراخ یا تغییر ناگهانی مقطع عرضی، تمرکز تنش روی می‌دهد [قسمت ۱۸-۲]. نسبت مقدار ماکریم تنشی که در نزدیک نایپوستگی روی می‌دهد به تنش متوسط محاسبه شده در مقطع بحرانی را ضرب تعرکز تنش می‌گویند و با K نشان می‌دهند:

$$K = \frac{\sigma_{\max}}{\sigma_{\text{ave}}} \quad (48-2)$$

مقادیر K برای سوراخ‌های دایره‌ای و گرددها در میله‌های تحت در شکل ۶۴-۲ داده شده‌اند.

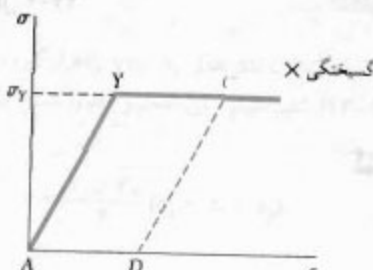
مواد مرکب تقویت شده یا نار

اصل سنت-ونات

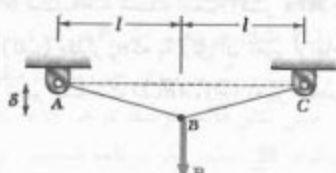
تمرکز تنش

تغییر شکل پلاستیک

در قسمت ۱۹-۲، درباره تغییر شکل پلاستیک بحث کردیم و دیدیم که در عضوهای ساختمانی چکش خوار هنگامی روی می‌دهد که تنش در قسمتی از عضو بیشتر از استقامات تسلیم ماده شود. این تحلیل را برای یک ماده ای به الی الامتوپلاستیک، که نمودار تنش-تکش آن در شکل ۶۵-۲ داده شده است، انجام دادیم (مثال‌های ۱۳-۲ و ۱۴-۲ و ۱۵-۲). سرانجام، در قسمت ۲۰-۲، دیدیم که وقتی یک سازه نامعین استاتیکی دستخوش تغییر شکل پلاستیک می‌شود، تنش‌ها پس از حذف بار معمولاً از بین نمی‌روند. تنش‌هایی را که در قسمت‌های مختلف یک سازه روی می‌دهند تنش‌های باقیمانده می‌گویند و آنها را از جمع کردن تنش‌های ماکروسیمی که در بارگذاری و باربرداری به وجود می‌آیند می‌توان بدست آورد (مثال ۱۶-۲).

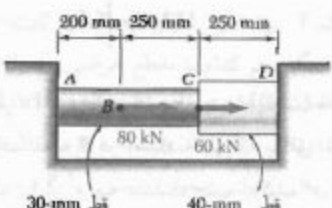


شکل ۶۵-۲



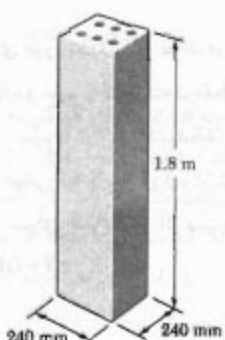
شکل ۱۲۶-۲

۱۲۷-۲ میله استوانه‌ای فولادی CD ($E = 200 \text{ GPa}$) میله آلمینیوم AC ($E = 72 \text{ GPa}$) در نقطه C به هم متصل شده‌اند و در نقاط A و D دارای تکه‌گاههای ثابت هستند. مطلوب است: (الف) واکنش در A و D ، (ب) انحراف نقطه C .



شکل ۱۲۷-۲

۱۲۸-۲ یک سنتون پستی ($E_C = 20 \text{ GPa}$) توسط شش میله فولادی تقویت شده ($\alpha_C = 9.9 \times 10^{-6}/^\circ\text{C}$) است. قطر هر میله 22 mm است. برای فولاد، $E_s = 200 \text{ GPa}$ ، تنش قائم ایجاد شده را در فولاد و بتن باید 25°C بازبایش دما به مقادیر 35°C و 20°C باشد.

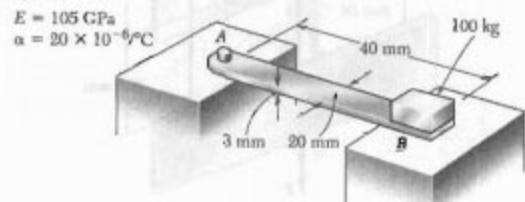


شکل ۱۲۸-۲

مسائل تكميلی

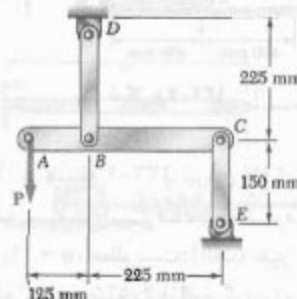
۱۲۴-۲ میله برنجی AB دارای تکه‌گاه ثابت A است و یک سر آن روی تکه‌گاه زیر B قرار دارد. اگر ضرب اصطکاک بین میله و تکه‌گاه B برابر با 60% باشد، کهش دما را برای آستانه لغزش باید، برای میله، $E = 105 \text{ GPa}$ و $\alpha = 20 \times 10^{-6}/^\circ\text{C}$

نوار برنجی



شکل ۱۲۴-۲

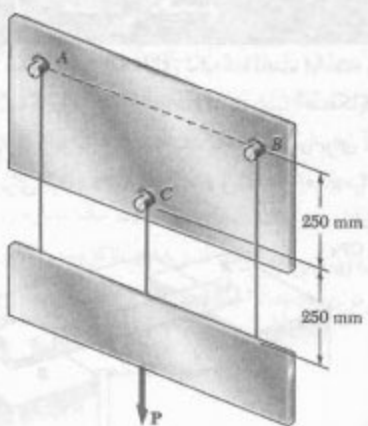
۱۲۵-۲ میله برنجی BD ($E = 105 \text{ GPa}$) دارای مقطع عرضی با مساحت 250 mm^2 است. میله CE از آلمینیوم ($E = 72 \text{ GPa}$) است و دارای مقطع عرضی با مساحت 450 mm^2 است. مطلوب است ماسه زیری P که به طور عمودی در نقطه A وارد می‌شود به طوری که انحراف نقطه A از 30° بیشتر نشود.



شکل ۱۲۵-۲

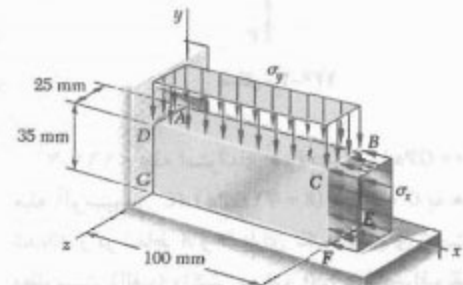
۱۲۶-۲ سیم یکنواخت ABC ، با طول نکشیده 27 ، به تکه‌گاههای نشان داده شده متصل است و بار عمودی P بر نقطه میانی B وارد می‌شود. اگر مساحت مقطع عرضی سیم را A و مدول الاستیته آن را با E نشان دهیم، ثابت کنید که برای $\delta < 0$ ، انحراف نقطه میانی B چنین است:

$$\delta = \sqrt{\frac{P}{AE}}$$



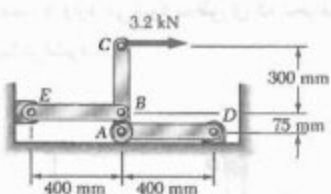
شکل ۱۳۱-۲م

۱۲۹-۲ قطعه نشان داده شده از آلیاژ منزیم $E = 45 \text{ GPa}$ و $\nu = 0.25$ ساخته شده است. اگر $\sigma_x = -140 \text{ MPa}$ مطلوبست: (الف) مقدار σ_y که به ازای آن تغییر ارتفاع قطعه صفر است، (ب) تغییر مساحت $ABCD$ ، (ج) تغییر حجم قطعه.



شکل ۱۲۹-۲م

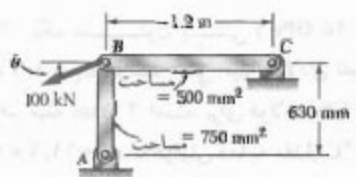
۱۳۰-۲ اگر $E = 200 \text{ GPa}$ ، مطلوبست: (الف) مقدار θ که به ازای آن انحراف نقطه B در امتداد خطی که با افق زاویه 36° دارد به طرف پایین و به سمت چپ باشد، (ب) مقدار انحراف B .



شکل ۱۳۲-۲م

۱۳۲-۲ در مسئله ۱۳۲-۲، نیروی 22 kN باعث می شود نقطه C به سمت راست منحرف شود. با استفاده از $\alpha = 11.7 \times 10^{-6}/\text{C}$ ، مطلوبست: (الف) تغییر دمایی که باعث می شود نقطه C به وضعیت اول برگردد، (ب) انحراف کل متناظر نقطه A و B .

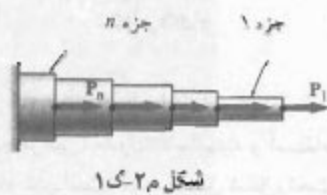
۱۳۴-۲ نمونه فولادی کشی $E = 200 \text{ GPa}$ و $\nu = 0.25$ تا ماکریم کرنش $\epsilon = 0.0025$ تحت بار کشی قرار می گیرد. (الف) با صرفنظر از تأثیر گردها بر تغییر طول نمونه، طول کلی AD نمونه را پس از حذف بار بسازید. (ب) پس از حذف بار در قسمت الف، بار فشاری وارد می شود تا ماکریم کرنش فشاری به $\epsilon = 0.0020$ برسد. طول کل AD را پس از حذف بار فشاری بسازید.



شکل ۱۳۰-۲م

۱۳۱-۲ سیم های مورد استفاده در نقاط A و B فولادی و به قطر 3.25 mm هستند، و سیم به کار رفته در نقطه C آلومنیومی و به قطر 2 mm است. سیم ها در ابتدا کشیده اند. با اعمال نیروی $P = 9.0 \text{ N}$ در نقطه عیانی لبه پایین وزق، کشش انسافی در هر سیم را بسازید. برای فولاد و آلومنیوم، به ترتیب، $E_g = 70 \text{ GPa}$ و $E_s = 200 \text{ GPa}$

بارگذاری شده است. طول جزء n را با L_n ، مساحت مقطع عرضی آن را با A_n ، مدول الاستیستیه آن را با E_n و بار وارد بر انتهای راست آن را با P_n نشان می‌دهیم. اگر P_n در سوی راست باشد، مقدار ϵ_n آن را مثبت و اگر در سوی چپ باشد، منفی می‌گیریم. (الف) برای تعیین تنش قائم متوسط در هر جزء، تغییر شکل هر جزء و تغییر شکل کل میله، یک برنامه کامپیوتری بنویسید. (ب) این برنامه را برای حل مسائل ۱۸-۲ و ۱۹-۲ اجرا کنید.



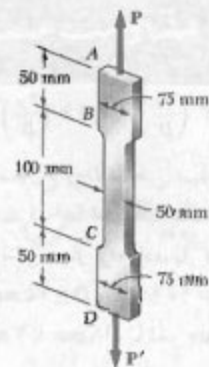
شکل ۱۳۴-۲-۱

۲-ک ۲ میله افقی AB از هر دو انتهای ثابت است؛ این میله از "جزء همگن، هر کدام با مقطع عرضی یکتاخت، ساخته شده است و تحت بارگذاری داده شده قرار دارد. طول جزء n را با L_n ، مساحت مقطع عرضی آن را با A_n ، مدول الاستیستیه آن را با E_n و بار وارد بر انتهای سمت راست را با P_n نشان می‌دهیم. اگر P_n در سوی راست باشد، مقدار P_n را مثبت و اگر در سوی چپ باشد، منفی می‌گیریم. (الف) برای تعیین واکنش‌ها در A و B ، تنش قائم متوسط در هر جزء و تغییر شکل هر جزء، یک برنامه کامپیوتری بنویسید. (ب) این برنامه را برای حل مسائل ۳۹-۲ و ۴۰-۲ اجرا کنید.



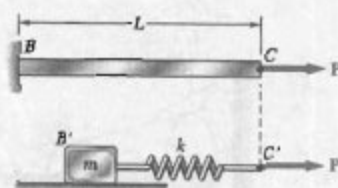
شکل ۱۳۴-۲-۲

۲-ک ۳ میله AB از "جزء همگن، هر کدام با مقطع عرضی یکتاخت، تشکیل شده است. انتهای A ثابت است و بین انتهای B و سطح قائم ثابت سمت راست در ابتدا فاصله h وجود دارد. طول جزء n را با L_n ، مساحت مقطع عرضی آن را با A_n ، مدول الاستیستیه آن را با E_n و ضریب انبساط گرمایی آن را با α_n نشان می‌دهیم، پس از اینکه دما به اندازه ΔT افزایش می‌یابد، فاصله مذکور از بین میورد و سطوح قائم نیروی مساوی و مستقیم را بر میله وارد می‌کنند. (الف) برای تعیین



شکل ۱۳۴-۲-۳

۲-ک ۴ میله یکتاخت BC دارای مساحت مقطع عرضی A و از فولاد متوسط الاستوپلاستیک با مدول الاستیستیه E و استقامت تسلیم σ_0 است. نیروی محوری P به تدریج بر میله وارد می‌شود و میس حذف می‌شود، با استفاده از مجموعه قطعه-فر تشن داده شده، انحراف نقطه C را شبیه‌سازی کنید. (الف) برای تعیین واکنش‌ها در A و B برای تمام مقادیر P یکسان است. اگر ضریب اصطکاک بین قطعه و سطح افق را با k نشان دهیم، مطلوب است عبارت: (الف) جرم m قطعه، (ب) ثابت k فرن.



شکل ۱۳۵-۲-۱

مسائل کامپیوتری

مسائل زیر برای حل با کامپیوتر طرح شده‌اند. برنامه را در آحاد SI به گونه‌ای بنویسید که بتوان اجزای توپر استوانه‌ای را با قطر یا با مساحت مقطع عرضی آنها تعریف کرد.

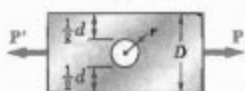
۱-ک ۱ میله‌ای از "جزء همگن، هر کدام با مقطع عرضی یکتاخت شده است. این اجزا همگن و دارای مقطع عرضی یکتاخت‌اند. میله مطابق شکل

مقدار واکنش در A و B ، نش قائم در هر جزء و انحراف هر جزء، یک برنامه کامپیوتی بنویسید. (ب) این برنامه را برای حل مسائل ۵۲-۲، ۵۳-۲، ۵۵-۲ و ۵۷-۲ اجرا کنید.

۲-۵ ضریب تمرکز نش برای یک میله تخت، که دارای سوراخ مرکزی است و تحت بار محوری قرار دارد، به صورت زیر است:

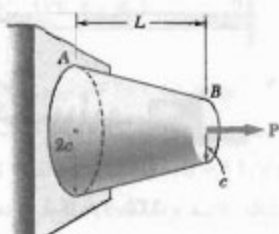
$$K = 2,00 - 3,13 \left(\frac{\gamma r}{D} \right) + 2,66 \left(\frac{\gamma r}{D} \right)^2 - 1,53 \left(\frac{\gamma r}{D} \right)^3$$

که در آن r شعاع سوراخ و D عرض میله است. یک برنامه کامپیوتی بنویسید که با استفاده از مقادیر معلوم r ، D ، ضخامت t میله و نش محاز σ_{all} ماده، بار محاز P را تعیین کند. اگر $\sigma_{\text{all}} = 10 \text{ MPa}$ و $D = 75 \text{ mm}$ ، $r = 6 \text{ mm}$ ، بار محاز P را برای مقدار t از 3 mm تا 18 mm با نمودار پایه ایجاد کنید.

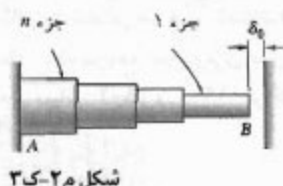


شکل ۲-۵

۲-۶ مخروط ناقص توپری، مطابق شکل، تحت نیروی محوری P قرار دارد. کشیدگی دقیق مخروط برابر است با $(PL)/(2\pi c^3 E)$. یک برنامه کامپیوتی بنویسید که این مخروط را با n استوانه دوار با ضخامت مساوی و با شعاعی که با شعاع متوسط مخروط برابر است جایگزین، و کشیدگی مخروط را محاسبه کند. مطلوبست درصد خطای محاسبه کامپیوتی برای: (الف) $n = 6$ ، (ب) $n = 12$ ، (ج) $n = 4$.

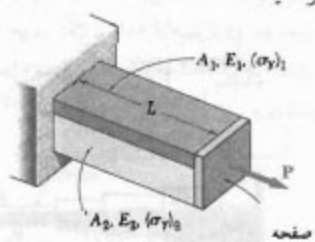


شکل ۲-۶



شکل ۲-۵

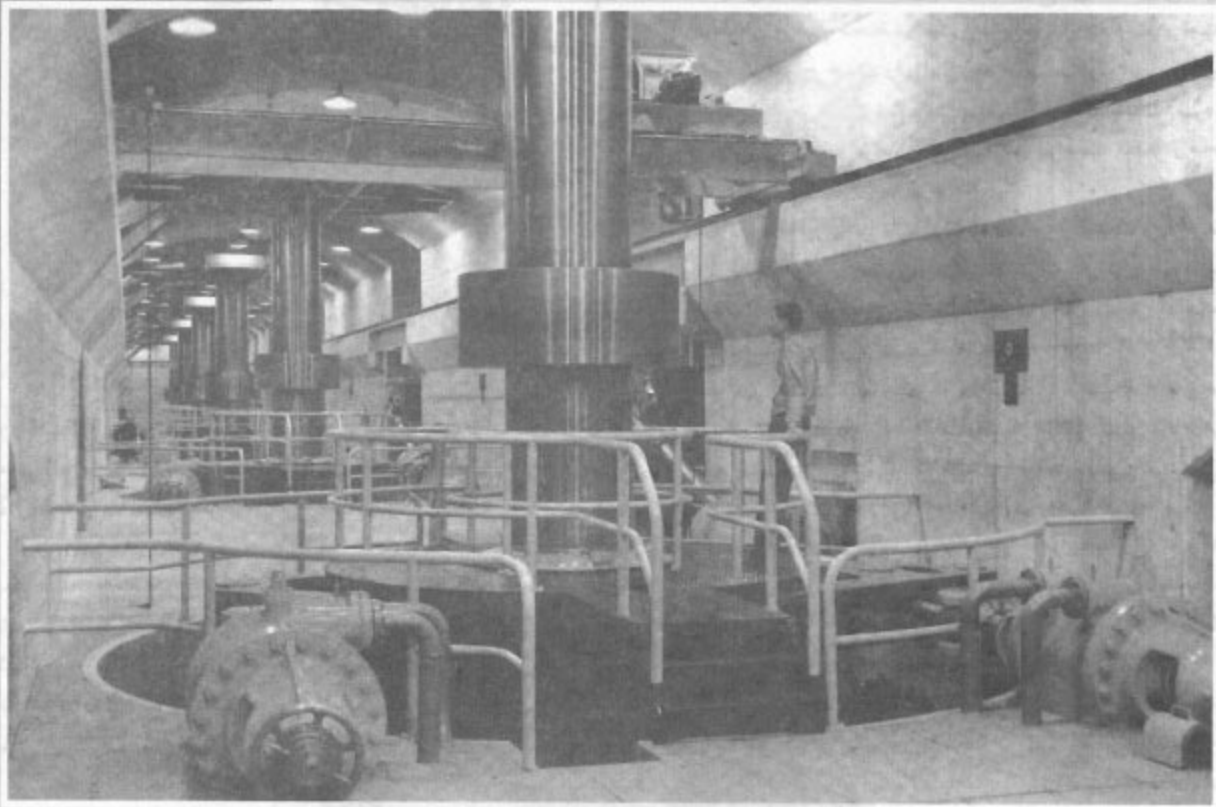
۲-۷ میله AB به طول L است و از دو ماده مختلف با مساحت مقطع عرضی، مدول الاستیته و استقامات تسلیم معلومی ساخته شده است. میله، مطابق شکل، تحت بار P قرار دارد. این بار از صفر تدریجاً افزایش می‌یابد تا اینکه تغییر شکل میله به مقدار ماکریسم δ_m می‌رسد و سپس تا صفر کاهش می‌یابد. (الف) برای هر 25 mm مقدار δ_m ، که در گستره صفر تا 120% تغییر شکلی که یافته تسلیم هر دو ماده می‌شود به طور مساوی قرار دارد، یک برنامه کامپیوتی بنویسید که با استفاده از آن بتوان ماکریسم مقدار P_m بار، ماکریسم نش قائم در هر ماده، تغییر شکل دائمی δ_m میله و نش باقیمانده در هر ماده را تعیین کرد. (ب) این برنامه را برای حل مسائل ۱۰۹-۲ و ۱۱۰-۲ اجرا کنید.



شکل ۲-۷

پیچش

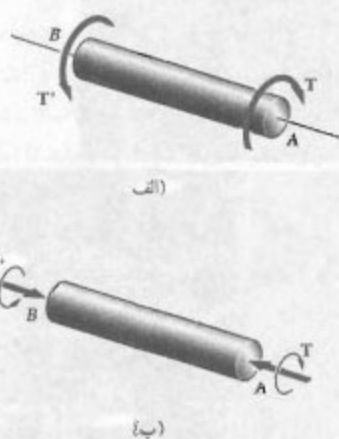
۳



در این فصل، پیچش و تنش و تغییر شکل ناشی از آن را مطالعه می‌کیم. در نیروگاه هیدرولکتریکی نشان داده شده، شفت‌های عمودی که روتور مولدهای الکتریکی را می‌گردانند تحت کوپل توربین‌ها قرار دارند.

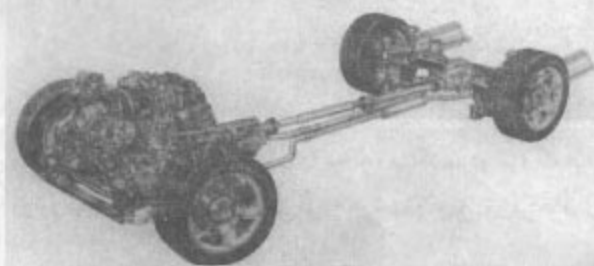
۱-۳ مقدمه

در دو فصل قبل، نحوه معالجه تنش‌ها و کرنش‌ها را در عضوهایی که تحت بارهای محوری قرار داشتند مطالعه کردیم. در این فصل، عضوهای ساختمانی و مکانیکی را تحت پیچش برسی، و تنش و کرنش در عضوهای ساختمانی و مکانیکی را تحت پیچش تحت کوبیل‌های پیچشی T' و T تحلیل می‌کنیم (شکل ۱-۳). این کوبیل‌های دارای مقدار یکسان T و سوهای مخالفاند، کمیت‌های برداری آند و با پیکان‌های خمیده (شکل ۱-۳ (الف)، یا با بردارهای کوبیل (شکل ۱-۳ (ب) نشان داده می‌شوند.

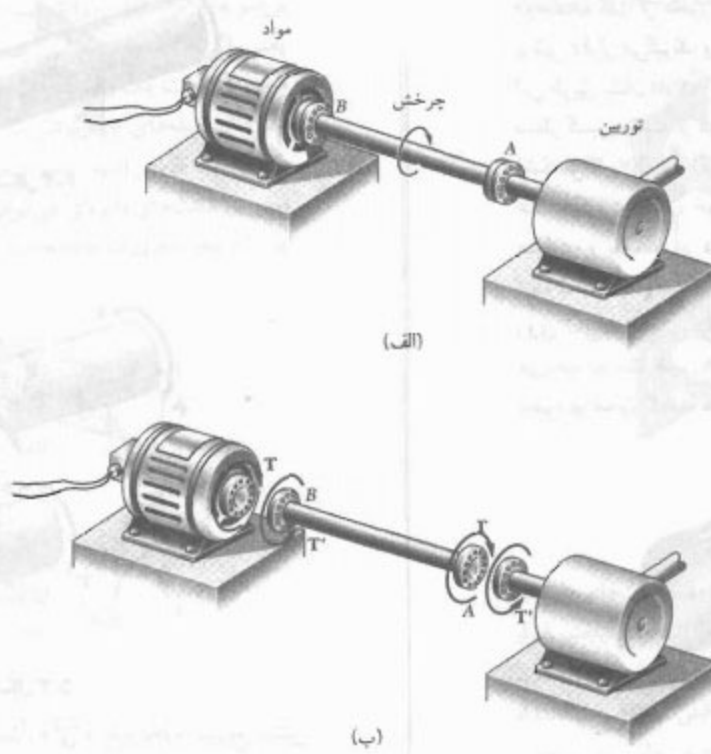


شکل ۱-۳

در اغلب کاربردهای مهندسی با عضوهای تحت پیچش مواجه می‌شویم. متدائل‌ترین آنها شفت است که برای انتقال قدرت از نقطه‌ای به نقطه دیگر به کار می‌رود. مثلاً، از شفت



شکل ۲-۳ در زنجیره قدرت نشان داده شده، انتقال قدرت از موتور به چرخ‌های عقب توسط شفت انجام می‌شود.



شکل ۳-۳

۲-۳ مقدمه‌ای درباره تنش در شفت

شفت AB را که در نقاط A و B تحت گشتاورهای مساوی و متفاضل T و T' قرار دارند در نظر می‌گیریم، و یک برش را عمود بر محور شفت از نقطه اختیاری C می‌گذرانیم (شکل ۴-۳). نمودار آزاد قسمت BC شامل نیروهای جزئی برشی dF است که قسمت AC بر قسمت BC هنگام پیچش در امتداد عمود بر شعاع شفت وارد می‌کند (شکل ۴-۳(الف)). تعادل قسمت BC نشان می‌دهد که سیستم نیروهای جزئی معادل است با گشتاور داخلی T ، که مساوی و مخالف T' است (شکل ۴-۳(ب)). مجموع لنگر نیروهای برشی dF نسبت به محور شفت را مساوی با گشتاور T قرار داده و می‌نویسیم:

$$\int \rho \, dF = T$$

اما $dF = \tau \, dA$ ، که در آن τ تنش برشی وارد بر جزء سطح dA است. درنتیجه،

$$\int \rho (\tau \, dA) = T \quad (1-۳)$$

* به آن گشتاور نیز می‌گویند - مترجم.

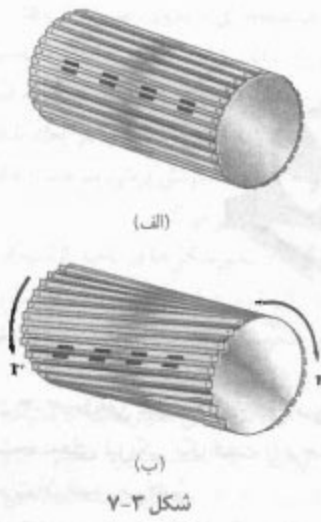
در قسمت ۷-۳، طراحی شفت‌ها را بررسی می‌کنیم. برای این منظور، مشخصهای فیزیکی یک شفت را بر حسب سرعت چرخش و قدرت آن تعیین می‌کنیم.

برای تعیین تنش در نزدیک مقاطعی که کوپل وارد می‌شود یا در نزدیک مقاطعی که شفت ناگهان تغییر قطر می‌دهد، از فرمول‌های پیچش نمی‌توان استفاده کرد. به علاوه، این فرمول‌ها فقط در ناحیه الستیک ماده به کار می‌روند.

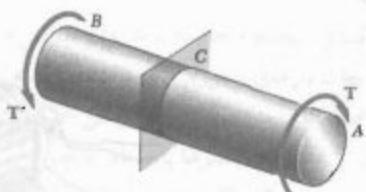
در قسمت ۸-۳، تمرکز تنش را در مقاطعی که قطر شفت در آن تغییر ناگهانی می‌دهد بررسی می‌کنیم. در قسمت‌های ۹-۳ تا ۱۱-۳، تنش و تغییر شکل در شفت‌های دایره‌ای چکش خواری و اکه از نقطه تسلیم خود فراتر رفته است مطالعه می‌کنیم. در این قسمت‌ها، تغییر شکل پلاستیک و تنش‌های باقیمانده را نیز بررسی می‌کنیم.

در قسمت ۱۲-۳، پیچش عضوهای غیر دایره‌ای و در قسمت ۱۳-۳ توزیع تنش در شفت‌های غیر دایره‌ای توخالی جدار نازک را تحلیل می‌کنیم.

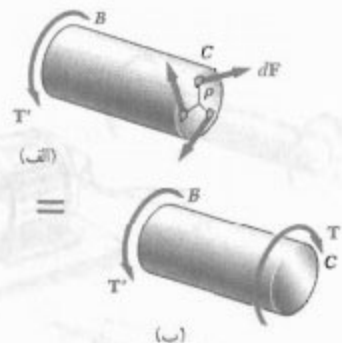
با توجه به شرایط تعادل (قسمت ۱۲-۱)، وجودی که از دو صفحه گذرا از محور شفت تشکیل می‌شوند نیز تحت تنش برشی ۴ قرار می‌گیرند. وجود این تنش‌ها را در پیچش می‌توان به این طریق نشان داد که "شفت" را مشکل از تیغه‌های مجاوری در نظر گیریم که از دو انتهای به دیسک‌هایی لولا شده‌اند (شکل ۴-۳الف). اگر روی دو تیغه مجاور را با رنگ علامت‌گذاری کنیم، خواهیم دید که با اعمال گشتاورهای مساوی و ناهموبر دو انتهای "شفت" (شکل ۷-۳ب)، دو تیغه نسبت به یکدیگر می‌لغزنند. گرچه در شفت چنین لغزشی روی نمی‌دهد، ولی گرایش برای لغزش وجود دارد و نشان می‌دهد که تنش‌هایی در صفحات طولی و نیز در صفحات عمود بر محور شفت به وجود آمده‌اند.*



شکل ۷-۳



شکل ۴-۳



شکل ۵-۳

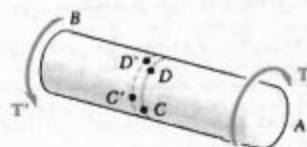
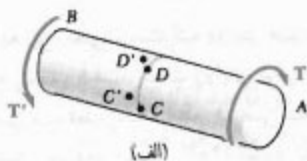
رابطه بالا گرچه مهم است، ولی درباره نحوه توزیع تنش برشی در یک مقطع عرضی چیزی نمی‌گوید. لذا، طبق قسمت ۱-۵، توزیع واقعی تنش برشی را در این حالت نمی‌توان با دوختهای انتسابیک بدست آورد. در قسمت ۵-۱ فرض شد که تنش‌های قائم ناشی از باز محوری مرکزی دارای توزیع یکنواخت‌اند و در قسمت ۱۷-۲ دیدیم که این فرض قابل توجیه است به جز در مجاورت بارهای مستمرکر. ولی، چنین فرضی برای توزیع تنش‌های برشی در یک شفت انتسابیک اشتباه است. درواقع، قبل از تحلیل تغییرشکل در شفت، نباید درباره توزیع تنش در آن فضاوتد. این کار در قسمت بعد انجام می‌شود. گفتنی است که، طبق قسمت ۱۲-۱، برش فقط در یک صفحه روی نمی‌دهد. جزء کوچکی از شفت نشان داده شده در شکل ۳-۶ را در نظر می‌گیریم. با اعمال گشتاور بر شفت، وجودی که بر محور شفت محور هستند تحت تنش برشی ۴ قرار می‌گیرند.



شکل ۳-۶

* اخراج یک لوله مقواهی که در جهت طولی بریده شده است نمایش دیگری از وجوده تنش‌های برشی وارد بر صفحات طولی است.

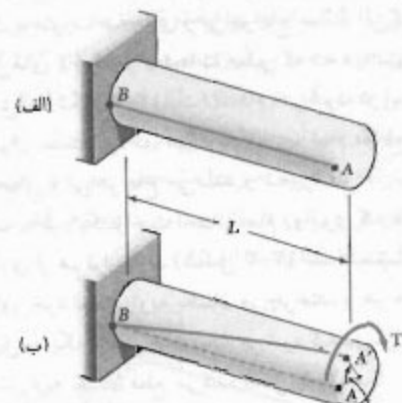
مقاطع عرضی یک شفت دایره‌ای به صورت صفحه‌ای و بی‌اعوجاج می‌مانند زیرا شفت دایره‌ای تقارن محوری دارد؛ یعنی، اگر از وضعیت ثابتی به آن نگاه کنیم و آن را حول محورش تحت یک زاویه اختیاری بچرخانیم، ظاهر آن تغییر نمی‌کند. (میله‌های چهارگوش نیز وقتی به اندازه 90° یا 180° می‌چرخدند، ظاهر آنها تغییر نمی‌کند). با استفاده از تقارن محوری شفت‌های دایره‌ای می‌توان ثابت کرد که مقاطع عرضی این شفت‌ها به صورت صفحه‌ای و بی‌اعوجاج می‌مانند.



شکل ۱۰-۳

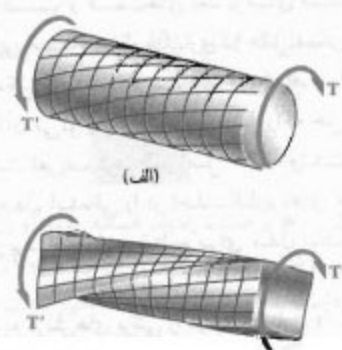
برای این منظور، نقاط C و D را روی محیط یک مقطع عرضی از شفت در نظر می‌گیریم، و وضعیت این نقاط را پس از پیچش شفت با C' و D' نشان می‌دهیم (شکل ۱۰-۳ (الف)). بعلت تقارن محوری شفت و تقارن محوری بارگذاری، در چرخشی که C به C' تغییر مکان می‌یابد D' به D' می‌رود. لذا، C' و D' روی محیط یک دایره قرار دارند، و کمان $C'D'$ با کمان CD برابر است (شکل ۱۰-۳ (ب)). حال، بررسی می‌کنیم که آیا دایره‌ای که روی آن C' و D' قرار دارند با دایره اولیه متفاوت است یا نه. فرض می‌کنیم که C' و D' روی دایره متفاوتی قرار دارند و دایره جدید در سمت چپ دایره اولیه است (شکل ۱۰-۳ (ب)). همین وضع برای سایر مقاطع عرضی برقرار است، زیرا تمام مقاطع عرضی شفت تحت گشتاور داخلی یکسان T قرار دارند، و ناظر واقع انتهای A می‌بیند که دواire به طرف خارج او حرکت می‌کند. اما ناظر واقع در انتهای B که دواire به طرف او حرکت می‌کند. این دو نتیجه متضاد نشان می‌دهد که فرض مانادرست است و C' و D' روی همان دایره‌ای قرار دارند که C و D واقع‌اند. لذا، وقتی شفت می‌پیچد، بزرگترین مقطع عرضی دایره‌ای آن در صفحه خود می‌بیند. با تکرار این استدلال برای هر دایره کوچکتر و هم مرکز واقع در

و T را تعیین، و توزیع تنش برشی در شفت را بیایم (کاری که در قسمت قبل نمی‌توانستیم صرفاً با استفاده از استاتیک انجام دهیم).



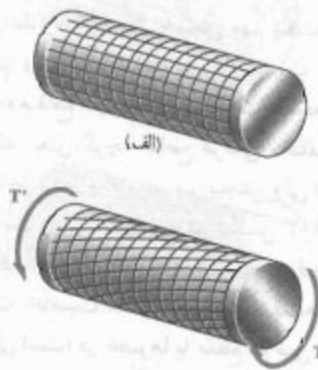
شکل ۱۰-۳

برای این منظور، به یکی از خواص مهم شفت‌های دایره‌ای اشاره می‌کنیم؛ وقتی یک شفت دایره‌ای تحت پیچش قرار می‌گیرد، تمام مقاطع عرضی آن به صورت صفحه‌ای و بدون اعوجاج می‌مانند. یعنی، گرچه مقاطع عرضی مختلف در امتداد شفت تحت زوایای متفاوت می‌یابند، ولی این پیچش صلب‌گونه است. این موضوع در شکل ۱۰-۴ (الف) برای تغییر شکل یک مدل لاستیکی که تحت پیچش قرار دارد نشان داده شده است. خاصیت مذکور، مشخصه شفت‌های دایره‌ای ترپر و توانایی است؛ در عضوها با مقطع عرضی غیردایره‌ای چنین حالتی وجود ندارد. مثلاً، وقتی میله‌ای با مقطع عرضی چهارگوش تحت پیچش قرار می‌گیرد، مقاطع عرضی مختلف آن به صورت صفحه‌ای باقی نمی‌مانند (شکل ۱۰-۴ (ب)).



شکل ۱۰-۴

تا به حال، تحویه اعمال کوبیل‌های پیچشی T و T' را در نظر نگرفته‌ایم. برای اینکه تمام مقاطع شفت به صورت صفحه‌ای و بی‌اعوجاج بمانند، باید کوبیل‌ها طوری وارد شوند که دو انتهای شفت به صورت صفحه‌ای و بی‌اعوجاج بمانند. این کار با اعمال کوبیل‌های T و T' بر صفحات صلبی که به دو انتهای شفت متصل‌اند (شکل ۱۲-۳ الف) انجام می‌شود. در این صورت، می‌توان مطمئن بود که، هنگام بارگذاری، تمام مقاطع به صورت صفحه‌ای و بی‌اعوجاج می‌مانند و تغییرشکل در تمام طول شفت به طور یکنواخت است. تمام دوازیری که در فواصل مساوی از هم قرار دارند (شکل ۱۲-۳ الف) نسبت به دایره مجاور خود تحت زاویه یکسان می‌چرخند، و هر خط مستقیم تبدیل به یک منحنی (مارپیچ) می‌شود که دوازیر مختلف را تحت زاویه یکسان قطع می‌کند (شکل ۱۲-۳ ب).

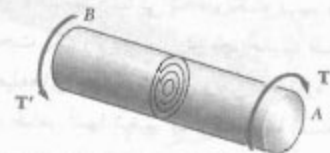


شکل ۱۲-۳

نتایج این قسمت و قسمت‌های بعد بر مبنای حسلب پودن صفحات انتهایی است. شرایط بارگذاری در عمل ممکن است با شرایط مدل شکل ۱۲-۳ متفاوت باشد. مزیت اصلی این مدل این است که با آن می‌توان یک مسئله پیچشی را که حل دقیق آن امکان‌پذیر است تعریف کرد. طبق اصل سنت-واتس، نتایج حاصله برای مدل ایده‌آلی را در اغلب کاربردهای مهندسی می‌توان به کار برد. البته، این نتایج برای مدل شکل ۱۲-۳ هستند.

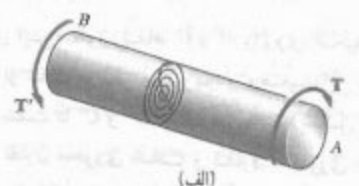
حال، توزیع گونش‌های برشی را در یک شفت دایره‌ای به طول L و بد شعاع r ، که تحت زاویه θ چرخیده است (شکل ۱۲-۳ الف) تعیین می‌کنیم. استوانه‌ای به شعاع r را از

قطع عرضی تحت بردسی «نتیجه می‌شود که تمام مقاطع عرضی به صورت صفحه‌ای می‌مانند (شکل ۱۱-۳).

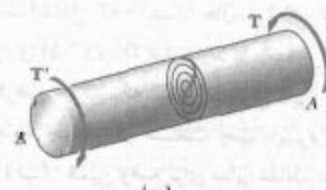


شکل ۱۱-۳

بحث بالا به این معنی نیست که دوازیر هم مرکز شکل ۱۱-۳، هنگام پیچش شفت، تحت زوایای برابر می‌چرخند. زیرا، در این صورت، قطر یک مقطع عرضی به صورت یک منحنی تغییرشکل می‌دهد (شکل ۱۲-۳ الف). ناظری که این منحنی را از A می‌بیند نتیجه می‌گیرد که لایه‌های خارجی شفت پیشتر از لایه‌های داخلی می‌پیچند، ولی ناظری که این منحنی را از B می‌بیند به نتیجه مبتضاد می‌رساند. مسیر مسند (شکل ۱۲-۳ ب). این ناسازگاری می‌رساند که قطرها به صورت خطوط مستقیم، و مقاطع عرضی یک شفت دایره‌ای به صورت صفحه‌ای و بی‌اعوجاج می‌مانند. (شکل ۱۲-۳ ج).



(الف)



(ب)



(ج)

شکل ۱۲-۳

از معادله (۲-۳) نتیجه می‌شود که کرنش برشی در سطح شفت، که در آن $c = \rho$ ، به ماکریم می‌باشد:

$$\gamma_{\max} = \frac{\rho\phi}{L} \quad (3-3)$$

با حذف ϕ از معادلهای (۲-۳) و (۳-۳)، کرنش برشی γ در فاصله ρ از محور شفت به صورت زیر بیان می‌شود:

$$\gamma = \frac{\rho}{c} \gamma_{\max} \quad (4-3)$$

۴-۳. تنش در ناحیه الاستیک
 تا به حال، درباره رابطه بین تنش کرنش در شفت‌های دایره‌ای تحت پیچش چیزی نگفته‌ایم. در اینجا، فرض می‌کنیم تنش برشی در شفت دارای مقدار کمتر از استقامت تسلیم τ است. یعنی مقدار تنش برشی در شفت کمتر از حد تناسب و نیز کمتر از حد الاستیک است (فصل ۲). لذا، قانون هooke کار می‌رود و تغییر شکل پلاستیک وجود ندارد.

با توجه به قانون هooke در قسمت ۱۴-۲،

$$\tau = G\gamma \quad (5-3)$$

که در آن G مدول صلابت یا مدول برشی ماده است. با فرض کردن هر دو طرف معادله (۴-۳) در G ، می‌نویسیم:

$$G\gamma = \frac{\rho}{c} G\gamma_{\max}$$

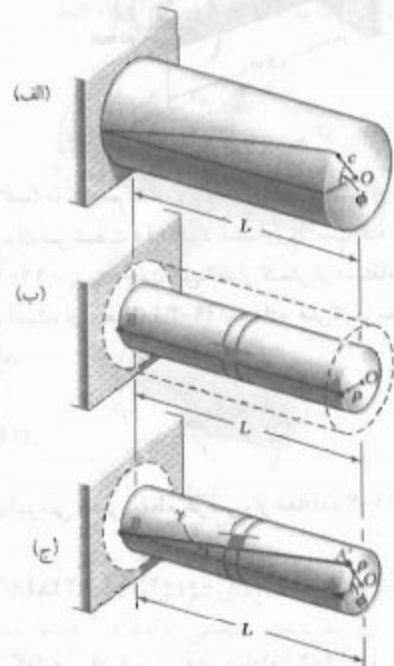
با استفاده از معادله (۵-۳)،

$$\tau = \frac{\rho}{c} \tau_{\max} \quad (6-3)$$

این معادله نشان می‌دهد تا وقتی هیچ قسمی از شفت دایره‌ای از استقامت تسلیم (یا حد تناسب) فراتر نرفته است، تنش برشی در شفت برحسب فاصله ρ از محور شفت به صورت خطی تغییر می‌کند. شکل ۱۵-۳ این الف توزیع تنش را در یک شفت توپر دایره‌ای به شعاع c ، و شکل ۱۵-۳ ب توزیع تنش را در یک شفت دایره‌ای توخالی با شعاع‌های داخلی و خارجی c_i و c_o نشان می‌دهد. در این حالت، از معادله (۶-۳)

$$\tau_{\min} = \frac{c_i}{c_o} \tau_{\max} \quad (7-3)$$

شافت جدا می‌کنیم، و جزء چهارگوش کوچکی از آن را در نظر می‌گیریم. این جزء توسط دو دایره و دو خط مستقیم، که روی سطح استوانه قبل از اعمال بار رسم می‌شوند، تشکیل شده است (شکل ۱۴-۳ ب). وقتی شفت تحت بار پیچشی قرار می‌گیرد، این جزء به صورت لوزی در می‌آید (شکل ۱۴-۳ ج). کرنش برشی γ در یک جزء معین، طبق قسمت ۴-۲، از تغییر زوایایی که بین وجه آن جزء تشکیل می‌شوند بدست می‌آید. چون دو ابری که دو وجه جزء را مشخص می‌کنند بسی تغییر می‌مانند، کرنش برشی γ با زاویه بین خطوط $A'B$ و AB برابر است (γ بر حسب رادیان است).



شکل ۱۴-۳

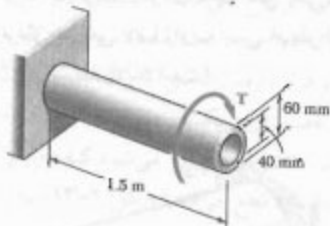
طبق شکل ۱۴-۳ ج، برای مقادیر کوچک γ می‌توان گفت از طرف دیگر، $AA' = \rho\phi$. در نتیجه $L\gamma = \rho\phi$ ، یا

$$\gamma = \frac{\rho\phi}{L} \quad (4-3)$$

که در آن γ و ϕ بر حسب رادیان هستند. معادله بالا نشان می‌دهد که کرنش برشی γ در یک نقطه معین از شفت با زاویه پیچش ϕ ، و نیز با فاصله نقطه نقطه تحت برسی تا محور شفت متناسب است. لذا، کرنش برشی در یک شفت دایره‌ای بر حسب فاصله از محور شفت به صورت خطی تغییر می‌کند.

مثال ۱-۳

یک شفت فولادی استوانه‌ای توخالی به طول ۱/۵ m و با قطرهای داخلی و خارجی ۴۰ و ۶۰ mm است (شکل ۱۶-۳).
 (الف) اگر بخواهیم تنش برشی از ۱۲۰ MPa بیشتر نشود، ماکزیمم گشتاوری را که می‌توان وارد کرد چقدر است؟
 (ب) مینیمم مقدار تنش برشی منتظر در شفت چقدر است؟



مثال ۱۶-۳

(الف) ماکزیمم گشتاور مجاز. ماکزیمم گشتاور مجاز T که می‌توان بر شفت وارد کرد گشتاوری است که به ازای آن $\tau_{\max} = 120 \text{ MPa}$ چون این مقدار کمتر از استقامت تسلیم فولاد است، از معادله (۹-۳) استفاده می‌کنیم. با حل این معادله،

$$T = \frac{J \tau_{\max}}{c} \quad (۱۶-۳)$$

معان اینرسی قطبی مقطع عرضی، از معادله (۱۱-۳)،

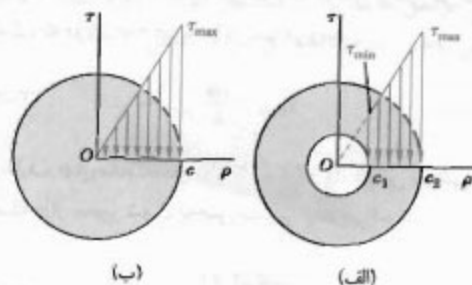
$$J = \frac{1}{4} \pi (c_i^4 - c_o^4) = \frac{1}{4} \pi (a_i + b)^4 - (a_o + b)^4 = 1/021 \times 10^{-6} \text{ m}^4$$

با جایگذاری برای J و τ_{\max} در معادله (۱۶-۳)، و با قرار دادن $c = c_i = a_o = 3 \text{ m}$

$$\begin{aligned} T &= \frac{J \tau_{\max}}{c} = \frac{(1/021 \times 10^{-6} \text{ m}^4)(120 \times 10^6 \text{ Pa})}{0/03 \text{ m}} \\ &= 4/08 \text{ kN.m} \end{aligned}$$

(ب) تنش برشی مینیمم. مینیمم مقدار تنش برشی در سطح داخلی شفت ایجاد می‌شود و آن را از معادله (۷-۳) می‌توان یافت:

$$\tau_{\min} = \frac{c_i}{c_o} \tau_{\max} = \frac{0/02 \text{ m}}{0/03 \text{ m}} (120 \text{ MPa}) = 80 \text{ MPa}$$



شکل ۱۵-۳

طبق قسمت ۲-۳، مجموع لنگر تیرهای جزئی وارد بر هر مقطع عرضی شفت با مقدار گشتاور وارد بر شفت برابر است:

$$\int \rho(\tau) dA = T \quad (۱-۳)$$

با جایگذاری τ از (۶-۳) در (۱-۳)، نتیجه می‌شود:

$$T = \int \rho \tau dA = \frac{\tau_{\max}}{c} \int \rho^* dA$$

اتکمال آنرا، معان اینرسی قطبی مقطع عرضی را نسبت به مرکز O نشان می‌دهد. بنابراین،

$$T = \frac{\tau_{\max} J}{c} \quad (۸-۳)$$

با حل

$$\tau_{\max} = \frac{Tc}{J} \quad (۹-۳)$$

با جایگذاری τ_{\max} از (۶-۳) در (۹-۳)، تنش برشی در فاصله c از محور شفت بدست می‌آید:

$$\tau = \frac{Tc}{J} \quad (۱۰-۳)$$

معادله‌های (۹-۳) و (۱۰-۳) را فرمول‌های پیچش الاستیک می‌گویند. از استاتیک می‌دانیم که معان اینرسی قطبی دایره‌ای به شعاع c چنین است: $J = \frac{1}{4} \pi c^4$. در یک شفت دایره‌ای توخالی با شعاع داخلی c_i و شعاع خارجی c_o ، معان اینرسی قطبی برابر است با:

$$J = \frac{1}{4} \pi c_i^4 - \frac{1}{4} \pi c_o^4 = \frac{1}{4} \pi (c_i^4 - c_o^4) \quad (۱۱-۳)$$

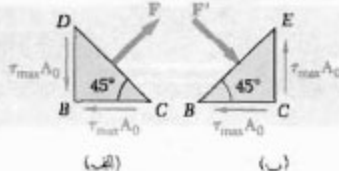
در معادله (۹-۳) یا (۱۰-۳)، T برحسب c N.m یا m N/m برحسب مترا، c برحسب m ، و تنش برشی برحسب پاسکال (Pa) بیان می‌شود.

اکنون، جزء c را تحت زاویه 45° با محور شفت در نظر بگیرید (این جزء نشان داده نشده است)، برای تعیین تنش های وارد بر وجوده این جزء، دو جزء مطلق مثلثی را در شکل ۱۹-۳ در نظر می گیریم و نمودار آزاد آنها را رسم می کنیم. برای جزء c شکل ۱۹-۳، می دانیم که تنش های وارد بر وجوده BD و BC همان تنش های برشی $\tau_{max} = Tc/J$ هستند. لذا، مقدار نیروهای برشی برابر با $\tau_{max} A_0$ است، که در آن A_0 مساحت وجه است. چون مؤلفه های ذو نیروی برشی در آن متعدد DC با هم مساوی و مخالفند، نیروی F وارد بر DC بر این وجه عمود است. این نیرو به صورت کششی است و مقدار آن چنین است:

$$F = 2(\tau_{max} A_0) \cos 45^\circ = \tau_{max} A_0 \sqrt{2} \quad (13-3)$$

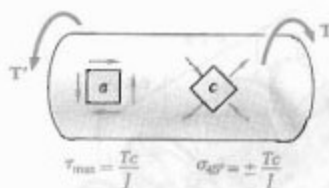
از تقسیم نیروی F بر مساحت A از وجه DC ، تنش وارد بر این وجه بدست می آید:

$$\sigma = \frac{F}{A} = \frac{\tau_{max} A_0 \sqrt{2}}{A_0 \sqrt{2}} = \tau_{max} \quad (14-3)$$



شکل ۱۹-۳

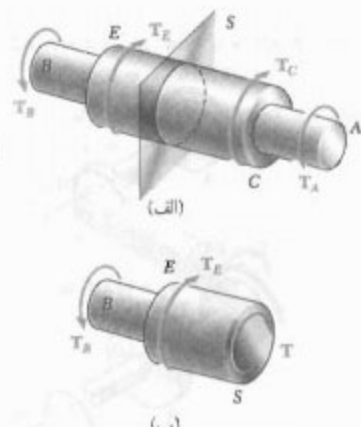
با تحلیل مشابه درباره جزء شکل ۱۹-۳ ب، دیده می شود که تنش وارد بر وجه BE عبارت است از $\sigma = -\tau_{max}$. درنتیجه، وجوده جزء c که تحت زاویه 45° با محور شفت است و وجه دیگر آن تحت تنش فشاری است، خستن، تمام تنش ها دارای مقدار یکسان Jc/T هستند.



شکل ۱۸-۳

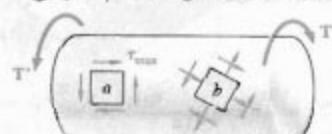
* تنش های دارای براجهزابا وضعیت اختیاری، مانند جزء b در شکل ۱۸-۳، در قصیل ۷ بررسی می شوند.

فرمول های $(9-3)$ و $(10-3)$ برای یک شفت با مقطع عرضی یکنواخت دایره ای هستند که دو انتهای آن تحت گشتاور قرار دارند. ولی، از آنها برای مقطع عرضی متغیر یا شفته که از مقاطعی غیر از دو انتهایش تحت گشتاور قرار دارد نیز می توان استفاده کرد (شکل ۱۷-۳ الف). توزیع تنش برشی در مقطع عرضی S از معادله $(9-3)$ بدست می آید، که در آن J ممان اینرسی قطبی آن مقطع، و T گشتاور داخلي در آن مقطع است. با ترسیم نمودار آزاد قسمتی از شفت که در یک طرف آن مقطع قرار دارد (شکل ۱۷-۳ ب) و با مساوی صفر قرار دادن مجموع گشتاورهای وارد بر آن قسمت، شامل گشتاور داخلي T ، مقدار T بدست می آید (به مسئله نمونه ۱-۳ انجام کنید).



شکل ۱۷-۳

تا به حال، فقط تنش های برشی را در یک شفت تحلیل کردیم. زیرا وجوده جزء انتخابی به موازات محور شفت یا عمود بر آن بودند (شکل ۶-۳). طبق قسمت های ۱۱-۱ و ۱۲-۱، بر حسب وضعیت بجزء انتخابی، ممکن است تنش قائم، برشی یا هر دو به وجود آیند. دو جزء a و b را که روی سطح یک شفت دایره ای تحت پیچش (شکل ۱۸-۳) قرار دارد در نظر بگیرید. چون وجوده جزء a به موازات و عمود بر محور شفت هستند، فقط تنش برشی $\tau_{max} = Tc/J$ بر این جزء وارد می شود. ولی، جزء b ، که وجوده آن با محور شفت زوایای اختیاری می سازند، دارای تنش های قائم و برشی هستند.



شکل ۱۸-۳

حل

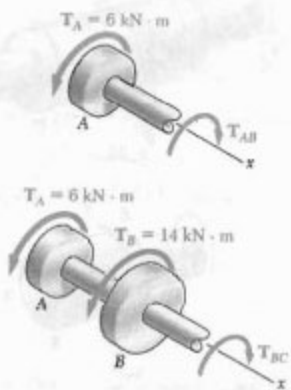
معادله‌های استاتیکی. گشتاور در شفت AB را با T_{AB} نشان می‌دهیم، و این شفت را مقطع می‌زنیم. برای نمودار آزاد نشان داده شده، می‌نویسیم:

$$\sum M_x = 0 : (6 \text{ kN.m}) - T_{AB} = 0 \Rightarrow T_{AB} = 6 \text{ kN.m}$$

حال، شفت BC را مقطع می‌زنیم، و برای نمودار آزاد نشان داده شده می‌نویسیم:

$$\sum M_x = 0 :$$

$$(6 \text{ kN.m}) + (14 \text{ kN.m}) - T_{BC} = 0 \Rightarrow T_{BC} = 20 \text{ kN.m}$$



الف. شفت BC . برای این شفت توخالی،

$$J = \frac{\pi}{4}(c_1^4 - c_2^4) = \frac{\pi}{4} [(0.06^4 - 0.04^4)] = 13.92 \times 10^{-5} \text{ m}^4$$

تش برشی ماقزیم، بر روی سطح خارجی،

$$\tau_{\max} = \tau_t = \frac{T_{BC} c_t}{J} = \frac{(20 \text{ kN.m})(0.06 \text{ m})}{13.92 \times 10^{-5} \text{ m}^4}$$

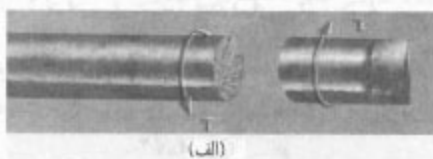
$$\tau_{\max} = 86.2 \text{ MPa} \quad \blacktriangleleft$$

تش برشی مینیم، تش‌ها متناسب با فاصله از محور شفت هستند؛ می‌نویسیم:

$$\frac{\tau_{\min}}{\tau_{\max}} = \frac{c_1}{c_2} \Rightarrow \frac{\tau_{\min}}{86.2 \text{ MPa}} = \frac{0.04 \text{ mm}}{0.06 \text{ mm}}$$

$$\tau_{\min} = 57.4 \text{ MPa}$$

طبق قسمت ۲-۳، مواد چکش خوار معمولاً در برش گسیخته می‌شوند. بنابراین، وقتی نمونه از ماده چکش خواری تحت پیچش قرار می‌گیرد، در امتداد یک صفحه عمود بر محور طولی اش گسیخته می‌شود (شکل ۲۱-۳الف). از طرف دیگر، مواد شکننده در کشش، در مقایسه با برش، ضعیف‌ترند. لذا، وقتی نمونه شکننده‌ای تحت پیچش قرار می‌گیرد، گرایش دارد در امتداد سطوح عمود بر امتداد متاظر با کشش ماقزیم (یعنی، در امتداد سطوحی که با محور طولی نمونه زاویه 45° دارند) بشکنند (شکل ۲۱-۳ب).



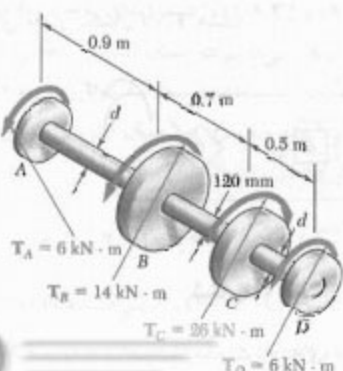
(الف)



(ب)

شکل ۲۱-۳

مسئله نمونه ۱-۳
شافت BC توخالی و با قطرهای داخلی و خارجی 90 mm و 120 mm است. شفت‌های AB و CD توپر و به قطر d هستند. برای بارگذاری نشان داده شده، مطلوبست: (الف) ماقزیم و مینیم تنش برشی در شفت BC ، (ب) قطر d ، در صورتی که تنش مجال برشی در این شفت‌ها 65 MPa باشد.



$$\tau_{\min} = \frac{\sigma_{\min}}{E} \sqrt{\nu} \text{ MPa}$$

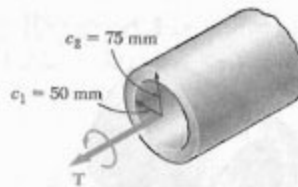
حل

الف- شفت توخالی برای این شفت،

$$\begin{aligned} J &= \frac{\pi}{4} (c_r^4 - c_i^4) = \frac{\pi}{4} [(V\Delta \text{ mm})^4 - (\Delta \text{ mm})^4] \\ &= 34,88 \times 10^{-9} \text{ mm}^4 \end{aligned}$$

از معادله (۹-۳)،

$$\begin{aligned} \tau_{\max} &= \frac{Tc_r}{J} \Rightarrow 84 \text{ MPa} = \frac{T(75 \text{ mm})}{34,88 \times 10^{-9} \text{ mm}^4} \\ &\Rightarrow T = 11,1 \text{ kN.m} \end{aligned}$$



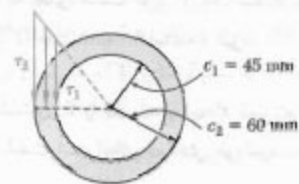
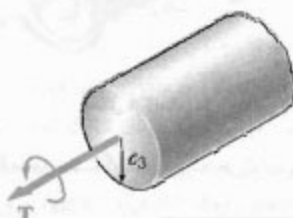
ب- شفت توپر با همان وزن. مساحت مقطع عرضی شفت تغییر نمی‌کند و می‌توانیم:

$$A_{(a)} = A_{(b)}$$

$$\pi [(V\Delta \text{ mm})^4 - (\Delta \text{ mm})^4] = \pi c_r^4 \quad c_r = 55,9 \text{ mm}$$

چون $\tau_{\max} = 84 \text{ MPa}$ می‌توانیم

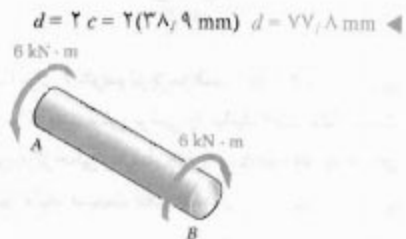
$$\begin{aligned} \tau_{\max} &= \frac{Tc_r}{J} \quad 84 \text{ MPa} = \frac{T(55,9 \text{ mm})}{\frac{\pi}{4}(55,9 \text{ mm})^4} \\ &\Rightarrow T = 11,1 \text{ kN.m} \end{aligned}$$



ب. شفت‌های CD و AB در آین شفت‌ها، $T = 6 \text{ kN.m}$ و $r_{\text{all}} = 65 \text{ MPa}$. شاع شفت‌ها را با نشان می‌دهیم و می‌توانیم:

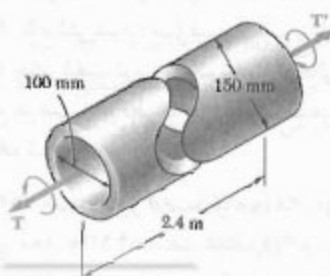
$$\tau = \frac{Tc}{J} \Rightarrow 65 \text{ MPa} = \frac{(6 \text{ kN.m})c}{\frac{\pi}{4} c^4}$$

$$c^4 = 58,8 \times 10^{-9} \text{ m}^4 \Rightarrow c = 3,89 \times 10^{-2} \text{ m}$$



مسئله نمونه ۳-۳

شфт بزرگی که موتوری را به مولدی متصل می‌کند با قطرهای داخلی و خارجی، ۱۰۰ و ۱۵۰ mm است. اگر تش مجاز برنشی ۸۴ MPa باشد، مطلوبست ماکریسم گشتاوری که: (الف) توسط این شفت می‌توان انتقال داد، (ب) توسط شفت توپری با همان وزن می‌توان انتقال داد، (ج) توسط شفت توخالی با همان وزن و با قطر خارجی ۲۰۰ mm می‌توان انتقال داد.



ج - شفت توخالی با قطر 200 mm . برای وزن مساوی، مساحت مقطع عرضی تغییر نمی‌کند و می‌توانیم:

$$\begin{aligned} A_{(a)} &= A_{(c)} \\ \pi [(100\text{ mm})^2 - (50\text{ mm})^2] &= \pi [(100\text{ mm})^2 - c_2^2] \end{aligned}$$

$$\Rightarrow c_2 = 82.6 \text{ mm}$$

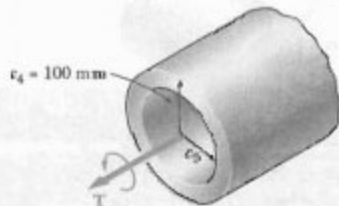
$$, c_1 = 100 \text{ mm} \text{ و } c_2 = 82.6 \text{ mm}$$

$$J = \frac{\pi}{4} [(100\text{ mm})^3 - (82.6\text{ mm})^3] = 82,89 \times 10^6 \text{ mm}^4$$

$$, c_r = 100 \text{ mm} \text{ و } \tau_{all} = 84 \text{ MPa} \text{ با}$$

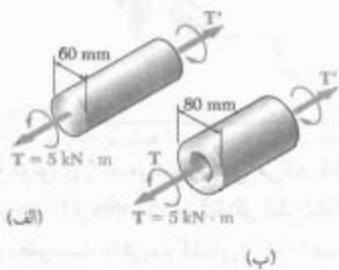
$$\tau_{max} = \frac{Tc_r}{J} \quad 84 \text{ MPa} = \frac{T(100\text{ mm})}{82,89 \times 10^6 \text{ mm}^4}$$

$$T = 99,6 \text{ kN.m} \blacktriangleleft$$



مسائل

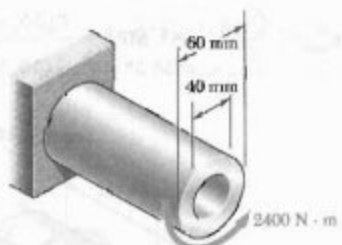
۱-۳ (الف) برای شفت توخالی نشان داده شده، ماکریم تنش برشی را بیابید. (ب) مطلوبست قطر داخلی استوانه توخالی، با قطر خارجی 80 mm ، که به ازای آن تنش ماکریم مانند قسمت (الف) باشد.



شکل ۵-۳

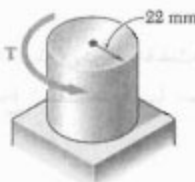
۲-۳ (الف) مطلوبست گشتاوری که می‌توان بر یک شفت توپر با نظر 20 mm وارد کرد بدون اینکه تنش برشی مجاز از 50 MPa بیشتر شود. (ب) قسمت (الف) را با این فرض حل کنید که به جای شفت توپر از یک شفت توخالی با همان مساحت مقطع عرضی و با قطر داخلی برابر با نصف قطر خارجی اش استفاده شود.

۳-۳ محور توپر به قطر $AB = d = 38\text{ mm}$ و از فولاد با تنש برشی مجاز 84 MPa است. غلاف CD از برنج با تنش برشی مجاز 50 MPa است. ماکریم گشتاور T را که می‌توان در A وارد کرد بیابید.



شکل ۱-۳

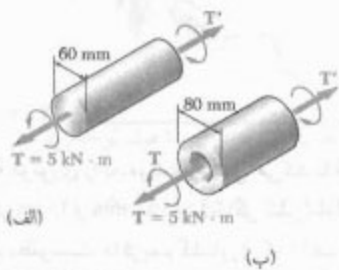
۴-۳ (الف) مطلوبست گشتاوری که می‌توان بر یک شفت توپر با قطر خارجی 90 mm وارد کرد بدون اینکه تنش برشی از 75 MPa بیشتر شود. (ب) قسمت (الف) را با این فرض



شکل ۴-۳

۴-۳ ماکریم تنش برشی حاصل از گشتاور $T = 65 \text{ kN.m}$ را بیابید.

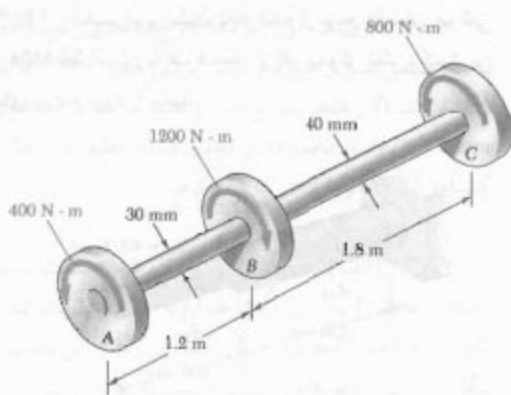
۵-۳ (الف) برای استوانه توپر به قطر 60 mm و بارگذاری نشان داده شده، ماکریم تنش برشی را بیابید. (ب) مطلوبست قطر داخلی استوانه توخالی، با قطر خارجی 80 mm ، که به ازای آن تنش ماکریم مانند قسمت (الف) باشد.



شکل ۵-۳

۲-۳ (الف) مطلوبست گشتاوری که می‌توان بر یک شفت توپر با نظر 20 mm وارد کرد بدون اینکه تنش برشی مجاز از 50 MPa بیشتر شود. (ب) قسمت (الف) را با این فرض حل کنید که به جای شفت توپر از یک شفت توخالی با همان مساحت مقطع عرضی و با قطر داخلی برابر با نصف قطر خارجی اش استفاده شود.

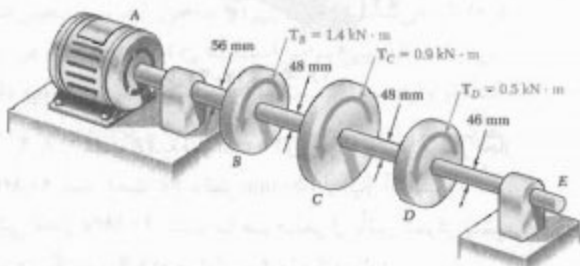
۳-۳ محور توپر به قطر $AB = d = 38\text{ mm}$ و از فولاد با تنش برشی مجاز 84 MPa است. غلاف CD از برنج با تنش برشی مجاز 50 MPa است. ماکریم گشتاور T را که می‌توان در A وارد کرد بیابید.



شکل م ۱۱-۳ و م ۱۲-۳

۱۲-۳ اگر تنش مجاز برشی در هر شفت 60 MPa باشد، مطلوب است کمترین قطر مجاز برای: (الف) شفت AB ، (ب) شفت BC .

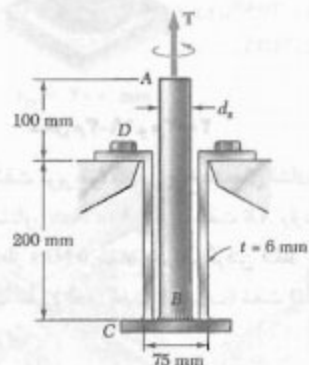
۱۳-۳ در شرایط کارکرد عادی، موتور الکتریکی گشتاور $T_A = 8 \text{ kN}\cdot\text{m}$ را بر شفت AB وارد می‌کند. اگر شفتهای توپر باشند، مطلوب است ماکریسم تنش برشی: (الف) در شفت AB ، (ب) در شفت BC ، (ج) در شفت CD .



شکل م ۱۳-۳

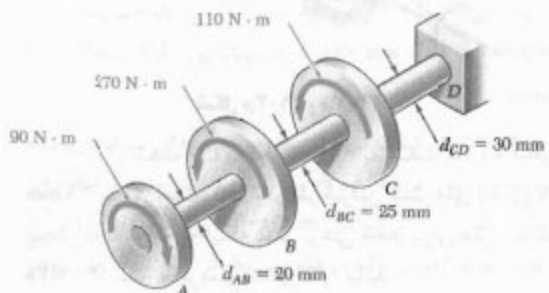
۱۴-۳ برای کاهش جرم کل مجموعه مسئله ۱۳-۳، طرح جدیدی بررسی می‌شود که در آن شفت BC با قطر کمتر گرفته می‌شود. مطلوب است کمترین قطر برای شفت BC که به ازای آن ماکریسم مقدار تنش برشی در مجموعه افزایش نیابد.

۱۴-۴ محور توپر AB از فولاد با تنش برشی مجاز 80 MPa است. غلاف CD از برنج با تنش برشی مجاز 50 MPa است. مطلوب است: (الف) ماکریسم گشتاور T که می‌توان در A وارد کرد با این شرط که تنش مجاز برشی در AB از تنش مجاز برشی در CD بیشتر نشود، (ب) قطر d محور AB .



شکل م ۱۲-۳ و م ۱۳-۳

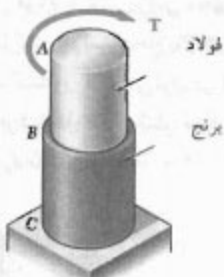
۱۴-۵ اگر هر یک از شفتهای AB ، BC و CD به صورت میله‌های استوانه‌ای توپر باشند، مطلوب است: (الف) شفتی که ماکریسم تنش برشی در آن روی می‌دهد، (ب) مقدار این تنش.



شکل م ۱۰-۳ و م ۱۱-۳

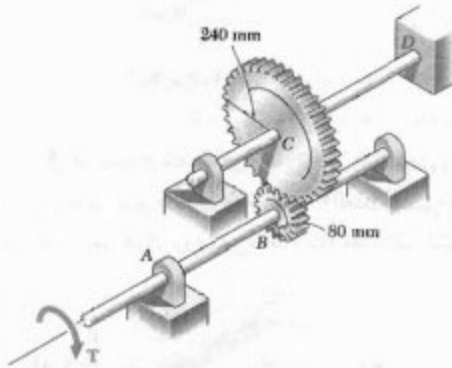
۱۰-۳ اگر سوراخی به قطر 10 mm در هر یک از شفتهای AB ، BC و CD تعبیه شود، مطلوب است: (الف) شفتی که ماکریسم تنش برشی در آن روی می‌دهد، (ب) مقدار این تنش

۱۱-۳ گشتاورهای نشان داده شده بر پولهای A ، B و C وارد شده‌اند. اگر شفتهای توپر باشند، مطلوب است ماکریسم تنش برشی: (الف) در شفت AB ، (ب) در شفت BC .



شکل م ۱۹-۳ و م ۲۰-۳

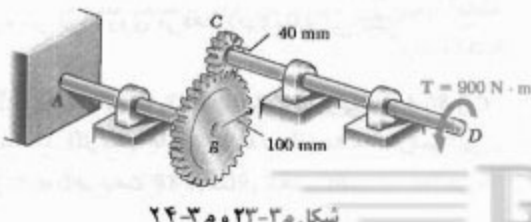
۲۱-۳ دو شفت توپر فولادی با چرخ دنده‌های نشان داده شده به هم متصل‌اند. گشتاور $T = 900 \text{ N.m}$ بر شفت AB وارد می‌شود. اگر تنش برشی مجاز 5 MPa باشد، بارننظیر گرفتن فقط تنش‌های پیچشی، مطلوبست قطر: (الف) شفت AB ، (ب) شفت CD .



شکل م ۲۱-۳ و م ۲۲-۳

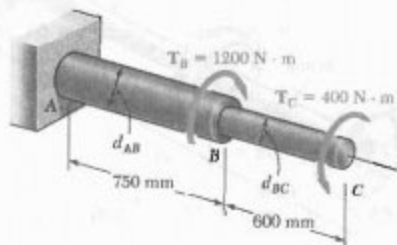
۲۲-۳ شفت CD به قطر 66 mm به شفت AB به قطر 48 mm متصل است. فقط بارننظیر گرفتن تنش‌های ناشی از پیچش و با توجه به اینکه تنش برشی مجاز برای هر شفت 60 MPa است، ماکزیمم گشتاور T را باید.

۲۳-۳ گشتاور $T = 900 \text{ N.m}$ ، مطابق شکل، در D وارد می‌شود. اگر قطر شفت AB برابر با 60 mm و قطر شفت CD برابر با 45 mm باشد، مطلوبست بهترین تنش برشی در: (الف) شفت AB ، (ب) شفت CD .



شکل م ۲۳-۳ و م ۲۴-۳

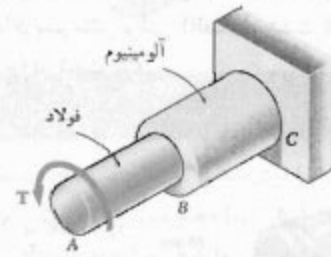
۱۵-۳ شفت توپر نشان داده شده از بونج با تنش برشی مجاز 55 MPa است. با صرف‌نظر از اثر تمرکز تنش، کمترین قطرهای d_{AB} و d_{BC} را باید.



شکل م ۱۵-۳ و م ۱۶-۳

۱۶-۳ مسئله ۱۵-۳ را با این فرض حل کنید که جهت T_C برعکس شود.

۱۷-۳ شفت AB از فولاد با تنش برشی 40 MPa و شفت BC از آلمینیوم با تنش برشی 60 MPa مجاز ساخته شده است. اگر قطر شفت BC برابر با 50 mm باشد، با صرف‌نظر از تأثیر تمرکز تنش، مطلوبست: (الف) ماکزیمم گشتاور T که می‌توان بر A وارد کرد، (ب) قطر متناظر شفت AB .



شکل م ۱۷-۳ و م ۱۸-۳

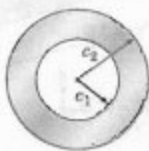
۱۸-۳ شفت AB به قطر 30 mm و از فولاد با تنش برشی مجاز 90 MPa است. شفت BC به قطر 50 mm و از آلیاژ آلمینیوم با تنش برشی 60 MPa است. با صرف‌نظر از تأثیر تمرکز تنش، ماکزیمم گشتاور T را که می‌توان بر A وارد کرد باید

۱۹-۳ تنش مجاز در میله فولادی AB به قطر 36 mm برابر 100 MPa و در میله برقی BC به قطر 40 mm برابر 40 MPa است. با صرف‌نظر از تمرکز تنش، بیشترین گشتاوری را که می‌توان در A وارد کرد باید.

۲۰-۳ تنش مجاز در میله فولادی AB برابر با 100 MPa و در میله برقی BC برابر با 60 MPa است. اگر گشتاور $T = 900 \text{ N.m}$ در A وارد شود، مطلوبست قطر: (الف) میله AB ، (ب) میله BC .

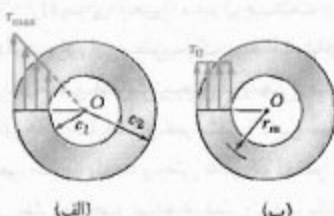
۲۸-۳ دو شفت توبیر توسط پژخ‌دنده‌های نشان داده شده به هم متصل‌اند و از فولاد با تنش برشی مجاز 50 MPa ساخته شده‌اند. اگر قطر شفت $d_{EF} = 32 \text{ mm}$ و $d_{BC} = 20 \text{ mm}$ باشد، مطلوبست ماکریم گشتاور T_C که می‌توان در C وارد کرد.

۲۹-۳ (الف) برای تنش مجاز داده شده، نسبت ماکریم گشتاور مجاز T به وزن واحد طول w را برای شفت توخالی نشان داده شده بپابند. (ب) اگر (T/w) مقدار این نسبت برای شفت توبیری با شعاع c_1 باشد، نسبت w/T را برای شفت توخالی برحسب c_1/c_2 بیابند.



شکل ۲۹-۳

۳۰-۳ گرچه توزیع دقیق تنش برشی در یک شفت استوانه‌ای توخالی مانند شکل ۳۰-۲ ممکن نیست، ولی با فرض توزیع یکنواخت تنش روی مساحت A مقطع عرضی (شکل ۳۰-۳ب) و نیز با فرض اینکه تمام نیروهای برشی جزوی در فاصله‌ای برابر با شعاع متوسط مقطع عرضی، $r_m = \frac{1}{2}(c_1 + c_2)$ از O اثر می‌کنند، می‌توان τ_{max} را به طور تقریبی تعیین کرد. این مقدار تقریبی برابر است با $\tau_{max} = T/Ar_m$ ، که در آن T گشتاور وارد است. نسبت ماکریم تنش برشی τ_{max} را به مقدار تقریبی τ برای c_1/c_2 برابر با 0.95 و 0.90 و 0.85 بیابند.

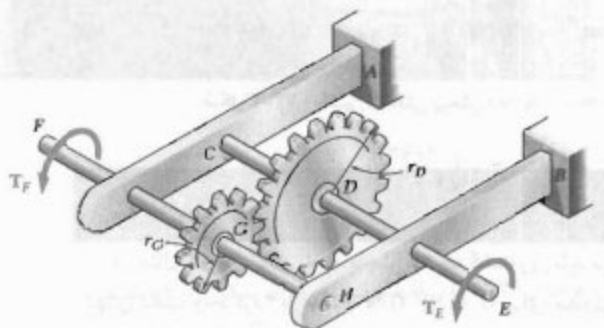


شکل ۳۰-۳

۲۴-۳ گشتاور $T = 400 \text{ N.m}$ ، مطابق شکل، در D وارد می‌شود. اگر تنش برشی مجاز در هر شفت 50 MPa باشد، مطلوبست قطر: (الف) شفت AB ، (ب) شفت CD .

۲۵-۳ در شرایط عادی، موتوری گشتاوری $T_F = 150 \text{ N.m}$ 70 MPa را در F وارد می‌کند. اگر تنش برشی مجاز در هر شفت CDE ، FGH باشد، برای داده‌های زیر، مطلوبست قطر: (الف) شفت FGH ، (ب) شفت FGH .

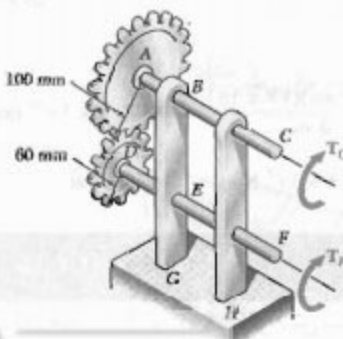
$$r_G = 70 \text{ mm}, r_D = 100 \text{ mm}$$



شکل ۲۵-۳ و ۲۶-۳

۲۶-۳ در شرایط عادی، موتوری گشتاوری T_F را در F وارد می‌کند. شفت‌ها از فولاد با تنش برشی مجاز 85 MPa و با قطرهای $d_{FGH} = 20 \text{ mm}$ و $d_{CDE} = 22 \text{ mm}$ و $d_{ABC} = 15 \text{ mm}$ هستند. اگر $r_G = 100 \text{ mm}$ و $r_D = 150 \text{ mm}$ ، بیشترین مقدار مجاز T_F را بیابند.

۲۷-۳ دو شفت توبیر توسط پژخ‌دنده‌های نشان داده شده بر هم متصل‌اند و از فولاد با تنش برشی مجاز 60 MPa ساخته شده‌اند. اگر گشتاور $T_C = 600 \text{ N.m}$ در C وارد شود و مجموعه در تعادل باشد، مطلوبست قطر: (الف) شفت BC ، (ب) شفت EF .

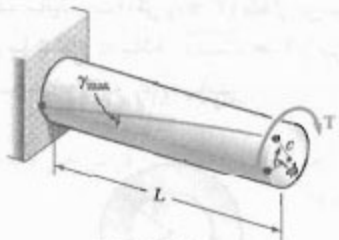


شکل ۲۷-۳ و ۲۸-۳

۵-۳ زاویه پیچش در ناحیه الاستیک

در این قسمت، رابطه بین زاویه پیچش ϕ یک شفت دایره‌ای به طول L و شعاع C را که انتهای آزاد آن تحت گشتاور T قرار دارد به دست می‌آوریم (شکل ۲۲-۳). فرض می‌کنیم شفت به طور الاستیک می‌ماند. طبق قسمت ۳-۳، زاویه پیچش ϕ و ماکریعم کرنش بر روی γ_{max} دارای رابطه زیر هستند:

$$\gamma_{max} = \frac{\phi}{L} \quad (3-3)$$



شکل ۲۲-۳

شکل ۲۲-۳ ماشین آزمایش پیچش.

مثال ۳

در مثال ۱-۳، برای زاویه پیچش 2° چه گشتاوری باید بر انتهای شفت وارد کرد؟ از مقدار $G = 77 \text{ GPa}$ برای مدول صلابت فولاد استفاده کنید.
از معادله (۱۶-۳)،

$$T = \frac{JG}{L} \phi$$

با جایگذاری مقادیر داده شده،

$$G = 77 \times 10^9 \text{ Pa} \quad L = 1.0 \text{ m}$$

$$\phi = 2^\circ \left(\frac{\pi \text{ rad}}{360^\circ} \right) = 34/9 \times 10^{-3} \text{ rad}$$

در مثال ۱-۳ دیدیم که برای مقطع عرضی داده شده،

$$J = 1.021 \times 10^{-6} \text{ m}^4$$

بنابراین،

$$T = \frac{JG}{L} \phi =$$

$$\frac{(1.021 \times 10^{-6} \text{ m}^4)(77 \times 10^9 \text{ Pa})}{1.0 \text{ m}} (34/9 \times 10^{-3} \text{ rad})$$

$$\Rightarrow T = 1,829 \times 10^7 \text{ N.m} = 1,829 \text{ kN.m}$$

مثال ۳

در مثال‌های ۱-۲ و ۲-۳، اگر متض برشی وارد بر سطح داخلی شفت فولادی توخالی MPa باشد، زاویه پیچش چقدر است؟

در ناحیه الاستیک، تنش در هیچ نقطه‌ای از تنش تسلیم بیشتر نمی‌شود. طبق قانون هوک، $\gamma_{max} = \tau_{max}/G$. از معادله (۹-۳)،

$$\gamma_{max} = \frac{\tau_{max}}{G} = \frac{Tc}{JG} \quad (15-3)$$

مسئل راست معادله‌های (۳-۳) و (۱۵-۳) را مساوی هم قرار می‌دهیم و ϕ را حل می‌کنیم:

$$\phi = \frac{TL}{JG} \quad (16-3)$$

در رابطه بالا، ϕ بر حسب وادیان است. رابطه حاصل نشان می‌دهد که، در ناحیه الاستیک، زاویه پیچش ϕ یا گشتاور T وارد بر شفت متناسب است. این موضوع با آزمایشی که در آغاز قسمت ۳-۳ به آن اشاره شد هماهنگ است.

از معادله (۱۶-۳) برای تعیین مدول صلابت یک ماده می‌توان استفاده کرد. برای این منظور، یک میله استوانه‌ای با قطر و طول معلوم را در ماشین آزمایش پیچش قرار می‌دهند (شکل ۲۲-۳). گشتاورهایی با مقدار افزایشی T بر نمونه وارد می‌کنند، و مقادیر متناظر زاویه پیچش ϕ در طول نمونه را ثبت می‌کنند. تا وقتی تنش موجود بیشتر از تنش تسلیم نشده است، نفاطی که با ترسیم ϕ بر حسب T بدست می‌آیند روی یک خط راست قرار دارند. شیب این خط $\text{كمیت } L/\text{نمایشان می‌دهد}$ و از روی آن می‌توان T را محاسبه کرد.

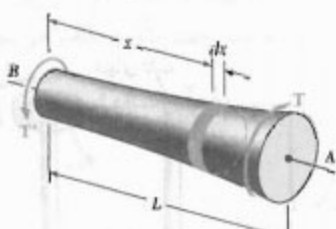
گشتاور داخلی T در هر قسمت شفت با عبور یک مقطع از آن قسمت و با ترسیم نمودار آزاد قسمتی از شفت که در پی طرف آن مقطع است بدست می‌آید. این روش، که قبلًا در قسمت ۳-۴ به کار رفت و در شکل ۳-۷ نشان داده شده است، در مسئله نمونه ۳-۳ به کار می‌رود.

در یک شفت با مقطع عرضی متغیر دایره‌ای (شکل ۳-۲۵) فرمول (۱۶-۳) را برای دیسکی با ضخامت dx می‌توان به کار برد. زاویه چرخش یک دیسک نسبت به وجه دیگر چنین است:

$$d\phi = \frac{T dx}{JG}$$

که در آن J تابعی از x است. با انتگرال‌گیری بر حسب x از 0 تا L ، زاویه کل پیجشن شفت را می‌یابیم:

$$\phi = \int_0^L \frac{T dx}{JG} \quad (۱۸-۳)$$



شکل ۲۵-۳

شфт نشان داده شده در شکل ۲۲-۳، که برای استنتاج فرمول (۱۶-۳) به کار رفت و شفت شکل ۱۶-۳ که در مثال‌های ۲-۳ و ۳-۰ مورد بررسی شد، هر دو از یک انتهای به تکیه‌گاه ثابتی متصل‌اند. لذا، در هر دو حالت، زاویه پیجشن ϕ با زاویه دوران انتهایی آزاد شفت برابر بود. اگر هر دو انتهای شفت بچرخدند، زاویه پیجشن شفت برابر است با زاویه چرخش یک انتهای شفت نسبت به انتهای دیگر. مثلاً، مجموعه شکل ۳-۲۶-۳ الف را در نظر بگیرید. این مجموعه مشکل است از شفت‌های الاستیک AD و BE ، هر یک به طول L ، شعاع c و مدول صلابت G ، که به چرخدنده‌هایی متصل‌اند (این چرخدنده‌ها در نقطه C درگیر شده‌اند). با اعمال گشتاور T بر E (شکل ۳-۲۶-۳ ب)، هر دو شفت می‌پیجشن. چون انتهای D شفت AD ثابت است، زاویه پیجشن AD با زاویه دوران انتهای A

ابتدا، از معادله (۱۰-۳)، گشتاور T متناظر با مقدار داده شده را می‌یابیم. سپس، با استفاده از معادله (۱۶-۳)، زاویه پیجشن ϕ را بدست می‌آوریم. روش دیگر: ابتدا، با استفاده از قانون هوك، کرنش برشی را در سطح داخلی شفت محاسبه می‌کیم:

$$\gamma_{\min} = \frac{\tau_{\min}}{G} = \frac{V_a \times 10^9 \text{ Pa}}{Vv \times 10^9 \text{ Pa}} = 9.9 \times 10^{-2}$$

از معادله (۲-۳)،

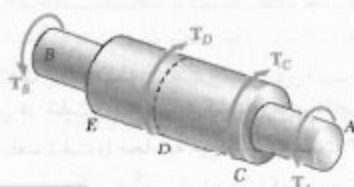
$$\phi = \frac{Ly_{\min}}{c_i} = \frac{1500 \text{ mm}}{20 \text{ mm}} (9.9 \times 10^{-2}) = 68.2 \times 10^{-2} \text{ rad}$$

بر حسب درجه،

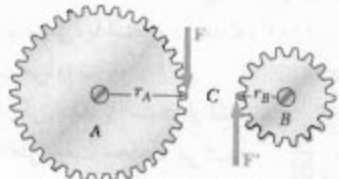
$$\phi = (68.2 \times 10^{-2} \text{ rad}) \left(\frac{360^\circ}{2\pi \text{ rad}} \right) = 3.91^\circ$$

فرمول (۱۶-۳) را فقط وقتی می‌توان به کار برد که شفت همگن (با G ثابت) دارای مقطع عرضی یکنواخت و فقط در انتهای بازگذاری شده باشد. اگر شفت در نقاطی غیر از دو انتهای تحت گشتاور قرار گیرد یا اگر از قسمت‌های مختلف با مقاطع عرضی گوناگون و از مواد مختلف تشکیل شده باشد، آن را باید به قسمت‌هایی تقسیم کرد که هر کدام شرایط مورد نیاز را برای کاربرد فرمول (۱۶-۳) برقرار کنند. مثلاً در شفت AB در شکل ۲۴-۳، چهار قسمت مختلف زیر را باید در نظر گرفت: AC ، CD و DE ، EB . زاویه کل پیجشن شفت (یعنی، زاویه چرخش انتهای A نسبت به انتهای B) از جمع جبری زوایای پیجشن هر قسمت بدست می‌آید. اگر گشتاور داخلی، طول، ممان اینترسی قطبی مقطع عرضی و مدول صلابت قسمت i ام را، به ترتیب، با T_i ، L_i ، J_i و G_i نشان دهیم، زاویه کل پیجشن شفت چنین است:

$$\phi = \sum_i \frac{T_i L_i}{J_i G_i} \quad (۱۷-۳)$$



شکل ۲۴-۳



شکل ۲۷-۳

چون انتهای B از شفت AD ثابت است، زاویه چرخش چرخ دنده A با زاویه پیچش شفت برابر است و از رابطه زیر به دست می آید:

$$\phi_A = \frac{T_{AD}L}{JG} = \frac{2TL}{JG}$$

دو قوس CC' و CC'' در شکل ۲۶-۳ ب برابرند، و می ترسیم $r_A\phi_A = r_B\phi_B$

$$\phi_B = (r_A/r_B)\phi_A = 2\phi_A$$

بنابراین،

$$\phi_B = 2\phi_A = \frac{4TL}{JG}$$

حال، شفت BE را در نظر می گیریم. زاویه پیچش آن برابر است با زاویه $\phi_{E/B}$ (یعنی، زاویه چرخش انتهای E نسبت به انتهای B). لذا،

$$\phi_{E/B} = \frac{T_{BE}L}{JG} = \frac{TL}{JG}$$

زاویه چرخش انتهای E از رابطه زیر به دست می آید:

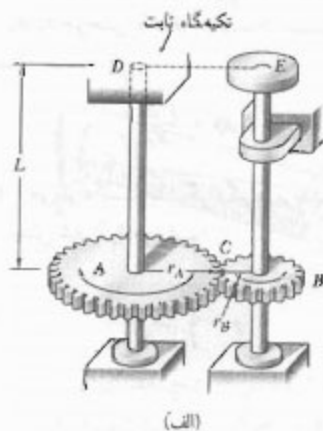
$$\phi_E = \phi_B + \phi_{E/B}$$

$$= \frac{4TL}{JG} + \frac{TL}{JG} = \frac{5TL}{JG}$$

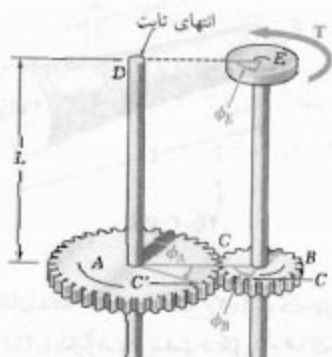
۲-۳ شفت های نامعین استاتیکی
برای تعیین نتش در شفت، ابتدا باید گشتاورهای داخلی در قسمت های مختلف شفت را محاسبه می کردیم (قسمت ۲-۳). برای این منظور، نمودار آزاد فضی از شفت را که در یک طرف مقطع داده شده قرار دارد رسم می کردیم و مجموع گشتاورهای

برابر است. از طرف دیگر، چون هر دو انتهای شفت BE می چرخند، زاویه پیچش BE برابر است با اختلاف زوایای چرخش ϕ_E و ϕ_B (یعنی، زاویه پیچش با زاویه چرخش انتهای E نسبت به انتهای B برابر است. اگر این زاویه دوران نسبی را با $\phi_{E/B}$ نشان دهیم، داریم:

$$\phi_{E/B} = \phi_E - \phi_B = \frac{TL}{JG}$$



(الف)



(ب)

شکل ۲۶-۳

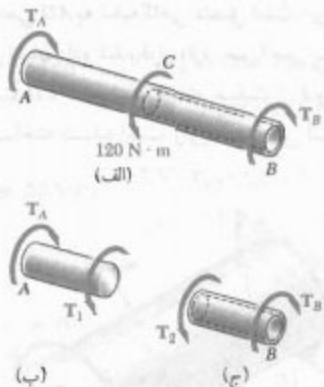
مثال ۴-۳

در شکل ۲۶-۳ $r_A = 2r_B$ ، $r_A = 2r_B$. زاویه دوران انتهای E از شفت BE را بر اثر اعمال گشتاور T باید.

ابتدا، گشتاور T_{AD} و لردیر شفت AD را می باییم. با توجه به اینکه نیروهای مساوی و متفاوت F و F' در C و C' بروند و چرخ دنده وارد می شوند (شکل ۲۷-۳) و $r_A = 2r_B$ (۲۷-۲)، گشتاور وارد بر شفت AD دو برابر گشتاور وارد بر شفت BE است: (یعنی، $T_{AD} = 2T$)

وارد بر آن قسمت را مساوی صفر قرار می‌دادیم. به این ترتیب، گشتاورهای داخلی فوق الذکر را صرفاً با استاتیک بهدست می‌آوریدم.

گاهی، گشتاورهای داخلی را صرفاً با استاتیک نمی‌توان بهدست آورد. در این موارد، از روابطی که شامل تغییر شکل‌های شفت هستند و از هندسه مسئله بعدهست می‌آیند، همراه با معادله‌های تعادل، باید استفاده کرد. از این‌رو، شفت را نامعین استاتیکی می‌گویند. در مثال زیر، و نیز فر مسئله تعمونه ۵-۳، شفت نامعین استاتیکی تحلیل شده است.



شکل ۲۹-۳

از نمودار آزاد قسمت کوچکی از شفت، شامل انتهای A (شکل ۲۹-۳ب)، دیده می‌شود که گشتاور داخلی T_1 در AC با T_A برابر است؛ از نمودار آزاد قسمت کوچکی از شفت، شامل انتهای B (شکل ۲۹-۳ج)، دیده می‌شود که گشتاور داخلی T_2 در CB با T_B برابر است. از معادله (۱۶-۳) و با توجه به اینکه قسمت‌های T_B و CB شفت در جهت‌های مخالف می‌پیچند، داریم

$$\phi = \phi_1 + \phi_2 = \frac{T_A L_1}{J_e G} - \frac{T_B L_2}{J_e G} = 0$$

با حل T_B

$$T_B = \frac{L_1 J_e}{L_2 J_e} T_A$$

با جایگذاری داده‌های عددی،

$$L_1 = L_2 = 125 \text{ mm}$$

$$J_e = \frac{1}{4} \pi (50 \times 11 \text{ m})^4 = 230 \times 10^{-9} \text{ m}^4$$

$$J_e = \frac{1}{4} \pi [(50 \times 11 \text{ m})^4 - (50 \times 8 \text{ m})^4] = 165,6 \times 10^{-9} \text{ m}^4$$

در نتیجه،

$$T_B = 0.772 T_A$$

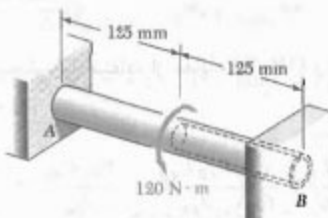
با جایگذاری این عبارت در معادله تعادل، داریم:

$$0.772 T_A = 120 \text{ N.m}$$

$$\Rightarrow T_A = 157.5 \text{ N.m} \quad , \quad T_B = 94.5 \text{ N.m}$$

مثال ۳-۵

شفت دایره‌ای AB متشکل است از یک استوانه فولادی به طول 250 mm و به قطر 22 mm که در آن سوراخی به طول 125 mm و به قطر 16 mm از انتهای B تعییه شده است. شفت از دو انتها ثابت است، و گشتاور 120 N.m در وسط آن وارد می‌شود (شکل ۲۸-۳). گشتاور وارد از تکه‌گاه‌ها را باید



شکل ۲۸-۳

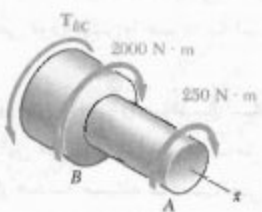
نمودار آزاد شفت را رسم می‌کنیم و گشتاورهای وارد از تکه‌گاه‌ها را با T_A و T_B نشان می‌دهیم (شکل ۲۹-۳الف). با توجه به تعادل شفت،

$$T_A + T_B = 120 \text{ N.m}$$

چون این معادله برای تعیین دو مجهول T_A و T_B کافی نیست، شفت نامعین استاتیکی است.

چون شفت AB از دو انتها مقید است. لذا، زاویه کل پیچش آن صفر است. با این معلومات می‌توان گشتاورهای T_A و T_B را بهدست آورد. زوایای پیچش قسمت‌های AC و CB را، به ترتیب، با ϕ و ψ نشان می‌دهیم و می‌نویسیم:

$$\phi - \psi + \phi_1 = 0$$

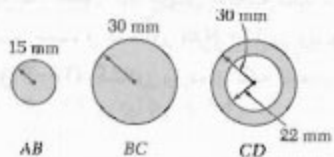


ممان اینترسی تطبیق:

$$J_{AB} = \frac{\pi}{4} c^4 = \frac{\pi}{4} (0.15 \text{ m})^4 = 0.15 \times 10^{-6} \text{ m}^4$$

$$J_{BC} = \frac{\pi}{4} c^4 = \frac{\pi}{4} (0.15 \times 2.0 \text{ m})^4 = 1.27 \times 10^{-6} \text{ m}^4$$

$$\begin{aligned} J_{CD} &= \frac{\pi}{4} (c_1^4 - c_0^4) = \frac{\pi}{4} [(0.15 \times 2.0 \text{ m})^4 - (0.15 \text{ m})^4] \\ &= 0.9 \times 10^{-6} \text{ m}^4 \end{aligned}$$



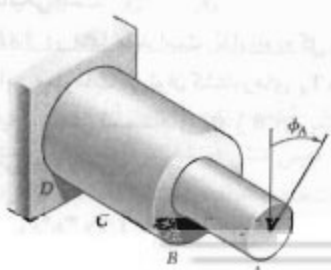
زاویه پیچش، با استفاده از معادله (۱۷-۳) و با توجه به $G = 70 \text{ GPa}$

$$\phi_A = \sum_i \frac{T L_i}{J_i G} = \frac{1}{G} \left(\frac{T_{AB} L_{AB}}{J_{AB}} + \frac{T_{BC} L_{BC}}{J_{BC}} + \frac{T_{CD} L_{CD}}{J_{CD}} \right)$$

$$\begin{aligned} \phi_A &= \frac{1}{70 \text{ GPa}} \left[\frac{(75 \text{ N.m})(0.7 \text{ m})}{0.15 \times 10^{-6} \text{ m}^4} + \frac{(225 \text{ N.m})(0.7 \text{ m})}{1.27 \times 10^{-6} \text{ m}^4} \right. \\ &\quad \left. + \frac{(225 \text{ N.m})(0.7 \text{ m})}{0.9 \times 10^{-6} \text{ m}^4} \right] \end{aligned}$$

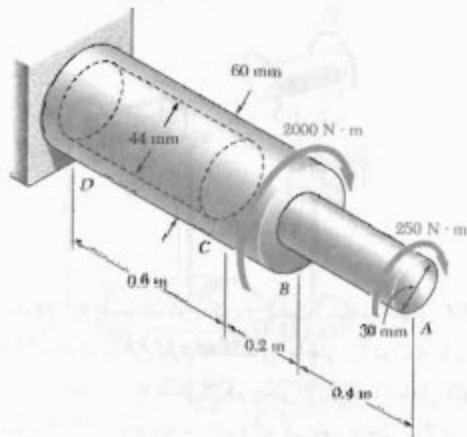
$$= 0.1634 + 0.00454 + 0.01939 = 0.187 \text{ rad}$$

$$\phi_A = (0.187 \text{ rad}) \frac{75 \text{ rad}}{7 \pi \text{ rad}} \Rightarrow \phi_A = 7.11^\circ \ll$$



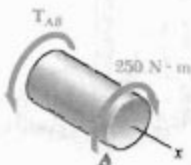
مسئله نمونه ۳-۳

قاعده D از شفت افقی AD به تکه گاهی متصل است. این شفت تحت گشتاورهای نشان داده شده قرار دارد. سوراخی به قطر 44 mm در قسمت CD ساخته شده است. شفت از فولاد، پا A ساخته شده است. زاویه پیچش انتهای A را باید.



حل

چون شفت از سه قسمت CD , BC , AB با مقاطع عرضی یکنواخت و با گشتاور داخلی ثابت، تشکیل شده است، معادله (۱۷-۳) را می‌توان به کار بردن.



استاتیک. با عبور یک مقاطع در شفت بین نقاط A و B ، و با استفاده از نمودار آزاد نشان داده شده، داریم:

$$\sum M_x = 0 : (75 \text{ N.m}) - T_{AB} = 0 \Rightarrow T_{AB} = 75 \text{ N.m}$$

با عبور یک مقاطع جدید بین B و C ، می‌نویسیم:

$$\sum M_x = 0 :$$

$$(75 \text{ N.m}) + (200 \text{ N.m}) - T_{BC} = 0 \Rightarrow T_{BC} = 275 \text{ N.m}$$

چون هیچ گشتاری در C وارد نمی‌شود،

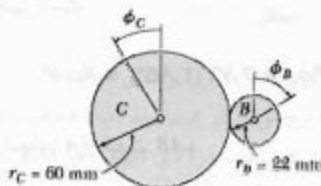
$$T_{CD} = T_{BC} = 275 \text{ N.m}$$

$$T_o = VV / N.m \quad \blacktriangleleft$$

$c = 12.5 \text{ mm}$ با $T_{CD} = VV T_o$ ، از σ شفت CD برای مکریم گشتاور T_o داریم:

$$\tau = \frac{T_{CD} c}{J} \Rightarrow 55 \text{ MPa} = \frac{VV T_o (12.5 \times 10^{-3} \text{ m})}{\frac{1}{4} \pi (12.5 \times 10^{-3} \text{ m})^4}$$

$$T_o = 51.8 \text{ N.m} \quad \blacktriangleleft$$



ماکریم گشتاور مجاز، مقدار کوچکتر را برای T_o انتخاب می‌کنیم:

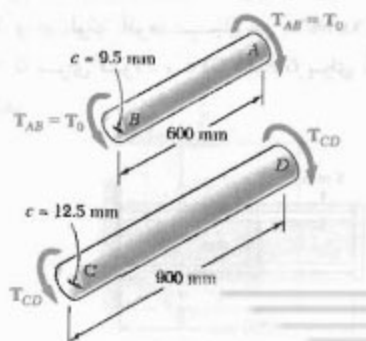
$$T_o = 51.8 \text{ N.m} \quad \blacktriangleleft$$

ب. زاویه چرخش انتهای A. ابتدا، زاویه پیچش هر شفت را محاسبه می‌کنیم:

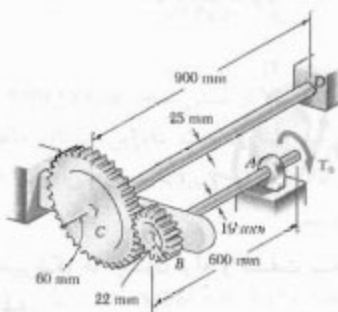
$$T_{AB} = T_o = 51.8 \text{ N.m}$$

$$\phi_{A/B} = \frac{T_{AB} L}{JG} = \frac{(51.8 \text{ N.m})(0.9 \text{ m})}{\frac{1}{4} \pi (0.0095 \text{ m})^4 (VV \times 10^9 \text{ Pa})}$$

$$= 0.0787 \text{ rad} = 4.5^\circ$$



مسئله نموده ۴-۳ دو شفت تپیر فولادی ترمو چرخ دنده‌هایی به هم متصل شده‌اند. اگر برای هر شفت $G = 77 \text{ GPa}$ و نتش برشی مجاز 55 MPa باشد، مطلوب است: (الف) ماکریم گشتاور T_o که می‌توان بر انتهای A شفت AB وارد کرد؛ (ب) زاویه دوران انتهای A.



حل

استاتیک. مقدار نیروی مماسی بین دنده‌های چرخ دنده را با F نشان می‌دهیم، و می‌نویسیم:

$$B \text{ چرخ دنده: } \sum M_B = 0 : F(22 \text{ mm}) - T_o = 0$$

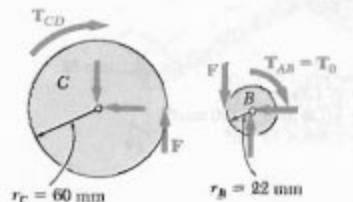
$$C \text{ چرخ دنده: } \sum M_C = 0 : F(60 \text{ mm}) - T_{CD} = 0$$

$$T_{CD} = VV T_o \quad (1)$$

سینماتیک. حرکت‌های محیطی چرخ دنده‌ها برابرند، و می‌نویسیم:

$$r_B \phi_B = r_C \phi_C \Rightarrow \phi_B = \phi_C \frac{r_C}{r_B} = \phi_C \frac{60 \text{ mm}}{22 \text{ mm}}$$

$$= VV \phi_C \quad (2)$$



الف. گشتاور T_o

شفت AB و $c = 9.5 \text{ mm}$ ، $T_{AB} = T_o$ با $M_{AB} = 55 \text{ MPa}$ ، می‌نویسیم:

$$\tau = \frac{T_{AB} c}{J} \Rightarrow 55 \text{ MPa} = \frac{T_o (9.5 \times 10^{-3} \text{ m})}{\frac{1}{4} \pi (9.5 \times 10^{-3} \text{ m})^4}$$

حل

استاتیک. نمودار آزاد دیسک. گشتاور واردہ از لوله بر دیسک را با T_1 و گشتاور واردہ از شفت را با T_r نشان می‌دهیم و می‌نویسیم:

$$T_o = T_1 + T_r \quad (1)$$

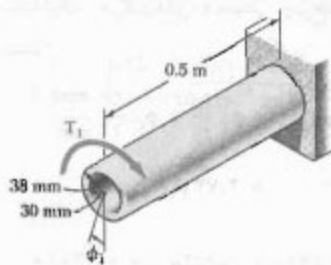


تفیرشکل‌ها. چون لوله و شفت به دیسک صلب متصل‌اند،

$$\phi_r = \phi_1 \implies \frac{T_1 L_1}{J_1 G_1} = \frac{T_r L_r}{J_r G_r}$$

$$\frac{T_1 (\text{°/Δ m})}{(1/\text{°/Δ m} \times 10^{-3} \text{m}^3)(\text{VVGPa})} = \frac{T_r (\text{°/Δ m})}{(1/\text{°/Δ m} \times 10^{-3} \text{m}^3)(\text{VVGPa})}$$

$$T_r = 1/\text{Δ m} T_1 \quad (2)$$



$$\begin{aligned} G_1 &= 27 \text{ GPa} \\ J_1 &= \frac{\pi}{2} [(38 \text{ mm})^4 - (30 \text{ mm})^4] \\ &= 2.003 \times 10^{-8} \text{ m}^4 \end{aligned}$$

تشهای برشی. فرض می‌کنیم که شرط $\tau \leq 70 \text{ MPa}$ آلمینیوم تعیین‌کننده است. برای لوله آلمینیومی،

$$T_1 = \frac{\tau_{\text{آلمینیوم}} J_1}{c_1} = \frac{(70 \text{ MPa})(2.003 \times 10^{-8} \text{ m}^4)}{1/\text{Δ m}} = 36.9 \text{ N.m}$$

ثابت CD

$$T_{CD} = 1/\text{Δ m} T_o = 1/\text{Δ m} (71.8 \text{ N.m}) = 16.8 \text{ N.m}$$

$$\begin{aligned} \phi_{CD} &= \frac{T_{CD} L}{J G} = \frac{(16.8 \text{ N.m})(1/\text{Δ m})}{\frac{1}{4} \pi (1/\text{Δ m})^2 (125 \text{ m})^3 (1/\text{pa})} \\ &= 0.014 \text{ rad} = 1.95^\circ \end{aligned}$$

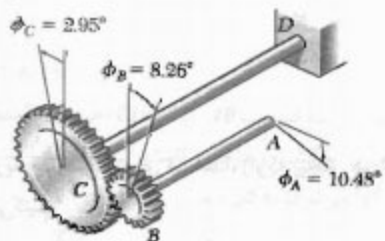
چون انتهای D از شفت CD ثابت است، $\phi_C = \phi_{CD} = 1.95^\circ$. با استفاده از (2)، زاویه چرخش چرخ دندنه B چنین است:

$$\phi_B = 1/\text{Δ m} \phi_C = 1/\text{Δ m} (1.95^\circ) = 1.95^\circ$$

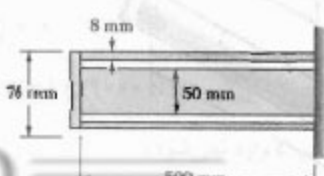
برای انتهای A از شفت AB،

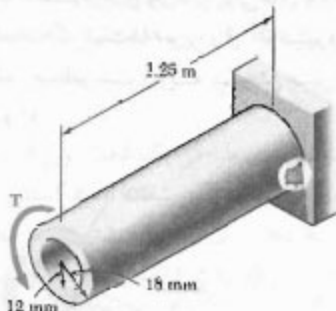
$$\phi_A = \phi_B + \phi_{A/B} = 1.95^\circ + 1.15^\circ$$

$$\phi_A = 3.1^\circ \quad \blacktriangleleft$$



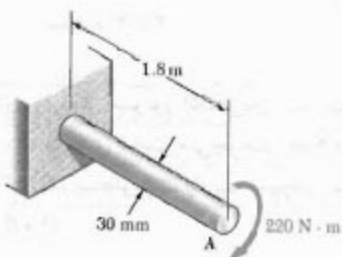
مسئله تume ۰-۳
یک شفت فولادی و یک لوله آلمینیومی به یک تکیه گاه ثابت و یک دیسک صلب با مقاطع عرضی نشان داده شده، متصل شده‌اند. اگر نش‌های اولیه صفر باشند، مراکزیم گشتاور T را که می‌توان بر دیسک وارد کرد بیابید. نش مجاز در شفت فولادی 120 MPa و در لوله آلمینیومی 70 MPa است. از $G = 77 \text{ GPa}$ برای فولاد و $G = 55 \text{ GPa}$ برای آلمینیوم استفاده کنید.





شکل ۳۱-۳

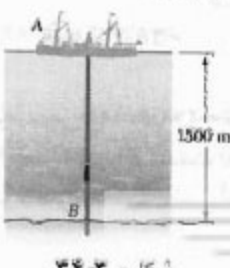
۳۲-۳ (الف) برای شفت توبیر فولادی نشان داده شده ($G = 77 \text{ GPa}$)، زاویه پیچش را در A بیابید. (ب) قسمت الف را با این فرض حل کنید که شفت فولادی دارای قطر خارجی 30 mm و قطر داخلی 20 mm است.



شکل ۳۲-۳

۳۳-۳ مطلوبست ماکریم قطر مجاز میله فولادی ($G = 77 \text{ GPa}$) به طول 3 m در صورتی که بخواهیم تنش برشی ایجاد شده در میله بر اثر پیچش 30° از 80 MPa بیشتر نشود.

۳۴-۳ یک کشتی، از نقطه A ، عملیات حفاری نفت را از کف اقیانوسی به عمق 500 m شروع کرده است. آگر نوک نوله مته فولادی ($G = 77/2 \text{ GPa}$) به قطر 200 mm قبل از شروع عملیات سرمهته B دو دور کامل بزند، ماکریم تنش برشی در لوله را بر اثر پیچش بیابد.



شکل ۳۴-۳

با استفاده از معادله (۲)، مقدار T_r را محاسبه می‌کنیم و سپس ماکریم تنش برشی را در شفت فولادی می‌یابیم.

$$T_r = \sigma_r \Delta V \Rightarrow T_r = \sigma_r \Delta V (369^\circ) = 3225 \text{ N.m}$$

$$\tau_{\text{فریز}} = \frac{T_r c_r}{J_r} = \frac{(3225 \text{ N.m})(0.025 \text{ m})}{0.614 \times 10^{-6} \text{ m}^4} = 131/3 \text{ MPa}$$

دیده می‌شود که مقدار بالا از تنش مجاز فولاد (120 MPa) بیشتر است؛ لذا، فرض ما اشتباه است. بنابراین، گشتاور ماکریم را با استفاده از $T_r = 120 \text{ MPa}$ بددست می‌آوریم. ابتدا، گشتاور T_r را می‌یابیم:

$$T_r = \frac{\tau_{\text{فریز}} J_r}{c_r} = \frac{(120 \text{ MPa})(0.614 \times 10^{-6} \text{ m}^4)}{0.025 \text{ m}} = 2950 \text{ N.m}$$

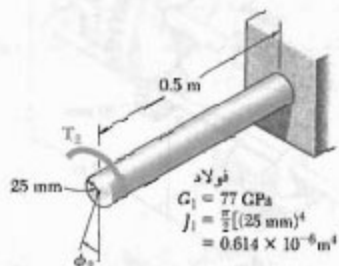
از معادله (۲)،

$$2950 \text{ N.m} = \sigma_r \Delta V \Rightarrow T_r = 3375 \text{ N.m}$$

با استفاده از معادله (۱)، ماکریم گشتاور مجاز را بدست می‌آوریم:

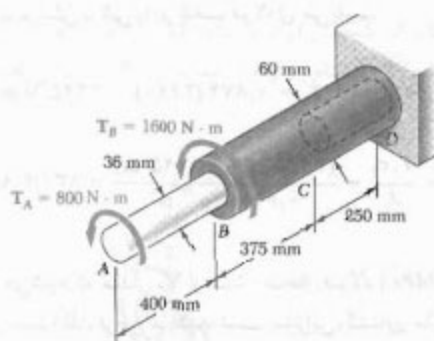
$$T_s = T_r + T_v = 3375 \text{ N.m} + 2950 \text{ N.m}$$

$$T_s = 7/325 \text{ kN.m} \quad \blacktriangleleft$$



مسائل

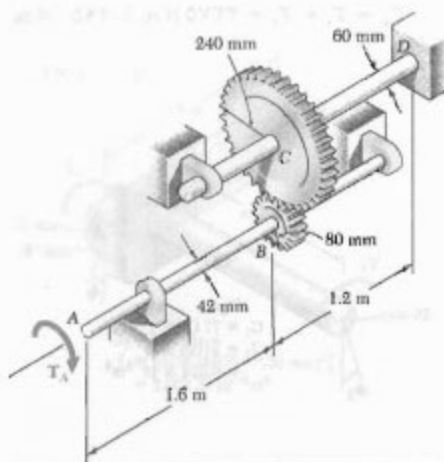
۳۱-۳ برای شفت آلومینیومی نشان داده شده ($G = 27 \text{ GPa}$)، مطلوبست: (الف) گشتاور T که باعث زاویه پیچش 40° می‌شود، (ب) زاویه پیچش که همان گشتاور T را در شفت توبیر استوانه‌ای با همان طول و مقاطع عرضی ایجاد می‌کند.



شکل ۳۷-۳

۳۸-۳ مسئله ۳۷-۳ را با این فرض حل کنید که قسمت به صورت یک میله توبیر به قطر ۶۰ mm و به طول ۶۲۵ mm باشد.

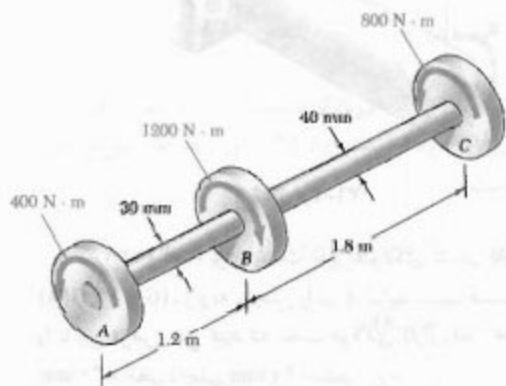
۳۹-۳ دو شفت توبیر فولادی ($G = 77 \text{ GPa}$) توسط چرخ‌دهای نشان داده شده بهم متصل شده‌اند. زاویه چرخش انتهای A را بر اثر اعمال $T_A = 1200 \text{ N}\cdot\text{m}$ باید.



شکل ۳۹-۳

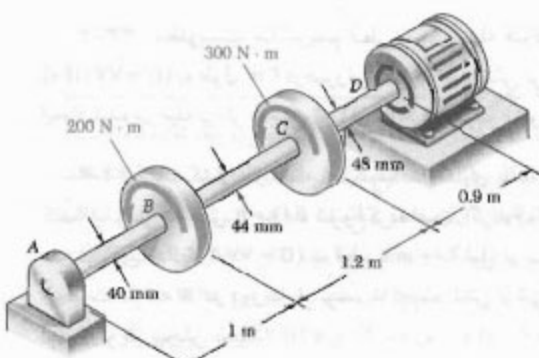
۴۰-۳ مسئله ۳۹-۳ را با این فرض حل کنید که قطر مر شفت ۱۵۲ mm است.

۳۵-۳ گشتاورهای واردہ بر پولی‌های A و B در شکل نشان داده شده‌اند. اگر شفت‌ها توپر و از آلومینیوم ($G = 77 \text{ GPa}$) باشند، مطلوبست زاویه پیچش بین: (الف) A و B، (ب) C و A



شکل ۳۵-۳

۳۶-۳ گشتاور واردہ از موتور الکتریکی به شفت آلومینیومی ABCD، که با نتی ثابت می‌چرخد، $500 \text{ N}\cdot\text{m}$ است. اگر $G = 77 \text{ GPa}$ ، مطلوبست زاویه پیچش بین: (الف) D و B (ب) C، B (c) A



شکل ۳۶-۳

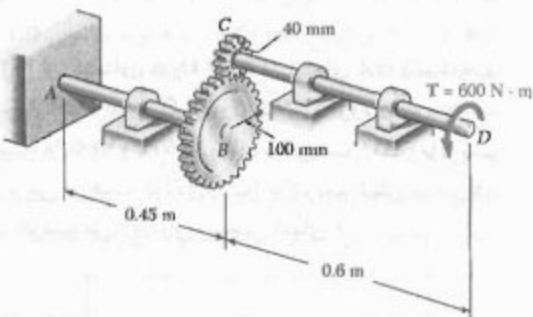
۳۷-۳ میله آلومینیومی AB ($G = 77 \text{ GPa}$) به میله برجی BD ($G = 77 \text{ GPa}$) متصل است. اگر قسمت CD از میله برجی ترکالی و دارای قطر داخلی ۴۰ mm باشد، زاویه پیچش آرا باید.

۴۱-۲ مسئله ۴۱-۲ را با این فرض حل کنید که شعاع چرخ دنده B برابر با 150 mm و شعاع چرخ دنده E برابر با 110 mm باشد.

۴۵-۳ مشخصه های طراحی یک شفت توبیر استوانه ای به طول 2 m ایجاد می کند که وقتی شفت تحت گشتاور $V\text{kN.m}$ قرار می گیرد، زاویه پیچش آن از 5° بیشتر نشود. مطلوب است قطر شفت در صورتی که شفت: (الف) از فولاد با تنش برنش مجاز باشد، (ب) از AVMPa و مدول صلابت 77 GPa تشکیل شده باشد.

۴۶-۳ مشخصه های طراحی یک شفت توبیر استوانه ای به طول 1 m ایجاد می کند که وقتی شفت تحت گشتاور فشار می گیرد، زاویه پیچش آن از 4° بیشتر نشود. مطلوب است قطر شفت در صورتی که شفت از فولاد با تنش برنش مجاز باشد، (الف) از 90 MPa و مدول صلابت $77/2\text{ GPa}$ تشکیل شده باشد.

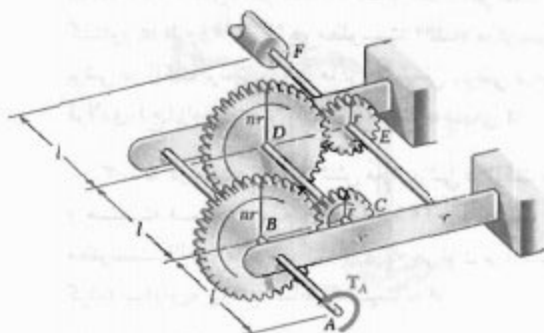
۴۷-۳ طراحی سیستم چرخ دنده - شفت نشان داده شده ایجاد می کند که شفت های فولادی AB و CD دارای قطر یکسان باشند، و نیز $d_{max} \leq 55\text{ MPa}$ و زاویه چرخش انتهای از شفت CD بیشتر از 2° نشود. اگر $G = 77\text{ GPa}$ ، قطر مورد نیاز شفت ها را بیابید.



شکل ۴۷-۳ و ۴۸-۳

۴۸-۳ در مجموعه نشان داده شده، قطر شفت ها عبارتند از $d_{CD} = 38\text{ mm}$ و $d_{AB} = 50\text{ mm}$. اگر $G = 77\text{ GPa}$ ، زاویه چرخش انتهای D را بیابید.

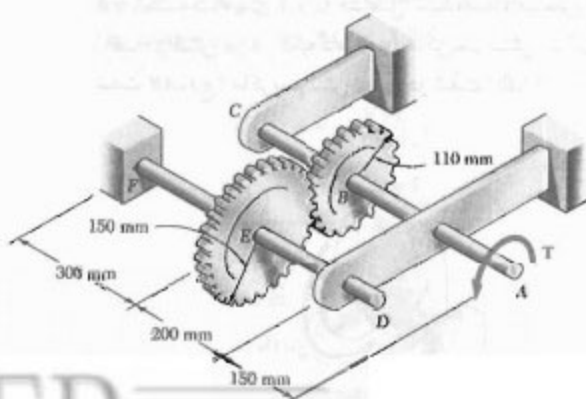
۴۱-۳ کلکنار F ، که برای ثبت دیجیتالی چرخش شفت A به کار می رود، توسط زنجیره چرخ دنده ای نشان داده شده به این شفت متصل شده است. زنجیره از چهار چرخ دنده و سه شفت توبیر فولادی، هر کدام به قطر d ، تشکیل شده است. دو نا از چرخ دنده ها به شعاع r و دو نای دیگر به شعاع nr هستند. اگر از چرخش کلکنار F جلوگیری شود، زاویه چرخش انتهای A را بر حسب J ، I ، T ، r ، nr و d بیابید.



شکل ۴۱-۳

۴۲-۳ برای زنجیره چرخ دنده ای در مسئله ۴۲-۳، زاویه چرخش انتهای A را برای $J = 6^\circ\text{ mm}$ ، $I = 75\text{ N.m}$ ، $T = 75\text{ N.m}$ و $n = 2$ بیابید. $G = 77\text{ GPa}$ ، $d = 4\text{ mm}$

۴۳-۳ دو شفت، هر یک به قطر 22 mm ، توسط چرخ دنده های نشان داده شده به هم متصل شده اند. اگر $G = 77\text{ GPa}$ و شفت در F ثابت باشد، زاویه چرخش انتهای A را بر اثر اعمال گشتاور 120 N.m بیابید.

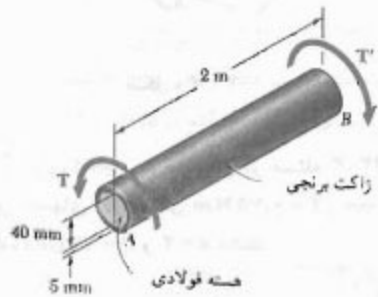


شکل ۴۳-۳

۵۳-۳ شفت مرکب نشان داده شده با اعمال گشتاور T در انتهای A می‌بیچد. اگر مدول صلابت فولاد و آلمینیوم، به ترتیب، $VV\text{ GPa}$ و $7V\text{ GPa}$ باشد، مطلوبست بیشترین زاویه چرخش انتهای A در صورتیکه بخواهیم تنش‌ها از مقادیر مجاز $\tau = 60 \text{ MPa}$ و $\tau = 45 \text{ MPa}$ = اولوپر، بیشتر نشوند.

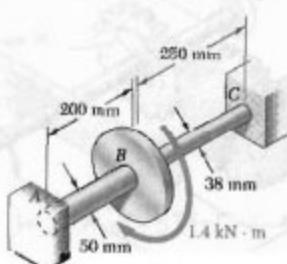
۵۴-۳ شفت مرکب نشان داده شده مشکل است از ژاکت برنجی ($G = 39 \text{ GPa}$) به ضخامت 5 mm که به هسته فولادی ($G = VV/2 \text{ GPa}$) به قطر 40 mm متصل است. اگر شفت تحت گشتاور 600 N.m قرار گیرد، مطلوبست: (الف) ماکریسم تنش برشی در هسته ژاکت برنجی، (ب) ماکریسم تنش برشی در هسته فولادی، (ج) زاویه پیچش انتهای B نسبت به انتهای A .

۵۵-۳ در مسئله ۵۴-۳، تنش مجاز برشی در ژاکت برنجی هست فولادی، به ترتیب، 20 MPa و 45 MPa است. مطلوبست: (الف) ماکریسم گشتاوری، که می‌توان بر ژاکت وارد کرد، (ب) زاویه پیچش متاظر B نسبت به A



شکل م ۵۴-۳ و م ۵۵-۳

۵۶-۳ دو شفت توپر فولادی ($G = VV/2 \text{ GPa}$) به دیسک و تکیه گاههای A و C متصل شده‌اند، مطلوبست: (الف) واکنش در هر تکیه گاه، (ب) ماکریسم تنش برشی در شفت AB ، (ج) ماکریسم تنش برشی در شفت BC .

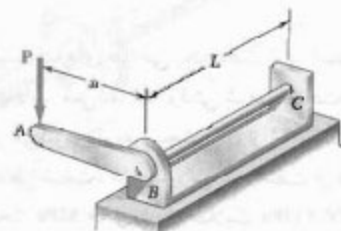


شکل م ۵۶-۳

۴۹-۳ میله توپر استوانه‌ای BC به بازوی صلب AB و به تکیه گاه ثابت C متصل است. نیروی عمودی P که در A وارد می‌شود تغییرشکل Δ را در نقطه A ایجاد می‌کند. نشان دهید که ماکریسم تنش برشی تو میله عبارت است از:

$$\tau = \frac{Gd}{2L_a} \Delta$$

که در آن d قطر میله و G مدول صلابت است.



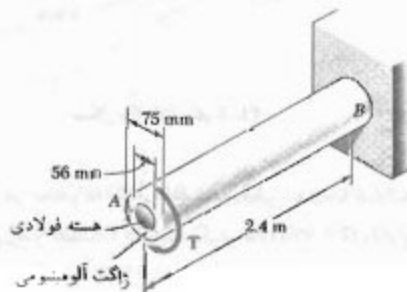
شکل م ۴۹-۳ و م ۵۰-۳

۵۰-۳ و ۵۱-۳ میله توپر استوانه BC به طول $L = 0.6 \text{ m}$ به بازوی صلب AB ، به طول $a = 0.4 \text{ m}$ ، و به $P = 400 \text{ N}$ متصل است. تغییر مکان A تحت بار P نباید از 25 mm بیشتر شود. قطر میله را در شرایط زیر باید:

$$G = VV \text{ GPa}, \quad \tau_{max} = 50 \text{ MPa};$$

$$G = VV \text{ GPa}, \quad \tau_{max} = 92 \text{ MPa}; \quad 51-3$$

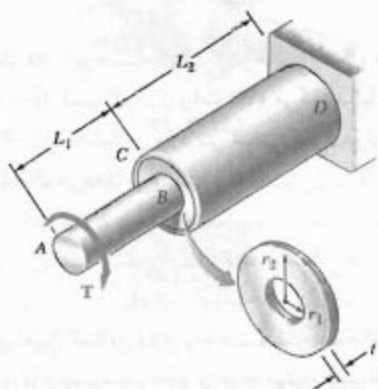
۵۲-۳ گشتاور $T = 4 \text{ kN.m}$ در انتهای A از یک شفت مرکب وارد شده است. اگر مدول صلابت فولاد و آلمینیوم، به ترتیب، $VV\text{ GPa}$ و $7V\text{ GPa}$ باشد، مطلوبست: (الف) ماکریسم تنش برشی در هسته فولادی، (ب) ماکریسم تنش برشی در ژاکت آلمینیومی، (ج) زاویه پیچش انتهای A .



شکل م ۵۲-۳ و م ۵۳-۳

۶۲-۳ از یک ورق حلقوی با ضخامت t و مدول صلابت G برای اتصال شفت AB به شعاع r_1 به لوله CD با شعاع داخلی r_2 استفاده شده است. اگر گشتاور T بر انتهای AB از شفت AB وارد شود و انتهای D لوله CD ثابت باشد، (الف) مقدار و مکان ماکریم تنش برشی در ورق حلقوی را باید، (ب) نشان دهد که زاویه چرخش انتهای B نسبت به انتهای C لوله CD برابر است از:

$$\phi_{BC} = \frac{T}{4\pi G t} \left(\frac{1}{r_1} - \frac{1}{r_2} \right)$$



شکل ۶۲-۳ و ۶۳-۳

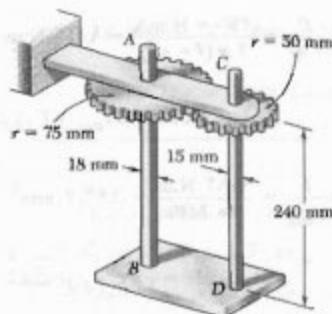
۶۳-۳ از ورق حلقوی به برنجی ($G = 39 \text{ GPa}$ ، با ضخامت $t = 6 \text{ mm}$ ، برای اتصال شفت برنجی AB ، به طول $L_1 = 50 \text{ mm}$ و شعاع $r_1 = 30 \text{ mm}$ ، به لوله برنجی CD ، به طول $L_2 = 125 \text{ mm}$ ، شعاع داخلی $r_2 = 75 \text{ mm}$ و ضخامت 2 mm استفاده شده است. اگر گشتاور $T = 2,8 \text{ kN.m}$ ، از شفت AB وارد شود و انتهای D از لوله CD ثابت باشد، مطلوبست: (الف) ماکریم تنش برشی در سیستم شفت-لوله، (ب) زاویه چرخش انتهای A . (راهنمایی: از فرمول بدست آمده در مسئله ۶۲-۳ برای حل قسمت ب استفاده کنید).

۷-۳ طراحی شفتهای انتقال قدرت

مشخصات اصلی در طراحی یک شفت انتقال قدرت عبارتند از قدرتی که شفت باید انتقال دهد، و سرعت چوخش شفت. نقش طراح، انتخاب ماده و ابعاد مقطع عرضی شفت است، به طوری که ماکریم تنش برشی در ماده هنگام انتقال قدرت در یک سرعت مشخص شده از مقدار مجاز خود بیشتر نشود.

۵۷-۳ در مسئله ۵۶-۳، شفت AB را با یک شفت توخالی جایگزین کنید که دارای همان قطر خارجی و با قطر داخلی 25 mm باشد.

۵۸-۲ یا جلوگیری از چرخش انتهای پایینی هر شفت، گشتاور $A = 80 \text{ N.m}$ بر انتهای A از شفت AB وارد می شود. اگر برای هر دو شفت $G = 77 \text{ GPa}$ ، مطلوبست: (الف) ماکریم تنش برشی در شفت CD ، (ب) زاویه چرخش انتهای A .



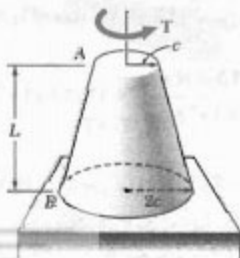
شکل ۵۸-۲

۵۸-۳ مسئله ۵۸-۳ را با این فرض حل کنید که گشتاور $B = 80 \text{ N.m}$ بر انتهای C از شفت CD وارد شود.

۴-۳ یک شفت توپر و یک شفت توخالی از ماده یکسان و با وزن و طول یکسان ساخته شده‌اند. اگر $\sigma_c/\sigma_t = \pi/c_1$ ، نشان دهید که نسبت گشتاور T_h در شفت توپر به گشتاور T_b در شفت توخالی، T_h/T_b ، برابر است با: (الف) $(1 + n^2)/\sqrt{1 - n^2}$ در صورتی که ماکریم تنش برشی در هر شفت دارای مقدار یکسان باشد، (ب) $(1 + n^2)/(1 - n^2)$ در صورتی که زاویه چرخش هر دو شفت یکسان باشد.

۴۱-۳ گشتاور T ، مطابق شکل، بر شفت توپر مخروطی AB وارد می شود، با انتگرالگیری نشان دهید که زاویه چرخش در انتهای A عبارت است از:

$$\phi = \frac{\sqrt{TL}}{12\pi G c^3}$$



شکل ۴۱-۳

از دینامیک می‌دانیم که قدرت P برای جسم صلب پرخانه که تحت گشتاور T قرار دارد چنین است:

$$P = T\omega \quad (۱۹-۳)$$

که در آن، ω سرعت زاویه‌ای جسم بر حسب رادیان بر ثانیه است. اما $\omega = 2\pi f$ ، که در آن f فرکانس دوران (تعداد دوران‌ها در یک ثانیه) است. واحد فرکانس $1/s$ است و آن را هertz (HZ) می‌گویند. با جایگذاری ω در معادله (۱۹-۳)،

$$P = 2\pi f T \quad (۲۰-۳)$$

در آناد SI، بر حسب T ، HZ بر حسب $N.m$ و قدرت P بر حسب $N.m/s$ است که آن را وات (W) می‌گویند. با حل T از معادله (۲۰-۳)، گشتاور وارد بر شفتی که قدرت P را در فرکانس کران‌انتقال می‌دهد می‌باشیم:

$$T = \frac{P}{2\pi f} \quad (۲۱-۳)$$

پس از تعیین گشتاور وارد بر شفت و انتخاب ماده، طراح مقادیر T و ماکریم تنش مجاز را در فرمول پیش‌الاستیک (۹-۳) قرار می‌دهد. با حل J/c از

$$\frac{J}{c} = \frac{T}{\tau_{max}} \quad (۲۲-۳)$$

به این ترتیب، می‌بینیم مقدار مجاز پارامتر J/c به دست می‌آید. در آناد SI، بر حسب T ، N.m بر حسب τ_{max} ، N.m و (N/m^2) Pa بر حسب m^2 است. در یک شفت توپر استوانه‌ای، $J = \frac{1}{4}\pi c^4$ و $J/c = \frac{1}{4}\pi c^3$ ؛ با جایگذاری در معادله (۲۲-۳) و با حل c ، می‌بینیم مقدار مجاز برای شعاع شفت به دست می‌آید. در یک شفت استوانه‌ای توخالی، J/c ، پارامتر تعیین‌کننده است (c) شعاع خارجی شفت است؛ مقدار این پارامتر را از معادله (۱۱-۳) می‌توان تعیین و اولرسی کرد که آیا مقطع عرضی داده شده قابل قبول است یا نه.

مثال ۳-۶

اندازه شفت روتور موتوری به قدرت $2,770\text{ kW}$ که با 2600 rpm می‌چرخد چقدر باید تا تنش برخی در شفت از 20 MPa بیشتر نشود؟

ایندا قدرت موتور را بر حسب N.m/s و فرکانس آن را بر حسب سیکل بر ثانیه (هرتز) بیان می‌کنیم.

$$P = 2,770\text{ kW} = 27700\text{ N.m/s}$$

$$f = (2600\text{ rpm}) \frac{1\text{ Hz}}{60\text{ rpm}} = 43.3\text{ Hz} = 43.3\text{ s}^{-1}$$

گشتاور وارد بر شفت را از معادله (۲۱-۳) می‌باشیم:

$$T = \frac{P}{2\pi f} = \frac{27700\text{ N.m/s}}{2\pi(43.3\text{ s}^{-1})} = 98.7\text{ N.m}$$

با جایگذاری T و τ_{max} در معادله (۲۲-۳)،

$$\frac{J}{c} = \frac{T}{\tau_{max}} = \frac{98.7\text{ N.m}}{20\text{ MPa}} = 4.937\text{ mm}^4$$

برای یک شفت توپر، $J/c = \frac{1}{4}\pi c^3$. بنابراین،

$$\frac{1}{4}\pi c^3 = 4.937\text{ mm}^4$$

$$c = 2.7\text{ mm}$$

$$d = 2c = 5.4\text{ mm}$$

از شفتی به قطر 5.4 mm استفاده می‌شود.

مثال ۳-۷

شفتی که از یک لوله فولادی با قطر خارجی 50 mm تشکیل شده است قدرت 100 kW را در فرکانس دوران 20 Hz هertz انتقال می‌دهد. مطلوب است ضخامت لوله به طوری که تنش برخی از 60 MPa بیشتر نشود.

گشتاور وارد بر شفت را از معادله (۲۱-۳) می‌باشیم:

$$T = \frac{P}{2\pi f} = \frac{100 \times 10^3\text{ W}}{2\pi(20\text{ Hz})} = 795.8\text{ N.m}$$

حداقل مقدار J/c را از معادله (۲۲-۳) تعیین می‌کنیم:

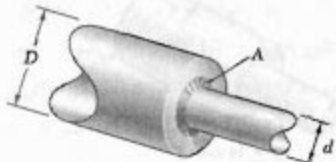
$$\frac{J}{c} = \frac{T}{\tau_{max}} = \frac{795.8\text{ N.m}}{60 \times 10^6\text{ N/m}^2} = 12.92 \times 10^{-9}\text{ m}^4 \quad (۲۳-۳)$$

از معادله (۱۰-۳)،

$$\frac{J}{c} = \frac{\pi}{4} (c_2^4 - c_1^4) = \frac{\pi}{4} [(0.025)^4 - c_1^4] \quad (۲۴-۳)$$

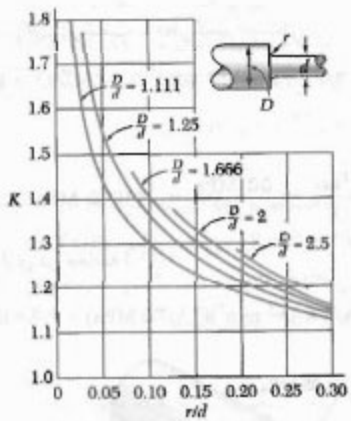
به وجود می آید. مثلاً، در شکل ۳۱-۳ تنش بزرگی در مقطع A به وجود آمده است. این تنش ها را با استفاده از گردد (ماهیجه) می توان کاهش داد. ماکزیمم مقدار تنش برشی در گردد چنین است:

$$r_{max} = K \frac{Tc}{J} \quad (25-2)$$



شکل ۳۱-۳

که در آن، Tc/J تنشی است که برای شفت با قطر کمتر محاسبه شده، و K ضریب تمرکز تنش است. ضریب K فقط به نسبت دو قطر و نسبت شعاع گردد به قطر شفت گوچکتر بستگی دارد. لذا، آن را می توان محاسبه و به صورت جدول یا نمودار نشان داد (شکل ۳۲-۳). گفتنی است که تعیین تنش های برشی موضعی بالین روش فقط تا وقتی صحت دارد که مقدار r_{max} از حد تابع ماده بیشتر نشود، زیرا مقدار K در شکل ۳۲-۳ بر مبنای رابطه خطی بین تنش برشی و کرنش برشی است. اگر تغییر شکل پلاستیکاروی دهد، تنش ماکزیمم از آنجه که با معادله (۲۵-۲) بدست می آید کمتر خواهد بود.



شکل ۳۲-۳ ضریب تمرکز تنش برای گردها در شفت های دایره ای.

سمت راست معادله های (۲۲-۳) و (۲۴-۳) را مساوی هم قرار می دهیم:

$$(0.925)^2 - c_1^2 = \frac{0.050}{\pi} (13.26 \times 10^{-3})$$

$$c_1^2 = 39.06 \times 10^{-4} - 211.0 \times 10^{-4} = 178.6 \times 10^{-4} \text{ m}^2$$

$$c_1 = 20.6 \times 10^{-2} \text{ m} = 20.6 \text{ mm}$$

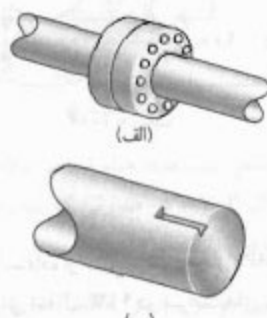
ضخامت لوله چنین است:

$$c_t - c_1 = 25 \text{ mm} - 20.6 \text{ mm} = 4.4 \text{ mm}$$

از لوله ای با ضخامت ۵ mm استفاده می شود.

۸-۳ تمرکز تنش در شفت های دایره ای

فرمول $r_{max} = Tc/J = 4-3$ برای یک شفت دایره ای با مقطع عرضی یکتواخت به کار می رود. به علاوه، در قسمت ۳-۳ فرض شد که شفت از طریق صفحات صلبی که به دو انتهای شفت متصل آند از دو انتهای بارگذاری می شود. ولی، در عمل، گشتاورها عمولاً از طریق کوپلینگ های فلانجی بر شفت وارد می شوند (شکل ۳۰-۳). در هر دو حالت، ممکن است در مقطعی که بر آن گشتاور وارد می شود، یا در نزدیک آن، توزیع تنش را نتوان با فرمول پیچش داده شده در بالا بیان کرد. مثلاً، تمرکز تنش بزرگی در مجاورت خار شکل ۳۰-۳ ب وجود می آید. برای تعیین این تنش های موضعی می توان از روش های آزمایشی، و گاهی از نظریه الاستیتی استفاده کرد.



شکل ۳۰-۳

طبق قسمت ۴-۳، از فرمول پیچش برای شفت با مقطع عرضی متغیر دایره ای نیز می توان استفاده کرد. ولی، در مقطع عرضی شفتی که قطر آن ناگهان تغییر می کند، تمرکز تنش

$$\text{تقریباً، } f = (900 \text{ rpm}) \frac{1 \text{ Hz}}{\frac{60}{\text{min}}} = 15 \text{ Hz} = 15 \text{ s}^{-1}$$

می‌تویسیم:

$$P_a = 2\pi f T = 2\pi (15 \text{ s}^{-1})(696 \text{ N.m}) = 656 \text{ kN.m/s}$$

$$= 656 \text{ kW}$$

$$P_a = 656 \text{ kW} \quad \blacktriangleleft$$

ب. طرح نهایی برای $r = 24 \text{ mm}$

$$\frac{D}{d} = 2 \quad \frac{r}{d} = \frac{24 \text{ mm}}{95 \text{ mm}} = 0.25 \quad K = 1.2$$

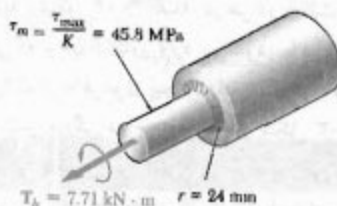
با استفاده از روش بالا، می‌تویسیم:

$$\frac{\tau_{\max}}{K} = \frac{55 \text{ MPa}}{1.2} = 45.8 \text{ MPa}$$

$$T = \frac{J}{c} \frac{\tau_{\max}}{K} = (168/3 \times 10^7 \text{ mm}^2) (45.8 \text{ MPa})$$

$$= 771 \text{ kN.m}$$

$$P_b = 2\pi f T = 2\pi (15 \text{ s}^{-1})(771 \text{ N.m}) = 771 \text{ kW}$$



درصد تغییر قدرت:

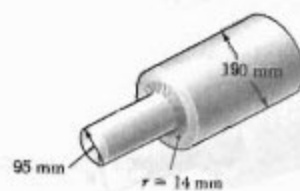
$$\frac{P_b - P_a}{P_a} = 100 \cdot \frac{771 - 656}{656} = 100 \cdot \frac{115}{656} = +17.8\%$$

۶۴-۳ با استفاده از تنش برشی مجاز 30 MPa ، یک شفت توپر فولادی برای انتقال 9 kW در سرعت‌های زیر طراحی کنید:
(الف) 2400 rpm ، (ب) 1200 rpm

۶۵-۳ با استفاده از تنش برشی مجاز 15 kW در فرکانس‌های زیر طراحی کنید: (الف) 60 Hz ، (ب) 30 Hz

مسئله نمونه ۶-۳

شافت پلای ای نشان داده شده با 900 rpm می‌چرخد و قادرت را از توربین به رُنراتور انتقال می‌دهد. فولاد به کار رفته دارای تنش برشی مجاز 55 MPa است. (الف) در طرح اولیه، ماسکریم قدرتی را که می‌توان انتقال داد بیابید. (ب) اگر شعاع گردد در طرح نهایی به $r = 24 \text{ mm}$ افزایش یابد، درصد تغییر قدرت انتقالی چقدر است؟



حل

الف. طرح اولیه. با استفاده از شکل ۳۲-۳

$$r = 14 \text{ mm}, d = 95 \text{ mm}, D = 190 \text{ mm}$$

$$\frac{D}{d} = \frac{190 \text{ mm}}{95 \text{ mm}} = 2 \quad \frac{r}{d} = \frac{14 \text{ mm}}{95 \text{ mm}} = 0.15$$

از شکل ۳۲-۳

کستاور. با توجه به معادله (۲۵-۳)،

$$\tau_{\max} = K \frac{Tc}{J} \Rightarrow T = \frac{J}{c} \frac{\tau_{\max}}{K} \quad (1)$$

که در آن، J/c برای شفت با قطر کمتر است:

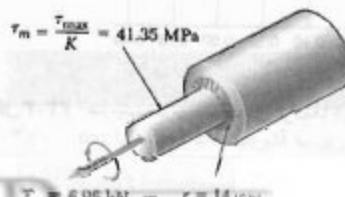
$$J/c = \frac{1}{4} \pi c^3 = \frac{1}{4} \pi (47.5 \text{ mm})^3 = 168/3 \times 10^7 \text{ mm}^3$$

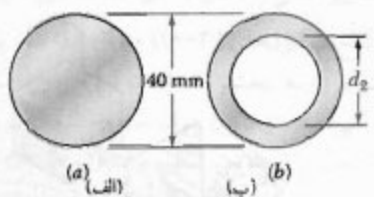
و در آن

$$\frac{\tau_{\max}}{K} = \frac{55 \text{ MPa}}{1.23} = 45.8 \text{ MPa}$$

با جایگذاری در معادله (۱)،

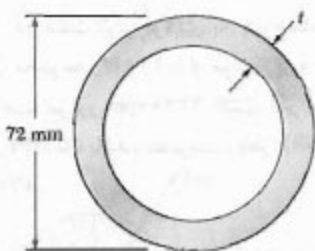
$$T = (168/3 \times 10^7 \text{ mm}^3)(45.8 \text{ MPa}) = 6.96 \text{ kN.m}$$





شکل ۷۲-۳م

۷۳-۳ از یک لوله فولادی با قطر خارجی ۷۲ mm برای انتقال گشتاور 250 N.m استفاده می‌شود و تنش برشی نباید از مقدار مجاز 55 MPa بیشتر شود. مجموعه‌ای از لوله‌ها با قطر خارجی ۷۲ mm در دسترس است. اگر ضخامت لوله‌ای موجود از 4 mm تا 10 mm با انواعی 2 mm ، تغییر کند، سبک‌ترین لوله‌ای را که می‌توان به کار برد باید.



شکل ۷۳-۳

۷۴-۳ شفت توپر فولادی به طول $2,5 \text{ m}$ در فرکانس 25 Hz قدرت 10 kW را انتقال می‌دهد. اگر $G = 77,2 \text{ GPa}$ و تنش مجاز برشی 30 MPa باشد، قدرت شفت را باید پیچش نباید از 3° بیشتر شود.

۷۵-۳ شفت توپر فولادی به طول $1,5 \text{ m}$ و به قطر 22 mm قدرت 12 kW را انتقال می‌دهد. اگر $G = 77,2 \text{ GPa}$ و تنش مجاز برشی 30 MPa باشد، فرکانس مینیمم را بسایید. زاویه پیچش نباید از $3,5^\circ$ بیشتر شود.

۷۶-۳ دو شفت توپر فولادی به چرخ‌داندهای متصل شده‌اند. این مجموعه، 12 kW را از موتور A به ماشین ابزار D می‌دهد. سرعت موتور 1260 rpm است. اگر قطر هر شفت 20 mm باشد، مطلوبست ماکزیمم تنش برشی: (الف) در شفت AB ، (ب) در شفت CD .

۶۶-۲ مطلوبست ماکزیمم تنش برشی در شفت توپری به قطر 12 mm که $2,5 \text{ kW}$ را در فرکانس‌های زیر انتقال می‌دهد:

(الف) 25 Hz ، (ب) 25 Hz ، (الف) 28 mm ، (ب) 55 kW را در سرعت‌های زیر انتقال می‌دهد:

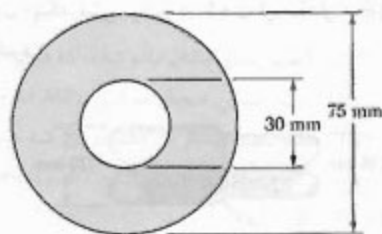
۶۷-۲ مطلوبست ماکزیمم تنش برشی در شفت توپری به قطر 28 mm که 55 kW را در سرعت‌های زیر انتقال می‌دهد:

(الف) 750 rpm ، (ب) 1500 rpm

۶۸-۲ یک شفت محرك فولادی به طول $1,8 \text{ m}$ و با قطرهای خارجی و داخلی 56 mm و 42 mm است و 180 kW را در 1800 rpm انتقال می‌دهد. مطلوبست: (الف) ماکزیمم تنش برشی، (ب) زاویه پیچش شفت ($G = 77 \text{ GPa}$).

۶۹-۳ یکی از دو شفت توخالی محرك یک کشته اقیلوس پیما به طول 40 m است، و قطرهای خارجی و داخلی آن، به ترتیب، 400 mm و 200 mm است. شفت از فولاد با مشخصات $G = 77,2 \text{ GPa}$ و $\tau_{all} = 60 \text{ MPa}$ ساخته شده است. اگر ماکزیمم سرعت دوران شفت 160 rpm باشد، مطلوبست: (الف) ماکزیمم قدرتی که می‌توان توسط یک شفت به پروانه انتقال داد، (ب) زاویه متناظر پیچشی شفت.

۷۰-۲ یک شفت فولادی با مقطع عرضی نشان داده شده با 120 rpm می‌چرخد، و استریووسکوب نشان می‌دهد که زاویه پیچش برای طول $3,6 \text{ m}$ برابر با 2° است. با استفاده از $G = 77 \text{ GPa}$ ، قدرت انتقال یافته را بسایید.

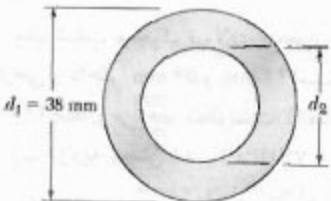


شکل ۷۰-۳

۷۱-۳ مطلوبست ضخامت شفت لوله‌ای به ضخامت 50 mm در مثال ۷-۳ در صورتی که بخواهیم در فرکانس 40 Hz قدرت قبل را انتقال دهد.

۷۲-۳ می‌خواهیم شفتی با قطر خارجی 40 mm طرح کنیم که 45 kW را انتقال دهد. (الف) اگر سرعت دوران 720 rpm باشد، ماکزیمم تنش برشی را در شفت (a) بسایید. (ب) اگر سرعت دوران را $7,5\%$ افزایش و به 1080 rpm برسانیم، مطلوبست بیشترین قطر داخلی شفت (b) به طوری که ماکزیمم تنش برشی در دو شفت یکسان باشد.

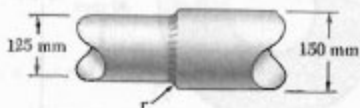
۸۲-۳ یک شفت لوله‌ای به طول $1,6\text{ m}$ و با قطر خارجی 12 mm از فولاد با $d_1 = 38\text{ mm}$ ساخته شده است. اگر زاویه پیچش هنگام اعمال گشتاور 60° N.m نباید از 4° بیشتر شود، پوزیشن قدرت داخلی D را باید:



شکل ۸۲-۳ و ۸۳-۳

۸۳-۳ یک شفت توانایی فولادی، به طول $1,5\text{ m}$ و با قطر داخلی $d_1 = 30\text{ mm}$ ، دارای قطر داخلی d_2 است و 100 kW بین توربین و ژنراتور انتقال می‌دهد. سرعت دوران شفت را باید، در صورتی که $G = VV/2\text{ GPa}$ و تنش مجاز برش 40 MPa باشد. زاویه پیچش نباید از 3° بیشتر شود.

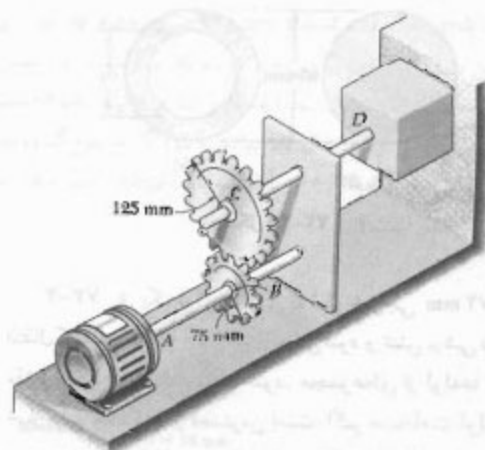
۸۴-۳ شفت پلهای نشان داده شده با 45° rpm می‌چرخد. اگر $r = 12\text{ mm}$ ، مطلوبست ماکریم قدرتی که می‌توان انتقال داد بدون اینکه تنش برشی در شفت از مقدار مجاز 40 MPa بیشتر شود.



شکل ۸۴-۳ و ۸۵-۳

۸۵-۳ شفت پلهای نشان داده شده با 45° rpm می‌چرخد. اگر $r = 5\text{ mm}$ ، مطلوبست ماکریم قدرتی که می‌توان انتقال داد بدون اینکه تنش برشی در شفت از مقدار مجاز 50 MPa بیشتر شود.

۸۶-۳ اگر شفت پلهای نشان داده شده 45 kW را در 2100 rpm انتقال دهد، مطلوبست مینیمم شعاع r گردد در صورتی که بخواهیم تنش در شفت از مقدار مجاز 50 MPa بیشتر نشود.



شکل ۷۶-۳ و ۷۷-۳

۷۷-۳ دو شفت توبیر فولادی به چرخ‌دانه‌های متصل شده‌اند. این مجموعه، 12 kW را از موتور A به ماشین ایزلاز D می‌دهد. سرعت موتور 1260 rpm است. اگر ماکریم تنش مجاز برشی 55 MPa باشد، مطلوبست قطر: (الف) شفت AB و (ب) شفت CD .

۷۸-۳ یک شفت فولادی 150 kW را در سرعت 360 rpm انتقال می‌دهد. اگر $G = VV/2\text{ GPa}$ ، شفت توبیری طرح کنید که ماکریم تنش در آن از 50 MPa و زاویه پیچش آن در طول $2,5\text{ m}$ از 3° بیشتر نشود.

۷۹-۳ یک شفت فولادی به طول $2,5\text{ m}$ و بدفتر 30 mm با فرکانس 20 Hz می‌چرخد. اگر $G = VV/2\text{ GPa}$ و تنش مجاز برشی 50 MPa باشد، ماکریم قدرتی را که شفت می‌تواند انتقال دهد باید. زاویه پیچش تباید از $7,5^\circ$ بیشتر شود.

۸۰-۳ یک شفت فولادی به قطر 38 mm و به طول $1,2\text{ m}$ برای انتقال 45 kW بین موتور و پمپ به کار رفته است. اگر $G = VV/2\text{ GPa}$ ، مطلوبست کمترین سرعت دوران شفت که به ازای آن تنش برشی از 50 MPa و زاویه پیچش از 3° بیشتر نشود.

۸۱-۳ یک شفت توبیر فولادی، به طول $1,5\text{ m}$ و بدفتر 22 mm ، قادر $13,5\text{ kW}$ را انتقال می‌دهد. اگر $G = VV/2\text{ GPa}$ و تنش مجاز برشی 50 MPa باشد. مینیمم سرعت شفت را باید، زاویه پیچش تباید از $3,5^\circ$ بیشتر شود.

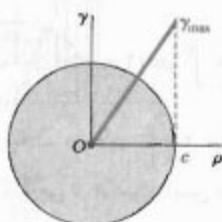
۹-۳۰ تغییر شکل پلاستیک در شفت های دایره ای

برای استنتاج فرمول های (۱۰-۲) و (۱۶-۳) که، به ترتیب، توزیع تنش و زاویه پیچش یک شفت دایره ای را تحت گشتاور T تعریف می دهند، از قانون هوك استفاده شد. اگر تنش در قسمت از شفت از استقامات تسلیم بیشتر شود، با آن قسمت از ماده شکننده ای باشد که رابطه تنش - کرنش آن غیرخطی است، فرمول های مذکور به کار نمی روند، در این قسمت می خواهیم روش کلی تری را بدست آوریم و با آن توزیع تنش در یک شفت دایره ای، و گشتاور مورده نظر برای ایجاده زاویه پیچش معینی را بیابیم.

در قسمت ۳-۳ هیچ رابطه خاصی را بین تنش - کرنش در نظر نگرفتیم، و ثابت کردیم که کرنش برشی γ بر حسب فاصله r از محور شفت به طور خطی تغییر می کند (شکل ۳۳-۳). با استفاده از این خاصیت، می نویسیم:

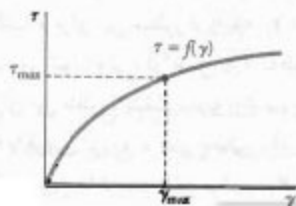
$$\gamma = \frac{r}{c} \gamma_{\max} \quad (4-3)$$

که در آن، c شعاع شفت است.

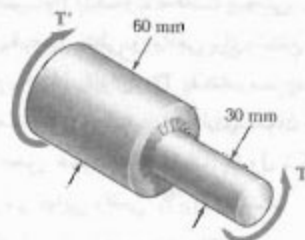


شکل ۳۳-۳

اگر ماکریسم مقدار تنش برشی معلوم باشد، نمودار τ را بر حسب r می توان رسم کرد. برای این منظور، ابتدا از نمودار تنش - کرنش برشی (شکل ۳۴-۳)، مقدار γ_{\max} را بدست می آوریم و این مقدار را در معادله (۴-۳) قرار می دهیم.



شکل ۳۴-۳



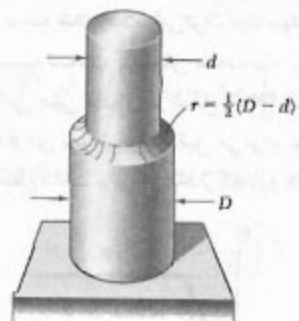
شکل ۳۵-۳ و ۸۶-۳

۸۷-۳ شفت پله ای نشان داده شده ۴۵ kW را انتقال می دهد. اگر تنش برشی مجاز در شفت 40 MPa و شعاع ۲۵^۰ mm باشد، کمترین سرعت مجاز شفت را بیابید.

۸۸-۳ گشتاور $T = 22 \text{ N.m}$ بر شفت پله ای نشان داده شده، که دارای گُرده کامل ربع دایره ای است، وارد شده است. اگر $D = 25 \text{ mm}$ مطلوب است ماکریسم تنش برشی در شفت وقتی: $d = 23 \text{ mm}$ (الف) و $d = 20 \text{ mm}$ (ب) باشد.

۸۹-۳ در شفت پله ای نشان داده شده، که دارای گُرده کامل ربع دایره ای است، تنش مجاز برشی 80 MPa است. اگر سرعت شفت 2400 rpm و تنش مجاز برشی 50 MPa باشد، ماکریسم قدرتی را که شفت می تواند انتقال دهد بیابید.

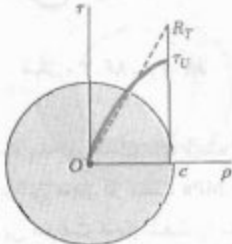
۹۰-۳ در شفت پله ای نشان داده شده، که دارای گُرده کامل ربع دایره ای است، تنش مجاز برشی 80 MPa است. اگر $D = 30 \text{ mm}$ مطلوب است بیشترین گشتاوری که می توان بر شفت وارد کرد در صورتی که: (الف) $d = 26 \text{ mm}$ و (ب) $d = 24 \text{ mm}$



گُرده ربع دایره ای که به لایه
شافت پیروگفر می پوندد

شکل ۳۶-۳ و ۸۸-۳

تش فرضی R_T را مدول شکست پیچشی می‌گویند. چون توزیع‌های فرضی خطی و واقعی برای تش در شکل ۳۶-۳ باید مقدار یکسان را برای T_U بدند، مساحت‌هایی را که این توزیع‌ها مشخص می‌کنند باید دارای معان اینترسی یکسان نسبت به محور عمودی باشند. لذا، مدول شکست R_T همواره از تش برشی نهایی واقعی τ_T بزرگ‌تر است.



شکل ۳۶-۳

گاهی، توزیع تش و گشتاور T متناظر با زاویه پیچش معین ϕ را می‌خواهیم. برای این‌منظور، از رابطه (۲-۲) استفاده می‌کیم:

$$\gamma = \frac{\rho\phi}{L} \quad (2-3)$$

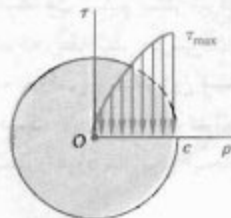
با ϕ و L معلوم، مقدار γ متناظر با هر مقدار معین ρ را می‌یابیم. با استفاده از نمودار تش-سکرنش، مقدار متناظر تش برشی τ را می‌یابیم و τ را بر حسب ρ رسم می‌کنیم. با تعیین توزیع تش برشی، گشتاور T را به طور تحلیلی با عددی می‌توان بدست آورد.

۳۶-۳-۱ شفت‌های دایره‌ای الاستوپلاستیک
با بررسی حالت ایده‌الی شفت توبید ایروهای که از ماده الاستوپلاستیک ساخته شده است، می‌توان دید بهتری از رفتار پلاستیکی شفت تحت پیچش بسدهست آورده. نمودار تش-سکرنش برشی چنین ماده‌ای در شکل ۳۷-۳ نشان داده شده است. با استفاده از این نمودار، مانند قبل می‌توان توزیع تش را در عرض یک مقطع شفت برای هر مقدار گشتاور T تعیین کرد.



شکل ۳۷-۳

سپس، برای هر مقدار ρ ، مقدار γ متناظر را از معادله (۴-۳) یا شکل ۳۳-۳ تعیین و تش برشی τ متناظر با این مقدار γ را از شکل ۳۴-۳ می‌یابیم. با ترسیم τ بر حسب ρ ، توزیع تش به دست می‌آید (شکل ۳۵-۳).



شکل ۳۵-۳

حال، می‌گوییم هنگام استنتاج معادله (۱-۳) در قسمت ۳-۲، هیچ رابطه خاصی را بین تش و کرنش برشی در نظر نگرفتیم. لذا، برای تعیین گشتاور T متناظر با توزیع تش برشی در شکل ۳۵-۳، از معادله (۱-۳) استفاده می‌کنیم. یک جزء حلقوی به شعاع ρ و به ضخامت $d\rho$ را در نظر می‌گیریم. مساحت این جزء، $dA = 2\pi\rho d\rho$ ، را در معادله ۱-۳ قرار می‌دهیم و می‌نویسیم:

$$T = \int_0^c \rho\tau (2\pi\rho d\rho) \quad (26-2)$$

$$T = 2\pi \int_0^c \rho^2\tau d\rho \quad (26-3)$$

که در آن τ تابعی از ρ است. این تابع در شکل ۳۵-۳ رسم شده است.

اگر τ تابع معلومی از ρ باشد، از معادله (۴-۳) برای تعیین تابع τ بر حسب ρ می‌توان استفاده کرد، و انتگرال (۲۶-۳) را به طور تحلیلی محاسبه کرد. در غیر این صورت، گشتاور T را با انتگرال‌گیری عددی باید محاسبه کرد. گفتنی است که انتگرال (۲۶-۳) ممان اینترسی سطح بین منحنی توزیع تش و محور افقی در شکل ۳۵-۳ نسبت به محور عمودی است.

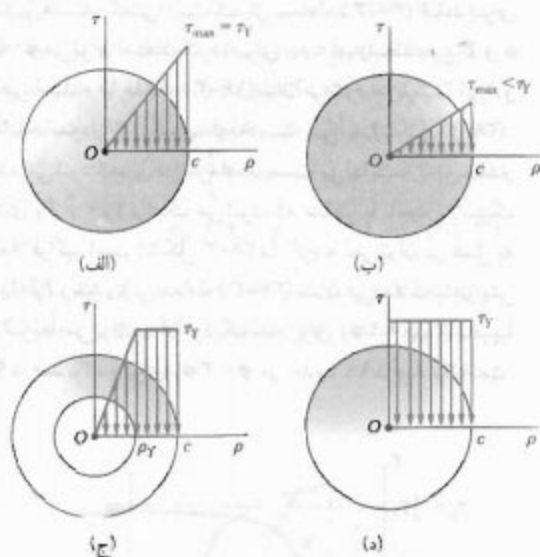
گشتاور نهایی T_U که باعث شکست شفت می‌شود عامل تعیین کننده است. این مقدار را از تش برشی نهایی τ_{max} و محاسبات می‌توان یافت و برای این متناظر از رابطه $T_U = \tau_{max} \cdot J$ می‌توان استفاده کرد. ولی، در عمل T_U به طور آزمایشی تعیین می‌شود. برای این متناظر، شفت نمونه را تحت پیچش قرار می‌دهند تا بشکند. با فرض توزیع فرضی خطی برای تش، از معادله (۹-۳) برای تعیین ماکریم تش برشی τ_T استفاده می‌شود:

$$R_T = \frac{T_U c}{J} \quad (27-3)$$

که در آن T_y ماکریم گشتاور الاستیک است، باید توجه داشت که وقتی ρ_y به صفر نزدیک می‌شود، گشتاور به مقدار حدی زیر نزدیک می‌شود:

$$T_p = \frac{4}{3} T_y \quad (33-3)$$

این گشتاور را، که متناظر با تغییر شکل کاملاً پلاستیک است (شکل ۳۸-۳ د)، گشتاور پلاستیک شفت می‌گویند. گفتنی است که معادله (۳۳-۳) فقط برای یک شفت توپر دایره‌ای الاستیک پلاستیک صحت دارد.



شکل ۳۸-۳

پس از شروع تسلیم، توزیع کرنش در عرض مقطع همچنان خطی است، لذا، معادله (۲-۳) به کار می‌رود و از آن برای تعیین شعاع ρ_y هسته الاستیک بر حسب زاویه پیچش ϕ می‌توان استفاده کرد. اگر ϕ به اندازه کافی بزرگ باشد و باعث تغییر شکل پلاستیک شود، برای تعیین شعاع ρ_y هسته الاستیک، از راه معادله (۲-۳) برابر با کرنش تسلیم γ قرار می‌دهیم و مقدار متناظر ρ_y می‌باشد:

$$\rho_y = \frac{L \gamma_y}{\phi} \quad (34-3)$$

زاویه پیچش را در شروع تسلیم، یعنی وقتی $c = \rho_y$ ، با ϕ نشان می‌دهیم. با قرار دادن $\phi = \phi_y$ و $c = \rho_y$ در معادله (۳۴-۳)،

داریم:

$$c = \frac{L \gamma_y}{\phi_y} \quad (35-3)$$

تا وقتی تنش بر بشی τ از استقامات تسلیم τ_y بیشتر شوده است، قانون موک به کار می‌رود و توزیع تنش در عرض مقطع شفت به صورت خطی است (شکل ۳۸-۳ الف). در این حالت، τ_{max} از معادله (۹-۳) بدست می‌آید:

$$\tau_{max} = \frac{T_c}{J} \quad (9-3)$$

با افزایش گشتاور، τ_{max} به مقدار τ_y می‌رسد (شکل ۳۸-۳ ب). با جایگذاری این مقدار در معادله (۹-۳) و با حل مقدار متناظر T ، مقدار T_y گشتاور در شروع تسلیم بدست می‌آید:

$$T_y = \frac{J}{c} \tau_y \quad (28-3)$$

این مقدار را ماکریم گشتاور الاستیک می‌گویند. برای یک شفت توپر دایره‌ای، $J/c = \frac{1}{4} \pi c^3$ ، خوتیجه،

$$T_y = \frac{1}{4} \pi c^3 \tau_y \quad (29-3)$$

با افزایش بیشتر گشتاور، یک ناحیه پلاستیک به شعاع ρ_y در پیرامون هسته الاستیک به وجود می‌آید (شکل ۳۸-۳ ج). در این ناحیه پلاستیک، تنش به طور یکنواخت و برابر با τ_y است؛ در حالی که تنش در هسته الاستیک بر حسب ρ به صورت خطی زیر تغییر می‌کند:

$$\tau = \frac{\tau_y}{\rho_y} \rho \quad (30-3)$$

با افزایش T ، ناحیه پلاستیک گسترش می‌باید و تغییر شکل کاملاً پلاستیک می‌شود (شکل ۳۸-۳ د).

از معادله (۲۶-۳) برای تعیین مقدار گشتاور T متناظر با شعاع ρ_y هسته الاستیک استفاده می‌شود. چون τ در گستره $\rho \leq \rho_y \leq c$ با معادله (۳۰-۳) داده می‌شود و در گستره $\rho_y \leq \rho \leq c$ برابر با τ_y است، می‌نویسیم:

$$\begin{aligned} T &= 2\pi \int_{\rho_y}^{c} \rho' \left(\frac{\tau_y}{\rho_y} \rho \right) d\rho + 2\pi \int_{\rho_y}^c \rho' \tau_y d\rho \\ &= \frac{1}{4} \pi \rho_y^2 \tau_y + \frac{2}{4} \pi c^2 \tau_y - \frac{2}{4} \pi \rho_y^2 \tau_y \\ T &= \frac{2}{4} \pi c^2 \tau_y \left(1 - \frac{1}{4} \frac{\rho_y^2}{c^2} \right) \end{aligned} \quad (31-3)$$

با توجه به معادله (۲۹-۳)،

$$T = \frac{2}{4} T_y \left(1 - \frac{\rho_y^2}{4 c^2} \right) \quad (32-2)$$

در آن قسمت دلایی مقدار ثابت τ است. لذا، معادله (۳-۱)

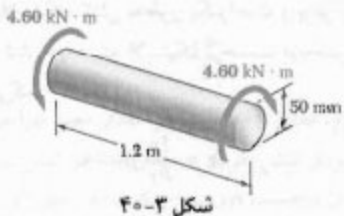
به صورت زیر در می‌آید:

$$T = \rho A t$$

که در آن ρ شعاع متوسط لوله و A مساحت مقطع عرضی آن است. از این رو، تنش برشی با گشتاور مناسب است و τ را می‌توان از T به سهولت تعیین کرد. از طرف دیگر، کرنش برشی γ را از معادله (۲-۳) و از ϕ و L اندازه‌گیری شده در قسمت لوله‌ای نمونه می‌توان به دست آورد.

شکل ۲-۸

یک شفت توپر دایره‌ای، به طول $1/2\text{ m}$ و به قطر 50 mm در دو انتهای خود تحت گشتاور T_y قرار دارد (شکل ۴-۳). با فرض اینکه شفت از ماده الاستوپلاستیک با استقامت تسلیم برشی 150 MPa و با مدول صلابت 77 GPa ساخته شده است، مطابقت (الف) شعاع هسته الاستیک، (ب) زاویه پیچش شفت.



شکل ۴-۳

(الف) شعاع هسته الاستیک. ابتدا، گشتاور T_y را در شروع تسلیم می‌یابیم. برای $c = 25\text{ mm}$

$$J = \frac{1}{4} \pi c^4 = \frac{1}{4} \pi (25 \times 10^{-3} \text{ m})^4 = 614 \times 10^{-12} \text{ m}^4$$

با توجه به $\tau_y = 150\text{ MPa}$ و از معادله ۲۸-۳

$$T_y = \frac{J \tau_y}{c} = \frac{(614 \times 10^{-12} \text{ m}^4)(150 \times 10^6 \text{ Pa})}{25 \times 10^{-3} \text{ m}} = 3,68 \text{ kN.m}$$

* معادله (۳۶-۳) را برای هر ماده پهکش خواری که دلایی نقطه تسلیم کاملاً مشخص است می‌توان به کار برد؛ زیرا این معادله بدون توجه به شکل نمودار تنش-کرنش پس از نقطه تسلیم استنتاج شده است.

** برای به حداقل رساندن امکان شکست ناگفی از گماش، نمونه باید طوری باشد که طول قسمت لوله‌ای آن بیشتر از قطرش باشد.

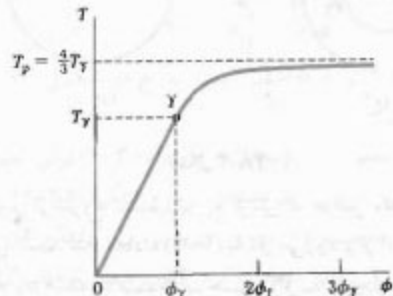
از تقسیم (۳۴-۳) بر (۳۵-۳)، رابطه زیر را می‌یابیم *:

$$\frac{\rho_y}{c} = \frac{\phi_y}{\phi} \quad (36-3)$$

با جایگذاری عبارت ρ/c در معادله (۳۲-۳)، گشتاور T به صورت تابعی از زاویه پیچش ϕ به دست می‌آید:

$$T = \frac{4}{3} T_y \left(1 - \frac{1}{4} \frac{\phi_y}{\phi} \right) \quad (37-3)$$

که در آن T_y و ϕ_y به ترتیب، گشتاور و زاویه پیچش در شروع تسلیم هستند. گفتنی است که از معادله (۳۷-۳) فقط برای $\phi < \phi_y$ می‌توان استفاده کرد. برای $\phi > \phi_y$ ، رابطه بین T و ϕ خطی است و با معادله (۱۶-۳) بیان می‌شود. با ترکیب این دو معادله، نمودار T بر حسب ϕ به دست می‌آید (شکل ۳۹-۳). دیده می‌شود که، با افزایش ϕ به سمت بی‌نهایت، T به مقدار حدی $T_p = \frac{4}{3} T_y$ نزدیک می‌شود، که متناظر با ناحیه پلاستیک کاملاً فراگیر است (شکل ۲-۳۸-۳). گرچه نمی‌توان در عمل به مقدار T_p رسید، ولی معادله (۳۷-۳) نشان می‌دهد که با افزایش ϕ مربعاً می‌توان به آن نزدیک شد. برای $\phi = 2\phi_y$ ، T تقریباً ۹۷ درصد T_p و برای $\phi = 3\phi_y$ در حدود ۹۹ درصد T_p است.



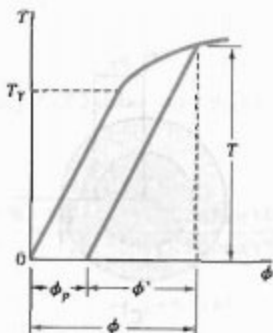
شکل ۳۹-۳

نمودار T بر حسب ϕ برای ماده ایده‌آل الاستوپلاستیک (شکل ۳۹-۳) با نمودار تنش-کرنش برشی آن ماده (شکل ۳۷-۳) خیلی تفاوت دارد. لذا، نمودار تنش-کرنش برشی یک ماده واقعی را نمی‌توان مستقیماً از آزمایش پیچش یک میله توپر دایره‌ای که از آن ماده ساخته شده است بدست آورد. ولی اگر نمونه آزمایشی دلایی یک قسمت لوله‌ای نازک دایره‌ای باشد، از آزمایش پیچش آن می‌توان یک نمودار نسبتاً دقیق بدست آورد.** در حقیقت، می‌توان فرض کرد که تنش برشی

در این قسمت خواهید دید که مقدار نهایی تنش معمولاً صفر نیست و تنش‌های باقیمانده مثبت یا منفی در اغلب نقاط وجود دارد. گفتنی است که، هنگام باربرداری، تنش برشی نیز مانند تنش قائم همچنان کاهش می‌یابد و به مقدار برابر با مقدار ماکریم در C منهاج دو برابر استقامت تسلیم ماده می‌رسد. مجدداً، ماده ایده‌آل الاستوپلاستیک را که نمودار تنش برشی آن در شکل ۳۷-۳ نشان داده شده است، در نظر می‌گیریم. تا وقتی تنش بیش از σ_y کاهش نباشه است، رابطه بین σ و ϕ را در هر نقطه شفت به صورت خطی می‌گیریم و برای تعیین زاویه پیچش شفت، هنگام کاهش گشتاور تا صفر، از معادله (۱۶-۳) استفاده می‌کنیم. به این ترتیب، باربرداری شفت با یک خط مستقیم در نمودار T - ϕ نشان داده می‌شود (شکل ۴۲-۳). پس از حذف گشتاور، زاویه پیچش به صفر نمی‌رسد. یعنی، بارگذاری و باربرداری شفت باعث ایجاد یک تغییر شکل دائمی می‌شود که با زاویه زیر مشخص می‌شود:

$$\phi_p = \phi - \phi' \quad (38-3)$$

در رابطه بالا، زوایای ϕ و ϕ' ، به ترتیب، برای فاز بارگذاری و باربرداری است (ϕ از معادله ۳۶-۳ و ϕ' از معادله ۱۶-۳ به دست می‌آید).



شکل ۴۲-۳

با کاربرد اصل ترکیب (قسمت ۲۰-۲)، تنش‌های باقیمانده را در یک ماده الاستوپلاستیک می‌توان به دست آورد. برای این منظور، تنش‌های ناشی از گشتاور T را هنگام بارگذاری، و تنش‌های ناشی از گشتاور مساوی و متضاد با T را هنگام باربرداری شفت در نظر می‌گیریم. تنش‌های گروه اول، رفتار الاستوپلاستیک ماده را ضمن بارگذاری نشان می‌دهند (شکل ۴۳-۳). گروه دوم رفتار خطی همان ماده را ضمن

با حل τ/c از معادله (۳۲-۳) و با جایگذاری مقدار T و τ_y ، می‌نویسیم:

$$\left(\frac{\rho_y}{c}\right)^2 = 1 - \frac{\tau_y}{T_y} = 1 - \frac{3(4,60 \text{ kN.m})}{3,68 \text{ kN.m}} = 0,250$$

$$\frac{\rho_y}{c} = 0,630 \Rightarrow \rho_y = 0,630 (25 \text{ mm}) = 15,8 \text{ mm}$$

(ب) زاویه پیچش. ابتدا، زاویه پیچش ϕ را در شروع تسلیم از معادله (۱۶-۳) می‌نویسیم:

$$\phi_y = \frac{T_y L}{JG} = \frac{(3,68 \times 10^7 \text{ N.m})(1/2 \text{ m})}{(614 \times 10^{-4} \text{ m}^3)(77 \times 10^9 \text{ Pa})} = 93,4 \times 10^{-7} \text{ rad}$$

با حل ϕ از معادله (۳۶-۳) و با جایگذاری مقدار ϕ_y و c ، ρ_y/c و c می‌نویسیم:

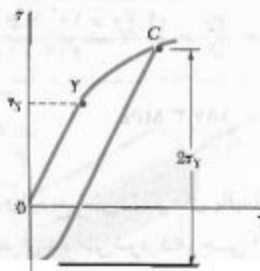
$$\phi = \frac{\phi_y}{\rho_y/c} = \frac{93,4 \times 10^{-7} \text{ rad}}{0,630} = 148,3 \times 10^{-7} \text{ rad}$$

با

$$\phi = (148,3 \times 10^{-7} \text{ rad}) \left(\frac{2\pi}{2\pi \text{ rad}}\right) = 8,50^\circ$$

۱۱-۳. تنش‌های باقیمانده در شفت‌های دایره‌ای

در دو قسمت قبل دیدیم در شفتی که تحت تأثیر گشتاور نسبتاً بزرگی است ناجیه پلاستیک ایجاد می‌شود، و تنش برشی در هر نقطه از ناجیه پلاستیک را از نمودار تنش-کرنش برشی شکل ۳۴-۳ می‌توان به دست آورد. با حذف گشتاور، کاهش تنش و کرنش در امتداد یک خط راست روی می‌دهد (شکل ۴۱-۳).



شکل ۴۱-۳

شفت ضمن حذف گشتاور از معادله (۴-۳) بدست می‌آید. با جایگذاری داده‌های زیر:

$$T = ۴,۶۰ \times ۱۰^۷ \text{ N.m}$$

$$L = ۱,۲ \text{ m}$$

$$G = ۷۷ \times ۱۰^۴ \text{ Pa}$$

و مقدار $m^3 = ۶۱۴ \times ۱۰^{-۹} \text{ m}^3 = J$, که در حل مثال ۸-۳ بدست آمد، نتیجه می‌شود:

$$\phi' = \frac{TL}{JG} = \frac{(۴,۶۰ \times ۱۰^۷ \text{ N.m})(۱,۲ \text{ m})}{(۶۱۴ \times ۱۰^{-۹} \text{ m}^3)(۷۷ \times ۱۰^۴ \text{ Pa})}$$

$$= ۱۱۶,۸ \times ۱۰^{-۷} \text{ rad}$$

$$= (۱۱۶,۸ \times ۱۰^{-۷} \text{ rad}) \frac{۳۶۰^\circ}{\frac{\pi}{2} \text{ rad}} = ۶,۶۹^\circ$$

بنابراین، پیچش دائم چنین است:

$$\phi_p = \phi - \phi' = ۸,۵۰^\circ - ۶,۶۹^\circ = ۱,۸۱^\circ$$

(ب) تنش‌های باقیمانده. از مثال ۸-۳ دیدیم که استقامت تسلیم و شعاع هسته الاستیک متناظر با گشتاور داده شده، به ترتیب، عبارتند از $\tau_y = ۱۵۰ \text{ MPa}$ و $\rho_y = ۱۵,۸ \text{ mm}$. توزیع تنش در شفت بارگذاری شده مانند شکل ۴۴-۳ الف است.

توزیع تنش‌های ناشی از گشتاور مخالف برای باربرداری شفت است، به صورت خطی و مانند شکل ۴۴-۳ ب است. تنش ماکریم در فاز باربرداری از معادله (۹-۳) بدست می‌آید:

$$\tau'_{\max} = \frac{Tc}{J} = \frac{(۴,۶۰ \times ۱۰^۷ \text{ N.m})(۲۵ \times ۱۰^{-۴} \text{ m})}{۶۱۴ \times ۱۰^{-۹} \text{ m}^3}$$

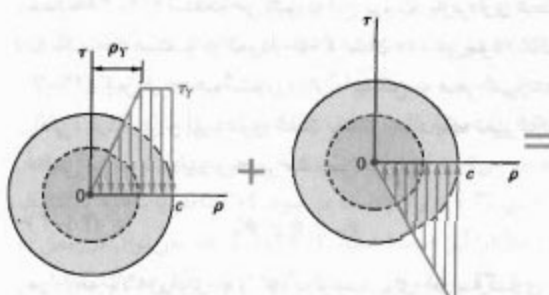
$$= ۱۸۷,۳ \text{ MPa}$$

با ترکیب این دو توزیع تنش، تنش‌های باقیمانده را در شکل ۴۴-۳ ج می‌یابیم. دیده می‌شود که، حتی اگر تنش‌های معکوس^{*} از استقامت تسلیم τ_y بیشتر شوند، فرض توزیع خطی این تنش‌ها صحت دارد زیرا از τ_y بیشتر نشده‌اند.

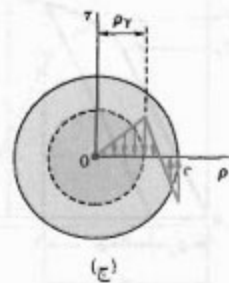
باربرداری نشان می‌دهند (شکل ۴۴-۳ ب)، از مجموع این دو گروه تنش، توزیع تنش‌های باقیمانده در شفت بدست می‌آید (شکل ۴۴-۳ ج).

از شکل ۴۴-۳ ج ۴۴-۳ ج دیده می‌شود که تنش‌های باقیمانده با تنش‌های اولیه هم‌سو هستند، و سایر تنش‌ها دارای سوی مخالف‌اند. این موضوع بدینه است زیرا از حذف گشتاور، طبق معادله (۱-۳)، رابطه زیر برقرار است:

$$\int \rho (\tau dA) = ۰ \quad (۴۴-۳)$$



(الف)

(ب) $r'_{\max} = \frac{Tc}{J}$ 

(ج)

شکل ۴۴-۳

مثال ۹-۳

برای شفت مثال ۸-۳، مطلوب است: (الف) پیچش دائم، (ب) توزیع تنش‌های باقیمانده، پس از حذف گشتاور $4,60 \text{ kN.m}$.
 (الف) پیچش دائم از مثال ۸-۳، زاویه پیچش متناظر با گشتاور داده شده برابر است با $۸,۵۰^\circ - \phi$. زاویه ϕ وابیچش

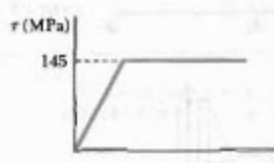
وارد می شود و تدریجاً مقدار آن افزایش می یابد. مطلوب است مقدار T و زاویه پیچش متناظر: (الف) وقتی تسلیم برای اولین بار روی می دهد، (ب) وقتی تغیر شکل کاملاً پلاستیک شده است.

حل

خواص هندسی مقطع عرضی عبارتند از:

$$c_1 = \frac{1}{\pi} (\pi A \text{ mm}) = 14 \text{ mm} \quad c_t = \frac{1}{\pi} (\Delta A \text{ mm}) = 29 \text{ mm}$$

$$J = \frac{1}{\pi} \pi (c_t^2 - c_1^2) = \frac{1}{\pi} \pi [(29 \text{ mm})^2 - (14 \text{ mm})^2] \\ = 906.3 \times 10^7 \text{ mm}^4$$



الف. شروع تسلیم. برای تسلیم: $\tau_{max} = \tau_y = 145 \text{ MPa}$

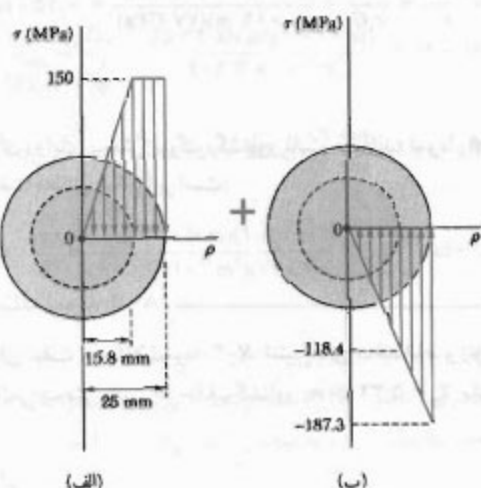
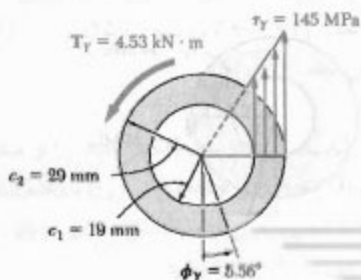
$$T_y = \frac{\tau_y J}{c_t} = \frac{(145 \text{ MPa})(906.3 \times 10^7 \text{ mm}^4)}{29 \text{ mm}}$$

$$T_y = 4.53 \text{ kN.m} \quad \blacktriangleleft$$

با قرار دادن $c_t = \rho$ و $\gamma = \gamma$ در معادله (۲-۳) و با حل ϕ ، مقدار ϕ_y را می باییم:

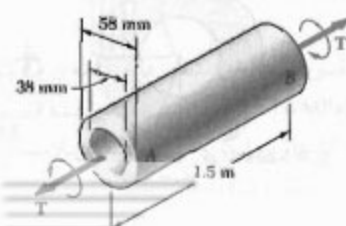
$$\phi_y = \frac{\gamma y L}{c_t} = \frac{\tau_y L}{c_t G} = \frac{(145 \text{ MPa})(1500 \text{ mm})}{(29 \text{ mm})(77 \text{ GPa})} \\ = 0.049 \text{ rad}$$

$$\phi_y = 0.06^\circ \quad \blacktriangleleft$$



شکل ۴۴-۲

مسئله نمونه ۷-۳
شفت AB از فولاد متوسط الاستوپلاستیک ($G = 77 \text{ GPa}$) و ساخته شده است. گشتاور T بر شفت



$$\phi_f = \frac{\gamma Y L}{c_1} = \frac{\tau_Y L}{c_1 G} = \frac{(145 \text{ MPa})(1,5 \text{ m})}{(0,019 \text{ m})(77 \text{ GPa})} = 0,150 \text{ rad}$$

$$\phi_f = 8,59^\circ$$

برای زوایای پیچش بزرگتر، گشتاور ثابت می‌ماند؛ تمودار $T - \phi$ شفت مطابق شکل زیر است:

مسئله نمونه ۸-۳

برای شفت مسئله نمونه ۷-۳، تنش‌های باقیمانده و زاویه دانه‌ی پیچش را پس از حذف گشتاور $T_p = 5,32 \text{ kN.m}$ بباید.

حل

در مسئله نمونه ۷-۳ دیدیم که وقتی منطقه پلاستیک ابتدا به سطح داخلی می‌رسد، گشتاور وارد T_p و زاویه پیچش را به ترتیب، برابر با $5,32 \text{ kN.m}$ و $8,59^\circ$ بود. این مقادیر در شکل (۱) نشان داده شده‌اند.

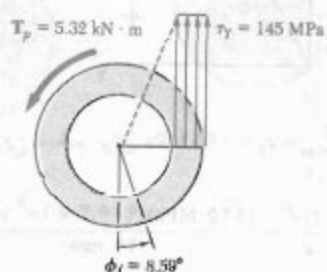
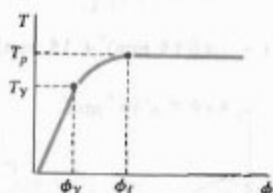
باربرداری الاستیک. با اعمال گشتاور $5,32 \text{ kN.m}$ در سوی نشان داده شده در شکل (۲)، شفت را باربرداری می‌کنیم. در این حالت، رفتار ماده خطی است.

ب. تغییر شکل کاملاً پلاستیک. وقتی منطقه پلاستیک به سطح داخلی می‌رسد، تنش‌ها دارای توزیع یکنواخت‌اند. با استفاده از معادله (۲-۳)،

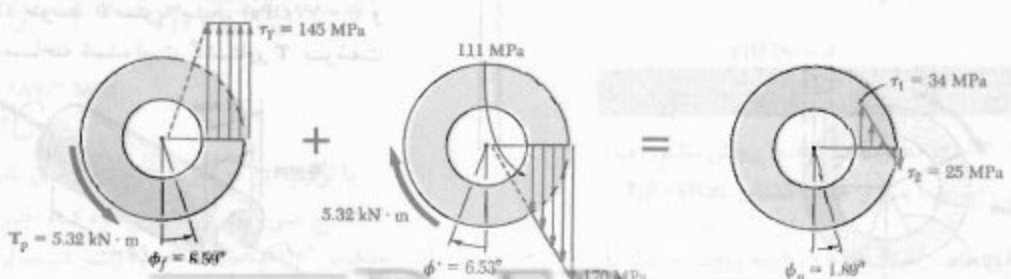
$$T_p = 2\pi r_y \int_{c_i}^{c_r} \rho^r d\rho = \frac{\tau}{r} \pi r_y (c_r^r - c_i^r)$$

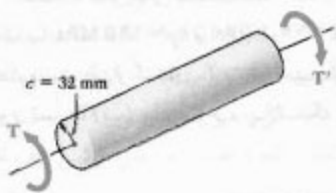
$$= \frac{\tau}{r} \pi (145 \text{ MPa}) [(0,029 \text{ m})^r - (0,019 \text{ m})^r]$$

$$T_p = 5,32 \text{ kN.m}$$



وقتی تسلیم ابتدا در سطح داخلی روی می‌دهد، تغییر شکل کاملاً پلاستیک است؛ از معادله (۲-۳)،

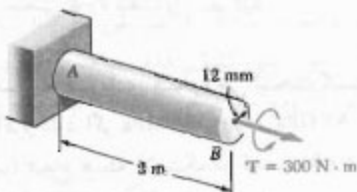




شکل ۹۵-۳

۹۶-۳ برای شفت و بارگذاری مسئله ۹۵-۳، زاویه پیچش را در طول ۱.۵ m شفت بیابید.

۹۷-۳ شفت AB از ماده الاستوپلاستیک با $\tau_y = 90 \text{ MPa}$ و $G = 20 \text{ GPa}$ ساخته شده است. مطلوب است: (الف) شعاع هسته الاستیک شفت، (ب) زاویه پیچش در سر B.



شکل ۹۷-۳

۹۸-۳ یک شفت توریز به قطر ۱۸ mm از ماده الاستوپلاستیک ($\tau_y = 140 \text{ MPa}$ و $G = 20 \text{ GPa}$) ساخته شده است. برای طول ۱.۲ m، ماکریم تنش برشی و زاویه پیچش ناشی از گشتاور 200 N.m را بیابید.

۹۹-۳ یک میله توریز دایره‌ای از ماده الاستوپلاستیک ساخته شده است. اگر گشتاور و زاویه پیچش را در آغاز تسلیم با $\tau_y = 20 \text{ MPa}$ نشان دهیم، مطلوب است زاویه پیچش در صورتی که گشتاور تا: (الف) $T_y = 1/1 T_y$ ، (ب) $T_y = 1/2 T_y$ ، (ج) $T_y = 1/3 T_y$ افزایش بابد.

۱۰۰-۳ یک شفت توریز دایره‌ای به قطر ۳۰ mm از ماده الاستوپلاستیک ($\tau_y = 125 \text{ MPa}$ و $G = 20 \text{ GPa}$) ساخته شده است. برای طول ۰.۵ m شفت، ماکریم تنش برشی و زاویه پیچش ناشی از گشتاور 850 N.m را بیابید.

با توجه به مقدار c_1 ، c_2 و J از مسئله نمونه ۷-۳، داریم:

$$\tau_{\max} = \frac{T c_1}{J} = \frac{(5,32 \text{ kN.m})(0,029 \text{ m})}{9,63 \times 10^{-4} \text{ m}^4} = 170 \text{ MPa}$$

$$\tau_{\min} = \tau_{\max} \frac{c_1}{c_2} = (170 \text{ MPa}) \frac{19 \text{ mm}}{29 \text{ mm}} = 111 \text{ MPa}$$

$$\phi' = \frac{T L}{J G} = \frac{(5320 \text{ N.m})(1.5 \text{ m})}{(9,63 \times 10^{-4} \text{ m}^4)(20 \text{ GPa})} = 0,114 \text{ rad} = 6,53^\circ$$

نشاهای باقیمانده و پیچش دانسی نتایج بارگذاری (شکل ۱) و باربرداری (شکل ۲) را با هم ترکیب می‌کنیم (شکل ۳)، و نشاهای باقیمانده و زاویه پیچش دانسی ϕ' را می‌یابیم.

مسائل

۹۱-۳ شفت توریز به قطر ۵۰ mm از فولاد متوسط الاستوپلاستیک ($\tau_y = 140 \text{ MPa}$) ساخته شده است. ماکریم تنش برش و شعاع هسته الاستیک را بر اثر اعمال گشتاورهای زیر بیابید: (الف) 3 kN.m ، (ب) 4 kN.m .

۹۲-۳ شفت توریز به قطر ۳۸ mm از فولاد متوسط الاستوپلاستیک ($\tau_y = 145 \text{ MPa}$) ساخته شده است. ماکریم تنش برش و شعاع هسته الاستیک را بر اثر اعمال گشتاورهای زیر بیابید: (الف) $1,2 \text{ kN.m}$ ، (ب) $1,8 \text{ kN.m}$.

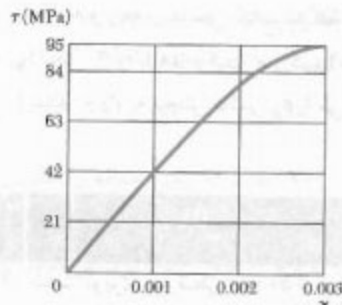
۹۳-۳ گیره کاغذی فولادی با استقاماتی را می‌توان با اعمال 60 N.m چندین بار پیچاند. اگر قطر سیم گیره کاغذی $0,9 \text{ mm}$ باشد، مقدار تقریبی تنش تسلیم فولاد را بیابید.

۹۴-۳ میله توریز به قطر ۳۰ mm از ماده الاستوپلاستیک ($\tau_y = 35 \text{ MPa}$) ساخته شده است. اگر هسته الاستیک میله به قطر 25 mm باشد، مقدار گشتاور وارد بر میله را بیابید.

۹۵-۳ شفت توریز دایره‌ای نشان داده شده از فولاد الاستوپلاستیک ($\tau_y = 145 \text{ MPa}$) ساخته شده است. مطلوب است مقدار ۲ گشتاور ولرد و فقط منطقه پلاستیک (الف) به عمق 16 mm است، (ب) به عمق 24 mm است.

۱۰-۵-۳ با در نظر گرفتن شفت به طور جزئی پلاستیک در شکل ۳۸-۳، معادله (۳۲-۳) را با توجه به این موضوع استنتاج کنید که انتگرال (۲۶-۳) ممان دوم سطح زیر منحنی ρ -۲ را نسبت به محور ۲ نشان می‌دهد.

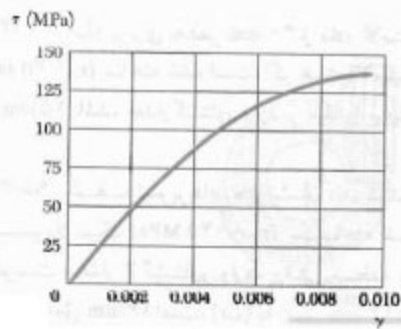
۱۰-۶-۳ میله برنجی تورپری به قطر ۳۰ mm تحت گشتاوری قرار داره که در آن تنش برشی ماکریسم ۹۵ MPa را ایجاد می‌کند. با استفاده از نمودار ۷-۲ نشان داده شده مطلوبست: (الف) مقدار گشتاور، (ب) زاویه پیچش در طول ۶ m از میله.



شکل ۱۰-۶-۳ و ۱۰-۷-۳

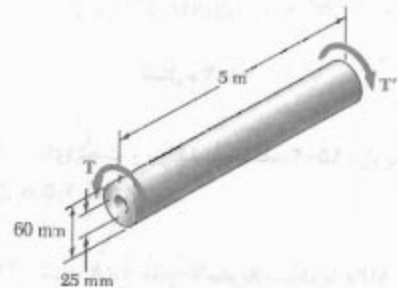
۱۰-۷-۳ میله برنجی تورپری به قطر ۲۰ mm و به طول ۷۵ mm تحت زاویه 10° می‌بیگذرد. با استفاده از نمودار ۷-۲ نشان داده شده، مطلوبست: (الف) مقدار گشتاور وارد بر میله، (ب) ماکریسم تنش برشی در میله.

۱۰-۸-۳ میله آلومینیومی تورپری به قطر ۴۰ mm تحت گشتاوری قرار داره که در آن کرنش برشی ماکریسم ۸۰ MPa را ایجاد می‌کند. با استفاده از نمودار ۷-۲ نشان داده شده، مطلوبست: (الف) مقدار گشتاور وارد، (ب) زاویه پیچش در طول ۷۵ mm از میله.



شکل ۱۰-۸-۳

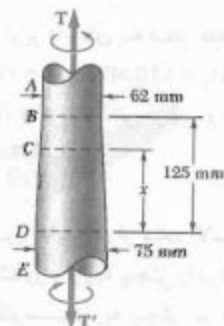
۱۰-۱-۳ شفت توخالی نشان داده شده از فولاد استوپلاستیک با $G = 77/2 \text{ GPa}$ و $\tau_y = 145 \text{ MPa}$ ساخته شده است. مطلوبست مقدار گشتاور T را زاویه پیچش مناظر: (الف) در شروع تسلیم، (ب) وقتی ناحیه پلاستیک به عمق ۱۰ mm است.



شکل ۱۰-۱-۳

۱۰-۲-۳ در مسئله ۱۰-۱-۳، مطلوبست: (الف) زاویه پیچش که به ازای آن شفت کاملاً پلاستیک می‌شود، (ب) مقدار گشتاور را در منظر متناظر، منحنی ϕ -۷ شفت را رسم کنید.

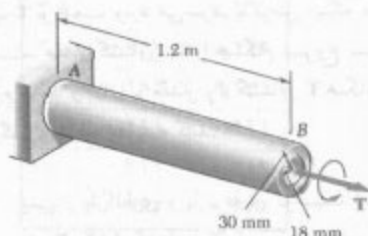
۱۰-۳-۳ میله فولادی مخروطی تحت گشتاور $T = 8500 \text{ N.m}$ قرار دارد. اگر $G = 77 \text{ GPa}$ و $\tau_y = 145 \text{ MPa}$ باشد، مطلوبست: (الف) شاعع هسته الامتیک در قسمت AB شفت، (ب) طول قسمت CD که کاملاً الامتیک می‌شاند.



شکل ۱۰-۳-۳

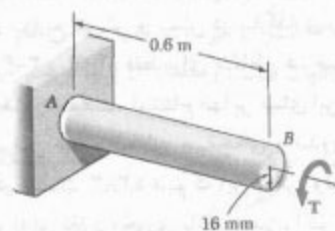
۱۰-۴-۳ در مسئله ۱۰-۳-۳ اگر گشتاورها آهسته افزایش بایند، مطلوبست: (الف) مقدار ماکریسم گشتاور T که می‌توان بر شفت وارد کرد، (ب) طول قسمت CD که کاملاً الامتیک می‌شاند.

۱۱۳-۳ شفت توخالی AB از فولاد الاستوپلاستیک (G = ۷۷ GPa) ساخته شده است. گشتاور T بطور آهسته افزایش می‌یابد تا اینکه منطقه پلاستیک ایندا به سطح داخلی می‌رسد؛ سپس، گشتاور حذف می‌شود. مطلوبست: (الف) ماکریم تنش برشی باقیمانده، (ب) زاویه پیچش دائمی شفت.



شکل ۱۱۳-۳

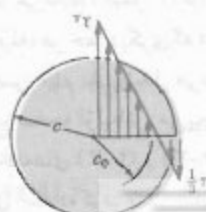
۱۱۴-۳ شفت توپر نشان داده شده از فولاد الاستوپلاستیک ($G = ۷۷/۲$ GPa) ساخته شده است. گشتاور T افزایش می‌یابد تا اینکه شفت 60° می‌چرخد؛ سپس، گشتاور حذف می‌شود. مطلوبست: (الف) مقدار و مکان ماکریم تنش برشی باقیمانده، (ب) زاویه پیچش دائمی شفت.



شکل ۱۱۴-۳

۱۱۵-۳ در مثاله ۱۱۰-۳، زاویه پیچش دائمی شفت را بیابید.

۱۱۶-۳ گشتاور T بر میله توپری از جنس ماده الاستوپلاستیک وارد می‌شود تا میله به طور کامل پلاستیک



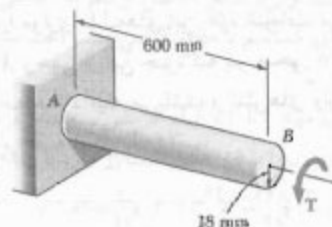
شکل ۱۱۶-۳

۱۱۰-۳ منحنی شکل M ۱۰۸-۳ را با رابطه تقریبی زیر می‌توان بیان کرد:

$$\tau = 27.8 \times 10^{12} \gamma - 1.390 \times 10^{12} \gamma^2$$

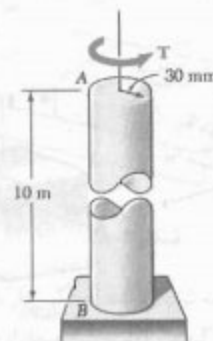
با استفاده از این رابطه و معادله‌های (۲-۳) و (۲۶-۳)، مثله ۱۰۸-۳ را حل کنید.

۱۱۰-۳ شفت توپر دایره‌ای AB از فولاد الاستوپلاستیک (G = ۷۷/۲ GPa) ساخته شده است. گشتاور T افزایش می‌یابد تا اینکه شعاع هسته ایستیک به ۶ mm می‌رسد. ماکریم تنش برشی باقیمانده را در شفت پس از حذف گشتاور T بیابید.



شکل ۱۱۰-۳

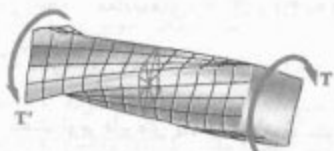
۱۱۱-۳ مته دایره‌ای توپر AB از فولاد الاستوپلاستیک (G = ۷۷ GPa) ساخته شده است. اگر گشتاور T = ۸۴۷۵ N.m بر میله وارد و سپس حذف شود، ماکریم تنش برشی باقیمانده را در میله بیابید.



شکل ۱۱۱-۳

۱۱۲-۳ در مثاله ۱۱۱-۳، زاویه پیچش دائمی میله را بیابید.

فاصله از محور میله به صورت خطی تغییر می‌کند و در گوشه‌های مقطع عرضی به پیشترین مقدار می‌رسد. در اینجا خواهید دید که تنش برخی در این نقاط صفر است.



شکل ۴۵-۳

جزء مکعبی کوچکی را در گوش مقطع عرضی میله چهارگوشی که تحت بیچش است در نظر گرفته و محورهای مختصات را موازی با لبه‌های این جزء انتخاب می‌کنیم (شکل ۴۶-۳). درجه حریم از این جزء که بر محور لازموده است قسمتی از سطح آزاد میله می‌باشد، و تنش‌های وارد بر آن صفر هستند. با توجه به شکل ۴۶-۲ ب.

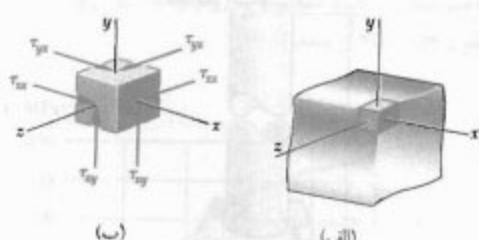
$$\tau_{yx} = 0 \quad \tau_{yz} = 0 \quad (46-3)$$

به همین دلیل، تمام تنش‌های وارد بر وجهی از جزء که بر محور عمود است نیز صفر است:

$$\tau_{zx} = 0 \quad \tau_{zy} = 0 \quad (41-3)$$

از معادله اول (۴۰-۳) و معادله دوم (۴۱-۳) نتیجه می‌شود:

$$\tau_{xy} = 0 \quad \tau_{xz} = 0 \quad (42-3)$$



شکل ۴۶-۳

لذا، هر دو مولقه تنش برخی وارد بر وجهی از جزء که بر محور میله عمود است صفر می‌باشند. در نتیجه، در هیچ تنش برخی در گوش‌های مقطع عرضی میله وجود ندارد.

می‌شود؛ سپس، گشتاور حذف می‌شود. (الف) نشان دهد که توزیع تنش‌های باقیمانده به صورت نشان داده شده است. (ب) مقدار گشتاور ناشی از تنش‌های وارد بر قسمتی از میله را که داخل دایره‌ای به شعاع $\frac{r}{2}$ قرار دارد بیاید.

۱۱۷-۳ پس از باربرداری و بارگذاری توصیف شده برای شفت توخالی مسئلہ ۱۱۳-۳، گشتاور T با سوی مخالف گشتاور اولیه T' بر شفت وارد می‌شود. با فرض اینکه مقدار $\frac{r}{2}$ مانند قبل است، مقدار گشتاور T را هنگام شروع تسلیم در بارگذاری دوم باید و آن را با مقدار $\frac{r}{2}$ گشتاور T' هنگام شروع تسلیم در بارگذاری اولیه مقایسه کنید.

۱۱۸-۳ پس از بارگذاری و باربرداری توصیف شده برای شفت توبر مسئلہ ۱۱۴-۳، گشتاور T با سوی مخالف گشتاور اولیه T' بر شفت وارد می‌شود. با فرض اینکه مقدار $\frac{r}{2}$ مانند قبل است، مقدار پیچش ϕ مورد نیاز را برای شروع تسلیم در بارگذاری اولیه دوم باید و آن را با مقدار $\frac{r}{2}$ که باعث تسلیم شلت در بارگذاری اولیه شد مقایسه کنید.

۱۲-۳ پیچش عضوهای غیردایره‌ای فرمول‌های توزیع کرنش و تنش در بارگذاری پیچشی در قسمت‌های ۳-۳ و ۴-۳، فقط برای مقطع عرضی دایره‌ای به کار می‌روند. در حقیقت، استنتاج آنها بر مبنای این فرض بود که مقطع عرضی عضو به طور صفحه‌ای و بدون اعوجاج می‌ماند، و در قسمت ۳-۳ دیدیم که این فرض وقتی صحت دارد که عضو دارای تقارن محوری باشد (یعنی، اگر عضو را از وضعیت ثابت نگاه کنیم و آن را تحت یک زاویه اختباری حول محورش بچرخانیم، ظاهر آن تغییر نکند).

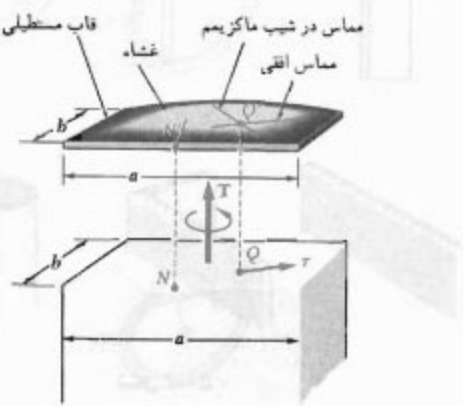
ولی، یک میله با مقطع عرضی چهارگوش فقط وقتی ظاهر خود را حفظ می‌کند که به اندازه 90° یا 180° بچرخد. با استفاده از روش قسمت ۳-۳، می‌توان نشان داد که قطرهای مقطع عرضی میله چهارگوش و خطوط واصل نقاط میانی اصلاح آن مقطع به طور مستقیم می‌مانند (شکل ۴۵-۳). البته، به علت عدم تقارن محوری میله، هر خط دیگری که در مقطع عرضی آن رسم شود هنگام پیچش میله تغییر شکل می‌دهد، و خود مقطع عرضی به طرف خارج صفحه اولیه‌اش می‌پیچد.

در نتیجه، از معادله‌های (۴-۳) و (۴-۶) نمی‌توان برای عضوهای غیردایره‌ای استفاده کرد. مثلاً، نمی‌توان فرض کرد تنش برخی در مقطع عرضی یک میله چهارگوش بر حسب

جدول ۱-۳ ضرایب میله‌های مستطیلی

a/b	c_1	c_2
۱/۰	۰/۲۰۸	۰/۱۴۰۶
۱/۲	۰/۲۱۹	۰/۱۶۶۱
۱/۵	۰/۲۳۱	۰/۱۹۵۸
۲/۰	۰/۲۴۶	۰/۲۲۹
۲/۵	۰/۵۸	۰/۲۴۹
۳/۰	۰/۲۶۷	۰/۲۶۳
۴/۰	۰/۲۸۲	۰/۲۸۱
۵/۰	۰/۲۹۱	۰/۲۹۱
۱۰/۰	۰/۳۱۲	۰/۳۱۲
∞	۰/۳۲۳	۰/۳۲۳

توزیع تنش برشی در یک عضو غیردایره‌ای را با استفاده از تشابه غشا می‌توان به سهولت تجسم داد. غشا همگن الاستیکی که به قاب ثابتی متصل است و یک طرف آن تحت فشار یکنواخت قرار دارد مشابه میله تحت پیچش است؛ یعنی، برای تعیین تغییرشکل غشا از همان معادله دیفرانسیلی استفاده می‌شود که برای تعیین تنش‌های برشی در میله به کاررفت.^{**} اگر یک نقطه از مقطع عرضی میله و Q' نقطه متناظر از غشا باشد (شکل ۴۹-۳)، تنش برشی τ در Q با معاس افقی بر غشا در نقطه Q' هم جهت است، و مقدار آن با ماکریم شیب غشا در



شکل ۴۹-۳

با پیچاندن مدل لاستیکی یک میله چهارگوش، مشاهده می‌شود که، تغییرشکل یا تنش در لبه‌های میله به وجود نمی‌آید، در حالی که خط مرکزی هر پک از وجود میله دارای ماکریم تغییرشکل است و تحت ماکریم تنش نزار می‌گیرد (شکل ۴۷-۳).



شکل ۴۷-۳

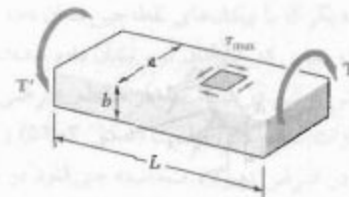
تعیین تنش در عضوهای غیردایره‌ای تحت پیچش فراتر از این متن است. ولی، نتایج حاصل از نظریه ریاضی الاستیکیه برای میله‌های مستقیم با مقطع عرضی یکنواخت مستطیلی را در اینجا می‌آوریم.

اگر طول میله را با L و ضلع عریض تر مقطع عرضی را با b و ضلع باریک‌تر آن را با a و مقدار گشتاور وارد بر میله را با T نشان دهیم (شکل ۴۸-۳)، ماکریم تنش برشی در امتداد خط مرکزی وجه عریض تر میله روی می‌دهد و برابر است با:

$$r_{\max} = \frac{T}{c_1 ab^3} \quad (43-3)$$

زاویه پیچش را نیز به صورت زیر می‌توان بیان کرد:

$$\phi = \frac{TL}{c_1 ab^3 G} \quad (44-3)$$



شکل ۴۸-۳

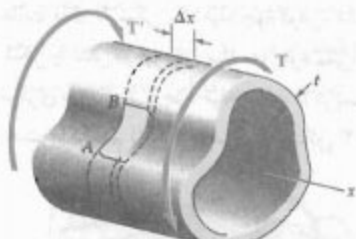
ضرایب c_1 و c_2 فقط به نسبت a/b بستگی دارند و در جدول ۱-۳ آورده شده‌اند. گفتنی است که معادله‌های (۴۳-۳) و (۴۴-۳) فقط در ناحیه الاستیک صحت دارند.

از جدول ۱-۳ دیده می‌شود که برای $a/b \geq 5$ ، ضرایب c_1 و c_2 با هم برابرند. می‌توان نشان داد که برای این مقدار a/b

$$(a/b) \geq 5 \quad (45-3)$$

* See S. P. Timoshenko and J. N. Goodier, *Theory of Elasticity*, 3d., McGraw-Hill, New York, 1969, sec. 109.

** به قسمت ۷ مراجعه شود.



شکل ۵۱-۳

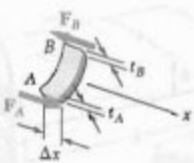
یک استوانه توخالی با مقطع عیردایره‌ای را که تحت بارگذاری پیچشی است در نظر بگیرید (شکل ۵۱-۳).^{***} گرچه ضخامت دیواره ممکن است در مقطع عرضی تغییر کند، ولی از این ضخامت می‌توان در مقایسه با سایر ابعاد عضو صفحه عرضی کرد. حال، قسمت جداری AB از عضو را که با دو صفحه عرضی به فاصله Δx از یکدیگر و دو صفحه طولی عمود بر دیواره محدود شده است جدا می‌کیم. چون قسمت AB در تعادل است، مجموع نیروهای وارد بر آن در جهت طولی x صفر است (شکل ۵۲-۳). تنها نیروهای موجود عبارتند از نیروهای برشی F_B و F_A که بر دو انتهای قسمت AB وارد می‌شود، همان‌گونه

$$\sum F_x = 0 : \quad F_A - F_B = 0 \quad (46-3)$$

حال، می‌نویسیم:

$$F_A = \tau_A (t_A \Delta x)$$

که در آن، τ_A تنش برشی طولی وارد بر وجه کوچک در انتهای A و t_A مساحت آن وجه است.



شکل ۵۲-۳

* این شبی است که در جهت عمود بر ماس افقی در Q' اندازه‌گیری می‌شود.

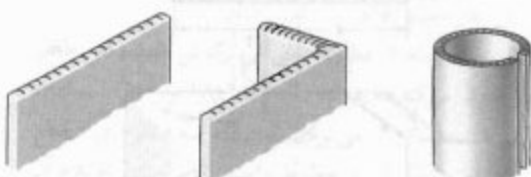
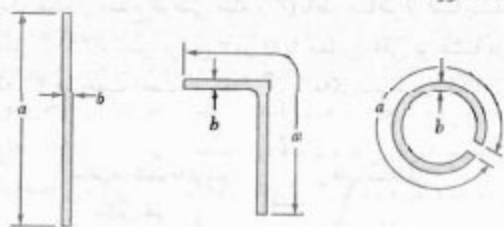
** می‌توان نشان داد که زاویه پیچش را از معادله (۴۶-۳) با $= ۰/۳۲۳$ بدست آورد.

*** دیواره این عضو باید شامل یک حفره تنها ماشد و نایاب دارای یک شکافی باشد. به عبارت دیگر، این عضو از نظر تثبیت‌بازیکی باید معادل یک شفت دایره‌ای توخالی باشد.

Q' متناسب است.^{*} بدلاًو، گشتاور واردہ با حجم بین غشا و صفحه قاب ثابت متناسب است. در غشای شکل ۴۹-۳، که به یک قاب مستطیلی متصل است، بیشترین شب در نقطه میانی وجه بزرگتر قاب (نقطه N') روی می‌دهد. لذا، ماکریم تنش برشی در میله با مقطع عرضی مستطیلی در نقطه میانی وجه بزرگتر آن مقطع (نقطه N) به وجود می‌آید.

از تشابه غشا برای تجسم تنش‌های برشی در میله‌های مستقیم با مقطع عرضی یکتاخت غیردایره‌ای می‌توان استفاده کرد.

مثالاً، عضوهای جدار نازکی را که مقاطع عرضی آنها در شکل ۵۰-۳ نشان داده است در نظر بگیرید. این عضوهای تحت گشتاور یکسان قرار دارند. با استفاده از تشابه غشا، که به تجسم تنش‌های برشی کمک می‌کند، دیده می‌شود که چون گشتاور یکسان بر هر عضو وارد می‌شود، حجم یکسانی در زیر هر غشا وجود دارد و ماکریم شب در هر دو حالت تقریباً یکسان است. لذا، برای یک عضو جدار نازک با ضخامت یکتاخت و با شکل دلخواه، ماکریم تنش برشی مانند ماکریم تنش برشی در یک میله مستطیلی است که a/b بسیار بزرگی دارد و آن را از معادله (۴۳-۳) با $c_1 = ۰,۳۳۳$ می‌توان بدست آورده.^{**}



شکل ۵۰-۳

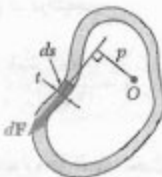
۱۳-۳^{*} شفت‌های توخالی جدار نازک در قسمت قبل دیدیم که برای تعیین تنش در عضوهای غیردایره‌ای معمولاً باید از روش‌های پیشرفته ریاضی استفاده کرد. ولی در شفت‌های توخالی جدار نازک، با یک محاسبه ساده می‌توان توزیع تنش را با تقریب خوب تعیین کرد.

در اینجا، به تشابه بین توزیع تنش برشی τ در مقطع عرضی یک شفت توخالی جدار نازک و توزیع سرعت آبی که در کانال مستقیم با عمق واحد و عرض متفاوت جریان دارد اشاره می‌کنیم. گرچه سرعت v به علت تغییر عرض اکانال از نقطه‌ای تا نقطه دیگر تغییر می‌کند، ولی کمیت $v = \tau t = q$ (آنچه جریان برشی سرتاسر کانال ثابت است، همانطور که t در معادله (۴۸-۳) ثابت است. با توجه به این تشابه، کمیت $t = q$ را جریان برشی در دیواره شفت توخالی می‌گویند. حال، رابطه بین گشتاور T وارد بر یک عضو توخالی و جریان برشی q در دیواره آن را تعیین می‌کنیم. جزء کوچکی از مقطع دیواره، به طول ds ، را در نظر می‌گیریم (شکل ۵۵-۳). مساحت آین جزء عبارت است از $t ds = t dA$ ، و مقدار نیروی برشی dF وارد بر این آن چنین است:

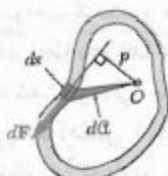
$$dF = \tau dA = \tau(t ds) = (\tau t) ds = q ds \quad (49-3)$$

گشتاور این نیرو نسبت به نقطه اختیاری O ، که در حفره عضو قرار دارد، چنین است:

$$dM_O = p dF = p(q ds) = q(p ds) \quad (50-3)$$



شکل ۵۵-۳



شکل ۵۶-۳

که در آن، p فاصله عمودی نقطه O تا خط اثر نیروی dF است. اما کمیت $p ds$ با دو برابر مساحت مثلث سایه خورده در شکل ۵۶-۳ برابر است. لذا

$$dM_O = q(Y d\alpha) \quad (51-3)$$

گفتنی است که گرچه تنش برشی از مختصه x نقطه تحت برسی مستقل است، ولی در عرض دیواره تغییر می‌کند؛ لذا، τ_A مقدار متوسط تنش محاسبه شده در عرض دیواره را نشان می‌دهد. F_B را نیز به طور مشابه بیان می‌کنیم. با جایگذاری τ_F و F_B در (۴۶-۳)،

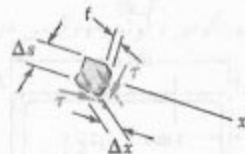
$$\tau_A(t_A \Delta x) - \tau_B(t_B \Delta x) = 0$$

با

$$\tau_A t_A = \tau_B t_B \quad (47-3)$$

چون A و B به طور اختیاری انتخاب شده‌اند، طبق معادله (۴۷-۳)، کمیت t در سرتاسر عضو ثابت است. اگر این حاصل ضرب را با q نشان دهیم، داریم

$$q = \tau t = \text{ثابت} \quad (48-3)$$



شکل ۵۳-۳

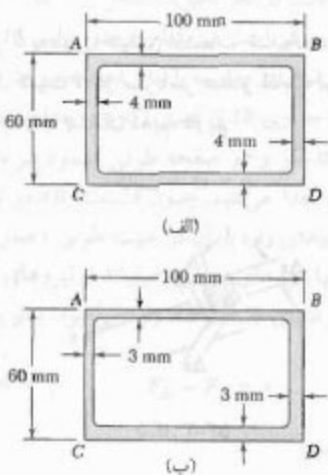
حال، جزء کوچکی از قسمت جداری AB را جدا می‌کنیم (شکل ۵۳-۳). چون وجود پالایی و پایینی این جزء قسمتی از سطح آزاد عضو توخالی اند، تنش برشی در هر نقطه این سطح آزاد صفر است. با توجه به رابطه‌های (۲۱-۱) و (۲۲-۱)، مؤلفه‌های تنش وارد بر وجود دیگر که با پیکان‌های نقطه‌چین نشان داده شده‌اند نیز صفرند، و دو تنشی که با پیکان تپیر نشان داده شده‌اند با هم برابرند. لذا، تنش برشی در هر نقطه از مقطع عرضی عضو توخالی به موازات سطح دیواره است (شکل ۵۴-۳) و مقدار متوسط آن که در عرض دیواره محاسبه می‌شود در معادله (۴۸-۳) صدق می‌کند.



شکل ۵۴-۳

مثال ۵۸-۳

لوله آلمینیومی با مقطع عرضی مستطیلی $100 \times 60 \text{ mm}$ با روش اکستروژن ساخته شده است. مطلوب است تنش برشی در هر یک از چهار دیواره قسمتی از این لوله تحت گشتاور $2,7 \text{ kN.m}$ ، با فرض اینکه: (الف) ضخامت یکنواخت دیواره 4 mm است (شکل ۵۸-۳ الف)، (ب) بر اثر نقص ساخت، ضخامت دیواره‌های AB و AC برابر با 3 mm و ضخامت دیواره‌های BD و CD برابر با 5 mm است (شکل ۵۸-۳ ب).



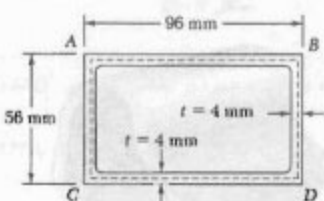
شکل ۵۸-۳

(الف) لوله با ضخامت یکنواخت. مساحت محصور شده توسط خط مرکزی از معادله (۵۹-۳) چنین است:

$$A = (96 \text{ mm})(56 \text{ mm}) = 5376 \text{ mm}^2$$

چون ضخامت هر چهار دیواره 4 mm است، تنش برشی در هر دیواره از معادله (۵۳-۳) چنین است:

$$\tau = \frac{T}{2tL} = \frac{2700 \text{ N.m}}{2(0,004 \text{ m})(5376 \times 10^{-6} \text{ m}^3)} = 62,8 \text{ MPa}$$



شکل ۵۹-۳

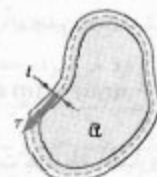
انتگرال عضو سمت چپ معادله (۵۱-۳) پیرامون مقطع جداری برابر است با مجموع لغزشی‌های برشی جزئی وارد بر مقطع جداری، و این مجموع نیز با گشتاور T وارد بر عضو توخالی برابر است. درنتیجه،

$$T = \oint dM_n = \oint q(2d\alpha)$$

جریان برشی q یک ثابت است، و می‌توانیم:

$$T = 2qL \quad (52-3)$$

که در آن L مساحتی است که توسط خط مرکزی مقطع عرضی دیواره محدود شده است (شکل ۵۷-۳).



شکل ۵۷-۳

با جایگذاری q از (۴۸-۳) در (۵۲-۳) و با حل L از معادله حاصل، می‌توان تنش برشی τ در هر نقطه از دیواره را برحسب گشتاور T بدست آورد. درنتیجه،

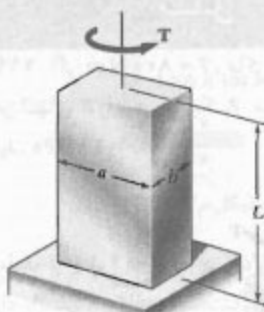
$$\tau = \frac{T}{2tL} \quad (53-3)$$

که در آن L ضخامت دیواره در نقطه تحت بررسی و t مساحت است که توسط خط مرکزی محدود شده است. باید توجه داشت که L مقدار متوسط تنش برشی در عرض دیواره است، ولی، توزیع تنش در عرض دیواره را برای تغییر شکل‌های الاستیک می‌توان یکنواخت گرفت، و معادله (۵۳-۳) مقدار واقعی تنش برشی را در نقطه داده شده دیواره می‌دهد.

زاویه پیچش یک شفت توخالی جدار نازک را با استفاده از روش انرژی می‌توان یافت (فصل ۱۱). بافرض تغییر شکل الاستیک، می‌توان نشان داد که زاویه پیچش یک شفت جدار نازک به طول L و با مدول صلابت G چنین است:

$$\phi = \frac{TL}{4G} \int \frac{ds}{t} \quad (54-3)$$

که در آن، انتگرال در امتداد خط مرکزی مقطع جداری محاسبه می‌شود.



-۲- میله با مقطع عرضی مستطیلی، در این حالت،

$$a = ۰,۰۶۴ \text{ m} \quad b = ۰,۰۲۵ \text{ m} \Rightarrow \frac{a}{b} = ۲,۵۶$$

با درون یابی در جدول ۱-۳، $c_1 = ۰,۲۵۹$ در نتیجه،

$$\tau_{\max} = \frac{T_r}{c_1 ab^3} \Rightarrow ۴۰ \text{ MPa} = \frac{T_r}{۰,۲۵۹ (۰,۰۶۴ \text{ m})(۰,۰۲۵ \text{ m})^3}$$

$$\Rightarrow T_r = ۴۱۴ \text{ N.m} \blacksquare$$

-۳- لوله چهارگوش، برای لوله با ضخامت t ، تنش برشی با

معادله (۵۲-۳) بیان می شود:

$$\tau = \frac{T}{2 t G}$$

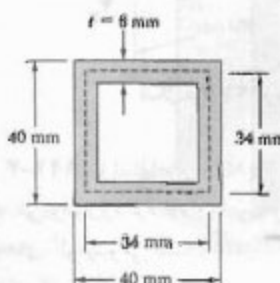
که در آن G مساحتی است که توسط خطر مرکزی مقطع عرضی محدود شده است:

$$G = (۰,۰۳۴ \text{ m})(۰,۰۳۴ \text{ m}) = ۱,۱۵۶ \times ۱۰^{-۳} \text{ m}^۲$$

$\tau = \tau_{all} = ۴۰ \text{ MPa}$ و $t = ۰,۰۰۶ \text{ m}$ را جایگذاری می کنیم و گشتاور مجاز را می بایس:

$$\tau = \frac{T}{2 t G} \Rightarrow ۴۰ \text{ MPa} = \frac{T_r}{۲ (۰,۰۰۶ \text{ m})(۱,۱۵۶ \times ۱۰^{-۳} \text{ m}^۲)}$$

$$\Rightarrow T_r = ۵۵۵ \text{ N.m} \blacksquare$$



(ب) لوله با ضخامت متغیر، مساحت G محصور شده توسط خط مرکزی مانند قسمت (الف) است، و با جایگذاری $t = ۵ \text{ mm}$ و $t = ۳ \text{ mm}$ در معادله (۵۲-۳)، داریم:

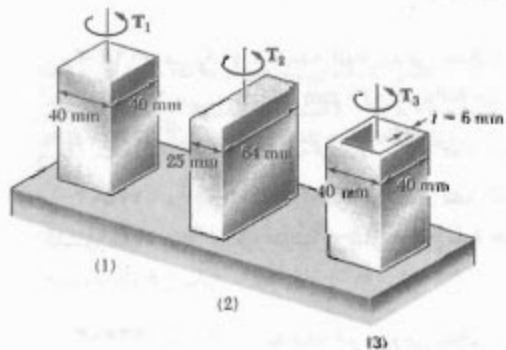
$$\tau_{AB} = \tau_{AC} = \frac{۴۷۰ \times ۰ \text{ N.m}}{\pi (۰,۰۰۳ \text{ m})(۰,۳۷۶ \times ۱۰^{-۳} \text{ m}^۲)} = ۸۷,۷ \text{ MPa}$$

$$\tau_{BD} = \tau_{CD} = \frac{۴۷۰ \times ۰ \text{ N.m}}{\pi (۰,۰۰۳ \text{ m})(۰,۳۷۶ \times ۱۰^{-۳} \text{ m}^۲)} = ۸۷,۷ \text{ MPa}$$

توجه کنید که تنش در دیواره فقط به ضخامت آن بستگی دارد.

مسئله نمونه ۹-۳

با استفاده از $\tau_{all} = ۴۰ \text{ MPa}$ ، ماکریم گشتاوری را که می توان بر هر یک از میله ها و لوله برنجی نشان داده شده وارد کرد باید. توجه کنید که دو میله توپر دارای مساحت مقطع عرضی یکسان، و میله چهارگوش و لوله چهارگوش دارای ابعاد خارجی یکسان هستند.



حل

-۱- میله با مقطع عرضی چهارگوش، برای میله توپر با مقطع عرضی مستطیلی، ماکریم تنش برشی با معادله (۴۲-۳) داده می شود:

$$\tau_{\max} = \frac{T}{c_1 ab^3}$$

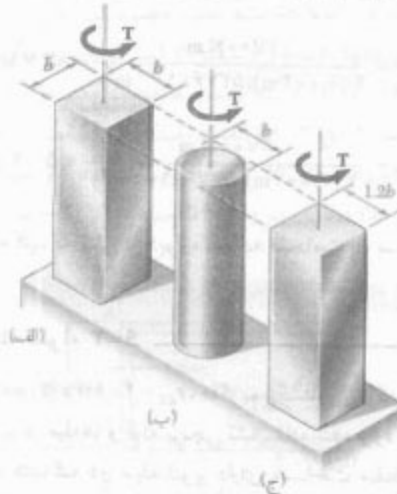
$$a = b = ۰,۰۴ \text{ m} \Rightarrow \frac{a}{b} = ۱,۰۰$$

از جدول ۱-۳، $c_1 = ۰,۲۰\Lambda$ ، برای $\tau_{all} = ۴۰ \text{ MPa}$ ،

$$\tau_{\max} = \frac{T_r}{c_1 ab^3} \Rightarrow ۴۰ \text{ MPa} = \frac{T_r}{۰,۲۰\Lambda (۰,۰۴ \text{ m})^3}$$

$$\Rightarrow T_r = ۵۷۲ \text{ N.m} \blacksquare$$

۱۲۴-۳ هر یک از سه میله فولادی نشان داده شده تحت گشتاور $T = 770 \text{ N.m}$ قرار دارد. اگر تنش مجاز برشی $\tau_{all} = 50 \text{ MPa}$ باشد، اندازه b را باید:



شکل م ۱۲۴-۳، ۱۲۵-۳، ۱۲۶-۳ و ۱۲۷-۳

۱۲۴-۳ هر یک از سه میله آلمینیومی نشان داده شده تحت زاویه 2° می‌بیند. اگر $\tau_{all} = 50 \text{ MPa}$ ، $b = 30 \text{ mm}$ و $G = 27 \text{ GPa}$ ، کمترین طول مجاز هر میله را باید:

۱۲۵-۳ هر یک از سه میله فولادی نشان داده شده تحت گشتاور $T = 550 \text{ N.m}$ قرار دارد. اگر تنش برشی مجاز $\tau_{all} = 50 \text{ MPa}$ باشد، اندازه b را باید.

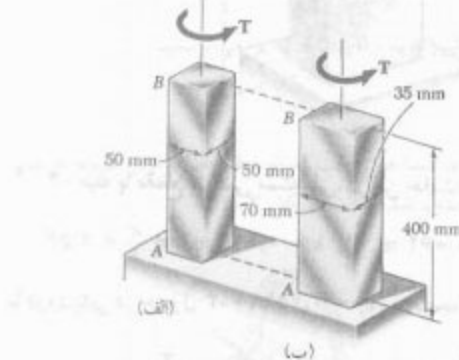
۱۲۶-۳ هر یک از سه میله آلمینیومی نشان داده شده تحت زاویه $1,25^\circ$ می‌بیند. اگر $\tau_{all} = 50 \text{ MPa}$ ، $b = 38 \text{ mm}$ و $G = 27 \text{ GPa}$ ، کمترین طول مجاز هر میله را باید.

۱۲۷-۳ شفت‌های A و B از ماده یکسان ساخته شده‌اند و دارای طول یکسان و مقطع عرضی یکسان هستند، اما A دارای مقطع عرضی دایره‌ای و B دارای مقطع عرضی چهارگوش است. مطلوبست نسبت ماکریتم گشتاورهای T_A و T_B که می‌توان با اطمینان بر A و B وارد کرد.

۱۲۸-۳ شفت‌های A و B از ماده یکسان ساخته شده‌اند و دارای طول یکسان و مقطع عرضی یکسان هستند، اما A دارای مقطع عرضی دایره‌ای و B دارای مقطع عرضی چهارگوش است. نسبت ماکریتم گشتاورهای T_A و T_B را برای شفت‌های A و B :

مسائل

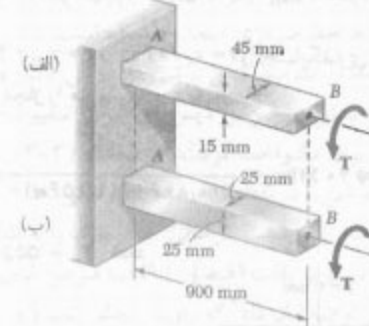
۱۱۹-۳ اگر $T = 800 \text{ N.m}$ ، ماکریتم تنش برشی و زاویه پیچش در انتهای B را برای هر یک از میله‌های برنج زرد با نورده سرد باید $G = 39 \text{ GPa}$.



شکل م ۱۱۹-۳ و ۱۲۰-۳

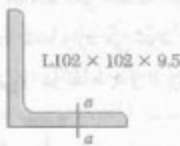
۱۲۰-۳ با استفاده از $\tau_{all} = 50 \text{ MPa}$ ، ماکریتم گشتاور را که می‌توان وارد کرد و زاویه پیچش متناظر در انتهای B را برای هر یک از میله‌های برنج زرد با نورده سرد باید $G = 39 \text{ GPa}$.

۱۲۱-۳ اگر مقدار گشتاور T برابر با 200 N.m باشد، ماکریتم تنش برشی و زاویه پیچش را در انتهای B برای هر یک از میله‌های آلمینیومی نشان داده شده باید. از $G = 27 \text{ GPa}$ استفاده کنید.



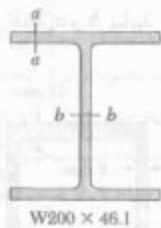
شکل م ۱۲۱-۳ و ۱۲۲-۳

۱۲۲-۳ با استفاده از $\tau_{all} = 70 \text{ MPa}$ ، ماکریتم گشتاور را که می‌توان وارد کرد و زاویه پیچش متناظر را برای هر یک از میله‌های آلمینیومی نشان داده شده باید. از $G = 27 \text{ GPa}$ استفاده کنید.



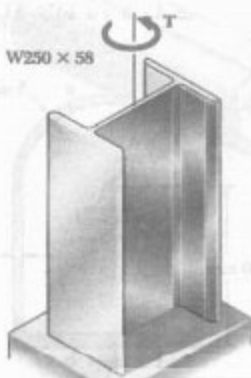
شکل م ۱۳۱-۳

۱۳۲-۳ عضو فولادی به طول $2\frac{1}{4} m$ و با مقطع عرضی $W 200 \times 46,1$ تخت گشتاور $G = VV/2 GPa$ مطلوب است: (الف) ماکریم تنش برشی در امتداد خط $a-a$, (ب) ماکریم تنش برشی در امتداد خط $b-b$, (ج) زاویه پیچش. (راهنمایی: جان و بالهارا به طور جداگانه در نظر بگیرید و رابطهای بین گشتاورهای وارد بر جان و بال را بیاید. برای این منظور، زوایای پیچش را مساوی هم قرار دهید).

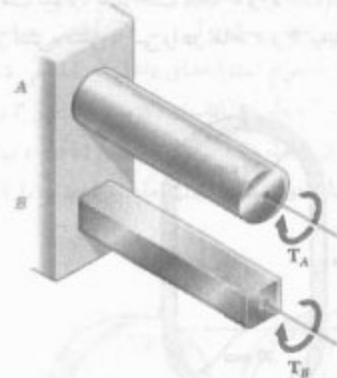


شکل م ۱۳۲-۳

۱۳۳-۳ عضو فولادی به طول $3 m$ دارای مقطع عرضی $W 250 \times 58$ است. اگر $G = VV/2 GPa$ و تنش برشی مجاز $T = 35 MPa$ باشد، مطلوب است: (الف) ماکریم گشتاور T که می‌توان وارد کرد، (ب) زاویه پیچش متناظر. برای ابعاد مقطع عرضی به پیوست ج مراجعه کنید. تمرکز تنش را در نظر بگیرید (به راهنمایی مسئله ۱۳۲-۳ نگاه گنید).



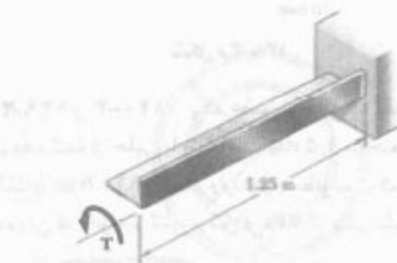
شکل م ۱۳۳-۳



شکل م ۱۳۷-۳ و ۱۷۸-۳

۱۲۹-۳ مطلوب است ماکریم مقطع عرضی مجاز شفت فولادی به طول $4 m$ در صورتی که بخواهیم وقتی شفت یک دوران کامل انجام می‌دهد، ماکریم تنش برشی در آن از $G = VV/2 GPa$ $\leq 120 MPa$ نیست شود.

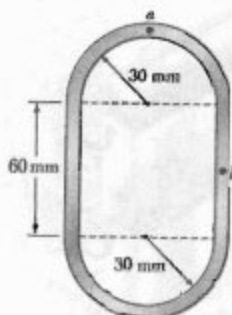
۱۳۰-۳ تشن فولادی به طول $1,25 m$ دارای مقطع عرضی $L 17V \times 76 \times 6,4$ است. توپوست ج، ضخامت این مقطع $6,4 mm$ و مساحت آن $1252 mm^2$ است. اگر $G = VV/2 GPa$ و $\tau_{all} = 60 MPa$ مطلوب است: (الف) ماکریم گشتاور T که می‌توان وارد کرد، (ب) زاویه پیچش متناظر



شکل م ۱۳۰-۳

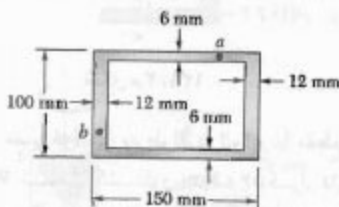
۱۳۱-۳ گشتاور $N_{34} = 340 N.m$ بر نیشی فولادی به طول $1,8 m$ با مقطع عرضی $1 \times 2 \times 4,5 \times 1 = 2 \times 1 = 2 m$ وارد شده است. از پیوست ج، ضخامت این مقطع $4,5 mm$ و مساحت آن $1850 mm^2$ است. اگر $G = VV/2 GPa$ مطلوب است: (الف) ماکریم تنش برشی در امتداد خط $a-a$, (ب) زاویه پیچش

١٣٧-٣ گشتاور $T = 750 \text{ N.m}$ بر شفت توخالي، با ضخامت دیواره یکتوانخت 6 mm وارد شده است. با صرفنظر از تمرکز تنش، تنش برشی را در نقاط a و b باید.



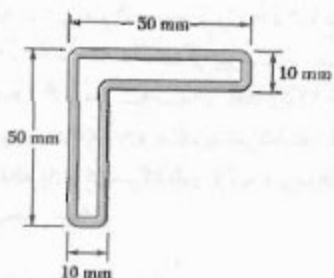
شکل ١٣٧-٣

١٣٤-٣ گشتاور 7 kN.m بر شفت آلومنيومي توخالي با مقطع عرضي نشان داده شده وارد می شود. با صرفنظر از تأثير تمرکز تنش، تنش برشی را در نقاط a و b باید.



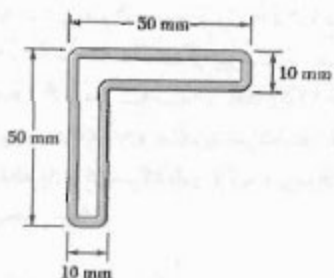
شکل ١٣٤-٣

١٣٥-٢ گشتاور 50 kN.m بر شفت توخالي با مقطع عرضي نشان داده شده وارد شده است. با صرفنظر از تمرکز تنش، تنش برشی را در نقاط a و b باید.



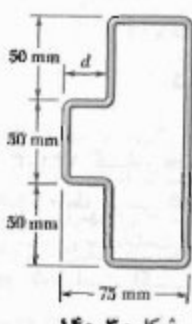
شکل ١٣٥-٢

١٣٨-٣ يك عضو توخالي با مقطع عرضي نشان داده شده از حلبي با ضخامت 2 mm ساخته شده است. اگر تنش برشی باید از 3 MPa بيشتر شود، ماکرزيم گشتاوری را که می توان بر عضو وارد کرد باید.

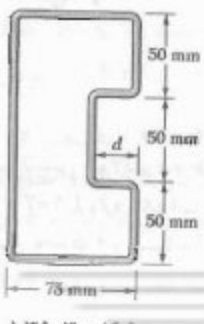


شکل ١٣٨-٣

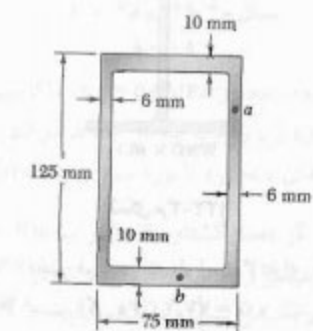
١٣٩-٣ و ١٤٠-٣ يك عضو توخالي با مقطع عرضي نشان داده شده از حلبي با ضخامت 1.5 mm ساخته شده است. اگر گشتاور 140 N.m بر عضو وارد شود، مطلوب است كه ترين اندازه d در صورتی که بخواهيم تنش برشی از 5 MPa بيشتر نشود.



شکل ١٤٠-٣

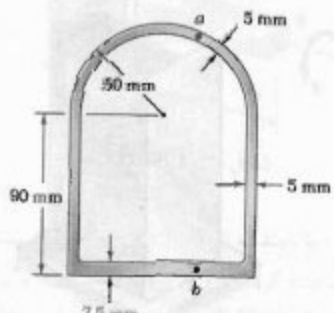


شکل ١٣٩-٣



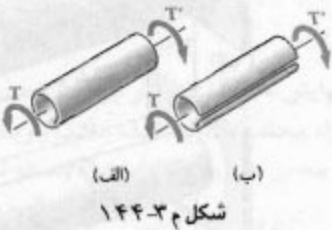
شکل ١٣٥-٣

١٣٦-٣ گشتاور 560 N.m بر شفت توخالي با مقطع عرضي نشان داده شده وارد شده است. با صرفنظر از تمرکز تنش، تنش برشی را در نقاط a و b باید.



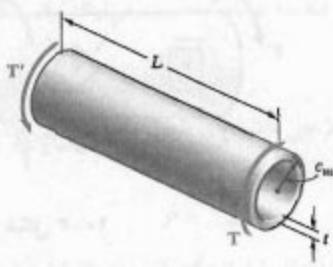
شکل ١٣٦-٣

گشتاورهای مساوی بر لوله‌های جدار نازک با طول یکسان L ، ضخامت یکسان t و شعاع یکسان c وارد شده‌اند. یکی از لونه‌ها، مطابق شکل، در جهت طولی شکاف برداشته است. مطلوبست: (الف) نسبت ماکریم تنشی‌های برشی در لوله‌ها $\frac{\tau_{\text{ب}}}{\tau_{\text{آ}}}$ ، (ب) نسبت زوایای پیچش شفت‌ها $\phi_{\text{آ}}/\phi_{\text{ب}}$.



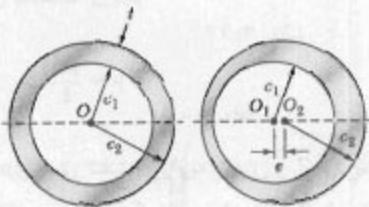
شکل ۱۴۴-۳

۱۴۵-۳ شفت استوانه‌ای توخالی به طول L ، شعاع متوسط $c_{\text{م}}$ و ضخامت یکنواخت t تحت گشتاورهای T قرار دارد. مقدار تنش برشی متوسط τ و زاویه پیچش ϕ را یکبار با فرمول‌های پیچش الاستیک (قسمت‌های ۴-۲ و ۵-۳) و بار دیگر با استفاده از مقادیر حاصل از فرمول‌های شفت‌های جدار نازک توخالی (قسمت ۳-۳) در نظر بگیرید. (الف) نشان دهد که خطای نسبی ناشی از کاربرد فرمول‌های شفت (به جای استفاده از فرمول‌های پیچش الاستیک) برای $\tau_{\text{آ}}$ و $\phi_{\text{آ}}$ یکسان است و مقدار آن مستب و متناسب با نسبت $\frac{c_{\text{م}}}{c_{\text{آ}}}$ است. (ب) درصد خطای متناظر با مقادیر نسبت $\frac{\tau_{\text{آ}}}{\tau_{\text{ب}}}$ برابر با $0,1$ و $0,2$ را با هم مقایسه کنید.



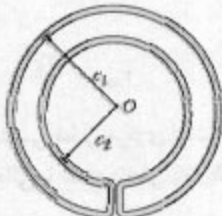
شکل ۱۴۵-۳

۱۴۶-۳ شفت استوانه‌ای توخالی با مقطع عرضی نشان داده شده در شکل ۱ برای مقاومت در برابر گشتاور ماکریم T طراحی شده است. ولی، بر اثر نقص ساخت، خروج از مرکز e بین سطوح استوانه‌های داخلی و خارجی شفت وجود دارد (قسمت ۲ شکل). (الف) ماکریم گشتاور T را که می‌توان با اطمینان بر شفت وارد کرد بحسب $T_{\text{آ}}$ و t بیابید. (ب) درصد کاهش گشتاور مجاز را برای مقادیر $\frac{c_1}{c_2}$ برابر با $0,9$ ، $0,8$ و $0,5$ بیابید.



شکل ۱۴۶-۳

۱۴۷-۳ یک لوله خنککن دارای مقطع عرضی نشان داده شده است و از ورق فولادی زنگ نزن به ضخامت 3 mm ساخته شده است. شعاع‌های $c_{\text{آ}}$ و $c_{\text{ب}}$ تا خط مرکزی مقطع اندازه‌گیری شده‌اند و، به ترتیب، برابر با 150 mm و 100 mm هستند. اگر گشتاور $T = 3\text{ kN}\cdot\text{m}$ بر لوله وارد شود، مطلوبست: (الف) ماکریم تنش برشی در لوله، (ب) مقدار گشتاور وارد بر پوسته خارجی غایرهای، از اندازه دهانه کوچک، محل اتصال پوسته‌های خارجی و داخلی صرف نظر کنید.



شکل ۱۴۷-۳ و ۱۴۸-۳

۱۴۸-۳ یک لوله خنککن دارای مقطع عرضی نشان داده شده است و از ورق فولادی زنگ نزن با ضخامت t ساخته شده است. شعاع‌های $c_{\text{آ}}$ و $c_{\text{ب}}$ تا خط مرکزی مقطع اندازه‌گیری شده‌اند. اگر گشتاور T بر لوله وارد شود، ماکریم تنش برشی در لوله را بحسب $T_{\text{آ}}$ ، $c_{\text{آ}}$ و t بیابید.

مرور و خلاصه فصل ۳

در این فصل، شفتهایی را که تحت گشتوارهای پیچشی قرار دارند تحلیل و طراحی کردیم. به جز دو قسمت آخر، صرفاً شفتهای دایره‌ای بررسی شدند. در قسمت ۲-۳، گفتیم که توزیع نتش در مقطع عرضی یک شفت دایره‌ای از نوع نامعنی است و برای تعیین آن باید تغییرشکل شفت بررسی شود [قسمت ۳-۳]. با اثبات این موضوع که در یک شفت دایره‌ای تحت پیچش تمام مقاطع عرضی بصورت صفحه‌ای و بی اعوجاج می‌مانند، برای جزء کوچکی که جوانب آن به موازات محور شفت و عمود بر آن هستند عبارت زیر را به دست آوردیم:

$$\gamma = \frac{\rho\phi}{L} \quad (2-3)$$

که در آن، لزکنش برushi در فاصله ρ از محور شفت، ϕ زاویه پیچش و L طول شفت است (شکل ۱۴-۳). معادله (۲-۳) نشان می‌دهد که لزکنش برushi در یک شفت دایره‌ای برحسب فصله از محور شفت بصورت خطی تغییر می‌کند. در نتیجه، لزکنش در سطح شفت، یعنی در $c = \rho$ ، دارای مقدار ماکزیمم است:

$$\gamma_{\max} = \frac{c\phi}{L} \quad \gamma = \frac{\rho}{c} \gamma_{\max} \quad (4-3 \text{ و } 3-3)$$

با در نظر گرفتن تنش برushi در یک شفت دایره‌ای در ناحیه الاستیک [قسمت ۳-۳] و با توجه به قانون هوک برای تنش و کرنش برushi، $\tau = G\gamma$ ، رابطه زیر را به دست آوردیم:

$$\tau = \frac{\rho}{c} \tau_{\max} \quad (6-3)$$

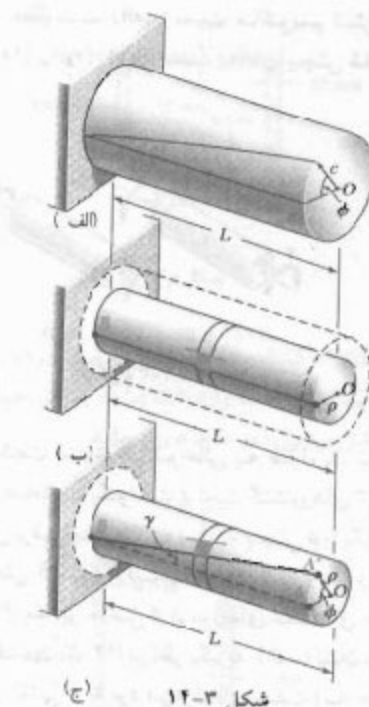
رابطه بالا نشان می‌دهد که در ناحیه الاستیک، تنش برushi τ در یک شفت دایره‌ای نیز برحسب فصله از محور شفت بصورت خطی تغییر می‌کند. مجموع لنگر نیروهای وارد بر قسمت‌های مختلف شفت را مساوی مقدار گشتوار وارد بر شفت قرار دادیم و فرمول‌های پیچش الاستیک را به دست آوردیم:

$$\tau_{\max} = \frac{Tc}{J} \quad \tau = \frac{Tp}{J} \quad (10-3, 9-3)$$

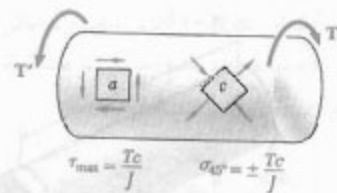
که در آن، c شعاع مقطع عرضی و J ممان اینترسی قطبی مرکزی است. می‌دانیم که برای یک شفت توپر $T = \frac{1}{2}\pi c^3 = J$ و برای شفت توانالی با شعاع داخلی c_i و شعاع خارجی c_o ، $J = \frac{1}{2}\pi(c_o^4 - c_i^4)$.

توجه کنید در حالی که جزء a در شکل ۲-۳ در برش خالص است، جزء b در همان شکل تحت تنش‌های قائم با مقدار یکسان T_{eff} قرار دارد، که دو تا از آنها کششی و دوتای دیگر فشاری هستند. بهمین دلیل، یک ماده چکش خوار در آزمایش پیچش، که معمولاً تحت برush گیخته می‌شود، در امتداد یک صفحه عمود بر محور نمونه می‌شکند، در حالی که مواد نزد (شکننده)، که در کشش ضعیف‌تر از برush هستند، در امتداد سطوحی که با آن محور زاویه 25° دارند می‌شکند.

تغییرشکل شفتهای دایره‌ای



شکل ۱۴-۳ تنش برushi در ناحیه الاستیک



شکل ۲۰-۳

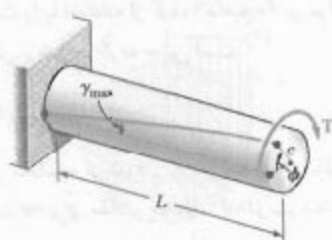
زاویه پیچش

در قسمت ۳-۵ دیدیم که در ناحیه الاستیک، زاویه پیچش یک شفت دایره‌ای با گشتاور وارد بر آن متناسب است (شکل ۲۲-۳). با ϕ بر حسب واقعیان،

$$\phi = \frac{TL}{JG} \quad (16-3)$$

که در آن،

طول شفت

 J = ممان ایترسی قطبی مقطع عرضی G = مدول صلابت ماده

شکل ۲۲-۳

اگر شفت در نقاطی غیر از دو انتهایش تحت گشتاور قرار گیرد یا از قسمت‌های مختلف با مقاطع عرضی متفاوت و از مواد مختلف ساخته شده باشد، زاویه پیچش شفت به صورت مجموع جبری زوایای پیچش اجزای آن بیان می‌شود [مسئله نمونه ۳-۳]:

$$\phi = \sum_i \frac{T L_i}{J_i G_i} \quad (17-3)$$

در شکل ۲۶-۳ ب دیده می‌شود وقتی هر دو انتهای شفت BE می‌چرخند، زاویه پیچش شفت برابر است با تفاضل زوایای چرخش ϕ_B و ϕ_E دو انتهای شفت. همچنین، توجه کنید وقتی دو شفت AD و BE توسط چرخ دنده‌های A و B به هم متصل شده‌اند، گشتاورهای وارد از چرخ دنده A بر شفت AD و از چرخ دنده B بر شفت BE ، به ترتیب، با شعاع‌های r_A و r_B این دو چرخ دنده به طور مستقیم متناسب‌اند زیرا نیروهای وارد از دنده‌های چرخ دنده در C مساوی و متضادند. از طرف دیگر، زوایای چرخش ϕ_A و ϕ_B دو چرخ دنده با r_A و r_B به طور معکوس متناسب‌اند زیرا قوس‌های CC' و CC'' که دنده چرخ دنده‌ها طی می‌کنند با هم برابرند [مثال ۳-۴] و مسئله نمونه ۳-۴.

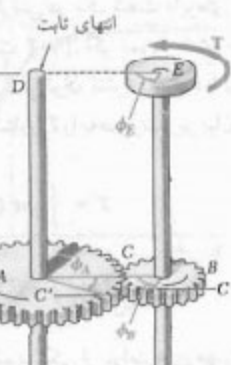
اگر واکنش در تکیه‌گاه‌های یک شفت یا گشتاورهای داخلی را توان صرفأ با استفاده از استاتیک تعیین کرد، شفت را نامعنی استاتیکی می‌گویند [قسمت ۳-۶]. در این حالت، معادله‌های تعادل را که از نمودارهای آزاد بدست می‌آیند باید با رابطه‌هایی که شامل تغییر شکل شفت هستند و از هندسه مسئله بدست می‌آیند ترکیب کرد [مثال ۳-۵] و مسئله نمونه ۳-۵.

در قسمت ۳-۷، درباره طراحی شفت‌های انتقال بحث کردیم. ابتدا، قدرت P را که توسط شفت متنقل می‌شود بیان کردیم:

$$P = 2\pi f T \quad (20-3)$$

که در آن، T گشتاور وارد بر هر انتهای شفت و فرکانس دوران شفت است. واحد فرکانس عبارت است از دوران بر ثانیه (s^{-1}) یا هertz (Hz). در آنچه SI ، T بر حسب نیوتون-متر (N.m) و P بر حسب وات (W) است.

برای طراحی شفتی که قدرت معین P را در فرکانس انتقال می‌دهد، ابتدا باید T را از ماده (۳-۲) حل کرد. با قرار دادن این مقدار و ماکریسم مقدار مجاز شفت در فرمول (۳-۳)، مقدار پارامتر c/L را تعیین و لزومی آن قطر شفت را محاسبه می‌کنیم [مثال‌های ۳-۶ و ۳-۷].



شکل ۲۶-۳ ب

شافت‌های نامعنی استاتیکی

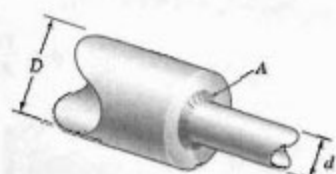
شافت‌های انتقال

تمرکز تنش

در قسمت ۸-۳، تمرکز تنش را در شفت‌های دایره‌ای بررسی کردیم. دیدیم که تمرکز تنش حاصل از یک تغییر ناگهانی در قطر شفت را با استفاده از گُرد (ماهیچه) می‌توان کاهش داد (شکل ۳۱-۳). ماکریم مقدار تنش برشی در گُرد چنین است

$$\tau_{max} = K \frac{Tc}{J} \quad (25-3)$$

که در آن، تنش J/Tc برای شفت با قطر کوچکتر محاسبه می‌شود و K ضریب تمرکز تنش است. در شکل ۳۲-۳، مقدار K بر حسب نسبت c/d برای مقادیر مختلف D/d رسم شدند (شعاع گُرد است).



شکل ۳۱-۳

تغییر شکل پلاستیک

در قسمت‌های ۹-۳ تا ۱۱-۳، درباره تغییر شکل پلاستیک و تنش‌های بالاتر مانده در شفت‌های دایره‌ای بحث شد. ابتدا، گفتم که توزیع کرنش در یک شفت دایره‌ای همواره خطی است حتی اگر قانون هوک به کار نمود (قسمت ۹-۳). اگر نمودار تنش-کرنش برشی ماده‌ای معلوم باشد، برای هر مقدار معین τ_{max} می‌توان تنش برشی τ را بر حسب فاصله ρ از محور شفت رسم کرد (شکل ۳۵-۲). گشتاور T را به صورت زیر بیان کردیم:

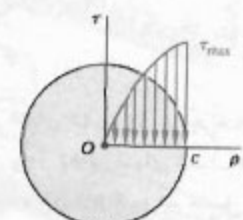
$$T = \int_0^c \rho \tau (2\pi \rho d\rho) = 2\pi \int_0^c \rho^2 \tau d\rho \quad (26-3)$$

که در آن، τ تابعی از ρ است. این تابع در شکل ۳۵-۳ رسم شده است.

گشتاور نهایی T_U را، که باعث شکست شفت می‌شود، یکی از پارامترهای مهم است و آن را با آزمایش یا با محاسبه می‌توان تعیین کرد. برای این منظور، τ_{max} را مساوی تنش برشی نهایی τ_U ماده قرار می‌دهیم. از T_U ، و با فرض توزیع خطی تنش (شکل ۳۶-۳)، تنش خیالی $R_T = T_U c/J$ را تعیین کردیم. تنش R_T را مدول شکست پیچشی شفت می‌گویند.

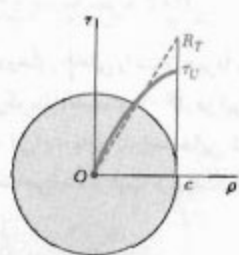
در قسمت ۱۰-۳ گفتم که برای شفت توبه‌ای دایره‌ای الاستوپلاستیکی، تا وقتی τ_{max} از استقامت تسلیم τ_y شفت بیشتر نشده است، توزیع تنش در تمام مقاطع شفت به صورت خطی است (شکل ۳۸-۳ (الف)). گشتاور T متناظر با $\tau_y = \tau_{max}$ را (شکل ۳۸-۳ (ب)) ماکریم گشتاور الاستیک است. برای یک شفت توبه دایره‌ای به شعاع c ،

$$T_y = \frac{1}{4} \pi c^2 \tau_y \quad (29-3)$$



شکل ۳۵-۳

مدول شکست



شکل ۳۶-۳

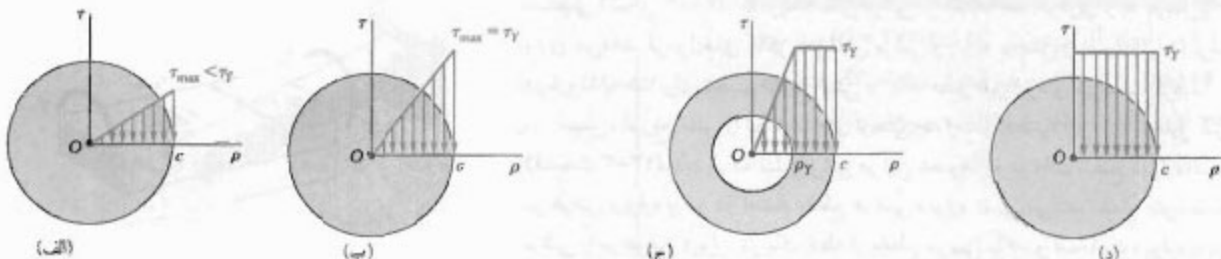
با افزایش گشتاور، در پیرامون هسته الاستیک به شعاع c یک ناحیه پلاستیک گشتش می‌یابد. گشتاور T متناظر با مقدار داده شده τ_y چنین است:

$$T = \frac{4}{3} T_y \left(1 - \frac{\rho_y^2}{4 c^2} \right) \quad (32-3)$$

وقتی ρ_y به صفر نزدیک می‌شود، گشتاور T به مقدار حدی T_p ، به نام گشتاور پلاستیک شفت میل می‌کند:

$$T_p = \frac{4}{3} T_y \quad (33-3)$$

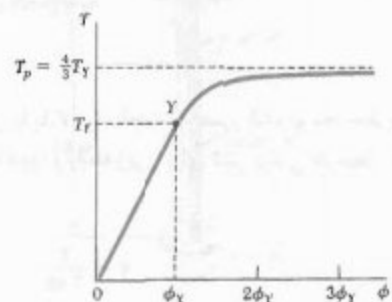
شافت توبه الاستوپلاستیکی



شکل ۳۸-۳

با ترسیم گشتاور T بر حسب زاویه پیچش ϕ برای شفت توبیر دایره‌ای (شکل ۳۹-۳)، پاره خط مستقیم Y را، که با معادله (۱۶-۳) تعریف می‌شود، به دست می‌آید؛ به دنبال این خط، یک منحنی و سپس خط مستقیم $T_p = T_p(\phi)$ می‌آید؛ معادله قسمت منحنی چنین است:

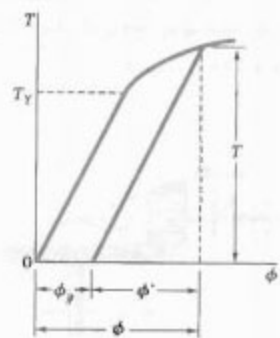
$$T = \frac{4}{\pi} T_Y \left(1 - \frac{1}{4} \frac{\phi^2 Y}{\phi^2} \right) \quad (37-3)$$



شکل ۳۹-۳

بارگذاری یک شفت دایره‌ای پس از شروع تسلیم و باربرداری آن (قسمت ۱۱-۳) باعث ایجاد تغییر شکل دائمی می‌شود. این تغییر شکل از رابطه $\phi' - \phi = m\phi$ بدست می‌آید، که در آن ϕ' متناظر با حالت بارگذاری است که در پاراگراف قبل توصیف شد و ϕ' متناظر با حالت باربرداری است که با یک خط مستقیم در شکل ۴۲-۳ نشان داده می‌شود. همچنین، تنش‌های دائمانه در شفت به وجود می‌آید. از مجموع تنش‌های ماکریم در حالت بارگذاری و تنش‌های معکوس متناظر در حالت باربرداری، تنش‌های دائمانه به دست می‌آیند (مثال ۳-۹).

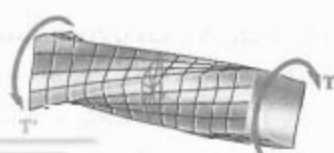
تغییر شکل دائمی. تنش‌های دائمانه



شکل ۴۲-۳

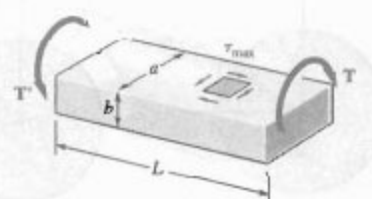
در دو قسمت آخر فصل درباره پیچش عضوهای غیر دایره‌ای بحث کردیم. ابتدا گفتیم که استنتاج فرمول‌های توزیع کرنش و تنش در شفت‌های دایره‌ای بر این مبنای انجام شد که، به علت تقارن محوری این عضوهای مقاطع عرضی به صورت صفحه‌ای و بی‌اعوجاج می‌مانند. چون این خاصیت برای عضوهای غیر دایره‌ای، مانند میله چهارگوش شکل ۴۵-۳ صحت ندارد، فرمول‌های قبل را نمی‌توان در تحلیل این عضوهای به کار برد (قسمت ۳-۱۲).

پیچش عضوهای غیر دایره‌ای



شکل ۴۵-۳

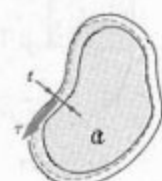
میله با مقطع عرضی مستطیلی



شکل ۴۸-۳

در قسمت ۱۲-۳ نشان دادیم که در میله‌های مستقیم با مقطع عرضی بکناره مستطیلی (شکل ۴۸-۳)، ماکریسم تنش برشی در امتداد خط مرکزی وجه عریض تر میله روی می‌دهد. فرمول‌های ماکریسم تنش برشی و زاویه پیچش را بدون آلات نوشتیم، دریاره تشابه غنا برای تجسم توزیع تنش در یک عضو غیردایره‌ای نیز بحث کردیم. سپس، توزیع تنش را در شفت‌های توخالی جدار نازک غیردایره‌ای تحلیل کردیم (قسمت ۱۳-۳). دیدیم که تنش برشی در این عضوها به موازات سطح دیواره است، و در عرض دیواره و نیز در امتداد مقطع عرضی دیواره تغییر می‌کند. مقدار متوسط تنش برشی را در عرض دیواره در یک نقطه از مقطع عرضی با τ_a ، و ضخامت دیواره را در آن نقطه با t نشان دادیم (شکل ۵۷-۳). دیدیم که کمیت $\tau_a = \frac{T}{2tL}$ ، که آن را جربان برش می‌گویند، در امتداد مقطع عرضی ثابت است.

شفت‌های توخالی جدار نازک

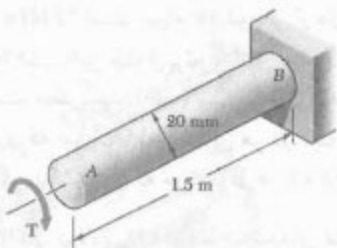


شکل ۵۷-۳

گشاور وارد بر شفت توخالی را با T و مساحت محصور شده توسط خط مرکزی مقطع عرضی دیواره را با τ_a نشان دادیم، و رابطه زیر را برای تنش برشی متوسط τ در یک نقطه از مقطع عرضی نوشتیم:

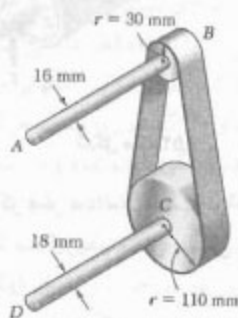
$$\tau = \frac{T}{2tL} \quad (57-3)$$





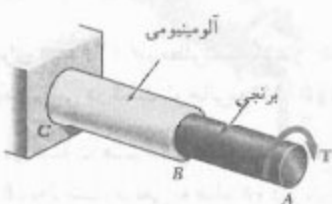
شکل م ۱۴۸-۳

۱۴۹-۳ مجموعه نشان داده شده 2 kW را از نقطه A به نقطه D انتقال می‌دهد. (الف) با استفاده از تنش برشی مجاز، سرعت شفت AB را بایابید. (ب) قسمت الف را با این فرض حل کنید که قطر شفت‌های AB و CD ، به ترتیب 18 mm و 15 mm باشد.



شکل م ۱۴۹-۳

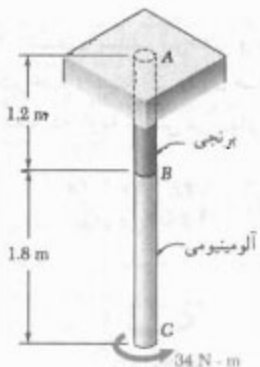
۱۵۰-۳ تنش مجاز در میله برنجی AB برابر 50 MPa و در میله آلومنیومی BC برابر با 25 MPa است. اگر گشتاور $T = 125 \text{ N.m}$ در A وارد شود، مطلوبست قطر: (الف) میله $.BC$ ، (ب) میله $.AB$.



شکل م ۱۵۰-۳ و م ۱۵۱-۳

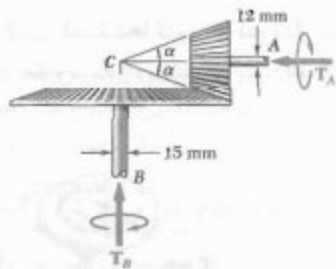
مسائل تكميلي

۱۴۶-۴ میله آلومنیومی ($G = 77 \text{ GPa}$) BC به میله برنجی ($G = 34 \text{ GPa}$) AB به هم متصل شده‌اند. اگر قطر هر میله 12 mm باشد، مطلوبست زاویه پیچش: (الف) در B ، (ب) در C .



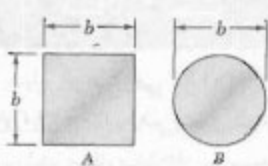
شکل م ۱۴۶-۴

۱۴۷-۲ در سیستم چرخ دنده مخروطی نشان داده شده، $\alpha = 18.43^\circ$. اگر تنش مجاز برشی آلومنیوم و 55 MPa شافت‌ها و کل سیستم در تعادل باشند، ماکزیمم گشتاور T_A را که می‌توان در A وارد کرد بایابید.



شکل م ۱۴۷-۲

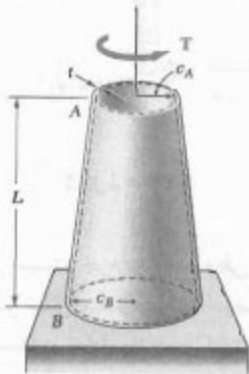
۱۴۸-۳ گشتاور T بر میله فولادی AB به قطر 20 mm وارد شده است. اگر $G = 77/2 \text{ GPa}$ و $\tau_y = 140 \text{ MPa}$ باشند، مطلوبست: (الف) گشتاور T وقتی زاویه پیچش در A برابر 25° است. (ب) قطر متناظر هسته الاستیک شفت.



شکل ۱۵۵-۳م

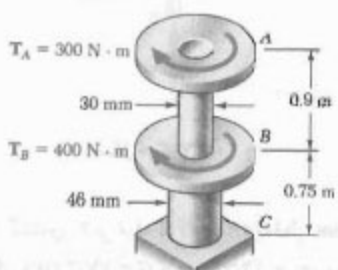
۱۵۶-۳ شفت بلند، توحالی و مخروطی AB دارای ضخامت یکنواخت است. اگر مدول صلابت را با G نشان دهیم، نشان دهد که زاویه پیچش در انتهای A چنین است

$$\phi_A = \frac{TL}{4\pi G I} \frac{c_A + c_B}{c_A^2 c_B^2}$$



شکل ۱۵۶-۳م

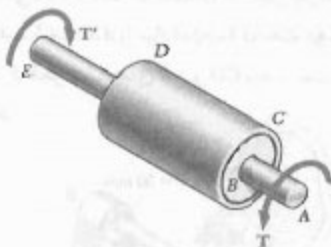
۱۵۷-۳ اگر شفت‌ها توپر و فولادی باشند و $G = 77,2 \text{ GPa}$ ، مطلوبست زاویه پیچش بین: (الف) A و B ، (ب) C و A



شکل ۱۵۷-۳م

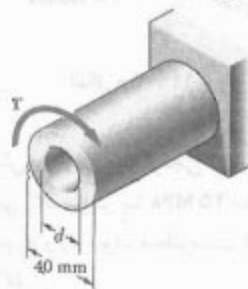
۱۵۸-۳ میله توپر BC به قطر 30 mm و از آلمینیوم با تنش برشی مجاز 25 MPa است. میله AB توحالی و دارای قطر خارجی 25 mm است: این میله از برنج با تنش برشی 40 MPa ساخته شده است. مطلوبست: (الف) بیشترین قطر داخلی برای میله AB به طوری که ضریب اطمینان برای هر دو میله یکسان باشد، (ب) بیشترین گشتاوری که می‌توان در A وارد کرد.

۱۵۹-۳ ژاکت فولادی CD توسط فلاچهای صلب به شفت AE به قطر 40 mm متصل شده است (فلاچهای به ژاکت و میله جوش مددگار). قطر خارجی ژاکت 80 mm و ضخامت دیواره آن 4 mm است. با اعمال گشتاور 5000 N.m ، ماکریسم تنش برشی را در ژاکت بیابید.



شکل ۱۵۹-۳م

۱۶۰-۳ اگر قطر d داخلی شفت توحالی نشان داده شده 22 mm باشد، ماکریسم تنش برشی حاصل از گشتاور $T = 1000 \text{ N.m}$ را بیابید.



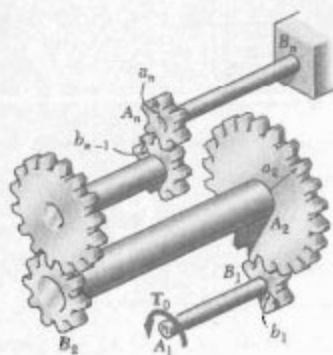
شکل ۱۵۹-۳م و ۱۶۰-۳م

۱۶۱-۳ برای $d = 30 \text{ mm}$ ، مطلوبست گشتاور T به طوری که تنش ماکریسم برشی در شفت توحالی 50 MPa باشد.

۱۶۲-۳ دو شفت هم جنس هستند. مقطع عرضی شفت‌های A و B ، به ترتیب، مربعی به ضلع b و دایره‌ای به قطر b است. اگر شفت‌ها تحت گشتاور یکسان قرار گیرند، نسبت $\frac{\sigma_A}{\sigma_B}$ را برای ایجاد ماکریسم تنش برشی در شفت‌ها بیابید.

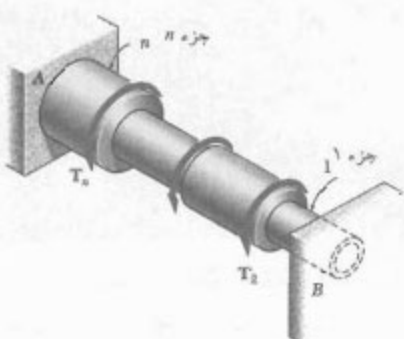
مسائل کامپیوتری

مسائل زیر برای حل با کامپیوتر طراحی شده‌اند.



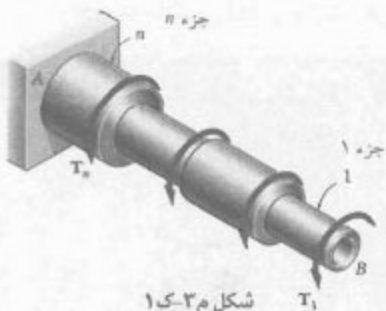
شکل م-۳-۲

۳-۲ شفت AB از n جزء همگن استوانه‌ای، که می‌تواند توپر یا توخالی باشد، تشکیل شده است. انتهای A شفت ثابت است و انتهای B آزاد می‌باشد. شفت، مطابق شکل، بارگذاری شده است. طول جزء i ام با L_i ، قطر خارجی آن با OD_i ، قطر داخلی آن ID_i ، مدول صلات آن با G_i و گشتاور وارد بر انتهای آن با T_i دارد. قدرت T_i را در شکل م-۳-۲ نشان داده می‌شود. مقدار T_i این گشتاور را مثبت می‌گیریم هرگاه T_i از انتهای B به طور پادساعتگرد دیده شود و در غیر این صورت منفی می‌گیریم. (توجه کنید که اگر جزء توپر باشد، $T_i = 0$). (الف) یک برنامه کامپیوتری بنویسید و با آن ماکریم تنش برشی در هر جزء، زاویه پیچش هر جزء، و زاویه پیچش تمام شفت را بیابید. (ب) با استفاده از این برنامه مسائل ۳-۳۶، ۳-۳۷، ۳-۳۸، و ۳-۳۹ را حل کنید.



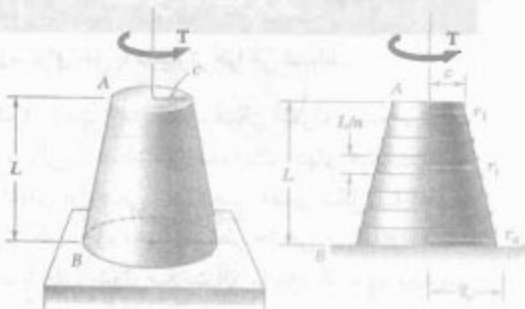
شکل م-۳-۳

۳-۳ ۱ شفت AB از n جزء همگن استوانه‌ای، که می‌تواند توپر یا توخالی باشد، تشکیل شده است. انتهای A شفت ثابت است و انتهای B آزاد می‌باشد. شفت، مطابق شکل، بارگذاری شده است. طول جزء i ام با L_i ، قطر خارجی آن با OD_i ، قطر داخلی آن ID_i ، مدول صلات آن با G_i و گشتاور وارد بر انتهای آن با T_i دارد. قدرت T_i را در شکل م-۳-۲ نشان داده می‌شود. مقدار T_i این گشتاور را مثبت می‌گیریم هرگاه T_i از انتهای B به طور پادساعتگرد دیده شود و در غیر این صورت منفی می‌گیریم. (توجه کنید که اگر جزء توپر باشد، $T_i = 0$). (الف) یک برنامه کامپیوتری بنویسید و با آن ماکریم تنش برشی در هر جزء، زاویه پیچش هر جزء، و زاویه پیچش تمام شفت را بیابید. (ب) با استفاده از این برنامه مسائل ۳-۳۶، ۳-۳۷، ۳-۳۸، و ۳-۳۹ را حل کنید.



شکل م-۳-۴

۳-۴ مجموعه نشان داده شده از n شفت استوانه‌ای، که می‌توانند توپر یا توخالی باشند، تشکیل شده است. این شفت‌ها توسط چرخ‌دنده‌هایی به هم متصل شده‌اند و مجموعه توسط بسته‌ای (که نشان داده نشده‌اند) نگه داشته شده است. انتهای A شفت اول آزاد است و تحت گشتاور T_1 قرار دارد، و انتهای B شفت آخر ثابت است. طول شفت i ام با L_i ، قطر خارجی آن با OD_i ، قطر داخلی آن با ID_i و مدول صلات آن را با G_i نشان می‌دهیم (توجه کنید که برای جزء توپر $T_i = 0$). شعاع چرخ‌دنده A با a_i و شعاع چرخ‌دنده B را با b_i نشان می‌دهیم. (الف) یک برنامه کامپیوتری بنویسید و با استفاده از آن ماکریم تنش برشی در هر شفت، زاویه پیچش هر شفت و زاویه چرخش انتهای A را بیابید. (ب) با استفاده از این برنامه، مسائل ۳-۴۲، ۳-۴۳، ۳-۴۴، و ۳-۴۵ را حل کنید.



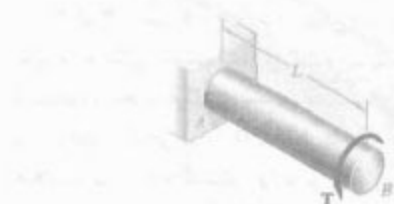
شکل ۳-۵

۳-۶ گشاور ۳ مطابق شکل بر شفت بلند، توخالی و مخروطی AB، که دارای ضخامت پکتواخت است، وارد شده است. عبارت حقیق زاویه پیچش شفت را از عبارت داده شده در متنه ۳-۱۵۶ می توان بدست آورد: این شفت را با n حلقه استوانه ای با طول مساوی و پاشعای (c/n) داشته باشد. بنابراین $r_j = (n + i - 1) \cdot (c/n)$ و $i = 1, 2, \dots, n$. حال آنکه این عبارت تقریبی زاویه پیچش را باید با استفاده از مقادیر انتخابی برای T, L, G, c و A در صد خطای این عبارت تقریبی را در موارد زیر باید:



8, 157-160

۴- شفت همکن و توری استوانهای AB دارای طول L ، قطر d ، مدول صلابت G و استقامت تسلیم σ_0 است. این شفت تحت گشتاور T فرار دارد. مقدار این گشتاور به تابعی از ضرر افزایش می‌یابد تا اینکه زاویه پیچش شفت به مقدار ماکریم ϕ می‌رسد و سپس مجلدانه تا سفر کاهش می‌یابد. (الف) پک برنامه کامپیوتری پیویسید و با استفاده از آن، پیویسی هر ۱۶ متر از ϕ که در بازه‌های مساوی فرار دارند و از «تا ۳ برابر زاویه پیچش در شروع تسلیم هستند، کمیت‌های زیر را یابید: عذران ماکریم T گشتاور، شعاع هسته الامبیک، ماکریم تنش پرسی، پیچش دائمی و تنش پرسی باقیمانده در سطح شفت و در فصل مشترک بین هسته الامبیک و ناحیه پلاستیک (ب) با استفاده از این برنامه، پاسخ‌های تقریبی را برای مسائل ۳-۱۱۱-۳، ۱۱۲-۳ و ۱۱۴-۳ بدانید.



15-15-1

۵-۳ عبارت دقیق زاویه پیچش شفت توزیر مخروطی AB ، هنگامی که تحت گشتاور T قرار می‌گیرد، در مسئله ۳-۶ داده شده است. شفت مخروطی را با "شافت استوانه‌ای با علوی مساوی و با اشعاع $(c/n)^{\frac{1}{2}}$ " $= r$ جایگزین کنید و عبارت تقریبی زاویه پیچش را بسازید $n = \dots$ و 2 و 1 . با استفاده از مقادیر انتخابی برای T ، L ، G و c ، درصد خطای این عبارت تقریبی را در موارد زیر بسازید: (الف) $c = n$ ، (ب) $c = 100$ ، (ج) $c = 200$ ، (د) $c = 800$.

۲۵

خمش خالص

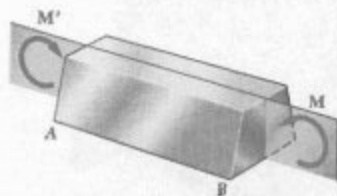


ورزشکار، میله وزنه برداری را یادستهایش که در هوایی مساوی از وزنهای قدر دارند نگهداشته است. این عمل باعث ایجاد خمث خالص در قسمت مرکزی میله می‌شود. تنش‌های قائم و افقی مانندی از خمث خالص در این فصل تعیین می‌شوند.

۱-۴ مقدمه

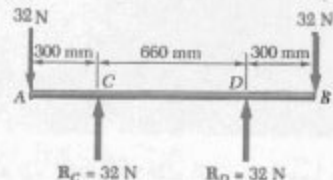
در فصل‌های قبل، تنش در عضوهای منشوری را که تحت بارهای محوری یا کوبیل‌های پیچشی قرار دارند بررسی کردیم. در این فصل و در دو فصل بعد، تنش و کرنش در عضوهای منشوری را که تحت خمش قرار دارند تحلیل می‌کنیم. خمش مفهوم مهمی است که در طراحی اغلب اجرای مکانیکی و ساختمندانی به کار می‌رود.

در این فصل، عضوهای منشوری را تحت کوبیل‌های مساوی و مخالف M و M' ، که در صفحه طولی یکسان عمل می‌کنند، تحلیل می‌کنیم. می‌گوییم این عضوهای در خمش خالص هستند. فرض می‌کنیم عضو دارای صفحه تقارن است و کوبیل‌های M و M' در آن صفحه عمل می‌کنند (شکل ۱-۲).

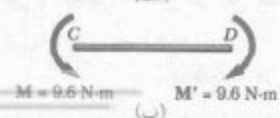


شکل ۱-۴

خمش میله وزنه‌برداری در بالای سر وزنه‌بردار، نمونه‌ای از خمش خالص است. این میله دارای وزنه‌هایی است که به فواصل مساوی از دستهای وزنه‌بردار قرار دارند. به علت تقارن میله (شکل ۲-۴ الف)، واکنش دستهای با هم برابر و در سوی مخالف وزنه‌ها هستند. بنابراین، هنگام بررسی قسمت مرکزی CD میله می‌توان وزنه‌ها و واکنش‌ها را با دو کوبیل مساوی و مخالف $9,6 \text{ N.m}$ جایگزین کرد (شکل ۲-۴ ب)، و این نشان می‌دهد که قسمت مرکزی میله در خمش خالص است. همین تحلیل برای اکسل یک خودرو (شکل ۳-۴) نشان می‌دهد که اکسل، بین دو نقطه اتصالش با خودرو، در خمش خالص است.

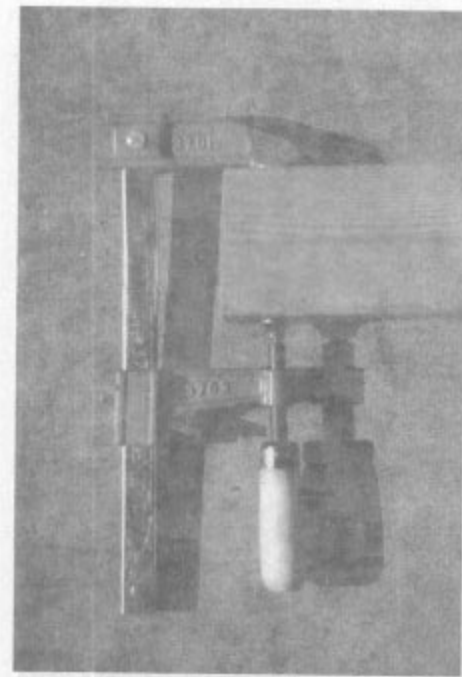


(الف)



(ب)

شکل ۲-۴



شکل ۳-۴ یک گیره فولادی را نشان می‌دهد که نیروهای 600 N را پس دو تکه چوب وارد کرده و آنها را بهم چسبانده است. در شکل ۵-۴ الف، نیروهای مساوی و مخالف وارد از چوب بر گیره نشان داده شده است. این نیروها باعث می‌شوند قسمت مستقیم گیره تحت بارگذاری خارج از مرکز قرار گیرد. در شکل ۵-۴ ب، گیره در CC' مقطع خودرو است و نمودار آزاد نیمه بالایی آن رسم شده است. طبق این

در قسمت اول این فصل، تنش و تغییرشکل ناشی از خمن خالص را در عضو همگنی بررسی می‌کنیم که دارای صفحه تقارن است و ماده سازنده آن از قانون هوک پیروی می‌کند. در قسمت ۲-۴، از روش‌های استاتیک برای استنتاج معادله‌های تنش قائم در مقاطع عرضی استفاده می‌کنیم. در قسمت ۳-۴، نشان می‌دهیم در تیری که تحت خمن خالص است مقاطع عرضی به عنوان صفحه‌ای می‌مانند. در قسمت ۴-۴، فرمول‌های تنش قائم و شعاع انتخابی عضوی را که در خمن خالص است به دست می‌آوریم.

در قسمت ۶-۴، تنش و تغییرشکل را در عضوهای موکبی که از چند ماده ساخته شده‌اند، مانند تیرهای بتن آرمه که در ساختمان‌ها و پل‌ها به کار می‌روند، مطالعه می‌کنیم. در آنجا نحوه ترسیم مقطع تبدیل یافته را خواهید آموخت؛ مقطع تبدیل یافته عبارت است از مقطع عرضی همگنی که تغییرشکل آن، تحت همان بارگذاری عضوی مربک، مانند تغییرشکل عضو مربک است. از مقطع تبدیل یافته برای تعیین تنش و تغییرشکل در عضوی مربک استفاده می‌شود. در قسمت ۷-۴، تعویض تنش را که در تغییرات ناگهانی مقطع عرضی عضوی به وجود می‌آید مطالعه می‌کنیم.

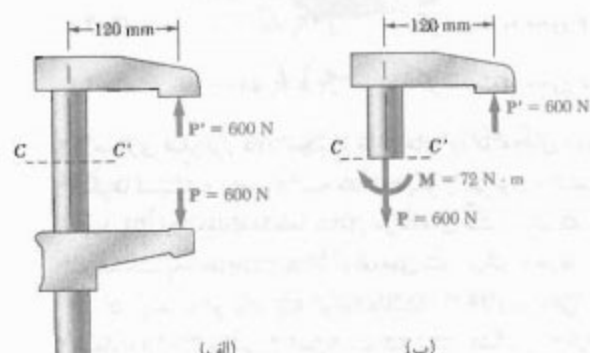
در قسمت ۸-۴، تغییرشکل پلاستیک را در خمن بررسی می‌کنیم؛ یعنی، تغییرشکل عضوهایی را که ماده سازنده آنها از قانون هوک پیروی نمی‌کنند. در قسمت ۹-۴ تنش و تغییرشکل در عضوهای ااستوپلاستیک را مطالعه می‌کنیم. با مطالعه می‌ذنگر * الاستیک M_y ، که مستقر از آغاز تسلیم است، شروع می‌کنیم و تأثیر افزایش لذگر را، تا وقتی به لذگر پلاستیک M_p رسید، بررسی می‌کنیم. در قسمت ۱۱-۴، تغییرشکل دلتی و تنش‌های پاقیمانده را که از این بارگذاری‌ها ناشی می‌شوند تعیین می‌کنیم. گفتنی است که در نیم قرن گذشته برای طرح‌های مطمئن و اقتصادی از خواص ااستوپلاستیکی فولاد خیلی استفاده شده است.

در قسمت ۱۲-۴، بارگذاری محوری خارج از مرکز در صفحه تقارن را با استفاده از ترکیب تنش‌های ناشی از خمن خالص و بارگذاری محوری مرکزی تحلیل می‌کنیم. خمن ناقلتقارن، بارگذاری محوری خارج از مرکز و تنش در عضوهای خمیده را، به ترتیب، در قسمت‌های ۱۲-۴، ۱۴-۴ و ۱۵-۴ بررسی می‌کنیم.

۴-۲ عضو متقارن در خمن خالص

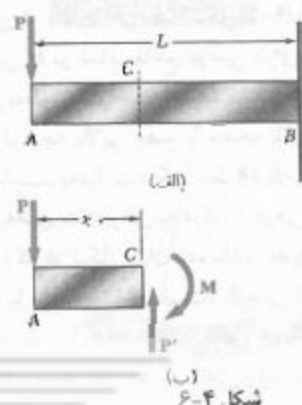
عضو منشوری ABC را در نظر بگیرید. این عضو دارای صفحه تقارن است و تحت کوبیلهای مساوی و متضاد M و M' ، که در

نمودار، نیروهای داخلی در این مقطع با نیروی کششی محوری $P = 600 \text{ N}$ و کوبیل $M = 72 \text{ N}\cdot\text{m}$ معادل‌اند. با استفاده از اعلاه‌الات مرتبه به تنش در بارگذاری و تحلیل‌های آتی درباره تنش ناشی از خمن خالص، می‌توان توزیع تنش را در بارگذار خارج از مرکز تعیین کرد. این موضوع در قسمت ۱۲-۴ مورد بحث قرار می‌گیرد.



شکل ۴-۶

مطالعه خمن خالص نقش مهمی در مطالعه تیرها ایفا می‌کند. مثلاً، تیر طرهای AB را که سر آزاد آن تحت بار متغیر P قرار دارد در نظر بگیرید (شکل ۴-۶(الف)). با عبور یک مقطع از C در فاصله x از A و با استفاده از نمودار آزاد AC (شکل ۴-۶(ب))، دیده می‌شود نیروهای داخلی در این مقطع مشکل است از نیروی P' ، که مساوی P و مخالف آن است، و کوبیل $M = Px$. اگر تیر در خمن خالص باشد، توزیع تنش بر روی در این مقطع می‌توان به دست آورد. از طرف دیگر، تنش بر روی در این مقطع بستگی به نیروی P' دارد. در فصل ۶، توزیع این تنش در یک مقطع بررسی می‌شود.



شکل ۴-۷

نيروها در هر جهت صفر است، به علاوه، لنگر کوپل نسبت به هو محور عمود بر صفحه کوپل دارای مقدار يكسان است، و نسبت به تمام محورهاي واقع در صفحه کوپل برابر با صفر است، محور z را به دلخواه و مانند شکل ۴-۸ انتخاب مي‌کيم و مي‌نویسیم:

$$\text{مُؤْلَفَهُ } x : \int \sigma_x dA = 0 \quad (۴-۴)$$

$$\text{لُنْگَرُ نِسْبَتُ بِهِ مُحَوَّرٍ } u : \int \sigma_x dA = 0 \quad (۲-۴)$$

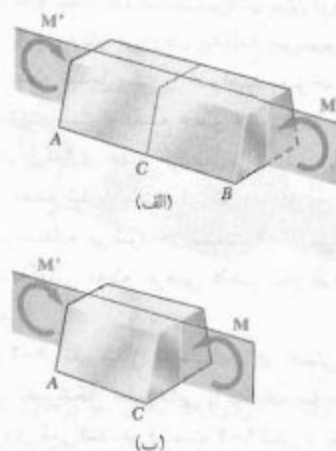
$$\text{لُنْگَرُ نِسْبَتُ بِهِ مُحَوَّرٍ } z : \int (y \sigma_x dA) = M \quad (۳-۴)$$

با مساوي صفر قرار دادن مجموع مُؤْلَفَهَاتِ u، z، و لنگرها نسبت به محور x، سه معادله دیگر را مي‌توان به دست آورد. اما، اين معادله‌ها فقط شامل مُؤْلَفَهَاتِ تنش برشي‌اند و در قسمت بعد خواهيد ديد که مُؤْلَفَهَاتِ تنش برشي صفرند. در اینجا به دو نکته باید توجه داشت: (۱) علامت منفي در معادله (۳-۴) ناشی از اين است که تنش کشش ($\sigma_y > 0$) باعث مي‌شود نيروی قائم $\tau_y dA$ نسبت به محور z لنگر منفي (ساعنگر) يه وجود آورده. (۲) معادله (۲-۴) قابل پيش‌بینی بود، زيرا اعمال کوپل‌ها در صفحه تقارن عضو AB باعث ايجاد تنش‌های قائم، با توزيع متفقون نسبت به محور u، مي‌شود. گفتنی است که توزيع راقعی تنش در يك مقطع عرضی، يك مسئله نامعين استاتیکی است و با استفاده همزمان از هندسه تغیرشكل عضو حل مي‌شود.

۴-۳ تغیرشكل عضو متقارن در خمس خالص

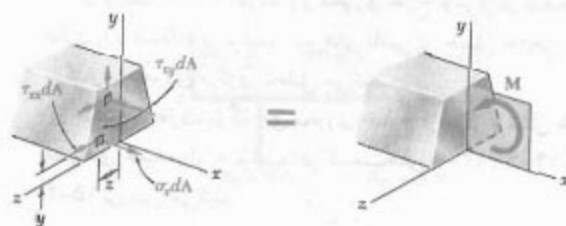
حال، تغیرشكل يك عضو منتوري را که داراي صفحه تقارن است و در دو انتهای تحت کوپل‌هاي M و M' قرار دارد تحليل مي‌کيم (این کوپل‌ها در صفحه تقارن عضو اثر مي‌کنند). عضو تحت تأثير کوپل‌ها خميده مي‌شود، اما نسبت به صفحه تقارن به صورت متقارن مي‌ماند (شکل ۹-۴). به علاوه، چون لنگر خمسی M در تمام مقاطع عرضی داراي مقدار يكسان است، عضو به طور يکنواخت خميده مي‌شود. لذا، خط AB که فصل مشترك وجه بالائي عضو با صفحه تقارن است داراي انحنای ثابت است. بعبارت دیگر، خط AB، که ابتدا به صورت مستقيم بود، به صورت دائري‌اي به مرکز C درمی‌آيد؛ همين‌طور، خط A'B' که در شکل نشان داده شده، فصل مشترك وجه پائي عضو با صفحه تقارن است). گفتنی است که وقتی عضو به صورت نشان داده شده در شکل خميده مي‌شود، يعني وقتی می‌شود.

همان صفحه اثر مي‌کنند، قرار دارد (شکل ۷-۴ الف). عضو AB را در نقطه اختياری C مقطع مي‌زنیم. تعادل قسمت AC نشان مي‌دهد که نيروهاي داخلی در اين مقطع با کوپل M معادل‌اند (شکل ۷-۴ ب). لذا، نيروهاي داخلی در هر يك از مقاطع عرضی عضو متقارنی که تحت خمس خالص است با يك کوپل معادل‌اند. لنگر M اين کوپل را لنگر خمشی در مقطع مي‌گويند. به عنوان قرارداد، اگر عضو مانند شکل ۷-۴ الف خم شده باشد، يعني وقتی تغیر تبر به طرف بالا باشد، M دارای علامت منفي است؛ هر غير اين صورت، داراي علامت منفي است.



شکل ۷-۴

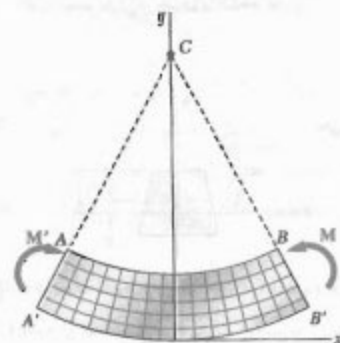
تشن قائم در نقطه معينی از مقطع عرضی را با σ_z و τ_{yz} مُؤْلَفَهَاتِ تنش برشی را با τ_y و τ_{xz} نشان مي‌دهیم، و می‌گوییم سیستم نيروهاي جزئی داخلی وارد بر اين مقطع با کوپل M معادل‌اند (شکل ۸-۴).



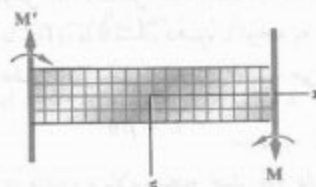
شکل ۸-۴

از استاتیک می‌دانیم که کوپل M از دو نيروی مساوی و متعادل تشکیل شده است. بنابراین، مجموع مُؤْلَفَهَاتِ این

فرض کنید عضو به تعداد زیادی اجزای کوچک مکعبی، که وجهه آنها به موازات صفحات مختصات است، تقسیم شود. طبق بحث بالا، این اجزا وقتی تحت کوبیل های M و M' قرار می گیرند، مانند شکل ۱۱-۴ چابه جا می شوند. چون تمام وجهه نشان داده شده در دو تصویر شکل ۱۱-۴ بر هم عمودند، نتیجه می شود $\tau_{xy} = \tau_{yz} = \tau_{xz} = 0$. سه مؤلفه تشکیل $\sigma_x, \sigma_y, \sigma_z$ در سطح عضو صفر هستند. چون تغییر شکل موجود باعث بر هم کنش بین اجزای یک مقطع عرضی نمی شود، می توان گفت سه مؤلفه مذکور در تمام عضو صفر هستند. این فرض را آزمایش، و نیز نظریه الاستیستیه، برای عضوهای باریکی که تغییر شکل های کوچک دارند تأیید می کند. در نتیجه، فقط مؤلفه قائم σ_0 بر هر یک از اجزای کوچک مکعبی اثر می کند. لذا، در هر نقطه از عضو باریکی که در خمن خالص است، حالت تشکیل محوری برقرار است. چون برای $M > 0$ ، خطوط AB و $A'B'$ به ترتیب، منبسط و منقبض می شوند، کرنش ϵ_x و تنش σ_x در قسمت بالای عضو منفی است (فشاری است) و در قسمت پایین عضو مثبت است (کشی است).

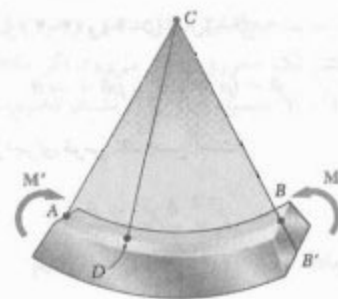


(الف) مقطع طولی و عمودی (صفحه تقارن)



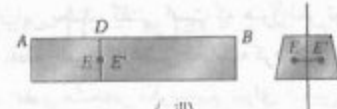
(ب) مقطع طولی و افقی

شکل ۱۱-۴

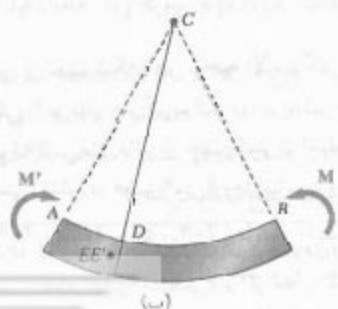


شکل ۱۱-۴

حال، نشان می دهیم که مقاطع عرضی عمود بر محور عضو به صورت صفحه ای می مانند و صفحه آنها از نقطه C می گذرد. اگر چنین نباشد، نقطه ای مانند E از مقطع عرضی گذراند D را می توان یافت (شکل ۱۱-۴ (الف)) که، پس از خمیده شدن عضو، در صفحه CD قرار نداشته باشد (شکل ۱۱-۴ (ب)). اما، به علت تقارن عضو، نقطه دیگری مانند E' وجود دارد که دقیقاً مانند E چابه جا می شود. فرض می کنیم، پس از خمیده شدن عضو، هر دو نقطه در سمت چپ صفحه CD قرار دارند (شکل ۱۱-۴ (ب)). چون لنگر خمی M در تمام عضو دارای مقدار یکسان است، در هر مقطع عرضی دیگر نیز حالت بالا برقرار است و نقاط متناظر با E و E' به سمت چپ حرکت می کنند. لذا، ناظر A نتیجه می گیرد که بازگذاری باعث می شود نقاط E و E' در مقاطع عرضی مختلف به طرف جلو (به سوی ناظر) حرکت کنند. اما ناظر B به نتیجه مخالف می رسد. در نتیجه، E و E' در صفحه CD قرار دارند و مقطع عرضی به صورت صفحه ای می ماند و از C می گذرد. گفتنی است که بحث بالا مانع امکان تغییر شکل در داخل صفحه مقطع نمی شود (به قسمت ۲-۵ نگاه کنید).



(الف)



شکل ۱۱-۴

با جایگذاری از (۴-۴) و (۵-۴) در (۶-۴).

$$\delta = (\rho - y)\theta \quad \text{و} \quad \theta = \frac{\delta}{\rho - y} \quad (7-4)$$

کرنش طولی اجزای قوس JK چنین است:

$$\epsilon_x = \frac{\delta}{L} = \frac{-y}{\rho - y} \quad \text{با}$$

$$\epsilon_x = -\frac{y}{\rho} \quad (8-4)$$

علامت منفی ناشی از این است که لگز خمثی را مشتب گرفتیم؛ درنتیجه، عضو به طرف بالاتر قدر دارد.

چون مقاطع عرضی به صورت صفحه‌ای می‌مانند، در تمام صفحاتی که به موازات صفحه تقارن آند، تغییر شکل‌های همسان روی می‌دهد. لذا، مقدار کرنش در معادله (۸-۴) همچو صحت دارد، و نتیجه می‌شود کرنش قائم طولی بر حسب فصله از سطح خمثی بصورت خطی تغییر می‌کند.

کرنش ϵ در یک اکریم به بیشترین مقدار خود می‌رسد. اگر ماکریم فاصله از سطح خمثی را (که متناظر با سطح بالایی یا پائین عضو است) با c ، ماکریم قدر مطلق کرنش را با ϵ_m نشان دهیم،

$$\epsilon_m = \frac{c}{\rho} \quad (9-4)$$

با حل ρ از معادله (۹-۴) و جایگذاری آن در (۸-۴)،

$$\epsilon_x = -\frac{y}{c} \epsilon_m \quad (10-4)$$

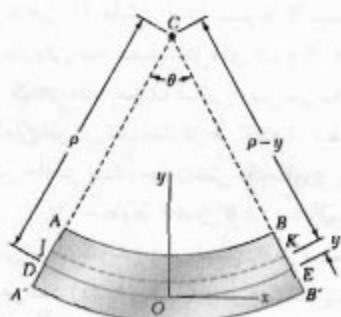
در پایان این بحث، گفتی است که هنوز نمی‌توان کرنش یا نشان را در نقطه معینی از عضو محاسبه کرد، زیرا مکان سطح خمثی را در عضو مشخص نکرده‌ایم. برای تعیین مکان این سطح، ابتدا باید رابطه نش‌کرنش ماده مورد استفاده را باشد.

۴-۴-۱ نش و تغییر شکل در ناحیه الاستیک

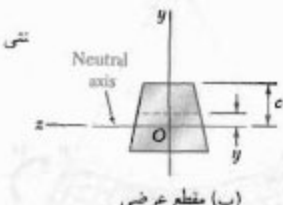
اکنون، حالتی را در نظر می‌گیریم که در آن لگز خمثی M طوری است که نش‌های قائم در عضو کمتر از استقامت تسلیم σ_y است؛ یعنی، نش در عضو کمتر از حد تناسب و نیز کمتر از

* گفتی است که اگر عضو دارای صفحات تقارن عمودی و افقی باشد (مانند عضو با مقاطع عرضی مستطیلی)، و اگر منحنی نش کرنش در کشش و فشار یکسان باشد، سطح خمثی بر صفحه تقارن منطبق خواهد بود (به قسمت ۴-۸ نگاه کنید).

از بحث بالا نتیجه می‌شود که باید یک سطح به موازات وجود بالایی و پائینی عضو وجود داشته باشد، که در آن ϵ و θ صفرند. این راسته خمثی می‌گویند. سطح خمثی صفحه تقارن را در امتداد قوس دایره‌ای DE (شکل ۱۲-۴(الف)، و مقاطع عرضی را در امتداد یک خط مستقیم به نام محور خمثی قطع می‌کند (شکل ۱۲-۴(ب)). حال، مبدأ مختصات را روی سطح خمثی می‌گیریم (نه روی وجه پائینی عضو که قبل از انتخاب کردیم) و فاصله هر نقطه را تا سطح خمثی با اینشان می‌دهیم.



(الف) مقاطع طولی و عمودی (صفحه تقارن)



(ب) مقاطع عرضی

شکل ۱۲-۴

اگر شعاع قوس DE (شکل ۱۲-۴(الف)) را با ρ ، و زاویه مرکزی متناظر با DE را با θ نشان دهیم، با توجه به اینکه طول DE با طول L عضو تغییر شکل نداده برابر است، می‌نویسیم:

$$L = \rho \theta \quad (4-4)$$

چون قوس JK در فاصله بالای سطح خمثی قرار دارد، طول $'L'$ آن چنین است:

$$L' = (\rho - y) \theta \quad (5-4)$$

چون طول اولیه قوس JK مساوی L است، تغییر شکل JK عبارت است از:

$$\delta = L' - L \quad (6-4)$$

طبق این معادله، محور $\#$ بر محور خشی مقطع عرضی منطبق است. با توجه به این مطلب، σ_m را از معادله (۱۲-۴) در (۳-۴) جایگذاری می‌کنیم و می‌نویسیم:

$$\int_{-\frac{y}{c}}^{\frac{y}{c}} \left(-\frac{y}{c} \sigma_m \right) dA = M \quad \text{درنتیجه،}$$

$$\frac{\sigma_m}{c} \int_{-c}^c y^2 dA = M \quad (14-4)$$

اما در حالت خمن خالص، محور خشی از مرکز سطح مقطع عرضی می‌گذرد. درنتیجه، l ممان اینرسی (ممان دوم) مقطع عرضی نسبت به محور مرکزی عمود بر صفحه کوپل M است. با حل σ_m از معادله (۱۴-۴)، می‌نویسیم^{۶۰}:

$$\sigma_m = \frac{Mc}{I} \quad (15-4)$$

با جایگذاری σ_m از (۱۵-۴) در (۱۲-۴)، نتش قائم σ_x را در فاصله y از محور خشی بدست می‌آوریم:

$$\sigma_x = -\frac{My}{I} \quad (16-4)$$

معادله‌های (۱۵-۴) و (۱۶-۴) را فرمول‌های خمن الاستیک، و نتش قائم σ_x ناشی از خمن عضو را تشخیص می‌گویند. این نتش در بالای محور خشی ($y > 0$) فشاری است ($\sigma_x < 0$) هرگاه لنگر خمنی M مثبت باشد، و کشی است ($\sigma_x > 0$) هرگاه M منفی باشد.

با توجه به معادله (۱۵-۴)، نسبت c/l فقط به شکل هندسی مقطع عرضی بستگی دارد. این نسبت را مدول الاستیک می‌گویند و با S نشان می‌دهند:

$$S = \frac{I}{c} = \text{مدول الاستیک} \quad (17-4)$$

با جایگذاری S برای I/c در معادله (۱۵-۴)، این معادله را به صورت زیر می‌نویسیم:

$$\sigma_m = \frac{M}{S} \quad (18-4)$$

* به پیوست الف هریکاره ممان‌های سطح مراجعه کنید.

^{۶۰} بدخطار داریم که لکر خشن را مثبت گرفتیم. اگر لکر خمن منفی باشد، بدجای M در معادله (۱۵-۴) از قدر مطلق آن، $|M|$ ، استفاده می‌کنیم.

حد الاستیک است. هیچ تغییر شکل دائمی وجود ندارد و قانون هوک برای نتش تک محوری به کار می‌رود. اگر ماده را همگن بگیریم و مدول الاستیسیته آن را با E نشان دهیم، در جهت طولی x ،

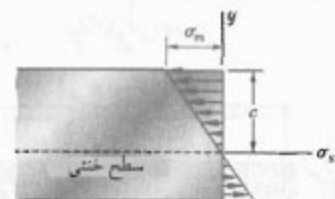
$$\sigma_x = E \epsilon_x \quad (11-4)$$

طرفین معادله (۱۰-۴) را در E ضرب می‌کنیم:

$$E \epsilon_x = -\frac{y}{c} (E \epsilon_m) \quad \text{با استفاده از معادله (۱۱-۴).}$$

$$\sigma_x = -\frac{y}{c} \sigma_m \quad (12-4)$$

که در آن^{۶۱} مقدار مطلق نتش را نشان می‌دهد. یعنی، در ناحیه الاستیک، نتش قائم برابر فلسله از سطح خشی بمحورت خطی تغییر می‌کند (شکل ۱۲-۴).



شکل ۱۲-۴

هنوز مکان سطح خشی و مقدار ماسکریزم نتش (σ_m) را نسمی‌دانیم. هر دو را از رابطه‌های (۱-۴) و (۴-۳) می‌توان محاسبه کرد. با جایگذاری σ_m از (۱۲-۴) در (۱-۴)،

$$\int \sigma_x dA = \int \left(-\frac{y}{c} \sigma_m \right) dA = -\frac{\sigma_m}{c} \int y dA = 0 \quad \text{درنتیجه،}$$

$$\int y dA = 0 \quad (13-4)$$

این معادله نشان می‌دهد که ممان اول مقطع عرضی نسبت به محور خشی آن صفر است.^{۶۲} به عبارت دیگر، برای عضوی که در خمن خالص است، تأویقی نتش در ناحیه الاستیک است، محور خشی از مرکز سطح مقطع می‌گذرد.

حال، به سواعده معادله (۳-۴)، که در قسمت ۲-۴ نسبت به محور افقی اختیاری z بدست آمد. می‌رویم:

$$\int (-y \sigma_x dA) = M \quad (3-4)$$

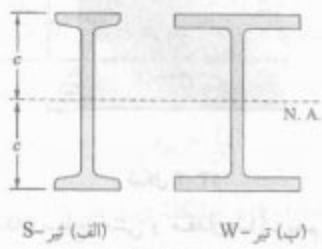
چون تنش ماکزیمم σ_m با مدول الاستیک S به طور معکوس متناسب است، واضح است که تیرها را باید تا حد امکان با مقدار S بزرگ طراحی کرد. مثلاً در یک تیر چوبی با مقطع عرضی مستطیلی به عرض b و ارتفاع h ،

$$S = \frac{I}{c} = \frac{\frac{1}{4} b h^3}{h/2} = \frac{1}{8} b h^2 = \frac{1}{8} A h \quad (19-4)$$

که در آن، A مساحت مقطع عرضی تیر است. طبق این رابطه، از میان دو تیر با مساحت مقطع عرضی یکسان (شکل ۱۴-۴)، تیر با عمق بزرگتر دارای مدول بزرگتر است و مقاومت بیشتری در برابر خمث خواهد.*



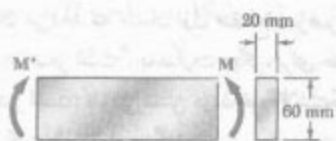
شکل ۱۵-۴ تیرهای فولادی بال پهن، قاب اغلب ساختمان‌ها را تشکیل می‌دهند.



شکل ۱۶-۴

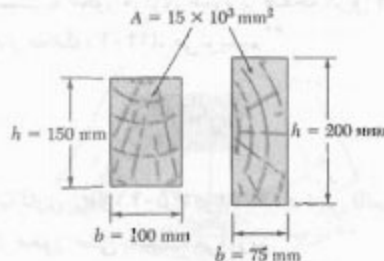
مثال ۱۴

میله فولادی، با مقطع عرضی مستطیلی $20 \times 60 \text{ mm}$ ، تحت دو کوبیل مساوی و متضاد است. این کوبیل‌ها در صفحه تقارن عمودی میله اثر می‌کنند (شکل ۱۷-۴). مقدار لنگر خمثی M را که باعث تسلیم می‌شود باید. فرض کنید $\sigma_y = 250 \text{ MPa}$.



شکل ۱۷-۴

* لبته، مقادیر سریع نسبت h/b ممکن است به نایابداری جانی تیر بانجامد.



شکل ۱۴-۴

برای فولاد ساختمانی، تیرهای استاندارد آمریکایی و تیرهای بال پهن (شکل ۱۵-۴) بر سایر تیرها ترجیح دارند زیرا قسمت بزرگی از مقطع عرضی آنها در فاصله دور از محور خنشی قرار دارد (شکل ۱۶-۴). لذا، برای یک مساحت مقطع و ارتفاع معین، تیرهای مذکور دارای I و S بزرگ هستند. مدول الاستیک تیرهای رایج را از جدول خواص هندسی آنها می‌توان بدست آوردن. برای تعیین تنش ماکزیمم σ_m در مقطع معینی از یک تیر استاندارد، فقط باید مقدار مدول الاستیک S را از جدول تعیین، و لنگر خمثی M در مقطع را بر تقسیم کرد.

تغییر شکل عضو بر اثر لنگر خمثی M با انحنای سطح خنشی اندازه‌گیری می‌شود. این انحنای با معکوس شعاع انحنای، $1/\rho$ ، تعریف می‌شود، از معادله (۹-۴)،

$$\frac{1}{\rho} = \frac{\epsilon_m}{c} \quad (20-4)$$

در ناحیه الاستیک، $\sigma_m/E = \epsilon_m/E$. با جایگذاری ϵ_m در (۲۰-۴) و با توجه به (۱۵-۴)،

$$\frac{1}{\rho} = \frac{\sigma_m}{Ec} = \frac{1}{Ec} \frac{Mc}{I}$$

با

$$\frac{1}{\rho} = \frac{M}{EI} \quad (21-4)$$

محور خشنی از مرکزوار C میگذرد (شکل ۲۰-۴) و فاصله دورترین نقطه مقطع عرضی تا محور خشنی چنین است:

$$c = r - \bar{y} = 12 \text{ mm} - 5,093 \text{ mm} = 6,907 \text{ mm}$$

با استفاده از معادله (۹-۴)

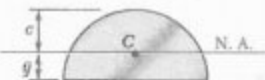
$$\epsilon_m = \frac{c}{\rho} = \frac{6,907 \times 10^{-3} \text{ m}}{2,5 \text{ m}} = 2,763 \times 10^{-3}$$

با استفاده از قانون هوک،

$$\sigma_m = E \epsilon_m = (70 \times 10^9 \text{ Pa})(2,763 \times 10^{-3}) = 193,4 \text{ MPa}$$

چون این طرف میله به طرف خارج مرکز انحنای خمیده میشود، تنش حاصل از نوع کششی است. ماکریم تنش فشاری روی وجه تخت میله به وجود میآید. چون تنش با فاصله از محور خشنی متناسب است، میتوانیم

$$\begin{aligned} \sigma_{\text{نواری}} &= -\frac{\bar{y}}{c} \sigma_m = -\frac{5,093 \text{ mm}}{6,907 \text{ mm}} (193,4 \text{ MPa}) \\ &= -142,6 \text{ MPa} \end{aligned}$$



شکل ۲۰-۴

۵-۴ تغییرشکل در مقطع عرضی
در قسمت ۳-۴، هنگام اثبات این موضوع که مقطع عرضی در عضوی که تحت خمن خالص است به صورت صفحه ای میماند، در ذیرنویس به امکان تغییرشکل در صفحه مقطع اشاره کردیم. طبق قسمت ۱۱-۲، اجزا در حالت تنش تک محوری هستند ($\sigma_x = \sigma_y = \sigma_z$) و در جهت‌های x ، y و z تغییرشکل می‌دهند. بنابراین، تغییرشکل در صفحه مقطع وجود دارد. کرنش‌های قائم ϵ_x و ϵ_z به صورت زیر بیان می‌شوند:

$$\epsilon_y = -\nu \epsilon_x \quad \epsilon_z = -\nu \epsilon_x$$

(۱) نسبت پواسون عضو است). با توجه به معادله (۸-۴)،

$$\epsilon_y = \frac{\nu y}{\rho} \quad \epsilon_z = \frac{\nu y}{\rho} \quad (۲۲-۴)$$

وابطهایی را که تا به حال بدست آورده‌ایم نشان می‌دهند اجزایی که بالای سطح خشنی هستند ($y > 0$) در امتدادهای y و z

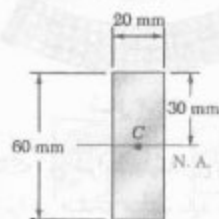
چون محور خشنی از مرکزوار مقطع عرضی (نقطه C) میگذرد، $c = 30 \text{ mm}$ (شکل ۱۸-۴)، از طرف دیگر، ممان اینرسی مقطع عرضی مستطیلی نسبت به محور مرکزی چنین است:

$$I = \frac{1}{12} b h^3 = \frac{1}{12} (20 \text{ mm})(60 \text{ mm})^3 = 360 \times 10^6 \text{ mm}^4$$

با حل M از معادله (۱۵-۴) و با جایگذاری داده‌های بالا،

$$M = \frac{f}{c} \sigma_m = \frac{360 \times 10^6 \text{ mm}^3}{0,03 \text{ m}} (250 \text{ MPa})$$

$$M = 3 \text{ kN.m}$$



شکل ۱۸-۴

مثال ۲-۴

میله آلومینیومی با مقطع عرضی نیم‌دایره‌ای به شعاع $r = 12 \text{ mm}$ (شکل ۱۹-۴) به صورت قوس دایره‌ای با شعاع متوسط $\rho = 2,5 \text{ m}$ خم شده است. اگر وجه تخت میله به طرف مرکزی انحنای قوس خمیده باشد، ماکریم تنش کششی و فشاری را در میله بباید $E = 70 \text{ GPa}$.

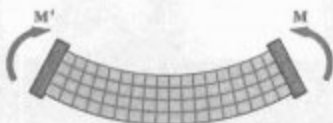


شکل ۱۹-۴

با استفاده از معادله ۲۱-۴ می‌توان لگز خمنی M متناظر با شعاع انحنای ρ را تعیین، و سپس σ_m از معادله (۱۵-۴) استفاده کرد. ولی، بهتر است ϵ_m از معادله (۹-۴) تعیین کیم و با استفاده از قانون هوک، σ_m را بباید مختصه آن مرکزوار مقطع عرضی نیم‌دایره چنین است:

$$\bar{y} = \frac{4r}{3\pi} = \frac{4(12 \text{ mm})}{3\pi} = 5,093 \text{ mm}$$

هنگام بررسی تغیرشکل عضو مقاولن در خمین خالص، نحوه اعمال کوپل های M و M' را بر عضو در نظر نگرفتیم. اگر بخواهیم تمام مقاطع عرضی عضو، از یک انتهای تا انتهای دیگر، به صورت صفحه ای پماند و فاقد تنش برشی باشند، باید کوپل ها ملوري وارد شوند که دو انتهای عضو به صورت صفحه ای پماند و فاقد تنش های برشی باشند. به این دلیل، برای اعمال کوپل های M و M' از صفحات صلب و هموار استفاده می شود (شکل ۲۲-۴). نیروهای جزئی که از این صفحات بر عضو وارد می شوند بر مقاطع انتهایی عمودند، و این مقاطع می توانند تغیرشکل دهند، ولی به صورت هفدهی می مانند.

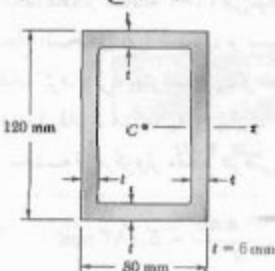


شکل ۲۲-۴

گفتنی است که این شرایط بارگذاری را در عمل نمی توان به دست آورد، زیرا هر صفحه صلب باید نیروهای کششی را در زیر محور خشنی بر مقاطع انتهایی وارد کند و این مقاطع در صفحه خود تغیرشکل ندهد. ولی، این موضوع از اهمیت مدل صفحات صلب نمی کاهد، و با همین مدل بود که در قسمت های قبل توانستیم شرایط بارگذاری متناظر با رابطه های حاصل را تضمیم دهیم. گرچه شرایط بارگذاری واقعی ممکن است با این مدل ایده‌آلی خیلی متفاوت باشد، ولی تا وقتی مقاطع تحت بررسی خیلی نزدیک به مکان اعمال کوپل ها نباشد، با توجه به اصل سنت-وانانت و فرمول های قسمت های قبل می توان تنش ها را در شرایط عملی محاسبه کرد.

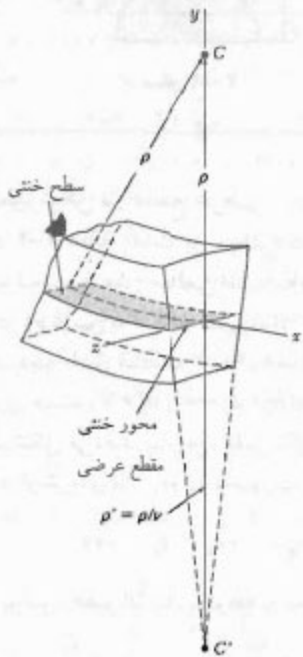
مسئله نمونه ۱-۴

لوله مستطیلی نشان داده شده از آلیاژ آلومینیوم شده است. با صرف نظر از تأثیر گردها، مطلوب است: (الف) لنگر خمی M برای ضریب اطمینان $\gamma = 3$ ، (ب) شاعر انحنای لوله.

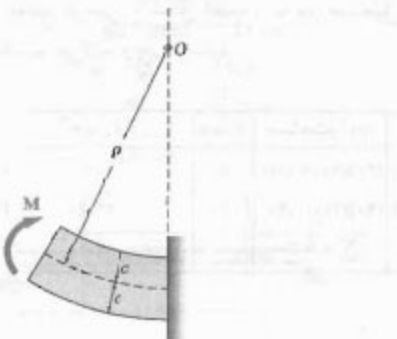


مبسط می شوند و اجزایی که پایین سطح خشنی هستند (\circ) متفاصل می شوند. در یک عضو با مقاطع عرضی مستطیلی، انبساط و انقباض اجزای مختلف در جهت عمودی یکدیگر را خشنی می کنند، و مقاطع عرضی در امتداد عمودی تغییر اندازه نمی دهد. البته، هنگام بررسی تغیرشکل ها در امتداد عرضی افقی z ، انبساط اجزایی که بالای سطح خشنی هستند و انقباض اجزایی که پایین سطح خشنی هستند باعث می شوند خطوط مختلف افقی در مقاطع عرضی به صورت قوس های دایره ای درآیند (شکل ۲۱-۴). حالتی که در اینجا بررسی کردیم شبیه حالتی است که قبل از مقاطع طولی دیده شد، با مقایسه معادله دوم (۲۲-۴) با معادله (۸-۴)، نتیجه می شود که محور خشنی مقاطع عرضی به صورت قوس دایره ای با شاعر $\rho' = \rho/v$ در می آید. با فرض $\circ M > 0$ ، مرکز C' این قوس در زیر سطح خشنی قرار دارد؛ یعنی، روی وجه مقابل مرکز انحنای عضو (نقطه C) واقع است. معکوس شاعر انحنای ρ' ، انحنای مقاطع عرضی را نشان می دهد و آن را انحنای غیر الاستیک می گویند:

$$\frac{1}{\rho'} = \frac{v}{\rho} = \text{انحنای غیر الاستیک} \quad (23-4)$$



شکل ۲۱-۴



راه حل دیگر. چون ماکزیمم تنش عبارت است از $\sigma_{all} = ۱۳۸ \text{ MPa}$ ماکزیمم کرنش ϵ_m را از معادله (۹-۴) می‌یابیم:

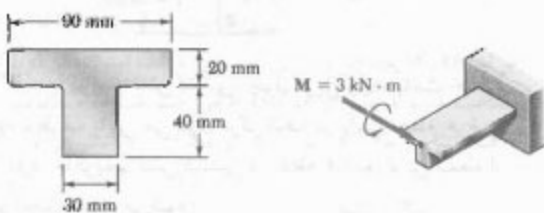
$$\epsilon_m = \frac{\sigma_{all}}{E} = \frac{۱۳۸ \text{ MPa}}{۷۷ \text{ GPa}} = ۱/۱۸ \times ۱۰^{-۲} \text{ mm/mm}$$

$$\epsilon_m \approx \frac{c}{\rho} \quad \rho = \frac{c}{\epsilon_m} = \frac{۷۰ \text{ mm}}{۱/۱۸ \times ۱۰^{-۲}}$$

$$\rho = ۳۱/۸ \text{ m} \quad \rho = ۳۱/۸ \text{ m} \quad \blacktriangleleft$$

مسئله نمونه ۲-۴

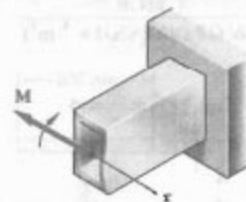
قطعه مکانیکی چندی تحت کوپل ۳ kN.m قرار دارد. اگر $E = ۱۶۵ \text{ GPa}$ با صرفنظر از تأثیر گردیدهای، مطلوب است: (الف) ماکزیمم تنش های کشی و فشاری در قطعه، (ب) شاعع انحنای قطعه.



ب. شاعع انحنای.

$$\frac{1}{\rho} = \frac{M}{EI} = \frac{۱۰/۱ \text{ kN.m}}{(۷۷ \text{ GPa})(۱/۳۸ \times ۱۰^{-۲} \text{ m}^۴)} = ۰/۰۳۱۶ \text{ m}^{-۱}$$

$$\rho = ۳۱/۸ \text{ m} \quad \rho = ۳۱/۸ \text{ m} \quad \blacktriangleleft$$

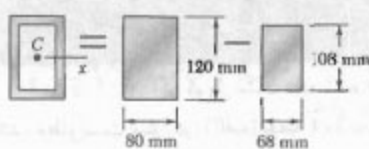


حل

مان اینترسی. ممان اینترسی مساحت مقطع عرضی لوله چنین است:

$$I = \frac{1}{۱۲} (۱۲۰ \text{ mm})(۱۲۰ \text{ mm})^۳ - \frac{۱}{۱۲} (۷۲ \text{ mm})(۷۲ \text{ mm})^۳$$

$$I = ۴/۳۸ \times ۱۰^۶ \text{ mm}^۴$$



تشن مجاز. برای ضرب اطمینان ۳ و تنش نهایی $\sigma_{all} = ۴۱۵ \text{ MPa}$

$$\sigma_{all} = \frac{\sigma_U}{F.S.} = \frac{۴۱۵ \text{ MPa}}{۳/۰۰} = ۱۳۸ \text{ MPa}$$

چون $\sigma_{all} < \sigma_{all}$ ، لوله در ناحیه الاستیک است و از نتایج قسمت ۴-۴ می‌توان استفاده کرد.

الف. لنگر خمشی. با می‌نویسیم:

$$\sigma_{all} = \frac{Mc}{I}$$

$$M = \frac{I}{c} \sigma_{all} = \frac{۴/۳۸ \times ۱۰^{-۶} \text{ m}^۴}{۰/۰۷ \text{ m}} (۱۳۸ \text{ MPa})$$

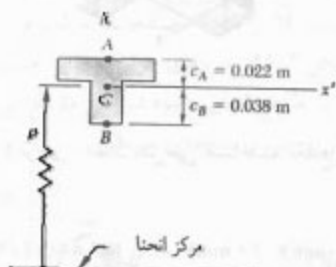
$$M = ۱۰/۱ \text{ kN.m} \quad \blacktriangleleft$$

ب. شاعع انحنای.

ب. شعاع انحنای از معادله (۲۱-۴).

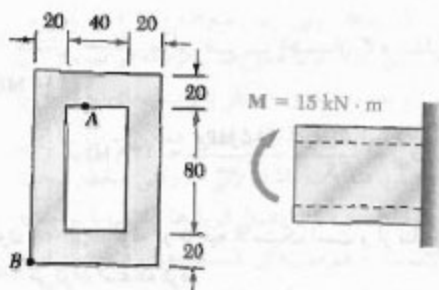
$$\frac{1}{\rho} = \frac{M}{EI} = \frac{\tau \text{ kN.m}}{(165 \text{ GPa})(868 \times 10^{-4} \text{ m}^4)}$$

$$= 20.95 \times 10^{-7} \text{ m}^{-1} \Rightarrow$$

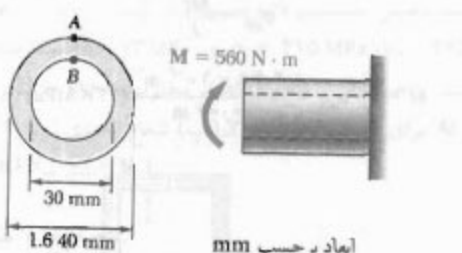


مسائل

۱-۴ و ۲-۴ اگر کوپل نشان داده شده در صفحه قائم اثر کند، مطلوبست تنش در: (الف) نقطه A، (ب) نقطه B.



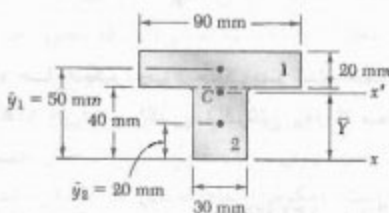
شکل ۱-۴ م



شکل ۲-۴ م

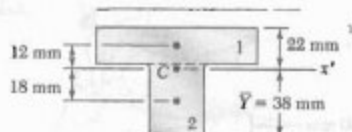
حل
مرکز سطح مقطع عرضی T شکل قطعه را به دو مستطیل نشان داده شده تقسیم می‌کنیم و می‌نویسیم:

مساحت، mm^2	\bar{y}, mm	$\bar{y}A, \text{mm}^2$	$\bar{Y} \sum A = \sum \bar{y}A$
$(20)(40) = 800$	0	$0 \times 800 = 0$	$\bar{Y} \sum A = \sum \bar{y}A$
$(20)(20) = 400$	20	$20 \times 400 = 8000$	$\bar{Y}(2000) = 114 \times 10^6$
$\sum A = 1200$		$\sum \bar{y}A = 114 \times 10^6$	$\bar{Y} = 114 \text{ mm}$



مان اینترسی مرکزی. از قضیه محورهای موازی برای تعیین ممان اینترسی هر یک از مستطیل‌ها نسبت به محور x ، که از مرکز سطح مقطع مرکب می‌گذرد، استفاده می‌کنیم و سپس آنها را جمع می‌زنیم:

$$\begin{aligned} I_x &= \sum (\bar{I} + Ad^2) = \sum \left(\frac{1}{12} bh^3 + Ad^2 \right) \\ &= \frac{1}{12} (40)(20)^3 + (40 \times 20)(12)^2 + \frac{1}{12} (30)(40)^3 \\ &\quad + (30 \times 40)(18)^2 \\ &= 868 \times 10^6 \text{ mm}^4 \qquad \qquad I = 868 \times 10^{-4} \text{ m}^4 \end{aligned}$$



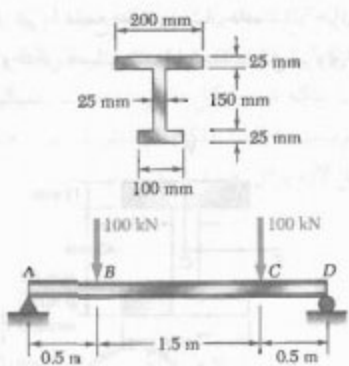
الف. ماکریم تنش کششی. چون کوپل وارد باعث خمین قطعه به طرف پایین می‌شود، مرکز انحنای در پایین مقطع عرضی قرار دارد. ماکریم تنش کششی در نقطه A (دورترین نقطه از مرکز انحنای) ایجاد می‌شود:

$$\sigma_A = \frac{Mc_A}{I} = \frac{(\tau \text{ kN.m})(0.022 \text{ m})}{868 \times 10^{-4} \text{ m}^4} \Rightarrow \sigma_A = +76.5 \text{ MPa} \quad \blacktriangleleft$$

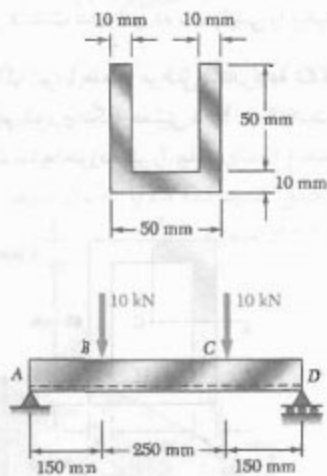
ماکریم تنش فشاری. این تنش در نقطه B روی می‌دهد:

$$\sigma_B = \frac{Mc_B}{I} = \frac{(\tau \text{ kN.m})(0.038 \text{ m})}{868 \times 10^{-4} \text{ m}^4} \Rightarrow \sigma_B = -131.3 \text{ MPa} \quad \blacktriangleleft$$

* ممان اینترسی نسبت به محور کنرا از مرکز سطح - مترجم.

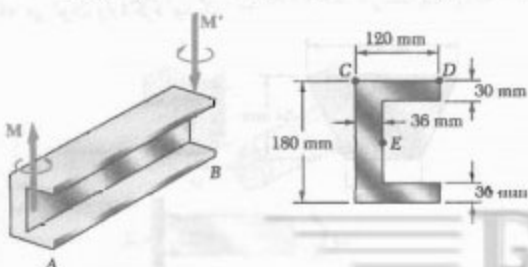


شکل ۴-۴



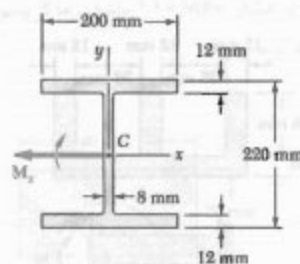
شکل ۴-۵

۴-۵ دو کوپل مساوی و متضاد با مقدار $M = 25 \text{ kNm}$ بر تیر AB , که بشکل ناودانی است، وارد شده است. اگر کوپل ها باعث شوند تیر در صفحه افقی خم شود، مطلوب است:
 (الف) تنش در نقطه C , (ب) تنش در نقطه D , (ج) تنش در نقطه E .



شکل ۴-۵

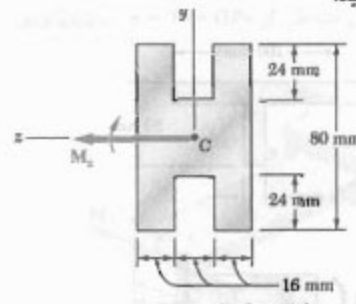
۴-۶ با استفاده از تنش مجاز 105 MPa , ماکریم لنگر خمشی M را که می‌توان بر تیر بال پهن نشان داده شده وارد کرد باید، از تأثیر گردها صرف نظر کنید.



شکل ۴-۶

۴-۷ مسئله ۳-۴ را با این فرض حل کنید که تیر بال پهن تحت کوپل M_y حول محور لام خم شود.

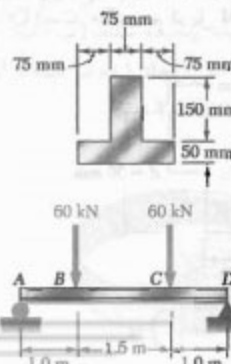
۴-۸ تیری با مقطع عرضی نشان داده شده، از آلمینیوم ساخته شده است. $\sigma_U = 250 \text{ MPa}$ و $\sigma_y = 250 \text{ MPa}$. برای ضرب اطمینان 3.00 , ماکریم کوپلی را که می‌توان حول محور z وارد کرد باید.



شکل ۴-۸

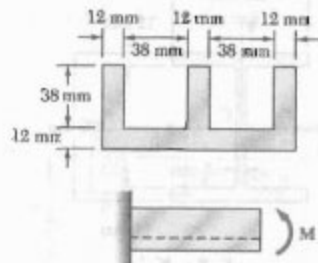
۴-۹ مسئله ۴-۵ را برای خمش حول محور y حل کنید.

۴-۱۰ دو نیروی عمودی بر تیر با مقطع عرضی نشان داده شده وارد شده‌اند. ماکریم تنش‌های کششی و فشاری را در قسمت BC تیر باید.



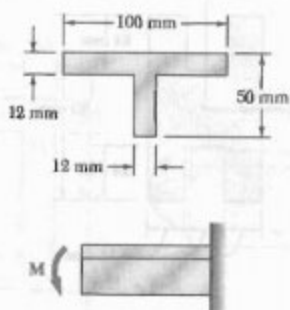
شکل ۴-۱۰

۱۶-۴ اگر برای تیر اکسترود نشان داده شده، نشش مجاز نر کشن 84 MPa و در فشار 110 MPa باشد، ماکریم کوپل M را که می‌توان وارد کرد بیابید.



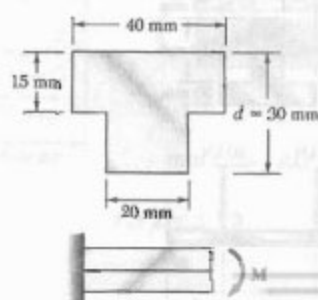
شکل ۱۶-۴ م

۱۷-۴ برای نشنهای مجاز تیر، ماکریم کوپل M را که می‌توان بر قطعه نشان داده شده وارد کرد بیابید:
 $\sigma_{all} = -100 \text{ MPa}$, $\sigma_{al} = +42 \text{ MPa}$



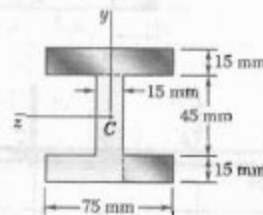
شکل ۱۷-۴ م

۱۸-۴ تیر نشان داده شده از نایلون ساخته شده است، برای نایلون به کار رفته، نشش مجاز در کشش 24 MPa و در فشار 30 MPa است. ماکریم کوپل M را که می‌توان بر تیر وارد کرد بیابید.



شکل ۱۸-۴ م

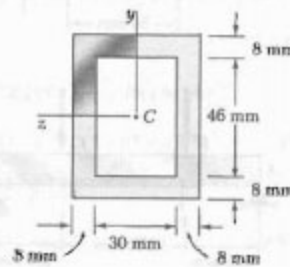
۱۹-۴ اگر تیر با مقطع عرضی نشان داده شده حول محور افقی خم شود و لنگر خمثی 8kN.m باشد، کل نیروی وارد بر بال فوکانی را بیابید.



شکل ۱۹-۴ م

۲۰-۴ اگر تیر با مقطع عرضی نشان داده شده حول یک محور عمودی خم شود و لنگر خمثی 4kN.m باشد، کل نیروی وارد بر قسمت سایه خورده بال پایینی را بیابید.

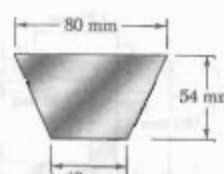
۲۱-۴ اگر تیر با مقطع عرضی نشان داده شده حول یک محور افقی خم شود و لنگر خمثی 900 N.m باشد، کل نیروی وارد بر قسمت سایه خورده تیر را بیابید.



شکل ۲۱-۴ م

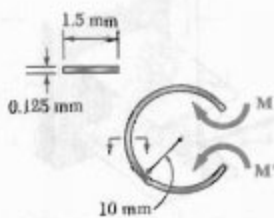
۲۲-۴ مسئله ۱۳-۴ را با این فرض حل کنید که تیر حول یک محور عمودی خم شود و لنگر خمثی 900 N.m باشد.

۲۳-۴ اگر برای تیر اکسترود نشان داده شده، نشش مجاز در کشش 120 MPa و در فشار 150 MPa باشد، ماکریم کوپل M را که می‌توان وارد کرد بیابید.



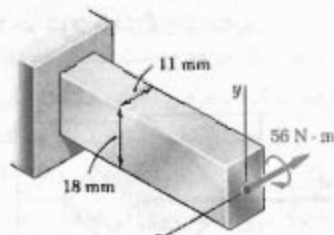
شکل ۲۳-۴ م

۲۳-۴ دیده می شود که نوار نازک فولادی به عرض 10 mm را می توان به صورت دایره ای به قطر 10 mm خم کرد، بدون اینکه تغییر شکل دائمی به وجود آید. اگر $E = 200\text{ GPa}$ مطلوب است: (الف) ماکزیمم تنش در نوار خمیده، (ب) مقدار کوپل لازم برای خمیده کردن نوار.



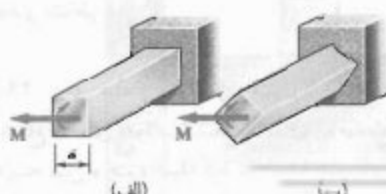
شکل ۲۳-۴ م

۲۴-۴ کوپل 65 N.m بر میله فولادی نشان داده شده وارد شده است. (الف) اگر کوپل حول محور z وارد شود، ماکزیمم تنش و شعاع انحنای میله را بیابید. (ب) قسمت (الف) را با این فرض حل کنید که کوپل حول محور y وارد شود. از $E = 200\text{ GPa}$ استفاده کنید.



شکل ۲۴-۴ م

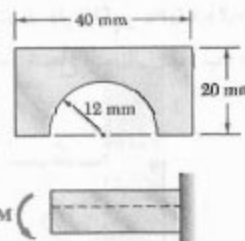
۲۵-۴ کوپل با مقدار M بر میله چهارگوشی به ضلع a وارد شده است. برای هر یک از وضعیت های نشان داده شده، ماکزیمم تنش و شعاع انحنای میله را بیابید.



شکل ۲۵-۴ م

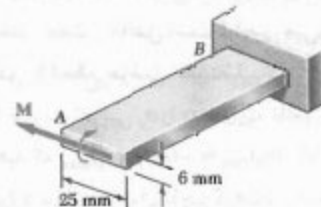
۱۹-۴ مسئله ۴ را با فرض $d = 40\text{ mm}$ حل کنید.

۲۰-۴ اگر برای تیر نشان داده شده، تنش مجاز در کشش و در فشار 110 MPa باشد، ماکزیمم کوپل M را که می توان وارد کرد بیابید.



شکل ۲۰-۴ م

۲۱-۴ اگر σ_{ult} برای نوار فولادی AB برابر با 165 MPa باشد، مطلوب است: (الف) ماکزیمم کوپل M را که می توان وارد کرد، (ب) شعاع انحنای متناظر. از $E = 200\text{ GPa}$ استفاده کنید.



شکل ۲۱-۴ م

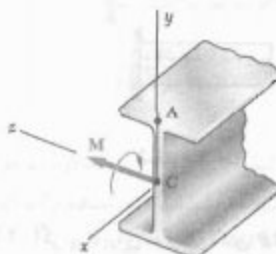
۲۲-۴ میله های راست به قطر داخلی $1/25\text{ m}$ و به طول 30 m را داخل فلکه ای با قطر داخلی 6 mm قرار می دهیم. مطلوب است: (الف) ماکزیمم تنش در میله پیچیده شده، (ب) لنگر خمشی متناظر در میله. فرض کنید تنش ایجاد شده در میله از استقامت تسلیم آن بیشتر نمی شود. از $E = 200\text{ GPa}$ استفاده کنید.



شکل ۲۲-۴ م

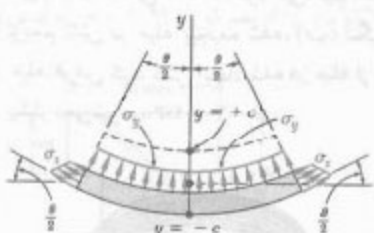
۳۰-۴ برای میله آلمینیومی و بارگذاری مسئله نمونه ۱-۴، مطلوب است: (الف) شعاع انتخابی m مقطع عرضی، (ب) زاویه بین وجوه میله که در ابتدا عمودی بودند، از $E = 73 \text{ GPa}$ و $\nu = 0.33$ استفاده کنید.

۳۱-۴ تیر فولادی نورد شده $W 200 \times 31/3$ تحت کوپل $W 200 \times 31/3$ و $M = 45 \text{ kN.m}$ قرار دارد. اگر $E = 200 \text{ GPa}$ و $\nu = 0.29$ مطلوب است: (الف) شعاع انتخابی m ، (ب) شعاع انتخابی m مقطع عرضی.



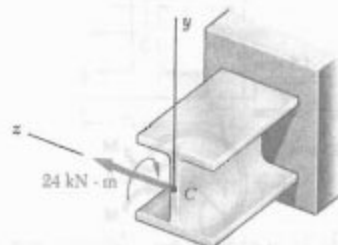
شکل ۳۱-۴م

۳۲-۴ در قسمت ۱۳-۲ فرض شد که تشن‌های قائم σ_y در عضوی که تحت خمث خالص است ناجیز می‌باشد. برای عضو الاستیکی با مقطع عرضی مستطیلی که ابتدا مستقیم است، (الف) عبارت تقریبی σ_y را به صورت تابعی از ν بیاید، (ب) نشان دهید که $(c/\sqrt{\rho})(\sigma_y)_{\max} = -(\sigma_y)_{\max}$. لذا، نشان دهد که σ_y را در موارد عملی می‌توان ناجیز گرفت. (داهنایی: نمودار آزاد قسمتی از تیر را که زیر سطح با مختصه y است در نظر بگیرید و فرض کنید که توزیع تشن σ_x به صورت خطی است).



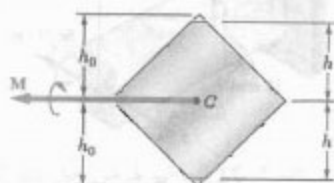
شکل ۳۲-۴م

۲۶-۴ کوپل 24 kN.m بر تیر فولادی نورد شده $W 200 \times 46/1$ وارد شده است. (الف) اگر کوپل حول محور z وارد شود، تنش ماکریم و شعاع انتخابی m مقطع عرضی، (ب) قسمت (الف) را با این فرض حل کنید که کوپل حول محور y وارد شود. از $E = 200 \text{ GPa}$ استفاده کنید.



شکل ۲۶-۴م

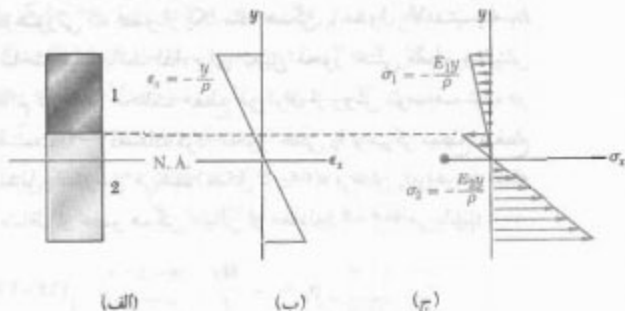
۲۷-۴ میله چهارکوشی فرزکاری شده است و مقطع آن به صورت نشان داده شده در آمده است. سپس، این میله تحت کوپل M قرار می‌گیرد و حول قطر افقی اش خم می‌شود. با در نظر گرفتن حالت $h = 0.9 h_0$ ، ماکریم تنش در میله را به صورت $\sigma_m = k \sigma_0$ بیان کنید، که در آن σ_0 ماکریم تنش ایجاد شده در صورتی است که میله چهارگوش اولیه تحت همان کوپل M خم شود. مقدار k را نیز بیاید.



شکل ۲۷-۴م

۲۸-۴ در مسئله ۳۲-۴، مطلوب است: (الف) مقدار k که به ازای آن تنش ماکریم σ_m تا حد امکان کوچک باشد، (ب) مقدار متناظر k .

۲۹-۴ برای میله و بارگذاری مثال ۱-۴، مطلوب است: (الف) شعاع انتخابی m ، (ب) شعاع انتخابی m مقطع عرضی، (ج) زاویه بین وجوه میله که در ابتدا عمودی بودند، از $E = 200 \text{ GPa}$ و $\nu = 0.29$ استفاده کنید.



شکل ۲۴-۴ توزیع کرنش و تنش در میله متشکل از دو ماده.

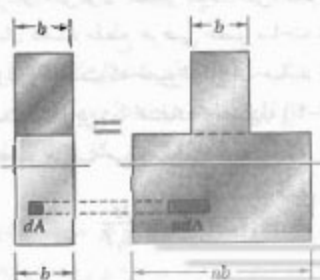
برای نیروی dF_1 وارد بر یک جزء قسمت پایینی «قطع عرضی با همان مساحت dA » داریم:

$$dF_1 = \sigma_1 dA = -\frac{E_1 y}{\rho} dA \quad (26-4)$$

اگر نسبت E_1/E_2 را با n نشان دهیم،

$$dF_1 = -\frac{(nE_2)y}{\rho} dA = -\frac{E_2 y}{\rho} (n dA) \quad (27-4)$$

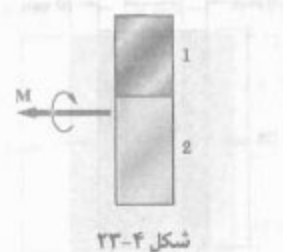
با مقایسه معادله‌های (۲۵-۴) و (۲۷-۴)، دیده می‌شود که نیروی وارد بر یک جزء با مساحت $n dA$ از ماده اول برابر با dF_1 است. به عبارت دیگر، اگر هر دو قسمت میله از ماده اول ساخته شده باشند، با ضرب کردن عرض اجزای قسمت پایینی در n ، مقاومت میله در برابر خمن تغییر نمی‌کند. توجه کنید که این عرض شدگی (اگر $n > 1$)، یا بازیک شدگی (اگر $n < 1$)، در جهت موازی محور خشی مقطع روی می‌دهد زیرا فاصله لوزه از محور خشی مقطع عرضی جدیدی را به این طریق حاصل می‌شود مقطع تبدیل یافته عضو می‌گویند (شکل ۲۵-۴).



شکل ۲۵-۴ مقطع تبدیل یافته برای میله مرکب.

۶-۴ خمن عضوهایی که از مواد مختلف ساخته شده‌اند

روابط قسمت ۴-۴ بر مبنای این فرض بود که عضو از یک ماده همگن با مدول الاستیتیه معلوم E ساخته شده است. اگر عضو در خمن خالص بباشد واز دو یا چند ماده با مدولهای الاستیتیه مختلف ساخته شده باشد، برای تعیین تنش در آن باید از روش دیگر استفاده کرد.



شکل ۲۳-۴

فرض کنید میله‌ی زد دو قسمت با مدول مختلف ساخته شده است و مقطع عرضی این دو قسمت، مطابق شکل ۲۳-۴ بهم متصل شده‌اند. این میله مرکب به صورتی که در قسمت ۳-۴ گفته شد تغییر شکل می‌دهد؛ یعنی، مقطع عرضی آن در تمام طول آن یکسان نمی‌ماند. ضمناً، در قسمت ۳-۴ هیچ فرضی درباره رابطه تنش کرنش ماده یا مواد در نظر گرفته نشد. لذا، کرنش قائم ϵ بر حسب فاصله y از محور خشی مقطع به صورت خطی تغییر می‌کند (شکل ۲۴-۴ (الف و ب))، و فرمول (۸-۴) به کار می‌رود:

$$\epsilon_x = -\frac{y}{\rho} \quad (8-4)$$

البته، نمی‌توان فرض کرد محور خشی از مرکز سطح مقطع مرکب می‌گذرد، و یکی از اهداف تحلیل در اینجا تعیین مکان این محور است.

چون مدولهای الاستیتیه E_1 و E_2 دو ماده با هم تفاوت دارند، تنش قائم در هر ماده نیز یکسان نیست و می‌نویسیم:

$$\sigma_1 = E_1 \epsilon_x = -\frac{E_1 y}{\rho} \quad (24-4)$$

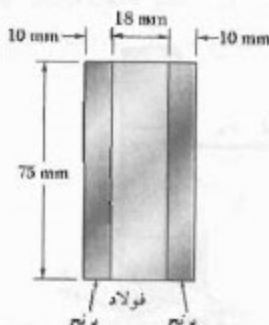
$$\sigma_2 = E_2 \epsilon_x = -\frac{E_2 y}{\rho} \quad (25-4)$$

به این ترتیب، منحنی توزیع تنش از دو پاره خط راست تشکیل می‌شود (شکل ۲۴-۴ج). از معادله‌های (۲۴-۴) نتیجه می‌شود که نیروی dF_1 وارد بر جزء مساحت dA قسمت بالای مقطع عرضی چنین است:

$$dF_1 = \sigma_1 dA = -\frac{E_1 y}{\rho} dA \quad (25-4)$$

مثال ۴-۳

با انتقال قطعات فولادی ($E_f = 200 \text{ GPa}$) و برنجی ($E_b = 100 \text{ GPa}$)، میله‌ای با مقطع عرضی نشان داده شده ساخته شده است (شکل ۴-۲۷). اگر میله تحت لنگر خمی $M = 45 \text{ kNm}$ در خمش خالص قرار گیرد، ماکزیمم تنش را در فولاد و برنج باید.



شکل ۴-۲۷

در شکل ۴-۲۸، مقطع تبدیل یافته متناظر با یک میله تمام‌برنجی نشان داده شده است.

$$n = \frac{E_f}{E_b} = \frac{200 \text{ GPa}}{100 \text{ GPa}} = 2,0$$

درنتیجه، عرض قسمت مرکزی برنج که جایگزین قسمت فولادی اولیه می‌شود برابر است با:

$$(18 \text{ mm}) \times 2,0 = 36 \text{ mm}$$

گفتی است که این تغییر اندازه در امتداد موازی با محور خمش روی می‌دهد. ممان اینرسی مقطع تبدیل یافته نسبت به محور مرکزی اش چنین است:

$$I = \frac{1}{12} b h^3 = \frac{1}{12} (56 \text{ mm})^3 (75 \text{ mm})^2 = 1,47 \times 10^{10} \text{ mm}^4$$

ماکزیمم فاصله از محور خمش، $37,5 \text{ mm}$ است. با استفاده از معادله (۴-۱۵)، ماکزیمم تنش را در مقطع تبدیل یافته می‌باییم:

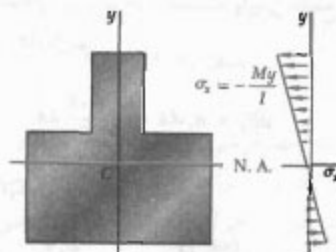
$$\sigma_m = \frac{Mc}{I} = \frac{(45 \times 10^6 \text{ N.m})(37,5 \times 10^{-3} \text{ m})}{1,47 \times 10^{10} \text{ mm}^4} = 85,7 \text{ MPa}$$

مقدار بالا، ماکزیمم تنش در قسمت برنجی میله مرکب اولیه را تبیین نشان می‌دهد. ولی، ماکزیمم تنش در قسمت فولادی از

یعنی، مقطع تبدیل یافته هم‌ارز است با مقطع عرضی عضو در صورتی که عضو از یک ماده همگن با مدول الاستیتیتیه E ساخته شده باشد. لذا، برای تعیین محور خشنق مقطع و تنش قائم در نقاط مختلف مقطع می‌توان از روش توصیف شده در قسمت ۴-۴ استفاده کرد. محور خشنق را از مرکز سطح مقطع تبدیل یافته رسم می‌کنیم (شکل ۴-۲۶)، و تنش σ_x را در هر نقطه متناظر از عضو همگن خیالی از معادله (۴-۱۶) می‌باییم:

$$\sigma_x = -\frac{My}{I} \quad (4-16)$$

(فاصله از سطح خشنق، و I ممان اینرسی مقطع تبدیل یافته نسبت به محور گذرا از مرکز سطح است).



شکل ۴-۲۶ توزیع تنش‌ها در مقطع تبدیل یافته.

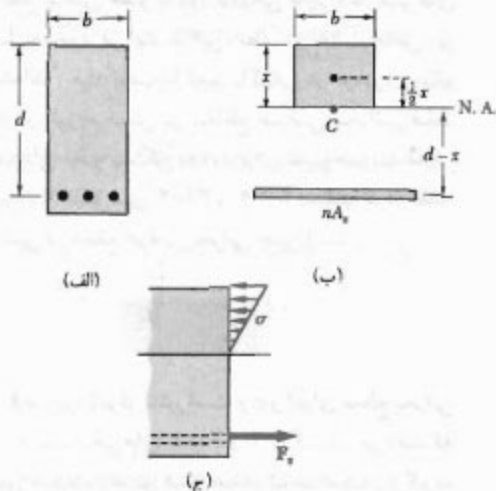
برای تعیین تنش σ_x در هر نقطه از قسمت بالایی مقطع عرضی میله مرکب اولیه، فقط تنش σ_y را در نقطه متناظر مقطع تبدیل یافته محاسبه می‌کنیم. ولی، برای تعیین تنش σ_y در یک نقطه از قسمت پایینی مقطع عرضی، باید تنش σ_x محاسبه شده در نقطه متناظر مقطع تبدیل یافته را در n ضرب کنیم. همانطور که قبلاً دیدیم، نیروی جزئی یکسان df بر مساحت ndA از مقطع تبدیل یافته و بر مساحت da از مقطع اولیه وارد می‌شود. لذا، تنش σ_x در یک نقطه از مقطع اولیه برابر است با «برابر تنش در نقطه متناظر از مقطع تبدیل یافته».

تغییر شکل یک عضو مرکب را با استفاده از مقطع تبدیل یافته تبیین نیز می‌توان تعیین کرد. می‌دانیم که مقطع تبدیل یافته نشان دهنده مقطع عرضی عضو ساخته شده از ماده همگنی با مدول E است که تغییر شکل آن مانند تغییر شکل میله مرکب است. بنابراین، با استفاده از معادله (۴-۲۱)، برای شعاع انحنای عضو مرکب می‌نویسیم:

$$\frac{1}{R} = \frac{M}{E_I}$$

که در آن I ممان اینرسی مقطع تبدیل یافته نسبت به محور خشنق خود می‌باشد.

برای تعیین مقطع انتقال یافته یک تیر بتنی تقویت شده، کل مساحت مقطع عرضی A ، میله‌های فولادی را با nA_s جایگزین می‌کنیم (شکل ۴-۳۰-۴ ب)؛ n برابر است با E_c/E_s و $nA_s = E_c/E_s A_s$. به ترتیب، مدول الاستیستیه فولاد و مدول الاستیستیه بتن است. چون بتن در تیر فقط تحت فشار به خوبی عمل می‌کند، فقط قسمتی از مقطع عرضی را که در بالای محور خشی قرار دارد باید در مقطع تبدیل یافته به کار برد.



شکل ۴-۳۰-۴

با تعیین فاصله مرکز سطح مقطع تبدیل یافته تا وجه بالایی تیر می‌توان مکان محور خشی را بدست آورد. عرض تیر را با b و فاصله خط مرکزی میله‌های فولادی از وجه بالایی را با d نشان می‌دهیم، و ممان اول مقطع تبدیل یافته را نسبت به محور خشی برابر با صفر قرار می‌دهیم. مقطع تبدیل یافته از دو قسمت تشکیل شده است. می‌نویسیم:

$$(bx) \frac{x}{2} - nA_s(d-x) = 0$$

یا

$$\frac{1}{2} bx^2 + nA_s x - nA_s d = 0 \quad (28-4)$$

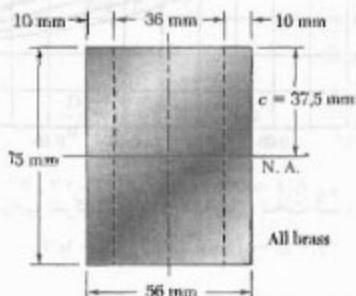
(۲) فاصله مرکز سطح مقطع تبدیل یافته تا وجه بالایی تیر است). با حل این معادله درجه دوم، مکان محور خشی در تیر و قسمتی از مقطع عرضی تیر بتنی که به طور مؤثر مورد استفاده قرار می‌گیرد بدست می‌آید.

در مسئله نمونه ۴-۴، نتش در مقطع تبدیل یافته را تعیین کردیم. توزیع نتش فشاری در بتن و برایند نیروهای گششی (۲۸-۴) میله‌های فولادی در شکل ۴-۳۰-۴ ج نشان داده شده‌اند.

مقدار حاصل برای مقطع تبدیل یافته بیشتر است، زیرا وقتی می‌خواهیم از مقطع تبدیل یافته به مقطع اولیه برگردیم، باید مساحت قسمت مرکزی را برابر ۱۹۳۳ مم تقسیم کنیم. در نتیجه،

$$(\sigma)_{\text{در فولاد}} = 85.7 \text{ MPa}$$

$$(\sigma)_{\text{در فولاد}} = (2)(85.7) \text{ MPa} = 171.4 \text{ MPa}$$



شکل ۲۸-۴

تیرهای بتنی تقویت شده (شکل ۴-۲۹-۴)، یکی از نمونه‌های مهم از عضوهای ساختمانی است که از دو ماده مختلف تشکیل شده‌اند. این تیرها، وقتی برای لنجرهای خمشی مثبت طراحی می‌شوند، با میله‌های فولادی که به فاصله کمی بالای وجه پایینی تیر قرار می‌گیرند تقویت می‌شوند (شکل ۴-۳۰-۴الف). چون بتن در کشش خلیلی ضعیف است، در زیر سطح خشی تری بر می‌دارد و میله‌های فولادی تمام بارکشی را تحمل می‌کنند، در حالی که قسمت بالایی تیر بتنی بارکشاری را تحمل می‌کند.



شکل ۲۹-۴

۷-۴ تمرکز تنش

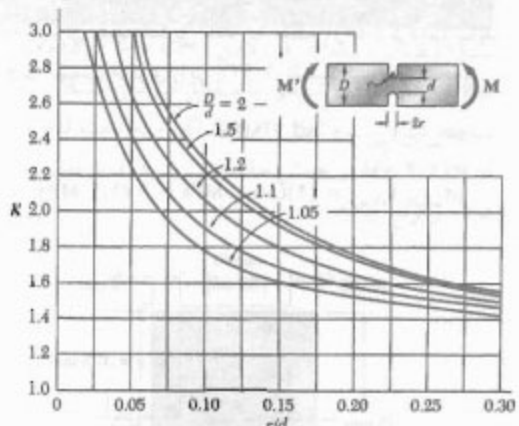
در قسمت ۴-۲، فرمول $\sigma_m = Mc/I$ برای عضوی که دارای صفحه نقارن مقطع عرضی یکنواخت است بدست آمد. در قسمت ۴-۵ دیدیم که اگر کوبیل های M و M' با استفاده از صفحات صلب و هموار اعمال شوند، فرمول مذکور در تمام طول عضو به کار می رود. در موارد دیگر، در نزدیک تقاطع بارگذاری، تمرکز تنش روی می دهد.

اگر مقطع عرضی عضو به طور ناگهانی تغییر کند، تنش های بزرگتر نیز به وجود می آیند. در این رابطه، دو حالت خاص زیر بررسی شده اند: میله تحت تأثیر ناگهانی در عرض، و میله تحت شیاردار. توزیع تنش در مقاطع عرضی بحرانی فقط به شکل هندسی عضو پستگی دارد، و برای تعیین ضریب تمرکز تنش می توان از شکل های ۳۲-۴ و ۳۱-۴ استفاده کرد. مقدار ماکریم تنش در مقطع عرضی بحرانی چنین است:

$$\sigma_m = K \frac{Mc}{I} \quad (29-4)$$

که در آن، K ضریب تمرکز تنش است و c و I برای مقطع بحرانی به عرض d است. شکل های ۳۱-۴ و ۳۲-۴ نشان می دهد که برای کاهش شدت تمرکز تنش باید تاحد امکان از گرده (ماهیجه) و شیار با شعاع بزرگ استفاده کرد.

در اینجا نیز مانند بارگذاری محوری و پیچش، ضریب K با فرض رابطه خطی بین تنش و کرنش محاسبه شده اند. در اغلب موارد، تغییر شکل پلاستیک روی می دهد و مقدار ماکریم تنش کمتر از مقدار حاصل از معادله (۲۹-۴) است.



شکل ۳۲-۴ ضرایب تمرکز تنش برای میله های تحت شیاردار در خمش خالص.

۴-۴ مثال

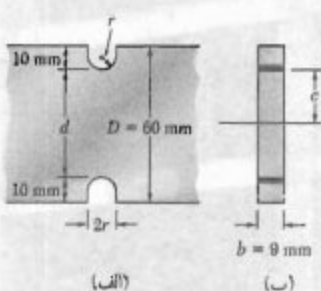
یک میله فولادی بد عرض 60 mm و بد صخامت 9 mm دارای شیارهایی به عمق 10 mm است (شکل ۳۳-۴). مطلوب است کمترین عرض مجاز شیارها تا وقتی میله تحت لنگر خمشی 180 N.m قرار می گیرد، تنش در میله از 180 MPa بیشتر نشود. از شکل ۳۳-۴ الف،

$$d = 60\text{ mm} - 2(10\text{ mm}) = 40\text{ mm}$$

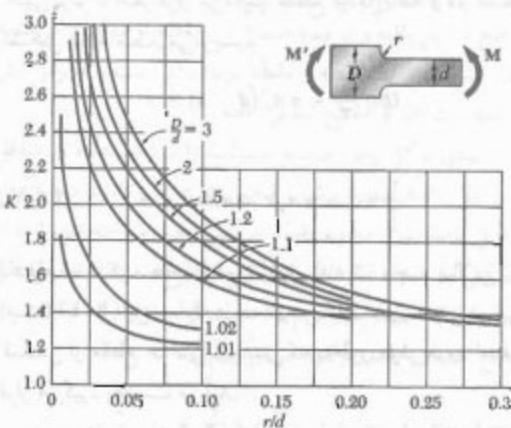
$$c = \frac{1}{4}d = 20\text{ mm} \quad b = 9\text{ mm}$$

ممان اینرسی مقطع عرضی بحرانی نسبت به محور خسته آن چنین است:

$$I = \frac{1}{12}bd^3 = \frac{1}{12}(4 \times 10^{-3}\text{ m})(40 \times 10^{-3}\text{ m})^3 \\ = 48 \times 10^{-10}\text{ m}^4$$



شکل ۳۳-۴



شکل ۳۱-۴ ضریب تمرکز تنش برای میله های تحت لنگر دار در خمش خالص.

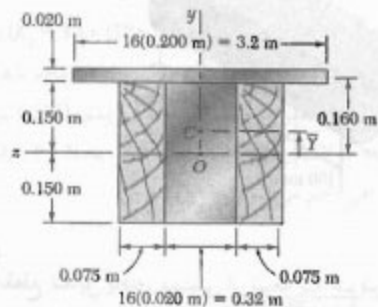
با ضرب کردن ابعاد افقی قسمت فولادی مقطع در ۱۶، $n = 16$ مقطع تبدیل یافته‌ای که تماماً از چوب ساخته شده است به دست می‌آید.

محور خشی، محور خشی از مرکز سطح مقطع تبدیل یافته می‌گذرد. چون این مقطع از دو مستطیل تشکیل شده است، داریم

$$\bar{Y} = \frac{\sum \bar{y}A}{\sum A} = \frac{(0,160 \text{ m})(3,2 \text{ m} \times 0,020 \text{ m}) + 0}{3,2 \text{ m} \times 0,020 \text{ m} + 0,48 \text{ m} \times 0,32 \text{ m}} = 0,050 \text{ m}$$

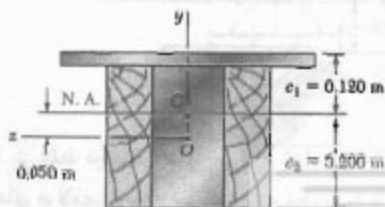
مان اینترسی نسبت به محور گذرا از مرکز سطح، با استفاده از نظریه محورهای موازی،

$$I = \frac{1}{12}(0,48)(0,020)^3 + (0,48 \times 0,020)(0,050)^2 + \frac{1}{12}(3,2)(0,020)^3 + (3,2 \times 0,020)(0,160 - 0,050)^2 \\ I = 2,19 \times 10^{-7} \text{ m}^4$$



الف. تنش ماکریم در چوب. دورترین فاصله از محور خشی در امتداد لبه چوب قرار دارد، یعنی در جایی که $e_y = 0,200 \text{ m}$

$$\sigma_w = \frac{Mc_y}{I} = \frac{(50 \times 10^7 \text{ N.m})(0,200 \text{ m})}{2,19 \times 10^{-7} \text{ m}^4} \\ \sigma_w = 4,57 \text{ MPa} \quad \blacktriangleleft$$



مقدار تنش Mc/I عبارت است از:

$$\frac{Mc}{I} = \frac{(1 \text{ A} \times 1 \text{ N.m})(20 \times 10^{-3} \text{ m})}{48 \times 10^{-7} \text{ m}^4} = 75 \text{ MPa}$$

با جایگذاری این مقدار در معادله (۲۹-۴) و با استفاده از $\sigma_m = 45 \text{ MPa}$

$$150 \text{ MPa} = K(75 \text{ MPa})$$

$$\Rightarrow K = 2$$

از طرف دیگر،

$$\frac{D}{d} = \frac{60 \text{ mm}}{40 \text{ mm}} = 1,5$$

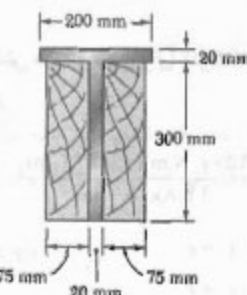
برای $K = 2$ و $D/d = 1,5$ ، طبق شکل ۳۲-۴، $r/d = 0,13$

$$r = 0,13d = 0,13(40 \text{ mm}) = 5,2 \text{ mm}$$

لذا، کمترین عرض، مجاز می‌باشد چنین است:

$$2r = 2(5,2 \text{ mm}) = 10,4 \text{ mm}$$

مسئله نمونه ۳-۴. دو ورق فولادی بهم جوش شده‌اند و یک تیر T شکل را تشکیل داده‌اند. این تیر به دو الاریلوط پیچ و مهره شده است. مدول الاستیتیه برای چوب $E_u = 12,5 \text{ GPa}$ برای فولاد $M = 50 \text{ kN.m}$ است. اگر لنگر خمی $\theta = 20^\circ \text{ GPa}$ برای تیر مركب وارد شود، مطلوبست: (الف) تنش ماکریم در چوب، (ب) تنش در فولاد در امتداد لبه بالایی.



حل

مقطع تبدیل یافته، ایندا نسبت زیر را محاسبه می‌کنیم:

$$\frac{E_s}{E_w} = \frac{12,5 \text{ GPa}}{12,5 \text{ GPa}} = 1,0$$

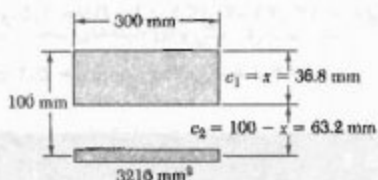
از بتن تحت فشار است (بالای محور خشن)، و دیگری مساحت تبدیل یافته فولاد، nA_s ، است. می‌نویسیم:

$$n = \frac{E_s}{E_c} = \frac{200 \text{ GPa}}{25 \text{ GPa}} = 8$$

$$nA_s = A_f \cdot (40 \text{ mm}) = 3216 \text{ mm}^2$$

محور خشی، محور خشی تیغه از مرکز سطح مقطع تبدیل یافته می‌گذرد. ممان مقاطعه تبدیل یافته را نسبت به محور خشن با هم جمع می‌کنیم:

$$200x\left(\frac{x}{4}\right) - 3216(100 - x) = 0 \quad x = 36.8 \text{ mm}$$



ممان اینرسی، ممان اینرسی مساحت تبدیل یافته نسبت به محور گذرا از مرکز سطح چنین است:

$$I = \frac{1}{3}(200)(36.8) + 3216(100 - 36.8)^2 = 12,8 \times 10^6 \text{ mm}^4$$

الف. تنش ماکریم در بتن. در بالای تیغه، داریم
و $c_1 = 36.8 \text{ mm}$

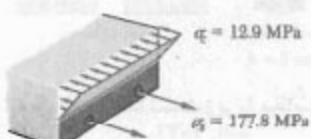
$$\sigma_c = \frac{Mc_1}{I} = \frac{(4500 \text{ N.m})(0.0368 \text{ m})}{12,8 \times 10^6 \text{ mm}^4}$$

$$\sigma_c = 12.9 \text{ MPa} \quad \blacktriangleleft$$

ب. تنش در فولاد. برای فولاد، داریم
 $c_1 = 63.2 \text{ mm}$ و $A_f = A_{f0}$

$$\sigma_s = n \frac{Mc_1}{I} = A_f \cdot \frac{(4500 \text{ N.m})(0.0632 \text{ m})}{12,8 \times 10^6 \text{ mm}^4}$$

$$\sigma_s = 177.8 \text{ MPa} \quad \blacktriangleleft$$



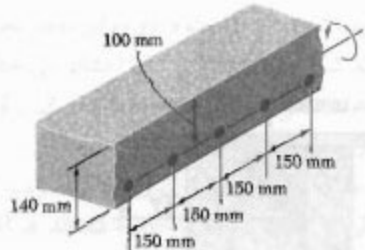
ب. تنش در فولاد. در امتداد لبه بالایی، $c_1 = 0.12 \text{ m}$ ، $c_2 = 0.12 \text{ m}$ مقطع تبدیل یافته، تنش معادل در چوب را می‌باشیم و آن را در n ضرب می‌کنیم تا تنش در فولاد بدست آید:

$$\sigma_s = n \frac{Mc_1}{I} = (16) \frac{(50 \times 10^7 \text{ N.m})(0.12 \text{ m})}{2,19 \times 10^{-4} \text{ m}^4}$$

$$\sigma_s = 42.8 \text{ MPa} \quad \blacktriangleleft$$

مسئله نمونه ۴

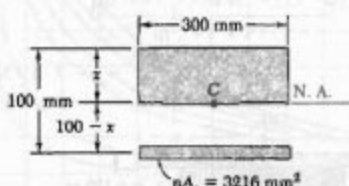
یک تیغه بتونی توسط میله‌های فولادی به قطر 16 mm تقویت شده است. این میله‌ها به فاصله 38 mm بالای وجه پایینی تیغه قرار دارند و فاصله مراکز آنها از یکدیگر 150 mm است. مدول الاستیسیته برای بتن 25 GPa و برای فولاد 200 GPa است. اگر لگر خمی 45 kN.m بر هر فوت عرض تیغه وارد شود، مطلوب است: (الف) تنش ماکریم در بتن، (ب) تنش در فولاد.



حل

مقطع تبدیل یافته، قسمتی از تیغه به عرض 300 mm در نظر می‌گیریم، که در آن دو میله به قطر 16 mm کلاً دارای مساحت مقطع عرضی زیر هستند:

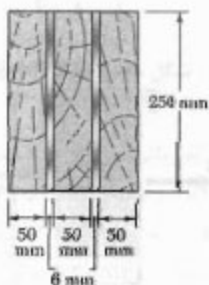
$$A_s = 2 \left[\frac{\pi}{4} (16 \text{ mm})^2 \right] = 402 \text{ mm}^2$$



چون بتن فقط در فشار عمل می‌کند، تمام نیروهای کششی را میله‌های فولادی تحمل می‌کنند و مقطع تبدیل یافته از دو مساحت نشان داده شده تشکیل شده است. یکی از آنها قسمتی

مسائل

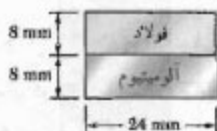
فولاد	چوب	
۲۰۰ GPa	۱۴ GPa	مدول الاستیسیته
۱۵۰ MPa	۱۴ MPa	تنش مجاز



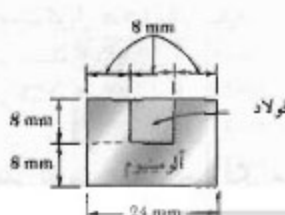
شکل ۳۷-۴

۳۸-۴ در مسئله ۳۷-۴، ماکریم لنگر خمثی را برای خمث عضو مدل یک محور عمودی بیابید.

۳۹-۴ و ۴۰-۴ از اتصال میله فولادی ($E_s = 210 \text{ GPa}$) و میله آلمینیومی ($E_a = 70 \text{ GPa}$)، میله مرکب نشان داده شده به وجود آمده است. مطلوبت تنش ماکریم: (الف) در آلمینیوم، (ب) در فولاد، وقتی میله تحت لنگر $M = 60 \text{ N.m}$ حول یک محور افقی ختم می شود.



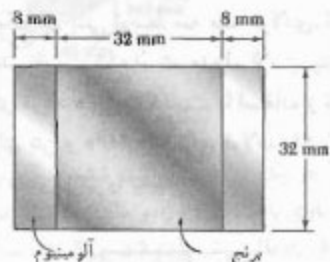
شکل ۳۹-۴



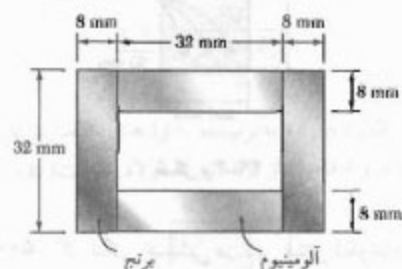
شکل ۴۰-۴

۳۳-۴ و ۳۴-۴ میله ای با مقطع عرضی عرضی نشان داده شده از برنج و آلمینیوم است. با استفاده از داده های زیر، ماکریم لنگر خمثی مجاز را برای خمث میله حول یک محور افقی بیابید.

برنج	آلومینیوم	
۱۰۵ GPa	۷۰ GPa	مدول الاستیسیته
۱۶۰ MPa	۱۰۰ MPa	تنش مجاز



شکل ۳۳-۴



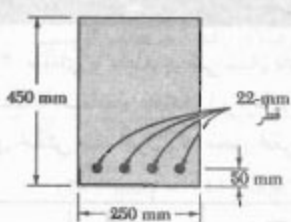
شکل ۳۴-۴

۳۵-۴ و ۳۶-۴ برای میله مرکب نشان داده شده، ماکریم لنگر خمثی مجاز را در میله برای خمث آن حول یک محور عمودی بیابید:

۳۵-۴ میله مسئله ۳۳-۴

۳۶-۴ میله مسئله ۳۴-۴

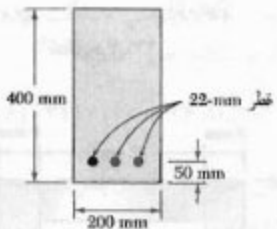
۳۷-۴ سه تیر چوبی و ۳۰ ورق فولادی به هم پیچ شده اند و عضو مرکب نشان داده شده را ساخته اند. با استفاده از داده های زیر، ماکریم لنگر خمثی مجاز را برای خمث عضو حول یک محور افقی بیابید.



شکل ۴۷-۴

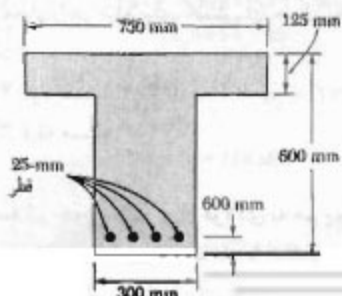
مسئله ۴۷-۴ را با این فرض حل کنید که عمق تیر از $450 \times 250 \text{ mm}$ به 400 mm افزایش یابد.

۴۹-۴ یک تیر بتنی توسط سه میله فولادی، که مطابق شکل قرار دارند، تقویت شده است. مدول الاستیستیه برای بتن 20 GPa و برای فولاد 200 GPa است. با استفاده از نتش مجاز 120 MPa برای بتن و 45 MPa برای فولاد، ماکریسم لگز خمثی مثبت مجاز در تیر را بیابید.



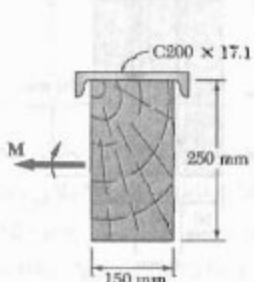
شکل ۴۹-۴

۵۰-۴ اگر لگز خمثی در تیر بتنی تقویت شده‌ای $+200 \text{ kN.m}$ و مدول الاستیستیه برای بتن 25 GPa و برای فولاد 200 GPa باشد، مطلوبست: (الف) نتش در فولاد، (ب) ماکریسم نتش در بتن.

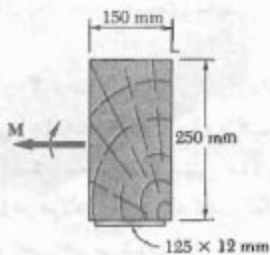


شکل ۵۰-۴

۴۱-۴ و ۴۲-۴ تیر چوبی با مقطع عرضی $150 \times 250 \text{ mm}$ به تقویت کننده فولادی پیچ شده است. مدول الاستیستیه چوب و فولاد، به ترتیب، 12 GPa و 200 GPa است. اگر تیر تحت کوپل $M = 50 \text{ kN.m}$ حول یک محور افقی خم شود، مطلوبست ماکریسم نتش: (الف) در چوب، (ب) در فولاد



شکل ۴۱-۴



شکل ۴۲-۴

۴۳-۴ و ۴۴-۴ برای میله مركب نشان داده شده، شعاع انحنای ناشی از اعمال کوپل 35 kN.m را بیابید.

۴۳-۴ میله مسئله ۴۳-۴

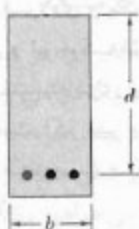
۴۴-۴ میله مسئله ۴۴-۴

۴۵-۴ و ۴۶-۴ برای تیر مركب نشان داده شده، شعاع انحنای ناشی از اعمال کوپل 55 kN.m را بیابید.

۴۵-۴ تیر مسئله ۴۱-۴

۴۶-۴ تیر مسئله ۴۶-۴

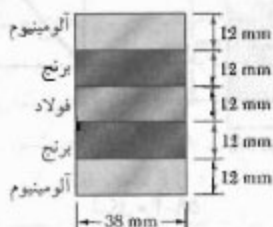
۴۷-۴ تیر بتنی تقویت شده‌ای تحت لگز خمثی مثبت 175 kN.m قرار دارد. اگر مدول الاستیستیه برای بتن 25 GPa و برای فولاد 200 GPa باشد، مطلوبست: (الف) نتش در فولاد، (ب) ماکریسم نتش در بتن.



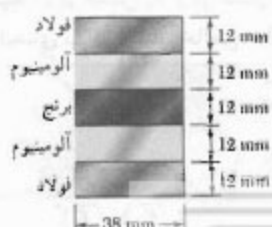
شکل م ۵۴-۴ و م ۵۳-۴

۵۴-۴ برای تیر بتنی نشان داده شده، مدول الاستیستیت برای بتن 25 GPa و برای فولاد 200 GPa است. اگر $d = 450 \text{ mm}$ و $b = 200 \text{ mm}$ با استفاده از تنش مجاز 140 MPa برای بتن و 120 MPa برای فولاد، مطلوبست: (الف) مساحت A فولاد تقویت کننده در صورتی که بخواهیم طرح متوازن باشد، (ب) ماکریم لگر خمشی مجاز (برای تعریف طرح متوازن، به مسئله ۵۲-۴ مراجعه کنید).

۵۵-۴ و ۵۶-۴ پنج تسممه فلزی، هر یک با مقطع عرضی $12 \times 38 \text{ mm}$ ، به یکدیگر متصل و تیر مرکب نشان داده شده را تشکیل داده‌اند. مدول الاستیستیت برای فولاد 200 GPa ، برای برنج 105 GPa و برای آلمینیوم 75 GPa است. اگر تیر با اعمال کوپل $1/4 \text{kN.m}$ حول یک محور انقی خم شود، مطلوبست: (الف) ماکریم تنش در هر یک از سه فلز، (ب) شعاع انحنای تیر مرکب.

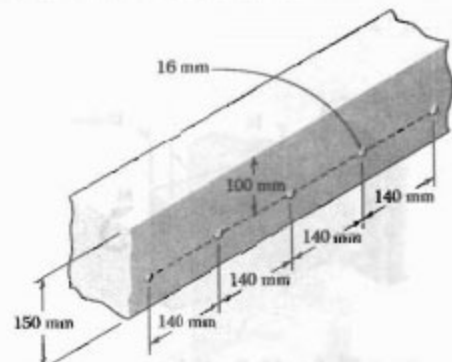


شکل م ۵۵-۴



شکل م ۵۶-۴

۵۱-۴ یک دال بتنی توسط میله‌های بقطار 16 mm تقویت شده است. فاصله مراکز میله‌ها از هم 140 mm است. مدول الاستیستیت بتن و فولاد، به ترتیب، 20 GPa و 200 GPa است. با استفاده از تنش مجاز 4 MPa برای بتن و 140 MPa برای فولاد، ماکریم لگر خمشی را که می‌توان بر واحد طول دال وارد کرد بیابید.

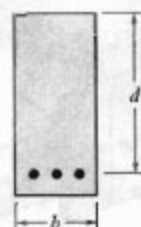


شکل م ۵۱-۴

۵۲-۴ در یک تیر بتنی تقویت شده، هرگاه ماکریم تنش در فولاد مساوی با تنش مجاز σ_c و ماکریم تنش در بتن مساوی با تنش مجاز σ_s باشد، تیر رامتوازن می‌گویند. نشان دهد که برای دست‌یابی به یک طرح متوازن، فاصله x از نوک تیر تا محور خنتی باید به صورت زیر باشد:

$$x = \frac{d}{1 + \frac{\sigma_s E_c}{\sigma_c E_s}}$$

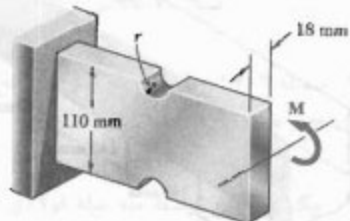
که در آن E_c و E_s ، به ترتیب، مدول‌های الاستیستیت بتن و فولاد هستند و d فاصله از نوک تیر تا نوک تقویت کننده است.



شکل م ۵۲-۴

۵۳-۴ برای تیر بتنی نشان داده شده، مدول الاستیستیت برای بتن 24 GPa و برای فولاد 200 GPa است. اگر $d = 550 \text{ mm}$ و $b = 200 \text{ mm}$ با استفاده از تنش مجاز 140 MPa برای بتن و 12 MPa برای فولاد، مطلوبست: (الف) مساحت A فولاد تقویت کننده در صورتی که بخواهیم طرح متوازن باشد، (ب) ماکریم لگر خمشی مجاز (برای تعریف طرح متوازن، به مسئله ۵۲-۴ مراجعه کنید).

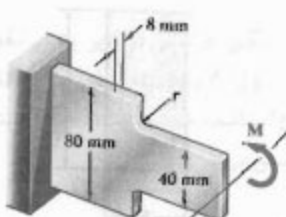
۶۱-۴ شیارهای نیم دایره‌ای با شعاع r ، مطابق شکل، در جواب یک عضو فولادی فرز شده‌اند. با استفاده از تنش مجاز 55 MPa ، مطلوبست ماکریم لنگر خمشی که می‌توان بر عضو وارد کرد در صورتی که شعاع شیارهای نیم دایره‌ای برابر است با: (الف) 10 mm ، (ب) 18 mm .



شکل ۶۱-۴ و م ۶۲-۴

۶۲-۴ شیارهای نیم دایره‌ای با شعاع r ، مطابق شکل، در جواب یک عضو فولادی فرز شده‌اند. اگر $M = 450 \text{ N.m}$ ، مطلوبست ماکریم تنش در عضو در صورتی که: (الف) $r = 10 \text{ mm}$ ، (ب) $r = 18 \text{ mm}$.

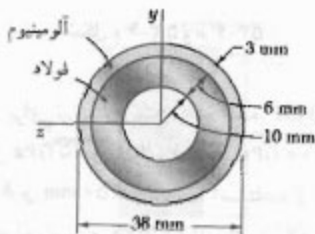
۶۳-۴ اگر $M = 250 \text{ N.m}$ ، مطلوبست ماکریم تنش در تیر نشان داده شده وقتی شعاع r گُرده برابر است با: (الف) 4 mm ، (ب) 8 mm .



شکل ۶۳-۴ و م ۶۴-۴

۶۴-۴ اگر تنش مجاز در تیر نشان داده شده 40 MPa باشد، مطلوبست لنگر خمشی مجاز M وقتی شعاع r گُردها برابر است با: (الف) 8 mm ، (ب) 12 mm .

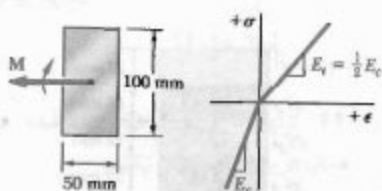
۵۷-۴ یک لوله آلمینیومی به یکدیگر محکم شده‌اند و تیر مرکب نشان داده شده را تشکیل داده‌اند. مدول الاستیتیه برای فولاد 210 GPa و برای آلمینیوم 70 GPa است. اگر تیر مرکب با اعمال کوپل 500 N.m ختم شود، مطلوبست ماکریم تنش: (الف) در آلمینیوم، (ب) در فولاد.



شکل ۵۷-۴

۵۸-۴ مسئله ۵۷-۴ را با این فرض حل کنید که لوله داخلی به ضخامت 6 mm از آلمینیوم و لوله خارجی به ضخامت 3 mm از فولاد ساخته شده باشد.

۵۹-۴ تیر مستطیلی نشان داده از پلاستیکی ساخته شده است که مدول الاستیتیه آن در کشش نصف مقدار آن در فشار است. برای لنگر خمشی $M = 600 \text{ N.m}$ ، مطلوبست: (الف) ماکریم تنش کششی، (ب) ماکریم تنش فشاری.



شکل ۵۹-۴

۶۰-۴ یک تیر مستطیلی از ماده‌ای ساخته شده است که مدول الاستیتیه آن در کشش E_r و در فشار E_c است. نشان دهد که شعاع انحنای تیر در خمس خالص عبارت است از

$$\frac{1}{\rho} = \frac{M}{E_r I}$$

که در آن

$$E_r = \frac{4 E_r E_c}{(\sqrt{E_r} + \sqrt{E_c})^2}$$

۸-۴ تغییر شکل پلاستیک

برای استنتاج رابطه $M_{pl} = M_0$ در قسمت ۴-۴، فرض شد قانون هوک در تمام عضو به کار می‌رود. اگر تنش در قسمتی از عضو از استقامت تسلیم بیشتر شود، یا اگر ماده از نوع شکننده با نمودار تنش-کرنش غیرخطی باشد، رابطه بالا صحت نخواهد داشت. در این قسمت می‌خواهیم یک روش کلی را برای تعیین توزیع تنش در عضوی که در خمن خالص است و از قانون هوک پیروی نمی‌کند بررسی کیم.

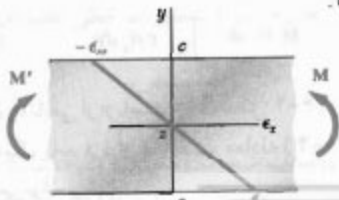
در قسمت ۳-۴، هنگام اثبات این موضوع که کرنش قائم ϵ_m بر حسب فاصله از سطح خشنی به صورت خطی تغییر می‌کند، هیچ رابطه خاصی را برای تنش-کرنش در نظر نگرفتیم. در اینجا نیز این خاصیت استفاده می‌کنیم و می‌نویسیم:

$$\epsilon_x = -\frac{y}{c} \epsilon_m \quad (10-4)$$

که در آن، لفافاصله نقطه مورد نظر از سطح خشنی است، و c ماقریسم مقدار را دارد.

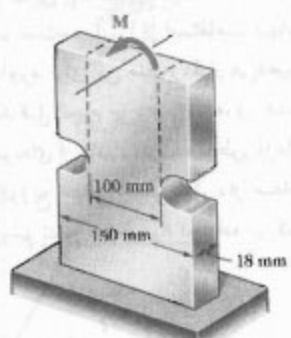
البته، نمی‌توان فرض کرد محور خشنی از مرکز سطح مقطع داده شده می‌گذرد؛ زیرا این خاصیت در قسمت ۴-۴ با فرض تغییر شکل الاستیک به دست آمد. به طور کلی، مکان محور خشنی با توجه به معادله‌های (۱-۴) و (۳-۴) و با آزمون و خطا بدست می‌آید. ولی، در حالت خاصی که عضوی دارای صفحات تقارن افقی و عمودی است و از ماده‌ای ساخته شده است که رابطه تنش-کرنش آن در کشش و فشار یکسان است، محور خشنی بر محور تقارن افقی مقطع منطبق است. در حقیقت، با توجه به خواص چنین ماده‌ای، تنش‌ها باید نسبت به محور خشن متناظر باشند. این حالت، نیز معادله (۱-۴)، وقتی برقرار می‌شود که محور خشنی محور تقارن افقی باشد.

ابتدا، حالت خاص بالا را تحلیل می‌کنیم. در این حالت، فاصله y در معادله (۱۰-۴) از محور تقارن افقی z مقطع عرضی اندازه‌گیری می‌شود و توزیع کرنش ϵ_m نسبت به آن محور به صورت خطی و متناظر است (شکل ۳۴-۴). منحنی تنش-کرنش نیز نسبت به مبدأ مختصات متناظر است (شکل ۳۵-۴).

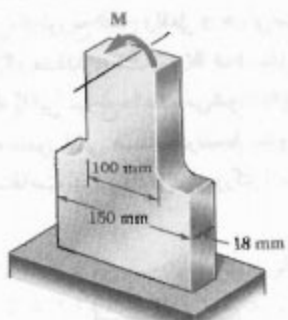


شکل ۳۴-۴

۶۵-۴ تنش مجاز برای یک میله فولادی $M_{pl} = 80$ MPa است. مطلوب است ماقریسم کوبیل M که می‌توان بر میله وارد کرد در صورتی که (الف) میله دارای شیارهای نیم‌دایره‌ای با شعاع $r = 15$ mm باشد (شکل م ۶۷-۴الف)، (ب) شیارها حذف شوند و میله به صورت نشان داده شده در شکل م ۶۵-۴ب در آید.



(الف)



(ب)

شکل م ۶۵-۴ و م ۶۷-۴

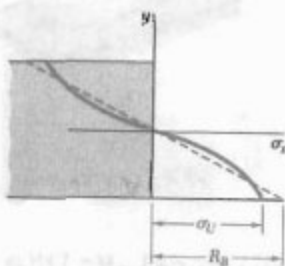
۶۶-۴ کوبیل $M = 2$ kN.m بر انتهای یک میله فولادی وارد شده است. مطلوب است ماقریسم تنش در میله به شرطی که: (الف) میله دارای شیارهای نیم‌دایره‌ای با شعاع $r = 10$ mm باشد (شکل م ۶۵-۴الف)، (ب) شیارها حذف شوند و میله به صورت نشان داده شده در شکل م ۶۵-۴ب در آید.

اگر σ_x تابع معلومی از ϵ_x باشد، از معادله (۳۱-۴) برای بیان σ_x بر حسب لا می توان استفاده، و انتگرال در (۳۱-۴) را به صورت تحلیلی تعیین کرد. در غیر اینصورت، لنگر خمثی M را با انتگرال گیری عددی باید بدست آورد. توجه کنید که انتگرال در معادله (۳۱-۴) ممان اول سطح شکل ۳۶-۴ را، که بالای محور افقی است و با منحنی توزیع تنش و محور عمودی محدود شده است، نسبت به محور افقی نشان می دهد.

لنگر خمثی نهایی M_U که باعث شکست عضو می شود یک پارامتر مهم است، و آن را از استقامت نهایی σ_u ماده می توان بدست آورد. برای این منظور، قرار می دهیم $\sigma_u = \sigma_{max}$ و محسسه را مانند قبیل انجام می دهیم. البته، هر عمل بهتر است M_u را از روی نمونه ای از ماده داده شده به طور آزمایشی بیابیم. سپس، با فرض توزیع خیالی خطی تنش، از معادله (۳۱-۴) برای تعیین ماکریم تنش متاناظر R_B استفاده می کنیم:

$$R_B = \frac{M_{Uc}}{I} \quad (32-4)$$

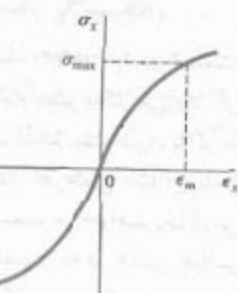
تشخیصی R_B را مدول شکست خمثی ماده می گویند. از معادله (۳۲-۴) برای تعیین لنگر خمثی نهایی عضوی که مدول شکست آن علوم است می توان استفاده کرد. در عضوی با مقطع عرضی مستطیلی، از توزیع تنش واقعی و خیالی نشان داده شده در شکل ۳۷-۴، مقدار یکسان M بدست می آید. لذا، مساحت هایی که با این توزیع ها داده می شوند دلایی ممان اول یکسان نسبت به محور افقی هستند. در نتیجه، مدول گیختگی همواره از استقامت نهایی واقعی σ_u بزرگتر است.



شکل ۳۷-۴

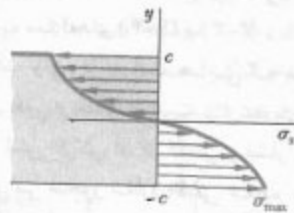
۹-۴ عضوهای الاستوپلاستیک

برای اطلاعات بیشتر درباره رفتار پلاستیکی یک عضو تحت خمثی، عضوی را که از ماده الاستوپلاستیک ساخته شده است در نظر می گیریم و فرض می کنیم که دارای مقطع عرضی مستطیلی



شکل ۳۵-۴

توزیع تنش در مقطع عرضی عضو، یعنی نمودار σ_x بر حسب ϵ_x ، به صورت زیر بدست می آید. با فرض اینکه σ_{max} معلوم شده است، ابتدا مقدار متاناظر ϵ_m را از نمودار تنش-کرنش می باییم و این مقدار را در معادله (۳۱-۴) می گذاریم. سپس، برای هر مقدار ϵ ، مقدار متاناظر σ_x را از معادله (۳۱-۴) یا شکل (۳۴-۴) یا شکل ۳۵-۴ تنش σ_x می باییم، و از نمودار تنش-کرنش شکل ۳۵-۴ با ترسیم σ_x بر حسب ϵ ، با این مقدار σ_x را بدست می آوریم. با ترسیم σ_x بر حسب ϵ ، توزیع تنش دلخواه بدست می آید (شکل ۳۶-۴).



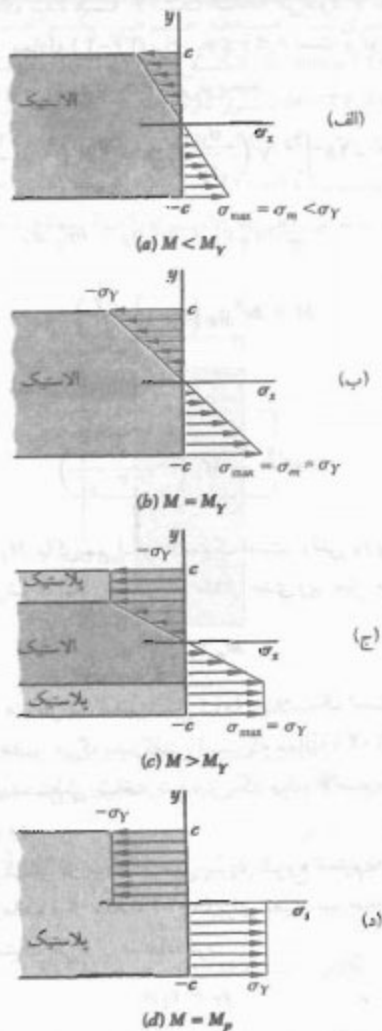
شکل ۳۶-۴

برای استنتاج معادله (۳۱-۴) در قسمت ۲-۴، هیچ رابطه خاصی را بین تنش و کرنش در نظر نگرفتیم. بنابراین، برای تعیین لنگر خمثی M متاناظر با توزیع تنش بدست آمده در شکل ۳۶-۴ از معادله (۳۱-۴) استفاده می کنیم. برای یک عضو با مقطع عرضی مستطیلی به عرض b ، جزو مساحت در معادله (۳۱-۴) به صورت $dA = b dy$ است و می نویسیم:

$$M = -b \int_{-c}^c y \sigma_x dy \quad (30-4)$$

که در آن σ_x تابعی از y است که در شکل ۳۶-۴ رسم شده است. چون σ_x یک تابع فرد از y است، معادله (۳۰-۴) را به صورت زیر نیز می توان نوشت:

$$M = -2b \int_0^c y \sigma_x dy \quad (31-4)$$



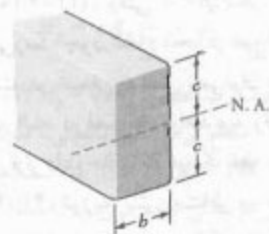
شکل ۴-۴

با افزایش بیشتر لنگر خمثی، نواحی پلاستیک در عضو گسترش می‌یابند، به طوری که تنش یکنواخت در ناحیه بالایی برابر با σ_y و در ناحیه پایینی برابر با $\sigma_y + \sigma_z$ است (شکل ۴-۴ج). بین این نواحی پلاستیک، هسته الاستیک وجود دارد که در آن تنش σ_z بر حسب لغزش خطي تغییر می‌کند:

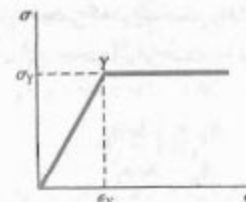
$$\sigma_z = -\frac{\sigma_y}{y_y} y \quad (36-4)$$

در رابطه بالا، y نصف ضخامت هسته الاستیک است. با افزایش M ، نواحی پلاستیک گسترش می‌یابند تا اینکه تغییر شکل کاملاً پلاستیک می‌شود (شکل ۴-۴د).

به عرض b و به ارتفاع c است (شکل ۴-۳۸). در قسمت ۱۷-۲ دیدیم که نمودار تنش-کرنش برای یک ماده ااستوپلاستیک ایده‌آل مانند شکل ۴-۳۹ است.



شکل ۳۸-۴



شکل ۳۹-۴

تا وقتی تنش قائم σ_z از استقامت تسلیم σ_y بیشتر نشده است، قانون هوك به کار می‌رود و توزیع تنش در عرض این مقطع به صورت خطی است (شکل ۴-۴الف). ماکزیمم مقدار تنش چنین است:

$$\sigma_m = \frac{Mc}{I} \quad (15-4)$$

با افزایش لنگر خمثی، σ_m سرانجام به مقدار σ_y می‌رسد (شکل ۴-۴ب). با جایگذاری در معادله (۱۵-۴) و با حل مقدار متاظر M ، مقدار M_y لنگر خمثی در شروع تسلیم بدست می‌آید:

$$M_y = \frac{I}{c} \sigma_y \quad (33-4)$$

لنگر M_y را ماکزیمم لنگر الاستیک می‌گویند، زیرا بزرگترین لنگری است که به ازای آن تغییر شکل کاملاً الاستیک است. برای مقطع عرضی مستطیلی،

$$\frac{I}{c} = \frac{b(2c)^3}{12c} = \frac{2}{3} bc^2 \quad (34-4)$$

درنتیجه،

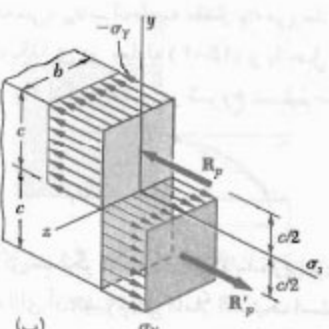
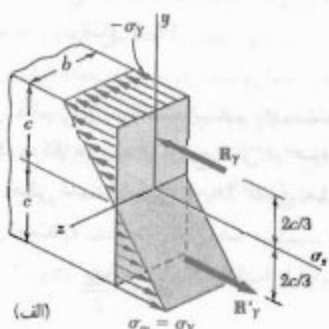
$$M_y = \frac{2}{3} bc^2 \sigma_y \quad (35-4)$$

معادله (۴۳-۴) فقط پس از شروع تسلیم، یعنی برابر با $M < M_y$ به کار می‌رود. برای $M > M_y$ از معادله (۲۱-۴) باید استفاده کرد.

طبق معادله (۴۳-۴)، وقتی $\rho = 0$ ، لنگر خمثی به مقدار $M_p = \frac{1}{3} M_y$ می‌رسد. چون شعاع انحنای در هیچ نقطه‌ای از سطح خشی صفر نیست، در خمث خالص نمی‌توان تغییر شکل کاملاً پلاستیک داشت. البته، در فصل ۵ خواهد دید وقتی یک تیر تحت بارگذاری عرضی فرار دارد، حالت بالا در یک نقطه به وجود می‌آید. در شکل ۴۱-۴، توزیع نتش متناظر با ماکریم لنگر M_p در یک الاستیک M_y و متناظر با حالت حدی لنگر پلاستیک M_p در یک عضو مستطیلی در سه بعد نشان داده شده است. در هر دو حالت، برایند نیروهای کششی جزئی و برایند نیروهای فشاری جزئی از مراکر حجمی که توزیع نتش را نشان می‌دهند می‌گذرند و مقدار آنها با این حجم‌ها برابر است. درنتیجه،

$$R_y = \frac{1}{3} b c \sigma_y$$

$$R_p = b c \sigma_y$$



شکل ۴۱-۴

* معادله (۴۲-۲) برای عضوی به کار می‌رود که از ماده پسکش شواری با نقطه تسلیم معنی ساخته شده است، و استنتاج آن برعیت به شکل مقطع عرضی عضو و تعداد تنش کرنش پس از نقطه تسلیم ندارد.

از معادله (۳۱-۴) برای تعیین مقدار لنگر خمثی متناظر با ضخامت داده شده هسته الاستیک استفاده می‌شود. با توجه به اینکه σ_y در معادله (۳۶-۴) برای $y \leq y_c$ است و در ناحیه $y_c \leq y \leq c$ برابر است با $-\sigma_y$ ، می‌نویسیم:

$$\begin{aligned} M &= -2b \int_0^{y_c} y \left(-\frac{\sigma_y}{y_c} y \right) dy - 2b \int_{y_c}^c y (-\sigma_y) dy \\ &= \frac{2}{3} b y_c^2 \sigma_y + b c^2 \sigma_y - b y_c^2 \sigma_y \\ M &= b c^2 \sigma_y \left(1 - \frac{1}{3} \frac{y_c^2}{c^2} \right) \end{aligned} \quad (۳۷-۴)$$

با توجه به معادله (۳۵-۴)،

$$M = \frac{2}{3} M_y \left(1 - \frac{1}{3} \frac{y_c^2}{c^2} \right) \quad (۳۸-۴)$$

که در آن M_y ماکریم لنگر الاستیک است. وقتی e_y لایه صفر نزدیک می‌شود، لنگر خمثی به مقدار حدی زیر میل می‌کند:

$$M_p = \frac{2}{3} M_y \quad (۳۹-۴)$$

را، که متناظر با تغییر شکل کاملاً پلاستیک است، لنگر پلاستیک عضو می‌گویند. گفتنی است که معادله (۳۹-۴) فقط برای عضو مستطیلی ساخته شده از یک ماده الاستیپلاستیک به کار می‌رود.

توزیع کرنش در مقطع عرضی پس از شروع تسلیم به صورت خطی می‌ماند، و از معادله (۸-۴) برای تعیین نیم ضخامت y_c هسته الاستیک می‌توان استفاده کرد:

$$y_c = e_y \rho \quad (۴۰-۴)$$

(کرنش تسلیم و ρ شعاع انحنای متناظر با لنگر خمثی است). وقتی لنگر خمثی با $M_y = M$ برابر است، $y_c = c$ می‌باشد. از معادله (۴۰-۴)،

$$c = e_y \rho \quad (۴۱-۴)$$

(شعاع انحنای متناظر با ماکریم لنگر الاستیک M_y است). از تقسیم (۴۰-۴) بر (۴۱-۴)، داریم:

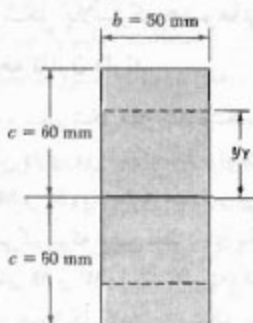
$$\frac{y_c}{c} = \frac{\rho}{\rho_y} \quad (۴۲-۴)$$

با جایگذاری c/y_c از (۴۲-۴) در (۳۸-۴)، لنگر خمثی M بر حسب شعاع انحنای ρ سطح خشی به دست می‌آید:

$$M = \frac{2}{3} M_y \left(1 - \frac{1}{3} \frac{\rho^2}{\rho_y^2} \right) \quad (۴۳-۴)$$

مثال ۴-۵

عضوی با مقطع عرضی یکنواخت مستطیلی $50 \text{ mm} \times 120 \text{ mm}$ (شکل ۴-۲) تحت لگر خمثی $M = 26/\lambda \text{ kN.m}$ قرار دارد. این عضو از یک ماده استوپلاستیک با استقامت تسلیم 240 MPa و مدول الامتیته 200 GPa ساخته شده است. مطلوب است: (الف) ضخامت هسته الاستیک، (ب) نیز انحنای سطح ختنی.



شکل ۴-۲

(الف) ضخامت هسته الاستیک. ابتدا، ماکریم لگر الاستیک M_y را تعیین می‌کنیم. با جایگذاری داده‌ها در معادله (۳۴-۴)، داریم

$$\frac{I}{c} = \frac{2}{3} bc^3 = \frac{2}{3} (50 \times 10^{-3} \text{ m})(60 \times 10^{-3} \text{ m})^3 \\ = 120 \times 10^{-6} \text{ m}^4$$

با جایگذاری این مقدار، و نیز $\sigma_y = 240 \text{ MPa}$ در معادله (۳۳-۴)

$$M_y = \frac{I}{c} \sigma_y = (120 \times 10^{-6} \text{ m}^4)(240 \text{ MPa}) = 28/\lambda \text{ kN.m}$$

با جایگذاری مقادیر M و M_y در معادله (۳۸-۴)، داریم

$$26/\lambda \text{ kN.m} = \frac{3}{4} (28/\lambda \text{ kN.m}) \left(1 - \frac{1}{3} \frac{y_y^2}{c^2}\right)$$

$$\Rightarrow \left(\frac{y_y}{c}\right)^2 = 0,444 \Rightarrow \frac{y_y}{c} = 0,666$$

$$\therefore c = 60 \text{ mm}$$

$$y_y = 0,666(60 \text{ mm}) = 40 \text{ mm}$$

لذا، ضخامت هسته الاستیک 40 mm است.

لگرهای متناظر، به ترتیب، عبارتند از:

$$M_Y = \left(\frac{4}{7} c\right) R_Y = \frac{4}{7} bc^3 \sigma_Y \quad (44-4)$$

$$M_p = c R_p = bc^3 \sigma_Y \quad (45-4)$$

لذا، برای یک عضو مستطیلی، $M_p = \frac{7}{4} M_Y$ (معادله ۴-۳۹). برای تیرها با مقطع عرضی غیرمستطیلی، محاسبه ماکریم لگر الاستیک M_y و ماکریم لگر پلاستیک M_p معمولاً با استفاده از روش ترسیمی ساده می‌شود (مسئله تمونه ۴-۵). در این حالت کلی، دیده می‌شود که نسبت $k = M_p/M_y$ معمولاً $1,14$ است. نسبت k برابر M_p/M_y فقط به شکل مقطع عرضی بستگی دارد، و آن را ضرب شکل مقطع عرضی می‌گویند. اگر ضرب شکل k و ماکریم لگر الاستیک M_y یک تیر معلوم باشد، لگر پلاستیک M_p تیر را در رابطه زیر می‌توان یافت:

$$M_p = k M_y \quad (46-4)$$

نسبت M_p/σ_y را، که از تقسیم لگر پلاستیک M_p بر استقامت تسلیم M_y عضو بعدست می‌آید، مدول پلاستیک عضو می‌گویند و یا Z نشان داده می‌شود. اگر مدول پلاستیک Z و استقامت تسلیم M_y یک تیر معلوم باشند، لگر پلاستیک M_p آن را از رابطه زیر می‌توان یافت:

$$M_p = Z \sigma_y \quad (47-4)$$

با توجه به رابطه $M_y = S \sigma_y$ (معادله ۴-۱۸) و مقایسه با معادله (۴۷-۴)، نتیجه می‌شود که ضرب شکل k را بر حسب نسبت مدول پلاستیک به مدول الاستیک می‌توان بیان کرد:

$$k = \frac{M_p}{M_y} = \frac{Z \sigma_y}{S \sigma_y} = \frac{Z}{S} \quad (48-4)$$

طبق معادله‌های (۴۵-۴) و (۴۷-۴)، مدول پلاستیک یک تیر مستطیلی پنجین است:

$$Z = \frac{M_p}{\sigma_y} = \frac{bc^3 \sigma_y}{\sigma_y} = bc^3 = \frac{1}{3} bh^3$$

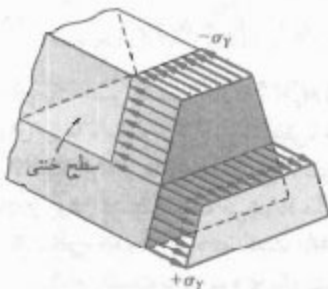
و b ، به ترتیب، عرض و ارتفاع مقطع عرضی تیر هستند. طبق معادله (۴-۱۹)، مدول الاستیک این تیر پنجین است:

$$S = \frac{1}{3} bh^3$$

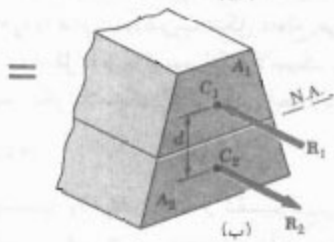
با جایگذاری مقادیر Z و S در معادله (۴۸-۴)، ضرب شکل تیر مستطیلی بعدست می‌آید:

$$k = \frac{Z}{S} = \frac{\frac{1}{3} bh^3}{\frac{1}{2} bh^3} = \frac{2}{3}$$

در مسئله نمونه ۴-۶، لنگر پلاستیک عضوی که فقط یک صفحه تقارن دارد محاسبه شده است.



(الف)



شکل ۴۳-۴

(ب) شعاع انحنای گزینش تسلیم چنین است:

$$\rho_Y = \frac{\sigma_Y}{E} = \frac{240 \times 10^9 \text{ Pa}}{200 \times 10^9 \text{ Pa}} = 1.2 \times 10^{-2}$$

با حل ρ از معادله (۴۰-۴) و با جایگذاری مقادیر σ_Y و E

$$\rho = \frac{\gamma_Y}{\epsilon_Y} = \frac{40 \times 10^{-7} \text{ m}}{1.2 \times 10^{-2}} = 33.3 \text{ m}$$

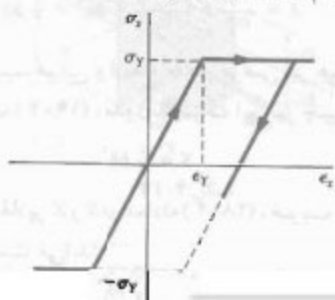
۱۰-۴ تغییرشکل پلاستیک عضوهایی که فقط یک صفحه تقارن دارند

هنگام بحث درباره تغییرشکل‌های پلاستیک، فرض می‌شد عضو تحت خم شدن دارای دو صفحه تقارن است، یکی صفحه شامل کوبیل‌های M و M' ، و دیگری عمود بر آن صفحه، اکتون، حالتی را در نظر می‌گیریم که عضو فقط دارای یک صفحه تقارن، شامل کوبیل‌های M و M' است. البته، فقط حالتی را تحلیل می‌کنیم که تغییرشکل کاملاً پلاستیک است و در آن تنش قائم یکنواخت در بالای سطح خشی دارای مقدار σ_{γ} و در پایین آن سطح دارای مقدار σ_Y است (شکل ۴۳-۴ الف).

همانطور که در قسمت ۴-۸ گفته شد، وقتی مقطع عرضی نسبت به محور گذرا از مرکز سطح متقارن نباشد، می‌توان فرض کرد محور خشی بر محور گذرا از مرکز سطح منطبق است. برای تعیین مکان محور خشی، نیروی برایند فشاری R_1 و نیروی برایند کشی R_2 را در شکل ۴۳-۴ ب که، به ترتیب، بر قسمت‌های A_1 و A_2 از مقطع عرضی وارد می‌شوند. درنظر می‌گیریم A_1 و A_2 ، به ترتیب، بالای محور خشی و پایین آن قرار دارند. چون نیروهای R_1 و R_2 یک کوبیل معادل با کوبیل وارد بر عضو را تشکیل می‌دهند، دارای مقدار یکسان هستند. بنابراین، $A_1 \sigma_Y = A_2 \sigma_Y$ یا $R_1 = R_2$. درنتیجه، $A_1 = A_2$. به عبارت دیگر، محور خشی مقطع عرضی را به دو قسمت با مساحت‌های مساوی تقسیم می‌کند. گفتنی است که محوری که به این طریق بدست می‌آید، به طور کلی، محور گذرا از مرکز سطح مقطع نیست.

همچنین، مشاهده می‌شود که خطوط اثر برایندهای R_1 و R_2 از مرکز سطح C_1 و C_2 دو قسمتی که در بالا تعریف شدند می‌گذرنند. اگر فاصله بین C_1 و C_2 را با d و مساحت کل مقطع عرضی را با A نشان دهیم، لنگر پلاستیک عضو را به صورت زیر می‌توان بیان کرد:

$$M_p = \left(\frac{1}{7} A \sigma_Y \right) d$$



شکل ۴۴-۴

توزيع نتش معکوس ناشی از لنگر خمشی 36.8 kN.m در فاز بار برداری به صورت خطی است و در شکل ۴۵-۴ ب نشان داده شده است. ماکریم تنش σ'_m از معادله (۱۵-۴) بدست می‌آید. از مثال ۴-۵-۱ و $I/c = 120 \times 10^{-5} \text{ m}^3$ و می‌توانیم

$$\sigma'_m = \frac{Mc}{I} = \frac{36.8 \text{ kN.m}}{120 \times 10^{-5} \text{ m}^3} = 306.7 \text{ MPa}$$

با ترکیب این دو توزیع نتش، نتش‌های باقیمانده به دست می‌آید (شکل ۴۵-۴ج). دیده می‌شود، با وجود اینکه نتش‌های معکوس از استقامت تسلیم σ_y بیشتر می‌شوند، فرض توزیع خطی نتش‌های معکوس هنوز صحت دارد، زیرا این نتش‌ها از $2\sigma_y$ بیشتر نشده‌اند.

(ب) شعاع انحنا پس از باربرداری، قانون هوک را در هر نقطه از هسته 40 mm از می‌توان به کار برد، زیرا هیچ تغییر شکل پلاستیکی در آن قسمت عضو به وجود نمی‌آید. لذا، کرنش باقیمانده در فاصله 40 mm $y = 40$ چنین است:

$$\epsilon_x = \frac{\sigma_x - 305.5 \times 10^6 \text{ Pa}}{E} = \frac{-305.5 \times 10^6 \text{ Pa}}{200 \times 10^9 \text{ Pa}} = -177.5 \times 10^{-3}$$

با حل ماز معادله (۸-۴) و با جایگذاری مقادیر σ و ϵ_x ،

$$\rho = -\frac{y}{\epsilon_x} = \frac{40 \times 10^{-3} \text{ m}}{177.5 \times 10^{-3}} = 225 \text{ m}$$

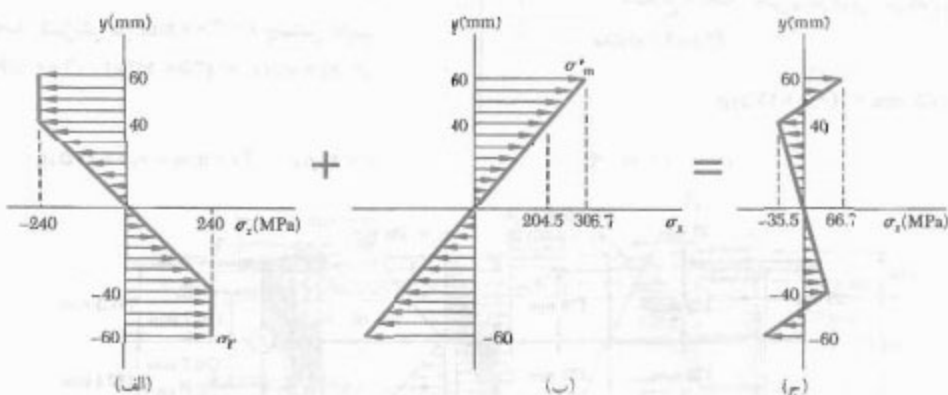
مقادیر حاصل برای ρ ، پس از حذف بار، تغییر شکل دائمی عضو را نشان می‌دهد.

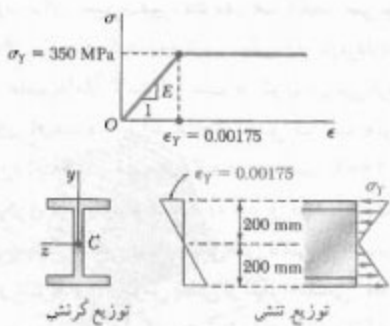
چون در فاز باربرداری در تمام نقاط رابطه خطی بین σ_x و ϵ_x به کار می‌رود، برای تعیین تغییر نتش در هر نقطه می‌توان از معادله (۱۶-۴) استفاده کرد. به عبارت دیگر، فاز باربرداری را با فرض اینکه عضو کاملاً الاستیک است می‌توان بررسی کرد. نتش‌های باقیمانده را با استفاده از اصل ترکیب می‌توان بدست آورد (به همان صورتی که در قسمت ۲۰-۲ برای بارگذاری مرکزی محوری توضیح داده شد و مجدداً در قسمت ۱۱-۳ برای پیشنهاد کار رفت). نتش‌های ناشی از اعمال لنگر خمشی M و نتش‌های معکوس ناشی از لنگر خمشی M را در فاز بار برداری در نظر می‌گیریم. نتش‌های گروه اول رفتار الاستیپلاستیکی عضو را در فاز بارگذاری، و نتش‌های گروه دوم رفتار خطی همان ماده را در فاز باربرداری نشان می‌دهند. با جمع کردن این دو گروه، توزیع نتش‌های باقیمانده در عضو به دست می‌آید.

مثال ۴-۶

برای عضو مثال ۴-۵، مطلوب است: (الف) توزیع نتش‌های باقیمانده، (ب) شعاع انحنا پس از اینکه لنگر خمشی از مقدار 36.8 kN.m به صفر کاهش می‌یابد.

(الف) توزیع نتش‌های باقیمانده از مثال ۴-۵ دیده می‌شود که استقامت تسلیم σ_y برابر با 240 MPa و ضخامت هسته الاستیک، 40 mm است. توزیع نتش در عضو بارگذاری شده در شکل ۴۵-۴ الف نشان داده شده است.





ب. بالهای کاملاً پلاستیک. وقتی بالها کاملاً پلاستیک شده‌اند، گردنش و قوش در مقطع مانند شکل زیر هستند.
نیروهای برایند فشاری R_s و R_t را که بر بال و نیمه جان بالایی وارد می‌شوند، و نیروهای برایند کششی R_r و R_b را درنظر می‌گیریم. می‌نویسیم:

$$R_s = R_t = (350 \text{ MPa})(\circ, 3 \text{ m})(\circ, 2 \text{ m}) = 2,63 \times 10^7 \text{ kN}$$

$$R_r = R_b = \frac{1}{2}(350 \text{ MPa})(\circ, 175 \text{ m})(\circ, 2 \text{ m}) = 613 \text{ kN}$$

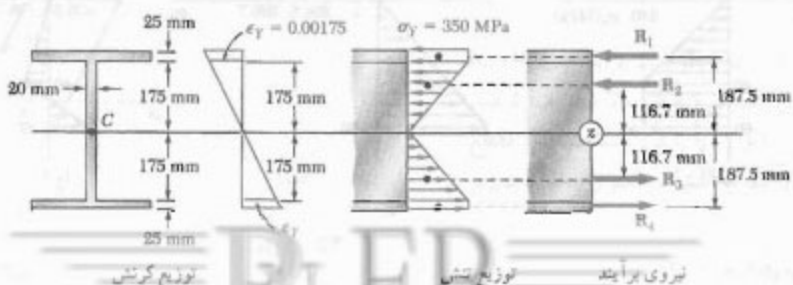
لگر خمی. لگر R_s ، R_t ، R_r و R_b را نسبت به محور z محاسبه و آنها را باهم جمع می‌کنیم:

$$\begin{aligned} M &= 2[R_s(\circ, 1875 \text{ m}) + R_t(\circ, 1167 \text{ m})] \\ &= 2[(2,63 \times 10^7)(\circ, 1875) + (613)(\circ, 1167)] \\ M &= 1,13 \times 10^7 \text{ kN.m} \end{aligned}$$

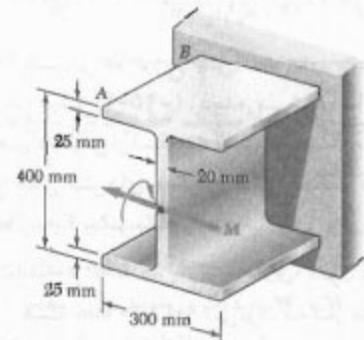
شعاع انتخاب. چون در این بارگذاری $y_y = 175 \text{ mm}$ است
معادله (۴۰-۴)،

$$y_Y = \epsilon_Y \rho \quad \circ, 175 \text{ mm} = (\circ, 0, 175) \rho$$

$$\rho = 100 \text{ m}$$



مسئله نمونه ۵-۴
تسریع AB از غول‌اد کم الیاز پر استقامت الاستوپلاستیک ساخته شده است. با صرفنظر از تأثیر گردها، مطابقیت لگر خمی M و شعاع ابتدا متناظر: (الف) وقتی تسليم برای اوین بار نزدیک می‌دهد، (ب) وقتی بالها کاملاً پلاستیک شده‌اند.



حل

الف. شروع تسليم. ممان اینرسی مقطع نسبت به محور گذرا از مرکز سطح چنین است:

$$\begin{aligned} I &= \frac{1}{12} (300 \text{ mm})(400 \text{ mm})^3 \\ &\quad - \frac{1}{12} (300 \text{ mm} - 20 \text{ mm})(380 \text{ mm})^3 \\ &= 600 \times 10^6 \text{ mm}^4 \end{aligned}$$

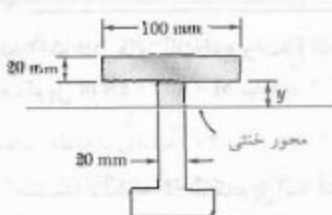
لگر خمی. برای $\sigma_{max} = \sigma_y = 350 \text{ MPa}$

$$M_Y = \frac{\sigma_y I}{c} = \frac{(350 \text{ MPa})(600 \times 10^6 \text{ mm}^4)}{\circ, 7 \text{ m}}$$

$$M_Y = 1,05 \times 10^7 \text{ kN.m}$$

شعاع انتخاب. گردنش در $c = 200 \text{ mm}$ است
 $\epsilon_Y = \sigma_y/E = (350 \text{ MPa}) / (200 \text{ GPa}) = 0,00175$
معادله (۴۱-۴)،

$$c = \epsilon_Y \rho_Y \quad 200 \text{ mm} = 0,00175 \rho_Y \quad \rho_Y = 114 \text{ m}$$



این نیرو از مرکز سطح A_1 می‌گذرد. من نویسیم:

$$R_s = A_s \sigma_y = [(0.1 \times 0.2) m] (0.02 m) 240 \text{ MPa} = 48 \text{ kN}$$

$$R_e = A_e \sigma_y = [(0.2 \times 2) m] (0.02 m) 240 \text{ MPa} = 96 \text{ kN}$$

$$R_r = A_r \sigma_y = [(0.02 \times 2) m] (0.02 m) 240 \text{ MPa} = 288 \text{ kN}$$

$$R_t = A_t \sigma_y = [(0.02 \times 2) m] (0.02 m) 240 \text{ MPa} = 288 \text{ kN}$$

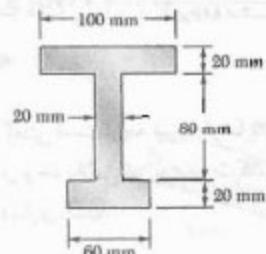
لنگر پلاستیک M_p از مجموع لنگر نیروها نسبت به محور z به دست می‌آید:

$$\begin{aligned} M_p &= (0.02 \times 2) m R_s + (0.01 \times 2) m R_e + (0.02 \times 2) m R_r \\ &\quad + (0.02 \times 2) m R_t \\ &= (0.02 \times 2) m (48 \text{ kN}) + (0.01 \times 2) m (96 \text{ kN}) \\ &\quad + (0.02 \times 2) m (288 \text{ kN}) + (0.02 \times 2) m (288 \text{ kN}) \\ &= 44.16 \text{ kN.m} \qquad M_p = 44.16 \text{ kN.m} \end{aligned}$$

توجه: چون مقطع عرضی نسبت به محور z تقارن شدار، مجموع لنگرهای R_s و R_t با مجموع لنگرهای R_e و R_r برابر نیست.

مسئله نمونه ۶-۴

لنگر پلاستیک M_p یک تیر با مقطع عرضی نشان داده شده را وقتي تیر حول یک محور افقی خم می‌شود بباید. فرض کنید 240 MPa است مقاومت تسلیم است



حل

محور خشن. وقتی تغییر شکل کاملاً پلاستیک است، محور خشن مقطع عرضی را به دو قسمت با مساحت های مساوی تقسیم می‌کند، چون مساحت کل عبارت است از:

$$A = (100)(20) + (80)(20) + (20)(20) = 4800 \text{ mm}^2$$

مساحتی که بالای محور خشن قرار دارد 2400 mm^2 است.

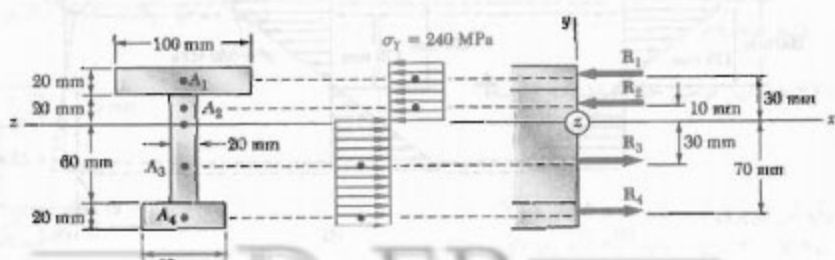
من نویسیم:

$$(20)(100) + 20y = 2400 \Rightarrow y = 20 \text{ mm}$$

توجه کنید که محور خشن از مرکز سطح مقطع عرضی نمی‌گذرد.

لنگر پلاستیک، برایند R_i نیروهای جزئی وارد بر مساحت A_i چنین است:

$$R_i = A_i \sigma_y$$

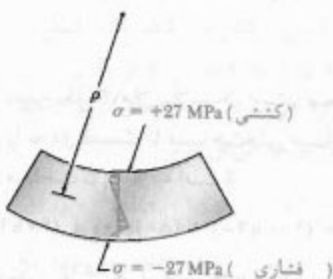


شعاع انحنای دائی در $y = 175 \text{ mm}$, تنش باقیمانده برابر است با $\sigma = -20 \text{ MPa}$. چون هیچ تغییر شکل پلاستیک در این نقطه روی نداده است، قانون هوک را می‌توان به کار برد و داریم $\epsilon_y = \sigma/E$.

$$\rho = -\frac{y}{\epsilon_y} = -\frac{yE}{\sigma} = -\frac{(0.175 \text{ m})(200 \text{ GPa})}{-20 \text{ MPa}} = +1750 \text{ m}$$

$$\rho = 1750 \text{ m} \quad \blacktriangleleft$$

کفتنی است گرچه تیر به طرف بالا نتعز دارد، ولی تنش باقیمانده در وجه بلایی تیر به صورت کشی و در وجه پایین به صورت فشاری است.



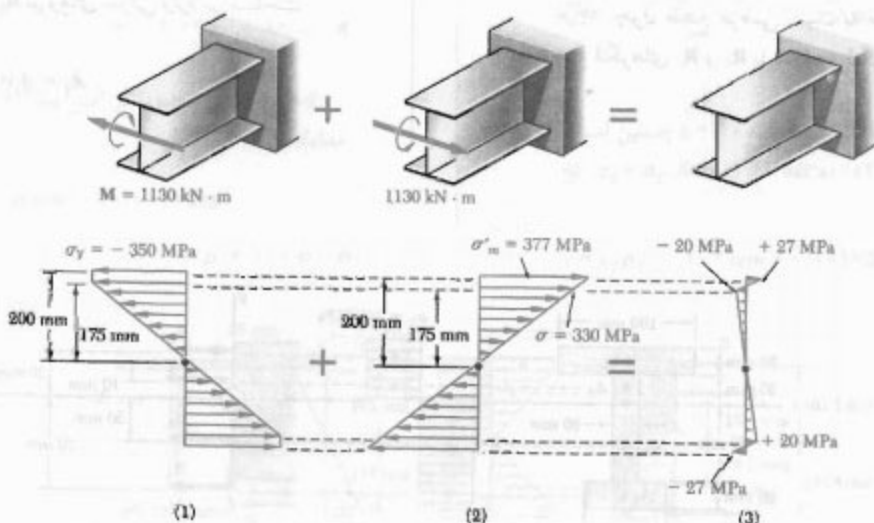
مسئله نمونه ۴-۵ برای تیر مسئله نمونه ۴-۴، تنش‌های باقیمانده و شعاع انحنای دائی را پس از حذف کوپل $M = 1130 \text{ kN.m}$ باید.

حل
بارگذاری در مسئله نمونه ۴-۴، کوپل با لگر $M = 1130 \text{ kN.m}$ وارد شد و تنش‌های نشان داده شده در شکل ۱ به دست آمد.

باربرداری الائیک. با اعمال لگر مخالف $M = -1130 \text{ kN.m}$ (که مساوی و متضاد با لگر کوپل از لب است)، تیر باربرداری می‌شود. در فاز باربرداری، رفتار تیر کاملاً الائیک است. از مسئله نمونه ۴-۵، $\rho = 600 \times 10^{-3} \text{ m}^2$ درنتیجه، تنش ماکریسم چنین است:

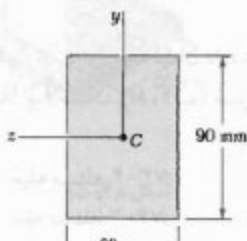
$$\sigma_m = \frac{Mc}{I} = \frac{(1130 \text{ kN.m})(0.2 \text{ m})}{600 \times 10^{-3} \text{ m}^4} = 1777 \text{ MPa}$$

تشهای ناشی از باربرداری در شکل ۲ نشان داده شده‌اند. تنش‌های ناشی باقیمانده، با ترکیب تنش‌های ناشی از بارگذاری (شکل ۱) و باربرداری (شکل ۲)، تنش‌های باقیمانده در تیر بدست می‌آید (شکل ۳).

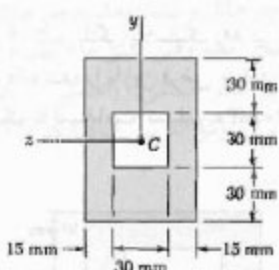


۷۲-۴ در مسئله ۷۱-۴، مقدار M را برای شعاع زیراسیون $0,9\text{ m}$ بایابید.

۷۳-۴ و ۷۴-۴ میله‌ای با مقطع عرضی نشان داده شده از فولاد الاستوپلاستیک ($\sigma_y = 240\text{ MPa}$ و $E = 200\text{ GPa}$) ساخته شده است. برای خمن حول محور z ، مطلوب است لنگر خمنی که به ازای آن: (الف) تسلیم برای اولین بار روی می‌دهد، (ب) مناطق پلاستیک در بالا و پایین میله به ضخامت 20 mm هستند.

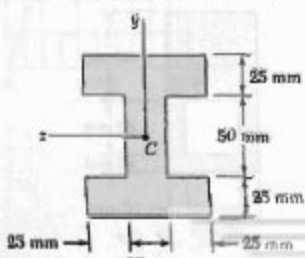


شکل ۷۳-۴



شکل ۷۴-۴

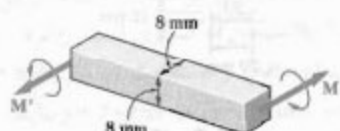
۷۵-۴ و ۷۶-۴ میله‌ای با مقطع عرضی نشان داده شده از فولاد الاستوپلاستیک ($\sigma_y = 300\text{ MPa}$ و $E = 200\text{ GPa}$) ساخته شده است. برای خمن حول محور z ، مطلوب است لنگر خمنی که به ازای آن: (الف) تسلیم برای اولین بار روی می‌دهد، (ب) مناطق پلاستیک در بالا و پایین میله به ضخامت 25 mm هستند.



شکل ۷۵-۴

مسائل

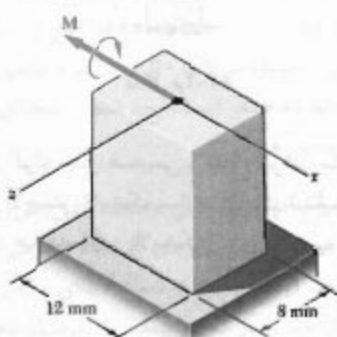
۶۷-۴ میله فولادی با مقطع عرضی نشان داده شده از نوع الاستوپلاستیک است. $E = 200\text{ GPa}$ و $\sigma_y = 230\text{ MPa}$. مطلوب است لنگر خمنی M که به ازای آن: (الف) ابتدا تسلیم روی می‌دهد، (ب) مناطق پلاستیک در بالا و پایین میله به ضخامت 2 mm باشد.



شکل ۶۷-۴

۶۸-۴ در مسئله ۶۷-۴، ضخامت مناطق پلاستیک را در بالا و پایین میله در شرایط زیر بایابید: (الف) $M = 20\text{ N.m}$ ، (ب) $M = 25\text{ N.m}$.

۶۹-۴ میله منثوری نشان داده شده با $\sigma_y = 300\text{ MPa}$ تحت کوبیل M که به موازات محور x است قرار دارد. مطلوب است کوبیل M که به ازای آن: (الف) تسلیم برای اولین بار روی می‌دهد، (ب) هسته الاستیک میله به ضخامت 4 mm است.

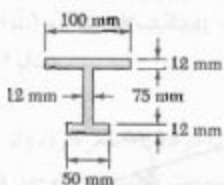


شکل ۶۹-۴

۷۰-۴ مسئله ۶۹-۴ را با این فرض حل کنید که M به موازات محور z باشد.

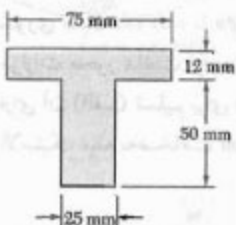
۷۱-۴ میله چهارگوش توپری به ضلع 15 mm از فولاد الاستوپلاستیک است. $E = 200\text{ GPa}$ و $\sigma_y = 230\text{ MPa}$. اگر کوبیل M به موازات یک ضلع مقطع عرضی بر میله وارد شود، مقدار M را برای شعاع زیراسیون $1,8\text{ m}$ بایابید.

۸۳-۴ لنگر پلاستیک M_p را برای مقطع عرضی نشان داده شده بیایید. تیر از جنس فولاد الاستوپلاستیک با استقامت تسلیم 25° MPa است.



شکل ۸۳-۴

۸۴-۴ لنگر پلاستیک M_p را برای مقطع عرضی نشان داده شده بیایید. تیر از جنس فولاد الاستوپلاستیک با استقامت تسلیم 23° MPa است.



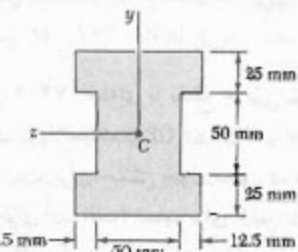
شکل ۸۴-۴

۸۵-۴ لوله جدار ضخیمی با مقطع عرضی نشان داده شده از فولاد الاستوپلاستیک با استقامت تسلیم σ_y ساخته شده است. عبارت لنگر پلاستیک M_p را بر حسب c_1 و c_2 بیایید.



شکل ۸۵-۴ و ۸۶-۴

۸۶-۴ لنگر پلاستیک M_p لوله جدار ضخیمی با مقطع عرضی نشان داده شده را بیایید در صورتی که بدینجا $\sigma_y = 240$ MPa و $c_1 = 30$ mm و $c_2 = 60$ mm



شکل ۸۶-۴

۷۷-۴ ۸۰-۴ برای میله نشان داده شده، مطلوب است:
(الف) لنگر کاملاً پلاستیک M_p ، (ب) خسیر شکل مقطع عرضی.

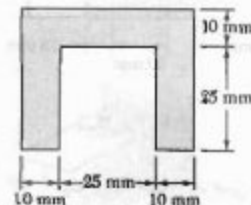
۷۷-۴ میله مستله ۴

۷۸-۴ میله مستله ۴

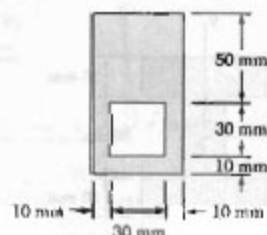
۷۹-۴ میله مستله ۴

۸۰-۴ میله مستله ۴

۸۱-۴ و ۸۲-۴ لنگر پلاستیک M_p تیر فولادی با مقطع عرضی نشان داده شده را با این فرض بیایید که تیر از فولاد الاستوپلاستیک با استقامت تسلیم 240 MPa ساخته شده است.

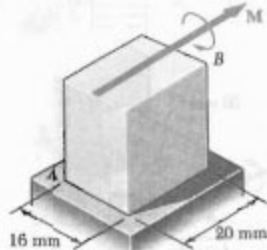


شکل ۸۱-۴



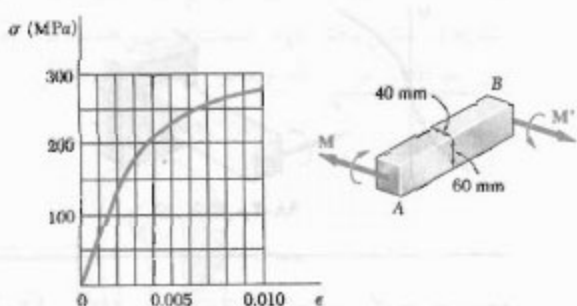
شکل ۸۲-۴

۹۵-۴ میله منشوری AB از فولاد الاستوپلاستیک ۹۵-۴ (۹۵-۴) ساخته شده است. اگر با اعمال لنگر کوپل $M = ۳۵^{\circ}$ N.m مطلوبست: (الف) استقامت تسلیم σ فولاد، (ب) ضخامت هسته الاستیک میله.



شکل م ۹۵-۴

۹۶-۴ میله منشوری AB از آلباز آلومینیوم، با نمودار تنش-کرنش نشان داده شده، ساخته شده است. به قرض اینکه نمودارهای ۹۵-۴ در فشار و کشش مشابه هم هستند، مطلوبست: (الف) شعاع انحنای میله وقتی تنش ماقریم 250 MPa است، (ب) مقدار متضاظر لنگر خمشی. (راهنمایی: در قسمت ب، را بر حسب لارسون و از روش تقریبی انتگرال گیری استفاده کنید).



شکل م ۹۶-۴

۹۷-۴ و ۹۸-۴ برای تیر نشان داده شده، کوپلی که لنگر آن با لنگر کاملاً پلاستیک M_p مساوی است وارد و سپس حذف می‌شود. با استفاده از استقامت تسلیم 240 MPa ، تنش باقیمانده را در $y = 45 \text{ mm}$ = y باید.

۹۷-۴ تیر مسئله ۷۳-۴

۹۸-۴ تیر مسئله ۷۴-۴

۹۹-۴ و ۱۰-۴ برای تیر نشان داده شده، کوپلی که لنگر آن با لنگر کاملاً پلاستیک M_p مساوی است وارد و سپس حذف می‌شود. با استفاده از استقامت تسلیم 290 MPa ، تنش باقیمانده را در $y = 25 \text{ mm}$ = y و در $y = 50 \text{ mm}$ = y باید.

۱۰-۴ تیر مسئله ۷۵-۴

۹۹-۴ تیر مسئله ۷۶-۴

۱۱-۴ کوپل خمی بر میله مسئله ۷۳-۴ وارد شده است، و مناطق پلاستیک به ضخامت 30 mm را در بالا و پایین میله به وجود آورده است. پس از حذف کوپل، مطلوبست: (الف) تنش باقیمانده در $y = 45 \text{ mm}$ = y ، (ب) نقاطی که در آنها تنش باقیمانده صفر است، (ج) شعاع انحنای متضاظر با تغییر شکل دائمی میله.

۱۲-۴ کوپل خمی بر میله مسئله ۷۵-۴ وارد شده است، و مناطق پلاستیک به ضخامت 5 mm را در بالا و پایین میله به وجود آورده است. پس از حذف کوپل، مطلوبست: (الف) تنش باقیمانده در $y = 50 \text{ mm}$ = y ، (ب) نقاطی که در آنها تنش باقیمانده صفر است، (ج) شعاع انحنای متضاظر با تغییر شکل دائمی میله.

۱۳-۴ یک میله مستطیلی مستقیم و بی تنش، با اعمال دو کوپل M به صورت قوس دایره‌ای با شعاع r در می‌آید. پس از حذف کوپل‌ها، دیده می‌شود که شعاع انحنای میله R_y است. اگر شعاع انحنای میله را در شروع تسلیم با y_m نشان دهیم، تنش دهید که شعاع‌های انحنای را بخطه زیر صدق می‌کنند:

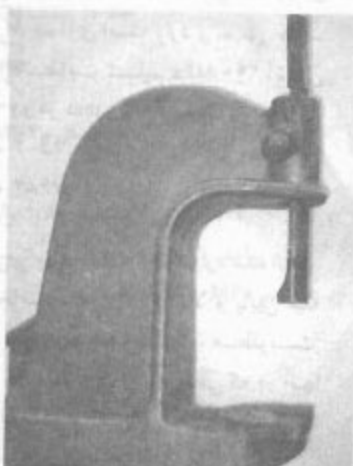
$$\frac{1}{\rho_R} = \frac{1}{\rho} \left\{ 1 - \frac{3}{2} \frac{\rho}{\rho_y} \left[1 - \frac{1}{2} \left(\frac{\rho}{\rho_y} \right)^2 \right] \right\}$$

۱۴-۴ میله توپری با مقاطع عرضی مستطیلی از یک ماده الاستوپلاستیک ساخته شده است. اگر لنگر خمشی و شعاع انحنای را در شروع تسلیم، به ترتیب، با M و y_m نشان دهیم، مطلوبست: (الف) شعاع انحنای وقتی لنگر کوپل $M = 1,25 M_p$ بر میله وارد می‌شود، (ب) شعاع انحنای پس از حذف کوپل، تباخ را با استفاده از رابطه بعدست آمده در مسئله ۹۳-۴ وارسی کنید.

حالی بررسی می‌کنیم که خط اثر بار از مرکز سطح مقطع عرضی نگذرد. این حالت را بارگذاری خارج از مرکز می‌گویند. در شکل‌های ۴۶-۴ و ۴۷-۴، دو نمونه از بارگذاری خارج از مرکز نشان داده شده است. در تیرهای برق اتوبان‌ها، وزن لامپ موجب بارگذاری خارج از مرکز در تیر برق می‌شود. به طور مشابه، نیروهای عمودی وارد بر یک پرس باعث بارگذاری خارج از مرکز برای ستون تگهدارنده پرس می‌شوند.



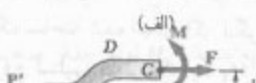
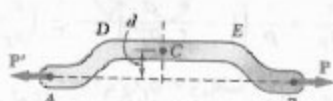
شکل ۴۶-۴



شکل ۴۷-۴

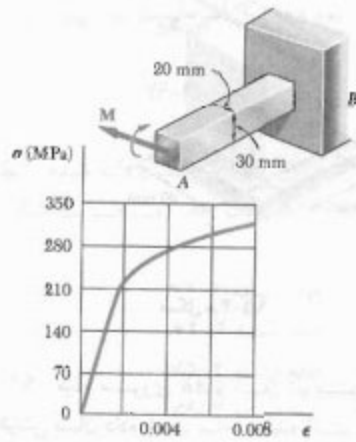
در این قسمت، فقط عضوهایی را تحلیل می‌کنیم که دارای صفحه تقاضن هستند، و فرض می‌کنیم که بار در صفحه تقاضن عضو وارد می‌شود (شکل ۴۸-۴ (الف)). لذا، نیروهای داخلی مؤثر بر یک مقطع عرضی داده شده را می‌توان با نیروی F وارد بر مرکز سطح مقطع عرضی و کوپل M که در صفحه عضو اثر می‌کند نشان داد (شکل ۴۸-۴ (ب)). از تعادل نمودار آزاد AC نتیجه می‌شود که نیروی F با P' مساوی و در جهت مخالف آن است و لنگر کوپل M با لنگر P' نسبت به C مساوی و در جهت مخالف آن است. اگر فاصله مرکز سطح C را از خط اثر نیروهای P و P' (خط AB) با d نشان دهیم، داریم

$$F = P \quad \text{و} \quad M = Pd \quad (49-4)$$



شکل ۴۸-۴

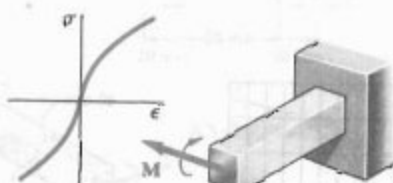
۹۷-۴ میله منشوری AB از آلیاز برترن، با نمودار تنش-کرنش داده شده، ساخته شده است. به فرض اینکه نمودارهای $\sigma - \epsilon$ در فشار و کشش مشابه هم هستند، مطلوبست: (الف) تنش ماکزیمم در میله و قیمت شعاع انحنای 2.5 mm است. (ب) مقادیر متناظر لنگر خمین. (به واهنماهی مسئله ۹۶-۴ نگاه کنید).



شکل ۹۷-۴

۹۸-۴ میله منشوری با مقطع عرضی مستطیلی از آلیازی با نمودار تنش-کرنش نشان داده شده ساخته شده است. این نمودار را می‌توان با رابطه $\epsilon = k\sigma^n$ برای $\sigma > 0$ و $\epsilon = -k\sigma^n$ برای $\sigma < 0$ نشان داد. اگر کوپل M بر میله وارد شود، نشان دهد که تنش ماکزیمم عبارت است از

$$\sigma_m = \frac{1 + 2n}{3n} \frac{Mc}{l}$$

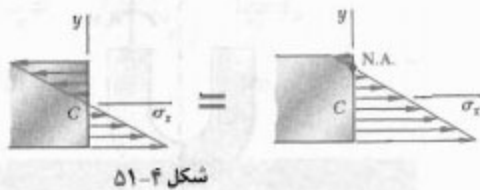
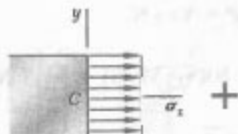


شکل ۹۸-۴

۱۲-۴ بارگذاری محوری خارج از مرکز در صفحه تقاضن

در قسمت ۵.۱ دیدیم که توزیع تنش را در مقطع عرضی عضوی که تحت بارگذاری محوری است می‌توان یکنواخت فرض کرد به شرطی که خط اثر بارهای P و P' از مرکز سطح مقطع عرضی بگذرد. این را بارگذاری مرکزی می‌گویند. حال، توزیع تنش را در

است که محور خشی بر محور گذرا از مرکز سطح مقطع منطبق نیست، زیرا برای $\sigma_x = 0$ ، $y \neq 0$.

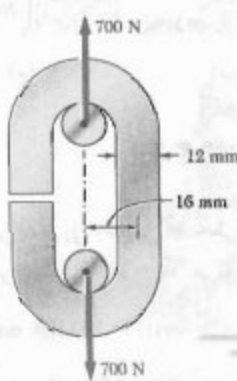


شکل ۴-۴

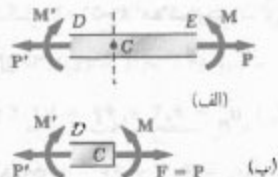
نتایج بالا فقط ساخت صحت دارند که اصل ترکیب (قسمت ۱۲-۲) و اصل سنت-ونات (قسمت ۱۷-۲) به کار روند. یعنی، تنش های موجود از حد تاناسب ماده فراتر نیروند، تغییر شکل ناشی از خمیش بر فاصله d در شکل ۴-۴الف خیلی تأثیر نگذارد، و مقطع عرضی که در آن تنش محاسبه می شود خیلی نزدیک به نقطه D یا E در شکل ۴-۴الف نباشد. این شرایط نشان می دهد که روش ترکیب را نمی توان برای تغییر شکل پلاستیک به کار برد.

مثال ۴-۷

با خم کردن میله های فولادی کم کربن به قطر ۱۲ mm، زنجیر حلقه باز نشان داده به دست آمده است (شکل ۵۲-۴). اگر بار ۷۰۰ N بر زنجیر وارد شود، مطلوب است: (الف) ماکزیمم تنش های کشی و فشاری در قسمت مستقیم حلقة، (ب) فاصله بین خط گذرا از مرکز سطح و محور خشی مقطع عرضی.



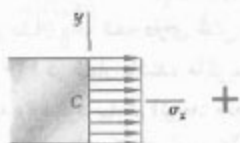
شکل ۴-۵



شکل ۴-۳

حال، قسمت مستقیم DE از عضو AB را جدا می کنیم و آن را تحت بارهای مرکزی P و P' و کوپلهای M و M' قرار می دهیم (شکل ۴-۴). نیروهای داخلی در مقطع عرضی داده شده را با نیروی F و کوپل M نشان می دهیم. از ترکیب توزیع تنش یکنواخت ناشی از بارهای مرکزی P و P' و توزیع خطی ناشی از کوپلهای خمیش M و M' ، توزیع تنش در برگذاری خارج از مرکز به دست می آید (شکل ۴-۵):

$$\text{عنصر } (\sigma_x) \text{ مرکزی } (\sigma_x) =$$



شکل ۴-۴

با توجه به معادله های (۰.۱) و (۱۶-۴)،

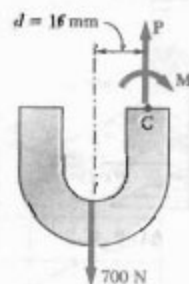
$$\sigma_x = \frac{P}{A} - \frac{My}{I} \quad (۵۰-۴)$$

که در آن A مساحت مقطع عرضی و I ممان اینترسی نسبت به محور گذرا از مرکز سطح است، و لازم محور مرکزی مقطع عرضی اندازه گیری می شود. رابطه بالا نشان می دهد که توزیع تنش در عرض مقطع خطی است نه یکنواخت. بر حسب شکل هندسی مقطع عرضی و خروج از مرکز بار، تنش های مرکب می توانند وارای علاوه یکسان باشند (شکل ۵۰-۴)، یا بعضی از آنها دارای علامت مثبت و بعضی دارای علامت منفی باشند (شکل ۴-۵). در حالت دوم، خطی در مقطع وجود دارد که در امتداد آن $\sigma_x = 0$. این خط را محدود خشی مقطع عرضی گویند. گفتن

(الف) ماکریسم تنش های کششی و فشاری نیروهای داخلی در مقطع عرضی معادل آنده با نیروی P و کوبیل خمی M (شکل ۵۳-۴) با مقادیر زیر:

$$P = V_o \circ N$$

$$M = Pd = (V_o \circ N)(0.5 \times 16 \text{ m}) = 11.2 \text{ N.m}$$

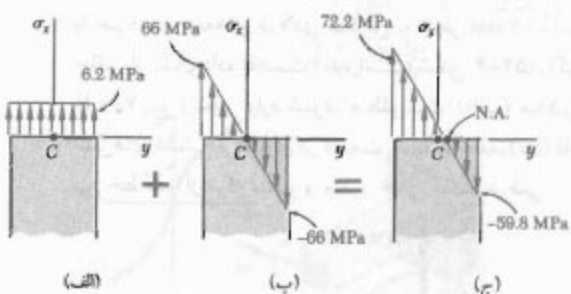


شکل ۵۳-۴

توزیع تنش در قسمت های الف و ب شکل ۵۳-۴ داده شده اند. توزیع ناشی از بار مرکزی P یکنواخت و مساوی با $\sigma_o = P/A$ است. می نویسیم:

$$A = \pi c^2 = \pi (5 \text{ mm})^2 = 113.1 \text{ mm}^2$$

$$\sigma_o = \frac{P}{A} = \frac{V_o \circ N}{113.1 \text{ mm}^2} = 9.2 \text{ MPa}$$



شکل ۵۴-۴

توزیع ناشی از کوبیل خمی M خطی است و تنش ماکریسم حاصل برابر است با $\sigma_m = Mc/I$. می نویسیم:

$$I = \frac{1}{4} \pi c^4 = \frac{1}{4} \pi (5 \text{ mm})^4 = 117.8 \text{ mm}^4$$

$$\sigma_m = \frac{Mc}{I} = \frac{(11.2 \times 10^3 \text{ N.mm})(5 \text{ mm})}{117.8 \text{ mm}^4} = 56 \text{ MPa}$$

با ترکیب این دو توزیع تنش در بارگذاری خارج از مرکز داده شده را می باییم (شکل ۵۴-۵). ماکریسم تنش های کششی و فشاری در مقطع، به ترتیب، عبارتند از:

$$\sigma_t = \sigma_o + \sigma_m = 9.2 + 56 = 75.2 \text{ MPa}$$

$$\sigma_c = \sigma_o - \sigma_m = 9.2 - 56 = -46.8 \text{ MPa}$$

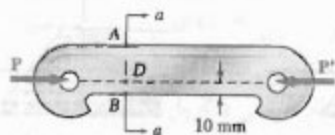
(ب) فاصله بین محور گلزار از مرکز سطح و محور خنثی، با قرار دادن $\sigma_x = 0$ در معادله (۵۰-۴) و با حل y_o ، فاصله مزبور به دست می آید:

$$0 = \frac{P}{A} - \frac{My_o}{I}$$

$$y_o = \left(\frac{P}{A} \right) \left(\frac{I}{M} \right) = (9.2 \text{ MPa}) \frac{117.8 \times 10^{-12} \text{ m}^4}{11.2 \text{ N.m}}$$

$$y_o = 0.56 \text{ mm}$$

مسئله نمونه ۵۴-۴
اگر حلقه چدنی نشان داده شده دارای تنش مجاز 20 MPa در کشش و 120 MPa در فشار باشد، ماکریسم نیروی P را که می توان بر حلقه وارد کرد باییم. (توجه: مقطع عرضی T شکل ۵۴-۴ در مسئله نمونه ۵۴-۳ بررسی کردیم).



حل

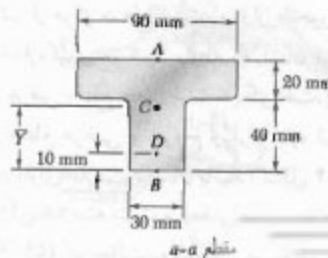
خواص مقطع عرضی از مسئله نمونه ۵۴-۳

$$A = 3000 \text{ mm}^2 = 3 \times 10^{-4} \text{ m}^2 \quad \bar{Y} = 38 \text{ mm} = 0.038 \text{ m}$$

$$I = 898 \times 10^{-8} \text{ m}^4$$

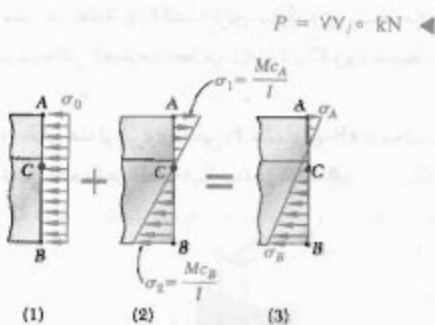
حال، می نویسیم:

$$d = (0.038 \text{ m}) - (0.015 \text{ m}) = 0.023 \text{ m}$$



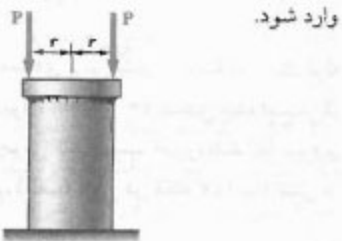
RUEB

با انتخاب مقدار کوچکتر، تنش‌های حاصل از تنش مجاز بیشتر نمی‌شوند. درنتیجه،



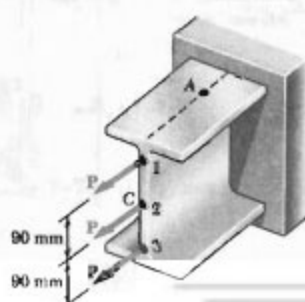
مسائل

۹۹-۴ دو نیروی P را به طور جداگانه یا همزمان می‌توان بر ورقی که به میله توپر استوانه‌ای به شعاع r جوش شده است وارد کرد. مطلوبست ماقریم تنش فشاری در میله استوانه‌ای: (الف) وقتی هر دو نیرو وارد شوند، (ب) وقتی یکی از نیروها وارد شود.



شکل م ۹۹-۴

۹۹-۵ سه بار محوری، هر یک با مقدار $P = 50 \text{ kN}$ ، را بر انتهای تیر فولادی نورد $W 200 \times 31/1$ می‌توان وارد کرد. مطلوبست تنش در نقطه A : (الف) برای بارگذاری نشان داده شده، (ب) برای وقتی که بارها فقط در نقاط ۱ و ۲ وارد شوند.



شکل م ۹۹-۵

نیرو و کوبیل در C . نیروی P را با سیستم نیرو-کوبیل معادل در مرکز سطح C جایگزین می‌کنیم

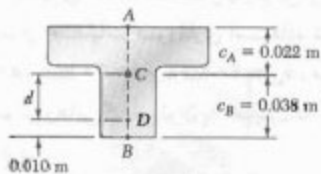
$$P = P \quad M = P(d) = P(0.7 \times 2\lambda \text{ m}) = +0.7 \times 2\lambda P$$

نیروی P وارد بر مرکز سطح باعث توزیع تنش یکنواخت می‌شود (شکل ۱) و کوبیل خمی M باعث توزیع تنش خطی می‌شود (شکل ۲).

$$\sigma_0 = \frac{P}{A} = \frac{P}{3 \times 10^{-4}} = 3333 P \quad (\text{فشاری})$$

$$\sigma_1 = \frac{Mc_A}{J} = \frac{(0.7 \times 2\lambda P)(0.7 \times 2\lambda)}{868 \times 10^{-6}} = 710 P \quad (\text{کشی})$$

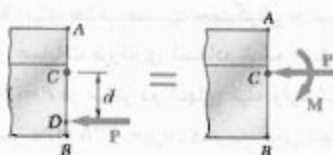
$$\sigma_2 = \frac{Mc_B}{J} = \frac{(0.7 \times 2\lambda P)(0.7 \times 2\lambda)}{868 \times 10^{-6}} = 1226 P \quad (\text{فشاری})$$



ترکیب. با ترکیب توزیع تنش‌های ناشی از بار مرکزی P و کوبیل خمی M ، توزیع تنش کل بدست می‌آید (شکل ۳) چون کشش مثبت است و فشار منفی است، می‌نویسیم:

$$\sigma_A = -\frac{P}{A} + \frac{Mc_A}{J} = -3333 P + 710 P = +3623 P \quad (\text{کشی})$$

$$\sigma_B = -\frac{P}{A} - \frac{Mc_B}{J} = -3333 P - 1226 P = -4559 P \quad (\text{فشاری})$$



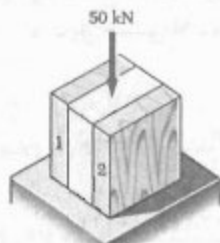
ماقزیم بار مجاز. برای تعیین مقدار P ، که بهازای آن تنش کششی در نقطه A مساوی 30 MPa است، می‌نویسیم:

$$\sigma_A = 3623 P = 30 \text{ MPa} \Rightarrow P = 8.3 \text{ kN} \quad \blacktriangleleft$$

برای تعیین مقدار P ، که بهازای آن تنش در B مساوی تنش مجاز فشاری 120 MPa است، می‌نویسیم:

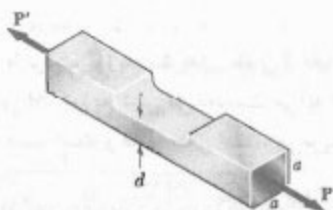
$$\sigma_B = -4559 P = -120 \text{ MPa} \Rightarrow P = 26.6 \text{ kN} \quad \blacktriangleleft$$

مطلوبیست ماکریم تنش فشاری در ستون پس از اعمال بار $P = 50 \text{ kN}$ در مرکز قسمت بالایی ستون در صورتی که: (الف) ستون به صورت گفت شده باشد، (ب) نفعه ۱ حذف شود، (ج) قطعات ۱ و ۲ حذف شوند.



شکل ۱۰۵-۴

۱۰۶-۴ برای حذف قسمت چهارگوش از میله تپیر نشان داده شده، از عملیات فرزکاری استفاده شده است. اگر $P = 20 \text{ kN}$ ، $a = 30 \text{ mm}$ و $d = 20 \text{ mm}$ ، $\sigma_{all} = 60 \text{ MPa}$ مطلوبیست مقدار P ماکریم نیروهایی که می‌توان با اطمینان در مراکز دو انتهای میله وارد کرد.



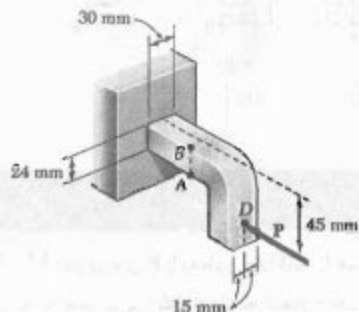
شکل ۱۰۶-۴ و ۱۰۷-۴

۱۰۷-۴ برای حذف قسمت چهارگوش از میله تپیر نشان داده شده، از عملیات فرزکاری استفاده شده است، نیروها مقدار $P = 18 \text{ kN}$ در مراکز دو انتهای میله وارد شده‌اند. اگر $\sigma_{all} = 135 \text{ MPa}$ و $a = 30 \text{ mm}$ ، کمترین عمق مجاز d قسمت فرز شده را بیابید.

۱۰۸-۴ چهار نیروی نشان داده شده بر صفحه صلبی که توسط تبر تپیر فولادی با شعاع a نگه داشته شده است وارد می‌شود، مطلوبیست تنش ماکریم در تبر وقتی: (الف) تمام چهار نیرو وارد شوند، (ب) نیرو در D حذف شود، (ج) نیروها در C و D حذف شوند.

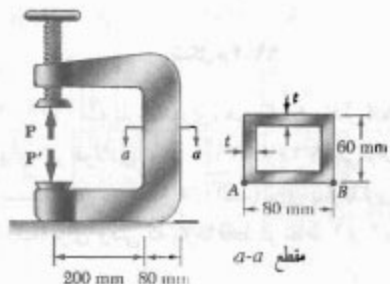
۱۰۹-۴ ۱ سه بار محوری، هر یک با مقدار $W = 200 \times 31/1$ می‌توان وارد کرد. مطلوبیست تنش در نقطه A : (الف) برای بارگذاری نشان داده شده، (ب) برای وقتی که بارها فقط در نقاط ۲ و ۳ وارد شوند.

۱۱۰-۴ اگر مقدار نیروی افقی P مساوی 8 kN باشد، مطلوبیست تنش: (الف) در نقطه A ، (ب) در نقطه B .



شکل ۱۱۰-۴

۱۱۱-۴ قسمت عمودی پرس نشان داده شده، از یک لوله مستطیلی با خصامت دیواره $t = 10 \text{ mm}$ تشکیل شده است. اگر پرس را روی قطعات چوبی که چسب خورده‌اند تا نیروی $P = 20 \text{ kN}$ سفت کنیم، (الف) تنش در نقطه A ، (ب) تنش در نقطه B را بیابید.



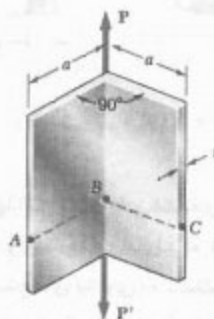
شکل ۱۱۱-۴

۱۱۲-۴ مسئله ۱۱۱-۴ را برای $t = 8 \text{ mm}$ حل کنید.

۱۱۳-۴ با مینیم کردن در نقطه چوبی $25 \times 100 \text{ mm}$ قطعه چوبی $50 \times 100 \text{ mm}$ ، ستون کوتاهی ساخته شده است.

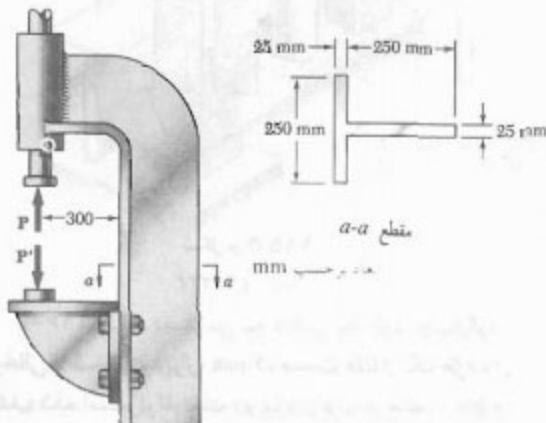
۱۱۱-۴ لوله فلزی با قطر خارجی 18 mm و ضخامت دیواره 2 mm باید دارای انحراف h باشد. اگر بدانیم که تنش ماکریم پس از ایجاد انحراف نباید از $\frac{1}{4}$ برابر تنش در لوله مستقیم بیشتر باشد، ماکریم انحراف مورد استفاده را بباید.

۱۱۲-۴ عضو نشان داده شده از خم کردن یک ورق نازک فولادی به وجود آمده است. اگر ضخامت t در مقایسه با طول a این عضو کوچک باشد، مطلوبست: (الف) تنش در A ، (ب) تنش در B ، (ج) تنش در C .

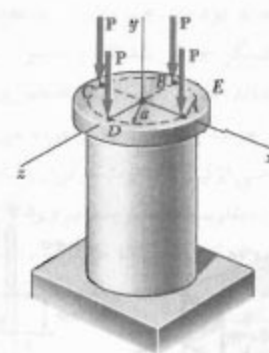


شکل ۱۱۲-۴

۱۱۳-۴ اگر تنش مجاز در مقطع $a-a$ از پرس هیدرولیکی نشان داده شده در کشش و فشار، به ترتیب، 40 MPa و 40 MPa باشد، ماکریم نیروی P را که می‌توان پرس وارد کرد بباید.

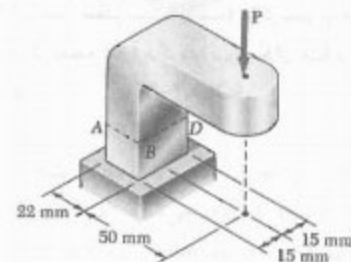


شکل ۱۱۳-۴



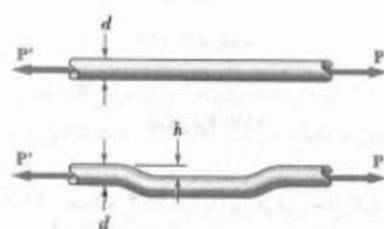
شکل ۱۱۴-۴

۱۱۴-۴ اگر تنش مجاز در مقطع $ABCD$ برابر با 70 MPa باشد، ماکریم نیروی P را که می‌توان بر برآکت نشان داده شده وارد کرد بباید.



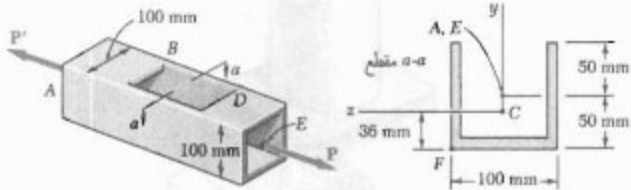
شکل ۱۱۴-۴

۱۱۵-۴ میله تویر دایره‌ای به قطر d باید دارای انحراف h باشد. اگر بدانیم که تنش ماکریم پس از ایجاد انحراف نباید از $\frac{1}{4}$ برابر تنش در میله مستقیم بیشتر باشد، ماکریم انحراف مورد استفاده را بباید.



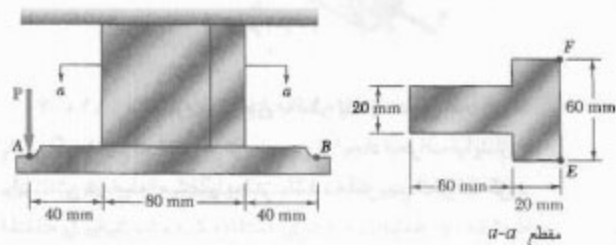
شکل ۱۱۵-۴ و ۱۱۶-۴

۱۱۴-۴ اگر گیره نشان داده شده روی قطعات چوبی چسب خورده تا نیروی $P = 400 \text{ N}$ سفت شود، در مقطع $a-a$ مطلوبست: (الف) تنش در نقطه A ، (ب) تنش در نقطه D ، (ج) مکان محور خشی.



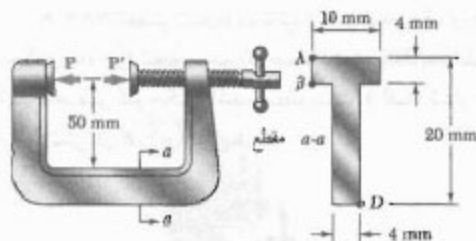
شکل ۱۱۶-۴

۱۱۷-۴ اگر تنش مجاز در مقطع $a-a$ آویز نشان داده شده باشد، مطلوبست: (الف) ماکریم نیروی عمودی P که می‌توان در نقطه A وارد کرد، (ب) مکان متناظر محور خشی مقطع $a-a$.



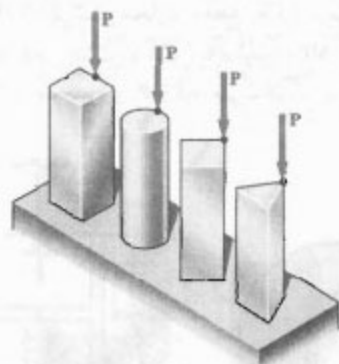
شکل ۱۱۷-۴

۱۱۸-۴ مسئله ۱۷-۴ را با این فرض حل کنید که نیروی عمودی P در نقطه B وارد شود.



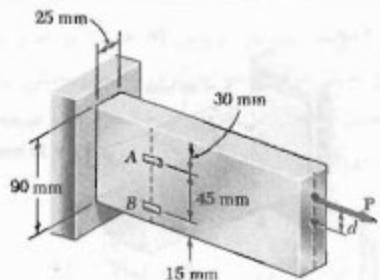
شکل ۱۱۴-۴

۱۱۵-۴ چهار بار نشان داده شده دارای مساحت مقطع عرضی یکسانند. برای پارگذاری های داده شده، نشان دهد که: (الف) ماکریم تنش های فشاری به نسبت $9:5:7:4$ هستند، (ب) ماکریم تنش های کشی به نسبت $3:5:3:2$ هستند. (راهنمایی: مقطع عرضی میله به صورت مثلث متساوی الاضلاع است).



شکل ۱۱۵-۴

۱۱۶-۴ برای دسترسی به داخل یک لوله چهارگوش توخالی با ضخامت دیواره 6 mm ، قسمت CD از یک طرف آن حذف شده است. لوله تحت دو نیروی برابر و متفاوت 60 kN قرار می‌گیرد. این نیروها در مراکز هندسی A و E دو انتهای لوله وارد می‌شوند. مطلوبست: (الف) تنش ماکریم در مقطع $a-a$ ، (ب) تنش در نقطه F . داده: مرکز سطح مقطع عرضی در نقطه C است و 10^4 mm^2 .



شکل ۴-۲۱

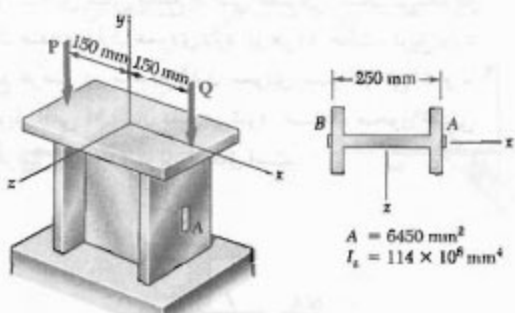
۱۲۱-۴ مستله ۱۲۱-۴ را با فرض زیر حل کنید:

$$\varepsilon_A = +900 \mu \quad \varepsilon_B = +420 \mu$$

۱۲۳-۴ طول کوتاهی از ستون فولادی تردید شده یک صفحه صلب رانگه می‌دارد. بارهای P و Q . مطابق شکل، بر این صفحه وارد شده‌اند. کرنش‌ها در دو نقطه A و B روی خطوط مرکزی وجود خارجی بالاها به صورت زیر هستند:

$$\varepsilon_A = -400 \times 10^{-7} \text{ mm/mm} \quad \varepsilon_B = -300 \times 10^{-7} \text{ mm/mm}$$

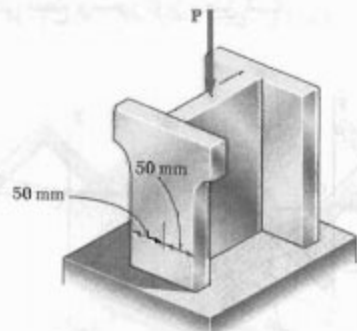
اگر $E = 29 \times 10^9 \text{ psi}$ ، مقدار هر بار را بباید.



شکل ۴-۲۳

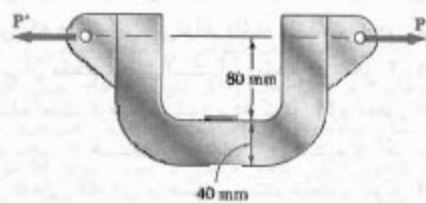
۱۲۴-۴ نیروی محوری، بخارج از مرکز P ، که در نقطه D وارد می‌شود، باید 25 mm زیر سطح بالایی میله فولادی نشان داده شده باشد. برای $P = 60 \text{ kN}$ ، مطلوبست: (الف) عمق d میله که بهزای آن تنش‌های کششی در نقطه A ماقزیم است، (ب) تنش متاظر در نقطه A .

۱۱۹-۴ سه صفحه فولادی، هر یک با مقطع عرضی $25 \times 125 \text{ mm}$ ، به یکدیگر جوش شده‌اند و ستون کوتاه به شکل II را تشکیل داده‌اند. میس، به دلایل معماري، نواری به عرض 25 mm از هر طرف یکی از بالها درآورده می‌شود. اگر بار نسبت به مقطع عرضی اولیه به صورت مرکزی بماند، و تنش مجاز 100 MPa باشد، مطلوبست ماقزیم نیروی P : (الف) که می‌توان بر ستون اولیه وارد کرد، (ب) که می‌توان بر ستون تغییر یافته وارد کرد.



شکل ۴-۱۹

۱۲۰-۴ برای تعیین مقدار P نیروهای نشان داده شده، از میله فولادی C شکل استفاده می‌شود. اگر مقطع عرضی میله به صورت چهارگوش به ضلع 40 mm ، و کرنش در لبه داخلی $E = 200 \text{ GPa}$ باشد، مقدار P را بباید. از $\mu = 45^\circ$ استفاده کنید.



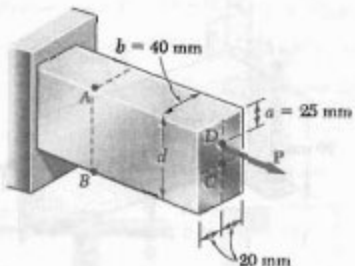
شکل ۴-۲۰

۱۲۱-۴ نیروی محوری خارج از مرکز P ، مطابق شکل، بر میله فولادی با مقطع عرضی $25 \text{ mm} \times 90 \text{ mm}$ وارد شده است. کرنش‌ها در A و B به صورت زیر هستند

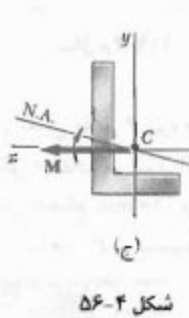
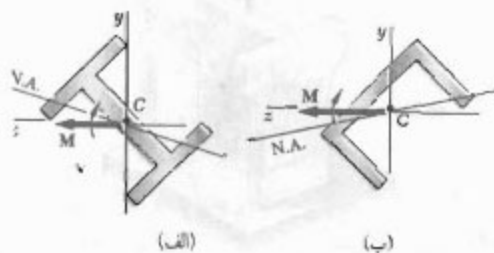
$$\varepsilon_A = +350 \mu \quad \varepsilon_B = -80 \mu$$

اگر $E = 200 \text{ GPa}$ ، مطلوبست: (الف) فاصله d ، (ب) مقدار P نیروی

اکنون، حالت‌هایی را در نظر می‌گیریم که در آن کوبیل‌های خمشی در صفحه تقارن عضو اثر نمی‌کنند، یا اینکه عضو صفحه تقارن ندارد. در این موارد، نمی‌توان فرض کرد که عضو در صفحه کوبیل‌ها خم می‌شود. این موضع در شکل ۵۶-۴ نشان داده شده است. در هر قسمت شکل، فرض شده است کوبیل وارد بر مقطع در یک صفحه عمودی اثر می‌کند و با بردار کوبیل افقی نشان داده شده است. البته، چون صفحه عمودی صفحه تقارن نیست، نمی‌توان گفت عضو در آن صفحه خم می‌شود، با محور خشی مقطع بر محور کوبیل منطبق است.



شکل ۵۶-۴



شکل ۵۶-۴

می‌خواهیم شرایطی را بیابیم که در آن محور خشی مقطع عرضی، که هر شکلی می‌تواند داشته باشد، بر محور کوبیل M مؤثر بر آن مقطع منطبق است. این مقطع در شکل ۵۷-۴ نشان داده شده است. فرض می‌شود بردار کوبیل M و محور خشی در امتداد محور z هستند. در قسمت ۲-۴ دیدیم که اگر نیروهای جزئی داخلی $\sigma_z dA$ را برحسب سیستم معادل کوبیل M بیان کنیم، خواهیم داشت:

$$\int \sigma_z dA = 0 \quad (1-4) \quad \text{در امتداد } x$$

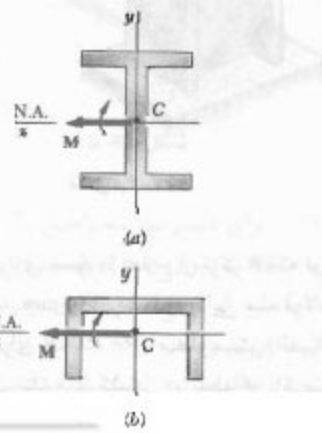
$$\int z \sigma_z dA = 0 \quad (2-4) \quad \text{لگر نسبت به محور } y$$

$$\int (-y) \sigma_z dA = M \quad (3-4) \quad \text{لگر نسبت به محور } z$$

قبل دیدیم که وقتی تنش‌ها کمتر از حد تنش بالند، طبق معادله (۱-۴) محور خشی یک محور گذرا از مرکز سطح است، و

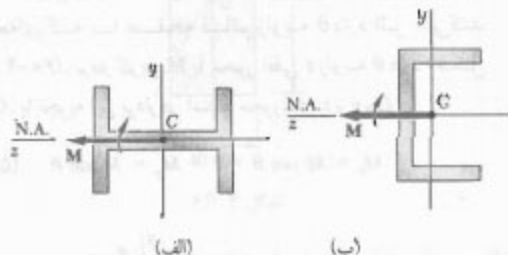
در مسئله ۱۲۴-۴، مطلوب است: (الف) عمق d میله که به ازای آن تنش فشاری در نقطه B ماکزیمم است، (ب) تنش متناظر در نقطه B .

۱۳-۴ خمش نامتقارن
تابه‌حال، فقط خمش خالص عضوهایی را بررسی کرده‌ایم که حداقل یک صفحه تقارن دارند و تحت کوبیل‌هایی که در آن صفحه اثر می‌کنند فرار می‌گیرند. در قسمت ۳-۴ دیدیم که این عضوهای نسبت به صفحه کوبیل‌ها نامتقارن می‌مانند و در آن صفحه خم می‌شوند. شکل ۵۸-۴ الف، مقطع عرضی عضوی را نشان می‌دهد که دو صفحه تقارن دارد، یکی عمودی و دیگری افقی، و قسمت (ب) این شکل مقطع عرضی عضوی را نشان می‌دهد که فقط یک صفحه تقارن عمودی دارد. در هر دو حالت، کوبیل وارد بر مقطع عرضی در صفحه تقارن عمودی عضو اثر می‌کند و با بردار کوبیل افقی M نشان داده می‌شود؛ ضمناً، محور خشی مقطع عرضی بر محور کوبیل منطبق است.



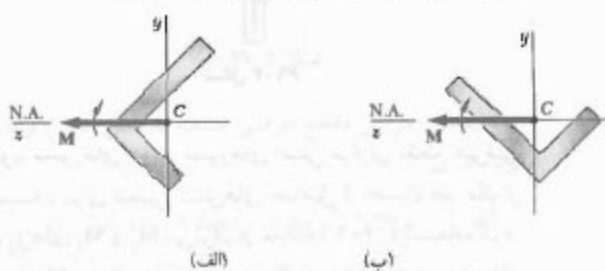
شکل ۵۸-۴

(شکل ۵۸-۴)، بردار کوپل M هنوز در امتداد یکی از محورهای اصلی مرکزی خواهد بود، و محور خشنی نیز بر محوطه کوپل منطبق است؛ ولی کوپل در حالت ب دو صفحه تقارن عضو اثر نمی کند.



شکل ۵۸-۴

از طرف دیگر، در شکل ۵۶-۴ هیچ یک از محورهای مختصات محور تقارن مقاطع نشان داده شده نیست و نیز محور اصلی نمی باشد. لذا، بردار کوپل M در امتداد محور اصلی مرکزی نیست و محور خشنی بر محور کوپل منطبق نیست. ولی، هر مقطعی دارای محورهای اصلی مرکزی است، حتی اگر نامتقارن باشد (شکل ۵۶-۴ج). و این محورها را با استفاده از دایره مور می توان یافت.^{**} اگر بردار کوپل M در امتداد یکی از محورهای اصلی مرکزی مقطع عرضی باشد، محور خشنی بر محور کوپل منطبق است (شکل ۵۹-۴) و از معادله هایی که در قسمت های ۳-۴ و ۴-۴ برای عضوهای متقاضی داده شدند برای تعیین تنش در این حالت نیز می توان استفاده کرد.



شکل ۵۹-۴

* نگاه کنید به:

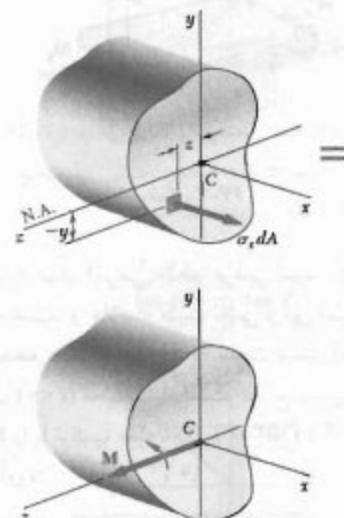
Ferdinand P. Beer and E. Russell Johnston, Jr., *Mechanics for Engineers*, 4th ed., McGraw-Hill, New York, 1987, or *Vector Mechanics for Engineers*, 6th ed., McGraw-Hill, New York, 1996, secs. 9.8-9.10.

** نگاه کنید به:

Ferdinand P. Beer and E. Russell Johnston, Jr., *Mechanics for Engineers*, 4th ed., McGraw-Hill, New York, 1987, or *Vector Mechanics for Engineers*, 6th ed., McGraw-Hill, New York, 1996, secs. 9.8-9.10.

معادله (۳-۴) رابطه اصلی $M_y/I = \sigma_x$ را می دهد. در قسمت ۲-۴، با توجه به تقارن مقطع عرضی نسبت به محور z معادله (۲-۴) زاید بود و آن را درنظر نگرفتیم. ولی، اکنون که مقطع عرضی با یک شکل اختیاری را بررسی می کنیم، معادله (۲-۴) حائز اهمیت است. با فرض اینکه تنش ها کمتر از حد تناسب ماده اند، در معادله (۲-۴) قرأت می دهیم $\sigma_x = -\sigma_m y/c$ و می نویسیم:

$$\int z \left(-\frac{\sigma_m y}{c} \right) dA = 0 \Rightarrow \int yz dA = 0 \quad (51-4)$$



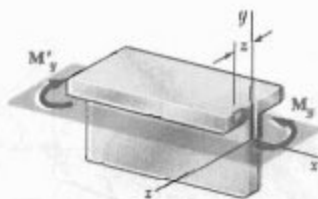
شکل ۵۷-۴

انتگرال $\int yz dA$ حاصلضرب اینترسی yz مقطع عرضی را نسبت به محورهای y و z می دهد، و اگر آنها محورهای همی گذرا از مرکز سطح مقطع عرضی باشند، yz صفر خواهد بود. درنتیجه، محور خشن مقطع عرضی بر محور کوپل M مؤثر بر آن مقطع منطبق خواهد بود اگر، و فقط اگر، بردار کوپل M در امتداد یکی از محورهای همی گذرا از مرکز سطح مقطع عرضی باشد.

گفتنی است که مقاطع عرضی نشان داده شده در شکل ۵۵-۴ حداقل نسبت به یکی از محورهای مختصات تقارن دارند. یعنی، در هر حالت، محورهای y و z محورهای اصلی گذرا از مرکز سطح مقطع عرضی هستند. چون بردار کوپل M در امتداد یکی از محورهای اصلی مرکزی است، محور خشن بر محور کوپل منطبق است. با چرخش ۹۰° مقاطع عرضی

که در آن θ ممان اینترسی مقطع عرضی نسبت به محور اصلی مرکزی z است. علامت منفی ناشی از این است که بالای صفحه xy تحت فشار است و پایین آن (z) تحت کشش است. از طرف دیگر، کوپل M_y در یک صفحه افقی اثر می‌کند و عضو را در آن صفحه خم می‌کند (شکل ۶۳-۴). تنش‌های حاصل عبارتند از:

$$\sigma_x = + \frac{M_y z}{I_y} \quad (54-4)$$

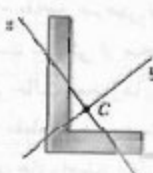


شکل ۶۳-۴

که در آن θ ممان اینترسی مقطع عرضی نسبت به محور اصلی مرکزی z است، و علامت مثبت ناشی از این است که سمت چپ صفحه عمودی xy (z) تحت کشش است و سمت راست آن (z) تحت فشار است. توزیع تنش‌های ناشی از کوپل M_y را با ترکیب معادله‌های (۵۳-۴) و (۵۴-۴) می‌توان به دست آورد:

$$\sigma_x = - \frac{M_z y}{I_z} + \frac{M_y z}{I_y} \quad (55-4)$$

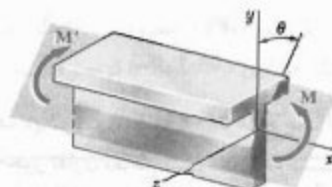
با تعیین محورهای مرکزی اصلی y و z ، از معادله (۵۵-۴) می‌توان برای محاسبه تنش‌ها در یک مقطع نامتقارن، مانند مقطع شکل ۶۴-۴، نیز استفاده کرد. از طرف دیگر، معادله (۵۵-۴) فقط وقتی به کار می‌رود که شرایط کاربرد اصل ترکیب برقرار باشند. به عبارت دیگر، اگر تنش‌های ترکیبی از حد تناسب ماده فراتر روند، یا اگر تغییر شکل‌های ناشی از یکی کوپل‌ها بر توزیع تنش‌های ناشی از کوپل دیگر خیلی تأثیر بگذارند، از معادله (۵۵-۴) نمی‌توان استفاده کرد.



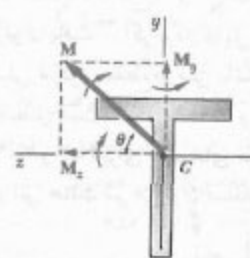
شکل ۶۴-۴

حال، نشان می‌دهیم که از اصل ترکیب برای تعیین تنش در کلی ترین حالت خمش نامتقارن می‌توان استفاده کرد. ابتدا، عضوی را با یک صفحه تقارن عمودی در نظر بگیرید. این عضو تحت کوپل‌های خمشی M و M' قرار دارد، و کوپل‌ها غریب‌صفحه‌ای که با صفحه قائم زاویه θ دارد اثر می‌کنند (شکل ۶۰-۴). بردار کوپل M با محور افقی z زاویه θ دارد (شکل ۶۱-۴). با تجزیه این بردار در امتداد محورهای x و y ، داریم

$$M_z = M \cos \theta \quad M_y = M \sin \theta \quad (57-4)$$



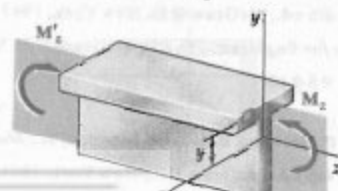
شکل ۶۰-۴



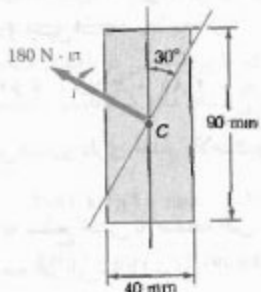
شکل ۶۱-۴

چون محورهای y و z محورهای اصلی مرکزی مقطع عرضی هستند، برای تعیین تنش‌های حاصل از اعمال هر یک از کوپل‌های M_z و M_y می‌توان از معادله (۱۶-۴) استفاده کرد. کوپل M_z در یک صفحه عمودی اثر می‌کند و عضو را در آن صفحه خم می‌کند (شکل ۶۲-۴). تنش‌های حاصل عبارتند از:

$$\sigma_x = - \frac{M_z y}{I_z} \quad (53-4)$$



شکل ۶۲-۴

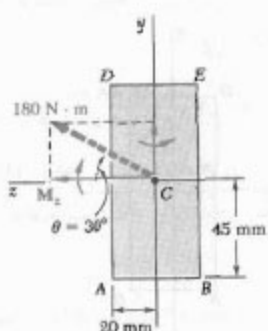


شکل ۶۶-۴

(الف) تنش ماکریسم، ابتداء، مؤلفه‌های M_z و M_y بردار کوپل را می‌یابیم (شکل ۶۷-۴):

$$M_z = (180 \text{ N.m}) \cos 30^\circ = 155.9 \text{ N.m}$$

$$M_y = (180 \text{ N.m}) \sin 30^\circ = 90 \text{ N.m}$$



شکل ۶۷-۴

مانعهای اینترسی مقطع عرضی نسبت به محورهای z و y عبارتند از:

$$I_z = \frac{1}{4} (0.04 \text{ m})(0.09 \text{ m})^3 = 2.43 \times 10^{-5} \text{ m}^4$$

$$I_y = \frac{1}{4} (0.09 \text{ m})(0.04 \text{ m})^3 = 0.48 \times 10^{-5} \text{ m}^4$$

ماکریسم تنش کششی ناشی از M_y در امتداد AB روی می‌دهد و چنین است:

$$\sigma_y = \frac{M_y y}{I_y} = \frac{(155.9 \text{ N.m})(0.045 \text{ m})}{2.43 \times 10^{-5} \text{ m}^4} = 2.89 \text{ MPa}$$

ماکریسم تنش کششی ناشی از M_y در امتداد AD روی می‌دهد و چنین است:

$$\sigma_x = \frac{M_z z}{I_z} = \frac{(90 \text{ N.m})(0.02 \text{ m})}{0.48 \times 10^{-5} \text{ m}^4} = 3.75 \text{ MPa}$$

معادله (۵۵-۴) نشان می‌دهد که توزیع تنش‌های ناشی از خمث نامتقارن به صورت خطی است. ولی، همانطور که قبلاً در همین قسمت گفته شد، محور خشنی مقطع عرضی، به طور کلی، بر محور کوپل خمثی منطبق نیست. چون تنش قائم در تمام نقاط محور خشنی صفر است، با قرار دادن $\sigma_y = 0$ در معادله (۵۵-۴) می‌توان معادله‌ای که این محور خشنی را مشخص می‌کند بدست آورد. می‌نویسیم:

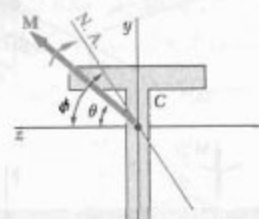
$$-\frac{M_z y}{I_z} + \frac{M_y z}{I_y} = 0$$

با حل y و جایگذاری M_z و M_y از معادله‌های (۵۲-۴)، (۵۳-۴)

$$y = \left(\frac{I_z}{I_y} \tan \theta \right) z \quad (56-4)$$

معادله حاصل، یک خط مستقیم با شیب $m = (I_z/I_y) \tan \theta$ را نشان می‌دهد. زاویه ϕ که محور خشنی با محور z دارد (شکل ۶۵-۴) از رابطه زیر بدست می‌آید:

$$\tan \phi = \frac{I_z}{I_y} \tan \theta \quad (57-4)$$



شکل ۶۵-۴

که در آن θ زاویه‌ای است که بردار کوپل M با محور z می‌سازد. چون z و I_z هر دو ثابت‌اند، ϕ و θ علامت یکسان دارند. وقتی $\phi > \theta$ ، $I_z < I_y$ و وقتی $\phi < \theta$ ، $I_z > I_y$. لذا، محور خشنی محورهای M و محور اصلی هناظر با ممان اینترسی همینهم قرار دارد.

مثال ۴-۸

کوپل ۱۸۰ N·m بر یک تیغ جویی، با مقطع مردمی مستطیلی $40 \text{ mm} \times 80 \text{ mm}$ در صفحه‌ای که با عمود واقعه 30° دارد وارد شده است (شکل ۶۶-۴). مطلوبست: (الف) تنش ماکریسم در تیغ، (ب) زاویه‌ای که سطح خشنی با صفحه افق دارد.

بنابراین، ماکریعم تنش کششی ناشی از بارگذاری ترکیبی در A روی می‌دهد و چنین است:

$$\sigma_{\max} = \sigma_x + \sigma_y = 2/18 + 2/75 = 6/64 \text{ MPa}$$

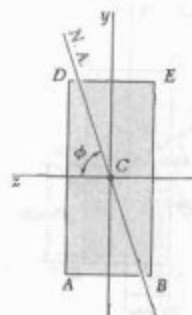
ماکریعم تنش فشاری دارای مقدار بالاست و در E روی می‌دهد.

(ب) زاویه سطح خشی با صفحه افق. زاویه ϕ که سطح خشی با صفحه افق می‌سازد (شکل ۶۸-۴) از معادله (۵۷-۴) بدست می‌آید.

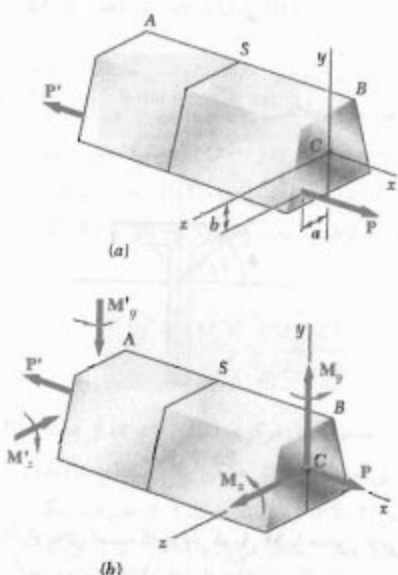
$$\tan \phi = \frac{I_z}{I_y} \tan \theta = \frac{2/43 \times 10^{-5} \text{ m}^4}{0/48 \times 10^{-5} \text{ m}^4} \tan 30^\circ = 2/9$$

$$\phi = 72/4^\circ$$

توزیع تنش بر مقطع عرضی در شکل ۶۹-۴ نشان داده شده است.

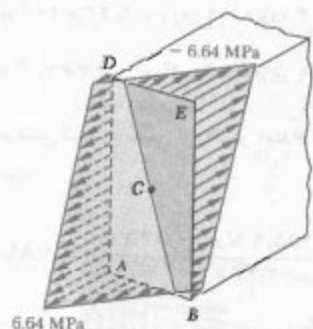


شکل ۶۸-۴



شکل ۷۰-۴

با استفاده از اصل سنت-ونانت (قسمت ۱۷-۲)، بارگذاری اولیه در شکل ۷۰-۴(الف) را می‌توان با معادل استاتیکی آن، یعنی بارگذاری در شکل ۷۰-۴(ب)، جایگزین کرد، و توزیع تنش در مقطع S عضو دارد که خیلی تردیدک به انتها عضو نشاده، بدست آورد. بدلاً از این، تا وقتی شرایط استفاده از اصل ترکیب برقرار نباشد (قسمت ۱۲-۲)، با ترکیب تنش‌های ناشی از بار



شکل ۶۹-۴

(الف) تنش‌ها. بار خارج از مرکز داده شده را به سیستم معادل آن جایگزین می‌کنیم. این سیستم از بار مرکزی P و دو کوبیل M_x و M_z ، که با بردارهایی در امتداد محورهای اصلی مرکزی مقطع غرضی نشان داده شده‌اند، تشکیل شده است (شکل ۷۲-۴). می‌نویسیم:

$$M_x = (\frac{4}{3}A_0 \text{ kN})(\frac{4}{3} \text{ mm}) = 192 \text{ N.m}$$

$$M_z = (\frac{4}{3}A_0 \text{ kN})(\frac{6}{3} \text{ mm} - \frac{2}{3} \text{ mm}) = 120 \text{ N.m}$$

مساحت و ممان‌های اینرسی مرکزی ** مقطع عرضی عبارتند از:

$$A = (0.08 \text{ m})(0.12 \text{ m}) = 0.96 \times 10^{-3} \text{ m}^2$$

$$I_x = \frac{1}{12} (0.12 \text{ m})(0.08 \text{ m})^3 = 5.12 \times 10^{-7} \text{ m}^4$$

$$I_z = \frac{1}{12} (0.08 \text{ m})(0.12 \text{ m})^3 = 11.52 \times 10^{-7} \text{ m}^4$$

تنش σ ناشی از بار مرکزی P منفی است و در مقطع عرضی به صورت یکنواخت است:

$$\sigma_0 = \frac{P}{A} = \frac{-\frac{4}{3}A_0 \text{ kN}}{0.96 \times 10^{-3} \text{ m}^2} = -0.5 \text{ MPa}$$

تنش‌های ناشی از کوبیل‌های خمثی M_x و M_z در مقطع عرضی دارای توزیع خطی هستند و ماقریم مقدار آنها، به ترتیب، عبارتند از:

$$\sigma_1 = \frac{M_x z_{\max}}{I_x} = \frac{(192 \text{ N.m})(\frac{4}{3} \text{ mm})}{5.12 \times 10^{-7} \text{ m}^4} = 1.5 \text{ MPa}$$

$$\sigma_t = \frac{M_z x_{\max}}{I_z} = \frac{(120 \text{ N.m})(\frac{6}{3} \text{ mm})}{11.52 \times 10^{-7} \text{ m}^4} = 0.625 \text{ MPa}$$

تنش در گوش‌های مقطع عرضی عبارتند از:

$$\sigma_y = \sigma_0 \pm \sigma_1 \pm \sigma_t$$

علامت‌ها را از شکل ۷۲-۴ باید تعیین کرد. تنش‌های ناشی از در D و C مثبت‌اند و در A و B منفی‌اند، و تنش‌های ناشی از در C و B مثبت‌اند و در A و D منفی‌اند. در نتیجه،

$$\sigma_A = -0.5 - 1.5 - 0.625 = -2.625 \text{ MPa}$$

$$\sigma_B = -0.5 - 1.5 + 0.625 = -1.375 \text{ MPa}$$

$$\sigma_C = -0.5 + 1.5 + 0.625 = +1.625 \text{ MPa}$$

$$\sigma_D = -0.5 + 1.5 - 0.625 = +0.375 \text{ MPa}$$

محوری مرکزی P و کوبیل‌های خمثی M_x و M_z می‌توان تنش‌های ناشی از بارگذاری شکل ۷۰-۴ برا پیدا دست آورد. تنش ناشی از بار مرکزی P با معادله (۵-۱)، و تنش ناشی از کوبیل‌های خمثی با معادله (۵-۲) داده می‌شوند، زیرا بردارهای کوبیل متناظر در امتداد محورهای اصلی مرکزی * مقطع قرار دارند. بنابراین،

$$\sigma_x = \frac{P}{A} - \frac{M_z y}{I_x} + \frac{M_y z}{I_y} \quad (58-4)$$

که در آن y و z از محورهای اصلی مرکزی مقطع عرضی اندازه‌گیری می‌شوند. رابطه حاصل نشان می‌دهد که توزیع تنش در عرض مقطع بصورت خطی است.

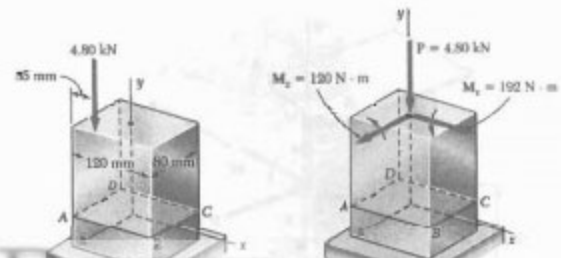
گفتگی است که در معادله (۵۸-۴)، بر حسب سوی بارهای P و P' و مکان خط اثر آنها نسبت به محورهای اصلی مرکزی مقطع عرضی، هر یک از سه جمله این معادله ممکن است مثبت یا منفی باشد. بر حسب شکل هندسی مقطع عرضی و مکان خط اثر P و P' ، تنش‌های σ_x حاصل از معادله (۵۸-۴) در نقاط مختلف مقطع ممکن است درایی علامت یکسان باشند، یا بعضی از آنها مثبت و بعضی منفی باشند. در حالت دوم، خطی در مقطع وجود دارد که تنش در امتداد آن صفر است. با قرار دادن $\sigma_x = 0$ در معادله (۵۸-۴)، معادله یک خط مستقیم که محور ختی مقطع را نشان می‌دهد بدست می‌آید:

$$\frac{M_z}{I_x} y - \frac{M_y}{I_y} z = \frac{P}{A}$$

مثال ۹-۴

مطابق شکل بار عمودی 4.80 kN بر تیر چوبی با مقطع عرضی مستطیلی $80 \text{ mm} \times 120 \text{ mm}$ وارد شده است (شکل ۷۱-۴).

مطلوب است: (الف) تنش در نقاط A ، B ، C و D ، (ب) مکان محور ختی مقطع عرضی.



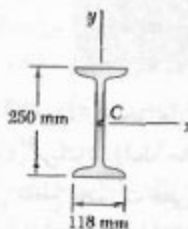
شکل ۷۱-۴

حل
خواص مقطع عرضي. داده های زیر از پیوست ج گرفته شده اند.

$$\text{محاط} : A = 4820 \text{ mm}^2$$

$$S_x = 402 \times 10^7 \text{ mm}^7$$

$$S_y = 475.5 \times 10^7 \text{ mm}^7$$



نیرو و کوپل در C. نیروی P را با معادل نیرو-کوپل در مرکز سطح C مقطع عرضی جایگزین می کنیم.

$$M_x = (120 \text{ mm})P \quad M_y = (78 \text{ mm})P$$

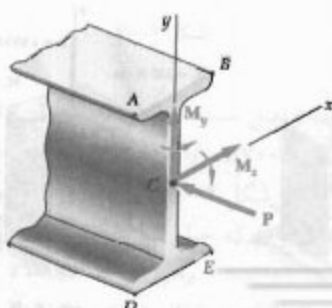
توجه کنید که بردارهای M_x و M_y در امتداد محورهای اصلی مرکزی مقطع عرضی هستند.

تشهای قائم. قدر مطلق تنشهای ناشی از بار مرکزی P و کوپلهای M_x و M_y در نقاط D, B, A و E، عبارتند از:

$$\sigma_s = \frac{P}{A} = \frac{P}{4820 \text{ mm}^2} = 20.7 \times 10^6 \text{ Pa}$$

$$\sigma_t = \frac{M_x}{S_x} = \frac{120P}{402 \times 10^7 \text{ mm}^7} = 14.8 \times 10^6 \text{ Pa}$$

$$\sigma_r = \frac{M_y}{S_y} = \frac{78P}{475.5 \times 10^7 \text{ mm}^7} = 1.65 \times 10^6 \text{ Pa}$$

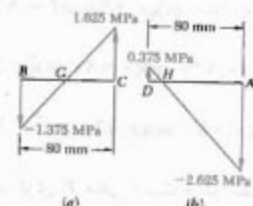


(ب) محور خشی. تنش در نقطه G بین B و C صفر است، و در نقطه H بین D و A نیز صفر است (شکل ٤-٧٣). چون توزیع تنش خطی است، می توانیم:

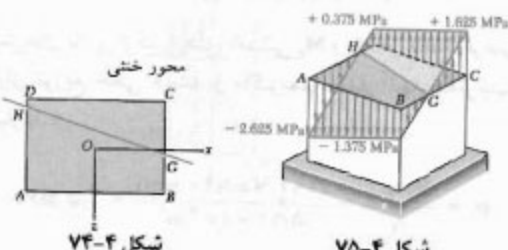
$$\frac{BG}{A \cdot \text{mm}} = \frac{1.375}{1,625 + 1,375} \Rightarrow BG = 36.7 \text{ mm}$$

$$\frac{HA}{A \cdot \text{mm}} = \frac{2.625}{2,625 + 0.375} \Rightarrow HA = 50 \text{ mm}$$

با انتقال نقاط G و H، محور خشی به دست می آید.
(شکل ٤-٤٢).



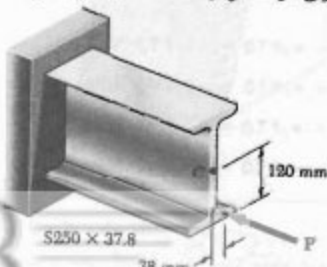
شکل ٤-٧٣



شکل ٤-٧٤

در شکل ٤-٧٥، توزیع تنش در مقطع عرضی نشان داده شده است.

مسئله نمونه ٤-٩
نیروی افقی P بر قسمت کوتاهی از عضو فولادی نورد شده S 250 × 37.8 وارد شده است. ماکریسم بار مجاز P را بیابند، به طوری که تنش فشاری در عضو از ٨٢ MPa بیشتر نشود.



حل

محورهای اصلی. دایره سور را رسم می‌کنیم، و از روی آن وضعیت محورهای اصلی و ممانهای اینرسی اصلی متناظر را می‌یابیم:

$$\tan \gamma \theta_m = \frac{FZ}{EF} = \frac{\gamma/\Delta V}{\sigma_z/4\pi D} \Rightarrow \gamma \theta_m = \Delta V/\Delta \sigma$$

$$\Rightarrow \theta_m = 40.4^\circ$$

$$R^t = (EF)^t + (FZ)^t = (\sigma_z/4\pi D)^t + (\gamma/\Delta V)^t$$

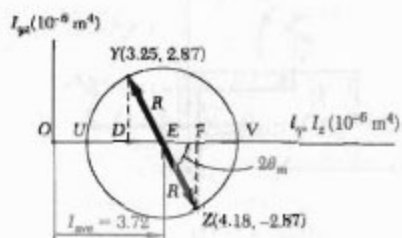
$$\Rightarrow R = 1.91 \times 10^{-9} \text{ m}^t$$

$$I_u = I_{\min} = OU = I_{ave} - R = \gamma/\Delta V - 1.91$$

$$= 0.81 \times 10^{-9} \text{ m}^t$$

$$I_v = I_{\max} = OV = I_{ave} + R = \gamma/\Delta V + 1.91$$

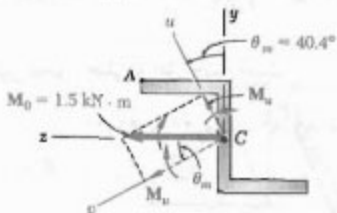
$$= 6.63 \times 10^{-9} \text{ m}^t$$



بارگذاری کوبیل M_o را به مولفهای موازی با محورهای اصلی تجزیه می‌کنیم:

$$M_u = M_o \sin \theta_m = 1500 \sin 40.4^\circ = 972 \text{ N.m}$$

$$M_v = M_o \cos \theta_m = 1500 \cos 40.4^\circ = 1142 \text{ N.m}$$



الف. تنش در A. فواصل عمودی نقطه A از محورهای اصلی عبارتند از:

$$u_A = y_A \cos \theta_m + z_A \sin \theta_m$$

$$= 50 \cos 40.4^\circ + 74 \sin 40.4^\circ = 89.0 \text{ mm}$$

$$v_A = -y_A \sin \theta_m + z_A \cos \theta_m$$

$$= -50 \sin 40.4^\circ + 74 \cos 40.4^\circ = 23.9 \text{ mm}$$

ترکیب از تنش‌های ناشی از P ، M_y و M_x ، تنش کل بدست می‌آید. علامت هر تنش را با بررسی دقیق سیستم نیرو-کوپل تعیین می‌کنیم:

$$\sigma_A = -\sigma_i + \sigma_r + \sigma_t$$

$$= -\gamma/\Delta V \times 10^9 P + 29\Delta \times 10^9 P + \Delta \sigma_o \times 10^9 P$$

$$= + 1.91 \times 10^9 P$$

$$\sigma_B = -\sigma_i + \sigma_r - \sigma_t$$

$$= -\gamma/\Delta V \times 10^9 P + 29\Delta \times 10^9 P - \Delta \sigma_o \times 10^9 P$$

$$= - 1.91 \times 10^9 P$$

$$\sigma_D = -\sigma_i - \sigma_r + \sigma_t$$

$$= -\gamma/\Delta V \times 10^9 P - 29\Delta \times 10^9 P + \Delta \sigma_o \times 10^9 P$$

$$= + 2.91 \times 10^9 P$$

$$\sigma_E = -\sigma_i - \sigma_r - \sigma_t$$

$$= -\gamma/\Delta V \times 10^9 P - 29\Delta \times 10^9 P - \Delta \sigma_o \times 10^9 P$$

$$= - 1.30 \times 10^9 P$$

ماکریسم بار مجاز، ماکریسم تنش فشاری در نقطه E روی می‌دهد. با توجه به $\sigma_{all} = 122 \text{ MPa}$ ، داریم

$$\sigma_{all} = \sigma_E \Rightarrow 122 \text{ MPa} = -1.30 \times 10^9 P$$

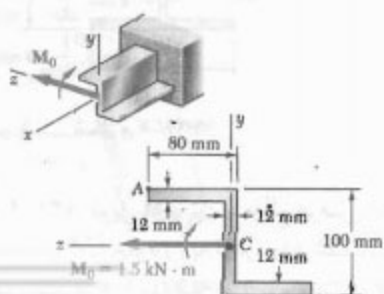
$$\Rightarrow P = 92.8 \text{ kN} \quad \blacktriangleleft$$

مسئله نمونه ۱۰-۴
کوبیل $M_o = 1.5 \text{ kN.m}$ در صفحه قائم بر تبری با مقطع عرضی Z وارد شده است. مطلوب است: (الف) تنش در نقطه A، (ب) زاویه‌ای که محور خشنی با صفحه افق می‌سازد. ممانهای اینرسی و حاصل‌ضرب اینرسی مقطع نسبت و محورهای y و z عبارتند از:

$$I_y = 1.25 \times 10^{-6} \text{ m}^4$$

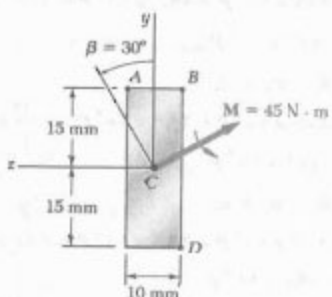
$$I_z = 4.18 \times 10^{-6} \text{ m}^4$$

$$I_{yz} = 1.8V \times 10^{-6} \text{ m}^4$$

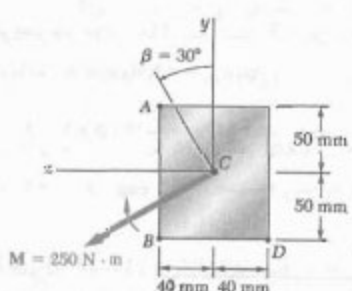


مسائل

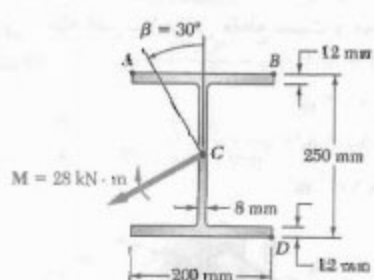
۱۲۶-۴ کوپل M بر تیر، با مقاطع عرضی نشان داده شده، در صفحه‌ای که با عمود زاویه β دارد وارد شده است، مطلوبست: (الف) تنش در A ، (ب) تنش در B ، (ج) تنش در D .



شکل ۱۲۶-۴



شکل ۱۲۷-۴

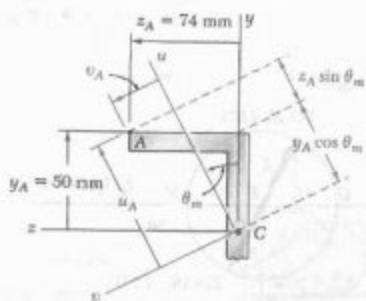


شکل ۱۲۸-۴

۱۲۹-۴ کوپل M بر تیر، با مقاطع عرضی نشان داده شده، در صفحه‌ای که با عمود زاویه β دارد وارد شده است، مطلوبست: (الف) تنش در A ، (ب) تنش در B ، (ج) تنش در D .

با در نظر گرفتن خمینه حول هر محور اصلی به طور جداگانه، دیده می‌شود که M_u در نقطه A ایجاد کشش، و M_v در همان نقطه ایجاد فشار می‌کند.

$$\begin{aligned}\sigma_A &= + \frac{M_u v_A}{I_u} - \frac{M_v u_A}{I_v} \\ &= + \frac{(972 \text{ N.m})(\phi_0 \cdot 239 \text{ mm})}{\phi_0 \cdot 110 \times 10^{-9} \text{ m}^4} \\ &\quad - \frac{(1142 \text{ N.m})(\phi_0 \cdot 87 \text{ mm})}{\phi_0 \cdot 83 \times 10^{-9} \text{ m}^4} \\ &= +(21/\phi_0 \text{ MPa}) - (14/\phi_0 \text{ MPa}) \\ \sigma_A &= +13/\phi_0 \text{ MPa} \end{aligned}$$



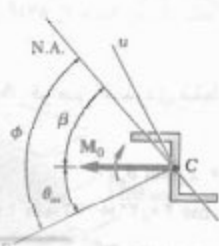
ب. محور خشی. با استفاده از معادله (۵۷-۴)، زاویه ϕ بین محور خشی و محور v را می‌یابیم.

$$\tan \phi = \frac{I_v}{I_u} \tan \theta_m = \frac{6.63}{\phi_0 \cdot 110} \tan 45^\circ / 45^\circ \Rightarrow \phi = 11/\phi_0^\circ$$

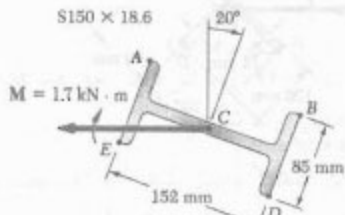
زاویه β بین محور خشی و افق چنین است:

$$\beta = \phi - \theta_m = 11/\phi_0^\circ - 45^\circ / 45^\circ = 41/\phi_0^\circ$$

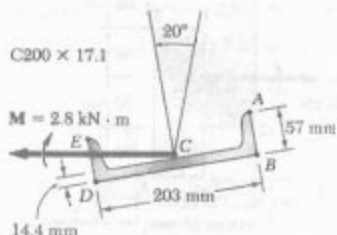
$$\beta = 41/\phi_0^\circ$$



۱۳۴-۴ و ۱۳۴-۵ کوپل M در یک صفحه عمودی بر تیر در وضعیت نشان داده شده اعمال شده است. مطلوبست: (الف) زاویه محور خنثی با صفحه افق، (ب) ماکزیمم تنش کششی در تیر.

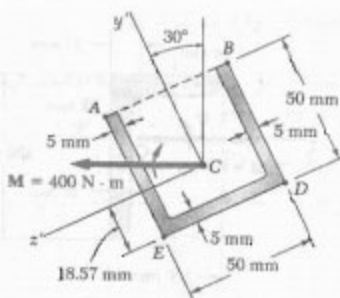


شکل ۱۳۴-۴



شکل ۱۳۴-۵

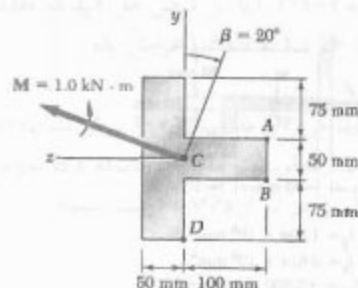
۱۳۵-۴ تا ۱۳۷-۴ کوپل M در یک صفحه عمودی بر تیر در وضعیت نشان داده شده اعمال شده است. مطلوبست: (الف) زاویه محور خنثی با صفحه افق، (ب) ماکزیمم تنش کششی در تیر.



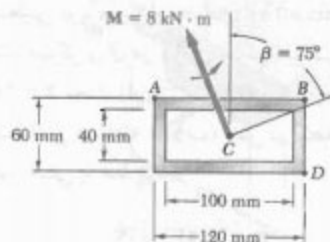
$$I_y = 281 \times 10^3 \text{ mm}^4$$

$$I_z = 176.9 \times 10^3 \text{ mm}^4$$

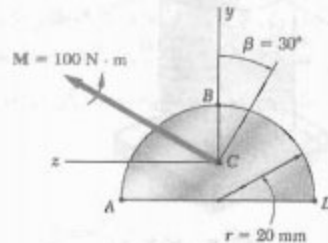
شکل ۱۳۵-۴



شکل ۱۳۶-۴

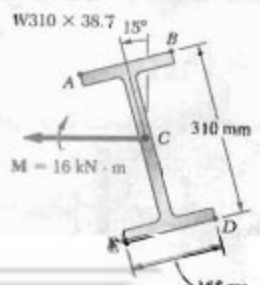


شکل ۱۳۰-۴

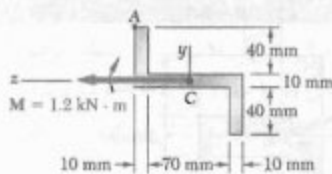


شکل ۱۳۱-۴

۱۳۲-۴ کوپل M در یک صفحه قائم بر تیر در وضعیت نشان داده شده وارد شده است. مطلوبست: (الف) زاویه‌ای که محور خنثی با صفحه افق می‌سازد، (ب) ماکزیمم تنش کششی در تیر.



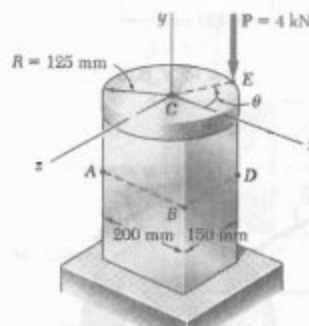
شکل ۱۳۲-۴



$$\begin{aligned}I_y &= 1.894 \times 10^6 \text{ mm}^4 \\I_z &= 0.614 \times 10^6 \text{ mm}^4 \\I_{yz} &= +0.800 \times 10^6 \text{ mm}^4\end{aligned}$$

شکل ۱۳۹-۴م

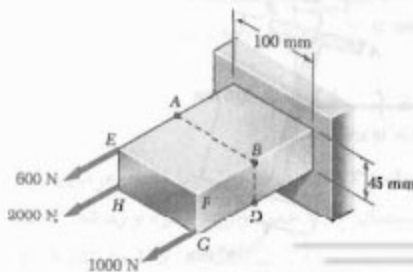
۱۴۰-۴ یک ورق صلب دایره‌ای با شعاع ۱۲۵ mm به تیر مستطیلی توپری با ابعاد ۱۵۰ mm × ۲۰۰ mm ۱۵۰ متصن شده است. مرکز ورق در بالای مرکز تیر قرار دارد. اگر نیروی تحت زاویه $\theta = 30^\circ$ فر $P = 4 \text{ kN}$ وارد شود، مطلوبست: (الف) تنش در نقطه A ، (ب) تنش در نقطه B ، (ج) نقطه تلاقي محور خنتی با خط ABD .



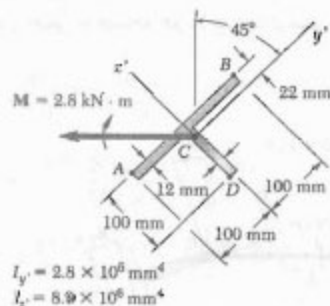
شکل ۱۴۰-۴م

۱۴۱-۴ در مسئله ۱۴۰-۴، مطلوبست: (الف) مقدار θ که به ازای آن تنش در D به بیشترین مقدار می‌رسد، (ب) مقدار دایر متناظر تنش در C, B, A .

۱۴۲-۴ برای بارگذاری تشن داده شده، مطلوبست: (الف) تنش در نقاط A و B ، (ب) تنشه تقاطع محور خنتی با خط ABC .

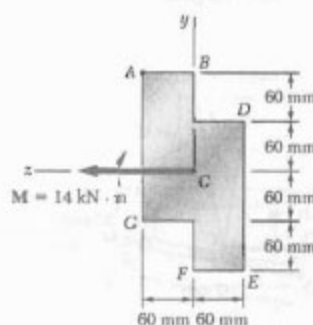


شکل ۱۴۲-۴م



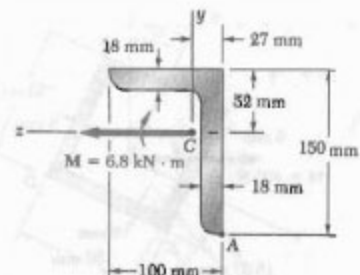
$$\begin{aligned}I_y' &= 2.8 \times 10^6 \text{ mm}^4 \\I_z' &= 8.9 \times 10^6 \text{ mm}^4\end{aligned}$$

شکل ۱۳۶-۴م



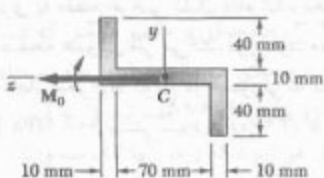
شکل ۱۳۷-۴م

۱۳۸-۴ و ۱۳۹-۴ کوبیل M در یک صفحه عمودی بر تیر با مقطع عرضی نشان داده شده اعمال شده است. تنش را در نقطه A بیابید.



$$\begin{aligned}I_y &= 3.65 \times 10^6 \text{ mm}^4 \\I_z &= 10.1 \times 10^6 \text{ mm}^4 \\I_{yz} &= 3.45 \times 10^6 \text{ mm}^4\end{aligned}$$

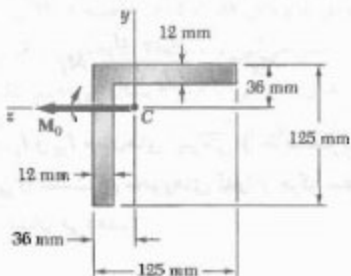
شکل ۱۳۸-۴م



شکل ۱۴۶-۴

۱۴۷-۴ مسئله ۱۴۶-۴ را با این فرض حل کنید که کوبیل M_0 در یک صفحه افقی وارد شود.

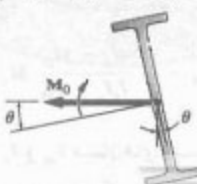
۱۴۸-۴ تیری با مقطع عرضی نشان داده شده تحت کوبیل M_0 ، که در یک صفحه عمودی اثر می‌کند، قرار دارد. مطلوب است ماکریم مقدار مجاز لنگر M_0 کوبیل در صورتی که بخواهیم ماکریم تنش در تیر از 84 MPa بیشتر نشود. داده: $k_{\min} = 25 \text{ mm}$ ، $A = 3064 \text{ mm}^2$ ، $I_y = I_z = 4.7 \times 10^5 \text{ mm}^4$ (راهنمایی: پاتوچه به تقارن، محورهای اصلی با محورهای مختصات زاویه 45° دارند. از روابط $I_{\min} = A k_{\min}$ و $I_{\max} = I_y + I_z$ استفاده کنید).



شکل ۱۴۸-۴

۱۴۹-۴ مسئله ۱۴۸-۴ را با این فرض حل کنید که کوبیل M_0 در صفحه افق وارد شود.

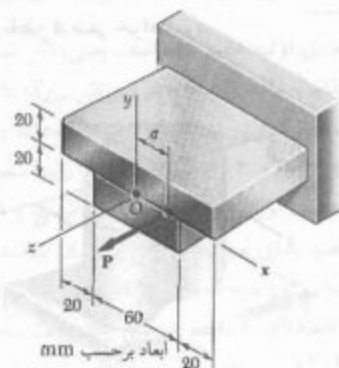
۱۵۰-۴ کوبیل M_0 در یک صفحه عمودی بر تیر فولادی نورد شده $W 310 \times 23,8$ وارد شده است. جان تیر با عضو زاویه θ دارد. اگر تنش ماکریم در تیر را برابر $\sigma = \theta$ باشد 90° نشان دهیم، زاویه میل θ تیر را که بهازی آن تنش ماکریم 20 است بیابید.



شکل ۱۵۰-۴

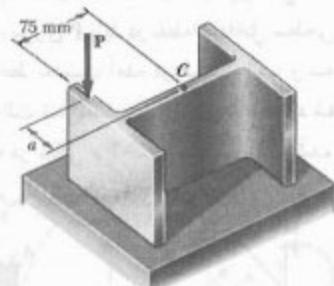
۱۴۳-۴ مسئله ۱۴۲-۴ را با این فرض حل کنید که مقدار نیروی وارد در G از $1,0 \text{ kN}$ به $1,6 \text{ kN}$ افزایش یابد.

۱۴۴-۴ نیروی افقی P با مقدار 100 kN بر تیر نشان داده شده اعمال شده است. مطلوب است ماکریم فاصله a که بهازی آن ماکریم تنش کششی در تیر از 75 MPa بیشتر نشود.



شکل ۱۴۴-۴

۱۴۵-۴ بار محوری P با مقدار 50 kN مطابق شکل، بر قسمت کوتاهی از عضو فولادی نورد شده $W 150 \times 24$ وارد شده است. مطلوب است ماکریم فاصله a که بهازی آن ماکریم تنش فشاری از 90 MPa بیشتر نشود.



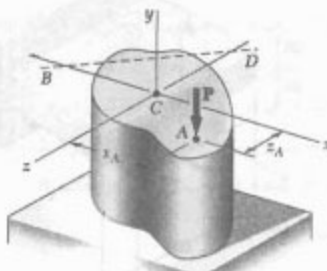
شکل ۱۴۵-۴

۱۴۶-۴ مقطع 2 نشان داده شده تحت کوبیل M_0 ، که در یک صفحه عمودی اثر می‌کند، قرار دارد. مطلوب است ماکریم مقدار مجاز لنگر M_0 کوبیل در صورتی که بخواهیم ساکریم تنش از 80 MPa بیشتر نشود. داده: $I_{\max} = 2.28 \times 10^5 \text{ mm}^4$ ، $I_{\min} = 0.23 \times 10^5 \text{ mm}^4$ ، محورهای اصلی 25.7° و 64.3° .

۱۵۴-۴ (الف) نشان دهید که، اگر نیروی عمودی P در نقطه A مقطع نشان داده شده وارد شود، معادله محوز خنثی BD عبارت است از:

$$\left(\frac{x_A}{k_z}\right)x + \left(\frac{z_A}{k_x}\right)z = -1$$

که در آن k_z و k_x شعاع زیراپیون مقطع عرضی را، به ترتیب، نسبت به محورهای z و x نشان می‌دهند. (ب) به علاوه، نشان دهید که اگر نیروی عمودی Q در نقطه‌ای روی خط BD اعمال شود، تنش در نقطه A صفر خواهد بود.

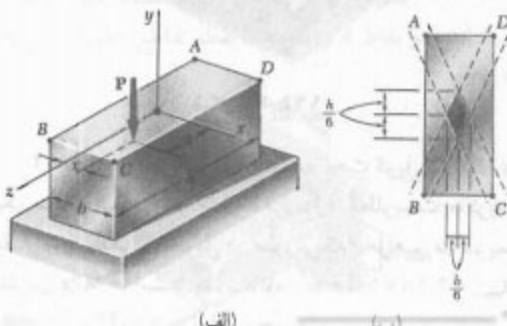


شکل م ۱۵۴-۴

۱۵۵-۴ (الف) نشان دهید که ستش در گوشه A عضو منشوری نشان داده شده در شکل م ۱۵۵-۴ مقطع عرضی صفر خواهد بود هرگاه نیروی عمودی P در نقطه‌ای روی خط زیر اعمال شود:

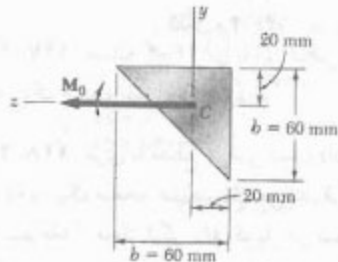
$$\frac{x}{b/6} + \frac{z}{h/6} = 1$$

(ب) به علاوه، نشان دهید که اگر بخواهیم تنش کششی در عضو ایجاد نشود، نیروی P باید در نقطه‌ای داخل سطحی اعمال شود که توسط خط به دست آمده در قسمت الگ و سه خط مشابه متناظر با حالت تنش صفر در C , B و D است. این سطح را، که در شکل م ۱۵۵-۴ ب نشان داده شده است، همه مقطع عرضی می‌گویند.



شکل م ۱۵۵-۴

۱۵۱-۴ تبری با مقطع عرضی نشان داده شده تحت کوبیل M_0 ، که در یک صفحه عمودی اثر می‌کند، قرار دارد. مطلوب است ماکریم مقدار مجاز لنگر M_0 کوبیل در صورتی که بخواهیم $I_y = I_z = b^4/36$ بیشتر نشود، داده: $I_{yz} = b^4/72$ و $I_{yy} = b^4/72$.

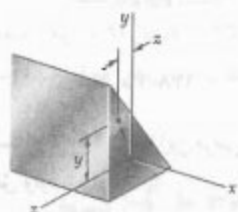


شکل م ۱۵۱-۴

۱۵۲-۴ تبری با مقطع عرضی نامتقارن تحت کوبیل M_0 ، که در صفحه xy اثر می‌کند، قرار دارد. نشان دهید که تنش در نقطه A ، پا مختصات z و z ، چنین است:

$$\sigma_A = -\frac{yl_y - zl_{yz}}{I_y I_z - I_{yz}^2} M_z$$

که در آن y , I_y , I_z و I_{yz} مسانه‌های اینترسی و حاصلضرب اینترسی مقطع عرضی را نسبت به محورهای گذرا از مرکز سطح، و z لنگر کوبیل را نشان می‌دهد.



شکل م ۱۵۲-۴ و م ۱۵۳-۴

۱۵۳-۴ تبری با مقطع عرضی نامتقارن تحت کوبیل M_0 ، که در صفحه افقی اثرا نمی‌کند، قرار دارد. نشان دهید که تنش در نقطه A چنین است:

$$\sigma_A = -\frac{zl_z - yl_{yz}}{I_y I_z - I_{yz}^2} M_y$$

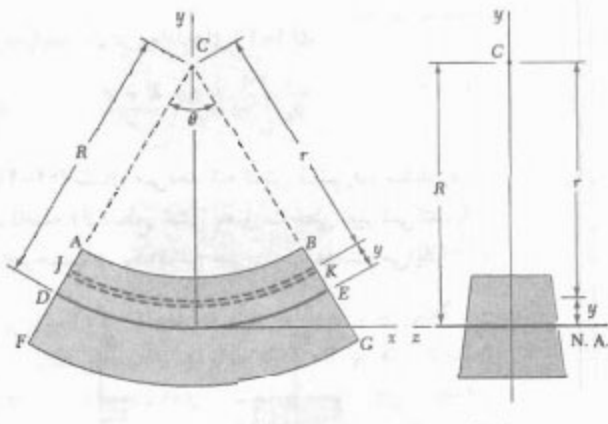
که در آن y , I_y , I_z و I_{yz} مسانه‌های اینترسی و حاصلضرب اینترسی را نسبت به محورهای گذرا از مرکز سطح، و M_0 لنگر کوبیل را نشان می‌دهد.

قسمت ۳-۴، صفحه‌ای از مقطع عرضی که شامل نقطه C است به صورت صفحه‌ای می‌ماند، و قوس‌های مختلف دایره‌ای نشان داده شده در شکل ۷۶-۴ الف تبدیل به قوس‌های دایره‌ای و هم مرکزی می‌شوند که مرکز آنها C' ، متفاوت با C ، خواهد بود. به عبارت دقیق‌تر، اگر کوپلهای M و M' در جهت‌های نشان داده شده باشند، اتحانی قوس‌های دایره‌ای مختلف افزایش خواهد یافت؛ یعنی $\angle AC' < \angle AC$. همچنین، توجه کنید که کوپلهای M و M' باعث می‌شوند طول سطح بالایی عضو کاهش یابد ($A'B' < AB$) و طول سطح پایین افزایش یابد ($FG' > FG$). نتیجه می‌شود که عضو دارای سطح ختایی است که طول آن ثابت می‌ماند. فصل مشترک سطح ختی با صفحه xy در شکل ۷۶-۴ بیان شده است. در شکل ۷۶-۴ ج با قوس $D'E'$ به شعاع R' نشان داده شده است. زوایای مرکزی متاظر با DE و $D'E'$ را، به ترتیب، با θ و θ' نشان دهیم. چون طول سطح ختی ثابت است، می‌تویسیم:

$$R\theta = R'\theta' \quad (59-4)$$

حال قوس دایره‌ای JK را، که در ناصله لایه سطح ختی قرار دارد، در نظر می‌گیریم و شعاع این قوس را قبل و بعد از اعمال کوپلهای خمی r و r' نشان می‌دهیم. تغییر شکل JK را به صورت زیر بیان می‌کنیم:

$$\delta = r'\theta' - r\theta \quad (60-4)$$

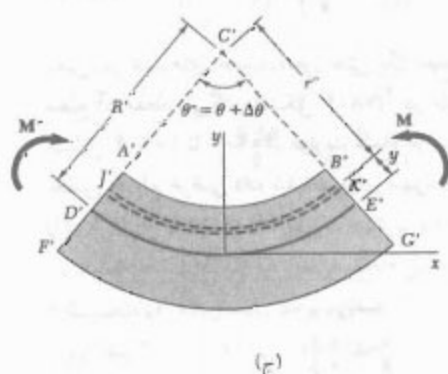


شکل ۷۶-۴

۱۵-۴ خمی عضوهای خمیده

تابه‌حال، فقط تنش‌های ناشی از خمی عضوهای مستقیم را تحلیل کرده‌ایم. اکنون، تنش‌های ناشی از کوپلهای مساوی و متفاصل را که بر عضو خمیده‌ای وارد می‌شوند بررسی می‌کنیم. در این بحث، فقط عضو خمیده با مقطع عرضی یکنواختی را در نظر می‌گیریم که یک صفحه تقارن دارد و کوپلهای خمی در آن صفحه اثر می‌کنند. فرض می‌شود که تنش‌ها کمتر از حد تابع هستند.

اگر اتحانی اولیه عضو کم باشد، یعنی، اگر اتحانی عضو در مقایسه با عمق مقطع عرضی اش بزرگ باشد، می‌توان عضو را مستقیم گرفت. به این ترتیب، با استفاده از فرمول‌های قسمت‌های ۳-۴ و ۴-۴، توزیع تنش را با تقریب خوب می‌توان بدست آورد.^۱ ولی، اگر اتحانی عضو اتحانی و ابعاد مقطع عرضی عضو دارای مرتبه بزرگی یکسان باشند، از تحلیل مهندس آلمانی ای. وینکلر (۱۸۳۵ تا ۱۸۸۸) باید استفاده کرد. عضو خمیده‌ای با مقطع عرضی یکنواخت نشان داده شده در شکل ۷۶-۴ را در نظر بگیرید. مقطع عرضی آن نسبت به محور z تقارن دارد (شکل ۷۶-۴ ب). در حالت پیش‌تش، سطوح بالایی و پایینی مقطع عرضی صفحه عمودی xy را در امتداد قوس‌های دایره‌ای AB و FG ، با مرکز C ، قطع می‌کنند (شکل ۷۶-۴ الف). حال، دو کوپل مساوی و متفاصل M و M' را در صفحه تقارن عضو وارد می‌کنیم (شکل ۷۶-۴ ج). طبق



برای تعیین مکان سطح خشی عضو و مقدار ضریب $E \Delta\theta/\theta$ ، که در معادله‌های (۶۴-۴) و (۶۵-۴) به کار می‌رود، مانند قسمت ۲-۴ برای عضو مستقیم عمل می‌کنیم؛ یعنی، مجموع نیروهای جزئی وارد بر یک مقطع عرضی را مساوی صفر، و مجموع لغزش آنها را نسبت به محور عرضی z مساوی با لغزش خشی M فرار می‌دهیم و معادله‌های زیر را می‌نویسیم:

$$\int \sigma_x dA = 0 \quad (1-4)$$

و

$$\int (-y \sigma_x dA) = M \quad (3-4)$$

با جایگذاری σ_x از (۶۴-۴) در معادله (۱-۴)،

$$-\int \frac{E \Delta\theta}{\theta} \frac{R - r}{r} dA = 0$$

$$\int \frac{R - r}{r} dA = 0$$

$$R \int \frac{dA}{r} - \int dA = 0$$

در نتیجه، فاصله از مرکز انتخابی C تا سطح خشی چنین است:

$$R = \frac{A}{\int \frac{dA}{r}} \quad (66-4)$$

گفتنی است که $R \neq F$ (فاصله از مرکز انتخابی C تا مرکز سطح مقطع عرضی است)، زیرا آن با رابطه زیر تعریف می‌شود:

$$\bar{r} = \frac{1}{A} \int r dA \quad (67-4)$$

یعنی، در عضوهای خمیده، محور خشی یک مقطع عرضی از مرکز سطح آن مقطع نمی‌گذرد (شکل ۷۸-۴). در مثلث ۱۰-۴ و در مسائل ۲۰۷-۴ تا ۲۰۹-۴، عبارت شعاع R سطح خشی برای بعضی مقاطع عرضی داده شده‌اند. برای سهولت، این عبارت‌ها را در شکل ۷۹-۴ نشان داده‌ایم.

* اگر معادله (۶۶-۴) را به صورت زیر بنویسیم:

$$\frac{1}{R} = \frac{1}{A} \int \frac{1}{r} dA \quad (66-4)$$

به خاصیت جالبی برای سطح خشی می‌رسیم. معادله بالا نشان می‌دهد که اگر عضو را به تعداد زیادی مقطع عرضی با مساحت dA تقسیم کنیم، انتخابی $\frac{1}{R}$ سطح خشی با مقدار متوسط انتخابی $\frac{1}{r}$ مقاطع مختلف برابر است.

با توجه به شکل ۷۶-۴،

$$r = R - y \quad r' = R' - y \quad (61-4)$$

با جایگذاری این عبارت‌ها در معادله (۶۰-۴)، داریم

$$\delta = (R' - y) \theta' - (R - y) \theta$$

با توجه به معادله (۵۹-۴) و با قراردادن $\theta' = \theta + \Delta\theta$ در معادله (۶۱-۴)،

$$\delta = -y \Delta\theta \quad (62-4)$$

از تفسیم تغییر شکل δ اجزای قوس JK بر طول اوپلیه θ این قوس، کوشش قائم ϵ_x این اجزا به دست می‌آید:

$$\epsilon_x = \frac{\delta}{r\theta} = -\frac{y \Delta\theta}{r\theta}$$

با توجه به اوپلین رابطه در معادله (۶۱-۴)،

$$\epsilon_x = -\frac{\Delta\theta}{\theta} \frac{y}{R - y} \quad (63-4)$$

طبق این رابطه، در حالی که تمام مقاطع عرضی به صورت صفحه‌ای می‌مانند، کوشش قائم ϵ_x بر حسب از سطح خشی بصورت خطی تغییر نمی‌کند.

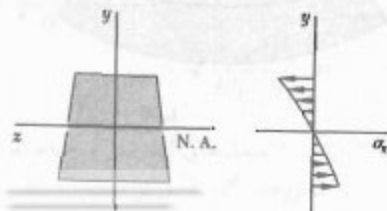
حال، تنش قائم σ_x را از قانون هooke، $\sigma_x = E \epsilon_x$ ، می‌باشیم. برای این منظور، ϵ_x را از معادله (۶۳-۴) جایگذاری می‌کنیم:

$$\sigma_x = -\frac{E \Delta\theta}{\theta} \frac{y}{R - y} \quad (64-4)$$

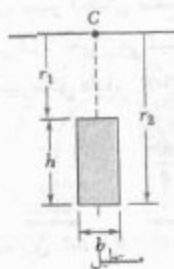
با توجه به رابطه اول در معادله‌های (۶۱-۴)،

$$\sigma_x = -\frac{E \Delta\theta}{\theta} \frac{R - r}{r} \quad (65-4)$$

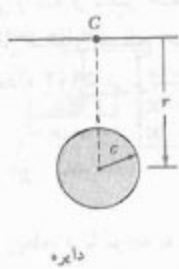
معادله (۶۴-۴) نشان می‌دهد که تنش قائم σ_x ، مانند ϵ_x ، بر حسب فاصله با از سطح خشی بصورت خطی تغییر نمی‌کند. با ترسیم σ_x بر حسب y ، یک قوس هیپربولیک به دست می‌آید.



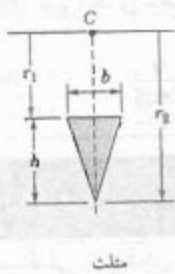
شکل ۷۷-۴



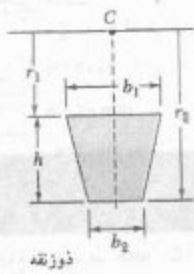
$$R = \frac{h}{\ln \frac{r_2}{r_1}}$$



$$R = \frac{1}{2} (r + \sqrt{r^2 - c^2})$$



$$R = \frac{\frac{1}{2}h}{\frac{r_2}{h} \ln \frac{r_2}{r_1} - 1}$$



$$R = \frac{\frac{1}{2}h^2(b_1 + b_2)}{(b_1 r_2 - b_2 r_1) \ln \frac{r_2}{r_1} - h(b_1 - b_2)}$$

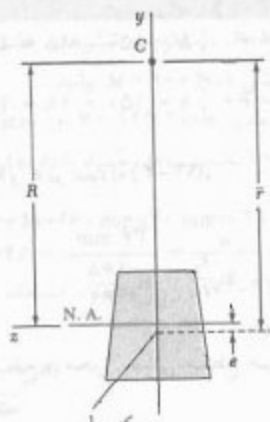
شکل ۷۹-۴ شعاع سطح خشن مقاطع عرضی با شکل‌های مختلف.

با جایگذاری $E \Delta \theta / \theta$ از معادله (۶۹-۴) در معادله‌های (۶۴-۴) و (۶۵-۴)، عبارت‌های زیر برای تنش قائم σ_x در یک تیر خمیده به دست می‌آیند:

$$\sigma_x = - \frac{My}{Ae(R - y)} \quad (70-4)$$

$$\alpha_x = \frac{M(r - R)}{Aer} \quad (71-4)$$

گفتنی است که پارامتر e در معادله‌های بالا، کمیت کوچکی است که از تفاضل R و \bar{r} ، که طول آنها با هم قابل مقایسه است، بدست می‌آید. لذا، برای تعیین σ_x با دقت منطقی، باید R و \bar{r} را با دقت محاسبه کرد، به خصوص اگر R و \bar{r} بزرگ باشند؛ یعنی، وقتی انحنای عضو کوچک باشد. البته، همانطور که قبلاً دیدیم، در این حالت می‌توان با استفاده از فرمول $I / My = \sigma_x$ ، که برای عرضهای مستقیم است، σ_x را با تقریب خوب محاسبه کرد.



شکل ۷۸-۴

با جایگذاری σ_x از (۶۵-۴) در معادله (۳)، می‌نویسیم:

$$\int \frac{E \Delta \theta}{\theta} \frac{R - r}{r} y dA = M$$

چون $y = R - r$

$$\frac{E \Delta \theta}{\theta} \int \frac{(R - r)^2}{r} dA = M$$

با بسط عبارت مجدول در انتگرال بالا و پس از ساده کردن، داریم:

$$\frac{E \Delta \theta}{\theta} \left[R^2 \int \frac{dA}{r} - 2RA + \int r dA \right] = M$$

با توجه به معادله‌های (۶۶-۴) و (۶۷-۴)، جمله اول داخل کروشه مساوی RA و جمله آخر مساوی $\bar{r}A$ است. بنابراین،

$$\frac{E \Delta \theta}{\theta} (RA - 2RA + \bar{r}A) = M$$

با حل $E \Delta \theta / \theta$

$$\frac{E \Delta \theta}{\theta} = \frac{M}{A(\bar{r} - R)} \quad (78-4)$$

از شکل ۷۸-۴ دیده می‌شود که برای $M > 0$ ، $\Delta \theta$ بزرگتر از صفر است. در نتیجه، شکل مقطع عرضی هر چه باشد، $R > \bar{r}$ یا $R < \bar{r}$. لذا، محور خشن مقطع عرضی همواره بین مرکز سطح مقطع عرضی و مرکز انحنای عضو قرار دارد (شکل ۷۸-۴). با جایگذاری $e = R - \bar{r}$ در معادله (۷۸-۴) می‌شود که برای $M > 0$ ، $\Delta \theta > 0$ است.

$$\frac{E \Delta \theta}{\theta} = \frac{M}{Ae} \quad (69-4)$$

با توجه به داده‌ها،

$$r_1 = \bar{r} - \frac{1}{\tau} h = 150 - 18 = 132 \text{ mm}$$

$$r_2 = \bar{r} + \frac{1}{\tau} h = 150 + 18 = 168 \text{ mm}$$

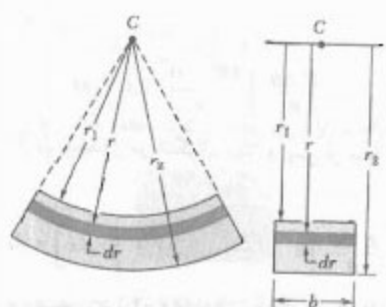
با جایگذاری h , r_1 و r_2 در معادله (۷۳-۴)،

$$R = \frac{h}{\ln \frac{r_2}{r_1}} = \frac{36 \text{ mm}}{\ln \frac{168}{132}} = 149.3 \text{ mm}$$

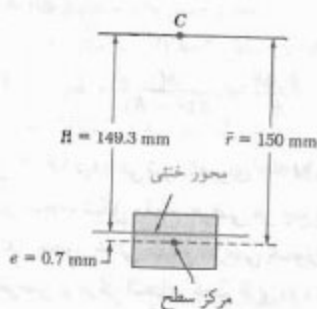
فاصله بین مرکز سطح و محور خشی مقطع عرضی (شکل ۸۲-۴) چنین است:

$$e = \bar{r} - R = 150 - 149.3 = 0.7 \text{ mm}$$

برای تعیین e با دقت معمولی، R را باید تا پنج رقم با معنی محاسبه کرد:



شکل ۸۱-۴



شکل ۸۲-۴

حال، تغییر انحنای سطح خشی را که از لگر خمثی M ناشی می‌شود تعیین می‌کنیم. با حل انحنای سطح خشی در عضو تغییرشکل داده، $1/R'$ ، از معادله ۵۹-۴ می‌توییم:

$$\frac{1}{R'} = \frac{1}{R} \frac{\theta'}{\theta}$$

با جایگذاری $\theta' = \theta + \Delta\theta$ در این رابطه، و با توجه به معادله (۶۹-۴)،

$$\frac{1}{R'} = \frac{1}{R} \left(1 + \frac{\Delta\theta}{\theta} \right) = \frac{1}{R} \left(1 + \frac{M}{EAe} \right)$$

در نتیجه، تغییر انحنای سطح خشی چنین است:

$$\frac{1}{R'} - \frac{1}{R} = \frac{M}{EAeR} \quad (۷۲-۴)$$

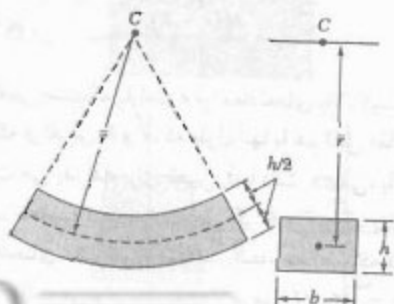
مثال ۱۰-۴

میله مستطیلی خمیده‌ای دارای شعاع متوسط $\bar{r} = 150 \text{ mm}$ است. مقطع عرضی میله به عرض $b = 60 \text{ mm}$ و عمق $h = 36 \text{ mm}$ است (شکل ۸۰-۴). فاصله e بین مرکز سطح و محور خشی مقطع عرضی را باید.

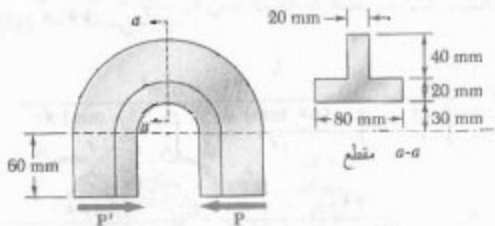
ابتدا، عبارت شعاع R سطح خشی را می‌یابیم. شعاع‌های داخلی و خارجی میله را، به ترتیب، با r_1 و r_2 نشان می‌دهیم. از معادله (۶۶-۴)،

$$R = \frac{A}{\int_{r_1}^{r_2} \frac{dr}{r}} = \frac{bh}{\int_{r_1}^{r_2} \frac{b}{r} dr} = \frac{h}{\int_{r_1}^{r_2} \frac{dr}{r}}$$

$$\Rightarrow R = \frac{h}{\ln \frac{r_2}{r_1}} \quad (۷۳-۴)$$



شکل ۸۰-۴

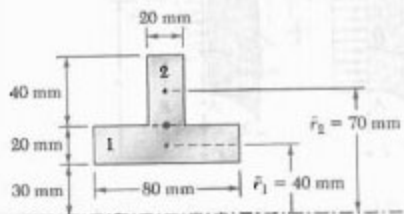


حل

مرکز سطح مقطع عرضی، مرکز سطح D مقطع عرضی را می‌یابیم

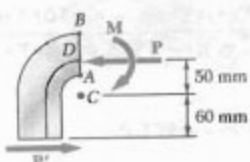
A_i, mm^2	\bar{r}_i, mm	$\bar{r}_i A_i, \text{mm}^3$
$1 (20)(16) = 1600$	۴۰	64×10^6
$2 (4)(20) = 160$	۸۰	56×10^6
$\sum A_i = 1760$		$\sum \bar{r}_i A_i = 120 \times 10^6$

$$\bar{r} = 0.75 \text{ m}$$



نیرو و کوپل در D . نیروهای داخلی در مقطع $a-a$ معادل آند با نیروی P که در D وارد می‌شود و کوپل M با لنگر زیر:

$$M = P(50 \text{ mm} + 70 \text{ mm}) = (0.110 \text{ m})P$$



اصل ترکیب، نیروی مرکزی P باعث ایجاد تنش فشاری یکنواخت در مقطع $a-a$ می‌شود و کوپل خمثی M باعث ایجاد تنش با توزیع متغیر می‌شود [معادله (۷۱-۴)]. توجه داریم که کوپل M منحوه شاعر انحنای عضو را افزایش دهد و لذا مثبت است (به شکل ۷۶-۴ نگاه کنید). تنش کل در یک نقطه از مقطع $a-a$ در فاصله z از مرکز انحنای C برابر است با:

$$\sigma = -\frac{P}{A} + \frac{M(r - R)}{Aer} \quad (1)$$

در مثال ۱۰-۴، ماکریم تنش‌های کششی و فشاری را برای لنگر خمثی $M = 900 \text{ N.m}$ پایابد.

مقادیر $R = 149/3 \text{ mm}$ و $e = 0.7 \text{ mm}$ را، که در مثال ۱۰-۴ بدست آمد، همراه با داده‌های زیر،

$$M = 900 \text{ N.m} \quad A = bh = (60 \text{ mm})(70 \text{ mm}) = 2100 \text{ mm}^2$$

در معادله (۷۱-۴) قرار می‌دهیم. با استفاده از می‌نویسیم:

$$\begin{aligned} \sigma_{\max} &= \frac{M(r_i - R)}{Aer_i} \\ &= \frac{(900 \text{ N.m})(0.168 \text{ m} - 149/3 \text{ m})}{(2100 \times 10^{-6} \text{ m}^2)(0.7 \times 10^{-3} \text{ m})(0.168 \text{ m})} \end{aligned}$$

$$\sigma_{\max} = 84/3 \text{ MPa}$$

اکنون، با جایگذاری $r = r_i = 132 \text{ mm}$ در معادله (۷۱-۴) داریم:

$$\begin{aligned} \sigma_{\min} &= \frac{M(r_i - R)}{Aer_i} \\ &= \frac{(900 \text{ N.m})(0.132 \text{ m} - 149/3 \text{ m})}{(2100 \times 10^{-6} \text{ m}^2)(0.7 \times 10^{-3} \text{ m})(0.132 \text{ m})} \end{aligned}$$

$$\sigma_{\min} = -75/4 \text{ MPa}$$

توجه. مقادیر بدست آمده برای σ_{\max} و σ_{\min} را با نتایج مربوط به یک میله مستقیم مقایسه می‌کنیم. با استفاده از معادله (۱۵-۴) در قسمت ۴-۴،

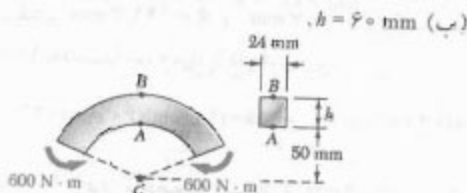
$$\begin{aligned} \sigma_{\max,\min} &= \pm \frac{Mc}{I} \\ &= \pm \frac{(900 \text{ N.m})(0.18 \text{ m})}{\frac{1}{12}(0.06 \text{ m})(0.036)^3} = \pm 94/44 \text{ MPa} \end{aligned}$$

مسئله نمونه ۱۱-۴

یک قطعه مکانیکی با مقطع عرضی T ، مطابق شکل بارگذاری شده است. اگر تنش سنجار فشاری 50 MPa باشد، ماکریم نیروی P را که می‌توان بر قطعه وارد کرد پایابد.

مسائل

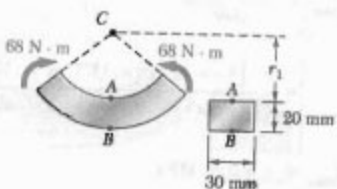
- ۱۵۶-۴ برای میله خمیده و بارگذاری نشان داده شده، مطلوبست تنش در نقطه A و قسمت: (الف) $r_1 = 50 \text{ mm}$



شکل م ۱۵۶-۴ و ۱۵۷-۴

- ۱۵۷-۴ برای میله خمیده و بارگذاری نشان داده شده، تنش در نقاط A و B را برای $h = 50 \text{ mm}$ باید.

- ۱۵۸-۴ برای میله خمیده و بارگذاری نشان داده شده، تنش در نقاط A و B را برای $r_1 = 40 \text{ mm}$ باید.



شکل م ۱۵۸-۴ و ۱۵۹-۴

- ۱۵۹-۴ برای میله خمیده و بارگذاری نشان داده شده، مطلوبست تنش در نقطه A و قسمت: (الف) $r_1 = 30 \text{ mm}$ و (ب) $r_1 = 50 \text{ mm}$

- ۱۶۰-۴ قسمت خمیده میله نشان داده شده دارای شعاع داخلی 20 mm است. اگر خط اثر نیروی 3kN در فاصله $a = 60 \text{ mm}$ از صفحه قائمی که شامل مرکزی انحنای میله است قرار داشته باشد، ماکزیمم تنش فشاری در میله را باید.

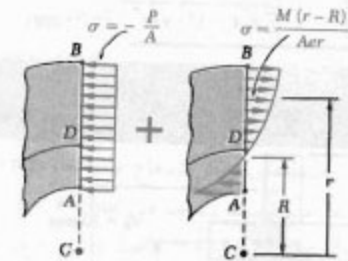
- ۱۶۱-۴ اگر تنش محاز در میله 150 MPa باشد، مطلوبست ماکزیمم مقاومت محاز σ خط اثر نیروی 3kN تا صفحه قائمی که شامل مرکزی انحنای میله است.

شعاع سطح خشی. حال شعاع R سطح خشی را با استفاده از معادله (۶۶-۴) می بایم:

$$\begin{aligned} R &= \frac{A}{\int \frac{dA}{r}} = \frac{2400 \text{ mm}^2}{\int_{r_1}^{r_2} \frac{(\Delta \text{ mm}) dr}{r} + \int_{r_2}^{r_3} \frac{(\gamma \text{ mm}) dr}{r}} \\ &= \frac{2400}{\Delta \ln \frac{\Delta}{\Gamma_0} + \gamma \ln \frac{\gamma}{\Delta}} = \frac{2400}{40,896 + 11,756} \\ &= 45,61 \text{ mm} = 0,4561 \text{ m} \end{aligned}$$

همچنین:

$$e = \bar{r} - R = 0,05000 \text{ m} - 0,04561 \text{ m} = 0,00439 \text{ m}$$

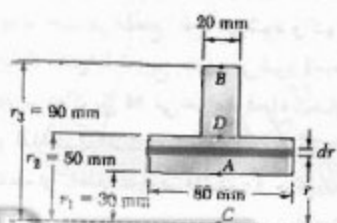


بار محاز. ماکزیمم تنش فشاری در نقطه A، یعنی در $r = 0,030 \text{ m}$ ، $\sigma_{\text{all}} = 50 \text{ MPa}$ می دهد. با استفاده از معادله (۱)،

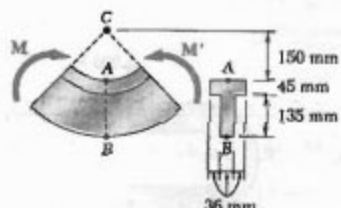
$$\begin{aligned} -50 \times 10^6 \text{ Pa} &= -\frac{P}{2,4 \times 10^{-7} \text{ m}^3} \\ &+ \frac{(0,110 P)(0,030 \text{ m} - 0,04561 \text{ m})}{(2,4 \times 10^{-7} \text{ m}^3)(0,00439 \text{ m})(0,030 \text{ m})} \end{aligned}$$

$$\Rightarrow -50 \times 10^6 = -417 P - 5432 P$$

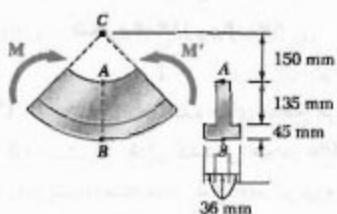
$$\Rightarrow P = 1,00 \text{ kN} \quad \blacktriangleleft$$



اگر $M = ۲۰ \text{ kN.m}$ و $M' = ۱۶۹-۴$ مطلوب است:
 (الف) تنش در نقطه A ، (ب) تنش در نقطه B .

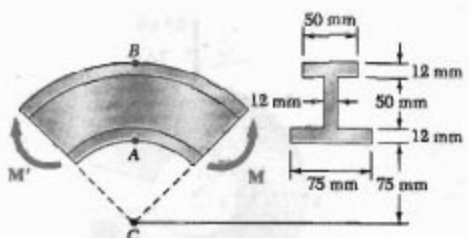


شکل ۱۶۵-۴



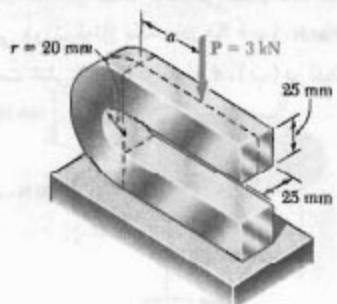
شکل ۱۶۶-۴

سه ورق بهم جوش شده‌اند و تیر خمیده نشان داده شده را تشکیل داده‌اند. برای بارگذاری داده شده، فاصله e بین محور خشنی و مرکز سطح مقطع عرضی را باید.



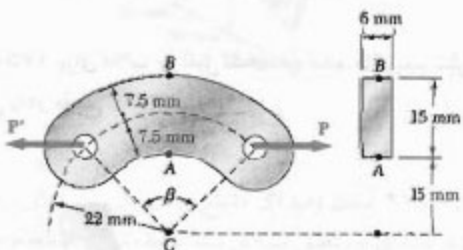
شکل ۱۶۷-۴

سه ورق بهم جوش شده‌اند و تیر خمیده نشان داده شده را تشکیل داده‌اند. برای $M = ۹۰ \text{ N.m}$ ، مطلوب است:
 (الف) تنش در نقطه A ، (ب) تنش در نقطه B ، (ج) تنش در مرکز سطح مقطع عرضی.



شکل ۱۶۱-۴

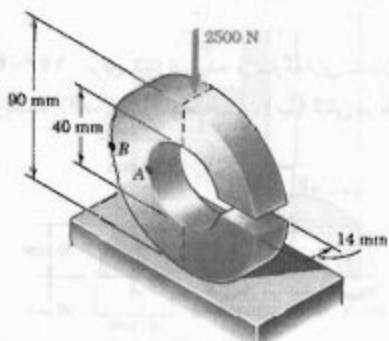
میله‌های فولادی با مقطع عرضی نشان داده شده و زوایای مرکزی مختلف β در دسترس‌اند. اگر تنش ماکزیمم 100 MPa باشد، ماکزیمم نیروی P را که می‌توان در حالت $\beta = ۹۰^\circ$ بر میله وارد کرد باید.



شکل ۱۶۲-۴

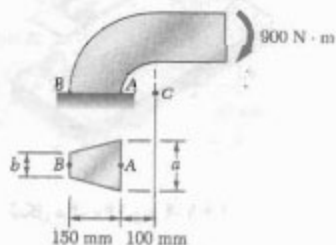
مسئله ۱۶۲-۴ را با فرض $\beta = 60^\circ$ حل کنید.

برای حلقه شیاردار نشان داده شده، مطلوب است تنش: (الف) در نقطه A ، (ب) در نقطه B .



شکل ۱۶۴-۴

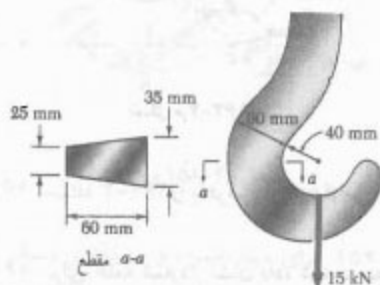
۱۷۳-۴ اگر قطعه مکانیکی نشان داده شده دارای مقطع عرضی ذوزنقه‌ای با $a = 90\text{ mm}$ و $b = 62\text{ mm}$ باشد، مطلوبست: تنش: (الف) در نقطه A ، (ب) در نقطه B .



شکل ۱۷۳-۴ و ۱۷۴-۴

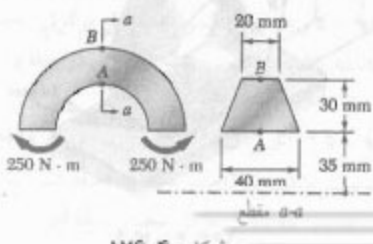
۱۷۴-۴ اگر قطعه مکانیکی نشان داده شده دارای مقطع عرضی ذوزنقه‌ای با $a = 90\text{ mm}$ و $b = 62\text{ mm}$ باشد، مطلوبست: (الف) تنش در نقطه A ، (ب) تنش در نقطه B .

۱۷۵-۴ برای قلاب جرثقیل نشان داده شده، ماکزیمم تنش کششی را در مقطع $a-a$ بیابید.



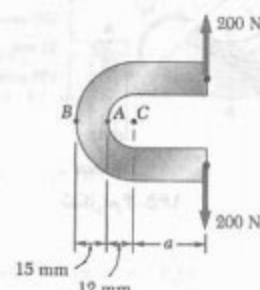
شکل ۱۷۵-۴

۱۷۶-۴ برای تیر خمیده و بارگذاری نشان داده شده، مطلوبست: (الف) تنش در نقطه A ، (ب) تنش در نقطه B .



شکل ۱۷۶-۴

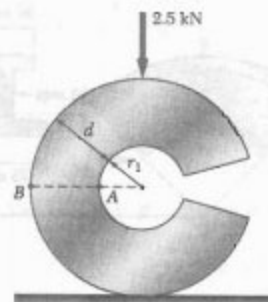
۱۶۹-۴ میله نشان داده شده دارای مقطع عرضی دایره‌ای به قطر ۱۵ mm است. اگر $a = 30\text{ mm}$ ، مطلوبست: (الف) تنش در نقطه A ، (ب) تنش در نقطه B .



شکل ۱۶۹-۴ و ۱۷۰-۴

۱۷۰-۴ میله نشان داده شده دارای مقطع عرضی دایره‌ای به قطر ۱۵ mm است. اگر تنش کششی مجاز 55 MPa باشد، مطلوبست ماکزیمم فاصله مجاز a از خط اثر نیروی 200 N تا صفحه‌ای که شامل مرکز انحنای میله است.

۱۷۱-۴ حلقه شکافدار نشان داده شده دارای شعاع داخلی $r_1 = 20\text{ mm}$ و مقطع عرضی دایره‌ای به قطر $d = 32\text{ mm}$ است. برای بارگذاری نشان داده شده، مطلوبست: (الف) تنش در نقطه A ، (ب) تنش در نقطه B .



شکل ۱۷۱-۴ و ۱۷۲-۴

۱۷۲-۴ حلقه شکافدار نشان داده شده دارای شعاع داخلی $r_1 = 16\text{ mm}$ و مقطع عرضی دایره‌ای به قطر $d = 32\text{ mm}$ است. برای بارگذاری نشان داده شده، مطلوبست: (الف) تنش در نقطه A ، (ب) تنش در نقطه B .

با استفاده از معادله (۶۶-۴) عبارت
داده شده در مسئله ۷۹-۴ را در حالت‌های زیر بباید:

۱۸۰-۴ مقطع عرضی دایره‌ای

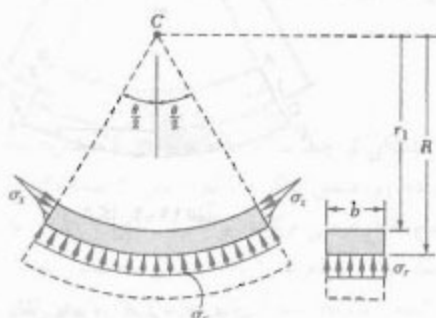
۱۸۱-۴ مقطع ذوزنقه‌ای

۱۸۲-۴ مقطع مثلثی

۱۸۳-۴ برای تیر خمیده با مقطع عرضی مستطیلی که
تحت کوبی خمیشه می‌شود، نشان دهید که نش شعاعی در
سطح خشنی عبارت است از

$$\sigma_r = \frac{M}{Ae} \left(1 - \frac{r_1}{R} - \ln \frac{R}{r_1} \right)$$

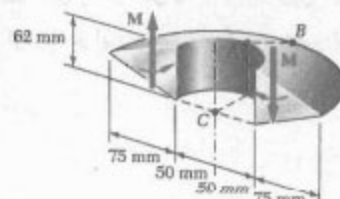
و مقادیر σ_r را برای تیر خمیده مثال‌های ۱۰-۴ و ۱۱-۴ محاسبه
کنید. (راهنمایی: نمودار آزاد قسمتی از تیر را که بالای سطح
خشنه است در نظر بگیرید).



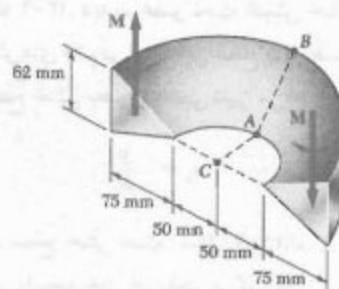
شکل ۱۸۳-۴

۱۷۷-۴ و ۱۷۸-۴ اگر $M = 560 \text{ N.m}$ ، مطلوب است:

(الف) نش در نقطه A، (ب) نش در نقطه B.



شکل ۱۷۷-۴

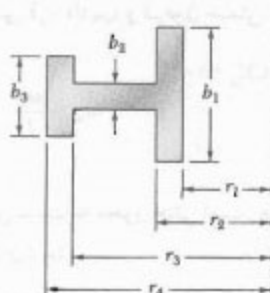


شکل ۱۷۸-۴

۱۷۹-۴ نشان دهید اگر مقطع عرضی تیر خمیده‌ای از دو یا
تعداد بیشتری مستطیل تشکیل شده باشد، شعاع R سطح خشنی
را به صورت زیر می‌توان بیان کرد

$$R = \frac{A}{\ln \left[\left(\frac{r_1}{r_t} \right)^{b_1} \left(\frac{r_2}{r_t} \right)^{b_2} \left(\frac{r_3}{r_t} \right)^{b_3} \right]}$$

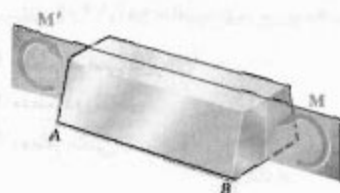
که در آن A مساحت کل مقطع عرضی است.



شکل ۱۷۹-۴

مorum و خلاصه فصل ۴

در این فصل، تنش و تغییرشکل عضوهایی را که تحت کوپل‌های مساوی و متساوی M و M' قرار دارند، بررسی کردیم؛ در این حالت، می‌گویند عضو تحت خمش خالص است (شکل ۱-۴).

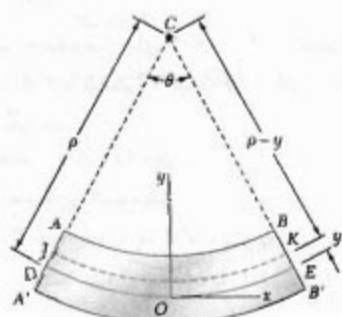


شکل ۱-۴

ابتدا، عضوهایی را مطالعه کردیم که دارای صفحه تقارن بودند و کوپل‌ها در آن صفحه وارد می‌شدند. نشان دادیم که، با تغییرشکل عضو، مقاطع عرضی بعضویت صفحه‌ای می‌مانند (قسمت ۳-۴). دیدیم عضو تحت خمش خالص دارای یک سطح خشی است، تنش‌ها و کرنش‌های قائم در امتداد این سطح صفر هستند و کرنش قائم طولی و برحسب فاصله لازم سطح خشی بعضویت خطی تغییر می‌کند:

$$\epsilon_x = -\frac{y}{\rho} \quad (14-4)$$

که در آن، ρ شعاع انحنای سطح خشی است (شکل ۱۲-۴الف). فصل مشترک سطح خشی با یک مقطع عرضی رامحور خشی آن مقطع می‌گویند.



شکل ۱۲-۴الف

برای عضوهای مشکل از چند ماده که از قانون هوک پیروی می‌کنند (قسمت ۴-۴)، تنش قائم σ_z برحسب فاصله از محور خشی بعضویت خطی تغییر می‌کند (شکل ۱۳-۴). اگر تنش ماکریم را با σ_m نشان دهیم،

$$\sigma_z = -\frac{y}{c} \sigma_m \quad (12-4)$$

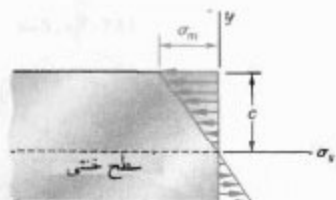
که در آن، c ماکریم فاصله یک نقطه از مقطع تا محور خشی است. با مساوی صفر قرار دادن مجموع نیروهای جزئی $\sigma_z dA$ ، نشان دادیم که محور خشی از مرکز سطح مقطع عرضی عضوی که تحت خمش خالص است می‌گذرد. سپس، مجموع لنگر نیروهای جزئی را مساوی لنگر خمشی قرار دادیم، و فرمول خشن الاستیک را برای ماکریم تنش قائم بدست آوردیم:

$$\sigma_m = \frac{Mc}{I} \quad (15-4)$$

که در آن، I مinan اینرسی مقطع عرضی نسبت به محور خشی است. همچنین، تنش قائم را در فاصله لازم محور خشی بدست آوردهیم:

$$\sigma_z = -\frac{My}{I} \quad (16-4)$$

تش قائم در گستره الاستیک



شکل ۴-۱۳

فرمول خشن الاستیک

مدول الاستیک

با توجه به اینکه ۱ و ۲ به شکل هندسی مقطع عرضی بستگی دارند، مدول الاستیک را با تعریف زیر در نظر گرفتیم:

$$S = \frac{I}{c} \quad (17-4)$$

سپس، عبارت زیر را برای ماکریم تنش قائم نوشتیم:

$$\sigma_m = \frac{M}{S} \quad (18-4)$$

با توجه به اینکه انحنای عضو معکوس شعاع انحنای آن است، انحنای عضو را به صورت زیر نوشتیم:

$$\frac{1}{\rho} = \frac{M}{EI} \quad (21-4)$$

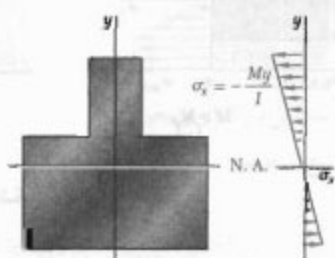
در قسمت ۴-۵، در بررسی خمین عضوهای همگن دارای صفحه تقاضن دیدیم که تغییرشکل‌ها در صفحه مقطع عرضی روی می‌دهند و انحنای غیراستیک عضو را ایجاد می‌کنند.

انحنای عضو

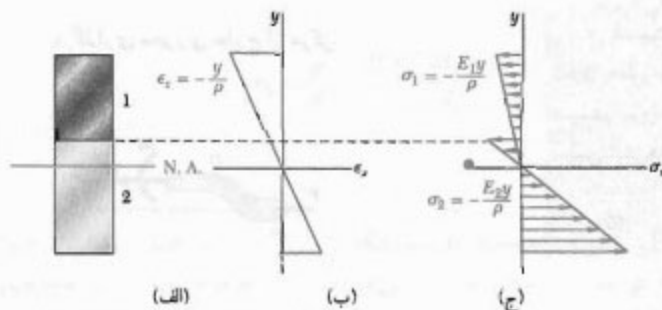
سپس، خمین عضوهای مختلف از چند ماده با مدول‌های الاستیته مختلف را بررسی کردیم (قسمت ۶-۴). دیدیم، ضمن اینکه مقاطع به صورت صفحه‌ای می‌مانند، محور خشی معمولاً از مرکز سطح مقطع عرضی مرکب نمی‌گذرد (شکل ۲۴-۴). با استفاده از نسبت مدول‌های الاستیته مواد، مقطع تبدیل یافته متناظر با عضو معادلی را که تماماً از یک نوع ماده ساخته شده است بدست آوردیم. سپس، برای تعیین تنش در این عضو همگن (شکل ۲۶-۴)، از روش‌های قبل و برای تعیین تنش در تیر مرکب از نسبت مدول‌های الاستیته استفاده کردیم (مسئل نمونه ۳-۴ و ۴-۴).

انحنای غیر الاستیک

عضوهای چندماده‌ای



شکل ۴-۲۶

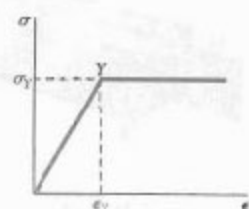


شکل ۴-۲۴

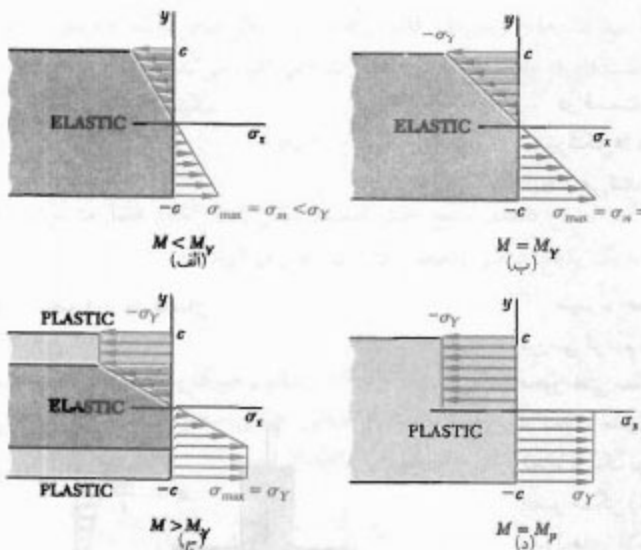
تمرکز تنش

در قسمت ۴-۷، تمرکز تنش را در عضوهای تحت خمش خالص بررسی کردیم و نمودار ضریب تمرکز تنش را برای میله‌های مستقیم و گردیدار و شیاردار را در شکل‌های ۴-۲۱ و ۴-۳۲ نشان دادیم.

سپس، دیدیم که عضوهای چند ماده‌ای از قانون هوک پیروی نمی‌کنند (قسمت ۴-۸). در بررسی تیر مستطیلی ااستوپلاستیک (شکل ۴-۳۹) هنگام افزایش لنگر خمشی دیدیم که ماقریم لنگر الاستیک M_y هنگام شروع تسلیم در تیر به وجود می‌آید (شکل ۴-۴۰). با افزایش بیشتر لنگر خمشی، مناطق پلاستیک به وجود می‌آمدند و اندازه هسته الاستیک عضو کاهش می‌یافتد (قسمت ۴-۹). سرانجام، تیر کاملاً پلاستیک می‌شد در این حالت، لنگر پلاستیک M_p (لنگر ماقریم) را داشتیم. در قسمت ۱۱-۴، تغییرشکل‌های دائمی و تنش‌های باقیمانده در یک عضو را پس از حذف بارهایی که باعث تسلیم شده‌اند بررسی کردیم.



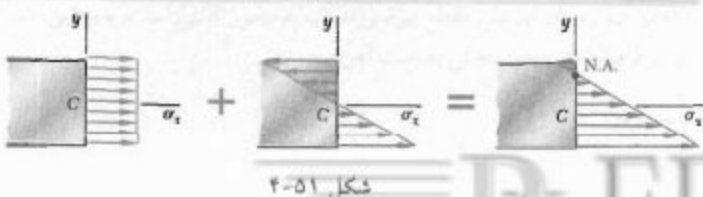
شکل ۴-۳۹



شکل ۴-۴۰

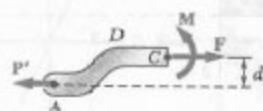
در قسمت ۴-۱۲، با استفاده از روش‌های قبل، تنش در عضوهایی را که در صفحه تقارن به طور خارج از مرکز بارگذاری شده‌اند مطالعه کردیم. باز خارج از مرکز را با یک سیستم نیرو و کوپل واقع در مرکز سطح مقطع عرضی جایگزین (شکل ۴-۴۸-۲) و سپس تنش‌های ناشی از بار مرکزی و کوپل خمشی را ترکیب کردیم (شکل ۴-۵۱):

$$\sigma_t = \frac{P}{A} - \frac{My}{I} \quad (4-4)$$



شکل ۴-۵۱

بارگذاری محوری خارج از مرکز



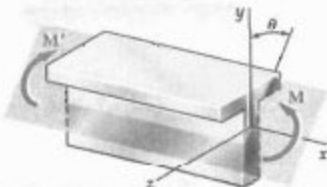
شکل ۴-۴۸-۲

سپس، خمین عضوها با مقطع عرضی نامتناهی را بررسی کردیم [قسمت ۱۶-۴]. دیدیم که اگر بردار M در امتداد یکی از محورهای اصلی گذرا از مرکز سطح مقطع عرضی باشد، فرمول خمین را می‌توان به کار برد. در هنگام لزوم، M را به مؤلفه‌ایش در امتداد محورهای اصلی تجزیه می‌کردیم و تنش‌های ناشی از کوپل‌های مؤلفه‌ای را با هم ترکیب می‌کردیم (شکل‌های ۴-۶۰ و ۴-۶۱).

$$\sigma_x = -\frac{M_z y}{I_z} + \frac{M_y z}{I_y} \quad (55-4)$$

برای کوپل M نشان داده شده در شکل ۴-۶۵، وضعیت محور خنثی را از معادله زیر بدست آوردیم:

$$\tan \phi = \frac{I_z}{I_y} \tan \theta \quad (57-4)$$



شکل ۴-۶۰

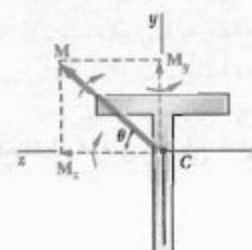
این حالت در قسمت ۱۶-۴ بررسی شد. در این قسمت بود که مجدداً بار را با یک سیستم نیرو-کوپل واقع در مرکز سطح جایگزین می‌کردیم. سپس، تنش‌های ناشی از بار مرکزی و دو مؤلفه کوپل واقع در امتداد محورهای اصلی را با هم ترکیب می‌کردیم:

$$\sigma_x = \frac{P}{A} - \frac{M_z y}{I_z} + \frac{M_y z}{I_y} \quad (58-4)$$

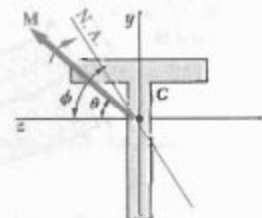
با تحلیل تنش در عضوهای خمیده (شکل ۴-۷۶الف)، این فصل را به پایان بردیم. دیدیم که اگر عضو خمیده‌ای تحت خمین قوارگیرد، مقطع عرضی به صورت صفحه‌ای می‌ماندند، و تنش بصورت خطی تغییر نمی‌کند و سطح خنثی از مرکز سطح مقطع عرضی نمی‌کلند. فاصله مرکز انجنای عضو تا سطح خنثی چنین بود:

$$R = \frac{A}{\int \frac{dA}{r}} \quad (4-64)$$

خمین نامتناهی



شکل ۴-۶۱



شکل ۴-۶۵

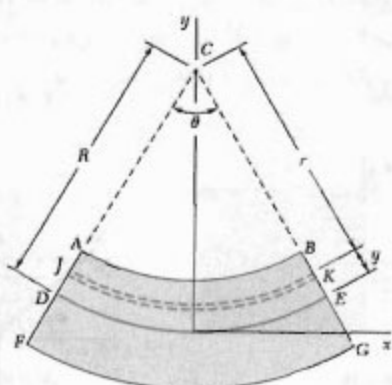
حالات کلی بارگذاری محوری
خارج از مرکز

عرضهای خمیده

که در آن، A مساحت مقطع عرضی است. تنش قائم در فاصله لازم سطح خشی به صورت زیر بیان شد:

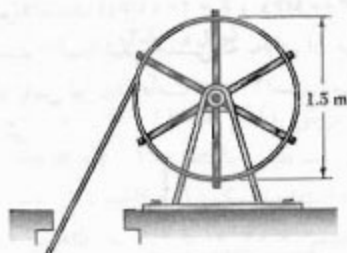
$$\sigma_x = - \frac{My}{Ae(R - y)} \quad (\text{V}o-4)$$

که در آن M نگر خمینی و e فاصله مرکز سطح مقطع عرضی تا سطح خشی است.



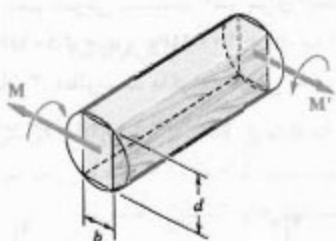
شکل ۴-۷۶ الف

۱۸۷-۴ گاهی، برای تمیز کردن مجراهای زیرزمینی گه مسدود شده‌اند از میله‌های مستقیم بدقتار 8 mm و به طول 9 m استفاده می‌شود. میله‌ها از فولاد پراستقامت ساخته شده‌اند و پیرامون فرقه‌هایی بدقتار $1,5\text{ m}$ بیچیده شده‌اند. اگر بخواهیم تنش در میله‌ها از استقامت تسلیم بیشتر نشود، مطلوبست: (الف) ماکریمم تنش در میله وقتی میله، که در ابتدا مستقیم است، پیرامون قرقره بیچده شود، (ب) لگر خمی متانظر در میله از $E = 200\text{ GPa}$ باشد.



شکل ۱۸۷-۴

۱۸۸-۴ کوبیل M بر تیر، با مقطع عرضی نشان داده شده، وارد شده است. می‌خواهیم این تیر را با ازه کردن الواری با مقطع عرضی دایره‌ای به دست آوریم. مطلوبست نسبت d/b که بمازای آن: (الف) تنش ماکریمم σ_m تا حد امکان کوچک باشد، (ب) شعاع انحنای تیر به ماکریمم برسد.

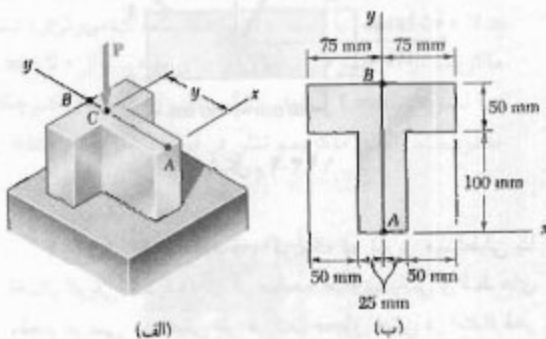


شکل ۱۸۸-۴

۱۸۹-۴ یک تسمه مسی (۱۰۵ GPa) و یک تسمه آلمینیومی (۷۵ GPa) به یکدیگر متصل شده‌اند و میله مرکب نشان داده شده را تشکیل داده‌اند. اگر میله با اعمال کوبیل 35 N.m حول یک محور افقی خم شود، مطلوبست ماکریمم تنش: (الف) در تسمه آلمینیومی، (ب) در تسمه مسی.

مسائل تكميلي

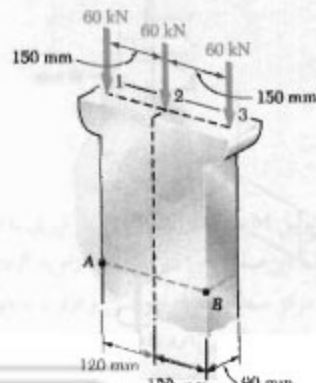
۱۸۴-۴ نیروی عمودی P با مقدار 80 kN در نقطه C روی محور تقارن مقطع عرضی یک ستون کوتاه وارد شده است اگر $y = 120\text{ mm}$ باشد، مطلوبست: (الف) تنش در نقطه A، (ب) تنش در نقطه B، (ج) مکان محور خوش:



شکل ۱۸۴-۴ و ۱۸۵-۴

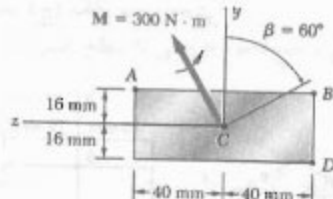
۱۸۵-۴ نیروی عمودی P با مقدار 80 kN در نقطه C روی محور تقارن مقطع عرضی ستون نشان داده شده وارد شده است. مطلوبست گستره مقدار لا به طوری که تنش کششی در ستون روی نهد.

۱۸۶-۴ مطلوبست تنش در نقاط A و B: (الف) برای بارگذاری نشان داده شده، (ب) برای بارهای 60 kN که فقط در نقاط ۱ و ۲ وارد می‌شوند.



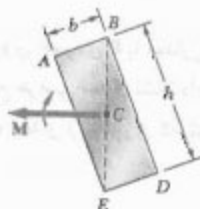
شکل ۱۸۶-۴

۱۹۳-۴ کوپل M در صفحه‌ای که با عمود زاویه β دارد بر مقطع عرضی تیر نشان داده شده وارد شده است. تنش را در نقاط زیر باید: (الف) A، (ب) B، (ج) C



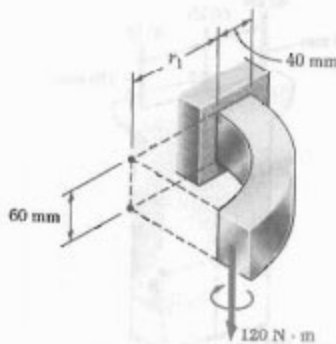
شکل ۱۹۳-۴

۱۹۴-۴ نشان دهد که، اگر یک تیر توپر مستطیلی با اعمال کوپلی خم شود که در صفحه حاوی یکی از قطرهای مقطع عرضی مستطیلی اثر می‌کند، محور خشتم در امتداد قطر دیگر خواهد بود.

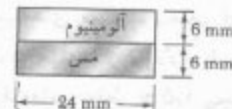


شکل ۱۹۴-۴

۱۹۵-۴ میله خمیده نشان داده شده دارای مقطع عرضی ۴۰ mm × ۶۰ mm و شعاع داخلی $r_1 = 15$ mm است. برای بارگذاری نشان داده شده، ماکریم تنش‌های کششی و فشاری را باید.

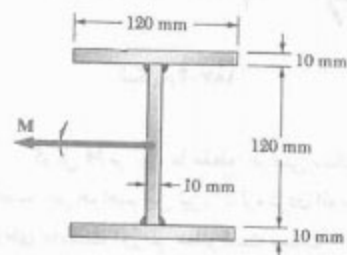


شکل ۱۹۵-۴



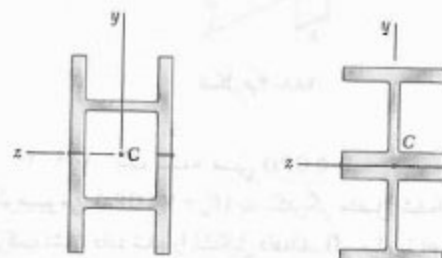
شکل ۱۸۹-۴

۱۹۰-۴ سه ورق فولادی ۱۲۰ mm × ۱۰ mm بهم جوش شده‌اند و تیر نشان داده شده را تشکیل داده‌اند. با فرض اینکه تیر الاستوپلامستیک (الف) لنگر خمی که به‌ازای آن مناطق پلاستیک مطلوبست: (الف) لنگر خمی که به‌ازای آن مناطق پلاستیک در بالا و پایین تیر به ضخامت ۴۰ mm است، (ب) شعاع انحنای متناظر تیر.



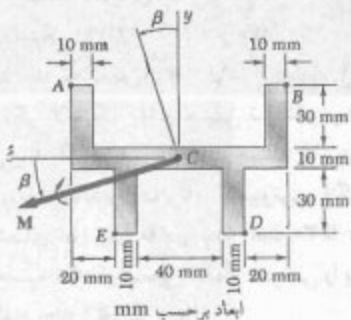
شکل ۱۹۰-۴

۱۹۱-۴ و ۱۹۲-۴ دو مقطع نورد شده ۱۹/۳ W ۱۰۰ × ۱۹/۳ مطابق شکل بهم جوش شده‌اند. اگر برای آلیاژ فولادی به کار رفته $M_p = 250$ MPa و $\sigma_y = 400$ MPa، با استفاده از ضریب اطمیان ۳، مطلوبست ماکریم کوپلی که می‌توان وارد کرد تا مجموعه حول محور z خم شود.



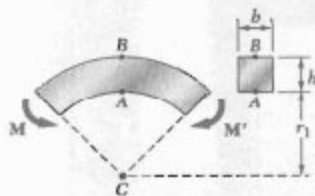
شکل ۱۹۲-۴

شکل ۱۹۱-۴



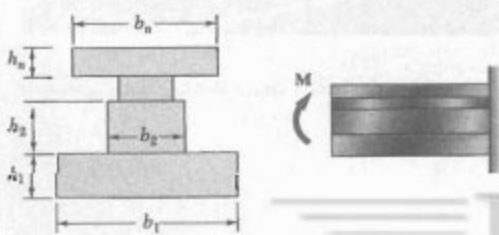
شکل م-۴-۵

۴-۴ کوپلی با لنگر $M = 2 \text{ kN.m}$ بر تیر خمیده‌ای با مقطع عرضی مستطیلی، با $b = 25 \text{ mm}$ و $h = 100 \text{ mm}$ وارد شده است. با استفاده از یک برنامه کامپیوتی، تنش در نقاط A و B را برای نسبت r/h از $1/1$ تا $1/10$ با نمودار کاهشی^۱، و از 1 تا 10 ، با نمودار کاهشی^۲ محاسبه کنید. با استفاده از نمودهای کوچکتر، مطلوبست r/h که به ازای آن تنش ماکزیمم در تیر خمیده 5% بزرگتر از تنش ماکزیمم در میله مستقیمی با همان مقطع عرضی باشد.



شکل م-۴-۵

۴-۵ کوپل M بر تیری با مقطع عرضی نشان داده شده وارد شده است. (الف) با استفاده از یک برنامه کامپیوتی، ماکزیمم تنش‌های کششی و فشاری را در تیر بیاید. (ب) از این برنامه برای حل مسائل ۴-۷، ۴-۸ و ۴-۹ استفاده کنید.

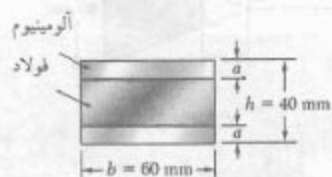


شکل م-۴-۵

مسائل کامپیوتی

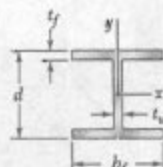
مسائل زیر برای حل با کامپیوت طرح شده‌اند.

۴-۵ دو تسمه آلومینیومی و یک تسمه فولادی به یکدیگر متصل و عضو مرکبی با عرض $b = 60 \text{ mm}$ و $h = 40 \text{ mm}$ را تشکیل داده‌اند. مدول الاستیستیه فولاد 200 GPa و برای آلومینیوم 75 GPa است. اگر $M = 1500 \text{ N.m}$ ، با استفاده از یک برنامه کامپیوتی، تنش ماکزیمم در آلومینیوم و در فولاد را برای مقادیر a از 20 mm تا 2 mm بسازید. با استفاده از نمودهای کوچکتر، مطلوبست: (الف) ماکزیمم تنش در فولاد (ب) مقدار متناظر a



شکل م-۴-۵

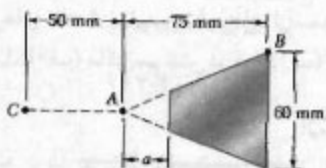
۴-۶ تیری با مقطع عرضی نشان داده شده، از فولاد الاستیولاستیک با استقامت تسلیم σ_y و مدول الاستیستیه E ، حول محور x خم شده است. (الف) اگر نصف ضخامت هسته الاستیک را با $\pi/4$ نشان دهیم، با استفاده از یک برنامه کامپیوتی، لنگر خمی M و شعاع انحنای r را برای مقادیر σ/y از $1/4$ تا $1/10$ با نمودهای^۱ محاسبه کنید. از اثر گرددها صرفنظر کنید. (ب) از این برنامه برای حل مسئله ۴-۱۹ استفاده کنید.



شکل م-۴-۶

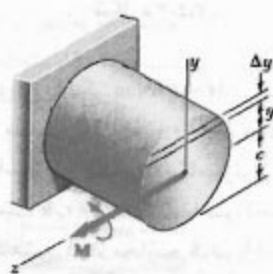
۴-۶ کوپل M با مقدار 900 N.m بر تیری با مقطع عرضی نشان داده شده در صفحه‌ای که با عمود زاویه β و محور z وارد شده است. اگر C مرکز سطح مقطع عرضی و L_z محورهای اصلی باشند، با استفاده از یک برنامه کامپیوتی، تنش در A ، B ، C و D را برای مقادیر β از 0° تا 180° با نمودهای^۱ محاسبه کنید. (داده: $L_z = 0.62 \times 10^6 \text{ mm}$ و $I_y = 2.592 \times 10^8 \text{ mm}^4$)

۴-۷ در قطعه مکانیکی مسئله ۴-۱۷۸، یک قسمت با مقطع عرضی مثلثی به عرض « a » را حذف می‌کنیم، تا تنش ماکریم در این قطعه کاهش یابد. برای وارسی صحت این طرح، با استفاده از یک برنامه کامپیوتی، تنش ماکریم در قطعه را برای مقادیر a از 0 تا 25 mm با نمودهای $2,5\text{ mm}$ محاسبه کنید. با استفاده از نمودهای کوچکتر، مطلوبیت فاصله a که بعایزی آن تنش ماکریم تا حد امکان کوچک باشد.



شکل ۴-۷

۴-۶ میله توپری با شعاع $c = 30\text{ mm}$ از فولاد الاستریولاستیک ($\sigma_y = 290\text{ MPa}$ و $E = 200\text{ GPa}$) ساخته شده است. میله تحت کوپل M قرار دارد. این کوپل از صفر تا M_p ماکریم لنگر الاستیک M_y و سپس تا لنگر پلاستیک M_u افزایش می‌باید. اگر نصف ضخامت هسته الاستیک را با y نشان دهیم، با استفاده از یک برنامه کامپیوتی، لنگر خمشی M و شعاع انحنای c را برای مقادیر y از 0 تا 30 mm با نمودهای 5 mm محاسبه کنید. (دهنمایی: مقطع عرضی را به 80 mm افقی با ارتفاع 1 mm ۱ تقسیم کنید).



شکل ۴-۶

۶

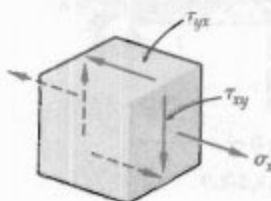
تنش برشی در تیرها و عضوهای جدار نازک



از اتصال کف بتی تقویت شده و قسمت های فولادی، یک پل تیر ورق جعبه ای تشکیل شده است.
در این فصل، تنش برشی در انواع تیرها تعیین می شود.

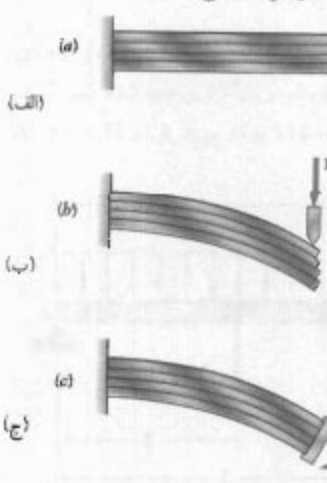
۱-۶ مقدمه

در قسمت ۱-۵ دیدیم که بارگذاری عرضی باعث ایجاد تنش‌های قائم و برشی در مقاطع عرضی تیر می‌شود. تنش قائم بر اثر کوپل خمشی M و تنش برشی بر اثر نیروی برشی V به وجود می‌آید. چون ماکزیمم مقدار تنش قائم معیار اصلی برای استقامت تیر است، در فصل ۵ فقط تنش قائم را تعیین کردیم. ولی، تنش برشی نیز می‌تواند مهم باشد (بهخصوص، در طراحی تیرهای کوتاه)، و در قسمت اول این فصل به تحلیل آن می‌پردازیم.

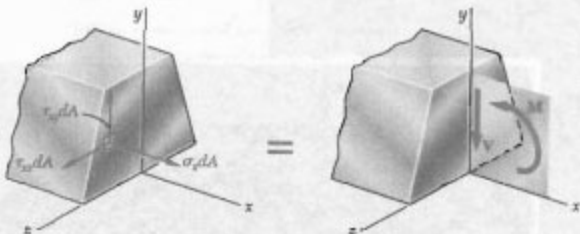


شکل ۲-۶

اما از فصل ۱ به‌خطابه داریم که اگر تنش‌های برشی τ_{xy} بر وجود عمودی یک جزء وارد شوند، بر وجود افقی آن نیز وارد می‌شوند. یعنی، در هر عضوی که تحت بارگذاری عرضی است تنش برشی طولی وجود دارد. برای اثبات این موضوع، یک تیر طرهای چند تکه را درنظر می‌گیریم (شکل ۳-۶(الف)). وقتی بار عرضی P بر انتهای آزاد این تیر مرکب وارد می‌شود، تکه‌های آزاد تیر مرکب وارد شود (شکل ۳-۶(ج))، این تکه‌ها بر انتهای قوس‌های دایره‌ای هم مرکز خمیده می‌شوند و نسبت به یکدیگر نمی‌لغزند. یعنی، در تیری که تحت خمس خالص است نیروی برشی به وجود نمی‌آید (به قسمت ۳-۴ نگاه کنید).



شکل ۳-۶



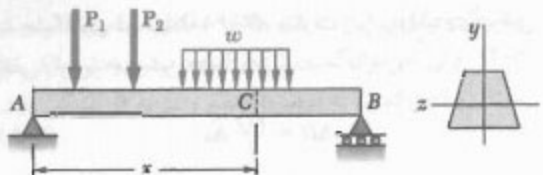
شکل ۱-۶

شکل ۱-۶ نشان می‌دهد که نیروهای جزئی قائم و برشی وارد بر یک مقطع عرضی از تیر منشوری، که صفحه تقارن عمودی دارد، با کوپل خمشی M و نیروی برشی V معادل است. این موضوع را با شش معادله می‌توان نشان داد. سه تا از این معادله‌ها، معادله‌های (۱-۴)، (۲-۴) و (۳-۴)، فقط شامل نیروهای قائم $\sigma_x dA$ هستند که قابل در قسمت ۲-۴ بررسی شدند. طبق این معادله‌ها، مجموع نیروهای قائم صفرند و مجموع لنگر آنها نسبت به محور z برابر با صفر و نسبت به محور z برابر با M است. حال، سه معادله اضافی، شامل نیروهای برشی $\tau_{xy} dA$ و $\tau_{yx} dA$ ، را می‌نویسیم. طبق یکی از آنها، مجموع لنگر نیروهای برشی نسبت به محور x صفر است. با توجه به تقارن تیر نسبت به صفحه xy ، این معادله زاید است و آن را می‌توان کنار گذاشت. دو معادله دیگر عبارتند از:

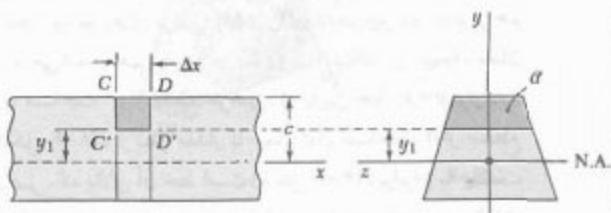
$$(۱-۶) \int \tau_{xy} dA = -V : \text{در جهت } y$$

$$(۲-۶) \int \tau_{xz} dA = 0 : \text{در جهت } z$$

معادله اول نشان می‌دهد که در یک مقطع عرضی از تیری که تحت بارگذاری عرضی است تنش‌های برشی عمودی وجود دارد.



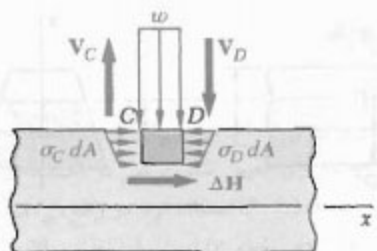
شکل ۶-۵



شکل ۶-۶

نیروهای وارد بر این جزء متشکل اند از نیروهای برش عمودی V_D' و V_C' ، نیروی برش افقی ΔH که بر وجه پایینی جزء وارد می‌شود، نیروهای جزئی قائم افقی $\sigma_C dA$ و $\sigma_D dA$ و بار $w \Delta x$ (شکل ۷-۶). معادله تعادل را می‌نویسیم:

$$\rightarrow \sum F_x = 0 : \quad \Delta H + \int_a^b (\sigma_D - \sigma_C) dA = 0$$



شکل ۷-۶

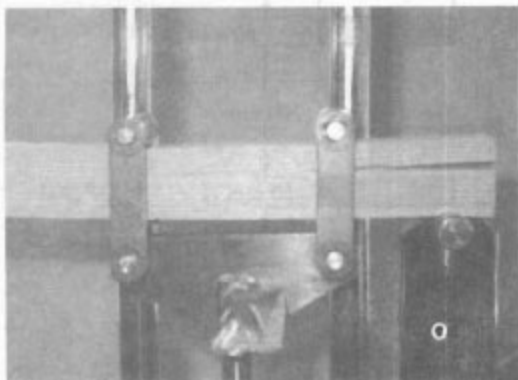
که در آن، انتگرال روی سطح سایه خورده مقطع (۶) که در بالای خط $y = y$ قرار دارد، محاسبه می‌شود. با حل ΔH از این معادله و با استفاده از معادله (۲-۵)،

$$\Delta H = \frac{M_D - M_C}{I} \int_a^b dA \quad (3-6)$$

انتگرال در (۳-۶) ممان اول مساحت (۶) از مقطع عرضی تیر را نسبت به محور خشنی بیان می‌کند و با Q نشان داده می‌شود. از طرف دیگر، با توجه به معادله (۷-۵)، می‌نویسیم:

$$M_D - M_C = \Delta M = (dM/dx) \Delta x = V \Delta x$$

گرچه با اعمال نیروی عرضی P بر یک تیر فولادی لغزش روی نمی‌دهد، ولی تنش‌هایی در صفحات طولی و عرضی به وجود می‌آید. در تیرهای چوبی، که استقامت آنها در برابر برش بین الیاف ضعیف است، شکست ناشی از برش در امتداد یک صفحه طولی روی می‌دهد نه در امتداد یک صفحه عرضی (شکل ۴-۶).



شکل ۴-۶

در قسمت ۲-۶، با انتخاب یک جزء از تیر به طول Δx ، که توسط دو صفحه عرضی و یک صفحه افقی محدود شده است، نیروی برش ΔH وارد بر وجه افقی و نیروی برش V در طول واحد آن جزء، موسوم به جریان برش، تعیین می‌شود. در قسمت ۳-۶، فرمول تنش برشی در یک تیر، که دارای صفحه تقارن عمودی است، استنتاج می‌شود و در قسمت ۴-۶ برای تعیین تنش برشی در انواع تیرها به کار می‌رود. در قسمت ۵-۶، توزیع تنش در یک تیر مستطیلی بازیک موردن بررسی قرار می‌گیرد.

در قسمت ۶-۶، موضوع قسمت ۲-۶ برای یک جزء از تیر که توسط دو صفحه عرضی و یک سطح خمیده محدود شده است بسط داده می‌شود. با این کل، در قسمت ۷-۶ تنش برشی در هر نقطه از یک عضو جدار نازک متناظر را می‌یابیم. در قسمت ۸-۶، تأثیر تغییر شکل پلاستیک را بر توزیع تنش برشی بررسی خواهیم کرد.

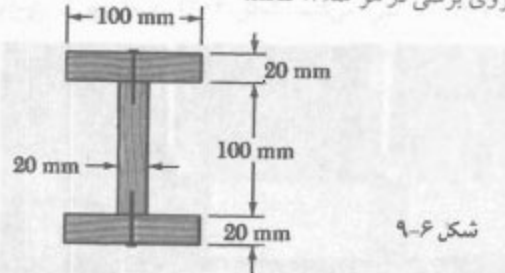
در قسمت ۹-۶، بارگذاری غیر متناظر در عضوهای جدار نازک را بررسی، و هرگز برش را تعریف می‌کنیم. سپس، توزیع تنش برشی را در این عضوها می‌یابیم.

۲-۶ برش وارد بر وجه افقی یک جزء از تیر تیر منشوری AB را، که دارای صفحه تقارن عمودی و تحت بارهای متغیر و توزیعی است، در نظر بگیرید (شکل ۵-۶). در فاصله x از انتهای A ، جزء $CDD'C'$ به طول Δx را مطالعه کنید. شکل ۶-۶ جدا می‌کنیم.

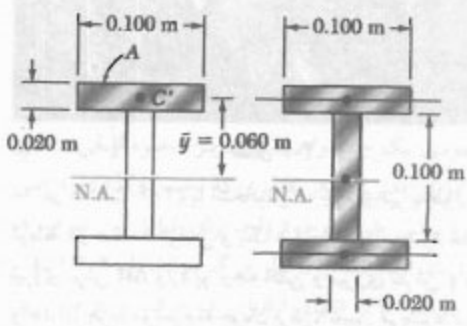
مثال ۱-۶

تیری از سه تخته، با مقطع عرضی $100 \text{ mm} \times 20 \text{ mm}$ ، که بهم میخ شده‌اند تشکیل شده است (شکل ۹-۶). اگر فاصله بین میخ‌ها 25 mm و برش عمودی V در تیر 500 N باشد،

نیروی برشی در هر میخ اساس.



شکل ۹-۶



(الف)

(ب)

شکل ۱۰-۶

ابتدا، نیروی افقی q در طول واحد را که بر وجه پایین تخته بالایی وارد می‌شود تعیین می‌کنیم. از معادله (۵-۶) استفاده می‌کنیم، که در آن Q ممان اول سطح سایه خورده A (شکل ۱۰-۶ الف) نسبت به محور خشی و I ممان اینترسی تمام مقطع عرضی (شکل ۱۰-۶ ب) نسبت به محور خشی است. ممان اول یک سطح نسبت به یک محور تا محور گذرا از مرکز سطح ضرب در فاصله آن محور تا محور گذرا از مرکز سطح. درنتیجه،

$$Q = A\bar{y} = (0.020 \text{ m} \times 0.100 \text{ m})(0.060 \text{ m})$$

$$= 120 \times 10^{-9} \text{ m}^3$$

$$I = \frac{1}{12} (0.020 \text{ m})(0.100 \text{ m})^3$$

$$+ 2 \left[\frac{1}{12} (0.100 \text{ m})(0.020 \text{ m})^3 \right]$$

$$+ (0.020 \text{ m} \times 0.100 \text{ m})(0.060 \text{ m})^3$$

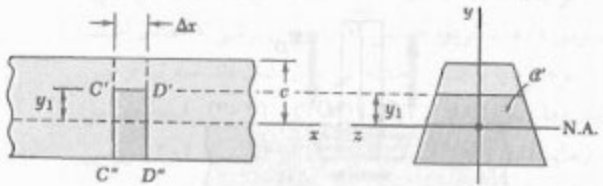
$$= 1,667 \times 10^{-9} + 2(0.0667 + 7/2) 10^{-9}$$

$$= 46,24 \times 10^{-9} \text{ m}^4$$

با جایگذاری در معادله (۳-۶)، عبارت زیر برای نیروی برشی افقی وارد بر جزء تیر به دست می‌آید:

$$\Delta H = \frac{VQ}{I} \Delta x \quad (4-6)$$

با استفاده از نمودار آزاد جزء پایینی $C'D'D'C'$ ، به جای جزء بالایی $CDD'C$ (شکل ۸-۶) (۸-۶)، نیز می‌توان به نتیجه بالا رسید زیرا نیروهای برشی ΔH و $\Delta H'$ که در این دو جزء بر هم وارد می‌کنند با هم برابر و در سوی مخالفاند. در نتیجه، ممان اول مساحت α از مقطع عرضی، که پایین خط $y = 0$ = لقرار دارد (شکل ۸-۶)، از نظر مقدار با ممان اول مساحت α از مقطع عرضی، که بالای آن خط است (شکل ۶-۶)، برابر و با علامت مخالف است. مجموع این دو ممان برابر است با ممان مساحت تمام مقطع عرضی نسبت به محور گذرا از مرکز سطح آن. لذا، این مجموع برابر با صفر است. گاهی، از این خاصیت برای ساده کردن محاسبه Q استفاده می‌شود. همچنین، توجه داریم که در $y = 0$ دارای مقدار ماقریم است، زیرا اجزای مقطع عرضی که در بالای محور خشی قرار دارند در انگشتال (۵-۵)، که Q را تعریف می‌کند، دارای سهم مشتمل و اجزای پایین آن محور دارای سهم منفی‌اند.



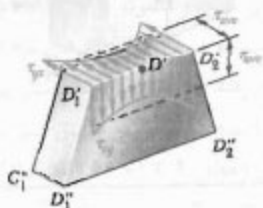
شکل ۸-۶

بروش افقی در طول واحد، که با نماد q نشان داده می‌شود، از رابطه زیر به دست می‌آید:

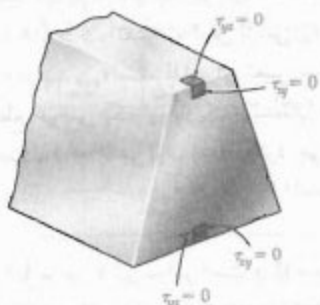
$$q = \frac{\Delta H}{\Delta x} = \frac{VQ}{I} \quad (5-6)$$

به خاطر می‌آوریم که Q ممان اول قسمتی از مقطع عرضی را، که در بالا یا پایین نقطه‌ای است که q محاسبه می‌شود، نسبت به محور خشی نشان می‌دهد و I ممان اینترسی مرکزی تمام مساحت مقطع عرضی نسبت به محور خشی است. در قسمت ۷-۶، خواهید دید که پرآجرهای برشی می‌گویند.

است گرچه Q در $y = 0$ دارای مقدار ماقزیم است (قسمت ۲-۶)، ولی نمی‌توان گفت τ_{ave} در امتداد محور خشنی ماقزیم است، زیرا این کمیت به عرض t مقطع و نیز به Q بستگی دارد.



شکل ۱۲-۶



شکل ۱۳-۶

تا وقتی عرض مقطع عرضی تیر در مقایسه با ارتفاع آن کوچک است، برای تعیین تنش برشی در امتداد خط $D_1'D_1''$ می‌توان از معادله (۶-۶) استفاده کرد. در واقع، τ_{xy} در نقطه $'D_1'$ بزرگتر از τ_{xy} در نقطه $'D_1''$ است، اما نظریه الاستیستیته نشان می‌دهد که^{*} برای یک تیر با مقطع مستطیلی به عرض b و عمق h ، تا وقتی $b \leq h/4$ ، تغییرات تنش برشی از نقطه C_1 تا C_2 (شکل ۱۴-۶) بیشتر از 8% درصد تنش متوسط در امتداد محور خشنی نخواهد بود.^{**}

^{*} نگاه کنید به:

S. P. Timoshenko and J. N. Goodier, *Theory of Elasticity*, McGraw Hill, New York 3d ed., 1970, sec. 124.

^{**} البته، برای مقادیر بزرگ b/h ، مقدار τ_{max} در C_1 و C_2 ممکن است چندین بار مقدار τ_{ave} در امتداد محور خشنی باشد (به جدول زیر نگاه کنید).

b/h	۰.۹۵	۰.۹	۰.۸	۰.۷	۰.۶	۰.۵	۰.۴	۰.۳	۰.۲	۰.۱	۰.۰
τ_{max}/τ_{ave}	۱.۱۸	۱.۲۲	۱.۲۶	۱.۲۹	۱.۳۲	۱.۳۵	۱.۳۷	۱.۳۹	۱.۴۰	۱.۴۱	۱.۴۲
τ_{min}/τ_{ave}	-۰.۹۶	-۰.۹۷	-۰.۹۸	-۰.۹۹	-۰.۹۹	-۰.۹۹	-۰.۹۹	-۰.۹۹	-۰.۹۹	-۰.۹۹	-۰.۹۹

با جایگذاری در معادله (۶-۶)،

$$q = \frac{VQ}{I} = \frac{(500 \text{ N})(120 \times 10^{-3} \text{ m}^T)}{16,200 \times 10^{-9} \text{ m}^4} = 370.4 \text{ N/m}$$

چون فاصله بین میخ‌ها ۲۵ mm است، نیروی برشی در هر میخ چنین است:

$$F = (0.025 \text{ m})q = (0.025 \text{ m})(370.4 \text{ N/m}) = 92.6 \text{ N}$$

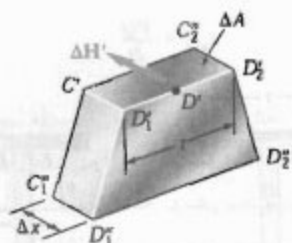
۳-۶ تعیین تنش برشی در تیرها

یک تیر را که دارای صفحه تقارن عمودی است درنظر می‌گیریم. فرض کنید بارهای مرکزی یا توزیعی مختلفی در صفحه تقارن بر این تیر وارد می‌شوند. در قسمت قبل دیدیم که اگر تیر را با دو برش عمودی و یک برش افقی قطع کرد و یک جزء با طول Δx را از آن جدا کنیم (شکل ۱۱-۶)، مقدار نیروی برشی وارد بر وجه افقی این جزء را از معادله (۴-۶) می‌توان بدست آورد. تنش برشی متوسط τ_{ave} وارد بر وجه این جزء از تقسیم ΔH بر مساحت ΔA وجود به دست می‌آید. چون $\Delta A = \Delta x$ ، که در آن[†] غرض این جزء در صفحه برش است،

$$\tau_{ave} = \frac{\Delta H}{\Delta A} = \frac{VQ}{I} \frac{\Delta x}{t \Delta x}$$

پا

$$\tau_{ave} = \frac{VQ}{It} \quad (6-6)$$



شکل ۱۱-۶

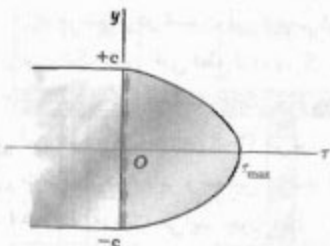
اما، تنش‌های برشی τ_{xy} و τ_{yx} که، به ترتیب، بر یک صفحه عرضی و یک صفحه افقی گذرا از 'D' اثر می‌کنند با هم برابرند. درنتیجه، عبارت بالا مقدار متوسط τ_{xy} را در امتداد خط $'D_1'D_1''$ نیز نشان می‌دهد (شکل ۱۲-۶).

وارد بر وجهه بالایی و پایینی تیر برابر با سفر است، زیرا هیچ نیرویی بر این وجهه وارد نمی‌شود. لذا، در امتداد لبه‌های بالایی و پایینی مقطع عرضی، $\tau_{xy} = 0$ (شکل ۱۴-۶). گفتن

معادله (۹-۶) نشان می‌دهد که توزیع تنش برشی در مقطع عرضی یک تیر مستطیلی به صورت مسهمی است (شکل ۱۶-۶). همانطور که در قسمت قبل بذیدیم، تنش برشی در بالا و پایین مقطع عرضی ($y = \pm C$) همنهاد است. با قرار دادن $y = 0$ در معادله (۹-۶)، ما کزیم مقدار تنش برشی در مقطع عرضی تیر بازیک مستطیلی بدست می‌آید:

$$\tau_{\max} = \frac{3}{2} \frac{V}{A} \quad (10-6)$$

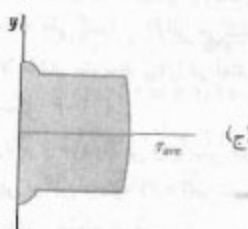
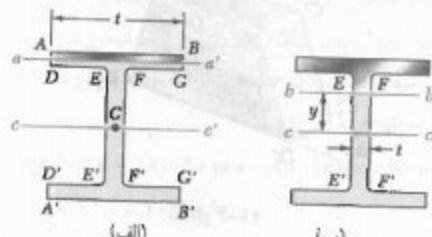
رابطه بالا نشان می‌دهد که ماکریم مقدار تنش برشی در یک تیر با مقطع عرضی مستطیلی 50% بیشتر از مقدار V/A حاصل از فرض نادرست توزیع یکنواخت تنش در تمام مقطع عرضی است.



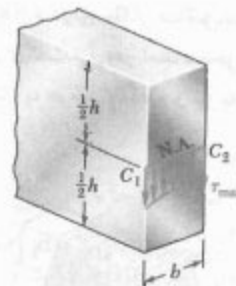
شکل ۱۶-۶

در یک تیر استاندارد همیکایی (تیر S) یا یک تیر بال پهن (تیر W)، برای تعیین مقدار متوسط تنش برشی τ_{av} در مقطع 'aa' یا 'bb' از مقطع عرضی تبدیل یافته (شکل‌های ۱۷-۶ الف و ب) می‌توان از معادله (۶-۶) استفاده کرد. می‌نویسیم:

$$\tau_{\text{av}} = \frac{VQ}{Ib} \quad (6-6)$$



شکل ۱۷-۶



شکل ۱۶-۶

۱۶-۶ تنش برشی در انواع تیرها
در قسمت قبل دیدیم که برای یک تیر بازیک مستطیلی به عرض b و عمق h با $\frac{1}{2}h \leq b$ ، تغییرات تنش برشی τ_{xy} در عرض تیر کمتر از 8% درصد τ_{av} است. لذا، برای تعیین تنش برشی در هر نقطه از مقطع عرضی یک تیر بازیک مستطیلی در کاربردهای عملی، از معادله (۶-۶) می‌توان استفاده کرد. می‌نویسیم:

$$\tau_{xy} = \frac{VQ}{Ib} \quad (7-6)$$

که در آن، I با عرض b تیر برابر است و Q ممان اول سطح سایه خورده A نسبت به محور خشنی است (شکل ۱۵-۶).

فاصله مرکز سطح A (نقطه 'C') از محور خشنی برابر است با $(c + y) = \frac{1}{2}(c + y)$ ، درنتیجه،

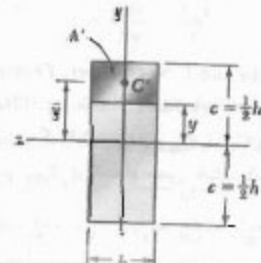
$$Q = A\bar{y} = b(c - y) \frac{1}{2}(c + y) = \frac{1}{2}b(c^2 - y^2) \quad (8-6)$$

با توجه به $I = bh^3/12 = \frac{1}{4}bc^3$

$$\tau_{xy} = \frac{VQ}{Ib} = \frac{3}{4} \frac{c^2 - y^2}{bc^3} V$$

مساحت مقطع عرضی تیر عبارت است از $A = 2bc$. درنتیجه،

$$\tau_{xy} = \frac{3}{2} \frac{V}{A} \left(1 - \frac{y^2}{c^2} \right) \quad (9-6)$$



شکل ۱۵-۶

اگر تنش برشی مجاز τ_{all} برای تیر فولادی مسئله نمونه ۸-۵ باشد، نشان دهد که مقطع $W_{360} \times 32/9$ در آن مسئله نمونه از نظر تنش‌های برشی قابل قبول است.

از نمودار برش مسئله نمونه ۸-۵ $\tau_{max} = 58 \text{ kN}/A$ در قسمت ۴-۶ دیدیم که عالمی می‌توان فرض کرد تمام بار برشی را جان تیر تحمل می‌کند و مقدار ماکریم تنش برشی در تیر را از معادله (۱۱-۶) بدست آورد. طبق پیوست ج، عمق و ضخامت تیر برای مقطع $W_{360} \times 32/9$ به ترتیب، عبارتند از $d = 349 \text{ mm}$ و $t_w = 5.8 \text{ mm}$. لذا،

$$A = d t_w = (349 \text{ mm})(5.8 \text{ mm}) = 2024 \text{ mm}^2$$

با جایگذاری مقدارهای عددی در معادله (۱۱-۶)،

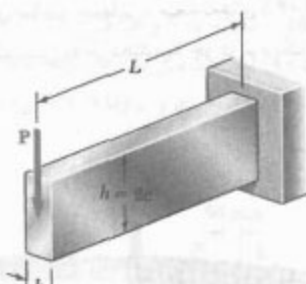
$$\tau_{max} = \frac{|V|_{max}}{A} = \frac{58 \text{ kN}}{2024 \text{ mm}^2} = 28.7 \text{ MPa}$$

چون $\tau_{all} < \tau_{max}$ ، طرح تیر قابل قبول است.

۵-۶ توضیح بیشتر درباره توزیع تنش در یک تیر بازیک مستطیلی

تیر بازیک طرهای با مقطع عرضی مستطیلی به عرض b و ارتفاع h را در نظر بگیرید. سر آزاد این تیر تحت بار P قرار دارد (شکل ۱۸-۶). چون برش τ در تیر ثابت است و مقدار آن با بار P برابر است، از معادله (۹-۶)،

$$\tau_{xy} = \frac{\tau}{2} \frac{P}{A} \left(1 - \frac{y^2}{c^2} \right) \quad (12-6)$$



شکل ۱۸-۶

که در آن، τ برش عمودی، A عرض مقطع در ارتفاع تحت بررسی، Q ممان اول سطح سابه خورده نسبت به محور خشی' و I ممان اینرسی تمام مساحت مقطع عرضی نسبت به 'cc' است، با ترسیم τ_{ave} نسبت به فاصله عمودی z ، منحنی داده شده در شکل ۱۷-۶ τ_{ave} به دست می‌آید. نایپوتگری‌های موجود در این منحنی ناشی از این است که مقدار A برای بالهای $ABGD$ و $A'B'G'D'$ با مقدار A برای جان $EFF'E'$ تفاوت دارد.

در جان تیر، تنش برشی τ_{xy} در عرض مقطع 'bb' فقط کمی تغییر می‌کند و می‌توان فرض کرد که با مقدار متوسط τ_{ave} برابر است. ولی این موضوع برای بالهای تیر صحبت ندارد. مثلاً در خط افقی $DEFG$ ، τ_{xy} بین D و E و بین E و G صفر است، زیرا این دو تکه قسمتی از سطح آزاد تیر هستند. از سوی دیگر، با قراردادن $\tau = EF$ در معادله (۶-۶) می‌توان τ_{xy} بین E و F را بدست آورد. در عمل، معمولاً فرض می‌شود که تمام بار برشی را جان تیر تحمل می‌کند، و از تقسیم τ بر مساحت مقطع عرضی جان تیر می‌توان ماکریم مقدار تنش برشی در مقطع عرضی را با تقریب خوبی به دست آورد:

$$\tau_{max} = \frac{\tau}{A} \quad (11-6)$$

گفتنی است که می‌توان از مؤلفه قائم τ_{yy} تنش برشی در بالهای صرف نظر کرد، ولی مؤلفه افقی τ_{xy} آن قابل توجه است و در قسمت ۷-۶ تعیین می‌شود.

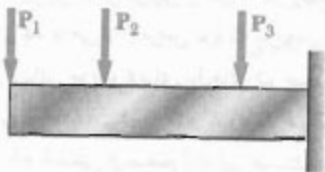
اگر تنش برشی مجاز τ_{all} برای تیر چوبی مسئله نمونه ۷-۵ باشد، نشان دهد که طراحی آن در مسئله نمونه از نظر تنش‌های برشی قابل قبول است.

از نمودار برش مسئله نمونه ۷-۵ $\tau_{max} = 20 \text{ kN}$ ، عرض $V_{max} = 7.5 \text{ mm}$ و عمق تیر را $b = 90 \text{ mm}$ و عمق آن را $h = 366 \text{ mm}$ یاقینیم. با استفاده از معادله (۱۰-۶)، که برای تیر بازیک مستطیلی به کار می‌روزد،

$$\tau_{max} = \frac{\tau V}{2 A} = \frac{\tau V}{2 bh} = \frac{\tau (20 \text{ kN})}{2 (0.09 \text{ m})(0.366 \text{ m})} = 0.41 \text{ MPa}$$

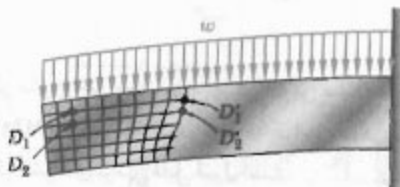
چون $\tau_{all} < \tau_{max}$ ، طرح تیر قابل قبول است.

وقتی یک تیر با مقطع عرضی مستطیلی تحت تأثیر چند بار متتمرکز قرار دارد (شکل ۲۱-۶)، برای تعیین تنش‌های قائم و برشی در مقاطعی که بین نقاط اثر بارها قرار دارند می‌توان از اصل ترکیب استفاده کرد. البته، چون بارهای P_1 ، P_2 و غیره بر مقطع تیر دارند می‌شوند و نمی‌توان توزیع آنها را در تمام مقطع عرضی به صورت سهموی فرض کرد، نتایج حاصل در مجاورت نقاط اثر بارها صحت ندارند.



شکل ۲۱-۶

وقتی یک تیر تحت بار توزیعی قرار دارد (شکل ۲۲-۶)، نیروی برشی و تنش برشی در ارتفاع معین لاپرحو فاصله از انتهای تیر تغییر می‌کند. تغییر شکل برشی حاصل طوری است که فاصله بین دو نقطه متناظر از مقاطع عرضی مختلف، مانند D_1 و D_1' ، یا D_2 و D_2' ، به ارتفاع آنها بستگی دارد. این نشان می‌دهد که فرض صفحه‌ای ماندن مقاطع، که به موجب آن معادله‌های (۱۲-۶) و (۱۳-۶) استنتاج شدند، برای حالت پارکلاری شکل ۲۲-۶ بد کار می‌رود. ولی، خطای ناشی از این فرض در عمل تاچیز است.



شکل ۲۲-۶

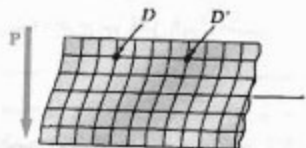
گفتنی است در قسمت‌هایی از تیر که تحت بار متتمرکز یا توزیعی قرار دارند، علاوه بر تنش‌های σ_y نشان داده شده در شکل ۲-۶، تنش‌های قائم σ_z تیر بر وجوده افقی یک جزء مکعبی تیر وارد می‌شوند.

طبق معادله (۱۲-۶)، تنش برشی فقط به فاصله لازم سطح خشنی بستگی دارد. در نتیجه، تمام اجزای واقع در فاصله بیکان از سطح خشنی مستخوش تغییر شکل برشی بیکان می‌شوند (شکل ۱۹-۶). گرچه مقاطع صفحه‌ای به صورت صفحه‌ای نمی‌مانند، ولی فاصله بین دو نقطه متناظر D و D' که روی مقاطع مختلف قرار دارند ثابت می‌مانند. یعنی، کرنش قائم ϵ_y و نیز تنش قائم σ_z ، تحت تأثیر تنش‌های برشی قرار نمی‌گیرند و فرض گفته شده در قسمت ۱-۵ برای حالت پارکلاری شکل ۱۸-۶ توجیه می‌شود.

در نتیجه، برای تعیین تنش برشی در یک تیر طریق با مقطع عرضی مستطیلی، که سر آزاد آن تحت بار متتمرکز P قرار دارد، از معادله ۱۲-۶ می‌توان استفاده کرد. برای تعیین تنش قائم در فاصله x از سر آزاد تیر، در معادله ۲-۵ قرار می‌دهیم $M = Px$.

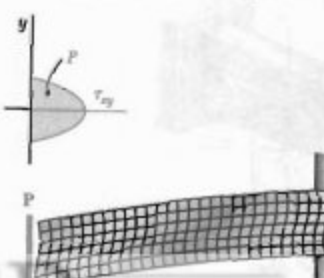
درنتیجه،

$$\sigma_z = + \frac{Pxy}{I} \quad (۱۳-۶)$$



شکل ۱۹-۶

البته، صحت عبارت بالا به شرایط انتهایی تیر بستگی دارد. برای کاربرد معادله ۱۲-۶ در تمام تیر، بار P روی مقطع سر آزاد تیر باید به صورت سهموی توزیع شده باشد. به علاوه، تکیه‌گاه ثابت انتهایی باید طوری باشد که تغییر شکل برشی نشان داده شده در شکل ۱۹-۶ ایجاد شود. با مدل حاصل (شکل ۲۰-۶) در عمل به ندرت مواجه می‌شویم. ولی، از اصل سنت-ونات نتیجه می‌شود که، برای سایر شیوه‌های اعمال بار و انواع تکیه‌گاههای ثابت انتهایی، معادله‌های (۱۲-۶) و (۱۳-۶) توزیع درست تنش را می‌دهند، به جز در نزدیک دو سر تیر.

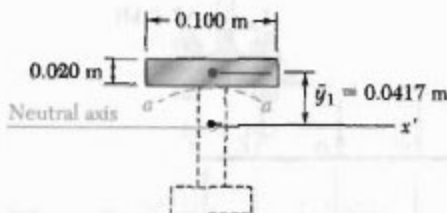


شکل ۲۰-۶

با استفاده از معادله ۶-۷،

$$\tau_{ave} = \frac{VQ}{I} = \frac{(1500 \text{ N})(\Delta \tau, 4 \times 10^{-3} \text{ m}^2)}{(\Delta, 63 \times 10^{-3} \text{ m}^4)(\Delta, 0.2 \text{ m})}$$

$$\tau_{ave} = 725 \text{ kPa} \quad \blacktriangleleft$$



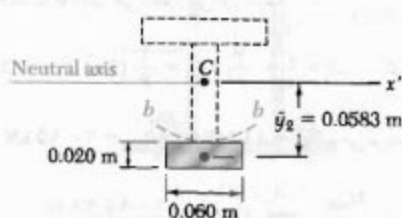
تشن برشی در اتصال $b-b$ حال، مقطع $b-b$ را می‌گذاریم و Q را برای مساحت پایین این مقطع محاسبه می‌کنیم:

$$Q = A\bar{y}_e = [(0, 0.02 \text{ m})(0, 0.2 \text{ m})](\Delta, 0.5\Delta\tau \text{ m})$$

$$= V \times 10^{-3} \text{ m}^3$$

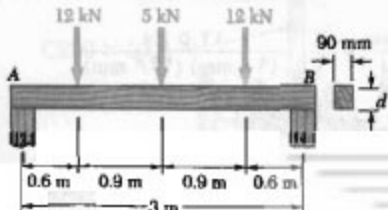
$$\tau_{ave} = \frac{VQ}{I} = \frac{(1500 \text{ N})(V \times 10^{-3} \text{ m}^3)}{(\Delta, 63 \times 10^{-3} \text{ m}^4)(\Delta, 0.2 \text{ m})}$$

$$\tau_{ave} = 700 \text{ kPa} \quad \blacktriangleleft$$



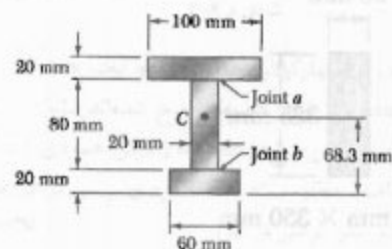
مسئله نمونه ۶-۸

تیر چوبی AB با دهانه 3 m و عرض نامی 100 mm (عرض واقعی 90 mm) تحت سهبار متوازن قرار دارد. اگر برای چوب به کار رفته $\sigma_{all} = 12 \text{ MPa}$ و $\tau_{all} = 0.8 \text{ MPa}$ ، مینیمم عمق d تیر را باید.



مسئله نمونه ۶-۹

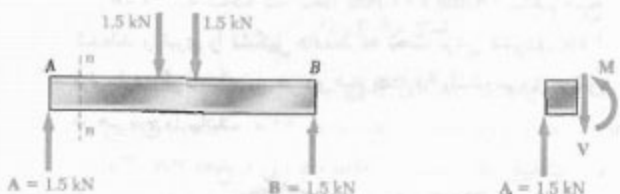
تیر AB از سه تخته چوب خورده تشکیل شده است و در صفحه تقارن خود تحت بارگذاری داده شده قرار دارد. اگر عرض هر اتصال چسب خورده 20 mm باشد، تنش برشی متوسط را در هر اتصال در مقطع $n-n$ تیر باید. مکان مرکز سطح مقطع در تصویر نشان داده شده است و ممان اینرسی نسبت به محور گلبرگ از مرکز سطح عبارت است از $J = 8,63 \times 10^{-3} \text{ m}^3$.



حل

برش عمودی در مقطع $n-n$ ، چون تیر و بارگذاری نسبت به مرکز تیر متقارن‌اند، $A = B = 1.5 \text{ kN}$. با در نظر گرفتن نمودار آزاد قسمتی از تیر که در سمت چپ مقطع $n-n$ قرار دارد، داریم:

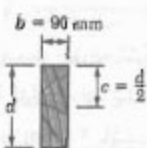
$$\uparrow \sum F_y = 0 : 1.5 \text{ kN} - V = 0 \Rightarrow V = 1.5 \text{ kN}$$



تشن برشی در اتصال $a-a$ مقطع $a-a$ را از اتصال چسب خورده می‌گذاریم و مقطع عرضی را به دو قسم تقسیم می‌کنیم. حال، ممان اول مساحت بالای مقطع $a-a$ را نسبت به محور خشن می‌بایم:

$$Q = A\bar{y}_1 = [(0, 100 \text{ mm})(0, 20 \text{ mm})](0, 0.417 \text{ m})$$

$$= 83.4 \times 10^{-3} \text{ m}^3$$

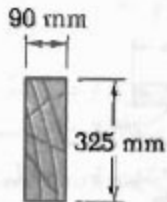


طراحی بر مبنای تنش برشی مجاز. تنش برشی مجاز طراحی را کنترل می‌کند. می‌تویسیم:

$$\tau_m = \tau_{all} = \frac{\gamma}{2} \frac{V_{max}}{A} \Rightarrow \sigma_{all} MPa = \frac{\gamma}{2} \frac{14.5 kN}{(90 \text{ mm})d}$$

$$\Rightarrow d = 322 \text{ mm} \quad \blacktriangleleft$$

البته، تنش قائم کمتر از $\sigma_{all} = 12 \text{ MPa}$ است و عمق ۳۲۲ mm کاملاً قابل قبول است.

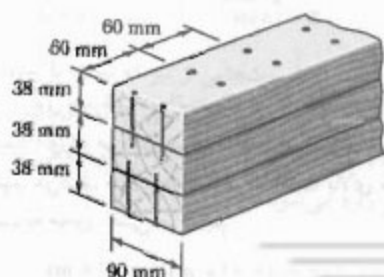


اندازه تامیم

توضیح. چون عمق تیرهای چوبی موجود دارای نمو ۱۰۰ mm \times ۳۵۰ mm است، از تیر چوبی با اندازه نامعی ۵۰ mm باید استفاده کرد. در این صورت، مقطع عرضی واقعی ۹۰ mm \times ۳۲۵ mm است.

مسائل

۱-۶ سه تخته به ابعاد ۳۸ mm \times ۹۰ mm \times ۳۸ mm میخ شده‌اند و تیری را تشکیل داده‌اند که تحت برش عمودی ۱ kN قرار دارد. اگر فاصله بین هر دو میخ ۶۰ mm باشد، نیروی برشی در هر میخ را بیابید.

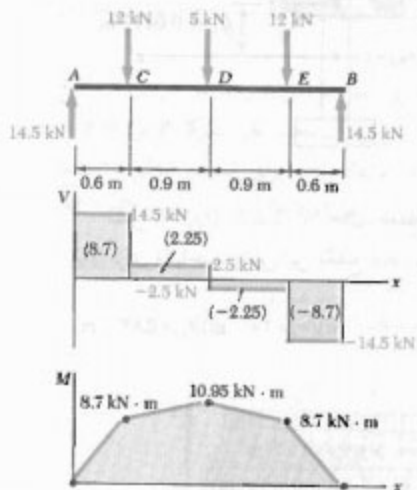


شکل ۱-۶

حل
ماکزیمم برش و لنگر خمشی پس از ترسیم نمودارهای برش و لنگر خمشی، داریم:

$$M_{max} = 10.95 \text{ kN.m}$$

$$V_{max} = 14.5 \text{ kN}$$



طراحی بر مبنای تنش مجاز نامی. ابتدا، مدول الاستیک S را بر حسب d بیان می‌کنیم. می‌تویسیم:

$$I = \frac{1}{12} b d^3 \quad S = \frac{I}{c} = \frac{1}{\rho} b d^3 = \frac{1}{\rho} (90) d^3 = 15 d^3$$

برای $M_{max} = 10.95 \text{ kN.m}$ و $V_{max} = 14.5 \text{ kN}$ ، می‌تویسیم:

$$S = \frac{M_{max}}{\sigma_{all}} \Rightarrow 15 d^3 = \frac{10.95}{12 \text{ MPa}}$$

$$\Rightarrow d^3 = 90.823 \Rightarrow d = 446 \text{ mm}$$

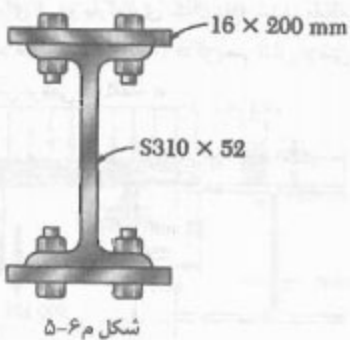
شرط $\sigma_m \leq 12 \text{ MPa}$ برقرار است.

وارسی تنش برشی برای $V_{max} = 14.5 \text{ kN}$ و $d = 446 \text{ mm}$

$$\tau_m = \frac{\gamma}{2} \frac{V_{max}}{A} = \frac{\gamma}{2} \frac{14.5 \text{ kN}}{(90 \text{ mm})(446 \text{ mm})}$$

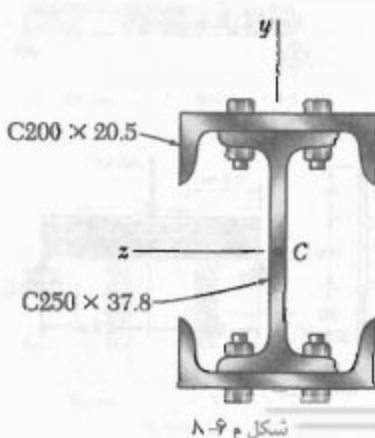
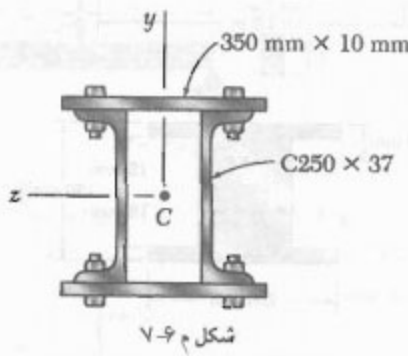
$$\Rightarrow \tau_m = 0.982 \text{ MPa}$$

چون $\tau_m = 0.982 \text{ MPa} < 12 \text{ MPa}$ ، عمق $d = 446 \text{ mm}$ قابل قبول نیست و باید تیر را بر مبنای شرط $\tau_m \leq 12 \text{ MPa}$ طراحی کرد.

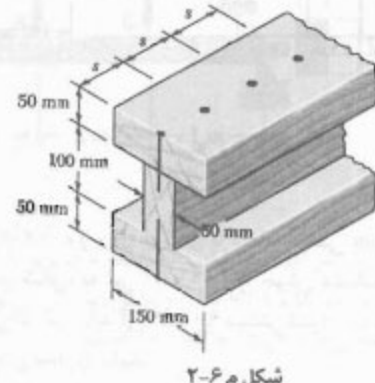


۶-۶ مسئله ۵-۶ را با این فرض حل کنید که ضخامت ورق‌ها ۱۲ mm باشد.

۷-۶ و ۸-۶ عضوهای فولادی نورد شده را با پیچ و مهرهایی به قطر ۱۸ mm، که در امتداد طولی در هر ۱۲۵ mm قرار دارند، به یکدیگر متصل کردایم و مستوی را ساخته‌ایم. تش برش متوسط در پیچ و مهره‌ها را بر اثر نیروی برشی ۱۲۰ kN، که به موازات محور لغ است، بیابید.

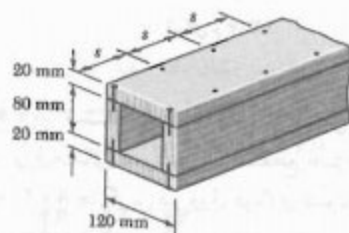


۲-۶ سه تخته، هر یک به ضخامت ۵۰ mm، به هم میخ شده‌اند و یک تیر را تشکیل داده‌اند. این تیر تحت برش عمودی قرار دارد. اگر نیروی برشی مجاز در هر میخ ۶۰۰ N و فاصله ۸ یعنی هر دو میخ ۷۵ mm باشد، برش مجاز را بیابید.



۲-۶ م

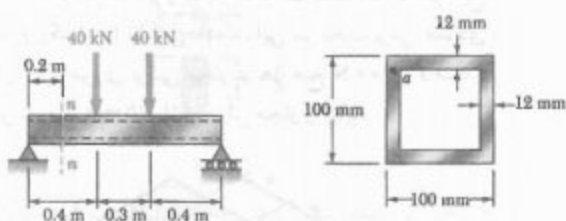
۳-۶ یک تیر چهارگوش جعبه‌ای از دو تخته ۲۰ x ۸۰ mm و دو تخته ۲۰ x ۱۲۰ mm که بهم میخ شده‌اند تشکیل شده است. اگر فاصله ۵ بین میخ‌ها ۵۰ mm و برش عمودی ۷ در هر تیر N ۳۰۰ باشد، مطلوبیست: (الف) نیروی برشی در هر میخ، (ب) ماکریم تش برشی در تیر.



۴-۶ و ۳-۶ م

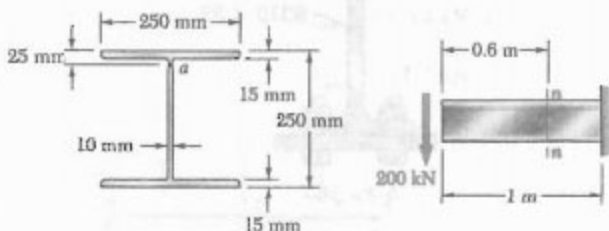
۴-۶ یک تیر جعبه‌ای چهارگوش از دو تخته به ابعاد ۲۰ x ۸۰ mm و دو تخته به ابعاد ۲۰ x ۱۲۰ mm که بهم میخ شده‌اند تشکیل شده است. اگر فاصله ۵ بین میخ‌ها ۳۰ mm و نیروی برشی مجاز در هر میخ N ۱۲۰ باشد، مطلوبیست: (الف) ماکریم بوش عمودی مجاز در تیر، (ب) ماکریم تش برشی مجاز در تیر.

۵-۶ تیر استاندارد فولادی آمریکایی نشان داده شده توسط دو ورق ۱۶ x ۴۰۰ mm تقویت شده است. برای اتصال ورق‌ها به تیر، پیچ‌های به قطر ۱۸ mm که به فاصله طولی ۱۲۰ mm از هم قرار دارند استفاده شده است. اگر تش برشی متوسط مجاز در پیچ ۹ MPa باشد، امکان پذیری مجاز را بیابید.



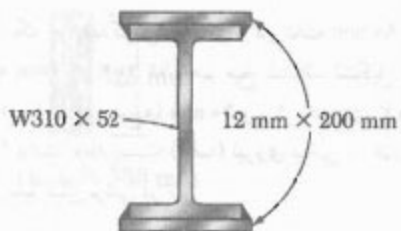
شکل ۱۲-۶

۱۲-۶ تا ۹-۶ برای تیر و بارگذاری نشان داده شده، مقطع $n-n$ را در نظر بگیرید. مطلوب است: (الف) ماکریم تنش برشی در این مقطع، (ب) تنش برشی در نقطه a .



شکل ۹-۶

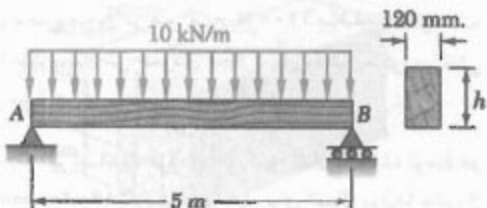
۱۳-۶ دو ورق فولادی با مقطع عرضی $12 \times 200 \text{ mm}$ مطابق شکل، به تیر $W310 \times 52$ جوش شده‌اند. اگر تنش برشی در تیر نباید از 40 MPa بیشتر شود، ماکریم برش عمودی مجاز را بیابید.



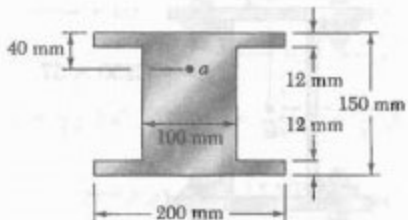
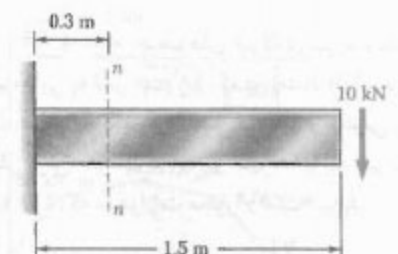
شکل ۱۳-۶

۱۴-۶ مسئله ۱۳-۶ را با این فرض حل کنید که:
(الف) ورق‌های فولادی با مقطع عرضی مستطیلی $8 \times 200 \text{ mm}$ جایگزین دو ورق فولادی شوند، (ب) دو ورق فولادی حذف شوند.

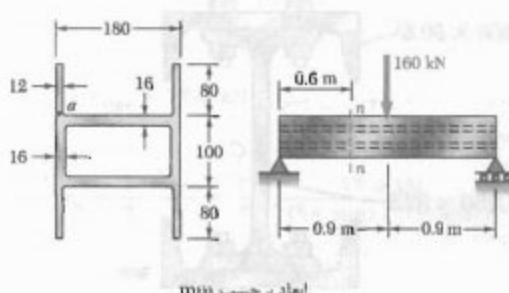
۱۵-۶ برای تیر نشان داده شده، مینیمم عمق h را بیابید.
 $\tau_{all} = 0.9 \text{ MPa}$ و $\sigma_{all} = 12 \text{ MPa}$



شکل ۱۵-۶



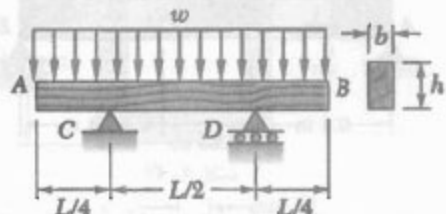
شکل ۱۰-۶



ایجاد بر حسب

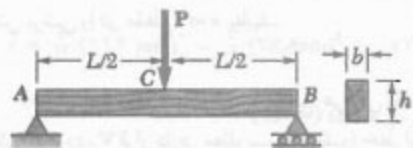
شکل ۱۱-۶

و $\sigma_m = 12 \text{ MPa}$ و $\tau_m = 1.0 \text{ MPa}$ ، عمق h و عرض b تیر را باید.



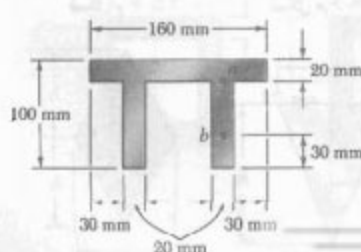
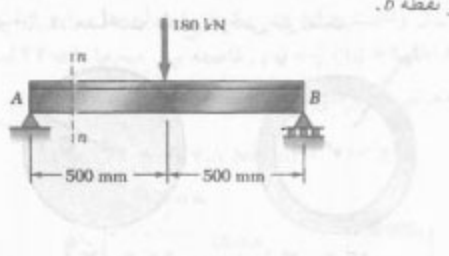
شکل ۱۹-۵

۲۰-۶ تیر چوبی AB با مقطع عرضی مستطیلی و با تکیه‌گاه ساده، بار مشمرک P را در دهانه میانی C تحمل می‌کند. (الف) نشان دهد که نسبت مقادیر ماکزیمم تنش برشی به تنش قائم در تیر، $\tau_m/h/2L$ ، مساوی L است، که در آن h و L ، $L = 2\text{ m}$ ، به ترتیب، عمق و طول تیر هستند. (ب) اگر $L = 2\text{ m}$ ، $\sigma_m = 12 \text{ MPa}$ و $\tau_m = 9.6 \text{ kPa}$ ، $P = 40 \text{ kN}$ تیر را باید.



شکل ۲۰-۶

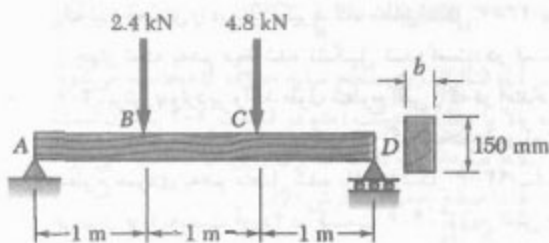
۲۱-۶ و ۲۲-۶ برای تیر و بارگذاری داده شده، مقطع $n-n$ را در نظر بگیرید. مطلوب است تنش برشی: (الف) در نقطه a ، (ب) در نقطه b .



شکل ۲۱-۶ و ۲۲-۶

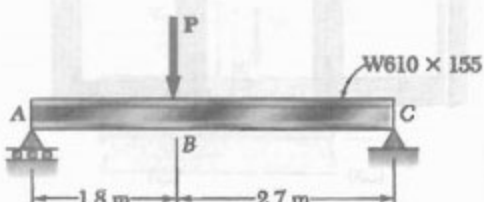
۱۶-۶ برای تیر نشان داده شده، مینیمم عرض b را باید.

$$\tau_{\text{all}} = 820 \text{ kPa} \quad \text{و} \quad \sigma_{\text{all}} = 12 \text{ MPa}$$



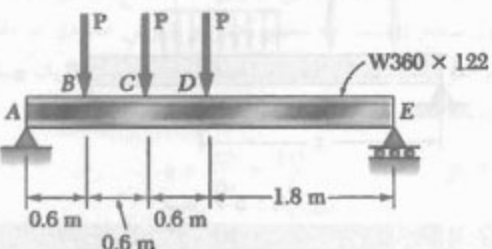
شکل ۱۶-۶

۱۷-۶ برای تیر بالپهن نشان داده شده، ماکزیمم بار P را باید. ماکزیمم تنش قائم 165 MPa و ماکزیمم تنش برشی، با استفاده از رابطه $\tau_m = V/A$ ، $\tau_m = 100 \text{ MPa}$ است.



شکل ۱۷-۶

۱۸-۶ برای تیر بالپهن نشان داده شده، ماکزیمم بار P را باید. ماکزیمم تنش قائم 160 MPa و ماکزیمم تنش برشی، با استفاده از رابطه $\tau_m = V/A$ ، $\tau_m = 100 \text{ MPa}$ است.

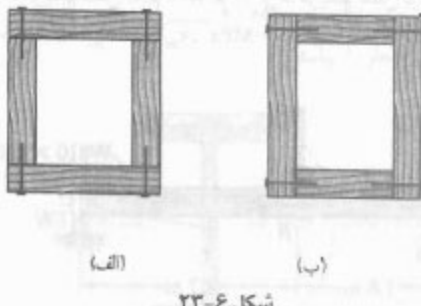


شکل ۱۸-۶

۱۹-۶ تیر چوبی AB ، با طول 4 و مقطع عرضی مستطیلی، بار یکنواخت توزیعی w را مطابق شکل تحمل می‌کند. (الف) نشان دهد که نسبت ماکزیمم مقادیر تنش برشی به تنش قائم در تیر، $\tau_m/\sigma_m = 2h/L$ ، مساوی L است، که در آن h و L ، به ترتیب، عمق و طول تیر هستند. (ب) اگر $L = 5\text{ m}$ ، $\sigma_m = 12 \text{ MPa}$ و $\tau_m = 9.6 \text{ kPa}$ ، عرض b را باید.

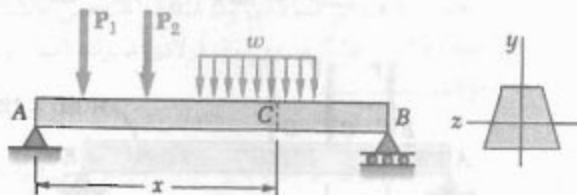
۶-۶ نیروی برشی طولی وارد بر یک جزء تیر با شکل اختیاری

یک تیر جعبه‌ای را در نظر بگیرید که، مطابق شکل ۲۳-۶ الف، از چهار تخته بهم مینشند شده تشکیل شده است. در قسمت ۲-۶، برش q وارد بر واحد طول سطوح افقی را که در امتداد آنها تخته‌ها بهم متصل اند تعیین کردیم. اگر تخته‌ها در امتداد سطوح عمودی بهم متصل شده باشند (شکل ۲۳-۶ ب)، آیا می‌توان q را بدست آورد؟ در قسمت ۴-۶، توزیع تنش قائم τ_y را در یک تیر W یا تیر S را بررسی کردیم و دیدیم که این تنش‌ها در جان تیر دارای مقدار نسبتاً ثابتی هستند و در بال‌ها قابل صرف‌نظرند. درباره مزلفه‌های افقی τ_y در بال‌ها چه می‌توان گفت؟



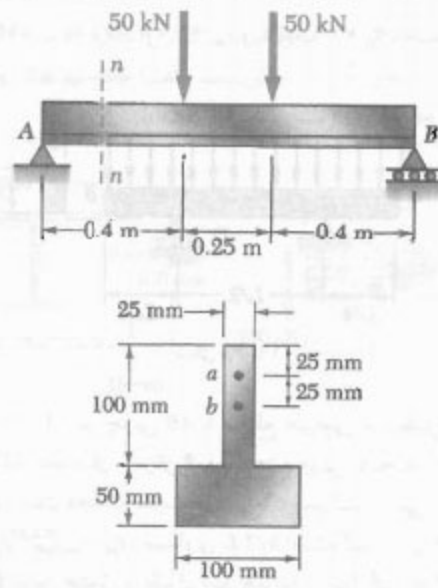
شکل ۲۳-۶

برای پاسخ به این سوال، روش قسمت ۲-۶ را برای تعیین برش q در طول واحد بسط می‌دهیم و آن را برای حالت‌های فوق الذکر به کار می‌بریم.



شکل ۲۴-۵ (تکراری)

تیر منشوری AB را در شکل ۵-۶ در نظر بگیرید. این تیر دارای صفحه تقارن عمودی است و بارهای داده شده را تحمل می‌کند. در فاصله x از انتهای A ، جزء $CDD'C'$ به طول Δx مطابق شکل ۲۴-۶ جدا می‌کنیم. طبق شکل ۲۵-۶، این جزء تحت نیروهای زیر قرار دارد: نیروهای برشی عمودی V_C و V_D ، نیروهای قائم افقی $\sigma_C dA$ و $\sigma_D dA$ ، بار



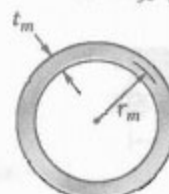
شکل ۲۴-۶ و ۲۴-۷

۲۴-۶ برای تیر و بارگذاری داده شده، ماکریم تنش برشی را در مقطع $II-II$ بیابید.

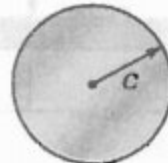
۲۴-۷ تا ۲۸-۶ یک تیر با مقطع عرضی خاله شده تحت برش عمودی W قرار دارد. مطلوب است: (الف) خط افقی که تنش برشی در امتداد آن دارای مقدار ماکریم است، (ب) ثابت k در عبارت ماکریم تنش برشی زیر:

$$\tau_{\max} = k \frac{V}{A}$$

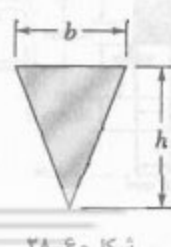
که در آن، A مساحت مقطع عرضی تیر است.



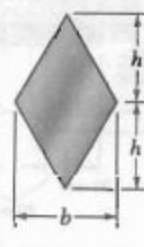
شکل ۲۶-۶



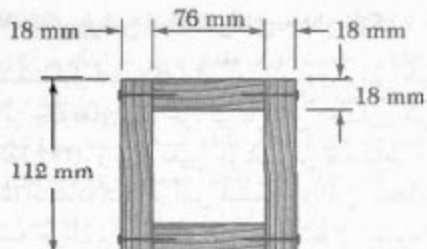
شکل ۲۵-۹



شکل ۲۸-۶



شکل ۲۷-۶



شکل ۲۶-۶

تخته بالایی را جدا می‌کنیم و نیروی کل q وارد بر طول سد دو لبه آن را در نظر می‌گیریم. از معادله (۵-۶) و اتفاذه می‌کنیم. در این معادله، Q ممان اول سطح سایه خورده اسیر شکل ۲۷-۶ (الف) نسبت به محور خشندی، و I ممان ایزرسی تمام مساحت مقطع عرضی تیر جعبه‌ای ایکل ۲۷-۶ (ب) نسبت به محور خشندی است. می‌نویسیم:

$$Q = A' \bar{y} = (18 \text{ mm})(76 \text{ mm})(47 \text{ mm}) = 64296 \text{ mm}^3$$

آن ایزرسی مربع به ضلع a نسبت به محور مرکزی عبارت مم از $\frac{1}{12} a^3$. در نتیجه، $I = \frac{1}{12} a^3$ است.

$$I = \frac{1}{12} (112 \text{ mm})^3 - \frac{1}{12} (76 \text{ mm})^3 = 10332 \text{ mm}^3$$

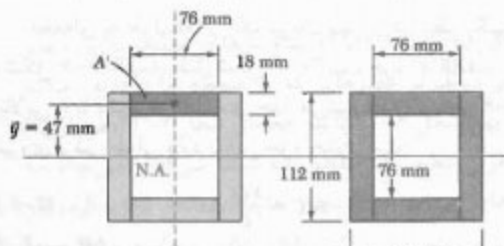
ایگذاری در معادله (۵-۶).

با ج

$$q = \frac{VQ}{I} = \frac{(2,5 \text{ kN})(64296 \text{ mm}^3)}{10332 \text{ mm}^3} = 15,6 \text{ N/mm}$$

ن تیر و دو تخته بالایی نسبت به صفحه قائم بارگذاری چوارن‌اند، نیروهای مساوی بر دو لبه تخته وارد می‌شوند. نیرو متفاول واحد برای هر یک از این لبه‌ها برابر است با $(15,6) = 7,8 \text{ N}$. فاصله بین میخ‌ها 44 mm است. در نتیجه، نیروی برشی در هر میخ عبارت است از:

$$F = (44 \text{ mm})(7,8 \text{ N/mm}) = 342,2 \text{ N}$$



(الف)

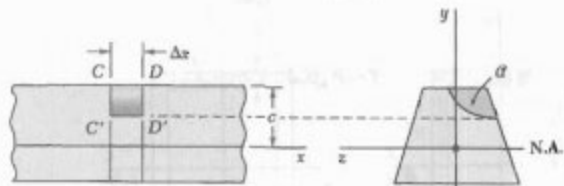
(ب)

شکل ۲۷-۶

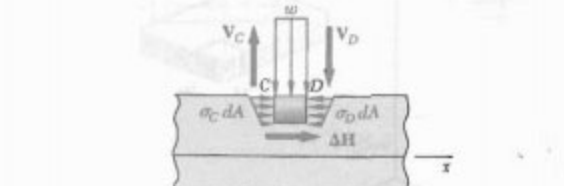
Δx و نیروی برشی ΔH (که براحتی نیروهای برشی طولی جزئی وارد بر سطح خمیده است). معادله تعادل را می‌نویسیم:

$$\sum F_x = 0 : \quad \Delta H + \int_a (\sigma_D - \sigma_C) dA = 0$$

که در آن، انتگرال روی سطح سایه خورده a محاسبه می‌شود. رابطه پلا با معادله بعدست آمده در قسمت ۲-۶ یکسان است. اما، سطح سایه خورده a ، که انتگرال روی آن محاسبه می‌شود، در اینجا تا سطح خمیده گسترش دارد.



شکل ۲۴-۶



شکل ۲۵-۶

بقیه استنتاج مانند قسمت ۲-۶ است. برش طولی وارد بر جزء تیر چنین است:

$$\Delta H = \frac{VQ}{I} \Delta x \quad (۴-۶)$$

که در آن، V ممان ایزرسی مرکزی تمام مقطع عرضی، Q ممان اول سطح a نسبت به محور خشندی و I ممان عمودی در مقطع عرضی است. برش افقی در طول واحد، با جریان برش، چنین است:

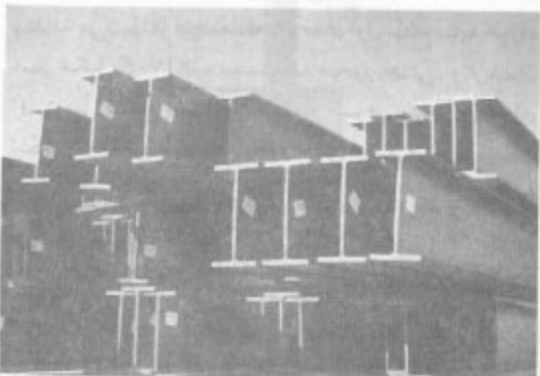
$$q = \frac{\Delta H}{\Delta x} = \frac{VQ}{I} \quad (5-6)$$

مثال ۴-۶

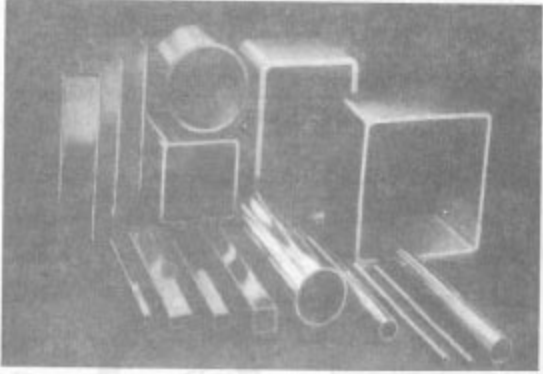
تیر جعبه‌ای چهارگوشی از دو تخته $18 \text{ mm} \times 76 \text{ mm}$ و دو تخته $18 \text{ mm} \times 112 \text{ mm}$ ، که مطابق شکل بهم میخ شده‌اند، تشکیل شده است (شکل ۲۶-۶). اگر فاصله بین میخ‌ها 44 mm باشد و تیر تحت برش عمودی $2,5 \text{ kN} - 2,5 \text{ kN}$ بنشاند، نیروی برشی در هر میخ را بیابید.

۷-۶ تنش برشی در عضوهای جدار نازک

در قسمت قبل دیدیم که برای تعیین نیروی برشی طولی H وارد بر جدارهای یک جزء تیر با شکل اختیاری می‌توان از معادله (۴-۶)، و برای تعیین جریان برش τ متناظر از معادله (۵-۶) استفاده کرد. در این قسمت، از این معادله‌ها برای محاسبه جریان برش و تنش برشی متوسط در عضوهای جدار نازک، مانند بال تیرهای بال پهن (شکل ۲۸-۶) و تیرهای جعبه‌ای، یا دیواره لوله‌های ساختمانی (شکل ۲۹-۶) استفاده می‌شود.

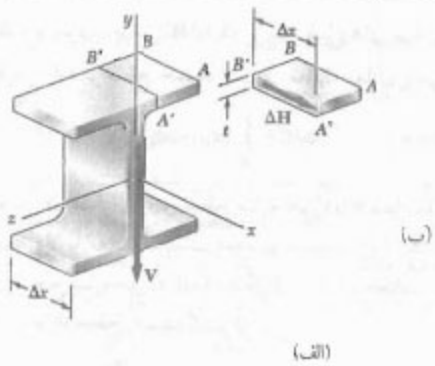


شکل ۲۸-۶

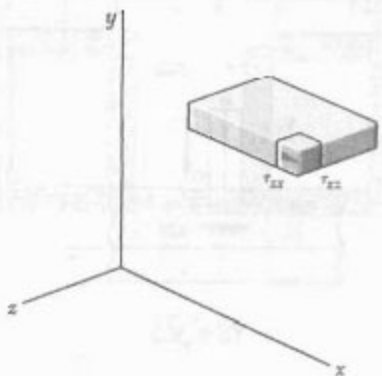


شکل ۲۹-۶

این همان عبارتی است که در قسمت ۳-۶ برای برش افقی به دست آمد. گفتنی است که τ_{ave} مقدار متوسط τ_{zz} است. چون خصامت بال کم است، $\tau_{zz} = \tau_{xy}$ (شکل ۳۱-۶)، درنتیجه، برای تعیین مؤلفه افقی τ_{xy} در هر نقطه مقطع عرضی بال می‌توان از معادله ۴-۶ استفاده کرد. در این معادله، Q ممان اول سطح سایه خورده نسبت به محور خشتمی است (شکل ۳۲-۶الف). در قسمت ۴-۶ نیز برای مؤلفه قائم τ_{yy} در جان تیر به همین نتیجه رسیدیم (شکل ۳۲-۶ب). برای تعیین تنش‌های برشی در تیرهای جعبه‌ای (شکل ۳۳-۶)، نیم لوله‌ها (شکل ۳۴-۶) و سایر عضوهای جدار نازک، تا وقتی بارها در صفحه تقارن عضو اعمال می‌شوند، می‌توان از معادله (۴-۶) استفاده کرد. در هر حالت، مقطع بریده باید بر سطح عضو عمود باشد. در این صورت، معادله (۴-۶) مؤلفه تنش برشی در جهت مماس بر آن سطح را می‌شود. (به علت تردیدیکی دو سطح آزاد به یکدیگر، مؤلفه دیگر را می‌توان صفر گرفت).



شکل ۳۰-۶



شکل ۳۱-۶

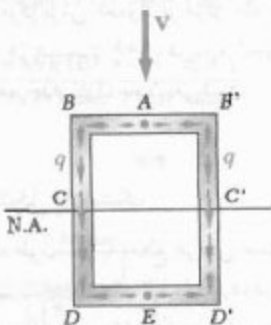
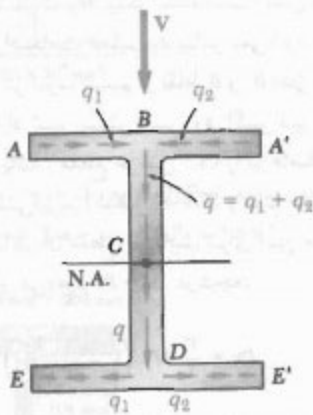
قطعه‌ای به طول Δx از یک تیر بال پهن را در نظر بگیرید (شکل ۳۰-۶الف). طبق شکل ۳۰-۶ب، جزء $ABB'A'$ از بال بالین را با یک برش عمودی جدا می‌کنیم. طبق معادله ۴-۶، نیروی برشی طولی وارد براین جزء چنین است:

$$\Delta H = \frac{VQ}{I} \Delta x \quad (4-6)$$

از تقسیم ΔH بر مساحت I ، $\Delta A = \Delta x$ ، تنش برشی متوسط وارد بر این جزء تعیین می‌شود:

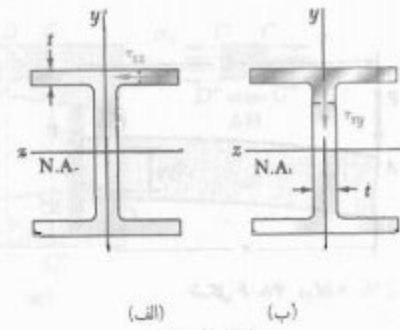
$$\tau_{ave} = \frac{VQ}{It} \quad (6-6)$$

تیر، مقدار q متناظر با دو نیمه بال را باید با هم ترکیب و مقدار q هر بالای جان را به دست آورد. مقدار q پس از اینکه در C روی محور خشنی به مقدار ماکریزم می‌رسد، کاهش می‌باید و در D به دو قسمت مساوی (متناظر با دو نیمه بال پیاپی) تقسیم می‌شود؛ برای برش q در طول واحد، معمولاً از واژه جریان برش استفاده می‌شود. این واژه، تشابه بین خواص q را، که هم اکثرون توصیف کردیم، با بعضی مشخصه‌های جریان سیال در یک کانال باز یا لوله نشان می‌دهد.

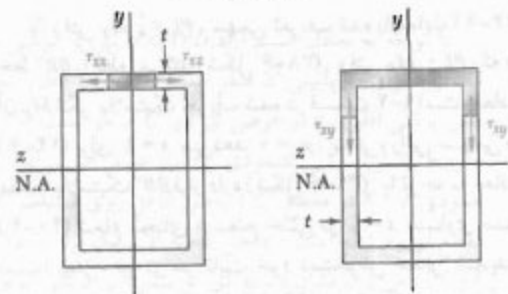
شکل ۳۵-۶ تغییرات q در مقطع تیر جعبه‌ایشکل ۳۶-۶ تغییرات q در مقطع تیر بال پهن

تا کنون، فرض کردیم که تمام بارها در صفحه تقارن عضو وارد می‌شوند. در عضوهایی که دو صفحه تقارن دارند، مانند تیر بال پهن شکل ۳۲-۶ یا تیر جعبه‌ای شکل ۳۲-۶، هر باری را که از مرکز سطح یک مقطع داده شده می‌گذرد می‌توان به مؤلفه‌هایی در امتداد دو محور تقارن آن مقطع تجزیه کرد. هر

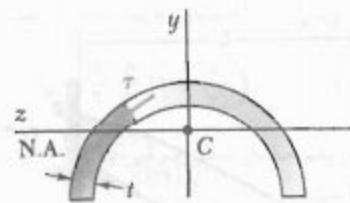
* از مفهوم جریان برش برای تحلیل توزیع تشنهای در شفتهای توخالی جدار نازک استفاده شد (قسمت ۱۲-۶)، که این است که جریان برشی در یک شفت توخالی ثابت است، ولی در عضوی که تحت بارگذاری عرضی است ثابت نیست.



شکل ۳۲-۶ (الف) (ب)



شکل ۳۳-۶ (الف) (ب)

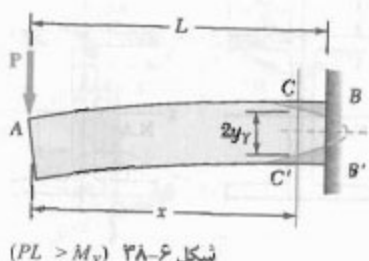


شکل ۳۴-۶

با مقایسه معادله‌های (۵-۶) و (۶-۶)، دیده می‌شود که $t = q$ ، که در آن τ تنش برشی در یک نقطه معین از مقطع و τ ضخامت مقطع در آن نقطه است. چون V و I در تمام مقطع ثابت‌اند، q فقط به معان اول Q بستگی دارد و به سهولت می‌توان آن را روی مقطع رسم کرد. مثلاً در یک تیر جعبه‌ای (شکل ۳۵-۶)، از صفر در A تا مقدار ماکریزم در C و C' روی محور خشنی به طور یکنواخت افزایش می‌باید، و سپس در نقطه E به صفر می‌رسد. همچنین، مقدار q با عبور از گوشه B ، B' ، D ، D' ، به طور ناگهانی تغییر می‌کند و سوی آن را در قسمت‌های افقی مقطع به سهولت می‌توان از سوی آن در قسمت‌های عمودی (که با سوی برش V یکسان است) بدست آورد. در یک مقطع بال پهن (شکل ۳۶-۶)، مقدار q در قسمت‌های AB و $A'B$ بال بالابی به طور متقارن توزیع می‌شود. در نقطه B در جان

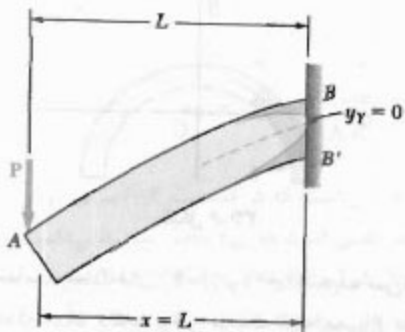
مؤلفه باعث می‌شود عضو در صفحه تقارن خمیده شود. تنش‌های پرشی متناظر را از معادله (۳۸-۶) می‌توان بدست آورده. سپس، از اصل ترکیب برای تعیین تنش‌های حاصل استفاده می‌شود.

اگر عضو تحت بررسی قادر صفحه تقارن باشد، یا فقط یک صفحه تقارن داشته باشد و تحت باری قرار داشته باشد که در آن صفحه نیست، عضو به طور همان خمیده و پیچیده می‌شود، به جز وقتی که بار در نقطه خاصی، به نام مرکز برش، وارد شود. گفتنی است که مرکز برش معمولاً بر میزان سطح مقاطع عرضی منطبق نیست. در قسمت ۹-۶، درباره تعیین مرکز برش شکل‌های مختلف جدار نازک بحث می‌شود.



شکل ۳۸-۶

تا وقتی $PL > My$ ، سهمی تعریف شده با معادله (۱۴-۶) خط 'BB' را مقطع می‌کند (شکل ۳۸-۶). وقتی $PL = M_p$ ، که در آن M_p لنگر پلاستیک تعریف شده در قسمت ۹-۴ است، معادله (۱۴-۶) برای $x = L$ می‌دهد $= ۰$. یعنی، رأس سهمی در مقاطع پلاستیک 'BB' قرار دارد (شکل ۳۹-۶). با توجه به معادله (۳۹-۶) شاعر انحنای ρ سطح خنتی در $x = L$ مساوی صفر است؛ یعنی، تیر در سر ثابت خود دستخوش خمش شدیدی شده است و می‌گویند در آن نقطه لولای پلاستیک به وجود آمده است. بار $P = M_p/L$ ماکریم باری است که تیر می‌تواند تحمل کند.



شکل ۳۹-۶

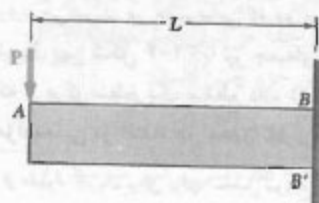
بحث بالا فقط برای تحلیل تنش قائم در تیر است. حال، توزیع تنش برشی در مقاطعی را در نظر می‌گیریم که به طور جزئی پلاستیک شده است. قسمت $CC'D'D$ از تیر را که بین مقاطع عرضی CC' و DD' و بالای صفحه افقی $D'C'$ قرار دارد در نظر بگیرید (شکل ۴۰-۶ الف). اگر این قسمت تماماً در منطقه پلاستیک باشد، تنش‌های قائم وارد بر وجود CC' و DD' دارای توزیع یکنواخت‌اند و با استقامت تسلیم σ_y برابرند (شکل ۴۰-۶ ب).

۶-۸ تغییر شکل پلاستیک

تیر طرهای AB به طول L و با مقاطع عرضی مستطیلی را، که سر آزاد A آن تحت بار متمنگر P قرار دارد، درنظر می‌گیریم (شکل ۳۷-۶). ماکریم مقدار لنگر خمشی در سر ثابت B به وجود می‌آید و عبارت است از $PL = Px$. تا وقتی از ماکریم لنگر الاستیک M_y بیشتر نشده است، تنش قائم σ_y در هیچ نقطه تیر از استقامت تسلیم σ_y بیشتر نمی‌شود. اگر P از مقدار M_y/L بیشتر شود، تسلیم در نقاط B و B' آغاز می‌شود و به طرف سر آزاد تیر پیش می‌رود. اگر تیر از جنس الامتوپلاستیک باشد، مقاطع عرضی CC' را در فاصله x از سر آزاد A درنظر می‌گیریم (شکل ۳۸-۶) و نیم ضخامت y_γ هسته الاستیک را در آن مقاطع می‌یابیم. برای این منظور، در معادله (۳۸-۶) قرار می‌دهیم $M = Px$. درنتیجه،

$$Px = \frac{\gamma}{4} M_y \left(1 - \frac{y_\gamma^2}{c^2} \right) \quad (14-6)$$

که در آن نصف عمق تیر است. یا ترسیم لاپر حسب x ، مرز بین مناطق الاستیک و پلاستیک به دسته می‌آید.



شکل ۴۰-۶

مسئله نمونه ۳-۶

اگر برش عمودی در تیر فولادی نورد شده $W 250 \times 101$ باشد، تنش برشی افقی در بال بالایی را در نقطه a به فاصله 10 mm از لبه تیر بیابیم. ابعاد و سایر داده‌های هندسی مقطع فولادی نورد شده در پیوست چ داده شده‌اند.

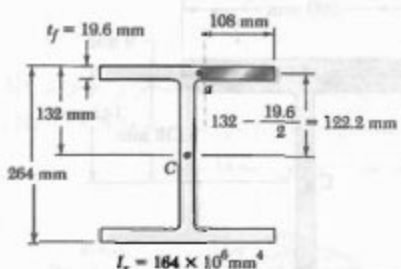
حل

قسمت سایه خورده بال را در نقطه a در امتداد خط چین می‌بریم.

$$Q = (10\text{ mm})(19.6\text{ mm})(122.2\text{ mm}) = 258.7 \times 10^7 \text{ mm}^3$$

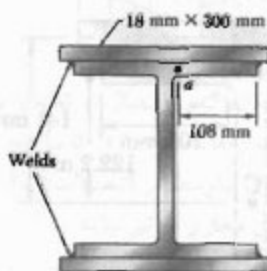
$$\tau = \frac{VQ}{It} = \frac{(200\text{ kN})(258.7 \times 10^7 \text{ mm}^3)}{(164 \times 10^6 \text{ mm}^4)(19.6\text{ mm})}$$

$$\Rightarrow \tau = 16.1 \text{ MPa} \quad \blacktriangleleft$$



مسئله نمونه ۴-۶

مسئله نمونه ۴-۶ را با این فرض حل کنید که ورق‌های $18 \times 300 \text{ mm}$ به بال‌های تیر متصل شده باشند.



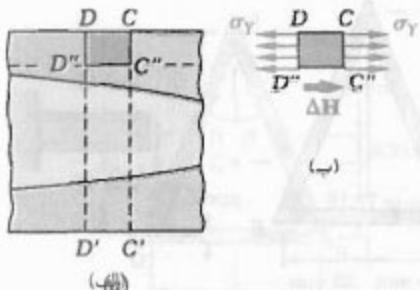
حل

مانع اینرسی مرکزی تیر مرکب چنین است:

$$I = 164 \times 10^6 \text{ mm}^4 + 2[\frac{1}{3\pi}(300\text{ mm})(18\text{ mm})^3 + (300\text{ mm})(18\text{ mm})(441\text{ mm})^3]$$

$$I = 479 \times 10^6 \text{ mm}^4$$

* به مسئله ۵۵-۶ نگاه کنید.



شکل ۶-۶

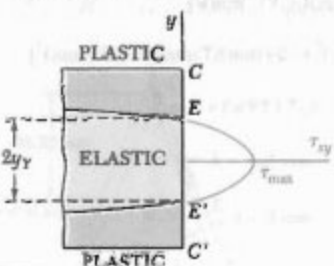
با توجه به تعادل جسم آزاد $CC'D'D$ ، نیروی برشی افقی τ_{xy} وارد بر وجه پایینی آن صفر است. در نتیجه، مقدار متوسط تنش برشی افقی τ_{xy} در عرض تیر در C' صفر است، و مقدار متوسط تنش برشی عمودی τ_{yy} نیز صفر است. لذا، برش عمودی $V = P$ در مقطع CC' به طور کامل روی قسمت $'EE'$ آن مقطع توزیع شده است و داخل ناحیه الاستیک قرار دارد (شکل ۶-۶). می‌توان نشان داد که توزیع تنش‌های برشی روی $'EE'$ مانند توزیع آنها در یک تیر الاستیک مستطیلی است که عرض آن، مانند عرض تیر AB ، برابر با b و عمق آن مساوی ضخامت $2h_y$ منطقه الاستیک است. اگر مساحت $2h_y$ قسمت الاستیک مقطع عرضی را با A' نشان دهیم، نتیجه می‌شود:

$$\tau_{xy} = \frac{3}{2} \frac{P}{A'} \left(1 - \frac{y'}{y_y} \right) \quad (15-6)$$

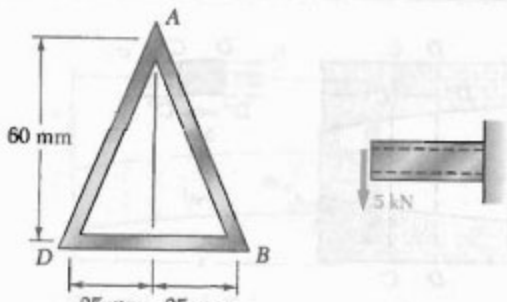
ماکزیمم مقدار تنش برشی برای $y = y_y$ می‌دهد و چنین است:

$$\tau_{max} = \frac{3}{2} \frac{P}{A'} \quad (16-6)$$

با کاهش مساحت A' قسمت الاستیک مقطع عرضی، τ_{max} افزایش می‌یابد و سرانجام به استقامت تسلیم برشی τ_y می‌رسد. لذا، برش در شکست نهایی تیر سهم دارد. برای تحلیل دقیق تر این حالت شکست، باید اثر ترکیبی تنش‌های قائم و برشی را در نظر گرفت.*



شکل ۶-۷



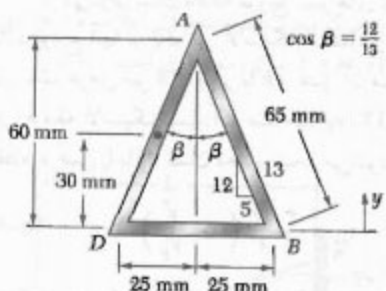
حل

مرکز هندسی. یا توجه به

$$\bar{Y} = \frac{\sum \bar{y} A}{\sum A}$$

$$= \frac{\gamma[(65 \text{ mm})(\gamma \text{ mm})(\gamma \text{ mm})]}{\gamma[(75 \text{ mm})(\gamma \text{ mm})] + (\Delta \text{ mm})(\gamma \text{ mm})}$$

$$= 21.67 \text{ mm}$$



مان اینترسی نسبت به محور گذرا از مرکز سطح. طرفین تیر جدار نازک را می‌توان متوازی‌الاضلاع گرفت. لذا، برای حالت داده شده، $I_{mn} = bh^3/12$ که در آن b در امتداد محور اندازه‌گیری می‌شود.

$$b = (\gamma \text{ mm})/\cos \beta = (\gamma \text{ mm})/(\frac{12}{13}) = 2.25 \text{ mm}$$

$$I = \sum (I + Ad^2) = \gamma [\frac{1}{12} (\gamma \cdot 2.25 \text{ mm})(\gamma \text{ mm})^3 + (\gamma \cdot 2.25 \text{ mm})(\gamma \text{ mm})(21.67 \text{ mm})^2]$$

$$+ [\frac{1}{12} (\Delta \text{ mm})(\gamma \text{ mm})^3 + (\Delta \text{ mm})(\gamma \text{ mm})(21.67 \text{ mm})^2]$$

$$= 214.6 \times 10^6 \text{ mm}^4 = 214.6 \times 10^{-6} \text{ m}^4$$

چون بال و ورق بالای فقط در نقاط جوشکاری بهم متصل‌اند، بال را در نقاط a و a' می‌بریم و تنش برشی را در نقطه a می‌باییم.

برای سطح سایه خورده جدا شده

$$t = 2t_f = 2(19.6 \text{ mm}) = 39.2 \text{ mm}$$

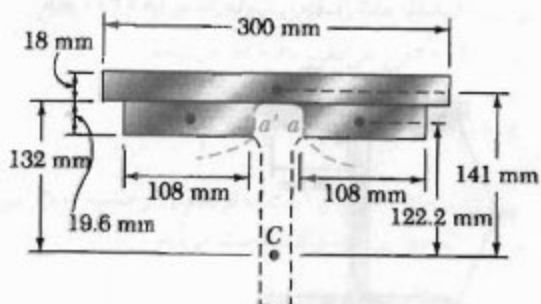
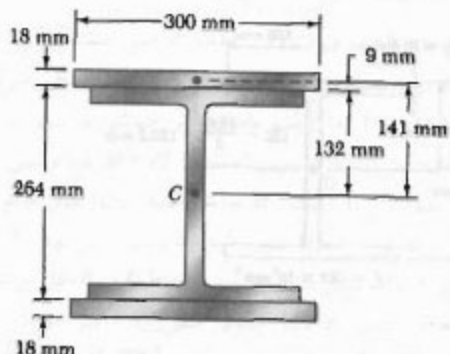
$$Q = \gamma[(10.8 \text{ mm})(19.6 \text{ mm})(122.2 \text{ mm})]$$

$$+ (\gamma \text{ mm})(10.8 \text{ mm})(141 \text{ mm})$$

$$Q = 1/2 \gamma A \times 10^6 \text{ mm}^2$$

$$\tau = \frac{VQ}{It} = \frac{(\gamma \text{ mm})(1/2 \gamma A \times 10^6 \text{ mm}^2)}{(39.2 \times 10^6 \text{ mm}^3)(39.2 \text{ mm})}$$

$$\Rightarrow \tau = 17.1 \text{ MPa} \quad \blacksquare$$



مسئله نمونه ۵-۶

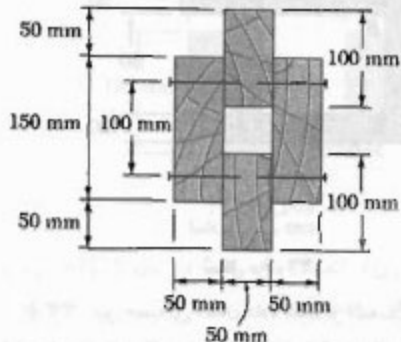
تیر جدار نازک آلومینیومی نشان داده شده دارای دیواره یکتواخت با ضخامت 3 mm است. اگر نیروی برشی در تیر 5 kN باشد، مطلوبست: (الف) تنش برشی در نقطه A ،

(ب) ماکریم تنش برشی در تیر.

توجه: ابعاد داده شده ناخطوط میانی سطوح خارجی و داخلی تیر هستند.

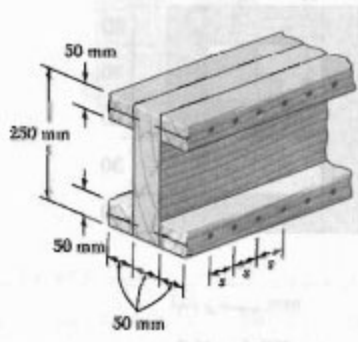
مسائل

٢٩-٦ تیر چوبی سر هم شده نشان داده شده تحت برش عمودی ٦ kN قرار دارد. اگر فاصله طولی بین میخ‌ها، $x = 90$ mm باشد، نیروی برشی در هر میخ را باید.



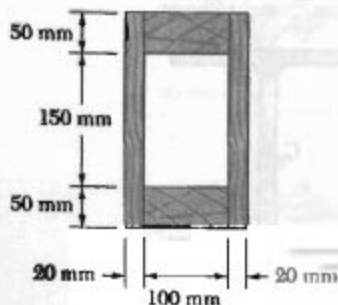
شکل ۲۹-۶

٣٠-٣ تیر چوبی نشان داده شده تحت برش عمودی ٥ kN قرار دارد. اگر نیروی مجاز برشی در میخ‌ها $q_A = 300$ N باشد، ماکزیمم فاصله مجاز x را بین میخ‌ها باید.

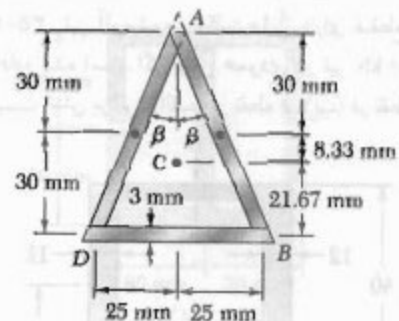


شکل ۳۰-۳

٣١-٦ تیر چوبی نشان داده از اتصال دو تخته به ابعاد 20×250 mm و دو تخته به ابعاد 50×100 mm ساخته شده است. اگر تنش برشی مجاز متوسط در اتصالات 35 MPa باشد، ماکزیمم برش عمودی مجاز را در تیر باید.



شکل ۳۱-۶



الف. تنش برشی در A . برای تنش برشی در A ، جریان برش عبارت است از $\tau_A = q_A t = q_A \cdot 3$ و در یکی از دو جهت نشان داده شده است. اما مقطع عرضی و بارگذاری نسبت به یک خط عمودی گذاشت A متفاوت نیست. لذا، جریان برش تیر باید مستقیمان باشد. چون هیچگذام از جریان‌های برش ممکن مستقیمان نیست،

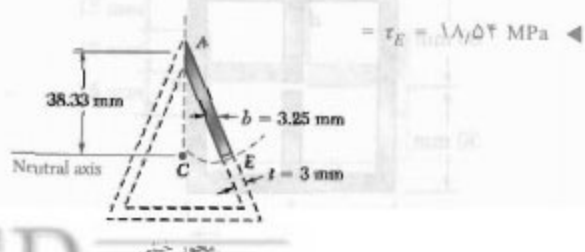


ب. ماکزیمم تنش برشی. چون ضخامت دپواره ثابت است، ماکزیمم تنش برشی در محور خنثی به وجود می‌آید، یعنی در جایی که $Q = 0$ ماقزیمم است. چون تنش برشی در A صفر است، مقطع را در امتداد خط‌چین می‌بریم و قسمت سایه خورده را جدا می‌کنیم. برای تعیین ماکزیمم تنش برشی، مقطع بربرد در محور خنثی را عمود بر وجوه می‌گیریم. طول این مقطع ۳ mm است. درنتیجه،

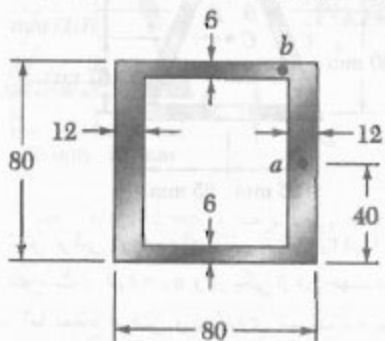
$$Q = [(3/25 \text{ mm})(38.33/22 \text{ mm})] \left(\frac{38.33/33 \text{ mm}}{2} \right) = 2387 \text{ mm}^3$$

$$Q = 2387 \times 10^{-9} \text{ m}^3$$

$$\tau_E = \frac{VQ}{It} = \frac{(6 \text{ kN})(2387 \times 10^{-9} \text{ m}^3)}{(0.1446 \times 10^{-9} \text{ m}^4)(0.003 \text{ m})}$$

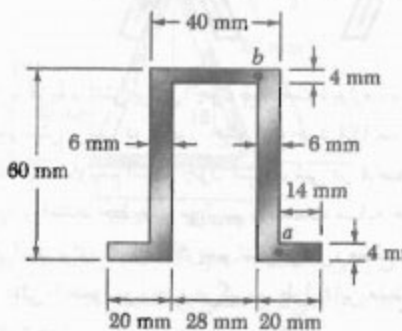


۳۵-۶ تیر آلومینیومی اکستروژنی دارای مقطع عرضی نشان داده شده است. اگر برش عمودی در تیر 150 kN باشد، مطلوب است تنش برشی: (الف) در نقطه a ، (ب) در نقطه b .



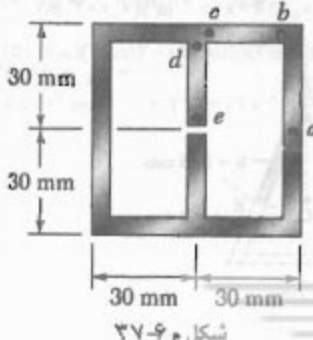
شکل ۳۵-۶

۳۶-۶ اگر برش عمودی داده شده 7V باعث ایجاد ماکریم متش برشی 75 MPa در مقطع نشان داده شده شود، مطلوب است تنش برشی متناظر: (الف) در نقطه a ، (ب) در نقطه b .



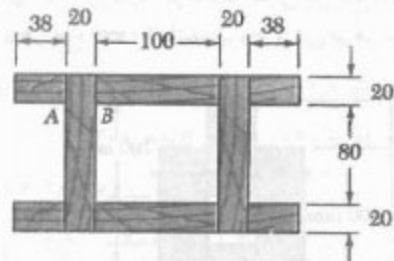
شکل ۳۶-۶

۳۷-۶ و ۳۸-۶ تیر اکستروژن نشان داده دارای دیواره با ضخامت یکنواخت 2 mm است. اگر برش عمودی در تیر باشد، تنش برشی در هر یک نقطه داده شده را باید 8 kN



شکل ۳۷-۶

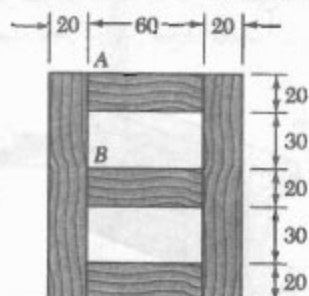
۳۲-۶ تیر چوبی نشان داده شده از اتصال چند تخته ساخته شده است. اگر تیر تحت برش 5 kN قرار گیرد، مطلوب است تنش برش متوسط در اتصال چسبی: (الف) در A ، (ب) در B .



ابعاد بر حسب mm

شکل ۳۲-۶

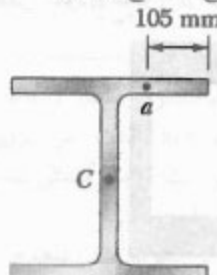
۳۳-۶ تیر جعبه‌ای نشان داده شده از اتصال چند تخته ساخته شده است. اگر تیر تحت برش عمودی 3 kN قرار گیرد، مطلوب است تنش برشی متوسط در اتصال چسبی: (الف) در نقطه A ، (ب) در نقطه B .



ابعاد بر حسب mm

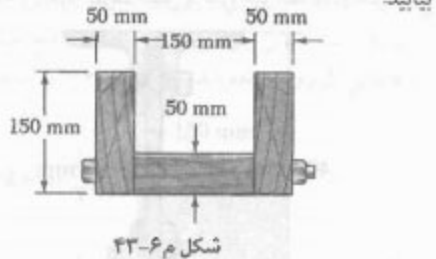
شکل ۳۳-۶

۳۴-۶ اگر تیر فولادی نورد شده $W 360 \times 122$ تحت برش عمودی 25 kN باشد، مطلوب است تنش برشی: (الف) در نقطه A ، (ب) در مرکز سطح C مقطع عرضی.



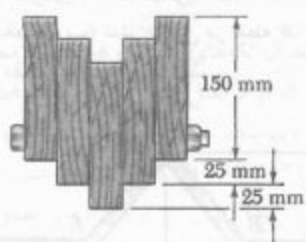
شکل ۳۴-۶

۴۳-۶ سه تخته به هم پیچ شده‌اند و تیر نشان داده شده را تشکیل داده‌اند. قطر هر پیچ 10 mm و فاصله پیچ‌ها از هم در امتداد محور طولی تیر 300 mm است اگر تیر تحت برش عمودی 10 kN قرار گیرد، تنش برخی متوسط را در پیچ‌ها بیابید.



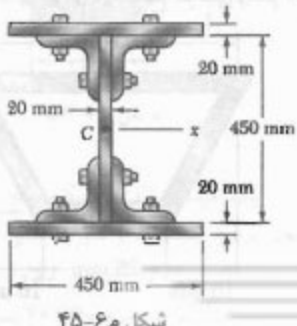
شکل ۴۳-۶

۴۴-۶ تیری از اتصال پنج تخته، هر یک با مقطع عرضی $31 \times 150\text{ mm}$ ، ساخته شده است. تخته‌ها توسط پیچ‌هایی که به فاصله طولی 220 mm از هم قرار دارند به هم پیچ شده‌اند. اگر برش در تیر به صورت عمودی و 8 kN باشد و تنش برخی متوسط مجاز در هر پیچ 50 MPa باشد، کمترین قطر مجاز پیچ‌ها را بیابید.

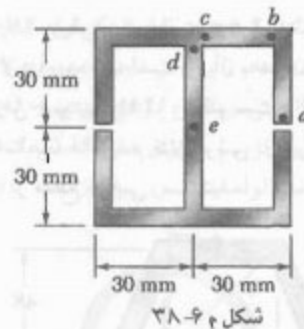


شکل ۴۴-۶

۴۵-۶ دو ورق فولادی به ابعاد $20 \times 450\text{ mm}$ چهارنبشی به ابعاد $152 \times 152 \times 19\text{ mm}$ $152 \times 152 \times 19$ جوش شده‌اند و مقطع عرضی نشان داده شده را ساخته‌اند. پیچ‌ها به قطر 22 mm هستند و در فاصله طولی 125 mm از هر قرار دارند. اگر تنش برخی متوسط مجاز در پیچ‌ها 90 MPa باشد، بیشترین تنش برش عمودی مجاز در تیر را بیابید. ($I_x = 1896 \text{ mm}^4$).



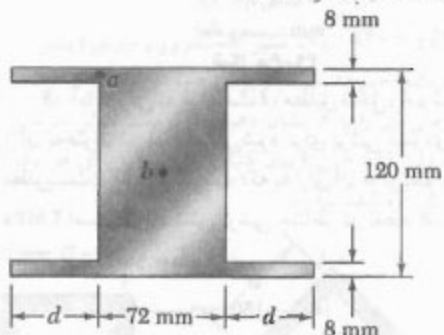
شکل ۴۵-۶



شکل ۴۸-۶

۴۹-۶ برش عمودی در تیری با مقطع عرضی نشان داده شده است. اگر 25 kN باشد، اگر $d = 50\text{ mm}$ باشد، مطلوبست تنش برخی:

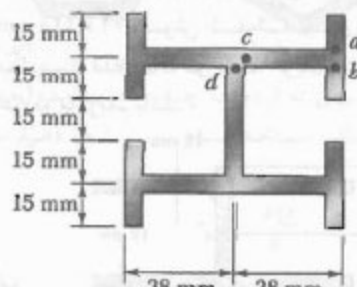
(الف) در نقطه a ، (ب) در نقطه b .



شکل ۴۹-۶ و ۴۰-۶

۴۰-۶ برش عمودی در تیری با مقطع عرضی نشان داده شده است. مطلوبست: (الف) فاصله d که به ازای آن 25 kN باشد، (ب) تنش برخی متناظر در نقاط a و b .

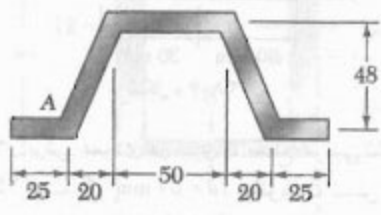
۴۱-۶ ضخامت دیواره تیر نشان داده شده 5 mm است. اگر برش عمودی 7 kN باشد ایجاد ماکریم تنش برخی $\tau = 60\text{ MPa}$ در تیر شود، تنش برخی را در چهار نقطه نشان داده شده بیابید.



شکل ۴۱-۶

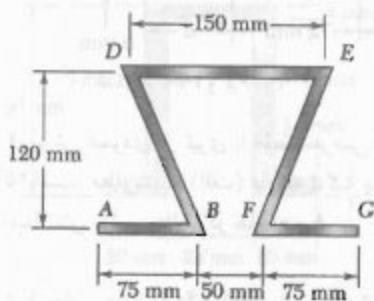
۴۲-۶ مسئله ۴۱-۶ را با این فرض حل کنید که تیر تحت برش افقی 7 kN قرار گیرد.

۴۹-۶ ورقی به ضخامت ۴ mm، مطابق شکل، به صورت کنگرهای درآورده شده است و از آن به عنوان تیر استفاده می‌شود. برای برش عمودی ۱۲ kN، مطلوبست: (الف) تنش برشی در نقطه A. (ب) ماکریم تنش برشی در تیر. همچنین، جریان برش را در مقطع عرضی رسم کنید.



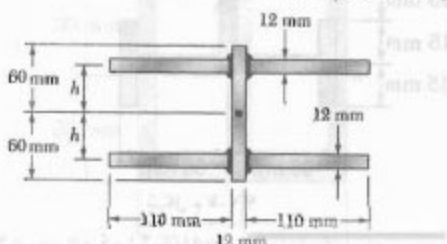
ایجاد بر حسب
۴۹-۶

۵۰-۵ ورقی به ضخامت ۱ mm، مطابق شکل، خم شده است و از آن به عنوان تیر استفاده می‌شود. برای برشی عمودی ۲,۴ kN، مطلوبست: (الف) ضخامت A که با ازای آن ماکریم تنش برشی ۲ MPa است، (ب) تنش برشی متناظر در نقطه E. همچنین، جریان برش را در مقطع عرضی رسم کنید.



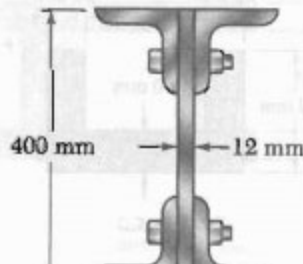
۵۰-۵

۵۱-۶ چهار ورق افقی به یک ورق عمودی ۱۲×۱۲۰ mm جوش شده‌اند. برای برش عمودی ۷ kN، مطلوبست اندازه h به طوری که جریان برشی در سطح جوش خورده ماکریم باشد.



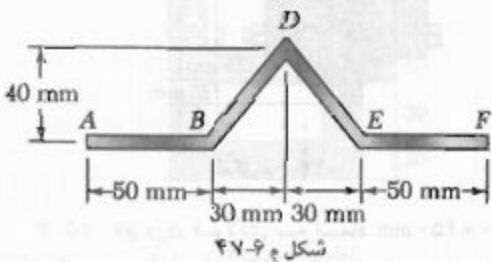
۵۱-۶

۴۶-۶ چهارپوشی فولادی ۴۰۰×۱۲×۱۰۲×۹,۵ mm و یک ورق فولادی ۴۰۰×۱۲×۱۰۲ mm به هم پیچ شده‌اند و تیر نشان داده شده را ساخته‌اند. پیچ‌ها به قطر ۲۲ mm هستند و فاصله آنها با هم در امتداد محور طولی تیر ۱۲۰ mm است. اگر تیر تحت تنش برش عمودی N ۲۴۰ kN قرار گیرد، تنش برشی متوسط را در هر پیچ بیابید.



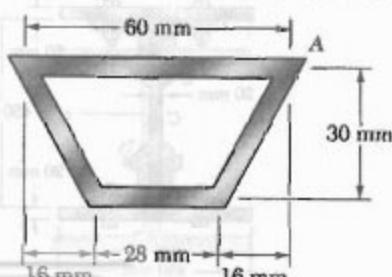
۴۶-۶

۴۷-۶ ورقی به ضخامت ۴ mm، مطابق شکل، به صورت کنگرهای درآورده شده است و از آن به عنوان تیر استفاده می‌شود. برای برش عمودی ۵ kN، مطلوبست: (الف) ماکریم تنش برشی در مقطع، (ب) تنش برشی در نقطه B. همچنین، جریان برش را در مقطع عرضی رسم کنید.



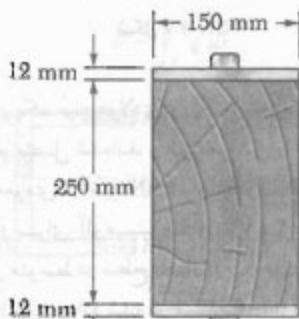
۴۷-۶

۴۸-۶ تیر با مقطع عرضی نشان داده شده دارای دیواره یکنواخت به ضخامت ۱۳ mm است. برای برش عمودی ۱۰ kN، مطلوبست: (الف) تنش برشی در نقطه A. (ب) ماکریم تنش برشی در تیر. جریان برشی را در مقطع عرضی رسم کنید.



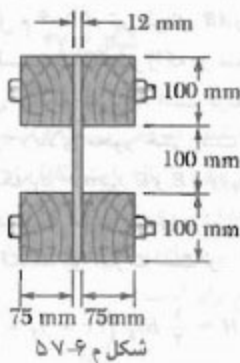
۴۸-۶

۵۶-۶ از اتصال تکه‌های چوبی و فولادی توسط پیچ‌هایی به قطر 12 mm ، که در فواصل طولی 200 mm از هم قرار دارند، تیر مركب نشان داده شده ساخته شده است. مدول الاستیستیه برای چوب 10 GPa و برای فولاد 200 GPa است. (الف) تنش برشی متوسط در پیچ‌ها را برابر تنشی برشی عمودی 4 kN بسپاید. (ب) تنش برشی را در مرکز مقطع عرضی بسپاید. (راهنمایی: از روش داده شده در مسئله ۵۵-۶ استفاده کنید).



شکل ۵۶-۶

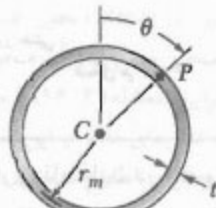
۵۷-۶ از اتصال تکه‌های چوبی و فولادی توسط پیچ‌هایی به قطر 12 mm ، که در فواصل طولی 200 mm از هم قرار دارند، تیر مركب نشان داده شده ساخته شده است. مدول الاستیستیه برای چوب 13 GPa و برای فولاد 200 GPa است. (الف) تنش برشی متوسط در پیچ‌ها را برابر تنشی برشی عمودی 16 kN بسپاید. (ب) تنش برشی را در مرکز مقطع عرضی بسپاید. (راهنمایی: از روش داده شده در مسئله ۵۶-۶ استفاده کنید).



شکل ۵۷-۶

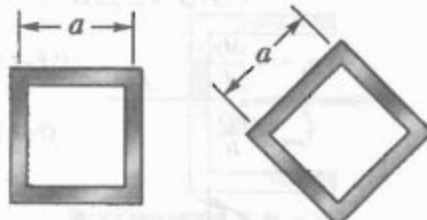
۵۸-۶ یک میله فولادی و یک میله آلمینیومی، مطابق شکل، بهم متصل شده‌اند و تیر میکسی را تشکیل داده‌اند. اگر تنش عرضی در تیر 6 kN و مدول الاستیستیه فولاد 21 GPa و برای آلمینیوم 7 GPa باشد، مطلوب است:

(الف) تنش برشی در نقطه P یک لوله جدار نازک با مقطع عرضی داده شده را برشی عمودی V بسپاید.
(ب) نشان دهید که ماکریم تنش برشی برای $\theta = 90^\circ$ روی می‌دهد و این مقدار ماکریم مساوی V/A است، که در آن A مساحت مقطع عرضی لوله است.

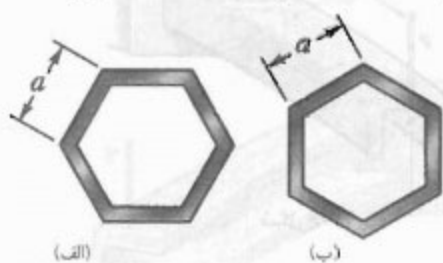


شکل ۵۸-۶

۵۴-۶ و ۵۳-۶ یک تیر اکسیتروزن دارای دیواره با ضخامت یکنواخت است. اگر برش عرضی را با V و مساحت مقطع عرضی تیر را با A نشان دهیم، ماکریم تنش برشی را به صورت $\tau_{max} = k(V/A)$ بیان کنید و ثابت کنید که از دو وضعیت داده شده بسپاید.



شکل ۵۴-۶ و ۵۳-۶

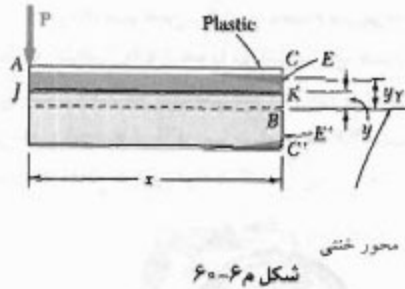


شکل ۵۴-۶ و ۵۳-۶

۵۵-۶ برای تیری که از دو یا چند ماده با مدلول‌های الاستیستیه مختلف ساخته شده است، نشان دهید که معادله (۵-۶)

$$\tau_{ave} = \frac{VQ}{I}$$

صحت دارد به شرطی که I هر دو با استفاده از مقطع تبدیل یافته تیر محاسبه شود (به قسمت ۶.۴ نگاه کنید) و نیز به شرطی که ا عرض واقعی تیر در جایی باشد که محاسبه می‌شود.



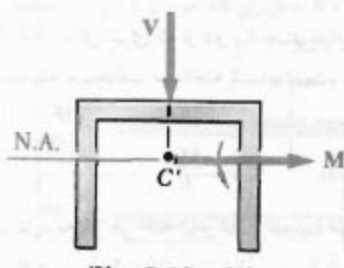
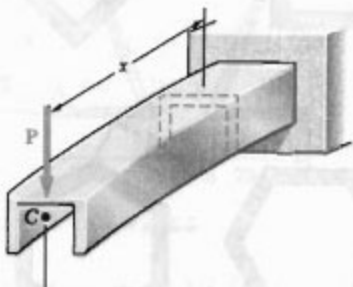
۹-۶ بارگذاری نامتقارن در عضوهای چدار نازک:

مرکز برش

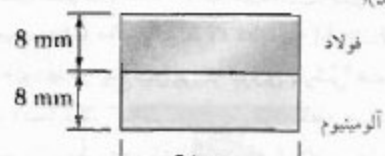
در فصل ۵ و قبل از آن، فقط عضوهایی را تحلیل کردیم که دارای صفحه نتارن عمودی بودند و تحت بارگذاری عرضی در آن صفحه قرار داشتند. این عضویا در صفحه بارگذاری خم می شدند (شکل ۴۲-۶). تنش های قائم و برشی ناشی از کوپل خمی M و برش V (شکل ۴۳-۶) در یک مقطع عرضی با معادله های ذیر بیان می شوند:

$$\sigma_x = -\frac{My}{I} \quad (۱۶-۴)$$

$$\tau_{ave} = \frac{VQ}{It} \quad (۶-۶)$$

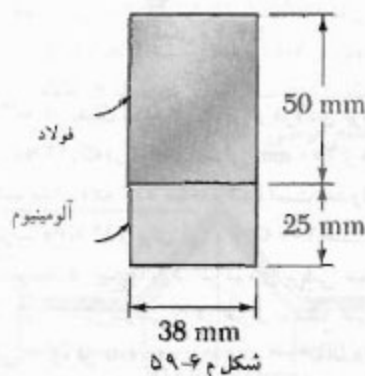


(الف) تنش متوسط در سطح اتصال، (ب) ماکریم تنش در تیر. (راهنمایی: از روش داده شده در مسئله ۵۵-۶ استفاده کنید).



شکل م-۵۸-۴

۵۹-۶ یک میله فولادی و یک میله آلومینیومی، مطابق شکل، بهم متصل شده اند و تیر مرکبی را تشکیل داده اند. اگر برش عمودی در تیر ۱۶ kN و مدول الاستیتیته فولاد ۲۰۰ GPa و برای آلومینیوم ۷۳ GPa باشد، مطلوب است: (الف) تنش متوسط در سطح اتصال، (ب) ماکریم تنش در تیر. (راهنمایی: از روش داده شده در مسئله ۵۵-۶ استفاده کنید).



شکل م-۵۹-۶

۹-۶ در شکل م-۵۵-۶، تیر طرهای AB را که در قسمت ۸-۶ بررسی شد و قسمت ACKJ تیر را که در سمت چپ مقطع عرضی CC' و بالای صفحه افقی JK است در نظر بگیرید (K نقطه ای به فاصله y_y بالای محور خنثی است).

(الف) با توجه به اینکه $\sigma_x = \sigma_y$ بین E و C و K است، نشان دهد که مقادیر نیروی برشی افقی H و ازde بر وجه پایینی قسمت ACKJ تیر عبارت است از

$$H = \frac{1}{\gamma} b\sigma_y \left(2c - y_y - \frac{y^2}{y_y} \right)$$

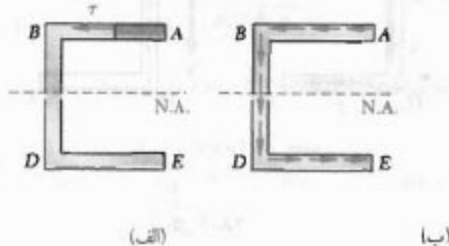
(ب) با توجه به اینکه تنش برشی در K چنین است:

$$\tau_{sy} = \lim_{\Delta A \rightarrow 0, \Delta A} \frac{\Delta H}{\Delta A} = \lim_{\Delta x \rightarrow 0, \Delta x} \frac{1}{b} \frac{\Delta H}{\Delta x} = \frac{1}{b} \frac{\partial H}{\partial x}$$

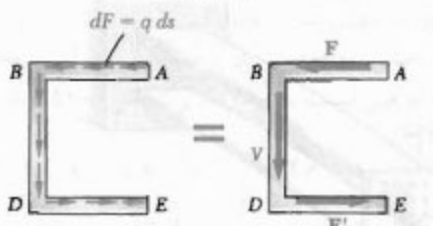
و با توجه به اینکه τ_{sy} تابعی از x است که با معادله (۱۴-۶) تعریف می شود، معادله (۱۵-۶) را استنتاج کنید.

(شکل ۴۶-۶ الف)، و توزیع تنش مانند شکل ۴۶-۶ ب است (برای هر دو نقطه A و E ، $\tau = 0$). نیروی برشی وارد بر جزء کوچکی از مساحت مقطع عرضی $dA = t ds$ برابر است با $q ds$ (شکل ۴۷-۶) ($dF = q ds$ یا $dF = \tau t dA = \tau t ds$)، که در آن $q = VQ/I$ است. جزیران برش، $q = \tau t = VQ/I$ ، در نقطه تحت پرسی است. برایند نیروهای برشی وارد بر اجزای بال بالا AB برابر است با نیروی افقی F (شکل ۴۷-۶ ب) با مقدار زیر:

$$F = \int_A^B q ds \quad (47-6)$$



شکل ۴۶-۶



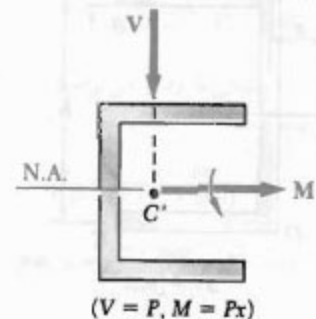
شکل ۴۷-۶

به علت تقارن مقطع ناوданی نسبت به محور خشنی، برایند نیروهای برشی وارد بر بال پایینی DE برابر است با نیروی F' که مقدار آن با مقدار نیروی F برابر و در سوی مخالف آن است. در نتیجه برایند نیروهای برشی وارد بر جان BD با برش عمودی V در این مقطع برابر است:

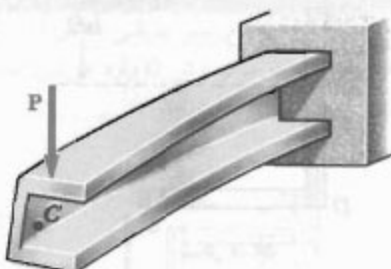
$$V = \int_B^D q ds \quad (48-6)$$

نیروهای F و F' یک کوپل با لنگر Fh را تشکیل می‌دهند، که در آن h فاصله بین خطوط مرکزی بالاهای AB و DE است (شکل ۴۸-۶ الف). اگر برش عمودی V به فاصله c جایه‌جا شود به طوری که لنگر V نسبت به B مساوی Fh باشد

در این قسمت، آثار بارگذاری‌های عرضی را در عضوهای جدار نازکی که دارای صفحه تقارن عمودی نیستند بررسی می‌کنیم. مثلاً، فرض کنید که ناوданی شکل ۴۲-۶ به اندازه 40° بچرخد و خط اثر P در این حالت نیز از مرکز سطح مقطع انتهایی بگذرد. بردار کوپل M که لنگر خمثی زار در یک مقطع عرضی داده شده نشان می‌دهد هنوز در امتداد محور اصلی مقطع است (شکل ۴۴-۶)، و محور خشنی بر آن محور منطبق است (قسمت ۱۳-۴). بنابراین، معادله (۱۶-۴) را می‌توان به کار برد و از آن برای محاسبه تنش‌های قائم در این مقطع استفاده کرد. برای تعیین تنش برشی در این مقطع نیز توان از معادله (۶-۶) استفاده کرد، زیرا این معادله برای عضوی به کار می‌رود که دارای صفحه تقارن عمودی است (قسمت ۷-۶). در واقع، عضو تحت بار وارد خمیده و پیچیده می‌شود (شکل ۴۵-۶) و توزیع تنش‌های برشی حاصل با توزیعی که معادله (۶-۶) می‌دهد کاملاً متفاوت است.



شکل ۴۴-۶



شکل ۴۵-۶

سؤال: آیا می‌توان بار عمودی P را طوری وارد کرد که ناوданی شکل ۴۵-۶ خمیده شود بدون اینکه پیچد. اگر آری، بار P را کجا باید وارد کرد؟ اگر عضو بدون پیچش خمیده شود، در این صورت تنش برشی در هر نقطه از یک مقطع عرضی را می‌توان از معادله (۶-۶) بدست آورد؛ در این معادله، c میان اول سطح سایه خورده نسبت به محور خشنی است

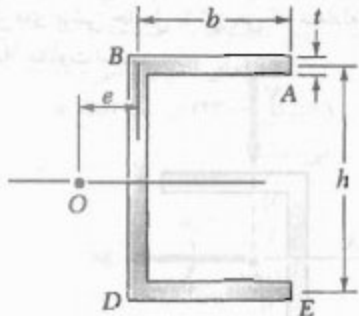
مثال ۵-۶

مرکز برش یک ناوданی با ضخامت یکنواخت (شکل ۵۱-۶) را برای $t = 4 \text{ mm}$, $h = 150 \text{ mm}$, $b = 100 \text{ mm}$ می‌یابید.

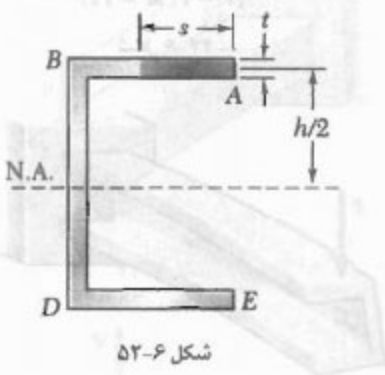
فرض می‌کنیم عضو نمی‌بیچد، و ابتدا جریان برش q در بال AB را در فاصله s از A می‌یابیم (شکل ۵۲-۶). با مراجعه به معادله (۵-۶) و با توجه به اینکه ممان اول Q سطح سایه خورده نسبت به محور خشنی عبارت است از $(Q = (st)(h/2))$ ، می‌نویسیم:

$$q = \frac{VQ}{I} = \frac{Vsth}{\frac{\gamma I}{2}} \quad (۵۰-۶)$$

که در آن V برش عمودی و I ممان اینرسی مقطع نسبت به محور خشنی است.



شکل ۵۱-۶



شکل ۵۲-۶

از معادله (۱۷-۶)، مقدار نیروی برشی وارد بر بال AB را با انتگرال‌گیری جریان برش q از A تا B می‌یابیم:

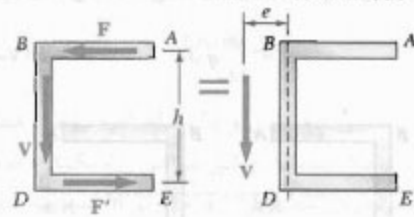
$$F = \int_s^b q \, ds = \int_s^b \frac{Vsth}{\frac{\gamma I}{2}} \, ds = \frac{Vth}{\frac{\gamma I}{2}} \int_s^b s \, ds$$

$$F = \frac{Vthb^2}{\frac{\gamma I}{2}} \quad (۵۱-۶)$$

(شکل ۴۸-۶ ب)، این کویل حذف می‌شود، می‌نویسیم
 $V_e = Fh$ ، درنتیجه،

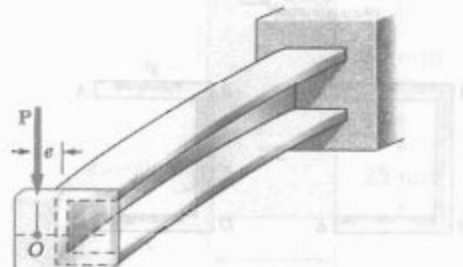
$$e = \frac{Fh}{V} \quad (۵۹-۶)$$

یعنی، اگر نیروی P در فاصله e در سمت چپ خط مرکزی جان BD وارد می‌شود، عضو در یک صفحه عمودی خم می‌شود بدون اینکه بیچد (شکل ۴۹-۶).



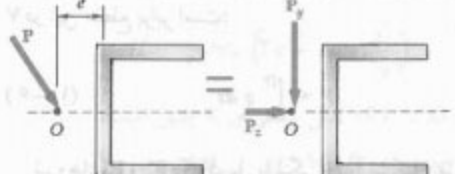
(الف) (ب)

۴۸-۶



۴۹-۶

نقطه O را که محل تلاقی خط اثر P با محور تقارن مقطع انتهایی است مرکز برش آن مقطع می‌گویند. اگر بار P مایل هم باشد (شکل ۵۰-۶ الف) ولی در مرکز برش مقطع وارد شود، عضو نخواهد بیچد. در این حالت، بار P را می‌توان به دو مؤلفه P_x و P_y ، مستاندار با شرایط شکل ۴۲-۶ و ۴۳-۶ تجزیه کرد (شکل ۵۰-۶ ب) که هیچکدام از آنها باعث بیچش عضو نمی‌شوند.

(الف) (ب)
۵۰-۶

تشهای برشی در پالها، چون V در مرکز برش وارد می‌شود، بیجش وجود ندارد، تشن را در پال AB از معادله (۵۰-۶) می‌بایسیم:

$$\tau = \frac{q}{t} = \frac{VQ}{It} = \frac{Vh}{\frac{1}{4}I}s \quad (25-6)$$

این رابطه نشان می‌دهد که توزیع تشن در پال AB خطی است، با قرار دادن $s = b$ و با جایگذاری از معادله (۲۳-۶)، مقدار تشن برشی در B چنین است:

$$\tau_B = \frac{Vhb}{\frac{1}{4}(\frac{1}{12}bh^3)(\frac{1}{4}b + h)} = \frac{\frac{1}{4}Vb}{th(\frac{1}{4}b + h)} \quad (26-6)$$

با جایگذاری $V = 10 \text{ kN}$ ، $t = 100 \text{ mm}$ ، $b = 150 \text{ mm}$ و اندازه‌های ناوданی،

$$\begin{aligned} \tau_B &= \frac{6(10 \text{ kN})(100 \text{ mm})}{(\frac{1}{4} \text{ mm})(150 \text{ mm})(\frac{1}{4} \times 100 \text{ mm} + 150 \text{ mm})} \\ &= 12.3 \text{ MPa} \end{aligned}$$

تشهای برشی در جانب، توزیع تشن برشی در جانب BD به صورت مهمن است (مانند تیر W)، و تشن ماقزیم در محور خشی به وجود می‌آید. با محاسبه ممان اول نیمه بالایی مقطع عرضی نسبت به محور خشی (شکل ۵۴-۶)، داریم

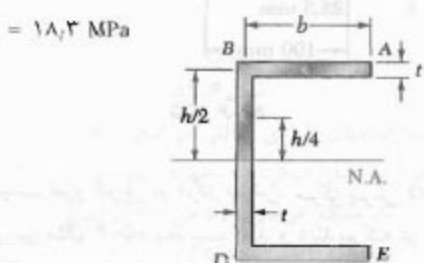
$$Q = bt(\frac{1}{4}h) + \frac{1}{4}ht(\frac{1}{4}h) = \frac{1}{8}ht(\frac{1}{4}b + h) \quad (27-6)$$

با جایگذاری I و Q ، به ترتیب، از (۲۳-۶) و (۲۷-۶) در عبارت تشن برشی، نتیجه می‌شود:

$$\tau_{\max} = \frac{VQ}{It} = \frac{V(\frac{1}{8}ht)(\frac{1}{4}b + h)}{\frac{1}{4}th^3(\frac{1}{4}b + h)t} = \frac{\frac{3}{4}V(\frac{1}{4}b + h)}{th(\frac{1}{4}b + h)}$$

با توجه به داده‌ها،

$$\tau_{\max} = \frac{\frac{3}{4}(10 \text{ kN})(\frac{1}{4} \times 100 \text{ mm} + 150 \text{ mm})}{\frac{1}{4}(\frac{1}{4} \text{ mm})(150 \text{ mm})(\frac{1}{4} \times 100 \text{ mm} + 150 \text{ mm})}$$



شکل ۵۴-۶

فاصله e از خط مرکزی جانب BD تا مرکز برش O را از معادله (۱۹-۶) بدست می‌آوریم:

$$e = \frac{Fh}{V} = \frac{Vthb^3}{\frac{1}{4}I} \cdot \frac{h}{V} = \frac{th^2b^3}{\frac{1}{4}I} \quad (22-6)$$

ممان اینرسی I ناوданی را به صورت زیر می‌توان بیان کرد:

$$\begin{aligned} I &= I_{\text{جان}} + 2I_{\text{پل}} \\ &= \frac{1}{12}th^3 + 2 \left[\frac{1}{12}bt^3 + bt\left(\frac{h}{4}\right)^3 \right] \end{aligned}$$

با صرفنظر از جمله شامل t^3 ،

$$I = \frac{1}{12}th^3 + \frac{1}{12}tbh^3 = \frac{1}{12}th^3(\frac{1}{4}b + h) \quad (23-6)$$

با جایگذاری این عبارت در معادله (۲۲-۶)،

$$e = \frac{\frac{3}{4}b^3}{\frac{1}{4}b + h} = \frac{b}{2 + h/3b} \quad (24-6)$$

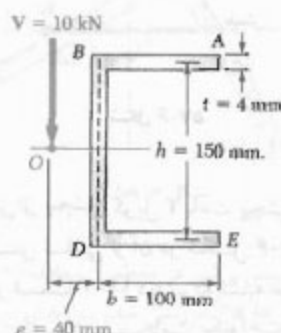
ترجمه داریم که e به I پستگی ندارد و می‌تواند از $\frac{1}{2}b$ تغییر کند. برای مقطع داده شده،

$$\frac{h}{3b} = \frac{150 \text{ mm}}{3(100 \text{ mm})} = 0.5$$

$$\Rightarrow e = \frac{100 \text{ mm}}{2 + 0.5} = 40 \text{ mm}$$

مثال ۵۴-۶

برای ناوданی مثال ۵۰-۵، توزیع تشن برشی ناشی از برش عمودی $V = 10 \text{ kN}$ را که در مرکز برش O وارد می‌شود باید (شکل ۵۳-۶) محاسبه شود.



شکل ۵۳-۶

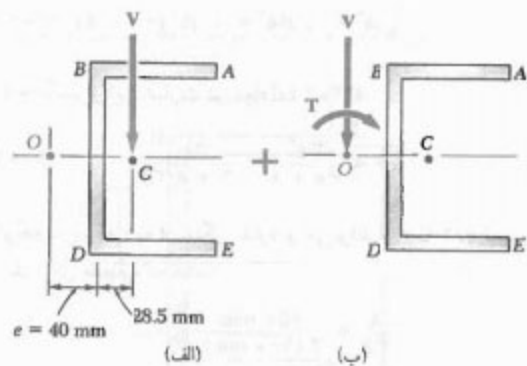
پرس O جایگزین می‌کنیم (شکل ۶-۵۷ ب). این سیستم از نیروی $V = 10 \text{ kN}$ و کوپل زیر تشکیل شده است:

$$T = V(OC) = (1 \times kN)(\Gamma_a \text{ mm} + \Gamma_b \Delta \text{ mm})$$

$$= -1980 \text{ kN.m}$$

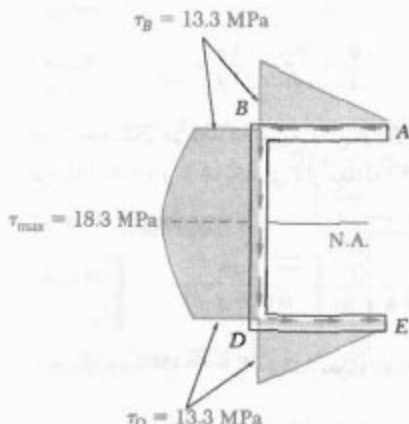
تنش ناشی از خمش. نیروی $V = 10 \text{ kN}$ باعث خممش عضو می‌شود. توزیع متناظر تنش برشی در مقطع ناودانی (شکل ۶-۵۷ج) در مثال ۶-۶ تعیین شد. دیدیم که:

$$(\tau_{\max})_{\text{max}} = \sqrt{\lambda_1 T} \text{ MPa}$$



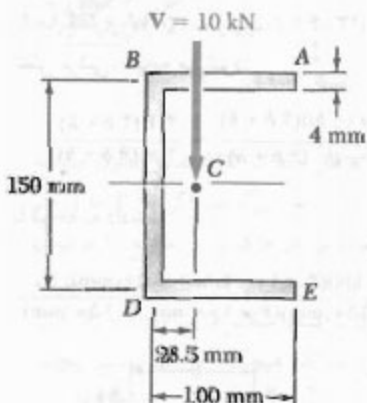
تشن ناشی از پیچش کوپل T باعث پیچش عضو می شود، و توزیع تشن ناشی از آن در شکل ۵۷-۶ دشان داده شده است. در قسمت ۳-۲-۳ دیدیم که تشابه غشانشان می دهد که در عضو جدار نازک با ضخامت یکنواخت، تشن ناشی از کمای T در اختداد لبه مقطعه دارای مقدار ماکزیمم است. با

توزیع تنش روی مقطع، توزیع تنش برشی در کل مقطع ناودانی در شکل ۵۵-۶ رسم شده است.



٦٥-شکا

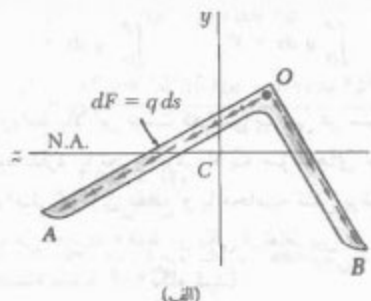
برای ناودانی مثال ۵-۶ و با صرف نظر از تمرکز تنش، مراکزیم
تنش پرسی ناشی از برش عمودی $kN = 10$ را که در مرکز
سطح ناودانی (نقطه C) وارد می شود بیابید. نقطه C در فاصله
 285 mm در سمت خط مرکزی جان BD قرار دارد



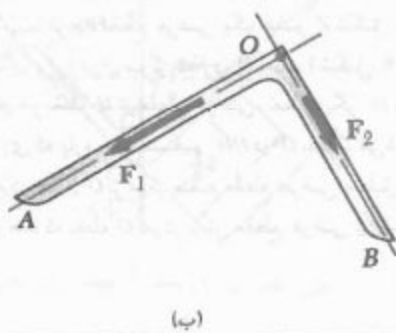
شکل ۶-۵

سیستم نیرو-سکوپل در مرکز برش، مرکز برش ۰ مقطع عرضی در مثال ۵-۶ بدست آمد و دیدیم که در فاصله $e = 40 \text{ mm}$ در سمت چپ خط مرکزی جان BD قرار دارد برش ۷ (شکا ۶-۱۵۷) با سیستم معادل نیرو-سکوپا در مرکز

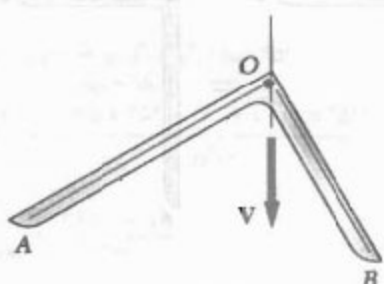
(شکل ۵۹-۶الف). در شکل ۵۹-۶ب، نیروی F_y در امتداد OA برایند نیروهای برشی وارد بر قسمت OA مقطع عرضی، و نیروی F_y در امتداد OB برایند نیروهای برشی وارد بر قسمت OB است. چون F_y و F_z از گوشه نبشی (نقطه O) می‌گذرند، برایند آنها، که بر ش V در مقطع است، از این نقطه می‌گذرد (شکل ۵۹-۶ج). در نتیجه، اگر بار P از گوشه O مقطعی که بر آن وارد می‌شود بگذرد، عضو نخواهد بیجید.



(الف)



(ب)

(ج)
شکل ۵۹-۶

همین استدلال را برای حالتی می‌توان به کار برد که بار P بر محور مرکزی اصلی دیگر، Cz ، عمود باشد. چون بار P را که در گوشه O یک مقطع عرضی وارد می‌شود می‌توان به مؤلفه‌های عمود بر محورهای اصلی تجزیه کرد، نتیجه می‌شود اگر بار در گوشه O مقطع عرضی وارد شود، عضو نخواهد بیجید. یعنی، O مرکز برش مقطع است.

استفاده از معادله‌های (۴۵-۳) و (۴۳-۳) و داده‌های زیر

$$a = 100 \text{ mm} + 150 \text{ mm} + 100 \text{ mm} = 350 \text{ mm}$$

$$b = t = 4 \text{ mm} \quad b/a = 0.111$$

داریم:

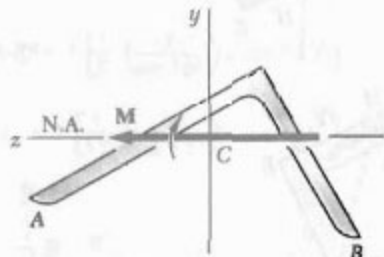
$$c_1 = \frac{1}{\pi} (1 - 0.63^2 b/a) = \frac{1}{\pi} (1 - 0.63^2 \times 0.111) = 0.331$$

$$(\tau_{\max})_{\text{پیش}} = \frac{T}{c_1 ab^3} = \frac{685 \text{ kN.in}}{(0.331)(350)(4 \text{ mm})^3} = 375 \text{ MPa}$$

تش مركب، ماگریم تنش ناشی از خمش و پیچش مركب در محور خشثی روی سطح داخلی جان روی می‌دهد و چنین است:

$$\tau_{\max} = 18.3 \text{ MPa} + 375 \text{ MPa} = 393.3 \text{ MPa}$$

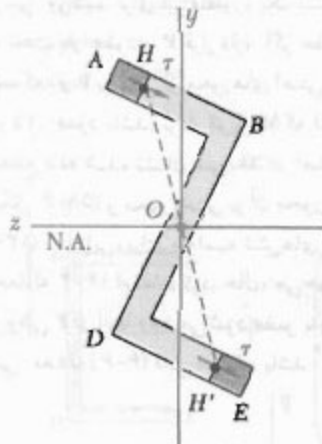
حال، عضوهای جدار نازکی را که صفحه تقارن تدارند بررسی می‌کنیم. برای این‌منظور، یک نبشی را در نظر می‌گیریم که تحت بار عمودی P قرار دارد. اگر عضو طوری قرار داشته باشد که بار P بر یکی از محورهای اصلی مرکزی مقطع عرضی آن، Cz ، عمود باشد، بردار کوپل M که لغز خمشی را در یک مقطع داده شده نشان می‌دهد در امتداد Cz خواهد بود (شکل ۵۸-۶). بنابراین، برای محاسبه تنش‌های قائم در مقطع می‌توان از معادله ۱۶-۴ استفاده کرد. حال، می‌خواهیم نقطه‌ای را بیام که وقتی P در آنجا وارد می‌شود عضو بدون پیچش خمیده شود؛ یعنی، معادله (۶-۶) قابل استفاده باشد.



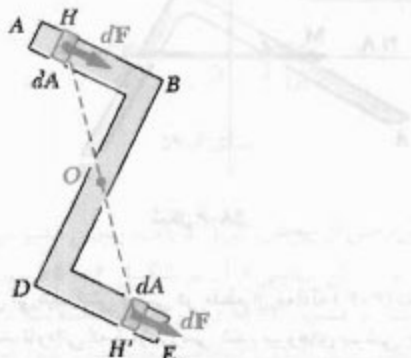
شکل ۵۸-۶

هنر می‌گنجیم تنش برشی در مقطع از معادله (۶-۶) پهست آید. مانند ناوданی که قبله بررسی شد، نیروهای برشی جزوی وارد بر مقطع را می‌توان به صورت $dF = q ds$ بیان کرد، که در آن $q = VQ/I$ و Q ممان اول مقطع نسبت به محور خشثی است

مانند حالت نبیشی، فرض می‌کنیم بار در صفحه‌ای عمود بر یکی از محورهای اصلی مقطع، که محور خشنی مقطع نیز می‌باشد، وارد شود (شکل ۶۲-۶). حال، فرض می‌کنیم تنش برشی در مقطع با معادله $(6-6)$ تعریف شود؛ یعنی، عضو بدون پیچش خم می‌شود. اگر ممان اول قسمت AH مقطع عرضی را نسبت به محور خشنی با Q و ممان اول قسمت EH' را با Q' نشان دهیم، $Q = Q'$. لذا، تنش‌های برشی در H و H' دارای مقدار یکسان و امتداد یکسان هستند، و نیروهای برشی وارد بر مساحت‌های جزئی dA که، به ترتیب، در H و H' قرار دارند نیروهای برابری هستند که دارای ممان‌های مساوی و مخالف نسبت به O می‌باشند (شکل ۶۳-۶). چون این مطلب برای هر زوج جزء مساحت متقاضی صحت دارد، لنگر برایند نیروهای برشی وارد بر مقطع نسبت به نقطه O صفر است. یعنی، برش V در مقطع در امتداد خطی است که از O می‌گذرد. چون این تحلیل را می‌توان برای باری که در صفحه عمود بر محور اصلی دیگر وارد می‌شود تکرار کرد، نتیجه می‌شود که نقطه O مرکز برش مقطع است.



شکل ۶۲-۶



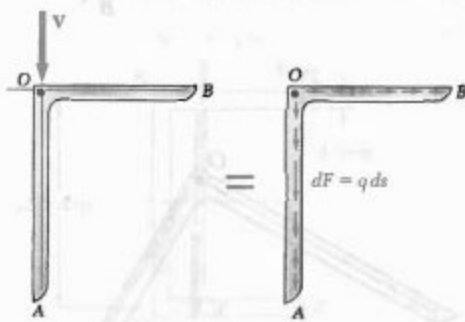
شکل ۶۳-۶

اغلب، با نیشی‌هایی مواجه می‌شویم که یک ساق عمودی و یک ساق افقی دارند. از بحث قبل نتیجه می‌شود اگر بار عمودی در امتداد خط مرکزی ساق عضوی عضو وارد شود، این عضو نخواهد پیچید. از شکل ۶۰-۶ دیده می‌شود برایند نیروهای برشی جزئی وارد بر قسمت عضوی OA یک مقطع داده شده مساوی برش V است و برایند نیروهای برشی وارد بر قسمت افقی OB صفر است:

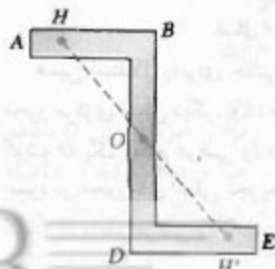
$$\int_0^A q \, ds = V \quad \int_0^B q \, ds = 0$$

معنی روابط بالا این نیست که تنش برشی در ساق افقی عضو وجود ندارد، با تجزیه برش V به موزلفهای عضوی بر محورهای اصلی مرکزی مقطع و با محاسبه تنش برشی در هر نقطه، دیده می‌شود که فقط در یکی از نقاط بین O و B صفر است (به مسئله نمونه ۶-۶ نگاه کنید).

عضو جدار نازک دیگری که اغلب با آن مواجه می‌شویم Z شکل است. گرچه مقطع عرضی یک عضو Z شکل محور متقاضی O است (شکل ۶۱-۶)، ولی داران مرکز متقاضی O نصف HH' وجود دارد به طوری که پاره خط مستقیم H در O نصف می‌شود. بدین معنی، برای هر نقطه H از مقطع عرضی، نقطه دیگر H' وجود دارد به طوری که پاره خط مستقیم H' در O نصف می‌شود. بدین معنی، مرکز متقاضی O بر مرکز سطح مقطع عرضی منطبق است. اکنون خواهید که نقطه O مرکز برش مقطع عرضی نیز است.



شکل ۶۰-۶



شکل ۶۱-۶

ترکیب. برش V در مقطع با اسلار P برابر است. آن را به مؤلفه‌های موازی با محورهای اصلی تجزیه می‌کنیم.

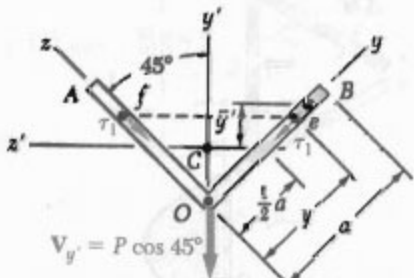
تش برشی ناشی از V . تنش برشی را در نقطه e با مختصه z ، می‌یابیم:

$$\bar{y}' = \frac{1}{\tau} (a + y) \cos 45^\circ - \frac{1}{\tau} a \cos 45^\circ = \frac{1}{\tau} y \cos 45^\circ$$

$$Q = t(a - y)\bar{y}' = \frac{1}{\tau} t(a - y)y \cos 45^\circ$$

$$\begin{aligned} \tau_t &= \frac{V_{y'} Q}{I_{y'} t} = \frac{(P \cos 45^\circ)[\frac{1}{\tau} t(a - y)y \cos 45^\circ]}{(\frac{1}{12} M^2) t} \\ &= \frac{\tau P(a - y)y}{ta^2} \end{aligned}$$

تش برشی در نقطه e با یک تابع مشابه بر حسب z بیان می‌شود.



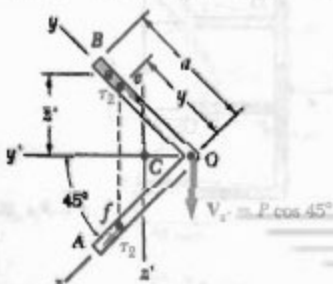
تش برشی ناشی از V . مجدداً نقطه e را در نظر می‌گیریم:

$$\bar{z}' = \frac{1}{\tau} (a + y) \cos 45^\circ$$

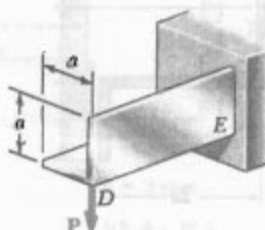
$$Q = (a - y)t\bar{z}' = \frac{1}{\tau}(a' - y')t \cos 45^\circ$$

$$\begin{aligned} \tau_t &= \frac{V_{y'} Q}{I_{y'} t} = \frac{(P \cos 45^\circ)[\frac{1}{\tau}(a' - y')t \cos 45^\circ]}{(\frac{1}{12} ta^2) t} \\ &= \frac{\tau P(a' - y')}{ta^2} \end{aligned}$$

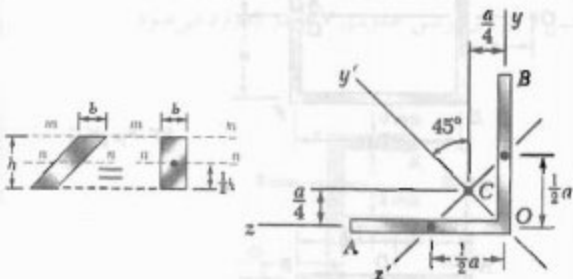
تش برشی در نقطه e با یک تابع مشابه بر حسب z بیان می‌شود.



مسئله نمونه ۶-۶
توزیع تنش برشی را در نبیشی جدار نازک DE با ضخامت پکتواخت ۱ برای بارگذاری داده شده بیاید.



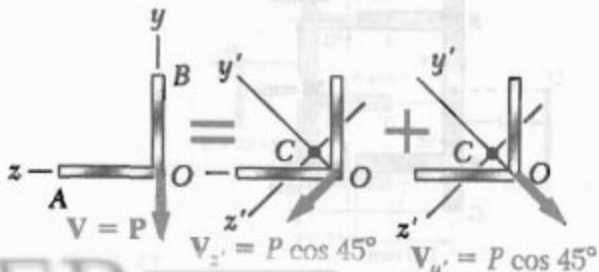
حل
مرکز برش. از قسمت ۹-۶ به خاطر می‌آوریم که مرکز برش مقطع عرضی نبیشی جدار نازک در گوش آن قرار دارد. چون بار P در وارد می‌شود، باعث خمش بدون بیجشن نبیشی می‌شود.

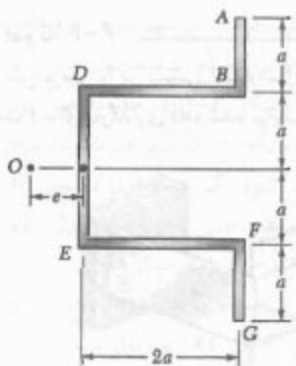


محورهای اصلی. مرکز سطح AOB را به دست می‌آوریم. چون محور z' محور تقارن است، محورهای x و z' محورهای اصلی مرکزی مقطع‌اند. برای متوازی‌الاضلاع داده شده، $I_{mm} = \frac{1}{12} bh^3$ و $I_{nn} = \frac{1}{12} bh^3$. با درنظر گرفتن هر ساق مقطع به عنوان یک متوازی‌الاضلاع، ممان اینترسی مرکزی I_y و I_z را می‌یابیم:

$$I_y = 2 \left[\frac{1}{3} \left(\frac{t}{\cos 45^\circ} \right) (a \cos 45^\circ)^2 \right] = \frac{1}{3} ta^2$$

$$I_z = 2 \left[\frac{1}{12} \left(\frac{t}{\cos 45^\circ} \right) (a \cos 45^\circ)^2 \right] = \frac{1}{12} ta^2$$





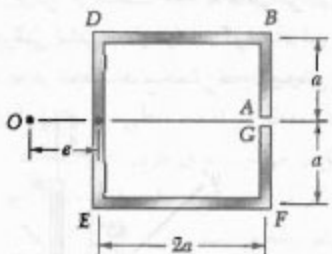
شکل ۶۲-۶م

تشهای ترکیبی در امتداد ساق عمودی. تش برشی در نقطه e عبارت است از:

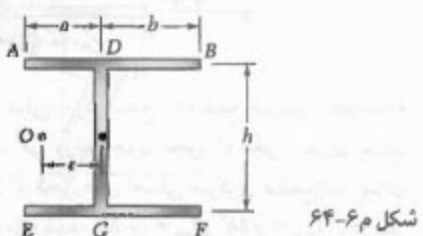
$$\begin{aligned}\tau_e &= \tau_r + \tau_i = \frac{\gamma P(a' - y')}{\gamma ta'} + \frac{\gamma P(a - y)y}{ta'} \\ &= \frac{\gamma P(a - y)}{\gamma ta'} [(a + y) + \gamma y] \\ \Rightarrow \tau_e &= \frac{\gamma P(a - y)(a + \gamma y)}{\gamma ta'}\end{aligned}$$

در امتداد ساق افقی. تش برشی در نقطه r عبارت است از

$$\begin{aligned}\tau_f &= \tau_r - \tau_i = \frac{\gamma P(a' - z')}{\gamma ta'} - \frac{\gamma P(a - z)z}{ta'} \\ &= \frac{\gamma P(a - z)}{\gamma ta'} [(a + z) - \gamma z] \\ \Rightarrow \tau_f &= \frac{\gamma P(a - z)(a - \gamma z)}{\gamma ta'}\end{aligned}$$

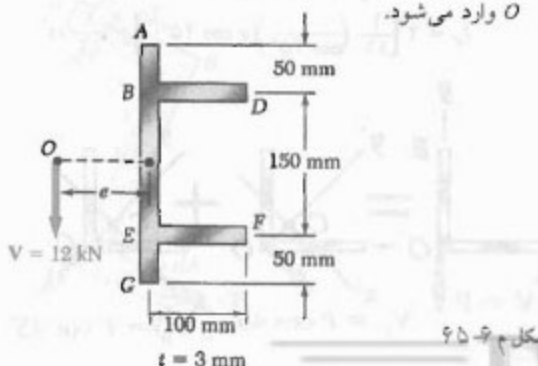


شکل ۶۳-۶م

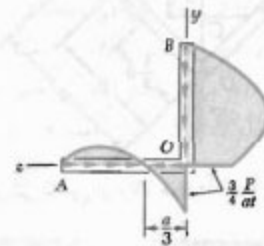


شکل ۶۴-۶م

- ۶۴-۶ و ۶۵-۶ تیر اکسیروزی دارای مقطع عرضی نشان
داده شده است. مطلوب است: (الف) مکان مرکز برش O ،
(ب) توزیع تنشهای برشی ناشی از نیروی برشی 12 kN که در
وارد می‌شود.

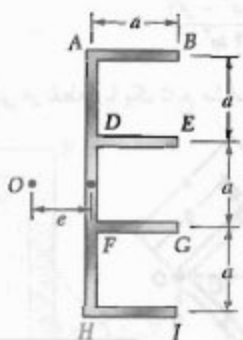


شکل ۶۵-۶م



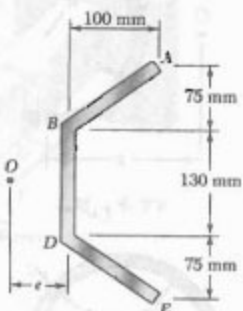
مسائل

- ۶۱-۶ تا ۶۴-۶ مکان مرکز برش O تیر جدار نازک با
ضخامت یکنواخت و با مقطع عرضی داده شده را بیابید.

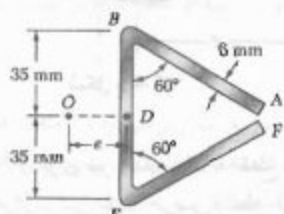


شکل ۶۱-۶م

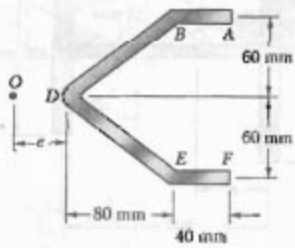
۷۴-۶ تا ۷۴-۶ مکان مرکز برش O یک تیر جدار نازک با ضخامت پکتواخت و با مقطع عرضی نشان داده شده را بیابید.



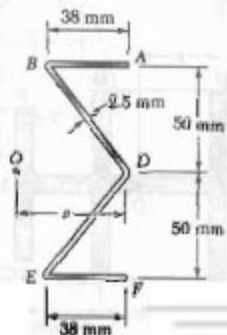
شکل ۷۴-۶



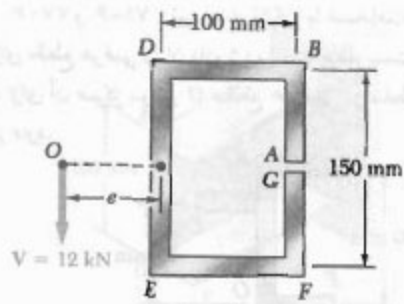
شکل ۷۵



شکل ۷۱

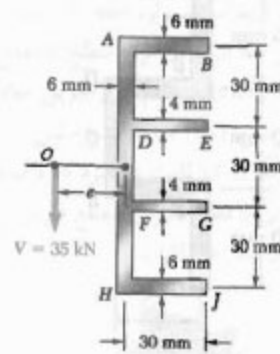


شکل ۷۲



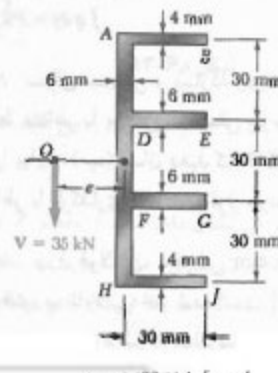
شکل ۷۹

۷۸-۶ و ۷۸-۷ برای تیر با مقطع عرضی نشان داده شده، مطلوب است: (الف) مکان مرکز برشی O ، (ب) توزیع تنش‌های برشی ناشی از نیروی برشی عمودی V که در O وارد می‌شود.



$$I_x = 1.149 \times 10^6 \text{ mm}^4$$

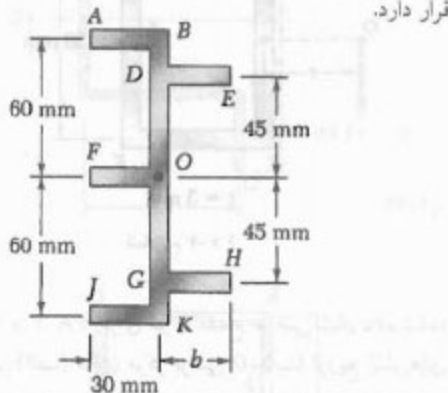
شکل ۷۷



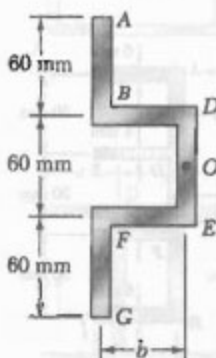
$$I_x = 0.933 \times 10^6 \text{ mm}^4$$

شکل ۷۸

۷۷-۶ و ۷۸-۶ تیر جدار نازکی با ضخامت یکنواخت دارای مقطع عرضی نشان داده شده است. مطلوبست اندازه b که به ازای آن مرکز برش O مقطع عرضی در نقطه داده شده قرار دارد.



شکل ۷۷-۶

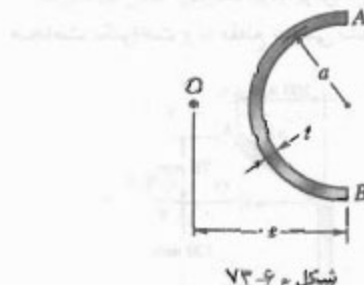


شکل ۷۸-۶

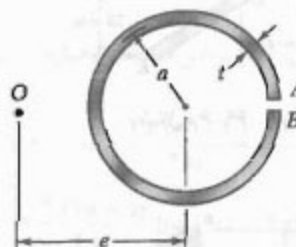
۷۹-۶ برای نیشی و بارگذاری مسئله نمونه ۶-۶، نشان دهید که در امتداد ساق افقی نیشی $\int q dz = 0$ و در امتداد ساق عمودی آن $\int q dy = P$.

۸۰-۶ برای نیشی و بارگذاری مسئله نمونه ۶-۶،
(الف) نقاط متناظر با ماکریزم تنش برشی و مقادیر تنش
ماکریزم را بباید، (ب) نشان دهید که نقاط حاصل روی محور
خشی متناظر با بارگذاری داده شده قرار دارند.

۸۱-۶ ورق فولادی، به عرض 16 mm و به ضخامت 8 mm ، به صورت ناوданی خم شده است. اگر بار عمودی P در
وسط جان ناوданی وارد شود، مطلوبست: (الف) گشتاور T که
باعث می‌شود ناوданی بهمان صورتی که تحت بار P قرار دارد
بییند، (ب) ماکریزم تنش برشی در ناوданی برابر با P .

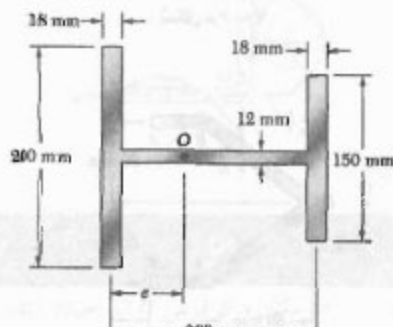


شکل ۷۳-۶

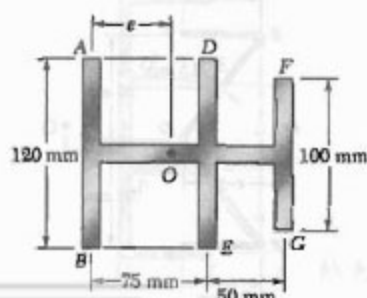


شکل ۷۴-۶

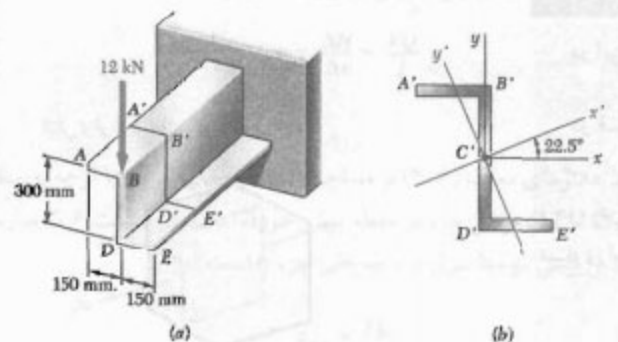
۷۵-۶ و ۷۶-۶ برای تیر جدار نازک با مقطع عرضی نشان داده شده، مکان مرکز برشی مقطع عرضی (نقطه O) را بباید.



شکل ۷۵-۶



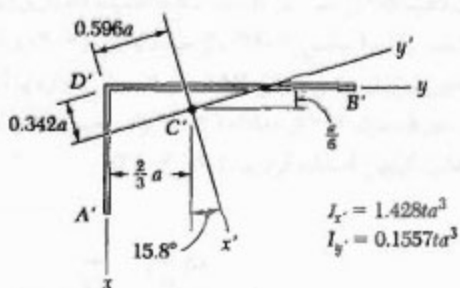
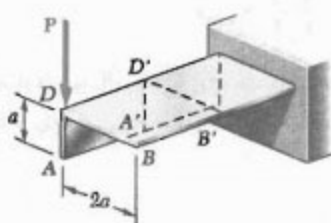
شکل ۷۹-۶



شکل م ۸۵-۶

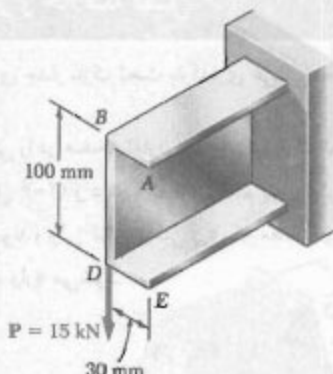
۸۶-۶^{*} برای تیر طرهای و بارگذاری مستله ۸۵-۶، توزیع تنش‌های برشی در امتداد خط $D'B'D'$ در جان عمودی شکل Z را بیابید.

۸۷-۶^{*} توزیع تنش برشی را در امتداد خط $D'B'$ از ساق افقی ت بشی نشان داده شده بیابید. محورهای x' و y' محورهای اصلی مرکزی مقطع عرضی هستند.



شکل م ۸۷-۶

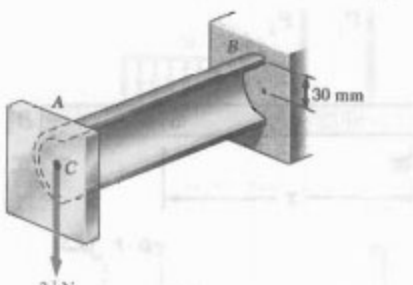
۸۸-۶^{*} در مستله ۸۷-۶، توزیع تنش برشی را در امتداد خط $D'A'$ از ساق عمودی بیابید.



شکل م ۸۱-۶

۸۲-۶^{*} مستله ۸۱-۶ را با این فرض حل کنید که ورقی به ضخامت ۶ mm به صورت ناوادانی نشان داده شده خم شود.

۸۳-۶^{*} تیر طرهای AB، مشکل از لوله جدار نازکی به شعاع ۳۰ mm و با ضخامت دیواره ۱۰ mm، تحت بار عمودی ۲ kN قرار دارد. اگر خط اثر بار از مرکز سطح C مقطع عرضی تیر بگذرد، مطلوب است: (الف) سیستم نیرو و کوپل معادل در مرکز برشی مقطع عرضی، (ب) ماساکریم تنش برشی در تیر. (راهنمایی: در مستله ۷۳-۶ ثابت می‌شود که فاصله مرکز برش O این مقطع عرضی تا قطر عمودی مقطع دو برابر فاصله مرکز سطح C مقطع تا آن قطر می‌باشد).



شکل م ۸۳-۶

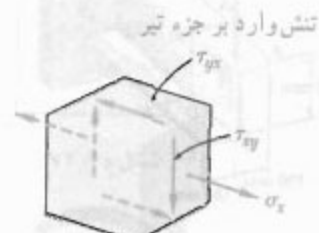
۸۴-۶^{*} مستله ۸۱-۶ را با این فرض حل کنید که ضخامت تیر به ۶ mm کاهش یابد.

۸۵-۶^{*} تیر طرهای نشان داده شده از مقطع Z به ضخامت ۶ mm تشکیل شده است. برای بارگذاری داده شده، توزیع تنش‌های برشی را در امتداد خط $A'B'$ ساق افقی بالایی شکل Z بیابید. محورهای x' و y' محورهای اصلی مرکزی مقطع عرضی اند و ممانهای ایمنسی عبارتند از: $I_{y'} = 0.7 \times 10^5 \text{ mm}^4$ و $I_{x'} = 69.2 \times 10^5 \text{ mm}^4$.

مرور و خلاصه فصل ۶

در این فصل، تیرها و عضوهای جدار نازک تحت بارگذاری عرضی تحلیل شدند.

در قسمت ۱-۶، جزء کوچکی را در صفحه تقارن عمودی تیری که تحت بارگذاری عرضی است بررسی کردیم (شکل ۲-۶) و دیدیم که تنش قائم σ_x و تنش برشی τ_{xy} بر وجود عرضی آن جزء وارد می‌شوند، ولی تنش برشی τ_{xy} ، که مقدار آن با مقدار σ_x مساوی است، بر وجود افقی جزء وارد می‌شود.



شکل ۲-۶

در قسمت ۲-۶، تیر منشوری AB با صفحه تقارن عمودی را تحت بارهای مختلف متغیر و توزیعی بررسی کردیم (شکل ۵-۶)، در فاصله x از انتهای A ، جزء $CDD'C'$ با طول Δx را مطابق شکل ۶-۶ جدا کردیم. دیدیم که مقدار نیروی برشی وارد به وجه پایینی این جزء چنین است:

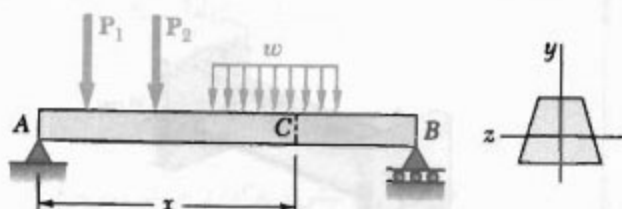
$$\Delta H = \frac{VQ}{I} \Delta x \quad (4-6)$$

که در آن،

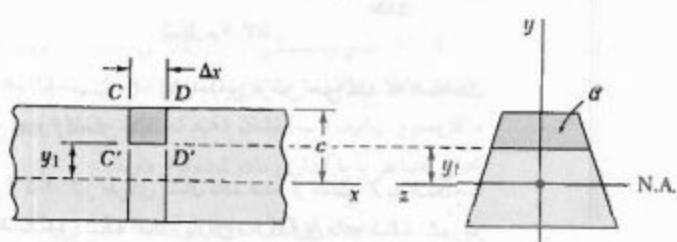
V = برش عمودی در مقطع عرضی داده شده

Q = ممان اول قسمت سایه خورده (مقطع نسبت به محور خشی

I = ممان اینرسی مرکزی کل مساحت مقطع عرضی



شکل ۵-۶



شکل ۶-۶

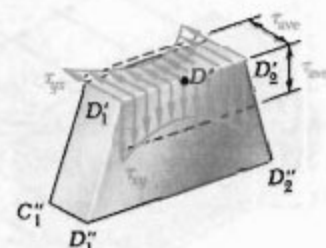
برش افقی برای طول واحد، یا جریان برش q عبارت است از:

$$q = \frac{\Delta H}{\Delta x} = \frac{VQ}{\ell} \quad (5-6)$$

از تقسیم عضوهای معادله (۴-۶) بر مساحت ΔA وجه افقی جزء و با توجه به اینکه $\Delta A = t \Delta x$ ، که در آن t عرض جزء در مقطع برش خورده است، در قسمت ۳-۶ عبارت زیر را برای تنش برشی متوسط مؤثر بر وجه افقی جزء بدست می‌آوریم:

$$\tau_{ave} = \frac{VQ}{It} \quad (6-6)$$

سپس، دیدیم که چون تنش‌های برشی τ_{xy} و τ_{xz} که، به ترتیب، بر یک صفحه عرضی و یک صفحه افقی گذرا از D' اثر می‌کنند باهم برابرند و عبارت (۶-۶) مقدار متوسط τ_{ave} را در امتداد خط $C_1 D'_1 D' D'' D_2$ نیز نشان می‌دهد (شکل ۱۲-۶).



شکل ۱۲-۶

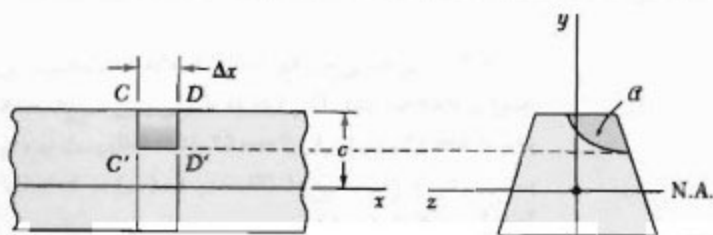
در قسمت‌های ۴-۶ و ۵-۶، تنش برشی را در یک تیر با مقطع عرضی مستطیلی تحلیل کردیم. دیدیم که توزیع تنش به صورت سهمنی است و تنش ماقریم، که در مرکز مقطع روی می‌دهد، چنین است:

$$\tau_{max} = \frac{3}{2} \frac{V}{A} \quad (10-6)$$

که در آن A مساحت مقطع مستطیلی است. برای تیرهای بال پهن، دیدیم که از تقسیم برش V بر مساحت مقطع عرضی جان می‌توان تقریب خوبی را برای ماقریم تنش برشی بدست آورد.

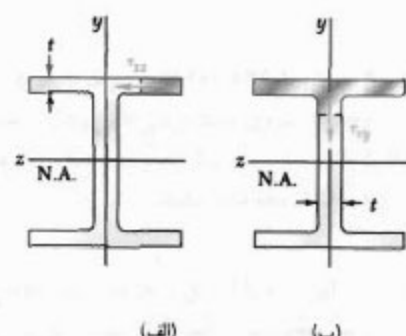
در قسمت ۶-۶، نشان دادیم که اگر جزء تیر با یک سطح خمیده اختیاری (به جای صفحه افقی) محدود شده باشد (شکل ۲۴-۶)، از معادله‌های (۴-۶) و (۵-۶) می‌توان، به ترتیب، برای تعیین نیروی برشی طولی ΔH و جریان برش q وارد بر آن جزء استفاده کرد. به این ترتیب، در قسمت ۷-۶ از معادله (۶-۶) برای تعیین تنش برشی متوسط در بال و جان تیرهای بال پهن استفاده کردیم (شکل ۳۲-۶).

تش برشی در یک تیر با مقطع عرضی مستطیلی



شکل ۲۴-۶

برش طولی روی سطح خمیده



شکل ۳۲-۶

تغییر شکل پلاستیک

در قسمت ۸-۶، تأثیر تغییر شکل پلاستیک را بر مقدار و توزیع تنش برآشی برسی کردیم؛ از فصل ۴ به خاطر داریم که با شروع تغییر شکل پلاستیک، افزایش بارگذاری باعث می‌شود مناطق پلاستیک در هسته اسپلیت تیر نفوذ کنند. پس از اینکه نشان دادیم تنش برآشی فقط می‌تواند در هسته اسپلیت یک تیر به وجود آید، دیدیم که افزایش بارگذاری و کاهش حاصل در اندازه هسته اسپلیت در افزایش تنش برآشی سهم دارند.

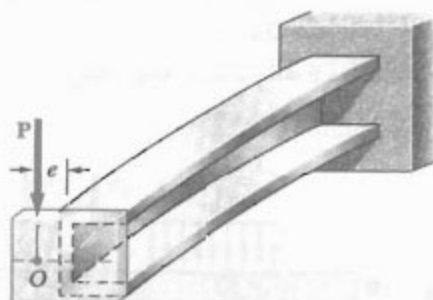
بارگذاری نامتقارن

مرکز برش

در قسمت ۹-۶، عضوهای منتشری را که در صفحه تقارن خود بارگذاری نشده اند بررسی کردیم و دیدیم که، به طور کلی، خمش و پیچش در آنها به وجود می‌آید. سپس، مکان نقطه O را که در آن می‌توان بار را وارد کرد به طوری که عضو بدون پیچش نمود (شکل ۹-۶) تعیین کردیم. این نقطه را مرکز برش نامیدیم و دیدیم که اگر بار در مرکز برش وارد شود، معادله‌های زیر به کار می‌روند:

$$\sigma_x = -\frac{My}{I} \quad \tau_{ave} = \frac{VQ}{It} \quad (9-6, 16-4)$$

با استفاده از اصل ترکیب، تنش در عضوهای جدار نازک نامتقارن، مانند ناوادانی، نیشی و تیرهای اکسترودی را تعیین کردیم [مثال ۷-۶ و مسئله نمونه ۶-۶].

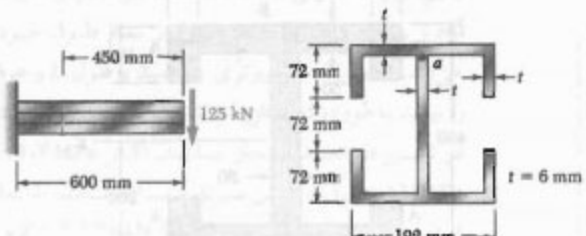


شکل ۹-۶



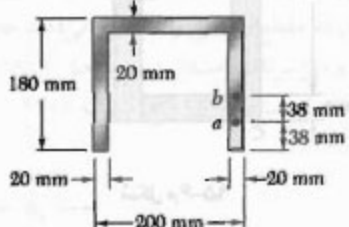
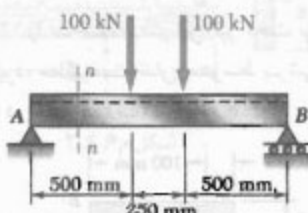
مسائل تكميلي

۸۹-۶ سه تخته به هم میخ شده و تیر نشان داده شده را ساخته‌اند. این تیر تحت برش عمودی قرار دارد. اگر فاصله بین میخ‌ها $s = 75 \text{ mm}$ و نیروی مجاز برشی در هر میخ 400 N باشد، برش مجاز را بیابید.



شکل ۹۱-۶

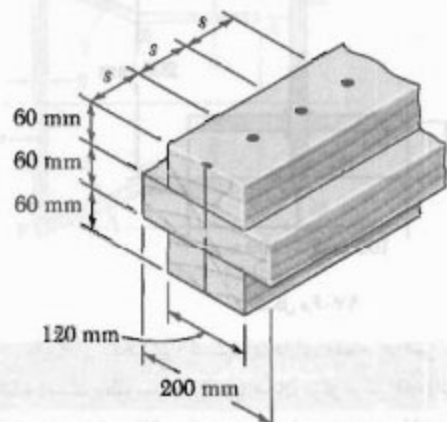
۹۲-۶ برای تیر و بارگذاری داده شده، مقطع $n-n$ را در نظر بگیرید. مطلوبست: (الف) تنش برشی در نقطه a ، (ب) تنش برشی در نقطه b .



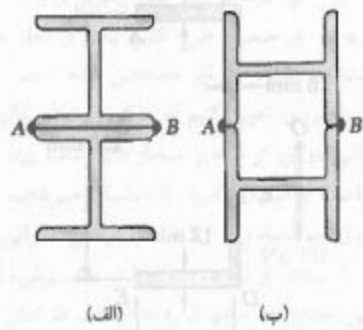
شکل ۹۲-۶

۹۳-۶ در مسئله ۹۲-۶، ماکزیمم تنش برشی را در مقطع $n-n$ بیابید.

۹۴-۷ تیر چوبی سر هم شده نشان داده شده تحت برش عمودی 8 kN قرار دارد. اگر فاصله طولی بین میخ‌ها در A برابر با 60 mm و در B برابر با 25 mm باشد، مطلوبست نیروی برشی در میخ‌ها: (الف) در A ، (ب) در B . (داده: $I_y = 150 \times 10^4 \text{ mm}^4$).



شکل ۸۹-۶

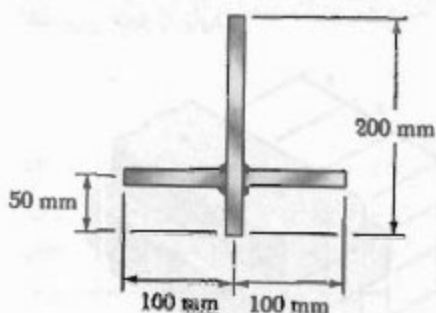


شکل ۹۰-۶

۹۰-۷ دو تیر $W 200 \times 46,1$ به دو طریق در A و B به هم جوش شده‌اند. اگر نیروی مجاز برشی افقی برای هر خط جوش 525 kN/m باشد، ماکزیمم برش عمودی مجاز را در هر یک از تیرهای مرکب نشان داده شده بیابید.

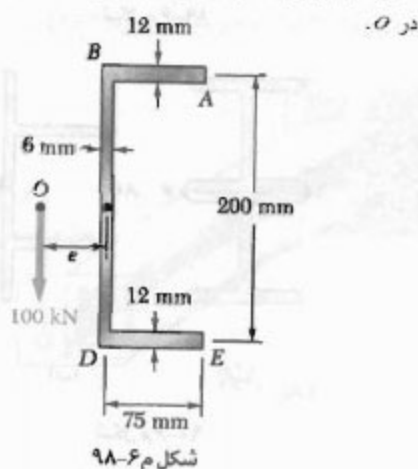
۹۱-۶ برای تیر و بارگذاری نشان داده شده، مقطع $n-n$ را در نظر بگیرید. مطلوبست: (الف) ماکزیمم تنش برشی در این مقطع، (ب) تنش برشی در نقطه n .

۹۷-۵ سه ورق، هر یک به ضخامت 12 mm ، بهم جوش شده‌اند و مقطع نشان داده شده را تشکیل داده‌اند، برای برش عمودی 100 kN ، جریان برش را در سطوح جوش شده بباید و جریان برش را در مقطع عرضی رسم کنید.



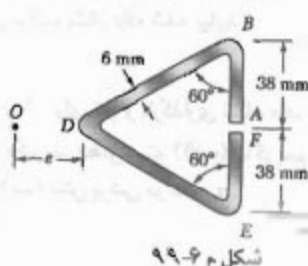
شکل ۹۷-۵

۹۸-۶ یک تیر اکستروزن دارای مقطع عرضی نشان داده شده است. مطلوبست: (الف) مکان مرکز برش O ، (ب) توزیع تنش‌های برشی ناشی از نیروی برشی عمودی 100 kN وارده

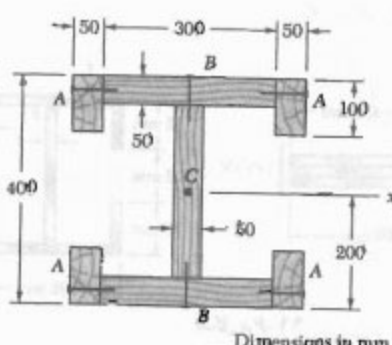


شکل ۹۸-۶

۹۹-۶ مکان مرکز برش O یک تیر جدار نازک با ضخامت یکنواخت و با مقطع عرضی نشان داده شده را بباید.

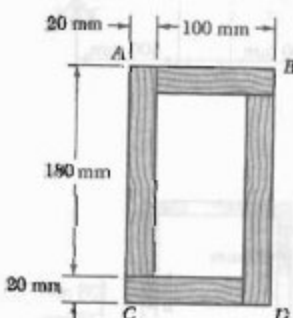


شکل ۹۹-۶



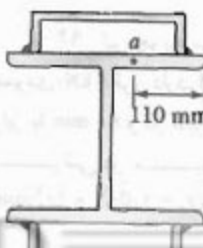
شکل ۹۴-۶ ابعاد به حسب mm

۹۵-۶ دو تخته به ابعاد $20 \times 100\text{ mm}$ و دو تخته به ابعاد $20 \times 180\text{ mm}$ با چسب به هم متصل شده‌اند و تیر جعبه‌ای $120 \times 200\text{ mm}$ را ساخته‌اند. اگر این تیر تحت برش عمودی $3/5\text{ kN}$ قرار گیرد، مطلوبست تنش متوسط برشی در اتصال چسبی: (الف) فر نقطه A ، (ب) در نقطه B .



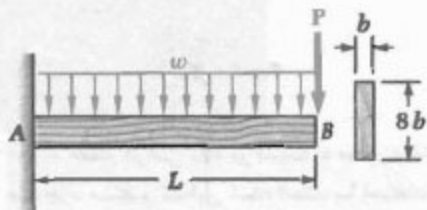
شکل ۹۵-۶

۹۶-۶ ناوادسی‌های $C 200 \times 17/1$ به بالهای تیر $W 250 \times 80$ جوش شده و تیر سرک نشان داده شده را ساخته‌اند. اگر تیر تحت برش عمودی 200 kN قرار گیرد، مطلوبست: (الف) نیروی برشی افقی در هر سطر جوش، (ب) تنش برشی فر نقطه a از بال.



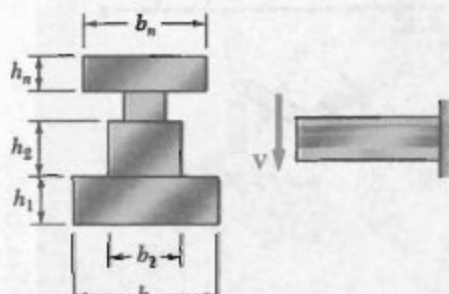
شکل ۹۶-۶

۶-۲ تیر چوبی طرح‌ای AB به طول L و با مقطع یکنواخت مستطیلی نشان داده شده، بار متغیر P را در انتهای آزاد و بار یکنواخت توزیعی w را در تمام طول خود تحمل می‌کند. یک برنامه کامپیوتری بنویسید و طول L و عرض b تیر را باید به طوری که ماکریم تنش قائم و ماکریم تنش برشی در تیر در حد مجاز باشند. اگر $\sigma_{all} = 12.4 \text{ MPa}$ و $\tau_{all} = 827 \text{ kPa}$ ، از این برنامه برای تعیین ابعاد L و b استفاده کنید در صورتی که: (الف) $P = 4.448 \text{ kN}$ و $w = 0$ ، (ب) $P = 0$ و $w = 2.224 \text{ kN/m}$ و (ج) $P = 0$ و $w = 2.2 \text{ kN/m}$.



شکل ۶-۲

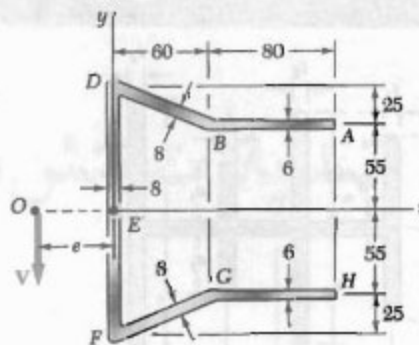
۶-۳ تیری با مقطع عرضی نشان داده شده، تحت برش عمودی V قرار دارد. با استفاده از یک برنامه کامپیوتری، تنش برشی را در امتداد خط واصل بین هر دو سطح مستطیلی مجاوری که مقطع عرضی را تشکیل می‌دهند محاسبه کنید. با استفاده از این برنامه، مسائل زیر را حل کنید: (الف) مسئله ۱۰-۶، (ب) مسئله ۱۲-۶، (ج) مسئله ۲۱-۶



شکل ۶-۳

۶-۴ ورقی با خصامت یکنواخت ϵ ، مطابق شکل، طوری خم شده است که دارای یک صفحه تقدیز عمودی است و از آن به عنوان تیر استفاده می‌شود. با استفاده از یک برنامه کامپیوتری، توزیع تنش‌های برشی ناشی از برش عمودی V را

برای تیر با مقطع عرضی نشان داده شده، مطلوبست: (الف) مکان مرکز برشی O ، (ب) توزیع تنش برشی ناشی از نیروی عمودی $V = 2.5 \text{ kN}$ که در O وارد می‌شود

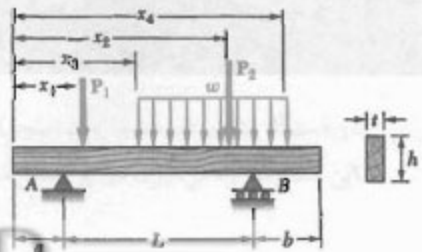


شکل ۶-۶

مسائل کامپیوتری

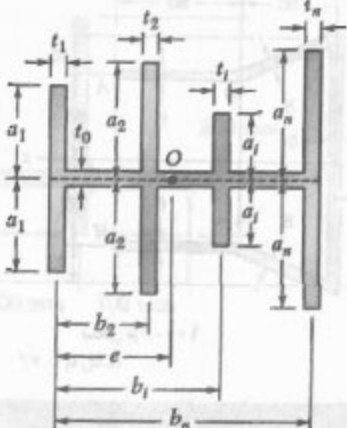
مسئل ۱۰۰-۶ برای حل با کامپیوتر طرح شده‌اند

۶-۱ می‌خواهیم یک تیر چوبی را برای تحمل بار توزیعی و دو بار متغیر طرح کنیم. یکی از ابعاد مقطع عرضی یکنواخت مستطیلی این تیر مشخص شده است و می‌خواهیم بعد دوم را طوری تعیین کنیم که ماکریم تنش قائم و ماکریم تنش برشی در تیر از مقادیر مجاز داده شده σ_{all} و τ_{all} بیشتر نشود. فاصله از انتهای A را با x نشان می‌دهیم. یک برنامه کامپیوتری بنویسید و برای مقاطع عرضی متوالی، از $x = 0$ تا $x = L$ و با استفاده از نموهای داده شده $\Delta x = 1 \text{ m}$ ، برش، لنگر خمشی و کمترین مقدار بعد مجھول را که (۱) شرط تنش قائم مجاز، (۲) شرط تنش برشی مجاز در آن مقطع را برقرار می‌کند محاسبه کنید. با استفاده از این برنامه، تیرهایی با مقطع عرضی یکنواخت را برای مسائل زیر طراحی کنید، در صورتی که $\sigma_{all} = 12 \text{ MPa}$ و $\tau_{all} = 825 \text{ kPa}$: (الف) مسئله ۶-۵-۵، (ب) مسئله ۱۰۹-۵، (ج) مسئله ۱۰۹-۵، با استفاده از $\Delta x = 0.1 \text{ m}$ ، $\Delta x = 0.5 \text{ m}$ ، $\Delta x = 1 \text{ m}$ ، $\Delta x = 0.2 \text{ m}$



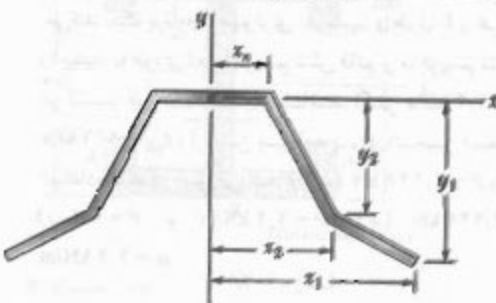
شکل ۶-۱

۶-۵ تیر جدار نازکی دارای مقطع عرضی نشان داده شده است. با استفاده از یک برنامه کامپیووتری، مکان مرکز برش مقطع عرضی را بیابید. از این برنامه برای حل مسئله ۷۵-۶ استفاده کنید.



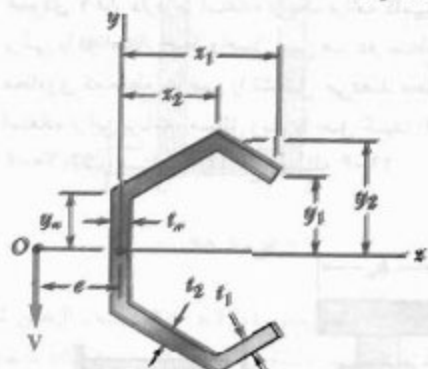
شکل م-۶-۵

بیابید. از این برنامه برای حل مسائل استفاده کنید: (الف) مسئله ۶-۴، (ب) تعیین تنش برش در نقطه E برای مقطع و پارگذاری مسئله ۶-۵، در حالتی که $t = 6 \text{ mm}$.



شکل م-۶-۶

۶-۶ مقطع عرضی یک تیر نسبت به محور \times - γ تقارن دارد و از چند جزو مستقیم تشکیل شده است. با استفاده از یک برنامه کامپیووتری، (الف): مکان یک برنامه سرکت برش O را بیابید، (ب) توزیع تنش برشی ناشی از نیروی عمودی وارده در O را تعیین کنید. از این برنامه برای حل مسائل ۶۶-۶ و ۷۰-۶ استفاده کنید.

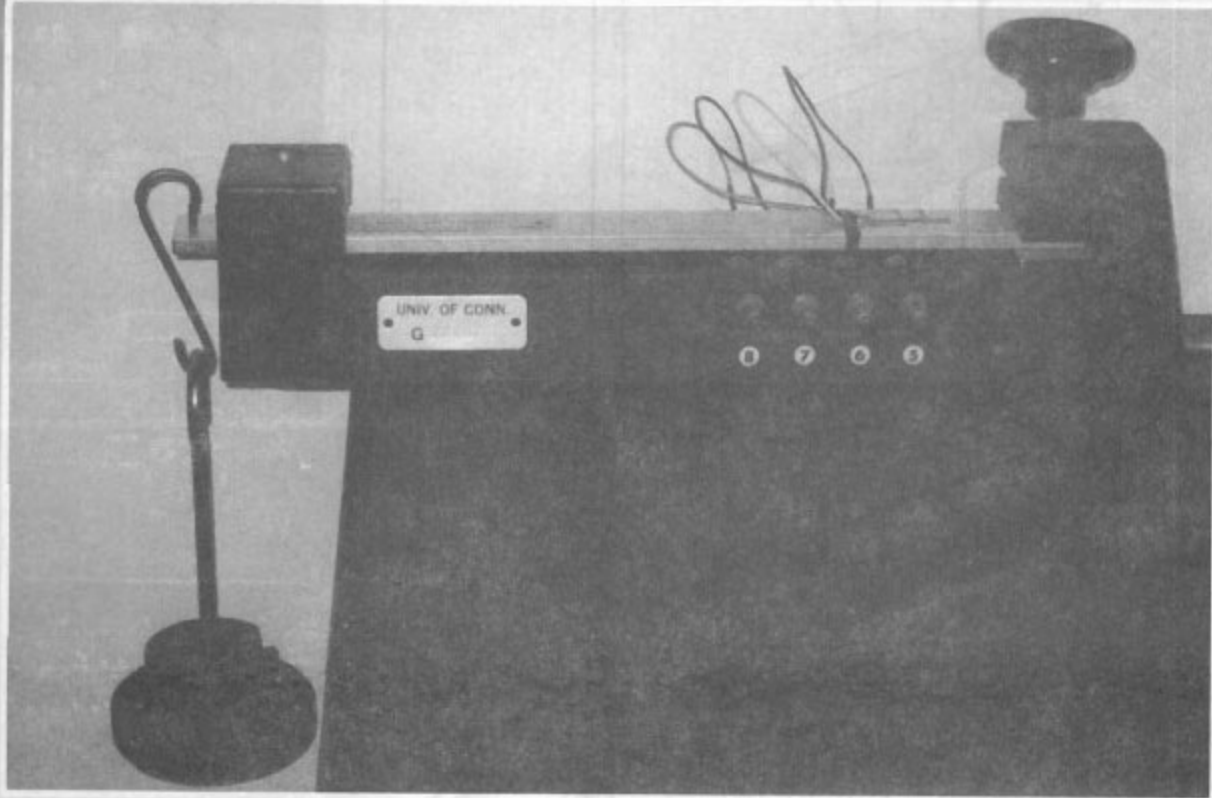


شکل م-۶-۶

مقاومت مصالح



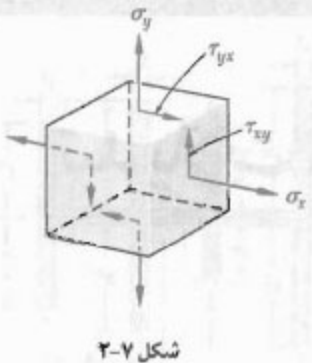
تبدیلات تنش و کرنش



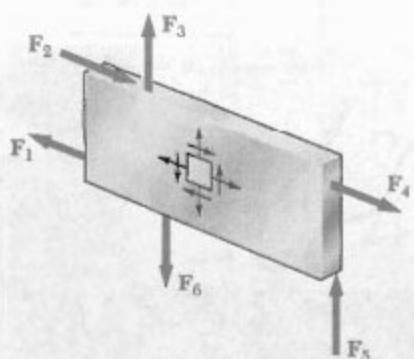
در دستگاه نشان داده شده، یک منجه کرنش الکتریکی، که به سطح فوقانی یک میله متصل است، کرنش خطی را در این سطح اندازه می‌گیرد. در این فصل، تنش و کرنش در اجزای ساختمانی و مکانیکی بررسی می‌شوند.

۱-۷ مقدمه

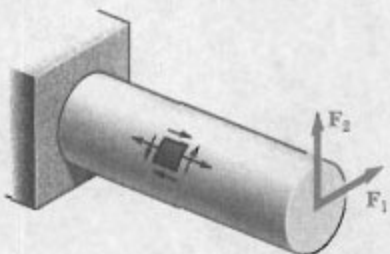
نیرو و قرار دارد (شکل ۴-۷). این حالت در سطح آزاد یک عضو ساختمانی یا مکانیکی نیز روی می‌دهد (نقطه روی سطح آزاد تحت نیروی خارجی قرار ندارند، شکل ۴-۷).



شکل ۴-۷



شکل ۴-۷

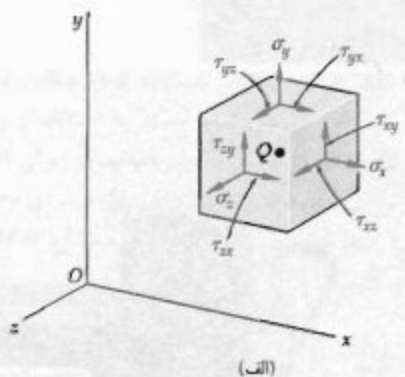


شکل ۴-۷

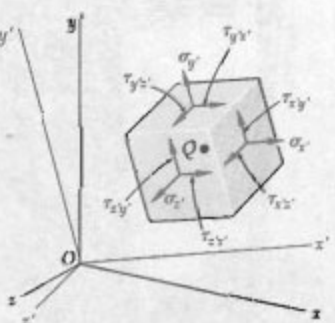
در قسمت ۲-۷، حالت تنش صفحه‌ای را در نقطه داده شده Q با مؤلفه‌های σ_x ، σ_y و τ_{xy} نشان می‌دهیم (شکل ۵-۷ (الف))، و مؤلفه‌های σ_x ، σ_y و τ_{xy} مربوط به آن جزء را پس از چرخش جزء حول محور z تحت زاویه θ (شکل ۵-۷ (ب)) می‌یابیم. در قسمت ۳-۷، مقادیر زاویه θ را که به ازای آن تنش‌های σ_x و σ_y ، به ترتیب، ماکریم و مینیم هستند، می‌یابیم (این مقادیر را اکسرم تنش‌های لولی در نقطه Q ، و وجوده مناظر را صفحات

۴-۶-۱۰ بخاطر داریم که $\tau_{xz} = \tau_{zx}$ و $\tau_{yz} = -\tau_{zy}$ ، $\tau_{yx} = \tau_{xy}$.

در قسمت ۱۲-۱ دیدیم که حالت تنش در نقطه داده شده Q را در حالت کلی با شش مؤلفه می‌توان نشان داد. سه تا از این مؤلفه‌ها، σ_x ، σ_y و σ_z ، تنش‌های قائم وارد بر وجوده یک جزء کوچک مکعبی به مرکز Q را نشان می‌دهند (شکل ۱-۷ (الف)), و سه تای دیگر، τ_{xy} ، τ_{yz} و τ_{zx} ، مؤلفه‌های تنش‌های برشی وارد بر همان جزء را نشان می‌دهند. همانطور که در آن قسمت گفتیم که اگر محورهای مختصات را دوران دهیم (شکل ۱-۷ (ب)), همان حالت تنش را با مجموعه دیگری از مؤلفه‌ها می‌توان نشان داد. در قسمت اول این فصل، محورهای تبدیل مؤلفه‌های تنش را بر اثر چرخش محورهای مختصات نشان می‌دهیم. در قسمت دوم این فصل، تحلیل مشابهی را برای تبدیل مؤلفه‌های کوش می‌آوریم.



(الف)



(ب)

شکل ۱-۷

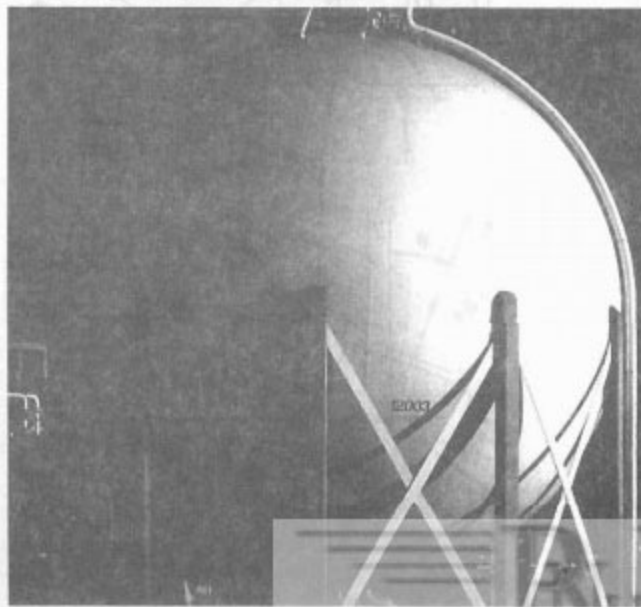
در تبدیل تنش، عمدهاً به تنش صفحه‌ای می‌پردازیم، یعنی حالتی که در آن دو وجه جزء مکعبی فاقد تنش‌اند. اگر محور z را عمود بر این وجه بگیریم، داریم $\tau_{xy} = \tau_{yz} = \tau_{zx} = 0$ ، و فقط مؤلفه‌های σ_x ، σ_y و σ_z باقی می‌مانند (شکل ۱-۷). چنین حالتی در ورق نازکی روی می‌دهد که در صفحه هیاتی اش تحدیث

و σ_y را در آن نقطه تعیین، و وارسی می‌کنیم که آیا σ_x و σ_y استقامت تسلیم یک ماده معیار خاصی را برقرار می‌کنند یا نه. دو معیار متداول اند: معیار ماکزیمم استقامت برشی و معیار ماکزیمم تغییرشکل. در قسمت ۸-۷، معیارهای شکست برای مواد مشکندهای که تحت تنش صفحه‌ای قرار دارند مطالعه می‌شوند؛ این معیارها شامل تنش‌های اصلی σ_x و σ_y در یک نقطه بحرانی و استقامت نهایی σ_u ماده هستند. دو معیار بررسی می‌شوند: معیار ماکزیمم تنش قائم و معیار مور.

مخزن‌های جدار پلاک تحت فشار کاربرد مهمی در تحلیل تنش صفحه‌ای دارند. در قسمت ۹-۷، درباره تنش در مخزن‌های استوانه‌ای و کروی تحت فشار بحث می‌کنیم (شکل‌های ۶-۷ و ۷-۷).

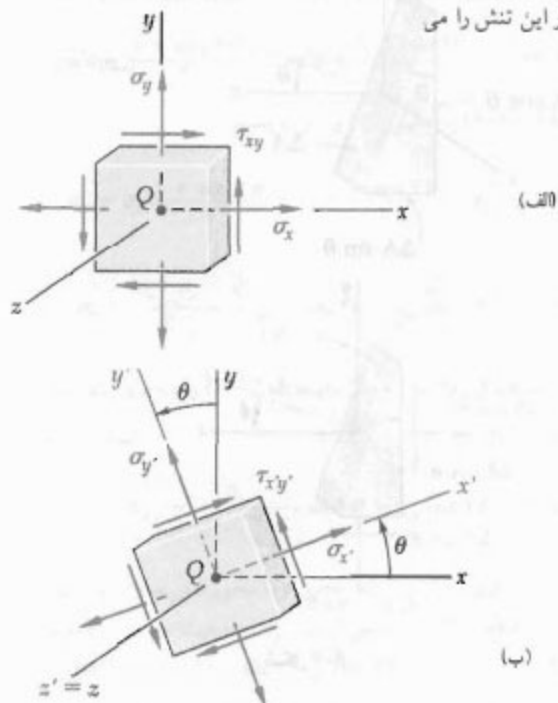


شکل ۶-۷



شکل ۷-۷

فلی تنش در آن نقطه می‌گویند). همچنین، مقدار زاویه دوران را که به ازای آن تنش ہر شی دارای مقدار ماکزیمم است، و نیز مقدار این تنش را می‌توان بدست آورد.



شکل ۵-۷

در قسمت ۴-۷، روش دایره مور را برای حل مسائل تبدیل تنش‌های صفحه‌ای نشان می‌دهیم.

در قسمت ۵-۷، حالت تنش سه بعدی در یک نقطه داده شده را بررسی و تنش قائم وارد بر یک صفحه با وضعیت اختیاری در آن نقطه را فرمول بندی می‌کنیم. در قسمت ۶-۷، چرخش یک جزء مکعبی را حول هر یک از محورهای اصلی تنش بررسی می‌کنیم و نشان می‌دهیم که تبدیلات متناظر تنش را با سه دایره مور مختلف می‌توان توصیف کرد. همچنین، خواهید که در حالت تنش صفحه‌ای در یک نقطه معین، ماکزیمم مقدار تنش برشی که قبل از نظر گرفتن دوران‌ها در صفحه تنش به دست آمد لزوماً ماکزیمم تنش برشی را در آن نقطه نشان نمی‌دهد. این به عهده شماست که ماکزیمم تنش برشی داخل صفحه و ماکزیمم تنش برشی خارج از صفحه را از هم تیزی دهید.

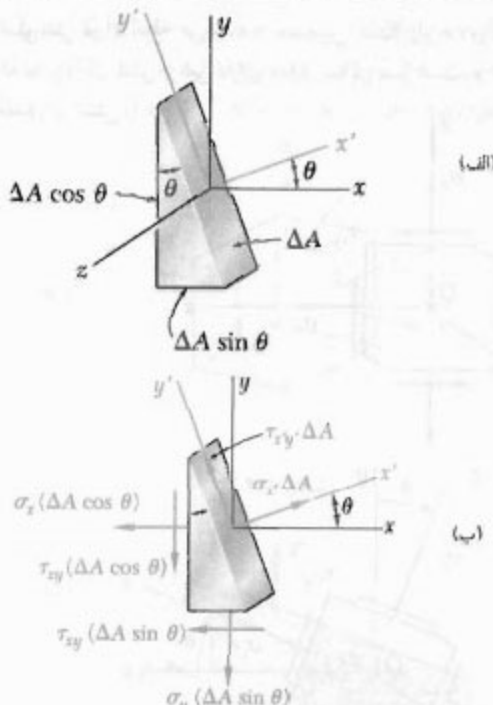
معیارهای تسلیم برای مواد چکش خواری که تحت تنش صفحه‌ای قرار دارند در قسمت ۷-۷ بررسی می‌شوند. برای پیش‌بینی این موضوع که ماده‌ای در یک نقطه بحرانی تحت شرایط بارگذاری معینی تسلیم می‌شود یا نه، تنش‌های اصلی σ_x

در قسمت های ۱۰-۷ و ۱۱-۷، درباره تبدیل تنش صفحه ای و دایره مور در کوشصفحه ای بحث می کنیم. در قسمت ۱۲-۷، تحلیل کوشصفحه ای به عذریم و خواهیم دید که برای تعیین ماکریعم کوشصفحه ای در یک نقطه معین می توان از دو ایر مور استفاده کرد. دو حالت خاص مورد توجهاند و نباید آنها را با هم اشتباه کرد: کوشصفحه ای و تنش صفحه ای.

سرانجام، در قسمت ۱۳-۷ درباره سنجه های کوشصفحه ای برای اندازه گیری کوشصفحه ای قائم در سطح یک عضو ساختمانی با مکانیکی به کار می روند بحث می کنیم. خواهید دید چگونه از اندازه گیری های سه سنجه کوشصفحه ای، که گلبرگ کوشصفحه ای را تشکیل می دهند، مؤلفه های σ_x , σ_y و τ_{xy} را می توان به دست آورد (این مؤلفه ها حالت کوشصفحه ای در یک نقطه معین را مشخص می کنند).

۴-۷ تبدیل تنش صفحه ای

فرضی می کنیم حالت تنش صفحه ای در نقطه Q وجود دارد ($\sigma_x = \sigma_y = \tau_{xy} = 0$). در شکل ۴-۷ (الف)، مؤلفه های σ_x , σ_y و τ_{xy} برای جزء تحت بررسی نشان داده شده اند. مؤلفه های σ_y' , σ_x' و τ_{xy}' را پس از اینکه این جزء تحت زاویه θ حول محور z چرخیده است (شکل ۴-۷ (ب) پر حسب σ_x , σ_y و τ_{xy}) تعیین می کنیم.



شکل ۴-۷

برای تعیین تنش قائم σ_y' و تنش برشی τ_{xy}' وارد پر وجه عمود بر محور z، یک جزء منشوری را در نظر می گیریم که وجود آن، به ترتیب، بر محورهای x, y و z عمودند (شکل ۴-۷ (الف)). اگر مساحت وجه مایل را با ΔA نشان دهیم، مساحت های وجوده عمودی و افقی، به ترتیب، برابرند با $\Delta A \sin \theta$ و $\Delta A \cos \theta$. در نتیجه، نیروهای وارد بر این سه وجه مانند شکل ۴-۷ ب هستند (هیچ نیرویی بر وجود مثلثی این جزء وارد نمی شود، زیرا تنش های قائم و برشی متناظر را صفر فرض کرده ایم). معادله های تعادل زیر را می نویسیم:

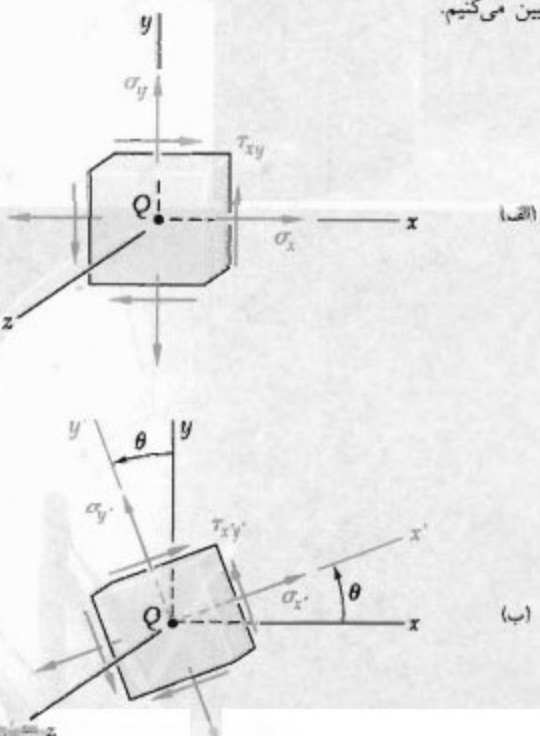
$$\sum F_x = 0 : \sigma_x \Delta A - \sigma_x (\Delta A \cos \theta) \cos \theta - \tau_{xy} (\Delta A \cos \theta) \sin \theta - \sigma_y (\Delta A \sin \theta) \sin \theta - \tau_{xy} (\Delta A \sin \theta) \cos \theta = 0$$

$$\sum F_y = 0 : \tau_{xy} \Delta A + \sigma_x (\Delta A \cos \theta) \sin \theta - \tau_{xy} (\Delta A \cos \theta) \cos \theta - \sigma_y (\Delta A \sin \theta) \cos \theta + \tau_{xy} (\Delta A \sin \theta) \sin \theta = 0$$

با حل این معادله ها، داریم:

$$\sigma_y' = \sigma_x \cos^2 \theta + \sigma_y \sin^2 \theta + 2 \tau_{xy} \sin \theta \cos \theta \quad (۴-۷)$$

$$\tau_{xy}' = -(\sigma_x - \sigma_y) \sin \theta \cos \theta + \tau_{xy} (\cos^2 \theta - \sin^2 \theta) \quad (۴-۸)$$



شکل ۴-۷ (نکاری)

طرفین معادله ۹-۷ را مجدد کرده و طرفین آن را با طرفین رابطه قبل جمع می‌کنیم، درنتیجه،

$$\left(\sigma_x + \frac{\sigma_y + \sigma_z}{\sqrt{2}} \right)^2 + \tau_{xy}^2 = \left(\frac{\sigma_x - \sigma_y}{\sqrt{2}} \right)^2 + \tau_{xy}^2 \quad (9-7)$$

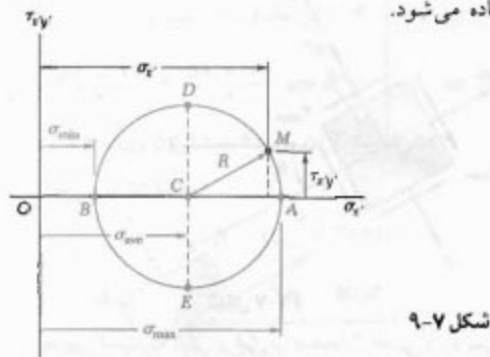
با استفاده از جایگذاری‌های زیر:

$$\sigma_{ave} = \frac{\sigma_x + \sigma_y}{\sqrt{2}} \quad R = \sqrt{\left(\frac{\sigma_x - \sigma_y}{\sqrt{2}} \right)^2 + \tau_{xy}^2} \quad (10-7)$$

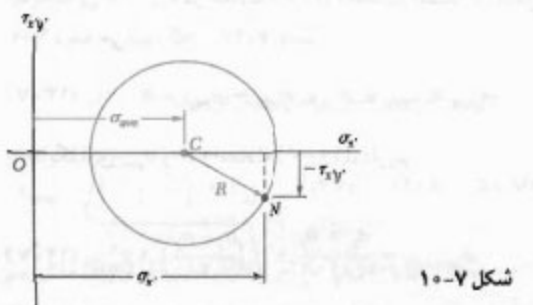
اتخاد (۱۰-۷) را به صورت زیر می‌نویسیم:

$$(\sigma_x - \sigma_{ave})^2 + \tau_{xy}^2 = R^2 \quad (11-7)$$

که معادله دایره‌ای به شعاع R و با مرکز C ، به طول σ_{ave} و به عرض θ ، است (شکل ۹-۷). به علت نزدیکی دایره نسبت به محور افقی، اگر نقطه N به طول σ_y و به عرضی τ_{xy} را به جای نقطه M رسم می‌کردیم، به همان نتیجه بالا می‌رسیدیم (شکل ۱۰-۷). لذا این خاصیت در قسمت استفاده می‌شود.



شکل ۹-۷



شکل ۱۰-۷

با توجه به روابط مثلثاتی زیر:

$$\sin \theta = \sqrt{2} \sin \theta \cos \theta \quad \cos \theta = \cos^2 \theta - \sin^2 \theta \quad (3-7)$$

$$\cos^2 \theta = \frac{1 + \cos 2\theta}{2} \quad \sin^2 \theta = \frac{1 - \cos 2\theta}{2} \quad (4-7)$$

معادله (۱۰-۷) را به صورت زیر می‌نویسیم:

$$\sigma_x = \sigma_x \frac{1 + \cos 2\theta}{2} + \sigma_y \frac{1 - \cos 2\theta}{2} + \tau_{xy} \sin 2\theta \quad (5-7)$$

$$\sigma_y = \frac{\sigma_x + \sigma_y}{\sqrt{2}} + \frac{\sigma_x - \sigma_y}{\sqrt{2}} \cos 2\theta + \tau_{xy} \sin 2\theta \quad (6-7)$$

با استفاده از روابط (۳-۷)، معادله (۲-۷) را به صورت زیر می‌نویسیم:

$$\tau_{xy} = - \frac{\sigma_x - \sigma_y}{\sqrt{2}} \sin 2\theta + \tau_{xy} \cos 2\theta \quad (7-7)$$

با جایگذاری $\theta + 90^\circ$ ، $\theta + 180^\circ$ ، $\theta + 270^\circ$ می‌سازد، به جای θ در معادله (۵-۷)، نتش قائم σ_y بدهست می‌آید. چون $\sin(2\theta + 180^\circ) = -\sin 2\theta$ و $\cos(2\theta + 180^\circ) = -\cos 2\theta$

$$\sigma_y = \frac{\sigma_x + \sigma_y}{\sqrt{2}} - \frac{\sigma_x - \sigma_y}{\sqrt{2}} \cos 2\theta - \tau_{xy} \sin 2\theta \quad (V-7)$$

معادله‌های (۵-۷) و (۷-۷) را عضو به عضو با هم جمع می‌کنیم، درنتیجه،

$$\sigma_x + \sigma_y = \sigma_x + \sigma_y \quad (8-7)$$

چون $\sigma_x = \sigma_y$ ، مجموع تنش‌های قائم وارد بر یک جزء مکعبی در حالت تنش صفحه‌ای از وضعیت آن جزء مستقل است.*

۳-۷ تنش‌های اصلی؛ ماکزیمم تنش پرشی

معادله‌های (۵-۷) و (۶-۷) معادله‌های پارامتری یک دایره‌اند. یعنی، اگر مجموعه‌ای از محورهای قائم را انتخاب و نقطه M به طول σ_y و به عرض τ_{xy} را برای هر مقدار معلوم پارامتر θ رسم کنیم، تمام نقاطی که به این ترتیب بدهست می‌آیند روی یک دایره قرار می‌گیرند. برای تعیین معادله این دایره، θ را از معادله‌های (۵-۷) و (۶-۷) حذف می‌کنیم؛ برای این منظور، ابتدا $\sigma_x + \sigma_y$ را در معادله (۵-۷) به طرف چپ انتقال می‌دهیم و سپس طریقین رابطه را مجدد می‌کنیم. آنکه،

* به زیرنویس صفحه ۷۵ مراجعه کنید.

طبق شکل ۹-۷، قدر مطلق تنش برشی در نقاط E و D دارای مقدار ماکزیمم است. چون طول این نقاط $\frac{1}{2}(\sigma_x + \sigma_y)$ است، با جایگذاری $\frac{1}{2}(\sigma_x + \sigma_y) = \sigma_x$ در معادله (۵-۷)، مقادیر θ متناظر با این نقاط از رابطه τ_{xy} بودست می‌آید:

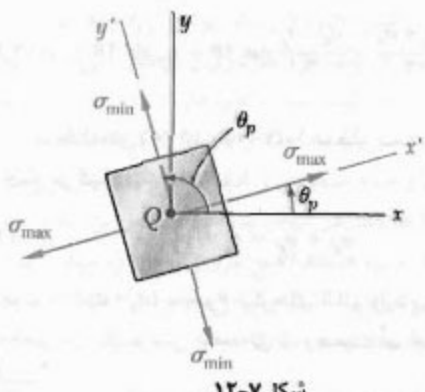
$$\frac{\sigma_x - \sigma_y}{2} \cos 2\theta_s + \tau_{xy} \sin 2\theta_s = 0$$

درنتیجه،

$$\tan 2\theta_s = -\frac{\sigma_x - \sigma_y}{2\tau_{xy}} \quad (15-7)$$

این معادله، دو مقدار را برای $2\theta_s$ می‌دهد که با هم 180° اختلاف دارند. لذا، دو مقدار θ_p با هم 90° اختلاف دارند. برای تعیین وضعیت جزء متناظر با ماکزیمم تنش برشی می‌توان از مقادیر مذکور استفاده کرد (شکل ۱۲-۷). از شکل ۹-۷ دیده می‌شود که ماکزیمم مقدار تنش برشی با شعاع دایره برابر است. از رابطه دوم،

$$\tau_{\max} = \sqrt{\left(\frac{\sigma_x - \sigma_y}{2}\right)^2 + \tau_{xy}^2} \quad (16-7)$$



شکل ۱۲-۷

همانطور که قبل آذده شد، تنش قائم متناظر با ماکزیمم تنش برشی عبارت است از:

$$\sigma' = \sigma_{ave} = \frac{\sigma_x + \sigma_y}{2} \quad (17-7)$$

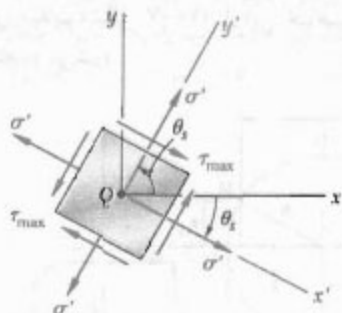
* این رابطه را با مشتقه‌گیری از σ_p در معادله (۵-۷) نسبت به θ و با مساوی صفر قرار دادن این مشتقه نیز می‌توان بددست آورد.

** این رابطه را با مشتقه‌گیری از τ_{xy} در معادله (۶-۷) نسبت به θ و با مساوی صفر قرار دادن آن نیز می‌توان بددست آورد.

دو نقطه B و A را که محل تلاقي دایره شکل ۹-۷ با محور افقی است مورد توجه قرار می‌دهیم. نقطه A متناظر با ماکزیمم مقدار تنش برشی σ_x و نقطه B متناظر با مینیمم مقدار آن است. به علاوه، هر دو نقطه دارای تنش برشی $\tau_{xy} = 0$ هستند. لذا، مقادیر θ_p پارامتر θ را که متناظر با نقاط A و B است می‌توان با قرار دادن $\tau_{xy} = 0$ در معادله (۶-۷) بددست آورد. می‌نویسیم*

$$\tan 2\theta_p = \frac{\tau_{xy}}{\sigma_x - \sigma_y} \quad (12-7)$$

از این معادله دو مقدار برای $2\theta_p$ بددست می‌آید که با هم 180° اختلاف دارند، دو مقدار θ_p با هم 90° اختلاف دارند. هر یک از این دو مقدار را می‌توان برای تعیین وضعیت جزء متناظر به کار برد (شکل ۱۱-۷). تنش‌های σ_{\min} و σ_{\max} را، که متناظر با دو مقدار θ_p هستند، تنش‌های σ می‌شوند. در نقطه Q می‌گویند، و صفحاتی را که این تنش‌ها بر آنها وارد می‌شوند صفحات نسلی تنش در نقطه Q می‌گویند.



شکل ۱۱-۷

بدیهی است که تنش برشی بر صفحات اصلی وارد نمی‌شود زیرا دو مقدار θ_p که با معادله (۱۲-۷) تعریف می‌شوند از جایگذاری $\tau_{xy} = 0$ در معادله (۶-۷) بددست آمدند. از شکل ۹-۷ دیده می‌شود که:

$$\sigma_{\max} = \sigma_{ave} + R \quad \text{و} \quad \sigma_{\min} = \sigma_{ave} - R \quad (13-7)$$

با جایگذاری σ_{ave} و R از معادله (۱۰-۷)، داریم:

$$\sigma_{\max,\min} = \frac{\sigma_x + \sigma_y}{2} \pm \sqrt{\left(\frac{\sigma_x - \sigma_y}{2}\right)^2 + \tau_{xy}^2} \quad (14-7)$$

برای تعیین این کدام صفحه اصلی تحت تنش σ_{\max} و کدام تحت تنش σ_{\min} است، باید یکی از مقادیر θ_p را در معادله (۵-۷) جایگذاری کیم.

با جایگذاری در معادله (۱۲-۷)،

$$\tan \theta_p = \frac{\tau_{xy}}{\sigma_x - \sigma_y} = \frac{2(+4^\circ)}{50 - (-10)} = \frac{8^\circ}{6^\circ}$$

$$\Rightarrow 2\theta_p = 53,1^\circ \quad \text{و} \quad 180^\circ + 53,1^\circ = 233,1^\circ$$

$$\Rightarrow \theta_p = 26,5^\circ \quad \text{و} \quad 116,5^\circ$$

(ب) تنش‌های اصلی، طبق فرمول (۱۴-۷).

$$\begin{aligned}\sigma_{\max,\min} &= \frac{\sigma_x + \sigma_y}{2} \pm \sqrt{\left(\frac{\sigma_x - \sigma_y}{2}\right)^2 + \tau_{xy}^2} \\ &= 20 \pm \sqrt{(30)^2 + (40)^2}\end{aligned}$$

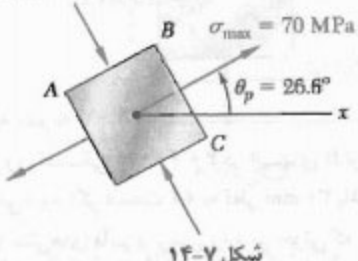
$$\sigma_{\max} = 20 + 50 = 70 \text{ MPa}$$

$$\sigma_{\min} = 20 - 50 = -30 \text{ MPa}$$

صفحات اصلی و تنش‌های اصلی در شکل ۱۴-۷ رسم شده‌اند. با قرار دادن $\theta = 46,5^\circ$ در معادله (۱۴-۷)، دیده می‌شود که تنش قائم وارد بر وجه BC دارای مقدار ماکزیمم است:

$$\begin{aligned}\sigma_x' &= \frac{50 - 10}{2} + \frac{50 + 10}{2} \cos 53,1^\circ + 40 \sin 53,1^\circ \\ &= 20 + 30 \cos 53,1^\circ + 40 \sin 53,1^\circ = 70 \text{ MPa} = \sigma_{\max}\end{aligned}$$

$$\sigma_{\min} = 30 \text{ MPa}$$



شکل ۱۴-۷

(ج) ماکزیمم تنش برشی، طبق فرمول (۱۶-۷).

$$\tau_{\max} = \sqrt{\left(\frac{\sigma_x - \sigma_y}{2}\right)^2 + \tau_{xy}^2} = \sqrt{(30)^2 + (40)^2} = 50 \text{ MPa}$$

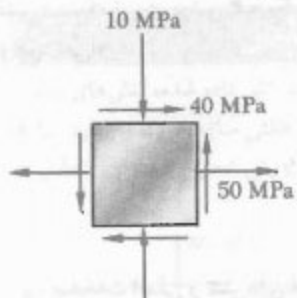
چون σ_{\min} و σ_{\max} دارای عالم مخالف‌اند، مقدار بالا ماکزیمم مقدار تنش برشی در نقطه تحت بررسی است. وضعیت صفحات ماکزیمم تنش برشی و سوی تنش‌های برشی را ببینید: جزو شکل ۱۴-۷ در امتداد صفحه قطری AC می‌توان تعیین کرد: چون وجوده AB و BC این جزو در صفحات اصلی

از مقایسه معادله‌های (۱۲-۷) و (۱۶-۷) دیده می‌شود که $\tan 2\theta_p$ برابر است با منفی ممکوس $2\theta_p$. یعنی، زوایای $2\theta_p$ و $2\theta_p + 90^\circ$ اختلاف دارند. بنابراین، زوایای θ_p و $\theta_p + 45^\circ$ اختلاف دارند. در نتیجه، صفحات ماکزیمم تنش برشی با صفحات هم‌لی تنش زاویه 45° دارند. این موضوع صحت نتایجی را که در قسمت ۱۲-۱ در حالت بارگذاری محوری مرکزی (شکل ۱۴-۱) و در قسمت ۳-۳ در حالت بارگذاری پیچشی به دست آمد (شکل ۲۰-۳) نشان می‌دهد.

گفتنی است که تحلیل بالا برای تبدیل تنش صفحه‌ای فقط برای چرخش در صفحه تنش می‌باشد. اگر جزء مکعبی شکل ۷-۷ حول محوری غیر از محور z چرخد، وجوده آن ممکن است تحت تنش‌های برشی بزرگتر از تنشی قرار گیرد که با معادله (۱۶-۷) تعریف می‌شود. همانطور که در قسمت ۵-۷ خواهید دید، این حالت وقتی روی می‌دهد که تنش‌های اصلی تعریف شده با معادله (۱۴-۷) دارای علامت یکسان باشند؛ یعنی، وقتی هر دو کشی یا هر دو فشاری باشند. در چنین مواردی، مقدار داده شده با معادله (۱۶-۷) را ماکزیمم تنش برشی داخل صفحه می‌گویند.

مثال ۱۴-۷

برای تنش صفحه‌ای نشان داده شده در شکل ۱۳-۷، مطلوب است: (الف) صفحات اصلی، (ب) تنش‌های اصلی، (ج) ماکزیمم تنش برشی و تنش قائم متناظر.



شکل ۱۳-۷

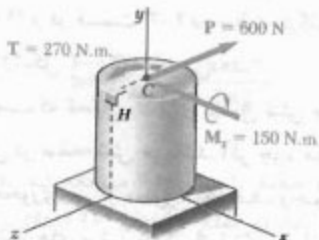
(الف) صفحات اصلی. با استفاده از قرارداد علامت، مولفه‌های تنش را به صورت زیر می‌نویسیم:

$$\sigma_x = +50 \text{ MPa} \quad \sigma_y = -10 \text{ MPa} \quad \tau_{xy} = +40 \text{ MPa}$$

حل
سیستم نیرو-کوپل، نیروی P را با یک سیستم نیرو-کوپل در مرکز C مقطع عرضی، که شامل نقطه H است، جایگزین می‌کنیم:

$$P = 600 \text{ N} \quad T = (600 \text{ N})(0.45 \text{ m}) = 270 \text{ N.m}$$

$$M_x = (600 \text{ N})(0.25 \text{ m}) = 150 \text{ N.m}$$

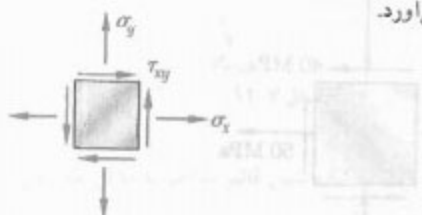


الف. تنش‌های اصلی در نقطه H . با استفاده از قرارداد علامت داده شده در شکل ۲-۷، سو و علامت هر یک از مولفه‌های تنش را با توجه به طرحواره سیستم نیرو-کوپل در نقطه C می‌یابیم:

$$\sigma_x = 0 \quad \sigma_y = +\frac{Mc}{I} = +\frac{(150 \text{ N.m})(0.15 \text{ m})}{\frac{1}{4}\pi(0.15)^4} = +56.6 \text{ MPa} \quad \blacktriangleleft$$

$$\tau_{xy} = +\frac{Tc}{J} = +\frac{(270 \text{ N.m})(0.15)}{\frac{1}{4}\pi(0.15)^4} = +50 \text{ MPa} \quad \blacktriangleleft$$

گفتئی است که نیروی برشی P هیچ‌گونه تنش برشی در نقطه H به وجود نمی‌آورد.



ب. صفحات اصلی و تنش‌های اصلی. با جایگذاری مقدار مولفه‌های تنش در معادله (۱۲-۷)، وضعیت صفحات اصلی را می‌یابیم:

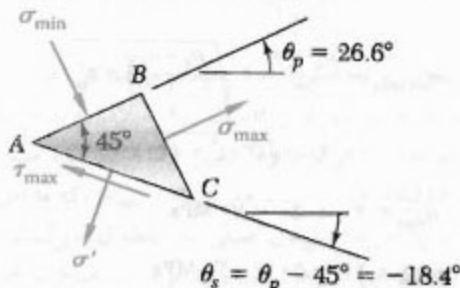
$$\tan 2\theta_p = \frac{2\tau_{xy}}{\sigma_x - \sigma_y} = \frac{2(50)}{0 - 56.6} = -1.8$$

$$2\theta_p = -61.5^\circ \quad 18^\circ - 61.5^\circ = +118^\circ$$

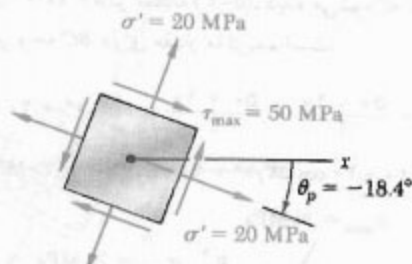
$$\theta_p = -30.8^\circ \quad \text{and } +59.2^\circ \quad \blacktriangleleft$$

قرار دارند، صفحه قطری AC یکی از صفحات ماکریسم تنش برشی است (شکل ۱۵-۷). به علاوه، شرایط تعادل برای جزء منتشری ABC نشان می‌دهد که تنش برشی وارد بر AC در جهت نشان داده شده است. جزء مکعبی متناظر با ماکریسم تنش برشی در شکل ۱۶-۷ نشان داده شده است. تنش قائم وارد بر هر یک از چهار وجه این جزء با معادله (۱۷-۷) داده می‌شود:

$$\sigma' = \sigma_{ave} = \frac{\sigma_x + \sigma_y}{2} = \frac{0 - 10}{2} = -5 \text{ MPa}$$

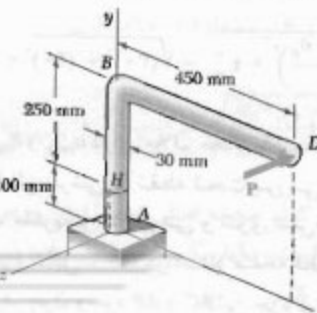


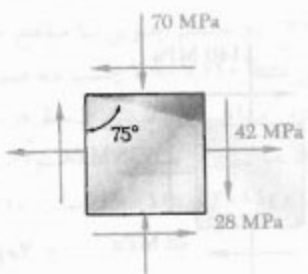
شکل ۱۵-۷



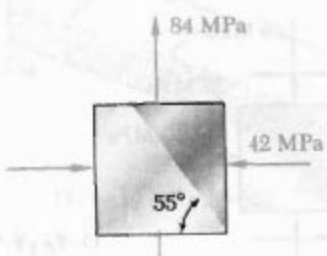
شکل ۱۶-۷

مثاله نمونه ۱-۷
نیروی لققی $P = 600 \text{ N}$ در انتهای D از باری ABD وارد می‌شود. اگر قسمت AB به قطر 30 mm باشد، مطلوب است:
(الف) تنش‌های قائم و برشی وارد بر جزئی که در نقطه H قرار دارد و اضلاع آن بese موازات محورهای x و y راست،
(ب) صفحات اصلی و تنش‌های اصلی در نقطه H .

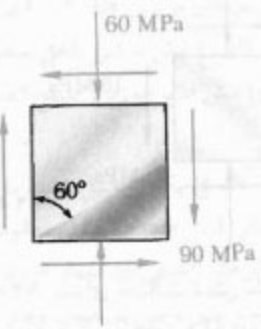




شکل ۲-۷م

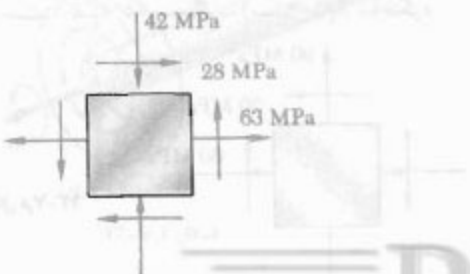


شکل ۳-۷م

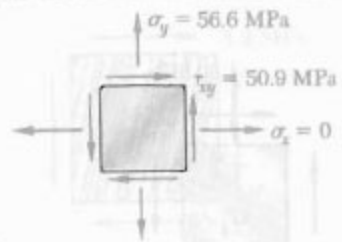


شکل ۴-۷م

۸-۷ تا ۱۰-۷ برای حالت تنش داده شده، مطلوب است:
 (الف) صفحات اصلی، (ب) تنش‌های اصلی.



شکل ۹-۷م



با جایگذاری در معادله (۱۴-۷)، تنش‌های اصلی را می‌یابیم:

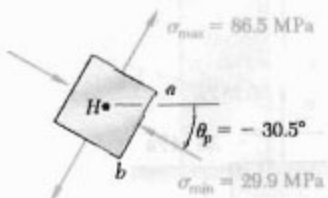
$$\sigma_{\max,\min} = \frac{\sigma_x + \sigma_y}{2} \pm \sqrt{\left(\frac{\sigma_x - \sigma_y}{2}\right)^2 + \tau_{xy}^2}$$

$$= \frac{0 + 56.6}{2} \pm \sqrt{\left(\frac{0 - 56.6}{2}\right)^2 + (50.9)^2}$$

$$= +28.3 \pm 50.9$$

$$\sigma_{\max} = +79.2 \text{ MPa} \quad \blacktriangleleft$$

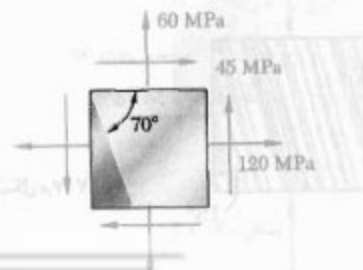
$$\sigma_{\min} = -22.9 \text{ MPa} \quad \blacktriangleleft$$



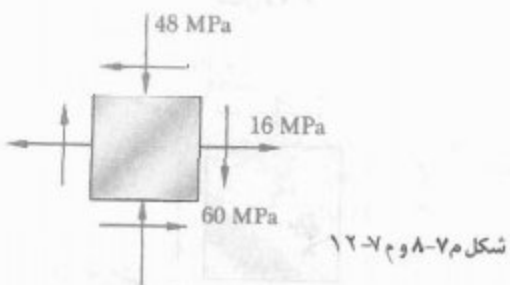
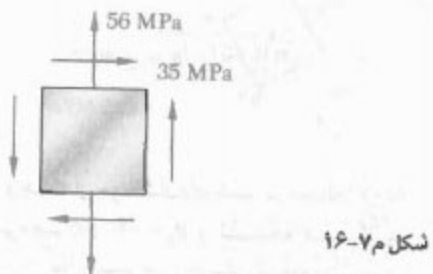
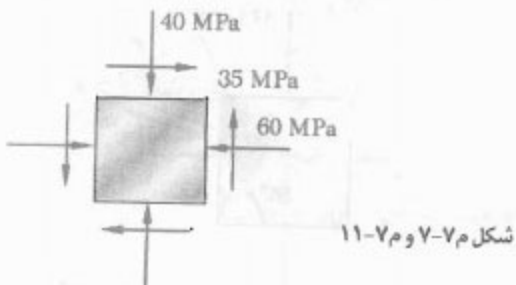
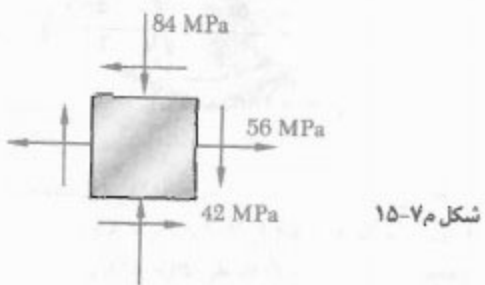
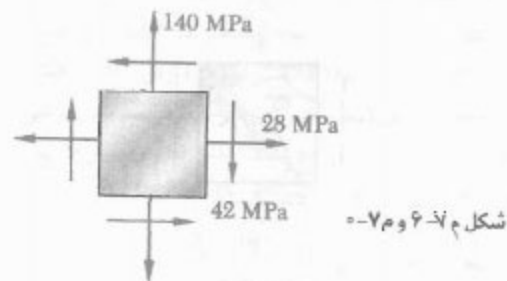
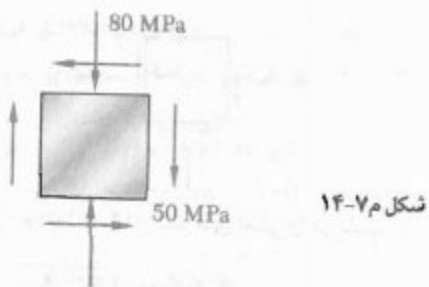
با در نظر گرفتن وجه ab از جزء نشان داده شده، در معادله (۵-۷) قرار می‌دهیم $\theta_p = -30.5^\circ$ و نتیجه می‌گیریم $\sigma_y = -29.9 \text{ MPa}$. لذا، تنش‌های اصلی به صورت نشان داده شده‌اند.

مسائل

۱-۷ تا ۴-۷ برای حالت تنش داده شده، تنش‌های قائم و برشی وارد بر وجه مایل جزء مثلثی سایه خورده را بیابید. مانند استنتاج‌های قسمت ۲-۷، از روش تحلیل مبتنی بر تعادل آن جزء استفاده کنید.

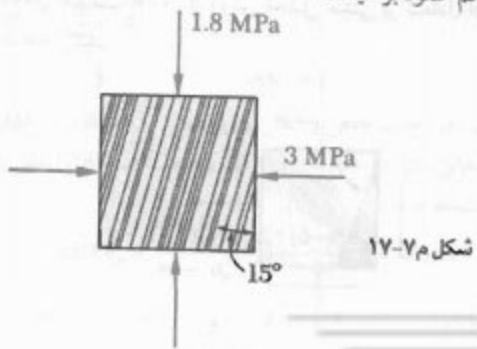


شکل ۱-۷م



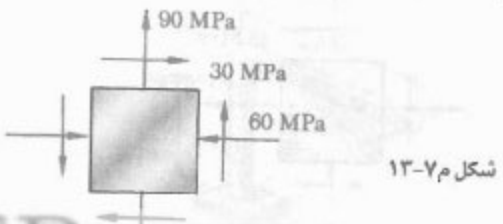
۱۵۰° با عتمود زاويه ۱۷-۷ و ۱۸-۷ ایاف یک عضو چوبی می سازند. برای حالت تنش نشان داده شده، مطلوب است:

(الف) تنش برشی داخل صفحه به موازات ایاف، (ب) تنش قائم عتمود بر ایاف.

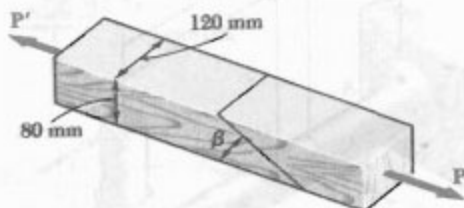


۹-۷ تا ۱۲-۷ برای حالت تنش داده شده، مطلوب است: (الف) وضعیت صفحات ماکریعم تنش برشی داخل صفحه، (ب) تنش قائم متناظر

۱۳-۷ تا ۱۶-۷ برای حالت تنش داده شده، مطلوب است تنش های قائم و برشی پس از اینکه جزو به اندازه زوایای زیر چرخیده است: (الف) ۲۵° ساعتگرد، (ب) ۱۰° پاد ساعتگرد.



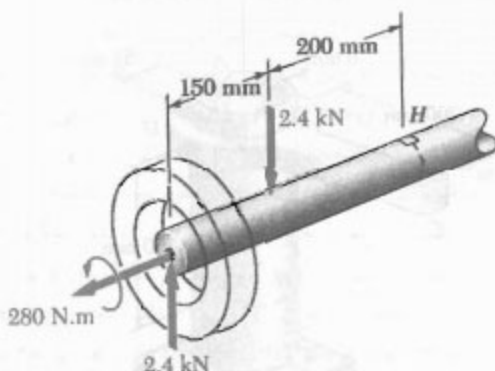
۲۱-۷ دو عضو چوبی با مقطع عرضی یکنواخت مستطیلی $80 \times 120 \text{ mm}$ با چسب به هم متصل شده‌اند. $\beta = 22^\circ$ و ماکریم تنش مجاز هر کشش (عمود بر سطح اتصال) و در برش (به موازات سطح اتصال). به ترتیب، 400 kPa و 600 kPa است. ماکریم بار مرکزی P را بیابید.



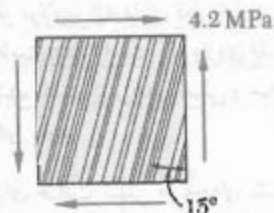
شکل ۲۱-۷ و ۲۲-۷

۲۲-۷ دو عضو چوبی با مقطع عرضی یکنواخت مستطیلی $80 \times 120 \text{ mm}$ با چسب به هم متصل شده‌اند. $\beta = 25^\circ$ و بارهای مرکزی $P = 10 \text{ kN}$ بر عضو وارد می‌شود. مطلوب است: (الف) تنش برشی داخل صفحه به موازات سطح اتصال، (ب) تنش قائم عمود بر سطح اتصال.

۲۳-۷ اکسل یک اتومبیل تحت بارهای نشان داده شده است. اگر قطر اکسل 30 mm باشد، مطلوب است: (الف) صفحات اصلی و تنش‌های اصلی در نقطه H واقع در بالای اکسل، (ب) ماکریم تنش برشی در همان نقطه.

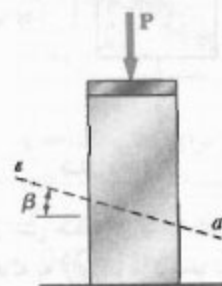


شکل ۲۳-۷



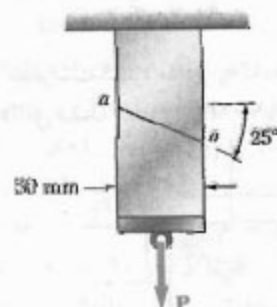
شکل ۱۸-۷

۱۹-۷ نیروی مرکزی P ، مطابق شکل، بر یک تیر کوتاه وارد شده است. می‌دانیم که تنش‌های وارد بر صفحه $a-a$ عبارتند از $\sigma = -100 \text{ MPa}$ و $\tau = 35 \text{ MPa}$. مطلوب است: (الف) زاویه β که صفحه $a-a$ با افق می‌سازد، (ب) ماکریم تنش فشاری در تیر.



شکل ۱۹-۷

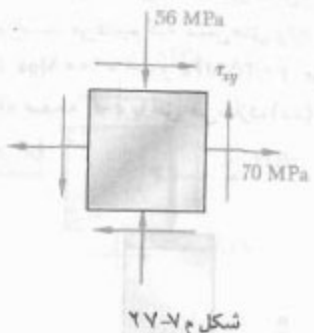
۲۰-۷ دو عضو با مقطع عرضی یکنواخت $50 \times 80 \text{ mm}$ در امتداد صفحه $a-a$ ، که با افق زاویه 25° دارد، به هم چسب خورده‌اند. می‌دانیم که تنش‌های مجاز برای اتصال چسب خورده عبارتند از $\sigma = 800 \text{ kPa}$ و $\tau = 600 \text{ kPa}$. ماکریم بار محوری P را که می‌توان وارد کرد بیابید.



شکل ۲۰-۷

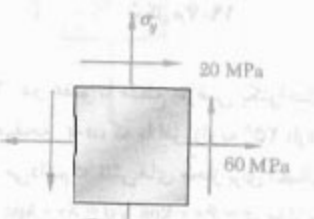
۲۶-۷ لوله فولادی AB دارای قطر خارجی 102 mm و دیوارهایی به ضخامت 6 mm است. اگر بازوی CD به طور صلب به لوله متصل شده باشد، تنش‌های اصلی و ماکزیمم تنش برشی در نقطه K را بیابید.

۲۷-۷ برای حالت تنش صفحه‌ای نشان داده شده، مطلوبست: (الف) ماکزیمم مقدار σ_x که به ازای آن ماکزیمم تنش برشی در صفحه مساوی 84 MPa یا کمتر از آن باشد، (ب) تنش‌های اصلی متناظر.



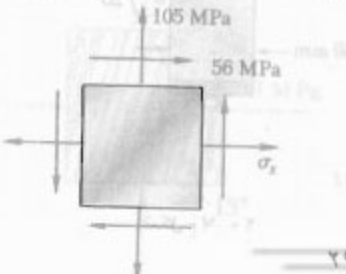
شکل ۲۷-۷

۲۸-۷ برای تنش صفحه‌ای نشان داده شده، مطلوبست ماکزیمم مقدار σ_y که به ازای آن ماکزیمم تنش برشی داخل صفحه مساوی 75 MPa یا کمتر از آن است.



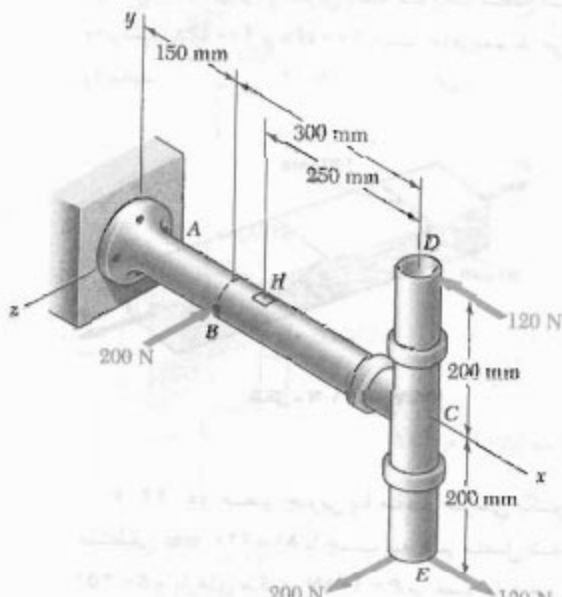
شکل ۲۸-۷

۲۹-۷ مطلوبست گستره مقادیر σ_x که به ازای آن ماکزیمم تنش برشی داخل صفحه مساوی 70 MPa یا کمتر از آن است.



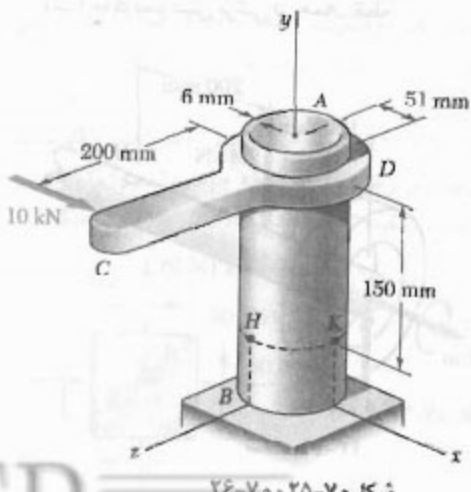
شکل ۲۹-۷

۲۴-۷ قطرهای داخلی و خارجی لوله‌ها، به ترتیب، 28 mm و 42 mm است. مطلوبست: (الف) صفحات اصلی و تنش‌های اصلی در نقطه H واقع در بالای سطح خارجی لوله، (ب) ماکزیمم تنش برشی در همان نقطه.

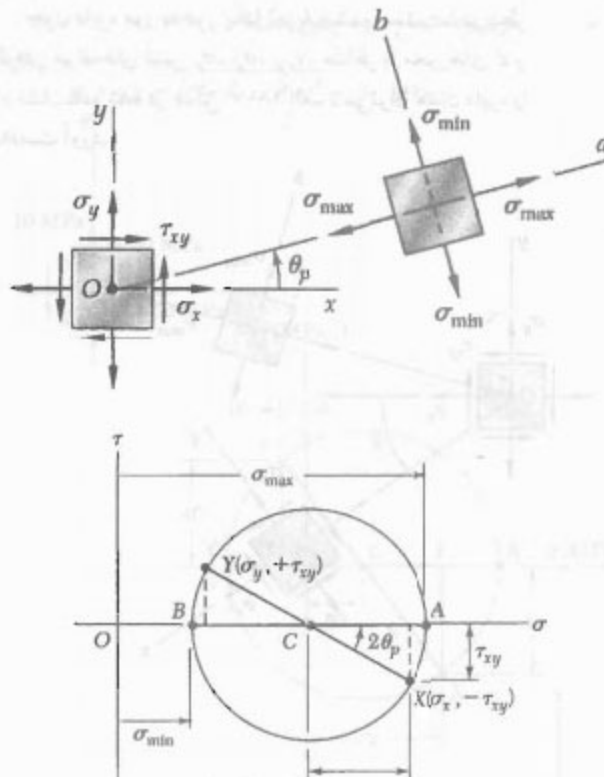


شکل ۲۴-۷

۲۵-۷ لوله فولادی AB دارای قطر خارجی 102 mm و دیوارهایی به ضخامت 6 mm است. اگر بازوی CD به طور صلب به لوله متصل شده باشد، تنش‌های اصلی و ماکزیمم تنش برشی در نقطه H را بیابید.



شکل ۲۵-۷ و ۲۶-۷

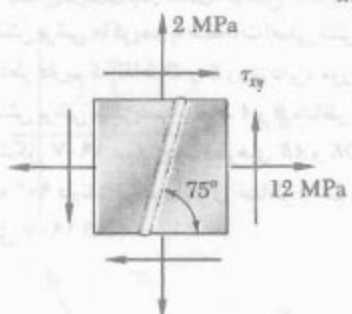


شکل ۱۷-۷

چون $\tan(XCA) = 2\tau_{xy}/(\sigma_x - \sigma_y)$, زاویه $XCA = 2\theta_p$ برابر با کسی از زوایای $2\theta_p$ در معادله (۱۲-۷) است. لذا، زاویه θ_p را که در شکل ۱۷-۷ الف وضعیت صفحه اصلی متناظر با نقطه A در شکل ۱۷-۷ ب را مشخص می‌کند با نصف کردن زاویه XCA در دایره مور می‌توان بدست آورد. دیده می‌شود که اگر $\sigma_x > \sigma_y$ و $\tau_{xy} > 0$, مانند حالت تحت بررسی در اینجا، دورانی که به موجب آن CX روی CA قرار می‌گیرد پاد ساعتگرد است. اما، در این حالت، زاویه θ_p از معادله (۱۲-۷) بدست می‌آید و جهت (عمود بر صفحه اصلی) مثبت است؛ لذا، دورانی که به موجب آن Oa بر Ox منطبق می‌شود نیز پاد ساعتگرد است. در نتیجه، سوهای چرخش در هر دو قسمت شکل ۱۷-۷ یکسانند؛ اگر برای منطبق کردن CX بر CA در دایره مور نیاز به دوران پاد ساعتگرد تحت زاویه $2\theta_p$ باشد، دوران پاد ساعتگرد زاویه θ_p باعث می‌شود در شکل ۱۷-۷ الف بر Oa بر منطبق شود.

* زوایه حای دایره شکل ۱۷-۷، از دایره شکل ۱۰-۷ به عنوان دایره مور استفاده می‌شود.

۳-۷ برای حالت تنش صفحه‌ای نشان داده شده، مطلوبست: (الف) مقدار θ_p که به ازای آن تنش صفحه داخل صفحه به موازات جوش صفر است، (ب) تنش‌های اصلی متناظر



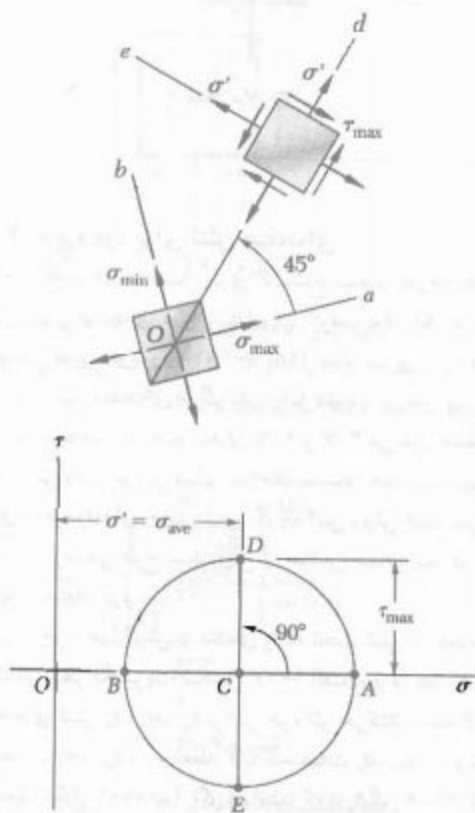
شکل ۳۰-۷م

۴-۷ دایره مور برای تنش صفحه‌ای دایره‌ای که در قسمت قبل برای استنتاج بعضی فرمول‌های تبدیل تنش صفحه‌ای مورد استفاده قرار گرفت اولین بار توسط مهندس آلمانی اتو مور (۱۸۳۵-۱۹۱۸) ابداع شد و آن را دایره مور برای تنش صفحه‌ای می‌گویند. از این دایره برای حل مسائل مختلف داده شده در قسمت‌های ۲-۷ و ۳-۷ می‌توان استفاده کرد. روش دایره مور بر مبنای ملاحظات ساده هندسی است و نیازی به فرمول‌های خاص ندارد. گرچه این روش ابتدا برای حل‌های ترسیمی طرح شد، ولی از ماشین حساب نیز در آن می‌توان استفاده کرد.

یک جزء چهارگوش از ماده‌ای را که تحت تنش صفحه‌ای است در نظر بگیرید (شکل ۱۷-۷ الف)، و فرض کنید مولفه‌های تنش σ_x , σ_y , τ_{xy} بر این جزء اثر می‌کنند. نقطه X با مختصات σ_x , σ_y , $-\tau_{xy}$ ، و نقطه Y با مختصات σ_y , σ_x , $+\tau_{xy}$ را رسم می‌کنیم (شکل ۱۷-۷ ب). اگر همانطور که در شکل ۱۷-۷ الف فرض شده است θ_p مثبت باشد، نقطه X پایین محور σ و نقطه Y بالای آن است (شکل ۱۷-۷ ب). اگر θ_p منفی باشد، X در بالای محور σ و Y در پایین آن است. با اتصال نقاط X و Y توسط یک خط راست، نقطه تقاطع خط XY با محور σ (نقطه C) بدست می‌آید. دایره‌ای به مرکز C و قطر XY رسم می‌کنیم. چون طول C و شعاع این دایره، به ترتیب، با σ_{ave} و R در معادله‌های ۱۰-۷ پراهنند، دایره حاصل دایره مور است. لذا، طول نقاط A و B (تقاطع تقاطع دایره با محور σ)، به ترتیب، تنش‌های اصلی σ_{max} و σ_{min} در نقطه تحت بررسی هستند.

منطبق می‌شود همچو با دورانی است که به موجب آن محورهای x, y در شکل ۱۸-۷ از محورهای x', y' منطبق می‌شوند.

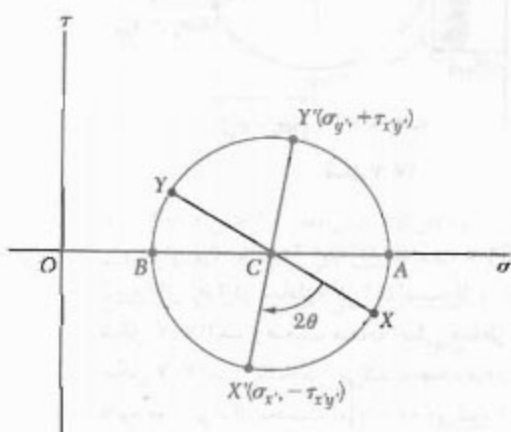
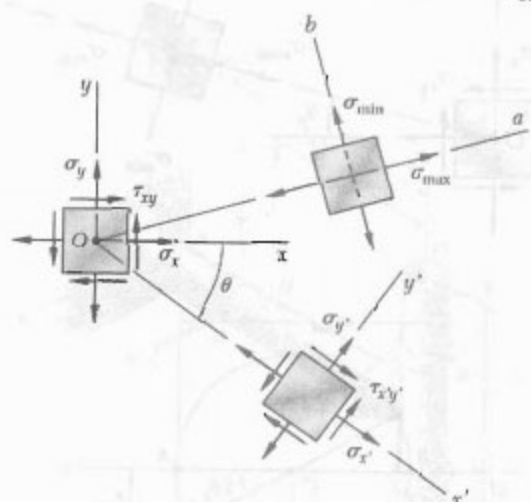
از خاصیت اخیر برای اثبات این موضوع استفاده می‌شود که صفحات تنش برشی ماکریعم با صفحات اصلی تنش زاویه 45° دارند. به خاطر داریم که نقاط D و E روی دایره مور متناظر با صفحات تنش برشی ماکریعم، و نقاط A و B متناظر با صفحات اصلی اند (شکل ۱۹-۷ ب). چون قطرهای AB و DE دایره مور با هم زاویه 90° دارند، وجود اجزای متناظر با هم زاویه 45° دارند (شکل ۱۹-۷ الف).



شکل ۱۹-۷

اگر هر وجه جزئی را که برای تعریف مولفه‌های تنش به کار رفته است به طور جداگانه در نظر بگیریم، ترسیم دایره مور برای تنش صفحه‌ای خیلی ساده می‌شود. طبق شکل‌های ۱۷-۷ و ۱۸-۷، وقتی تنش برشی وارد بر یک وجه معین گراش دارد چه ترتیب، بررسی را به طور ساعتگرد پیگیرخاند، نقطه روی دایره مور متناظر با آن وجه در بالای محور σ قرار دارد. وقتی تنش برشی وارد بر یک وجه معین گراش دارد چه ترتیب را به طور

چون دایره مور به طور یکتا تعریف شده است، با در نظر گرفتن مولفه‌های تنش $\sigma_x, \sigma_y, \tau_{xy}$ ، متناظر با محورهای x و y نشان داده شده در شکل ۱۸-۷ الف، می‌توان همان دایره را به دست آورد.

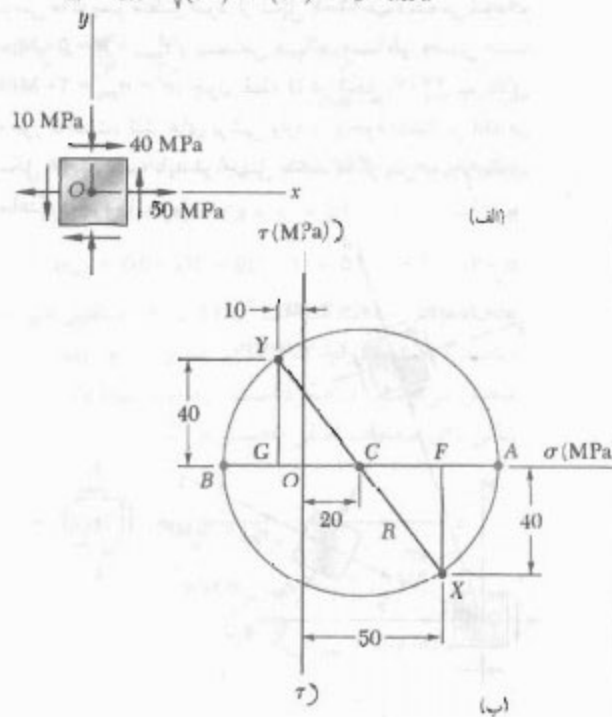


شکل ۱۸-۷

لذا، نقطه X' به مختصات σ_x و $-\tau_{xy}$ و نقطه Y' به مختصات σ_y و $+\tau_{xy}$ روی دایره مور قرار دارند، و زاویه $X'CA$ در شکل ۱۸-۷ ب دو برابر زاویه Oa در شکل ۱۸-۷ الف است. چون، مانند قبل، زاویه XCA در شکل ۱۸-۷ ب دو برابر زاویه xOa در شکل ۱۸-۷ الف است. لذا، قطر XY ، که تنش‌های قائم و برشی $\sigma_x, \sigma_y, \tau_{xy}$ را مشخص می‌کند، از دوران قطر XY تحت زاویه‌ای مساوی با دو برابر زاویه θ (زاویه بین محورهای x و y) در شکل ۱۸-۷ الف) به دست می‌آید. توجه کنید دوچندین که به موجب آن قطر XY در شکل ۱۸-۷ ب بر قطر $X'Y'$

درنتیجه، شعاع دایره چنین است:

$$R = CX = \sqrt{(30)^2 + (40)^2} = 50 \text{ MPa}$$



شکل ۲۱-۷

(ب) صفحات اصلی و تنش‌های اصلی. تنش‌های اصلی عبارتند از:

$$\sigma_{\max} = OA = OC + CA = 20 + 50 = 70 \text{ MPa}$$

$$\sigma_{\min} = OB = OC - BC = 20 - 50 = -30 \text{ MPa}$$

طبق شکل ۲۱-۷ ب، $ACX = 2\theta_p$ ، درنتیجه،

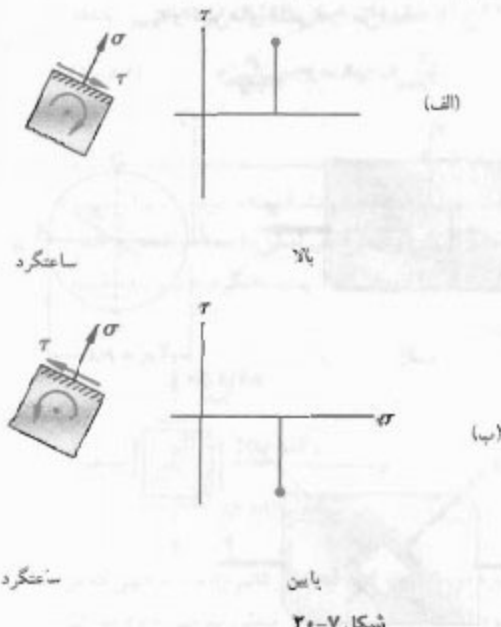
$$\tan 2\theta_p = \frac{FX}{CF} = \frac{40}{30}$$

$$\Rightarrow 2\theta_p = 53.1^\circ \Rightarrow \theta_p = 26.6^\circ$$

چون دورانی که CX را در شکل ۲۲-۷ ب بر CA منطبق می‌کند پادساعتگرد است، دورانی که Ox را در شکل ۲۲-۷ الف بر محور OA منطبق می‌کند نیز پادساعتگرد است.

(ج) تنش برشی ماقزیم. چون یک دوران 90° پادساعتگرد دیگر باعث می‌شود CA در شکل ۲۲-۷ ب روی CD

پادساعتگرد بچرخاند، نقطه متناظر با آن وجه در پایین محور σ قرار دارد (شکل ۲۰-۷). طبق قرارداد، تنش کششی را مثبت می‌گیریم و آن را به سمت راست رسم می‌کنیم، و تنش فشاری را منفی می‌گیریم و آن را به سمت چپ رسم می‌کنیم.



شکل ۲۰-۷

مثال ۲-۷

ای تنش صفحه‌ای مثال ۱-۷ ا، (الف) دایره مور داریم که بیند. (ب) تنش‌های اصلی را بیابید. (ج) تنش برشی ماقزیم و پوشش قائم متناظر را بیابید.

(الف) ترسیم دایره مور، طبق شکل ۲۱-۷ الف، تنش قائم ازد بر وجهی که بر محور x عمود است کششی (مثبت) است و پوشش برشی وارد بر آن وجه گرایاش دارد جزء را به طور پادساعتگرد بچرخاند. لذا، نقطه X از دایره مور در سمت راست محور عمودی و در پایین محور افقی رسم می‌شود (شکل ۲۱-۷ ب). بررسی مشابه برای تنش قائم و تنش برشی ازد بر وجهی بالایی جزء نشان می‌دهد که نقطه Z باید در سمت پوش محور عمودی و بالای محور افقی باشد. با ترسیم خط XZ ، مرکز دایره مور (نقطه C) بدست می‌آید که طول آن پیشین است:

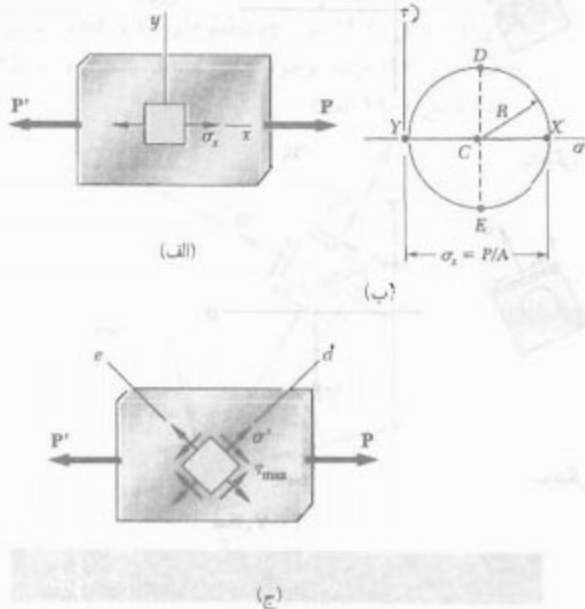
$$\sigma_{exc} = \frac{\sigma_x + \sigma_y}{2} = \frac{50 + (-10)}{2} = 20 \text{ MPa}$$

اگر لایع مثلث سایه‌محورده عبارتند از:

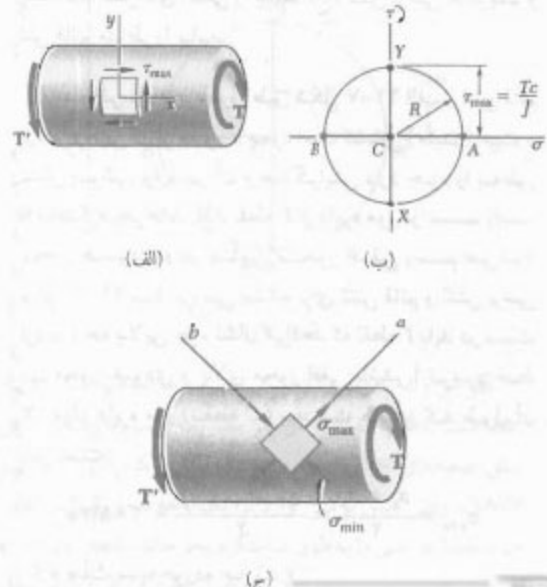
$$CF = 50 - 20 = 30 \text{ MPa} \quad \text{و} \quad FX = 40 \text{ MPa}$$

(شکل ۲۳-۷ الف)، دریم $\sigma_x = P/A$ و $\tau_{xy} = 0$. نقاط متناظر X و Y دایره‌ای به شعاع $R = P/2A$ را مشخص می‌کنند که از مبدأ مختصات می‌گذرد (شکل ۲۳-۷ ب). نقاط D و E وضعیت صفحات تنش برشی ماکریم (شکل ۲۳-۷ ج) و مقدار τ_{max} و تنش‌های قائم σ' را می‌دهند:

$$\tau_{max} = \sigma' = R = \frac{P}{2A} \quad (18-7)$$

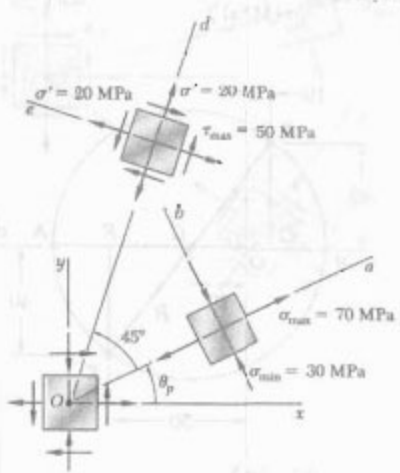


شکل ۲۳-۷ دایره مور برای بارگذاری محوری مرکزی

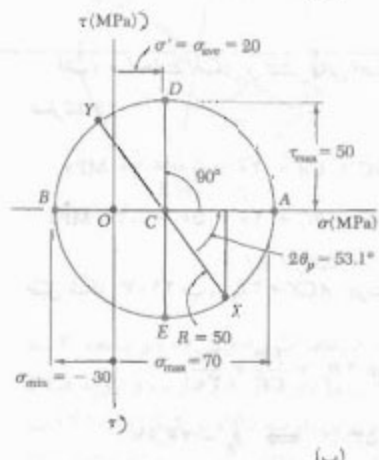


شکل ۲۴-۷ دایره مور برای بارگذاری پیچشی

منطبق شود، یک دوران 45° پاد ساعتگرد دیگر باعث می‌شود محور Oa در شکل ۲۲-۷ الف روی محور Od متناظر با تنش برشی ماکریم منطبق شود. از شکل ۲۲-۷ ب دیده می‌شود که $\tau_{max} = R = 50$ MPa و $\sigma' = \sigma_{ave} = 20$ MPa محور Od در شکل ۲۲-۷ ب بالای شکل ۲۲-۷ الف باید درجهش باشد که گرایش به چرخاندن ساعتگرد جزء داشته باشد.



الف)



ب)

شکل ۲۲-۷

دایره مور روش مناسبی برای ولرسی نتایجی است که قبل از برآوردهای مور برای بارگذاری محوری مرکزی (قسمت ۱۲-۱) و در بارگذاری پیچشی (قسمت ۴-۳) بدست آمدند. در حالت اول

الف. صفحات اصلی و تنش‌های اصلی. قطر XY را به اندازه $2\theta_p$ در جهت ساعتگرد دوران می‌دهیم تا بر قطر AB منطبق شود. می‌نویسیم:

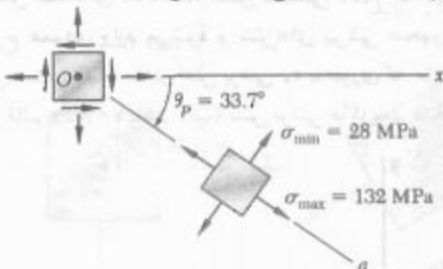
$$\tan 2\theta_p = \frac{XF}{CF} = \frac{4A}{2\sigma} = 2/\sigma \Rightarrow 2\theta_p = 67.4^\circ \Rightarrow \theta_p = 33.7^\circ \quad \blacktriangleleft$$

تشهای اصلی با طول نقاط A و B نشان داده می‌شوند:

$$\sigma_{\max} = OA = OC + CA = A\sigma + 52 = +132 \text{ MPa} \quad \blacktriangleleft$$

$$\sigma_{\min} = OB = OC - BC = A\sigma - 52 = +28 \text{ MPa} \quad \blacktriangleleft$$

چون دورانی که به موجب آن XY بر AB منطبق می‌شود ساعتگرد است، دورانی که Ox را بر محور Oa متناظر با منطبق می‌کند نیز ساعتگرد است؛ وضعیت نشان داده شده در شکل برای صفحات اصلی بدست می‌آید.



ب. مولفه‌های تنش وارد بر جزئی که 30° چرخیده است. نقاط X' و Y' روی دایره مور، که مولفه‌های تنش وارد بر جزء چرخیده را نشان می‌دهند، با چرخاندن پاد ساعتگرد تحت زاویه $2\theta = 60^\circ$ به دست می‌آیند. می‌نویسیم:

$$\phi = 180^\circ - 60^\circ - 67.4^\circ \quad \phi = 52.6^\circ \quad \blacktriangleleft$$

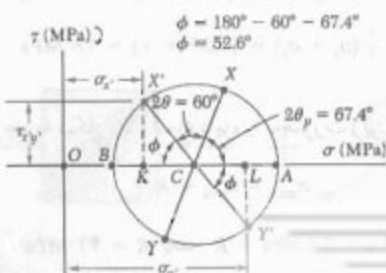
$$\sigma_x' = OK = OC - KC = A\sigma - 52 \cos 52.6^\circ$$

$$\sigma_x' = +48 \text{ MPa} \quad \blacktriangleleft$$

$$\sigma_y' = OL = OC + CL = A\sigma + 52 \cos 52.6^\circ$$

$$\sigma_y' = +111 \text{ MPa} \quad \blacktriangleleft$$

$$\tau_{x'y'} = KX' = 52 \sin 52.6^\circ \quad \tau_{x'y'} = +117 \text{ MPa} \quad \blacktriangleleft$$

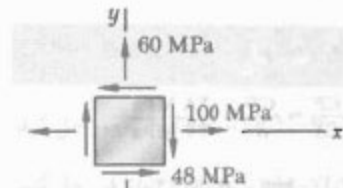


در حالت پیچشی (شکل ۲۴-۷ الف)، داریم $\sigma_x = \sigma_y = 0$ و $\tau_{xy} = \tau_{max} = Tc/J$ لذا نقاط X و Y روی محور τ قرار دارند، و دایره مور به شعاع $R = Tc/J$ است که مرکز آن در مبدأ است (شکل ۲۴-۷ ب). نقاط A و B صفحات اصلی (شکل ۲۴-۷ ج) و تنش‌های اصلی را نشان می‌دهند:

$$\sigma_{\max,\min} = \pm R = \pm \frac{Tc}{J} \quad (19-7)$$

مسئله نمونه ۲-۷

برای حالت تنش صفحه‌ای نشان داده شده، مطلوب است: (الف) صفحات اصلی و تنش‌های اصلی، (ب) مولفه‌های تنش وارد بر جزئی که با دوران 30° پاد ساعتگرد جزء داده شده به دست می‌آید.



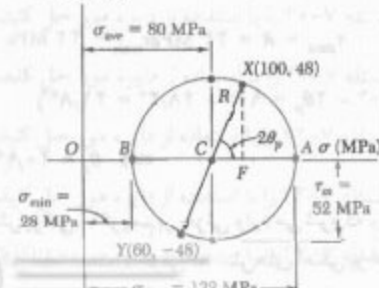
حل

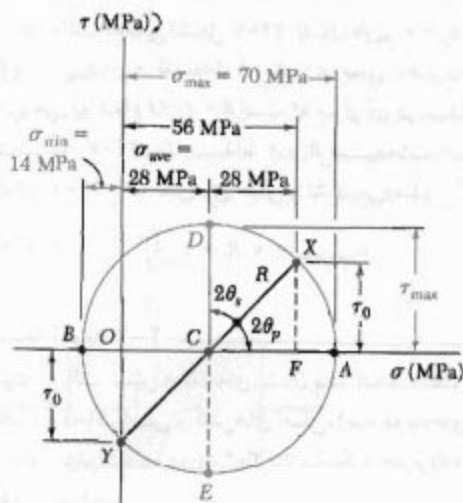
رسم دایره مور، توجه کنید که تنش قائم وارد بر وجهی که بر محور x عمود است کششی است و تنش برashی وارد بر آن گرایش دارد جزء را به طور ساعتگرد بچرخاند؛ لذا، X را در نقطه‌ای به فاصله 100° واحد در سمت راست محور عمودی و 48 واحد در بالای محور افقی رسم می‌کنیم. به طور مشابه، مولفه‌های تنش وارد بر وجه بالایی را وارسی و نقطه $(-48, 60)$ را در سمت چپ محور y توسط یک خط راست، مرکز C دایره مور بدست می‌آید. طول C ، که σ_{ave} را نشان می‌دهد، و شعاع R دایره عبارتند از:

$$\sigma_{ave} = OC = \frac{1}{\pi} (\sigma_x + \sigma_y) = \frac{1}{\pi} (100 + 60) = A\sigma \text{ MPa}$$

$$R = \sqrt{(CF)^2 + (FX)^2} = \sqrt{(20)^2 + (48)^2} = 52 \text{ MPa}$$

$\tau \text{ (MPa)}$





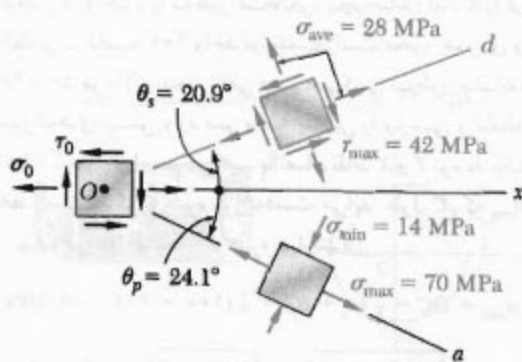
الف. تنش برشی . با توجه به مثلث CFX

$$\cos 2\theta_p = \frac{CF}{CX} = \frac{CF}{R} = \frac{42 \text{ MPa}}{42 \text{ MPa}}$$

$$\Rightarrow 2\theta_p = 45^\circ \quad \Rightarrow \theta_p = 22.5^\circ$$

$$r_0 = FX = R \sin 2\theta_p = (42 \text{ MPa}) \sin 45^\circ$$

$$r_0 = 31.1 \text{ MPa}$$



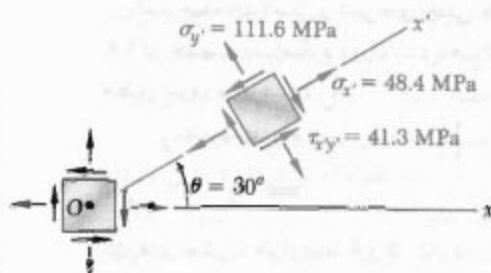
ب. تنش برشی ماکریسم. تنش برشی ماکریسم و تنش قائم متناظر با مختصات نقطه D دایره مور نشان داده می شوند:

$$\tau_{max} = R = 42 \text{ MPa} \quad \tau_{min} = 14 \text{ MPa}$$

$$2\theta_s = 90^\circ - 2\theta_p = 90^\circ - 45^\circ = 45^\circ$$

$$\Rightarrow \theta_s = 22.5^\circ$$

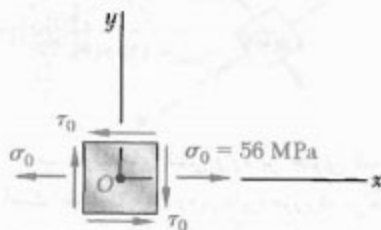
تش برشی ماکریسم بر جزئی وارد می شود که وضعیت آن مانند شکل الف است. (جزئی که تنش های اصلی بر آن وارد می شوند نیز نشان داده شده اند).



چون x' بالای محور افقی است، تنش برشی وارد بر وجهی که بر x' عمود است گرایش دارد جزء را در جهت ساعتگرد بچرخاند.

مسئله نمونه ۳-۷

در تنش صفحه ای داده شده، تنش کشی $\sigma_0 = 56 \text{ MPa}$ بر سطوح عمودی وارد می شود و تنش های برشی مجهول است. مطلوب است: (الف) مقادیر تنش برشی τ به طوری که ماکریسم تنش قائم $\tau = 42 \text{ MPa}$ باشد، (ب) تنش برشی ماکریسم متناظر.



حل

رسم دایره مور. فرض می کنیم تنش های برشی در سوی نشان داده شده هستند. لذا، تنش برشی τ وارد بر وجهی که بر محور x عمود است گرایش دارد جزء را در جهت ساعتگرد بچرخاند. نقطه X با مختصات $x = 42 \text{ MPa}$ و $y = 0$ را بالای محور افقی رسم می کنیم. با برشی وجه افقی جزء، دیده می شود که $\sigma_0 = 56 \text{ MPa}$ و τ گرایش دارد جزء را در جهت پاد ساعتگرد بچرخاند؛ لذا، نقطه Z را در فاصله τ پایین O رسم می کنیم. طول مرکز C دایره مور چنین است:

$$\sigma_{ave} = \frac{1}{4} (\sigma_x + \sigma_y) = \frac{1}{4} (56 + 0) = 28 \text{ MPa}$$

با توجه به شکل بالا، شعاع دایره را به صورت زیر می باییم:

$$\sigma_{max} = \sigma_{ave} + R$$

$$42 \text{ MPa} = 28 \text{ MPa} + R \Rightarrow R = 14 \text{ MPa}$$

۴۸-۷ مسئله ۲۶-۷ را با استفاده از دایره مور حل کنید.

۴۹-۷ مسئله ۲۷-۷ را با استفاده از دایره مور حل کنید.

۵۰-۷ مسئله ۲۸-۷ را با استفاده از دایره مور حل کنید.

۵۱-۷ مسئله ۲۹-۷ را با استفاده از دایره مور حل کنید.

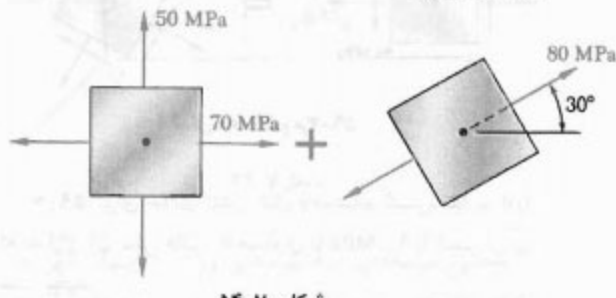
۵۲-۷ مسئله ۳۰-۷ را با استفاده از دایره مور حل کنید.

۵۳-۷ مسئله ۳۰-۷ را با استفاده از دایره مور و با فرض

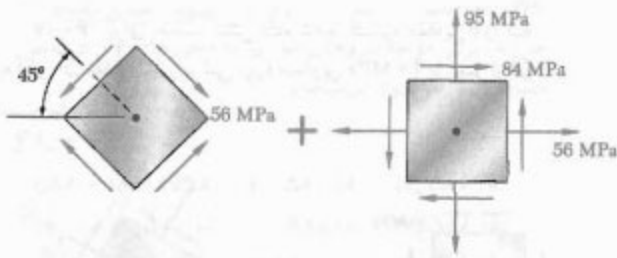
اینکه جوش با افق زاویه 60° دارد حل کنید.

۵۴-۷ و ۵۵-۷ صفحات اصلی و تنش‌های اصلی را برای

حالت تنش صفحه‌ای حاصل از ترکیب دو حالت تنش نشان داده شده بیاید.



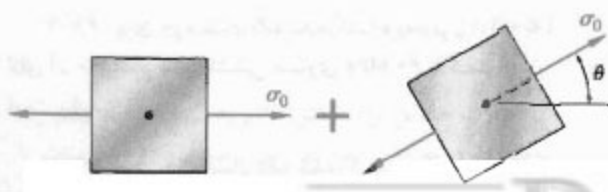
شکل ۵۴-۷



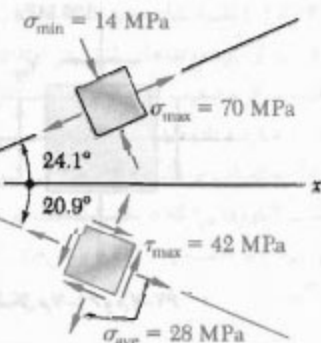
شکل ۵۵-۷

۵۶-۷ و ۵۷-۷ صفحات اصلی و تنش‌های اصلی را برای

حالت تنش صفحه‌ای حاصل از ترکیب دو حالت تنش نشان



شکل ۵۶-۷



تعویچ: اگر سوی 2α را بر عکس کنیم، دایره و پاسخ‌های قبل را بدست می‌آوریم، اما وضعیت اجزا مانند شکل ب می‌باشد.

مسائل

۳۱-۷ مسائل ۷-۷ و ۱۱-۷ را با استفاده از دایره مور حل کنید.

۳۲-۷ مسائل ۸-۷ و ۱۲-۷ را با استفاده از دایره مور حل کنید.

۳۳-۷ مسئله ۹-۷ را با استفاده از دایره مور حل کنید.

۳۴-۷ مسئله ۱۰-۷ را با استفاده از دایره مور حل کنید.

۳۵-۷ مسئله ۱۳-۷ را با استفاده از دایره مور حل کنید.

۳۶-۷ مسئله ۱۴-۷ را با استفاده از دایره مور حل کنید.

۳۷-۷ مسئله ۱۵-۷ را با استفاده از دایره مور حل کنید.

۳۸-۷ مسئله ۱۶-۷ را با استفاده از دایره مور حل کنید.

۳۹-۷ مسئله ۱۷-۷ را با استفاده از دایره مور حل کنید.

۴۰-۷ مسئله ۱۸-۷ را با استفاده از دایره مور حل کنید.

۴۱-۷ مسئله ۱۹-۷ را با استفاده از دایره مور حل کنید.

۴۲-۷ مسئله ۲۰-۷ را با استفاده از دایره مور حل کنید.

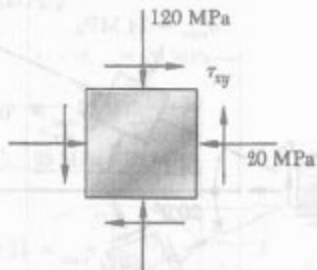
۴۳-۷ مسئله ۲۱-۷ را با استفاده از دایره مور حل کنید.

۴۴-۷ مسئله ۲۲-۷ را با استفاده از دایره مور حل کنید.

۴۵-۷ مسئله ۲۳-۷ را با استفاده از دایره مور حل کنید.

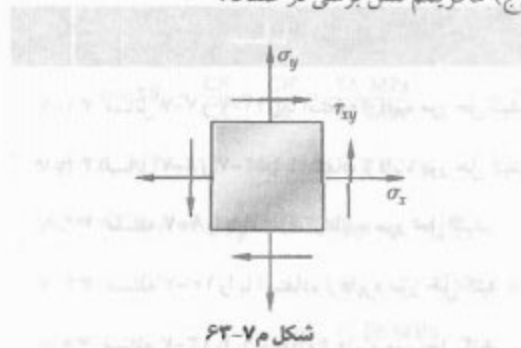
۴۶-۷ مسئله ۲۴-۷ را با استفاده از دایره مور حل کنید.

۴۷-۷ مسئله ۲۵-۷ را با استفاده از دایره مور حل کنید.



شکل ۵۷-۷ و ۶۱-۷

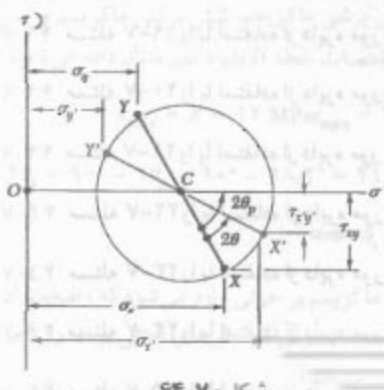
۵۷-۶ برای حالت تنش نشان داده شده، می‌دانیم که
که به ازای آن تنش قائم σ_0 مساوی 140 MPa یا کمتر از آن است.
مطلوب است:
(الف) وضعیت صفحات اصلی، (ب) تنش اصلی،
(ج) ماکریم تنش برشی در صفحه.



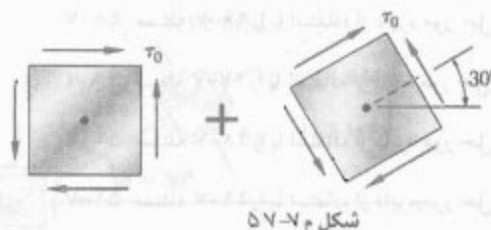
شکل ۶۲-۷

۵۷-۷ دایره مور نشان داده شده متاظر است با حالت تنشی که در شکل های ۵-۷-۷-۸ لافقوب داده شده است. با توجه به اینکه $\tau_{xy} = (CX)\sin(2\theta_p - 2\theta)$ و $\sigma_z = OC + (CX)\cos(2\theta_p - 2\theta)$ عبارتهای σ_x و σ_y را که، به ترتیب، در معادله های (۵-۷) و (۵-۸) داده شده اند، بیایید.

[راهنمایی: از $\sin(A + B) + \sin A \cos B + \cos A \sin B = \cos(A + B) = \cos A \cos B - \sin A \sin B$ استفاده کنید.]

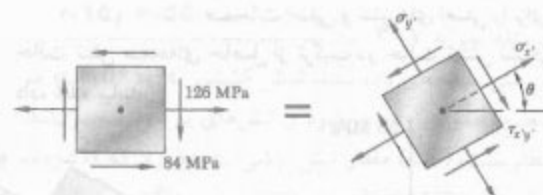


شکل ۵۷-۸



شکل ۵۷-۸

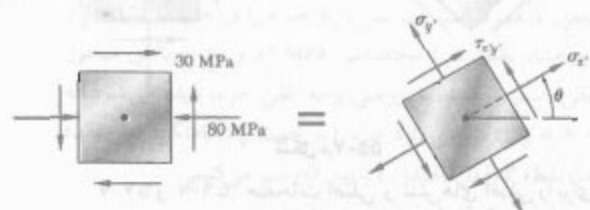
۵۸-۷ برای حالت تنش نشان داده شده، گستره مقادیر θ که به ازای آن تنش قائم σ_0 مساوی 140 MPa یا کمتر از آن است بیایید.



شکل ۵۸-۷ و ۵۹-۷

۵۹-۷ برای حالت تنش نشان داده شده، گستره مقادیر θ که به ازای آن تنش قائم σ_0 مساوی 70 MPa یا کمتر از آن است بیایید.

۶۰-۷ برای حالت تنش داده شده، گستره مقادیر θ را که به ازای آن مقدار تنش برشی τ_{xy} مساوی 40 MPa یا کمتر از آن است بیایید.

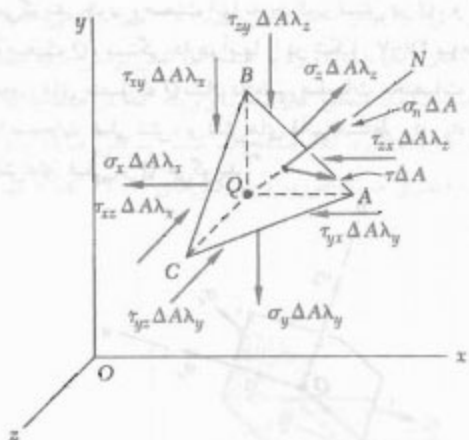


شکل ۵۰-۷

۶۱-۷ برای جزء نشان داده شده، گستره مقادیر τ_{xy} را که به ازای آن ماکریم تنش کششی مساوی 60 MPa یا کمتر از آن است بیایید.

۶۲-۷ برای جزء نشان داده شده، گستره مقادیر τ_{xy} را که به ازای آن ماکریم تنش برشی در صفحه مساوی 50 MPa یا کمتر از آن است بیایید.

وجه می‌توان یافت (شکل ۲۶-۷). از طرف دیگر، نیروهای وارد بر وجه ABC متشکل اند از نیروی قائم با مقدار $\sigma_n \Delta A$ که در QN عمود است، و نیروی برشی با مقدار $\tau \Delta A$ که بر QN عمود است. چون QAB ، QBC و QCA به ترتیب، در جهت منفی x ، y و z هستند، نیروهای وارد بر آنها را باید با سوی منفی نشان داد.



شکل ۲۶-۷

مجموع مولفه‌های تمام نیروهای وارد بر چهاروجهی در امتداد QN صفر است. مولفه نیروی موازی با محور x در امتداد QN از حاصلضرب مقدار آن نیرو در کسینوس هادی λ_x به دست می‌آید. برای مولفه نیروهای موازی با محورهای y و z به طور مشابه عمل می‌شود. در نتیجه،

$$\sum F_n = 0 :$$

$$\begin{aligned} \sigma_n \Delta A - & (\sigma_x \Delta A \lambda_x) \lambda_x - (\tau_{xy} \Delta A \lambda_x) \lambda_y - (\tau_{xz} \Delta A \lambda_x) \lambda_z \\ - & (\tau_{yx} \Delta A \lambda_y) \lambda_x - (\sigma_y \Delta A \lambda_y) \lambda_y - (\tau_{yz} \Delta A \lambda_y) \lambda_z \\ - & (\tau_{zx} \Delta A \lambda_z) \lambda_x - (\tau_{zy} \Delta A \lambda_z) \lambda_y - (\sigma_z \Delta A \lambda_z) \lambda_z = 0 \end{aligned}$$

از تقسیم بر ΔA و با حل σ_n ، داریم:

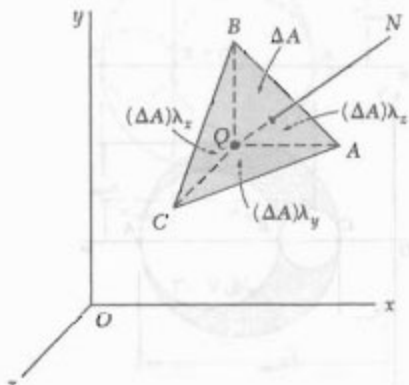
$$\begin{aligned} \sigma_n = & \sigma_x \lambda_x^\dagger + \sigma_y \lambda_y^\dagger + \sigma_z \lambda_z^\dagger \\ & + 2\tau_{xy} \lambda_x \lambda_y + 2\tau_{yz} \lambda_y \lambda_z + 2\tau_{zx} \lambda_z \lambda_x \end{aligned} \quad (26-7)$$

عبارت حاصل برای تنش قائم σ_n بر حسب λ_x ، λ_y و λ_z به شرط دوام است. در نتیجه، محورهای مختصات را می‌توان طوری انتخاب کرد که عضو سمت راست معادله (۲۶-۷) به سه جمله، شامل مربعات کسینوس‌های هادی،

آن σ_x ، σ_y و σ_z مولفه‌های تنش در امتداد محورهای قائم x و y هستند، از وضعیت این محورها مستقل‌اند. همچنین، نشان دهد که عبارت داده شده مربع طول مماسی را نشان می‌دهد که از مبدأ مختصات بر دایره مور رسم می‌شود. (ب) با استفاده از خاصیت "ناورداری" که در قسمت الف در نظر گرفته شده، تنش برشی τ_{xy} را بر حسب σ_x ، σ_y ، و تنش‌های اصلی σ_{min} و σ_{max} بیان کنید.

۵-۷ حالت کلی تنش

در قسمت‌های قبل، حالت تنش صفحه‌ای را با $\sigma_x = \tau_{xx} = \tau_{xy} = 0$ در نظر گرفتیم، و فقط تبدیلات تنش مربوط به دوران حول محور z را بررسی کردیم. اکنون، حالت کلی تنش داده شده در شکل ۲۶-۷الف و تبدیل تنش مربوط به دوران محورهای نشان داده شده در شکل ۲۶-۷ب را در نظر می‌گیریم. البته، این تحلیل فقط برای تعیین تنش قائم σ_n وارد به یک صفحه با وضعیت اختیاری است.



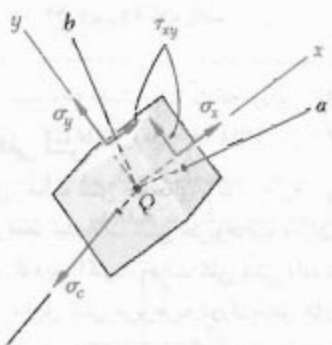
شکل ۲۶-۷

چهاروجهی داده شده در شکل ۲۶-۷ را در نظر بگیرید. سه تا از وجود آن به موازات صفحات مختصات هستند، و وجه ABC بر خط QN عمود است. اگر مساحت وجه ABC را با ΔA ، مساحت وجوه عمود بر محورهای x ، y ، z به ترتیب، عبارتند از $(\Delta A)\lambda_x$ ، $(\Delta A)\lambda_y$ و $(\Delta A)\lambda_z$. اگر حالت تنش در نقطه Q با مولفه‌های تنش σ_x ، σ_y ، σ_z ، τ_{xy} ، τ_{yz} و τ_{zx} بیان شود، در اینصورت نیروهای وارد بر وجوده مولایی با صفحات مختصات را از حاصلضرب مولفه‌های تنش در مساحت هر

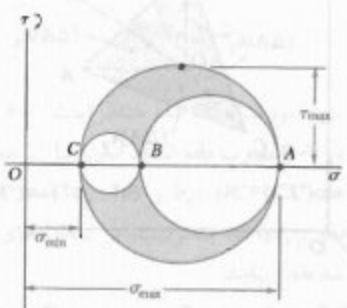
برشی را در نقطه Q نشان می‌دهد. با توجه به اینکه قطر آن دایره با اختلاف بین σ_{\min} و σ_{\max} برابر است، می‌توانیم:

$$\tau_{\max} = \frac{1}{2} |\sigma_{\max} - \sigma_{\min}| \quad (22-7)$$

که در آن، σ_{\min} و σ_{\max} مقادیر جبری تنش‌های ماکزیمم و مینیمم در نقطه Q هستند.



شکل ۲۸-۷



شکل ۲۹-۷

* در قسمت ۱۶.۹ کتاب "Vector mechanics for engineers, 6th ed" تالیف Beer&Johnston، شکل درجه دوم مشابهی برای نمایش ممان اینرسی یک جسم صلب نسبت به یک محور اختیاری آورده شده است. در قسمت ۱۷.۹ نشان داده می‌شود که این شکل درجه دوم مربوط به سطح درجه دوم و شکلی که فقط شامل مربعات کسینوس‌های هادی است همان شکلی است که برای تعیین محورهای اصلی آن سطح به کار می‌رود.

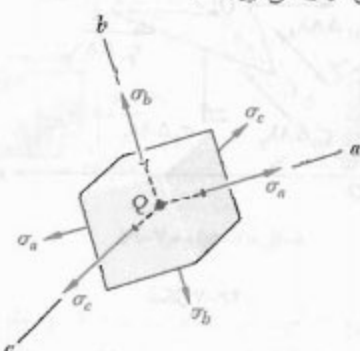
** برای بحث درباره تعیین صفحات اصلی تنش و تنش‌های اصلی، نگاه کنید به:

S. P. Timoshenko and J. N. Goodier, Theory of Elasticity, 3d ed., McGraw-Hill Book Company, 1970, sec. 77.

تبدیل شود*. اگر این محورها را با a , b , c و تنش‌های قائم متناظر را با σ_a , σ_b , σ_c و کسینوس‌های هادی QN نسبت به این محورها را با λ_a^1 , λ_b^1 و λ_c^1 نشان دهیم:

$$\sigma_n = \sigma_a \lambda_a^1 + \sigma_b \lambda_b^1 + \sigma_c \lambda_c^1 \quad (21-7)$$

محورهای مختصات a , b ، و c ، را محورهای هسلی تنش می‌گویند. چون وضعیت آنها به حالت تنش در Q ، و لذا به وضعیت Q ، پستگی دارد، آنها را در شکل ۲۷-۷ به صورت محورهای متصل به Q نشان داده‌ایم. صفحات مختصات متناظر را صفحات هسلی تنش؛ و تنش‌های قائم متناظر σ_a , σ_b , σ_c و تنش‌های هسلی در Q می‌گویند**.

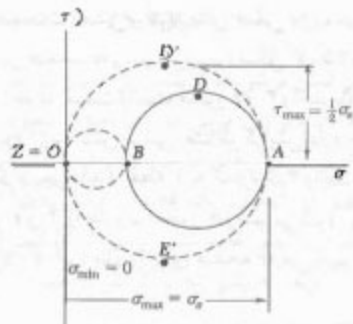


شکل ۲۷-۷

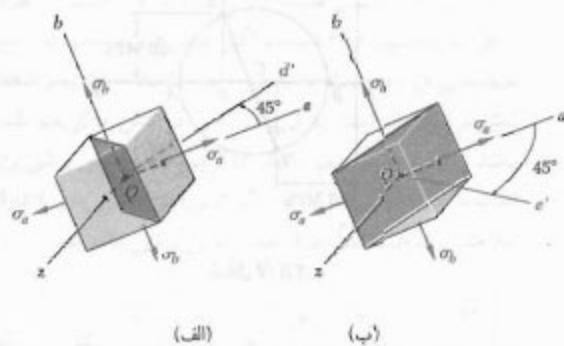
۶-۷ کاربرد دایره مور برای تحلیل تنش سه‌بعدی اگر جزء نشان داده شده در شکل ۲۷-۷ حول یکی از محورهای اصلی در Q ، مثلاً محور c (شکل ۲۸-۷)، دوران داده شود، با استفاده از دایره مور می‌توان تبدیل تنش متناظر را بدست آورد. در حقیقت، تنش‌های برشی وارد بر وجود محور c صفر هستند و تنش قائم σ_c بر صفحه ab که تبدیل در آن روی می‌دهد عمود است و بر این تبدیل تأثیر نمی‌گذارد. لذا، برای تعیین تنش‌های قائم و برشی وارد بر وجود جزء پس از دوران آن حول محور c (شکل ۲۹-۷)، از دایره‌ای به قطر AB استفاده می‌کنیم. به طور مشابه، برای تعیین تنش‌های وارد بر آن جزء پس از دوران BC و CA استفاده کرد. گرچه این تحلیل برای دوران حول محورهای اصلی است، ولی می‌توان نشان داد که دوران حول هر محور دیگر باعث ایجاد تنش‌هایی می‌شود که در شکل ۲۹-۷ با یک نقطه در داخل مساحت سایه‌خورده نشان داده می‌شوند. لذا، شعاع بزرگترین دایره از میان سه دایره، ماکزیمم مقدار تنش

از طرف دیگر، اگر A و B در یک طرف O باشند (یعنی، اگر σ_a و σ_b دارای علامت یکسان باشند)، دایره‌ای که τ_{\min} و τ_{\max} را مشخص می‌کند دایره متناظر با تبدیل تنش در صفحه xy نیست.

اگر، طبق شکل ۳۲-۷، $\sigma_b > \sigma_a$ ، در این صورت $\sigma_{\max} = \sigma_a$ و $\sigma_{\min} = 0$ با شاعع دایره‌ای که بانقطاط O و A مشخص می‌شود برابر است، یعنی $\tau_{\max} = \frac{1}{2}\sigma_{\max}$. گفتنی است که عمودهای Qd' و Qd وارد بر صفحات تنش برشی ماکزیمم را با چرخاندن محور Qa تحت زاویه 45° در صفحه za می‌توان به دست آورد. لذا، صفحات تنش برشی ماکزیمم صفحات قطعی سایه خورده در شکل‌های ۳۳-۷ الف و ب هستند.

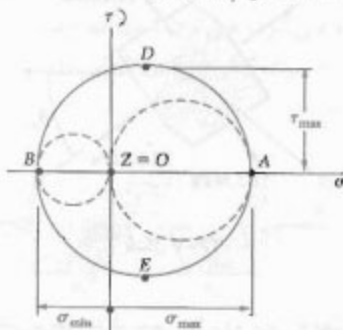


شکل ۳۲-۷

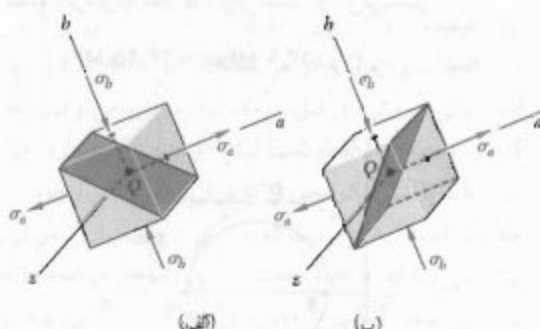


شکل ۳۳-۷

اگنون، به حالت خاص تنش صفحه‌ای، که در قسمت‌های ۲-۷ تا ۴-۷ بررسی شد، بر می‌گردیم. به خاطر داریم که اگر محورهای x و y در صفحه تنش انتخاب شوند، $\sigma_z = \tau_{zx} = \tau_{zy} = 0$. یعنی، محور z ، که محور عمود بر صفحه تنش است، یکی از سه محور اصلی تنش است. در نمودار دایره مور، این محور متناظر است با مبدأ O ، که در آن $\sigma = \tau = 0$. همچنین، به خاطر داریم که دو محور اصلی دیگر متناظراند با نقاط A و B که محل تلاقی دایره مور در صفحه xy با محور σ هستند. اگر A و B در طرفین متقابل مبدأ O باشند (شکل ۳۰-۷)، تنش‌های اصلی متناظر، ماکزیمم و مینیمم تنش‌های قائم در نقطه Q هستند، و تنش برشی ماکزیمم با ماکزیمم تنش برشی "داخل صفحه" برابر است. همانطور که در قسمت ۲-۳ گفته شد، صفحات تنش برشی ماکزیمم متناظراند با بانقطاط D و E دایره مور که با صفحات اصلی متناظر بانقطاط A و B زاویه 45° دارند. لذا، آنها صفحات قطعی سایه خورده در شکل‌های ۳۱-۷ الف و ب هستند.



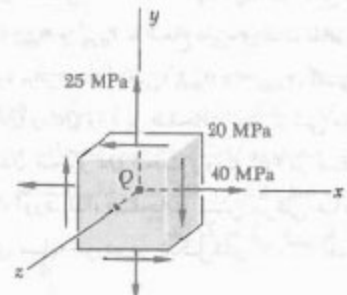
شکل ۳۰-۷



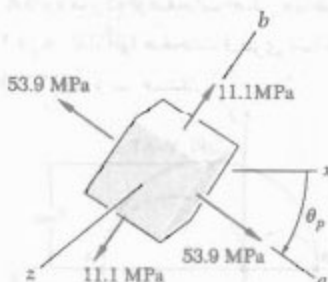
شکل ۳۱-۷

مثال ۷-۳

برای حالت تنش صفحه‌ای نشان داده شده در شکل ۳۴-۷ مطلوبست: (الف) صفحات اصلی و تنش‌های اصلی، (ب) تنش برشی ماکریم.



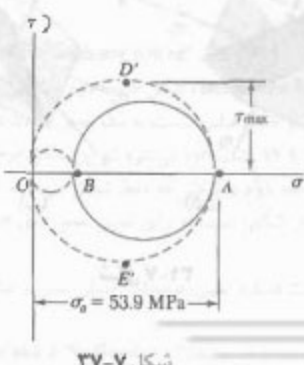
شکل ۳۴-۷



شکل ۳۶-۷

(ب) تنش برشی ماکریم. حال، دوایری به قطر OA و OB را که، به ترتیب، با دوران‌های جزء حول محورهای a و b متناظرند رسم می‌کنیم (شکل ۳۷-۷). تنش برشی ماکریم با شعاع دایره‌ای به قطر OA برابر است، و می‌نویسیم:

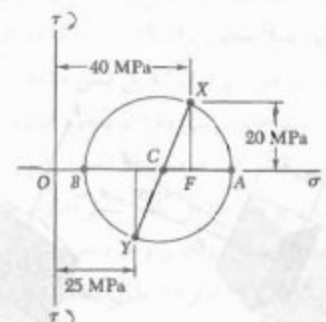
$$\tau_{\max} = \frac{1}{2} \sigma_a = \frac{1}{2} (53.9 \text{ MPa}) = 26.95 \text{ MPa}$$



شکل ۳۷-۷

(الف) صفحات اصلی و تنش‌های اصلی. دایره مور را برای تبدیل تنش در صفحه xy رسم می‌کنیم (شکل ۳۵-۷). نقطه X به اندازه ۶ واحد در سمت راست محور z و ۳ واحد بالای محور σ رسم می‌شود (زیرا تنش برشی متناظر گرایش دارد جزء را در جهت ساعتگرد بچرخاند). نقطه Y به اندازه $5/2$ واحد در سمت راست محور z و ۳ واحد زیر محور σ رسم می‌شود. با ترسیم خط XY ، مرکز C دایره مور را برای صفحه xy می‌یابیم؛ طول آن چنین است:

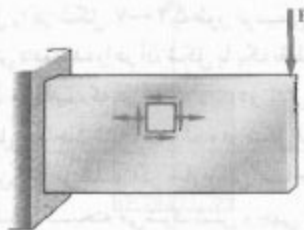
$$\sigma_{ave} = \frac{\sigma_x + \sigma_y}{2} = \frac{40 + 25}{2} = 32.5 \text{ MPa}$$



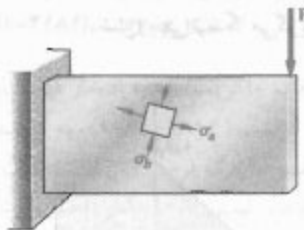
شکل ۳۵-۷

پلایع مثلث قائم الزاویه CFX عبارتند از $\sigma_x = 40 \text{ MPa}$ و $\sigma_y = 25 \text{ MPa}$ در نتیجه، شعاع دایره چنین است:

$$R = CX = \sqrt{(V/2)^2 + (Y/2)^2} = 21.4 \text{ MPa}$$



(الف)



(ب)

شکل ۳۹-۷

معیار تنش برشی ماکزیمم. این معیار بر مبنای مشاهده تسلیم مواد نرم بر اثر لغزش ماده در امتداد سطح مایل است و عمدتاً ناشی از تنش های برشی است (به قسمت ۲-۳ نگاه کنید). طبق این معیار، یک عضو تا وقتی به طور مطمئن کار می کند که ماکزیمم مقدار تنش برشی در آن کمتر از مقدار تنش برشی در نمونه آزمایشی تحت کشش از همان جنس در شروع تسلیم باشد.

از قسمت ۱۱-۱ به خاطر داریم که ماکزیمم مقدار تنش برشی تحت بار محوری مرکزی با نصف مقدار تنش قائم محوری برابر است. بنابراین، ماکزیمم تنش برشی در نمونه آزمایشی تحت کشش هنگام شروع تسلیم $\sigma_y = \frac{1}{2} \sigma_c$ است. از طرف دیگر، در قسمت ۶-۷ دیدیم اگر تنش های اصلی در تنش صفحه ای هر دو مثبت یا هر دو منفی باشند، ماکزیمم مقدار تنش برشی برایر است با $\sigma_{max} = \sigma_a$ و $\sigma_{min} = \sigma_b$. لذا، اگر تنش های اصلی σ_a و σ_b دارای علامت یکسان باشند، طبق معیار تنش برشی ماکزیمم،

$$|\sigma_a| < \sigma_y \quad (23-7)$$

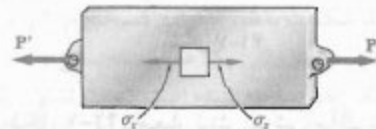
اگر تنش های اصلی σ_a و σ_b دارای علامت های مخالف باشند، طبق معیار تنش برشی ماکزیمم،

$$|\sigma_a - \sigma_b| < \sigma_y \quad (24-7)$$

چون نقاط D' و E' ، که صفحات تنش برشی ماکزیمم را مشخص می کنند، در دو انتهای قطر عمودی دایره متناظر با دوران حول محور b قرار دارند، با دوران وجوده جزو شکل ۳۶-۷ تحت زاویه 45° حول محور b می توان این وجوده را بر صفحات تنش برشی ماکزیمم منطبق کرد.

۷-۷* معیارهای تسلیم برای مواد نرم تحت تنش صفحه ای

طراسی عضوهای ساختمانی و مکانیکی از جنس مواد نرم (چکش خوار)، معمولاً طوری است که عضو تحت شوابیط بارگذاری پیش بینی شده تسلیم نمی شود. وقتی قطعه ای تحت تنش محوری قرار می گیرد (شکل ۳۸-۷)، مقدار تنش قائم σ_c را که باعث تسلیم ماده می شود می توان از آزمون کششی که روی نمونه ای از همان جنس انجام می شود بدست آورد. لذا، صرفنظر از مکانیزم واقعی که باعث تسلیم ماده می شود، می توان گفت تا وقتی $\sigma_c > \sigma_y$ ، جزو یا قطعه با اطمینان کار می کند (σ_y استقامت تسلیم نمونه آزمایشی است).



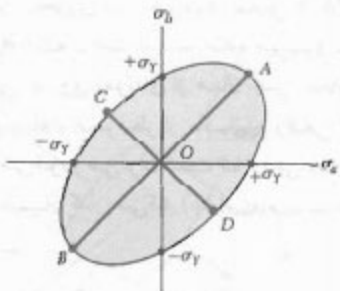
شکل ۳۸-۷

از طرف دیگر، وقتی عضو ساختمانی یا مکانیکی تحت تنش صفحه ای قرار می گیرد (شکل ۳۹-۷ الف)، برای تعیین تنش های اصلی σ_a و σ_b در هر نقطه (شکل ۳۹-۷ ب)، بهتر است یکی از روش های قبل را به کار برد. سپس، می توان در نظر گرفت که ماده در آن نقطه تحت تنش دو محوری قرار دارد. چون این حالت با تنش یک محوری که در آزمایش کشش وجود دارد متفاوت است، بدینه است که از روی این آزمایش نمی توان پیش بینی کرد که آیا عضو تحت بررسی گیخته می شود یا نه. برای این منظور بعضی از معیارهای مربوط به مکانیزم واقعی گیختگی ماده را، که به موجب آن می توان آثار هر دو حالت تنش وارد بر ماده را با هم مقایسه کرد، باید در نظر گرفت. در این قسمت، دو معیار تسلیم را که اغلب برای مواد نرم به کار می ورند بررسی می کنیم.

یعنی، تا وقتی که نقطه با مختصات σ_a و σ_b داخل سطح نشان داده شده در شکل ۴۱-۷ قرار گیرد. این سطح به صورت بیضی و با معادله زیر است:

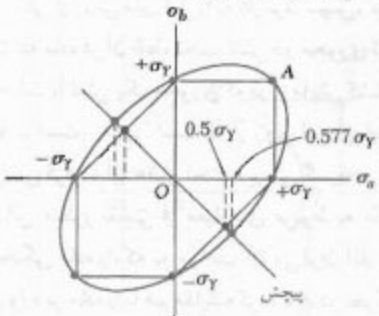
$$\sigma_a^2 - \sigma_a \sigma_b + \sigma_b^2 = \sigma_y^2 \quad (41-7)$$

این بیضی محورهای مختصات را در $\sigma_a = \pm \sigma_y$ و $\sigma_b = \pm \sigma_y$ قطع می‌کند. می‌توان دید که قطر بزرگ بیضی محورهای مختصات را در وبع اول و سوم قطع می‌کند و از $B(\sigma_a = \sigma_b = -\sigma_y)$ تا $A(\sigma_a = \sigma_b = \sigma_y)$ امتداد دارد و قطر کوچک آن از $C(\sigma_a = -\sigma_b = -0.577\sigma_y)$ تا $D(\sigma_a = -\sigma_b = 0.577\sigma_y)$ امتداد دارد.



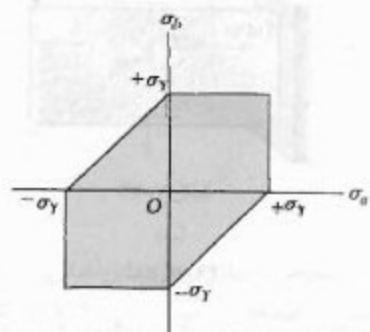
شکل ۴۱-۷

در شکل ۴۲-۷، معیار تنش برشی ماکریم و معیار ماکریم انرژی تغییرشکل با هم مقایسه شده‌اند. این بیضی از رئوس شش وجهی می‌گذرد. لذا، برای حالت‌های تنش که با این شش نقطه مشخص شده‌اند، دو معیار مذکور نتیجه یکسان می‌دهند. برای هر حالت تنش دیگر، معیار تنش برشی ماکریم محافظه کارانه‌تر از معیار ماکریم انرژی تغییرشکل است، زیرا شش وجهی داخل بیضی قرار می‌گیرد.



شکل ۴۲-۷

روابط حاصل را در شکل ۴۰-۷ به طور ترسیمی نشان داده‌ایم. هر حالت تنش داده شده را در آن شکل با یک نقطه به مختصات σ_a و σ_b نشان می‌دهیم، که در آن σ_a و σ_b دو تنش اصلی‌اند. اگر این نقطه داخل مساحت نشان داده شده در شکل قرار گیرد، عضو به طور مطمئن کار می‌کند و اگر خارج این مساحت قرار گیرد، عضو بر اثر تسلیم گسیخته می‌شود. مش وجهی مربوط به آغاز تسلیم در ماده را، به افتخار مهندس فرانسوی هنری ادوارد ترسکا (۱۸۸۵-۱۸۱۴)، شش وجهی ترسکا می‌گویند.



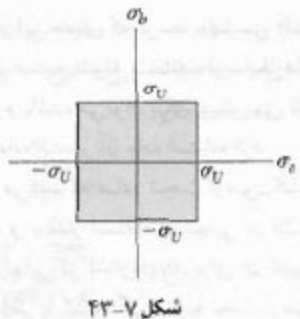
شکل ۴۰-۷

معیار ماکریم انرژی تغییرشکل. این معیار بر مبنای انرژی تغییرشکل یک ماده (یا انرژی مربوط به تغییر حجم آن ماده) می‌باشد. طبق این معیار، که آن را به افتخار ویاضی دان آلمانی -آمریکایی ریچارد فون میزیر (۱۹۵۳-۱۸۸۳)، معیار فون میزیر می‌گویند، یک عضو تا وقتی به طور مطمئن کار می‌کند که مقدار ماکریم انرژی تغییرشکل واحد حجم آن کمتر از انرژی تغییرشکل واحد حجم مورد نیاز برای تسلیم ماده آزمایشی تحت کششی باشد که هم جنس با عضو است. همانطور که در قسمت ۶.۱۱ خواهد دید، انرژی تغییرشکل واحد حجم در ماده همسانگردی که تحت تنش صفحه‌های است عبارت است از:

$$\sigma_d = \frac{1}{6} G (\sigma_a^2 - \sigma_a \sigma_b + \sigma_b^2) \quad (40-7)$$

که در آن، σ_a و σ_b تنش‌های اصلی و G مدول صلابت است. در حالت خاصی که نمونه آزمایشی شروع به تسلیم می‌کند، $\sigma_a = \sigma_y$ و $\sigma_b = 0$ و $\sigma_d = \sigma_y^2 / 6G$ (یا $\sigma_d = \sigma_y^2 / 6G$). لذا، طبق معیار ماکریم انرژی تغییرشکل، عضو تا وقتی به طور مطمئن کار می‌کند که $\sigma_d < \sigma_y$ باشد.

$$\sigma_a^2 - \sigma_a \sigma_b + \sigma_b^2 < \sigma_y^2 \quad (40-7)$$

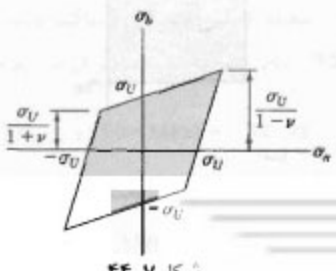


معیار نتش قائم ماکریم، که به افتخار فیزیکدان فرانسوی چارلز اگوستین کولمب (۱۸۳۶-۱۸۰۶)، به آن معیار کولمب می‌گویند، این نقص دارد که فرض می‌کند استقامت نهایی ماده در کشش و استقامت نهایی آن در فشار با هم برابرند. همانطور که در قسمت ۲-۲ گفته شد، این حالت به تدریت روی می‌دهد و این ناشی از ناقص ماده، مانند ترک‌ها یا حفره‌های میکروسکوپی است، که باعث تضعیف ماده در کشش می‌شوند، ولی بر مقاومت آن در برابر شکست ناشی از فشار تأثیر زیادی نمی‌گذارد. به علاوه، در این معیار فقط تأثیر نتش‌های قائم بر مکانیزم شکست ماده در نظر گرفته می‌شود.

* معیار دیگری برای شکست، به نام معیار ماکریم کرنش قائم، یا معیار مست-رونات، در قرن نوزدهم مورد استفاده قرار گرفت. طبق این معیار، یک عضو ساختمانی تا وقتی به طور مطمئن کار می‌کند که مقدار کرنش قائم در آن کمتر از مقدار $\sigma_b/\sigma_a = 1 + \nu$ باشد که به لای آن نمونه‌ای از همان جنس تحت آزمون کشش گذخته می‌شود. اما، همانطور که در قسمت ۲-۷ دیده می‌شود، اگر تغییر شکل الاستیک باشد و ماده همگن و همسانگرد باشد، کرنش در استناد یکی از محورهای اصلی نتش خارجی مقدار ماکریم است. لذا، اگر مقدار کرنش قائم را در استناد یکی از محورهای اصلی در صفحه نتش با σ_a و σ_b نشان دهیم، داریم

$$(29-7) \quad \sigma_a < \sigma_b \quad \text{و} \quad \sigma_b < \sigma_a$$

با استفاده از قانون کلی هوک (قسمت ۲-۲)، این روابط را بر حسب نتش‌های اصلی σ_a و σ_b و استقامت نهایی σ_a ماده می‌توان بیان کرد. طبق معیار ماکریم کرنش قائم، عضو ساختمانی تا وقتی به طور مطمئن کار می‌کند که نقطه به مختصات σ_a و σ_b داخل مساحت نشان داده شده در شکل ۲۹-۷ قرار گیرد (۷ ضرب پراوسون ماده است).



یکی از حالات‌های جالب تشن، حالت مربوط به تسیم در آزمایش پیچش است. از شکل ۲۴-۷ قسمت ۴-۷ به مخاطر داریم که، در پیچش، $\sigma_{\min} = -\sigma_{\max}$ ؛ لذا، نقاط متاظر در شکل ۴۲-۷ روی نیمساز دفعه دوم و چهارم قرار دارند. لذا، تسیم در آزمایش پیچش طبق معیار نتش برش مانکریم وقتی روی می‌دهد که $\sigma_a = -\sigma_b = \pm \sqrt{\sigma_a^2 + \sigma_b^2}$ ، و طبق معیار ماکریم ارزی تغییر شکل وقتی که $\sigma_a = -\sigma_b = \pm \sqrt{\sigma_a^2 + \sigma_b^2}$. آنکه با توجه به شکل ۲۴-۷، مقدار σ_a و σ_b باید مساوی مقدار σ_{\max} باشد؛ یعنی، مساوی مقداری که از آزمایش پیچش برای استقامت تسیم ۲-۷ ماده بدست آمده است. مقدار استقامت تسیم ۲-۷ در کشش و مقدار استقامت تسیم ۲-۷ در برش برای مواد نرم مختلف در پیوست ب آورده شده‌اند. در تیجه، با مقایسه تیست ۲۷/۰٪ ۵۵٪ تا ۶۰٪ هستند یانه. لذا، در پیش‌بینی تسیم در پیچش، معیار ماکریم ارزی تغییر شکل لزوماً معیار نتش برشی ماکریم قدری دقیق‌تر است.

۸-۷ معیارهای شکست پرای مواد شکننده تحت تنش صفحه‌ای

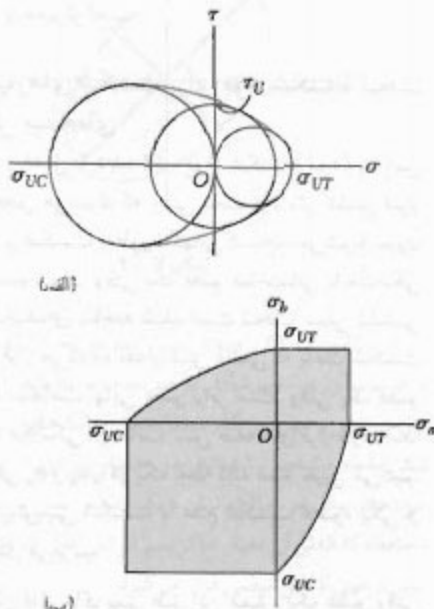
همانطور که در فصل ۲ دیده شد، مواد شکننده (ترد) به این صورت مشخص می‌شوند که وقتی تحت آزمایش کشش قرار می‌گیرند، بر اثر شکست به طور ناگهانی گذخته می‌شوند بدون اینکه قبلاً تسیم شوند. وقتی یک عضو ساختمانی یا مکانیکی که از ماده شکننده‌ای ساخته شده است تحت تنش کششی تک محوری قرار می‌گیرد، مقدار نتش قائمی که باعث شکست آن می‌شود با استقامت نهایی عضو برابر است. وقتی یک عضو ساختمانی یا مکانیکی در حالت نتش صفحه‌ای قرار دارد، ایندا نتش‌های اصلی σ_a و σ_b را در یک نقطه داده شده تعیین می‌کنیم. سپس، برای پیش‌بینی شکست یا عدم شکست عضو، یکی از معیارها را به کار می‌بریم.

معیار نتش قائم ماکریم، طبق این معیار، یک عضو وقتی گذخته می‌شود که ماکریم نتش قائم در عضو با استقامت نهایی σ_a آن برابر شود (استقامت نهایی را از آزمون کشش تمونه هم جنس عضو بعدست می‌آورند). لذا، عضو تا وقتی به طور مطمئن کار می‌کند که قدر مطلق نتش‌های اصلی σ_a و σ_b کمتر از σ_{\max} باشد:

$$(28-7) \quad |\sigma_a| < \sigma_{\max} \quad \text{و} \quad |\sigma_b| < \sigma_{\max}$$

معیار نتش قائم ماکریم را به صورت ترسیمی می‌توان نشان داد (شکل ۲۴-۷). اگر نقطه با مختصات σ_a و σ_b (نتش‌های اصلی) داخل سطح بهارکوش نشان داده شده در شکل قرار گیرد، عضو مطمئن است، و اگر خارج سطح قرار گیرد، عضو گذخته می‌شود.

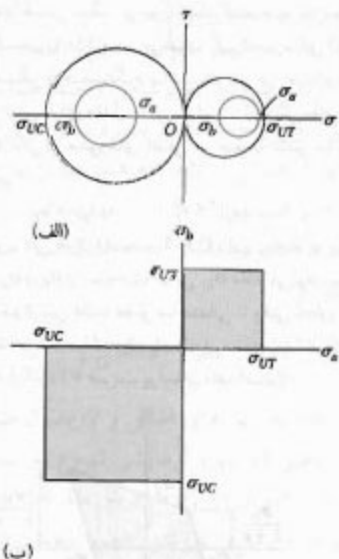
برای تحلیل حالت‌هایی که σ_0 و τ_0 علامت‌های مخالف دارند، فرض می‌کنیم که ماده تحت آزمون پیچشی قرار دارد و استقامت نهایی آن در برش، σ_{UT} ، تعیین شده است. با ترسیم دایره‌ای به مرکز O که حالت تنش متناظر با شکست نمونه تحت آزمون پیچشی را نشان می‌دهد (شکل ۴۶-۷ الف)، دیده می‌شود اگر دایره متناظر با یک حالت تنش کاملاً داخل دایره مذکور قرار گیرد، عضو به طور مطمئن کار می‌کند. به طور کلی، طبق معیار مور، اگر دایره متناظر با یک حالت تنش کاملاً داخل سطحی قرار گیرد که با پوش منحنی‌های متناظر با داده‌های موجود محصور شده است، عضو به طور مطمئن کار می‌کند. با ترسیم دوازیر مختلفی که بر این پوش مماس‌اند، با تعیین مقادیر متناظر σ_0 و τ_0 و با ترسیم نقاط به مختصات σ_0 و τ_0 می‌توان قسمت‌های باقیمانده نمودار تنش اصلی را به دست آورد (شکل ۴۶-۷ ب).



شکل ۴۶-۷

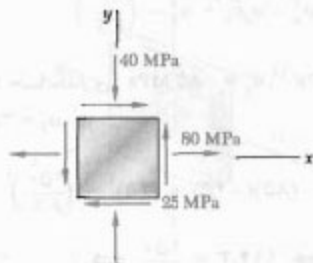
اگر نتایج آزمایش‌های بیشتر، متناظر با حالت‌های مختلف تنش، در دسترس باشد، نمودارهای دقیق‌تری را می‌توان رسم کرد. از طرف دیگر، اگر فقط داده‌های مشکل از استقامت‌های نهایی σ_{UT} و σ_{UC} در دسترس باشد، پوش داده شده در شکل ۴۶-۷ الف با خطوط AB و $A'B'$ نشان داده می‌شوند؛ این خطوط، به ترتیب، بر دوازیر متناظر با شکست در کشش و فشار مماس هستند (شکل ۴۷-۷ الف). از مثلث‌های مشابه در این شکل می‌توان دید که طول مرکز C دایره‌ای که بر AB و $A'B'$ ا

معیار مور. از این معیار، که توسط مهندسی آلمانی اتو مور مطرح شد، اگر نتایج انواع مختلف آزمایش‌ها برای ماده شکننده‌ای معلوم باشد، می‌توان برای پیش‌بینی تأثیر حالت تنش صفحه‌ای داده شده بر آن ماده استفاده کرد. ابتدا فرض می‌کنیم که ماده تحت آزمون کشش و فشار قرار گرفته است و مقدار استقامت نهایی در کشش، σ_{UT} ، و مقدار استقامت نهایی در فشار، σ_{UC} ، برای آن تعیین شده‌اند. حالت تنش متناظر با گیسخنگی نمونه تحت آزمون کشش را روی دایره مور با دایره‌ای که محور افقی را در O و محور قطع می‌کند می‌توان نشان داد (شکل ۴۵-۷ الف). به طور مشابه، حالت تنش متناظر با شکست نمونه تحت آزمون فشار را با دایره‌ای که محور افقی را در O و محور قطع می‌کند می‌توان نشان داد. بدینهی است اگر دایره متناظر با یک حالت تنش به طور کامل در یکی از این دوازیر قرار گیرد، عضو به طور مطمئن کار می‌کند. لذا، اگر هر دو تنش اصلی مثبت باشند، حالت تنش تا وقتی مطمئن است که $\sigma_a < \sigma_{UT}$ و $\sigma_b < \sigma_{UC}$ ؛ اگر هر دو تنش اصلی منفی باشند، حالت تنش تا وقتی مطمئن است که $|\sigma_a| < |\sigma_{UC}|$ و $|\sigma_b| < |\sigma_{UT}|$. با ترسیم نقطه‌ای به مختصات σ_a و σ_b (شکل ۴۵-۷ ب)، دیده می‌شود حالت تنش تا وقتی مطمئن است که نقطه داخل یکی از مربعات نشان داده شده قرار گیرد.



شکل ۴۵-۷

$\sigma_y = 250 \text{ MPa}$ مطلوبست ضریب اطمینان برای تسلیم، با استفاده از: (الف) معیار تنش برشی ماکریسم، (ب) معیار ماکریسم انرژی تغییرشکل.



حل

دایره هور. با ترسیم دایره مور برای حالت تنش داده شده، نتیجه می شود:

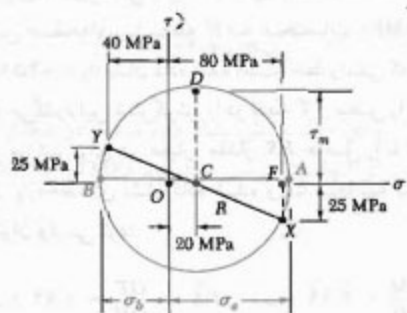
$$\sigma_{ave} = OC = \frac{1}{\tau} (\sigma_x + \sigma_y) = \frac{1}{\tau} (80 - 25) = 20 \text{ MPa}$$

$$\tau_m = R = \sqrt{(CF)^T + (FX)^T} = \sqrt{(25)^T + (20)^T} = 30 \text{ MPa}$$

تنش‌های اصلی

$$\sigma_a = OC + CA = 20 + 30 = +50 \text{ MPa}$$

$$\sigma_b = OC - BC = 20 - 30 = -10 \text{ MPa}$$



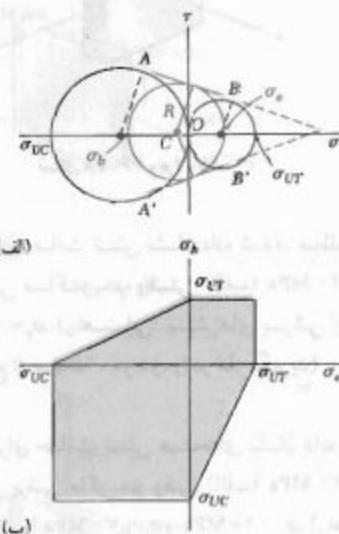
الف. معیار تنش برشی ماکریسم. با توجه به $\sigma_y = 250 \text{ MPa}$ ، تنش برشی متناظر در تسلیم چنین است:

$$\tau_y = \frac{1}{\tau} \sigma_y = \frac{1}{\tau} (250 \text{ MPa}) = 125 \text{ MPa}$$

برای $\tau_m = 30 \text{ MPa}$

$$F.S. = \frac{\tau_y}{\tau_m} = \frac{125 \text{ MPa}}{30 \text{ MPa}} \Rightarrow F.S. = 4.17$$

مماس است با شعاع R دارای رابطه خطی است. پسون $\sigma_b = OC - R$ و $\sigma_a = OC + R$ نتیجه می شود که σ_a و σ_b نیز دارای رابطه خطی اند. لذا، مساحت مایه مخورde متناظر با این معیار ساده شده مور نوسط خطوط مستقیم در ربع های دوم و چهارم محصور شده است (شکل ۴۷-۷ ب).



شکل ۴۷-۷

برای تعیین اینکه یک عضو به طور مطمئن کار می کند یا نه، حالت تنش را باید در تمام نقاط بحرانی آن محاسبه کرد؛ یعنی در تمام نقاطی که احتمال وقوع تمرکز تنش وجود دارد. این کار را، با استفاده از ضرایب تمرکز تنش در شکل های ۶۴-۲، ۶۴-۳، ۳۲-۴، ۳۱-۴، ۲۲-۴، ۲۱-۴، برای چند حالت می توان انجام داد. البته، در بسیاری از موارد، برای تعیین حالت تنش در یک نقطه بحرانی باید از نظریه الاستیستیته استفاده کرد.

با آشکار شدن ترک های میکرو مسکویی در یک عضو، باید بررسی کرد که این ترک ها در شرایط بارگذاری گسترش می باشند یا نه، و عضو گیخه می شود یا به طور مطمئن کار می کند. برای این منظور، از تحلیلی که با انرژی رشد ترکها سر و کار دارد استفاده می شود. این تحلیل فراتر از این کتاب است و در مکانیک شکست بررسی می شود.

مسئله نمونه ۴-۷

حالات تنش صفحه های نشان داده شده، در یک نقطه بحرانی از قطعه فولادی روی داده است. با چند آزمون کشش معلوم شده است که استقامت تسلیم کششی فولادیه کار رفته عبارت است از

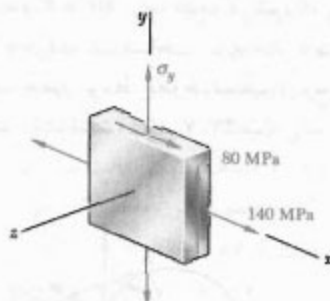
ب، معیار ماکریم انرژی تغییر شکل، با استفاده از ضربیت اطمینان در معادله (۲۶-۷)، داریم:

$$\sigma_a^2 - \sigma_a \sigma_b + \sigma_b^2 = \left(\frac{\sigma_Y}{F.S.} \right)^2$$

با جایگذاری $\sigma_b = -45 \text{ MPa}$, $\sigma_a = +85 \text{ MPa}$ و $\sigma_Y = 250 \text{ MPa}$ داریم:

$$(85)^2 - (85)(-45) + (-45)^2 = \left(\frac{250}{F.S.} \right)^2$$

$$\Rightarrow 11473 = \frac{250^2}{F.S.} \Rightarrow F.S. = 2.14$$



شکل ۷-۶۶ و ۷-۶۷

۶۷-۷ برای حالت تنش نشان داده شده، مطلوبست

تنش برشی ماکریم وقتی: (الف) $\sigma_y = 40 \text{ MPa}$,

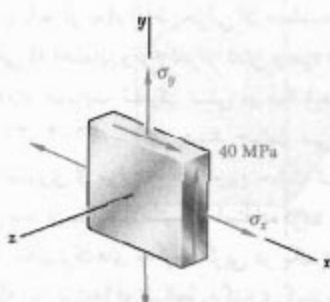
(ب) $\sigma_y = 120 \text{ MPa}$. (واهتمایی: تنش های برشی "داخل صفحه" و "خارج از صفحه"، هر دو، را در نظر بگیرید).

۶۸-۷ برای حالت تنش صفحه های نشان داده شده،

مطلوبست تنش برشی ماکریم وقتی: (الف) $\sigma_x = 30 \text{ MPa}$,

(ب) $\sigma_y = 90 \text{ MPa}$ و $\sigma_z = 10 \text{ MPa}$. (واهتمایی:

تنش های برشی "داخل صفحه" و "خارج از صفحه"، هر دو، را در نظر بگیرید).



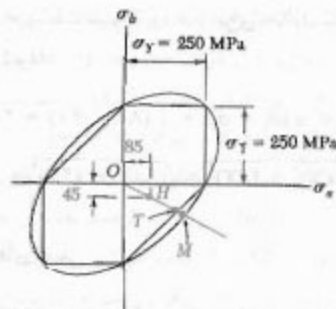
شکل ۷-۶۸ و ۷-۶۹

۶۹-۷ برای حالت تنش صفحه های نشان داده شده،

مطلوبست تنش برشی ماکریم وقتی: (الف) $\sigma_x = 50 \text{ MPa}$ و

(ب) $\sigma_y = 60 \text{ MPa}$. (واهتمایی: تنش های برشی "داخل صفحه" و "خارج از صفحه"،

هر دو، را در نظر بگیرید).



توضیح: برای ماده چکش خوار با $\sigma_Y = 250 \text{ MPa}$ ، شش گوش معیار تنش برشی ماکریم و بیضی معیار ماکریم انرژی تغییر شکل را مسم کرده ایم. حالت داده شده تنش صفحه ای با نقطه H به مختصات $\sigma_a = 85 \text{ MPa}$ و $\sigma_b = -45 \text{ MPa}$ نشان داده شده است. خط راستی که از نقاط O و H می گذرد این شش گوش را در نقطه T و بیضی را در نقطه M قطع می کند. برای هر معیار، مقدار F.S. حاصل را با اندازه گیری طول پاره خط های نشان داده شده و با محاسبه نسبت آنها می توان وارسی کرد:

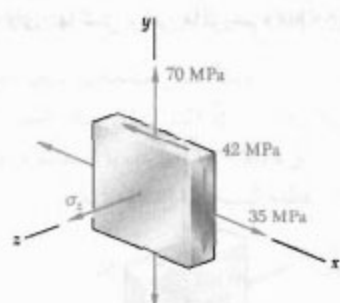
$$(الف): F.S. = \frac{OM}{OH} = 2.14, \quad (ب): F.S. = \frac{OT}{OH} = 1.92$$

مسائل

۶۶-۷ برای حالت تنش صفحه های نشان داده شده،

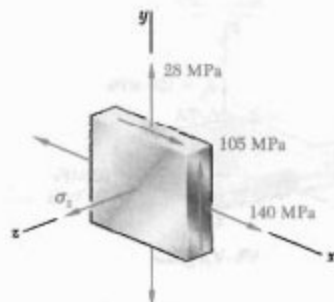
مطلوبست تنش برشی ماکریم وقتی: (الف) $\sigma_y = 20 \text{ MPa}$,

(ب) $\sigma_y = 140 \text{ MPa}$. (واهتمایی: تنش های برشی "داخل صفحه" و "خارج از صفحه"، هر دو، را در نظر بگیرید).



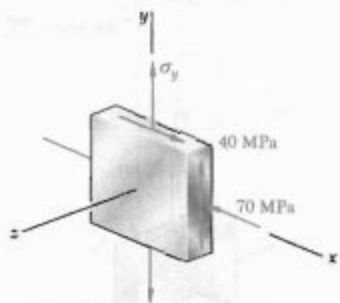
شکل ۷۳-۷

برای حالت تنش نشان داده شده، مطلوبست تنش برشی ماکریم وقتی: (الف) $\sigma_z = ۰$ ،
. (ب) $\sigma_z = -۶۰ \text{ MPa}$ (ج) $\sigma_z = +۶۰ \text{ MPa}$



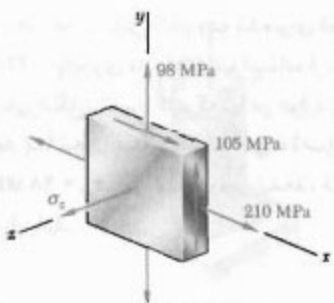
شکل ۷۴-۷

برای حالت تنش نشان داده شده، دو مقدار σ_y را باید که به ازای آنها تنش برشی ماکریم برابر باشد.



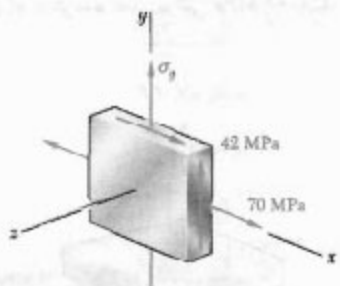
شکل ۷۵-۷

برای حالت تنش نشان داده شده، دو مقدار σ_y را باید که به ازای آنها تنش برشی ماکریم $52,5 \text{ MPa}$ باشد.

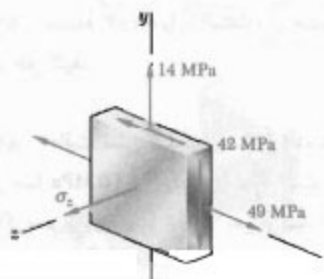


شکل ۷۶-۷

برای حالت تنش نشان داده شده، مطلوبست ماکریم تنش برشی وقتی: (الف) $\sigma_z = +۲۰ \text{ MPa}$ ،
. (ب) $\sigma_z = ۰$ (ج) $\sigma_z = -۲۰ \text{ MPa}$

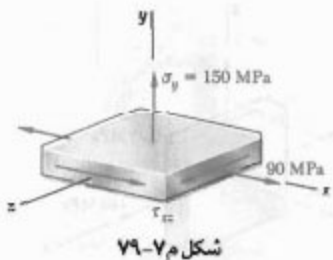


شکل ۷۷-۷



شکل ۷۸-۷

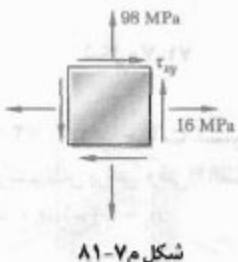
۷۹-۷ برای حالت تنش نشان داده شده، مطلوبست گتره مقادیر τ_{xy} به طوری که ماکزیمم تنش برشی مساوی با کمتر از 90 MPa باشد.



شکل ۷-۷

۸۰-۷ برای حالت تنش متنه ۶۶-۷، مطلوبست:
(الف) مقدار σ_y به طوری که تنش برشی ماکزیمم تا حد امکان کوچک باشد، (ب) مقدار تنش برشی متناظر.

۸۱-۷ حالت تنش نشان داده شده برای قطعه‌ای از فولاد با $\sigma_y = 210 \text{ MPa}$ روی داده است. با استفاده از معیار ماکزیمم انرژی تغییرشکل، تعیین کنید که آیا در موارد زیر تسلیم روی می‌دهد یا نه: (الف) $\tau_{xy} = 44 \text{ MPa}$ ، (ب) $\tau_{xy} = 42 \text{ MPa}$ ، (ج) $\tau_{xy} = 98 \text{ MPa}$. اگر تسلیم روی نداهد، ضریب اطمینان متناظر را بیابید.

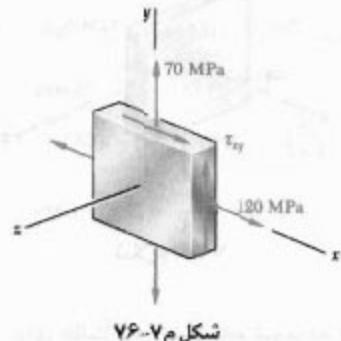


شکل ۷-۸

۸۲-۷ متنه ۸۱-۷ را با استفاده از معیار تنش برشی ماکزیمم حل کنید.

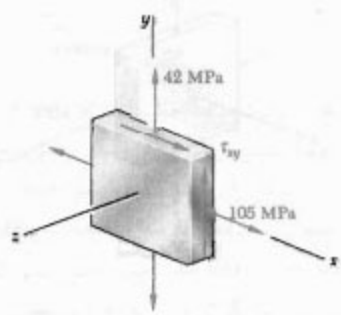
۸۳-۷ حالت تنش صفحه‌ای نشان داده شده در قطعه‌ای فولادی با $\sigma_y = 325 \text{ MPa}$ روی داده است. با استفاده از معیار ماکزیمم انرژی تغییرشکل، تعیین کنید آیا در موارد زیر تسلیم روی می‌دهد یا نه. (الف) $\sigma_x = 200 \text{ MPa}$ ، (ب) $\sigma_x = 240 \text{ MPa}$ ، (ج) $\sigma_x = 280 \text{ MPa}$. اگر تسلیم روی نداهد، ضریب اطمینان متناظر را بیابید.

۷۹-۸ برای حالت تنش نشان داده شده، دو مقدار τ_{xy} باید که به ازای آنها تنش برشی ماکزیمم 80 MPa باشد.



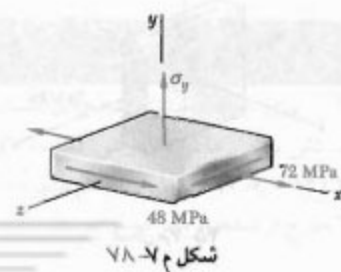
شکل ۷-۹

۷۷-۷ برای حالت تنش نشان داده شده، مطلوبست مقدار τ_{xy} به طوری که تنش برشی ماکزیمم برابر باشد با:
(الف) 12 ksi ، (ب) 62 MPa .



شکل ۷-۱۰

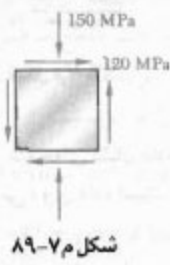
۷۸-۷ برای حالت تنش نشان داده شده، مطلوبست مقادیر σ_y به طوری که ماکزیمم تنش برشی 64 MPa باشد.



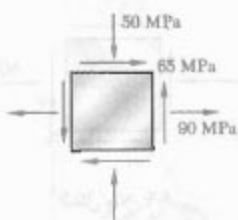
شکل ۷-۱۱

۸۷-۷ مسئله ۸۷-۷ را با استفاده از معیار ماکریم انرژی تغییر شکل حل کنید.

۸۹-۷ و ۹۰-۷ حالت تنش صفحه‌ای نشان داده در یک قطعه چوبی روی داده است. اگر برای چدن مورد استفاده تعیین کنید که آیا قطعه گشخته می‌شود یا نه.

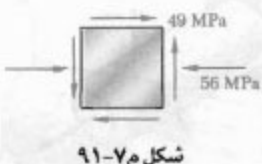


شکل ۸۹-۷

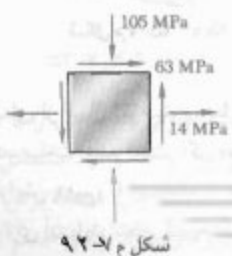


شکل ۹۰-۷

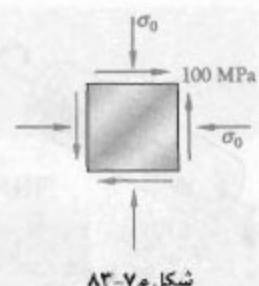
۹۱-۷ و ۹۲-۷ حالت تنش صفحه‌ای نشان داده شده در یک قطعه آلومینیوم روی داده است. اگر برای آبیاز به کار رفته تعیین کنید که آیا قطعه گشخته می‌شود یا نه.



شکل ۹۱-۷



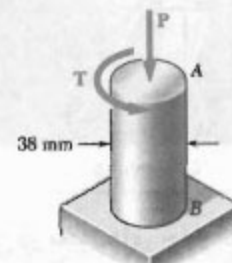
شکل ۹۲-۷



شکل ۸۳-۷

۸۴-۷ مسئله ۸۳-۷ را با استفاده از معیار ماکریم تنش برشی حل کنید.

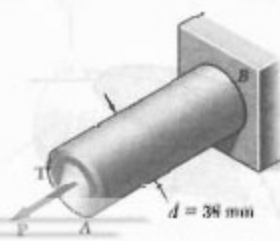
۸۵-۷ شفت AB به قطر ۳۸ mm از فولادی با استقامت تسلیم $\sigma_y = 250$ MPa، ساخته شده است. با استفاده از معیار تنش برشی ماکریم، مقدار گشتاور T را باید به طوری که برای تعیین تسلیم روی دهد.



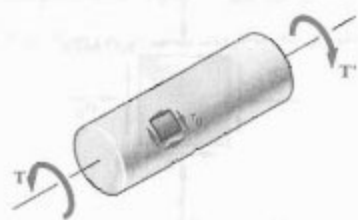
شکل ۸۵-۷

۸۶-۷ مسئله ۸۵-۷ را با استفاده از معیار انرژی تغییر شکل ماکریم حل کنید.

۸۷-۷ شفت AB به قطر ۳۸ mm از فولاد با استقامت تسلیم $\sigma_y = 250$ MPa، ساخته شده است. با استفاده از معیار تنش برشی ماکریم، مقدار گشتاور T را که در $P = 240$ kN باعث تسلیم می‌شود باید.

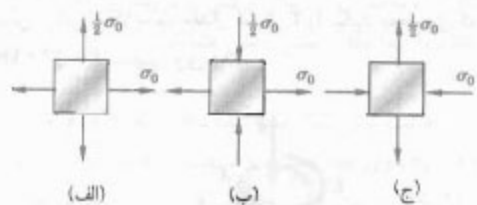


شکل ۸۷-۷



شکل ۹۶-۷

۹۷-۷ قطعه‌ای از چدن، با $\sigma_{UT} = 56 \text{ MPa}$ و $\sigma_{UC} = 14 \text{ MPa}$ ، ساخته شده است. برای حالت‌های تنش صفحه‌ای نشان داده شده و با استفاده دایره مور، تنش قائم σ_0 را که به ازای آن باید انتظار گیختگی داشت بباید.



شکل ۹۷-۷

۹-۷ تنش در مخزن‌های جدار نازک پرفشار یکی از موارد مهم کاربرد تحلیل تنش صفحه‌ای برای مخزن‌های جدار نازک پرفشار است. چون دیواره این مخزن‌ها مقاومت کمی در برابر خمس دارد، می‌توان فرض کرد نیروهای داخلی وارد بر هر قسمت دیواره بر سطح مخزن مماس‌اند وارد بر یک جزء دیواره در (شکل ۴۸-۷). لذا، تنش‌های حاصل وارد بر یک جزء دیواره در صفحه مماس بر سطح مخزن قرار دارند. تحلیل تنش در مخزن‌های جدار نازک بر فشار را فقط برای دو نوع متداول زیر انجام می‌دهیم: مخزن‌های پرفشار استوانه‌ای و مخزن‌های پرفشار کروی (شکل‌های ۴۹-۷ و ۵۰-۷).



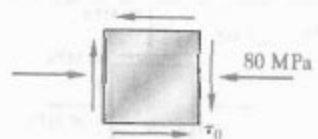
شکل ۴۸-۷

۹۳-۷ ۹۳-۷ حالت تنش صفحه‌ای نشان داده شده در یک نقطه بحرانی از لوله آلومینیومی، با $\sigma_{UT} = 75 \text{ MPa}$ و $\sigma_{UC} = 15 \text{ MPa}$ ، روی داده است. با استفاده از معیار مور تنش برشی، را که به ازای آن باید انتظار گیختگی داشت بباید.



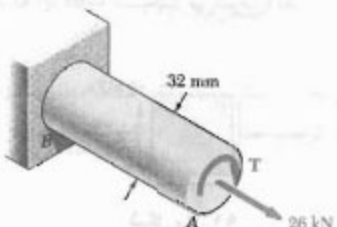
شکل ۹۳-۷

۹۴-۷ ۹۴-۷ حالت تنش صفحه‌ای نشان داده شده در یک نقطه بحرانی از قطعه آلومینومی روی داده است. برای این قطعه، $\sigma_{UC} = 17 \text{ MPa}$ و $\sigma_{UT} = 70 \text{ MPa}$. با استفاده از معیار مور، تنش برشی را برای شکست قطعه بباید.



شکل ۹۴-۷

۹۵-۷ میله آلومینیومی نشان داده شده از آلیاژی با $\sigma_{UC} = 120 \text{ MPa}$ و $\sigma_{UT} = 90 \text{ MPa}$ ساخته شده است. با استفاده از معیار مور، مقدار گشتاور T را که به ازای آن باید انتظار گیختگی داشت بباید.



شکل ۹۵-۷

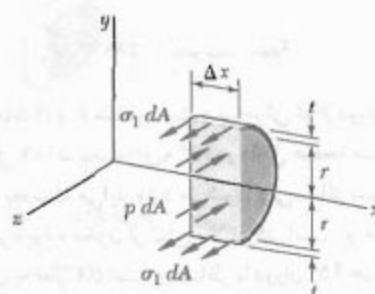
۹۶-۷ میله‌ای از آلیاژ آلومینوم، با $\sigma_{UT} = 70 \text{ MPa}$ و $\sigma_{UC} = 175 \text{ MPa}$ ، ساخته شده است. اگر مقدار T گشتاورهای وارد را آهسته افزایش دهیم، با استفاده از معیار مور، تنش برشی را که به ازای آن باید انتظار گیختگی داشت بباید.

برای تعیین تنش حلقه‌ای، σ_1 ، قسمتی از مخزن و محتویات آن را که نوسط صفحه $z-x$ و دو صفحه موازی با صفحه $z-r$ به فاصله Δx از هم، محدود شده است جدا می‌کنیم (شکل ۵۲-۷). نیروهای موازی با محور z که بر این جسم آزاد اثر می‌کند مشکل‌اند از نیروهای جزئی داخلی $\sigma_1 dA$ و نیروهای جزئی فشاری $p dA$ که، به ترتیب، بر دیواره جسم آزاد و سیال داخل آن وارد می‌شوند. p فشار پیمانه‌ای سیال (فشار داخلی منهای فشار اتمسفر) است. برایند نیروهای داخلی برابر است با σ_1 ضرب در مساحت مقطع عرضی دیواره $(2\pi r \Delta x)$ ، و برایند نیروهای فشاری برابر است p ضرب در مساحت $2r \Delta x$. معادله تعادل $\Sigma F_z = 0$ را می‌نویسیم:

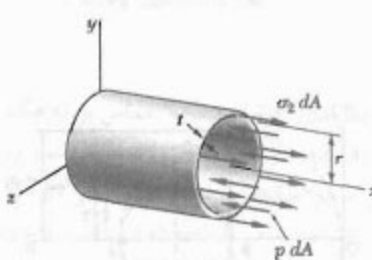
$$\Sigma F_z = 0 : \quad \sigma_1 (2\pi r \Delta x) - p (2r \Delta x) = 0$$

در نتیجه،

$$\sigma_1 = \frac{pr}{t} \quad (50-7)$$



شکل ۵۲-۷



شکل ۵۳-۷

برای تعیین تنش طولی، σ_2 ، مخزن را با صفحه‌ای عمود بر محور x برش می‌دهیم و جسم آزاد مشکل از بدنه مخزن و محتویات آن را در سمت چپ صفحه برش در نظر می‌گیریم (شکل ۵۴-۷). نیروهای وارد بر این جسم آزاد مشکل‌اند از

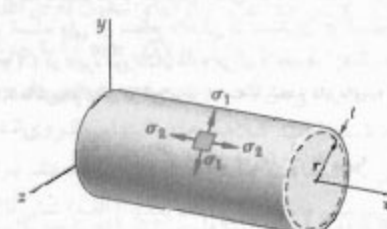


شکل ۵۴-۷



شکل ۵۵-۷

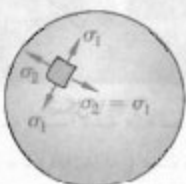
مخزن پر فشار استوانه‌ای با شعاع داخلی r و ضخامت دیواره t را که حاوی سیال پر فشار است در نظر گیرید (شکل ۵۱-۷). می‌خواهیم تنش‌های وارد بر جزء کوچکی از دیواره را که جواب آن، به ترتیب، به موازات و عمود بر محور استوانه‌اند بیابیم. به علت تقارن مخزن و محتویات آن، واضح است که تنش برآمده بر این جزء وارد نمی‌شود. لذا، تنش‌های قائم σ_1 و σ_2 نشان داده شده در شکل ۵۱-۷ تنش‌های اصلی‌اند. تنش σ_1 را تنش حلقه‌ای می‌گویند، زیرا از نوع تنش موجود در حلقه‌هایی است که برای محکم کردن تکه‌های یک بشکه چوبی به کار می‌رود؛ تنش σ_2 را تنش طولی می‌گویند.



شکل ۵۱-۷

حال، یک مخزن کروی با شعاع داخلی r و با ضخامت دیواره t را، که حاوی سیال با فشار پیمانه‌ای p است، در نظر می‌گیریم. به علت تقارن، تنش‌های وارد بر چهار وجه جزء کوچکی از دیواره با هم برابرند (شکل ۵۵-۷):

$$\sigma_1 = \sigma_2 \quad (35-7)$$



شکل ۵۵-۷

برای تعیین این مقدار تنش، مخزن را یک صفحه‌گذرا از مرکز C مخزن می‌بریم و جسم آزاد بدنه مخزن و محتویات داخل آن را در سمت چپ این برش در نظر می‌گیریم (شکل ۵۶-۷). معادله تعادل این جسم آزاد مانند معادله تعادل شکل ۵۲-۷ است. در نتیجه، برای یک مخزن کروی،

$$\sigma_1 = \sigma_2 = \frac{pr}{2t} \quad (36-7)$$

* با استفاده از شعاع متوسط مقطع دیواره، $t = r + \frac{1}{2}t_{\text{می}}$ ، در محاسبه برایند نیروهای وارد بر آن مقطع، مقدار دقیق تر زیر برای تنش طولی بدست می‌آید:

$$\sigma_1 = \frac{pr}{2t} \cdot \frac{1}{1 + t/2r} \quad (37-7)$$

ولی، برای مخزن جدار نازک پرسشار، جمله $t/2$ آنقدر کوچک است که در طراحی و تحلیل مهندسین می‌توان از معادله (۳۱-۷) استفاده کرد. اگر مخزن پرسشار جدار نازک نباشد (۲۶/۱ کوچک نباشد)، تنش‌های σ_1 و σ_2 در عرض دیواره تغییر می‌کنند و آنها را باید با استفاده از نظریه الاستیستیته محاسبه کرد.

** باید توجه داشت که گرچه تنش اصلی سوم در سطح خارجی مخزن صفر است، ولی در سطح داخلی آن مساوی $-p$ است، و با نصفه $C(-p)$ در دایره مور نشان داده می‌شود. لذا، در نزدیک سطح داخلی مخزن، ماکریتم تنش برشی برابر است با شعاع دایره‌ای به قطر CA ، و

$$\tau_{\max} = \frac{1}{2} (\sigma_1 + p) = \frac{pr}{2t} (1 + \frac{t}{r})$$

ولی، برای مخزن جدار نازک، جمله $t/2$ کوچک است و از تغییرات τ_{\max} در عرض مقطع دیواره می‌توان صرفنظر کرد. این مطلب برای مخزن‌های پرسشار کروی نیز به کار می‌رود.

نیروهای جزئی داخلی $\sigma_1 dA$ و نیروهای جزئی فشاری $p dA$ که، به ترتیب، بر دیواره جسم آزاد و سیال داخل آن وارد می‌شوند. مساحت مقطع سیال πr^2 ، و مساحت دیواره $2\pi rt$ است. حال معادله تعادل زیر را می‌نویسیم*

$$\sum F_x = 0 \quad ; \quad \sigma_1 (2\pi rt) - p(\pi r^2) = 0$$

در نتیجه،

$$\sigma_1 = \frac{pr}{2t} \quad (31-7)$$

از معادله‌های (۳۰-۷) و (۳۱-۷) دیده می‌شود که تنش حلقوی از دو برابر تنش طولی σ_1 است:

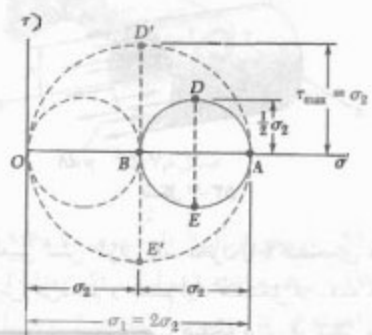
$$\sigma_1 = 2\sigma_t \quad (32-7)$$

با رسم دایره مور گذرا از نقاط A و B که، به ترتیب، متناظر با تنش‌های اصلی σ_1 و σ_2 هستند (شکل ۵۴-۷)، و با توجه به اینکه ماکریتم تنش برشی "داخل صفحه" مساوی شعاع این دایره است، داریم:

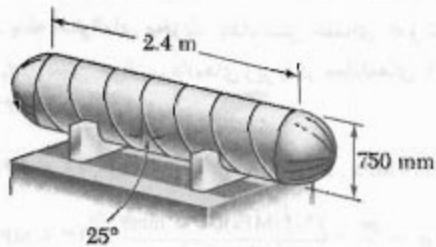
$$\tau_{\max} = \frac{1}{2} \sigma_1 \quad (\text{داخل صفحه}) \quad (33-7)$$

این تنش با نقاط D و E متناظر است و بر جزئی که از دوران جزء اولیه در شکل ۵۱-۷ تحت زاویه 45° در داخل صفحه مماس بر سطح مخزن به دست می‌آید وارد می‌شود. ولی، ماکریتم تنش برشی وارد بر دیواره مخزن از تنش بالا بزرگتر است، و مساوی شعاع دایره‌ای به قطر OA است و متناظر با دوران 45° حول یک محور طولی و خارج از صفحه تنش است.** داریم:

$$\tau_{\max} = \sigma_1 = \frac{pr}{2t} \quad (34-7)$$



شکل ۵۴-۷



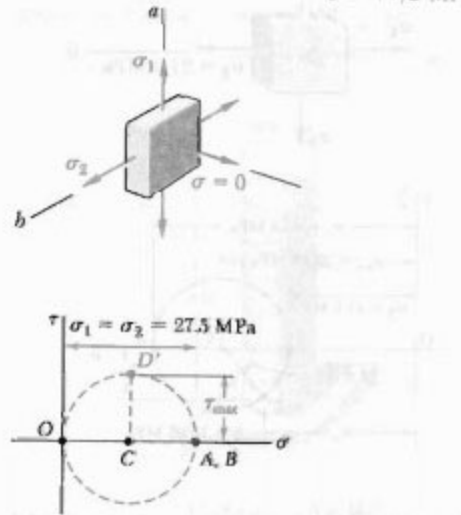
حل

الف. کلاهک کروی. داده‌های زیر را در معادله ۵۶-۷ قرار می‌دهیم:

$$p = 1.2 \text{ MPa}, t = 8 \text{ mm}, r = 375 - 8 = 367 \text{ mm}$$

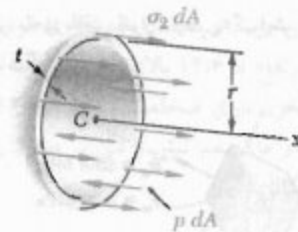
$$\sigma_1 = \sigma_2 = \frac{pr}{2t} = \frac{(1.2 \text{ MPa})(367 \text{ mm})}{2(8 \text{ mm})} = 27.5 \text{ MPa}$$

$$\sigma = 27.5 \text{ MPa} \quad \blacktriangleleft$$



برای تنش‌های "داخل صفحه" مماس بر کلاهک، دایره مور به نقطه (B)، (A) روی محور افقی تبدیل می‌شود و تمام تنش‌های برشی "داخل صفحه" صفرند. تنش اصلی سوم در سطح کلاهک صفر است و متناظر با نقطه O می‌باشد. در دایره مور به قطر OA، نقطه D' ماکزیمم تنش برشی را نشان می‌دهد؛ این تنش در صفحاتی که مماس بر کلاهک زاویه ۴۵° دارند به وجود می‌آید.

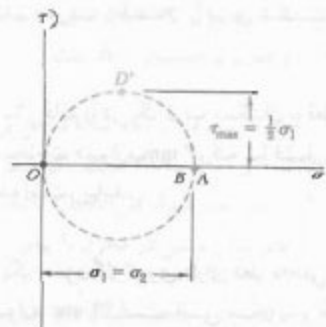
$$\tau_{\max} = \frac{\sigma}{\sqrt{2}} (27.5 \text{ MPa}) \Rightarrow \tau_{\max} = 12.75 \text{ MPa} \quad \blacktriangleleft$$



شکل ۵۶-۷

چون تنش‌های اصلی σ_1 و σ_2 با هم برابرنند، دایره مور برای تبدیلات تنش در صفحه مماس بر سطح مخزن به يك نقطه تبدیل می‌شود (شکل ۵۷-۷)؛ در نتیجه، تنش قائم "داخل صفحه" ثابت است و ماکزیمم تنش بر بشی "داخل صفحه" صفر است. ولی، ماکزیمم تنش برشی در دیواره مخزن صفر نیست، و مساوی شعاع دایره‌ای به قطر OA است و متناظر با دوران ۴۵° خارج از صفحه تنش است. داریم:

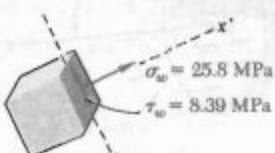
$$\tau_{\max} = \frac{1}{2} \sigma_1 = \frac{pr}{2t} \quad (۵۷-۷)$$



شکل ۵۷-۷

مسئله نمونه ۵-۷
 یک مخزن هوای فشرده مطابق شکل، با دو کلاف نگه داشته شده است؛ طرح یکی از کلاف‌ها طوری است که نیروی طولی بر مخزن وارد نمی‌کند. بدنه استوانه‌ای مخزن دارای قطر خارجی ۷۵ mm است و از یک ورق فولادی ۱۰ mm با جوش لب به لب در امتداد مارپیچی که با یک صفحه عرضی زاویه ۲۵° دارد ساخته شده است. کلاهک‌های انتهایی کروی‌اند و دارای دیواره‌ای با ضخامت پکنواخت ۸ mm هستند. برای فشار پیمانه‌ای داخلی ۱.۲ MPa، مطلوب است: (الف) تنش قائم و تنش برشی ماکزیمم در کلاهک‌های کروی؛ (ب) تنش در امتداد عمود بر جوش مارپیچی و مواری آن.

چون *X* زیر محور افقی قرار دارد، *گرایش* دارد جزء را در جهت پاد ساعتگرد به خاند.



200

مساند

۹۸-۷ یک مخزن گاز کروی فولادی دارای قطر خارجی ۵۰۰ mm و ضخامت دیواره ۶ mm است. اگر فشار داخلی ۵۰۰ kPa باشد، ماکریتم تنش قائم و ماکریتم تنش برشی در مخزن را بدایل.

۹۹-۷ ماتریس فشار پیمانه‌ای در یک مخزن قولادی کروی است. قطر خارجی مخزن 250 mm و ضخامت دیواره اش 6 mm است. اگر تنش نهایی را در قولاد مخزن 400 MPa باشد، ضریب اطمینان را برای شکست ناشی از کشش باید.

-۷) تنش قائم را در یک توپ پسکتیبال با قطر خارجی ۲۴۰ mm و ضخامت دیواره ۳ mm، که تا فشار پیمانه‌ای 3 kPa باد شده است، باید.

۱۰-۷ یک مخزن گاز کروی دارای قطر داخلی ۴,۵ m و ضخامت دیسواره ۲۲ mm است. این مخزن از فولاد، با ضشاره $E = 200 \text{ Gpa}$ ، ساخته شده است. اگر فشار پیمانه‌ای در مخزن از صفر تا 17 MPa افزایش یابد، مطابق است:

۳-۷-۱۰ مخزن کروی تحت فشار دارای قطر خارجی ۳ m و با ضخامت دیواره ۱۲ mm است. اگر $\sigma_{all} = 80$ MPa، $E = 200$ GPa و $v = 0.29$ ، مطلوبست: (الف) فشار پیمانه‌ای محاذ، (ب) افزایش متاضرقط مخزن.

۱۰۳۷- یک مخزن کروی پر فشار دارای قطر خارجی ۷۵۰ mm است و از فولاد با تنش نهایی $\sigma_u = 400$ MPa ساخته شده است. اگر ضریب اطمینان ۴ باشد و فشار بیماماگی را بتوان $\sigma_c = 23$ MPa نمایش داد، کمین در ضخامت دهی از d باید.

ب. بدنه استوانه‌ای مخزن. ابتدا، تنش حلقه‌ای σ_0 و تنش طولی σ_0 را تعیین می‌کنیم. داده‌های زیر را در معادله‌های ۳۰-۷ و ۳۲-۳ قرار می‌دهیم:

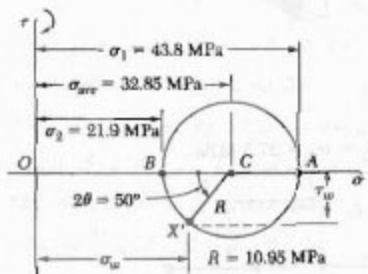
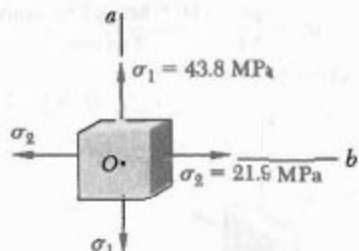
$$P = 1.7 \text{ MPa}, t = 30 \text{ mm}, r = TVD - 10 = 760 \text{ mm}$$

$$\sigma_{\text{c}} = \frac{P_r}{t} = \frac{(17 \text{ MPa})(45 \text{ mm})}{(1 \text{ mm})} = 765 \text{ MPa}$$

$$\sigma_r = \frac{1}{r} \sigma_s = 114 \text{ MPa}$$

$$\sigma_{\text{ave}} = \frac{1}{2} (\sigma_x + \sigma_y) = 77.5 \text{ MPa}$$

$$R = \frac{1}{2} (\sigma_s - \sigma_u) = 10.90 \text{ MPa}$$



تششی‌ها در جوش. با توجه به اینکه تشش حلقه‌ای و تشش طولی تشش‌های اصلی‌اتسد، دایره مسور را مطابق شکل رسماً می‌کنیم.

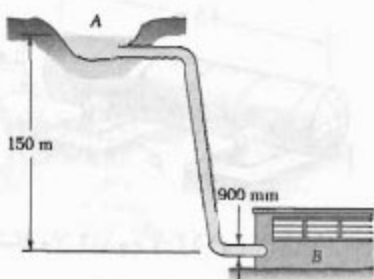
جزئی که دارای وجه موازی با جوش است از دوران ۲۵° پاد ساعتگرد وجه عمود بر محور Ob به دست می‌آید. لذا، نقطعه X' که متناظر با مولفه‌های تنش وارد بر جوش است از دوران پاد ساعتگرد شعاع CB تحت زاویه $\theta = 50^\circ$ به دست می‌آید.

$$\sigma_{\text{in}} = \sigma_{\text{abs}} - R \cos \Delta \phi = 77.1 \Delta - 1.9 \Delta \cos \Delta \phi$$

$$\sigma_{zz} = +\gamma D/\Delta \text{ MPa}$$

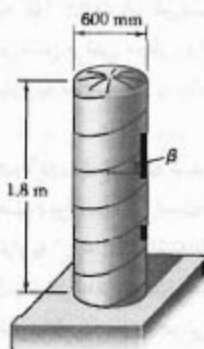
$$r_+ = R \sin \Delta \beta^{\circ} = 10.9 \beta \sin \Delta \alpha^{\circ}$$

$$\tau_{\text{eq}} = A_1 T^q \text{ MPa}$$



شکل م ۱۰۹-۷ و ۱۰۸-۷

۱۱۰-۷ قسم استوانه‌ای مخزن هوای فشرده‌ای از ورق با ضخامت ۸ mm ساخته شده است. این ورق در امتداد یک مارپیچ که با افق زاویه $\beta = 30^\circ$ دارد جوش شده است. اگر تنش قائم مجاز برای جوش ۷۵ MPa باشد، ماکریم فشار پیمانه‌ای را که مخزن می‌تواند تحمل کند بباید.

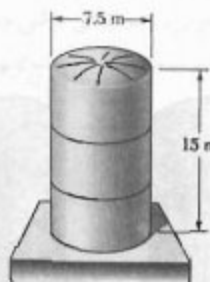


شکل م ۱۱۰-۷ و ۱۱۱-۷

۱۱۱-۷ قسم استوانه مخزن هوای فشرده‌ای از ورق با ضخامت ۶ mm ساخته شده است. این ورق در امتداد یک مارپیچ که با افق زاویه $\beta = 30^\circ$ دارد جوش شده است. فشار پیمانه‌ای که تنش برشی 30 MPa را به موازات جوش ایجاد می‌کند بباید.

۱۱۲-۷ مخزن پر فشار نشان داده شده دلایی ضخامت دیواره ۹ mm است. درزهایی که جوش لب به لب شده‌اند با یک صفحه عرضی زاویه $\beta = 20^\circ$ می‌سازند. برای فشار پیمانه‌ای 58 kPa ، مطلوبت: (الف) تنش قائم در امتداد عمود بر جوش، (ب) تنش برشی به موازات جوش.

۱۰۴-۷ وقتی مخزن ذخیره نشان داده شده تا ظرفیت کامل خود پُر می‌شود تا ارتفاع 14.6 m بالای قاعده‌اش آب می‌گیرد. اگر قسم پایین مخزن دارای ضخامت دیواره ۱۶ mm باشد، ماکریم تنش قائم و ماکریم تنش برشی در مخزن را بباید. $(\rho_{\text{آب}} = 1000 \text{ kg/m}^3)$



شکل م ۱۰۴-۷

۱۰۵-۷ مطلوبیت ماکریم فشار داخلی که یک مخزن استوانه‌ای با قطر خارجی 1.75 m و ضخامت دیواره 16 mm می‌تواند تحمل کند در صورتی که بدانیم تنش قائم نهایی فولاد مخزن 45 MPa و ضربی اطمینان $5/5$ است.

۱۰۶-۷ مخزن ذخیره نشان داده شده شامل پروپان مایع تحت فشار 1.5 MPa و دمای 28°C است. اگر قطر خارجی مخزن 320 mm و ضخامت دیواره 3 mm باشد، ماکریم تنش قائم و ماکریم تنش برشی در مخزن را بباید.

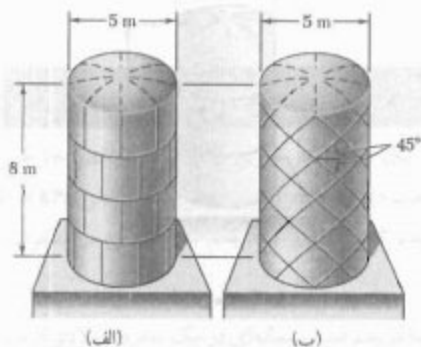
۱۰۷-۷ مخزن ذخیره حجم نشان داده شده در شکل ۱۰۷-۷ دارای قطر خارجی 3.0 m و ضخامت دیواره 1.2 mm است. وقتی فشار داخلی مخزن 1.2 MPa است، ماکریم تنش قائم و ماکریم تنش برشی در مخزن را بباید.

۱۰۸-۷ یک لوله پر فشار فولادی دارای قطر خارجی 900 mm و ضخامت دیواره 12 mm است. این لوله به مخزن A و ایستگاه مولد B متصل است. اگر چگالی آب 100 kg/m^3 باشد، ماکریم تنش قائم و ماکریم تنش برشی در لوله را در شرایط استاتیکی بباید.

۱۰۹-۷ یک لوله پر فشار فولادی، با قطر خارجی 900 mm ، به مخزن A و ایستگاه مولد B متصل است. اگر چگالی آب 100 kg/m^3 و تنش قائم مجاز در فولاد 85 MPa باشد، کمترین ضخامت دیواره لوله را بباید.

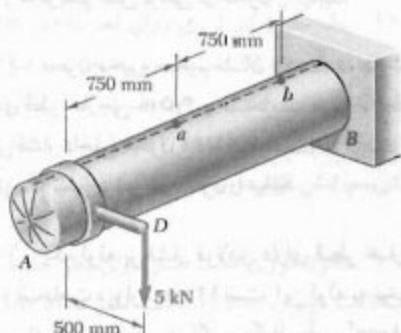
۱۱۷-۷ صفحات چهارگوش، هر یک به ضخامت

16 mm ، را می‌توان به یکی از دو روش نشان داده شده خم کرد و بهم جوش داد تا قسمت استوانه‌ای یک مخزن هوای فشرده بعدست آید. اگر تنش قائم مجاز عمود بر جوش 65 MPa باشد، ماکزیمم فشار پیمانه‌ای مجاز را در هر حالت بیابید.



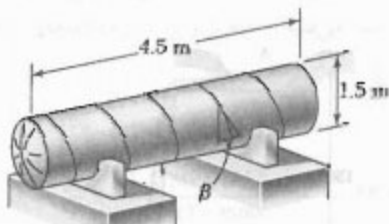
شکل ۱۱۷-۷

۱۱۸-۷ مخزن AB ، که حاوی هوای فشرده است، دارای قطر داخلی 450 mm و ضخامت دیواره 6 mm است. اگر فشار پیمانه‌ای در مخزن $1/2\text{ MPa}$ باشد. ماکزیمم تنش قائم و ماکزیمم تنش برشی داخل صفحه را در نقطه a روی لبه فوقانی مخزن بیابید.



شکل ۱۱۸-۷

۱۱۹-۷ در مسئله ۱۱۸-۷، ماکزیمم تنش قائم و ماکزیمم تنش برشی داخل صفحه را در نقطه b روی لبه فوقانی مخزن بیابید.



شکل ۱۱۴-۷ و ۱۱۳-۷

۱۱۳-۷ مخزن پرقشر نشان داده شده دارای ضخامت دیواره 9 mm است. درزهایی که جوش لب به لب شده‌اند با یک صفحه عرضی زاویه β می‌سازند. اگر بخواهیم تنش برشی موازی جوش برای فشار پیمانه‌ای 9 MPa از 58 kPa بیشتر نشود، گستره مقادیر β را بیابید.

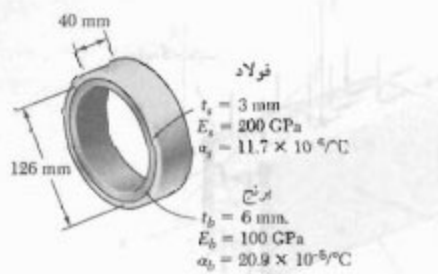
۱۱۴-۷ مخزن پر فشار نشان داده شده دارای ضخامت دیواره 9 mm است. درزهایی که جوش لب به لب شده‌اند با یک صفحه عرضی زاویه $25^\circ = \beta$ دارند. اگر تنش قائم مجاز عمود بر جوش 125 MPa و تنش برشی مجاز جوش 70 MPa باشد، ماکزیمم فشار پیمانه‌ای مجاز را بیابید.

۱۱۵-۷ مخزن فولادی نشان داده شده دارای قطر داخلی 750 mm و ضخامت دیواره 9 mm است. اگر درز جوش با محور طول مخزن زاویه $50^\circ = \beta$ داشته باشد و فشار پیمانه‌ای در مخزن $1/4\text{ MPa}$ باشد، مطلوبست: (الف) تنش قائم عمود بر درز جوش، (ب) تنش برشی موازی جوش.



شکل ۱۱۵-۷ و ۱۱۶-۷

۱۱۶-۷ مخزن فولادی نشان داده شده از جوشکاری نوارهای در امتداد یک مارپیچ ساخته شده است. این مارپیچ با صفحه عرضی زاویه 60° دارد. مطلوبست ماکزیمم مقادیر β به طوری که تنش قائم در امتداد عمود بر درز جوش بیشتر از 85 MPa درصد تنش ماکزیمم در مخزن نباشد.



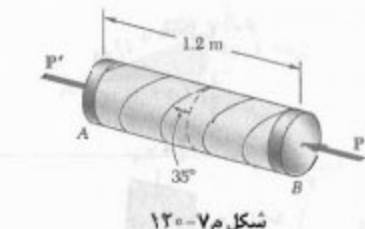
۱۲۵-۷ مسئله ۱۲۴-۷ را با این فرض حل کنید که حلقه برنجی به ضخامت ۳ mm و حلقه فولادی به ضخامت ۶ mm باشد.

۱۰-۷ تبدیل گرنش صفحه‌ای

حال، تبدیل گرنش را برای دوران محورهای مختصات بررسی می‌کنیم. در این تحلیل، ابتدا گرنش صفحه‌ای بررسی می‌شود؛ یعنی، حالت‌هایی که تغییرشکل ماده در صفحات موازی روی روی دهنده، و در هریک از این صفحات به طور یکسان هستند. اگر محور τ را عمود بر این صفحات اختیاب کنیم، $\epsilon_x = \epsilon_z = \gamma_{xz} = \gamma_{zy} = 0$ ، و فقط مولفه‌های گرنش ϵ_y ، γ_{xy} و γ_{yz} باقی می‌مانند. این حالت در صفحه‌ای روی می‌دهد که لبه‌های آن تحت بارهای یکنواخت توزیعی قرار دارند و تکیه‌گاه‌های ثابت هموار و صلبی مانع انبساط یا التقباض جانبی آن می‌شوند (شکل ۱۲۴-۷). این حالت در میله‌ای با طول بسیار نهایت که جوابی آن تحت بارهای یکنواخت توزیعی قرار دارند نیز روی می‌دهد زیرا، به علت تقارن، اجزای واقع در یک صفحه عرضی نمی‌توانند به طرف خارج آن صفحه حرکت کنند. این مدل ایده‌آلی نشان می‌دهد که در یک میله بلند واقعی که تحت بارهای عرضی یکنواخت توزیعی قرار دارد (شکل ۱۲۴-۷)، در هر مقطع عرضی که خیلی نزدیک انتهای میله نباشد حالت گرنش صفحه‌ای به وجود می‌آید.*

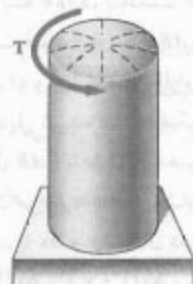
* باید توجه داشت که حالت گرنش صفحه‌ای و حالت تنش صفحه‌ای (قسمت ۱-۷) به طور همزمان روی نمی‌دهند، به جز برای مواد ایده‌آل که ضربی پواسون آنها صفر است. قیدهای منوط به اجزای صفحه شکل ۱۲۴-۷ و میله شکل ۱۲۴-۷ باعث می‌شوند تنش τ «مخالف صفر باشد» از طرف دیگر برای صفحه شکل ۱-۷، نبود هرگونه قید جانبی باعث می‌شود: $\tau = 0$.

۱۲۰-۷ یک مخزن پرفشار با قطر داخلی ۲۵۰ mm و ضخامت دیواره ۶ mm از قسمتی به طول ۱/۲ m که به طور مارپیچ به لوله AB جوش شده ساخته شده است. این مخزن دارای دو صفحه صلب انتهایی است. فشار پیمانه‌ای داخل مخزن ۲ MPa است و نیروهای محوری مرکزی P و P' با مقدار ۴۵ kN بر این دو صفحه وارد می‌شود. مطابق است: (الف) تنش قائم عمود بر جوش، (ب) تنش برشی موازی جوش.



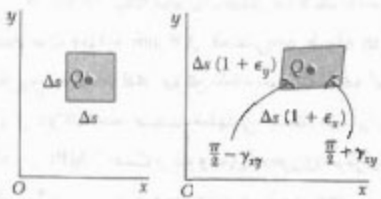
۱۲۱-۷ مسئله ۱۲۰-۷ را با این فرض حل کنید که مقدار P تا ۱۲۰ kN افزایش باید.

۱۲۲-۷ گشتاور $T = 12 \text{ kN.m}$ بر انتهای مخزن حاوی هوا با فشار ۸ MPa وارد می‌شود. اگر قطر داخلی مخزن ۱۸۰ mm و ضخامت دیواره‌اش ۱۲ mm باشد، ماکریم تنش قائم و ماکریم تنش برشی در مخزن را بیاید.

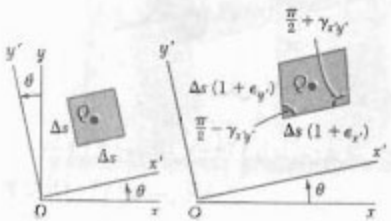


۱۲۳-۷ مخزن نشان داده شده دارای قطر داخلی ۱۸۰ mm و ضخامت دیواره ۱۲ mm است. اگر مخزن حاوی هوا با فشار ۸ MPa باشد، مطابق است مقدار گشتاور T ورده به طوری که ماکریم تنش قائم در مخزن ۷۵ MPa باشد.

۱۲۴-۷ یک حلقه برنجی با قطر خارجی ۱۲۶ mm در دمای 10°C دقیقاً داخل یک حلقه فولادی با قطر داخلی ۱۲۶ mm جازده می‌شود. اگر دمای حلقه‌ها تا 52°C افزایش باید، مطابق است: (الف) تنش کششی در حلقه فولادی، (ب) فشار وارده از حلقه برنجی بر حلقه فولادی ترا این دما، ضخامت دیواره حلقه‌های برنجی و فولادی، به ترتیب، ۶ mm و ۳ mm است.



شکل ۶۰-۷

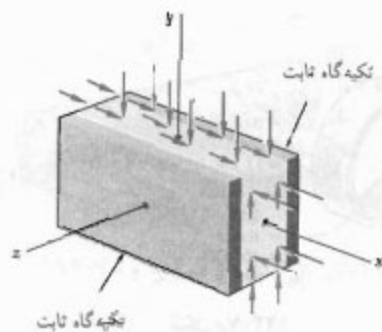


شکل ۶۱-۷

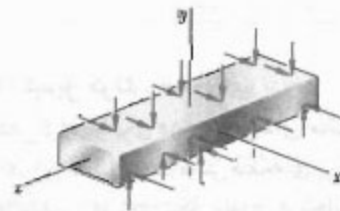
ابتدا، عبارت کرنش قائم $\epsilon(\theta)$ را در امتداد خط AB ، که با محور x زاویه θ دارد، به دست می آوریم. برای انجام این کار، مثلث قائم الزاویه ABC ، که وتر آن AB است (شکل ۶۲-۷ (الف)), و مثلث منفرج الزاویه $A'B'C'$ را که مثلث ABC به آن تبدیل شده است (شکل ۶۲-۷ (ب)) در نظر می گیریم. اگر طول AB را با Δx نشان دهیم، طول $A'B'$ به صورت $\Delta x(1 + \epsilon(\theta))$ [۱] می شود. به طور مشابه، اگر طول اضلاع AC و CB را، به ترتیب، با Δy و $\Delta y(1 + \epsilon_y)$ [۲] نشان دهیم، طول $C'B'$ و $A'C'$ به صورت $\Delta y(1 + \epsilon_y)$ و $\Delta y(1 + \epsilon_y)(1 + \epsilon_x)$ [۳] می شود. در شکل ۶۲-۷ (الف) تبدیل به زاویه γ_{xy} شده است (شکل ۶۲-۷ (ب)). با کاربرد قانون کسینوس ها برای مثلث $A'B'C'$ ، داریم:

$$\begin{aligned} (A'B')^2 &= (A'C')^2 + (C'B')^2 - 2(A'C')(C'B') \cos \left(\frac{\pi}{2} + \gamma_{xy} \right) \\ &= (\Delta x)^2 (1 + \epsilon_x)^2 + (\Delta y)^2 (1 + \epsilon_y)^2 \\ &\quad - 2(\Delta x)(1 + \epsilon_x)(\Delta y)(1 + \epsilon_y) \cos \left(\frac{\pi}{2} + \gamma_{xy} \right) \end{aligned}$$

(۳۸-۷)

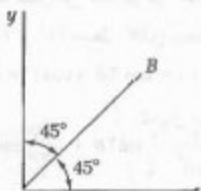


شکل ۵۸-۷



شکل ۵۹-۷

فرض می کنیم حالت کرنش صفحه‌ای در نقطه Q (با $\epsilon_x = \epsilon_y = \epsilon_{xy} = \gamma_{xy} = \gamma_{xz} = \gamma_{yz} = 0$) وجود دارد، و با مولفه‌های کرنش ϵ_x ، ϵ_y و γ_{xy} تعریف می شود. در قسمت‌های ۱۲-۲ و ۱۴-۲ دیدیم که در این حالت یک جزء چهارگوش با مرکز Q ، که اصلاح آن به طول Δx متوالی محورهای x و y هستند، به صورت مستوازی الاصلی در می آید که اصلاح آن، با طولهای $(1 + \epsilon_x)\Delta x$ و $(1 + \epsilon_y)\Delta y$ ، با هم زوایای $\frac{\pi}{2} - \gamma_{xy}$ و $\frac{\pi}{2} + \gamma_{xy}$ می سازند (شکل ۵۸-۷). بر اثر تغییر شکل اجزای دیگری که در صفحه xy قرار دارند، جزء تحت بررسی نیز ممکن است دستخوش حرکت صلب‌گونه شود، اما این حرکت هیچ تأثیری بر تعیین کرنش‌ها در نقطه Q ندارد و آن را در این تحلیل نادیده می گیریم. می خواهیم مولفه‌های کرنش ϵ_x ، ϵ_y و γ_{xy} مربوط به دستگاه مرجع $/x'y'$ را، که از دوران محورهای x و y تحت زاویه θ به دست می آید، برحسب ϵ_x ، ϵ_y و γ_{xy} پاییم. همانطور که در شکل ۶۱-۷ نشان داده شده است، این مولفه‌های جدید کرنش یک متوالی الاصلع را نشان می دهند. این متوالی الاصلع از تبدیل موقیع به دست آمده است که اصلاح آن با اصلاح متوالی با محورهای x و y به آن تبدیل شده است.



شکل ۶۳-۷

با این رابطه می‌توان کرنش برشی مربوط به زوج محورهای قائم را برحسب کرنش‌های قائم، که در امتداد این محورها و نیمساز آنها اندازه‌گیری می‌شود، بدست آورد. این رابطه در استنتاج فعلی نقش اصلی دارد و از آن برای تعیین کرنش‌های برشی در قسمت ۱۳-۷ استفاده خواهد شد.

در این قسمت می‌خواهیم مولفه‌های کرنش در دستگاه مرجع $x'y'$ (شکل ۶۱-۷) را برحسب زاویه θ و مولفه‌های کرنش $\epsilon_x, \epsilon_y, \gamma_{xy}$ در دستگاه xy بیان کنیم. برای این منظور، می‌گوییم کرنش قائم ϵ_x در امتداد محور x با معادله (۴۱-۷) داده می‌شود. با استفاده از روابط مثلثاتی (۳-۷) و (۴-۷)، معادله (۴۱-۷) را به صورت زیر می‌نویسیم:

$$\epsilon_x' = \frac{\epsilon_x + \epsilon_y}{2} + \frac{\epsilon_x - \epsilon_y}{2} \cos 2\theta + \frac{\gamma_{xy}}{2} \sin 2\theta \quad (۴۴-۷)$$

با قرار دادن $90^\circ - \theta$ به جای θ ، کرنش قائم در امتداد محور y بسیار دست می‌آید. چون $\cos(2\theta + 180^\circ) = -\cos 2\theta$ و $\sin(2\theta + 180^\circ) = -\sin 2\theta$

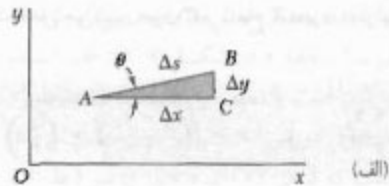
$$\epsilon_y' = \frac{\epsilon_x + \epsilon_y}{2} - \frac{\epsilon_x - \epsilon_y}{2} \cos 2\theta - \frac{\gamma_{xy}}{2} \sin 2\theta \quad (۴۵-۷)$$

معادله‌های (۴۴-۷) و (۴۵-۷) را عضو به عضو با هم جمع می‌کنیم و رابطه زیر را بدست می‌آوریم:

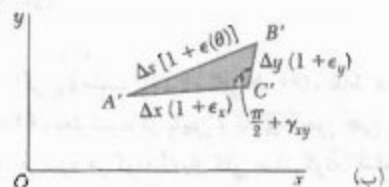
$$\epsilon_x' + \epsilon_y' = \epsilon_x + \epsilon_y \quad (۴۶-۷)$$

در حالت کرنش صفحه‌ای $\epsilon_z = 0$. بنابراین، طبق معادله (۴۶-۷)، در این حالت مجموع کرنش‌های قائم مربوط به یک جزء مکعبی از وضعیت آن جزء مستقل است.

* به [برنوس] صفحه ۷۵ نگاه کنید.



(الف)



(ب)

شکل ۶۲-۷

از شکل ۶۲-۷ الف،

$$\Delta x = (\Delta s) \cos \theta \quad \Delta y = (\Delta s) \sin \theta \quad (۴۹-۷)$$

چون $\sin \gamma_{xy}$ خیلی کوچک است،

$$\cos \left(\frac{\pi}{2} + \gamma_{xy} \right) = -\sin \gamma_{xy} \approx -\gamma_{xy} \quad (۴۰-۷)$$

با جایگذاری از معادله‌های (۴۹-۷) و (۴۰-۷) در معادله (۴۸-۷)، و با توجه به رابطه $\cos^2 \theta + \sin^2 \theta = 1$ و با صرفنظر از جمله‌های مرتبه دوم در $\epsilon(\theta)$ ، داریم:

$$\epsilon(\theta) = \epsilon_x \cos^2 \theta + \epsilon_y \sin^2 \theta + \gamma_{xy} \sin \theta \cos \theta \quad (۴۱-۷)$$

برای تعیین کرنش قائم $\epsilon(\theta)$ در جهت اختیاری AB برحسب مولفه‌های کرنش $\epsilon_x, \epsilon_y, \gamma_{xy}$ و زاویه θ که با محور x می‌سازد از معادله (۴۱-۷) می‌توان استفاده کرد. این معادله برای $\theta = 0^\circ$ و $\theta = 90^\circ$ ، بسته‌تر ترتیب، می‌دهد $\epsilon(0^\circ) = \epsilon_x$ و $\epsilon(90^\circ) = \epsilon_y$. با جایگذاری $\theta = 45^\circ$ در معادله (۴۱-۷)، کرنش قائم در جهت نیمساز زاویه بین محورهای x و y (خط OB در شکل ۶۳-۷) می‌ددست می‌آید:

$$\epsilon_{OB} = \epsilon(45^\circ) = \frac{1}{2} (\epsilon_x + \epsilon_y + \gamma_{xy}) \quad (۴۲-۷)$$

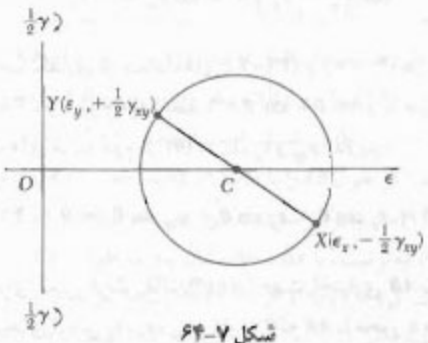
از معادله (۴۲-۷)،

$$\gamma_{xy} = \epsilon_{OB} - (\epsilon_x + \epsilon_y) \quad (۴۳-۷)$$

قطر XY ، مرکز C دایره سور را برای کرنش صفحه‌ای مشخص می‌کنیم. طول C و شعاع R دایره، به ترتیب، عبارتند از:

$$\varepsilon_{ave} = \frac{\varepsilon_x + \varepsilon_y}{2} \quad \text{و} \quad R = \sqrt{\left(\frac{\varepsilon_x - \varepsilon_y}{2}\right)^2 + \left(\frac{\gamma_{xy}}{2}\right)^2} \quad (50-7)$$

اگر γ_{xy} مثبت باشد (شکل ۵۰-۷)، نقاط X و Y در شکل ۶۴-۷، به ترتیب، در پایین و بالای محور افقی رسم می‌شوند. اما، در تبود هر گونه دوران کالی صلب گونه، ضلعی از جزء داده شده در شکل ۶۰-۷ که به ε_{xy} مربوط است به طور پاد ساعتگرد می‌چرخد، و ضلع مربوط به γ_{xy} به طور ساعتگرد می‌چرخد. لذا، اگر تغییر شکل برتری باعث دوران ساعتگرد یک ضلع شود، نقطه متناظر در دایره سور کرنش صفحه‌ای در بالای محور افقی رسم می‌شود، و اگر تغییر شکل باعث دوران پاد ساعتگرد شود، نقطه متناظر در زیر محور افقی رسم می‌شود. این فرآداد باتفاقدادی که برای ترسیم دایره سور در تشکیل صفحه‌ای به کار رفت هم آهنگ است.



شکل ۵۰-۷

نقاط A و B که نقطه تقاطع دایره سور با محور افقی اند متناظر با کرنش‌های همی ε_{max} و ε_{min} هستند (شکل ۶۵-۷ الف):

$$\varepsilon_{max} = \varepsilon_{ave} + R \quad \text{و} \quad \varepsilon_{min} = \varepsilon_{ave} - R \quad (51-7)$$

که در آن، ε_{ave} و R با معادله‌های (۵۰-۷) تعریف می‌شوند. چون کرنش برتری برای A و B است، مقدار متناظر θ_p برای γ_{xy} که تبدیل داده شده در شکل ۶۰-۷ را مشخص می‌کند، نقطه $(\varepsilon_{xy}, -\frac{1}{2}\gamma_{xy})$ را، که طول آن مساوی کرنش قائم ε_x و عرض آن مساوی منفی نصف کرنش برتری γ_{xy} است، و نقطه $(\varepsilon_{xy}, +\frac{1}{2}\gamma_{xy})$ را مشخص می‌کنیم (شکل ۶۴-۷). با ترسیم

$$\tan 2\theta_p = \frac{\gamma_{xy}}{\varepsilon_x - \varepsilon_y} \quad (52-7)$$

با جایگذاری $\theta = 45^\circ$ به جای θ در معادله (۴۴-۷)، عبارت کرنش قائم در امتداد نیمساز زاویه بین محورهای x و y (خط OB') بدست می‌آید. چون $\sin(2\theta + 90^\circ) = \cos 2\theta$ و $\cos(2\theta + 90^\circ) = -\sin 2\theta$

$$\varepsilon_{OB'} = \frac{\varepsilon_x + \varepsilon_y}{2} - \frac{\varepsilon_x - \varepsilon_y}{2} \sin 2\theta + \frac{\gamma_{xy}}{2} \cos 2\theta \quad (47-7)$$

با نوشتن معادله (۴۳-۷) برای محورهای x و y ، کرنش برتری γ_{xy} و ε_{xy} و نیمساز $\varepsilon_{OB'}$ بدست می‌آید:

$$\gamma_{xy} = 2\varepsilon_{OB'} - (\varepsilon_x + \varepsilon_y) \quad (48-7)$$

از جایگذاری از معادله‌های (۴۶-۷) و (۴۷-۷) در معادله (۴۸-۷)، نتیجه می‌شود:

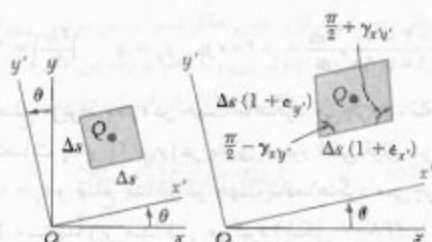
$$\gamma_{xy} = -(\varepsilon_x - \varepsilon_y) \sin 2\theta + \gamma_{xy} \cos 2\theta \quad (49-7)$$

معادله‌های (۴۴-۷)، (۴۵-۷) و (۴۹-۷) معادله‌های هستند که تبدیل کرنش صفحه‌ای را هنگام دوران محورها در صفحه کرنش تعریف می‌کنند. از تقسیم جمله‌های معادله (۴۹-۷) بر ۲، داریم:

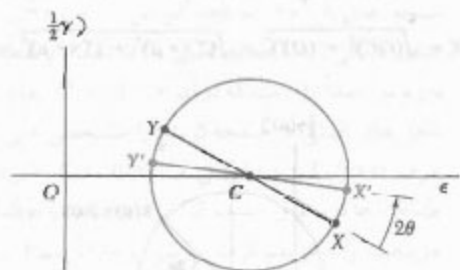
$$\frac{\gamma_{xy}}{2} = -\frac{\varepsilon_x - \varepsilon_y}{2} \sin 2\theta + \frac{\gamma_{xy}}{2} \cos 2\theta \quad (49'-7)$$

دیده می‌شود که معادله‌های (۴۴-۷)، (۴۵-۷) و (۴۹'-۷)، که برای تبدیل کرنش صفحه‌ای هستند، خیلی شبیه معادله‌های هستند که در قسمت ۲-۷ برای تبدیل تنش صفحه‌ای به دست آمدند. گرچه با جایگذاری کرنش‌های قائم به جای تنش‌های قائم متناظر می‌توان معادله‌های مذکور را از معادله‌های تبدیل تنش صفحه‌ای (قسمت ۲-۷) بدست آورد، ولی باید توجه داشت که تنش‌های برتری ε_x و ε_y را باید با نصف کرنش‌های برتری متناظر، یعنی، به ترتیب، با γ_{xy}^+ و γ_{xy}^- جایگزین کرد.

۱۱-۷ دایره سور برای کرنش صفحه‌ای چون معادله‌های تبدیل کرنش صفحه‌ای هم شکل معادله‌های تبدیل تنش صفحه‌ای‌اند، برای تحلیل کرنش صفحه‌ای می‌توان از دایره سور استفاده کرد. با درنظر گرفتن مولفه‌های کرنش ε_x ، ε_y و γ_{xy} که تبدیل داده شده در شکل ۶۰-۷ را مشخص می‌کند، نقطه $(\varepsilon_{xy}, -\frac{1}{2}\gamma_{xy})$ را، که طول آن مساوی کرنش قائم ε_x و عرض آن مساوی منفی نصف کرنش برتری γ_{xy} است، و نقطه $(\varepsilon_{xy}, +\frac{1}{2}\gamma_{xy})$ را مشخص می‌کنیم (شکل ۶۴-۷).



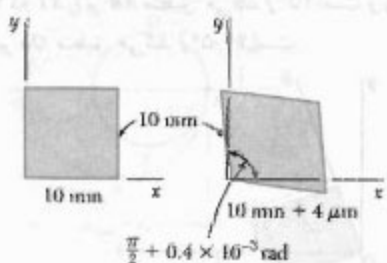
شکل ۶۱-۷ (تکراری)



شکل ۶۶-۷

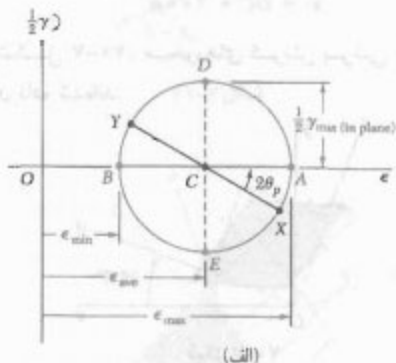
مثال ۴-۷

در ماده‌ای با حالت کرتش صفحه‌ای، ضلع افقی مربعی به ابعاد $10 \times 10 \text{ mm}^2$ به اندازه $4 \times 10^{-3} \mu\text{m}$ افزایش می‌یابد، ضلع عمودی اش تغیر نمی‌کند و زاویه گوشه چپ پایین به اندازه $4 \times 10^{-3} \text{ rad}$ افزایش می‌یابد (شکل ۶۷-۷). مطالعه است: (الف) محورهای اصلی و کرنش‌های اصلی، (ب) ماکریسم کرنش برشی و کرنش قائم متناظر.

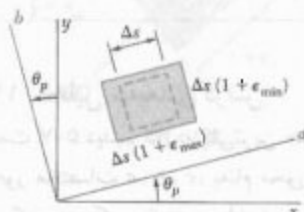


شکل ۶۷-۷

محورهای متناظر a و b در شکل ۶۵-۷ ب محورهای هسلی کونش اند. زاویه θ امتداد محور اصلی Oa در شکل ۶۵-۷ ب را، که متناظر با نقطه A در شکل ۶۵-۷ است، مشخص می‌کند و برابر است با نصف زاویه XCA که در دایره XCY دورانی که در این دایره Oa را بر محور AB منطبق می‌کند همسو با دورانی است که قطر XY دایره مور را بر قطر AB منطبق می‌کند.



(الف)



(ب)

شکل ۶۵-۷

از قسمت ۱۴-۲ به خاطر داریم که، در حالت تغییر شکل الاستیک یک ماده همگن و همسانگرد، طبق قانون هooke، $\gamma_{xy} = G \gamma_{yx} = 0$ ، لذا، وقتی $\epsilon_{xy} = 0$ ، مطالعه است: (الف) کرنش برشی بر محورهای اصلی تنش منطبق اند. ماکریسم کرنش برشی "داخل صفحه" با نقاط D و E در شکل ۶۵-۷ الف مشخص شده است و با قطر دایره مور برابر است. با توجه به رابطه دوم (۵۰-۷)،

$$\gamma_{\max} = 2R = \sqrt{(\epsilon_x - \epsilon_y)^2 + \gamma_{xy}^2} \quad (53-7)$$

گفتنی است نقاط X' و Y' ، که مولفه‌های کرنش متناظر با دوران محورهای مختصات تحت زاویه θ را مشخص می‌کند (شکل ۶۱-۷)، از دوران قطر XY دایره مور در همان جهت تحت زاویه 2θ بدست می‌آیند (شکل ۶۶-۷).

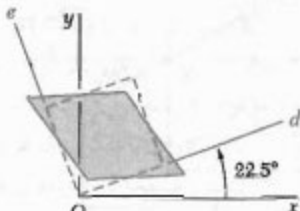
(ب) ماکزیمم کرنش برشی، نقاط D و E ماکزیمم کرنش برشی "داخل صفحه" را مشخص می‌کنند. چون کرنش‌های اصلی دارای علامت‌های مخالفاند، این کرنش ماکزیمم کرنش برشی واقعی است (به قسمت ۱۲-۷ نگاه کبد). می‌نویسیم:

$$\frac{\gamma_{\max}}{2} = R = 283 \mu \quad \gamma_{\max} = 566 \mu$$

کرنش‌های فائی مناظر هر دو عبارتند از:

$$\epsilon' = OC = 200 \mu$$

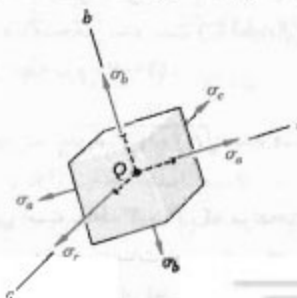
در شکل ۷-۷، محورهای کرنش برشی ماکزیمم نشان داده شده‌اند.



شکل ۷-۷

۱۲-۷* تحلیل سه‌بعدی کرنش

در قسمت ۵-۷ دیدیم که، در کلی ترین حالت تنش، می‌توانیم سه محور مختصات a, b, c ، به نام محورهای اصلی تنش را بیابیم. یک جزو مکعبی که وجود آن بر محورهای مذکور عمود است فاقد تنش است (شکل ۷-۷): یعنی، $\tau_{ab} = \tau_{bc} = \tau_{ca} = 0$. همانطور که در قسمت قبل گفته شد، قانون هوک برای تنش و کرنش برشی وقتی به کار می‌رود که تغییر شکل از نوع الاستیک، و ماده همگن و همانگرد باشد. در این حالت، $\sigma_{ab} = \sigma_{cb} = \sigma_{ca} = 0$ ، و محورهای a, b, c مخصوصاً محورهای همی‌کرنش نیز هستند. مکعب کوچکی با ضلع واحد و به مرکز O ، که وجود آن بر محورهای اصلی عمودند، به صورت مکعب مستطیل با اضلاع $\epsilon_a + \epsilon_b + \epsilon_c$ در می‌آید (شکل ۷-۷).



شکل ۷-۷ (تکراری)

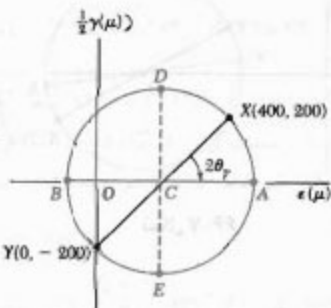
(الف) محورهای اصلی و کرنش‌های اصلی. ابتدا، مختصات نقاط X و Y را روی دایره مور کرنش می‌بایسیم:

$$\epsilon_x = \frac{+4 \times 10^{-3} \text{ m}}{10 \times 10^{-3} \text{ m}} = +400 \mu \quad \epsilon_y = 0 \quad \left| \frac{\gamma_{xy}}{2} \right| = 200 \mu$$

چون ضلع مربوط به ϵ_x در جهت ساعتگرد می‌چرخد، نقطه X به مختصات ϵ_x و $| \gamma_{xy}/2 |$ در بالای محور افقی قرار می‌گیرد. چون $\epsilon_y = 0$ و ضلع مناظر در جهت پاد ساعتگرد می‌چرخد، نقطه Y مستقیماً زیر مبدأ قرار می‌گیرد (شکل ۶۸-۷). با رسم قطر XY ، مرکز C دایره مور و شعاع R آن را می‌بایسیم:

$$OC = \frac{\epsilon_x + \epsilon_y}{2} = 200 \mu \quad OY = 200 \mu$$

$$R = \sqrt{(OC)^2 + (OY)^2} = \sqrt{(200 \mu)^2 + (200 \mu)^2} = 283 \mu$$



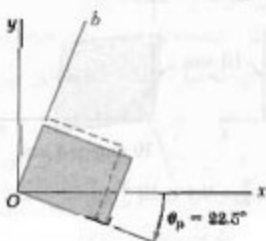
شکل ۶۸-۷

کرنش‌های اصلی با طول نقاط A و B مشخص می‌شوند. می‌نویسیم:

$$\epsilon_a = OA = OC + R = 200 \mu + 283 \mu = 483 \mu$$

$$\epsilon_b = OB = OC - R = 200 \mu - 283 \mu = -83 \mu$$

محورهای اصلی Oa و Ob در شکل ۶۹-۷ نشان داده شده‌اند. چون $OC = OY$ ، زاویه C در مثلث OCY مساوی 45° است. لذا، زاویه θ_p که XY را برابر AB منطبق می‌کند 45° است و زاویه θ_p که Oa را برابر Ox منطبق می‌کند 22.5° است.



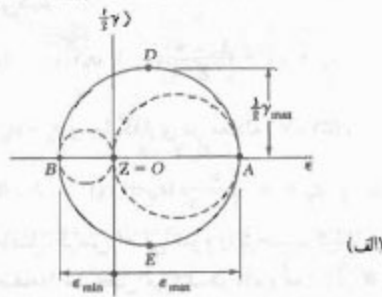
شکل ۶۹-۷

در اینجا، تحلیل سه بعدی کرتش با استفاده از دایره مور فقط برای دوران حول محورهای اصلی است (در تحلیل تنش نیز این طور بود) و برای تعیین ماکریم کرنش برشی γ_{max} در نقطه Q به کار می‌رود. چون γ_{max} با قطر بزرگترین دایره از میان سه دایره داده شده در شکل ۷۳-۷ برابر است، داریم:

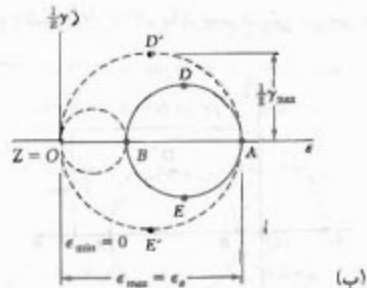
$$\gamma_{max} = |\epsilon_{max} - \epsilon_{min}| \quad (54-7)$$

که در آن ϵ_{max} ، ϵ_{min} مقدار جری کرنش‌های ماکریم و مینیم در نقطه Q هستند.

با مراجعه به حالت خاص کرنش صفحه‌ای، و انتخاب محورهای x و y در صفحه کرنش، $\gamma_{xy} = \gamma_{xz} = \gamma_{yz} = 0$. لذا، محور z یکی از سه محور اصلی در Q است، و نقطه متاظر در دایره مور مبدأ O است، که در آن $\epsilon = \gamma = 0$. اگر نقاط A و B ، که محورهای اصلی در صفحه کرنش را مشخص می‌کنند، در دو طرف O قرار گیرند (شکل ۷۴-۷ (الف)), کرنش‌های اصلی متاظر، ماکریم کرنش برشی با ماکریم کرنش برشی می‌دهند، و ماکریم کرنش برشی با ماکریم کرنش برشی "داخل صفحه" متاظر با نقاط D و E و B برابر است. اگر A و B در یک طرف O باشند (شکل ۷۴-۷ (ب)), یعنی اگر $\epsilon_a = \epsilon_b$ و $\epsilon_c = 0$ هم علامت باشند، ماکریم کرنش برشی با نقاط D' و E' و روی دایره‌ای به قطر OA مشخص می‌شود و داریم $\gamma_{max} = \epsilon_{max}$.



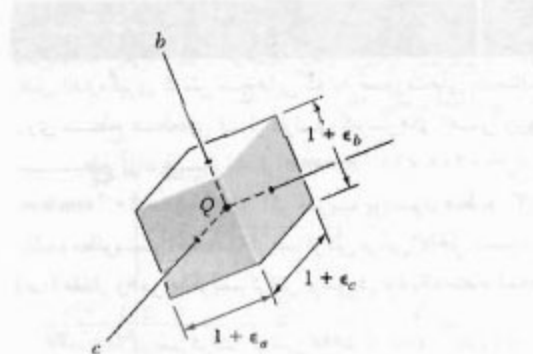
(الف)



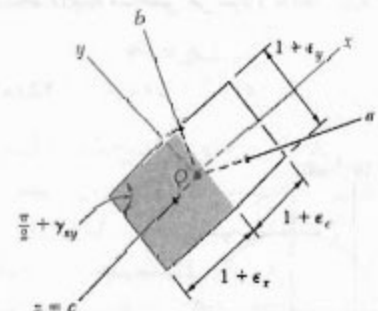
(ب)

شکل ۷۴-۷

* ترجیح کنید که چهار وجه دیگر جزء به صورت مستطیلی می‌مانند و اصلاح مواردی محور C تغییر نمی‌کنند.

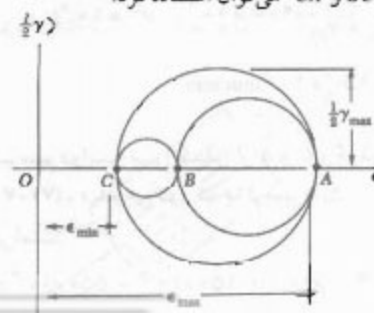


شکل ۷۱-۷



شکل ۷۲-۷

اگر جزء شکل ۷۱-۷ حول یکی از محورهای اصلی در Q ، مثلاً محور c ، بچرخد (شکل ۷۲-۷)، برای تعیین مولفه‌های کرنش ϵ_x ، ϵ_y و ϵ_z مربوط به وجوده عمود بر محور c می‌توان از روش تبدیل کرنش صفحه‌ای که قبل آغاز شد استفاده کرد زیرا در این روش هیچ یک از مولفه‌های دیگر کرنش وارد نمی‌شد.^{*} لذا، می‌توان دایره مور گذرا از نقاط A و B متاظر با محورهای اصلی a و b را رسم کرد (شکل ۷۳-۷). برای تبدیل کرنش هنگام چرخش جزء حول محورهای a و b ، به ترتیب، از دایری با قطرهای BC و CA می‌توان استفاده کرد.



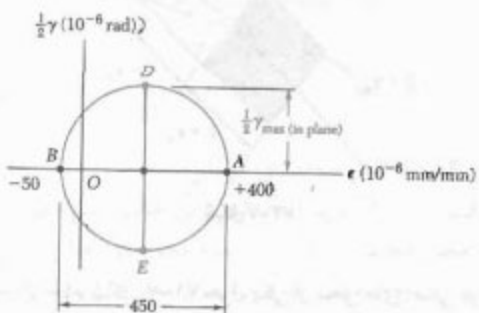
شکل ۷۳-۷

مثال ۷-۵

طبق اندازه‌گیری کرنش سنج‌هایی که به صورت‌های مختلف روی سطح قطعه‌ای قرار دارند، کرنش‌های اصلی روی سطح آزاد عبارتند از $\epsilon = 400 \times 10^{-6} \text{ mm/mm}$ و $\gamma_{\max} = 50 \times 10^{-6} \text{ mm/mm}$. اگر ضریب پواسون قطعه $\nu = 0.3$ باشد، مطلوبست: (الف) ماکزیمم کرنش برشی "داخل صفحه"؛ (ب) مقادار واقعی ماکزیمم کرنش برشی در نزدیک سطح قطعه.

(الف) ماکزیمم کرنش برشی "داخل صفحه". دایره مور گلر از نقاط A و B متناظر با کرنش‌های اصلی آنده شده را رسم می‌کنیم (شکل ۷-۷). ماکزیمم کرنش برشی "داخل صفحه" بانقطه D و E مشخص می‌شود و با قطر دایره مور برابر است:

$$\gamma_{\max} (\text{in plane}) = 400 \times 10^{-6} + 50 \times 10^{-6} = 450 \times 10^{-6} \text{ rad}$$



شکل ۷-۷

(ب) ماکزیمم کرنش برشی. ابتدا، کرنش اصلی سوم، ϵ_c را می‌یابیم. چون در سطح قطعه حالت تنش صفحه‌ای وجود دارد، از معادله (۵۶-۷) استفاده می‌کنیم:

$$\begin{aligned} \epsilon_c &= -\frac{\nu}{1-\nu} (\epsilon_a + \epsilon_b) \\ &= -\frac{0.3}{1-0.3} (400 \times 10^{-6} - 50 \times 10^{-6}) \\ &= -150 \times 10^{-6} \text{ mm/mm} \end{aligned}$$

با ترسیم دایر مور گذرا از A و C و گذرا از B و E (شکل ۷-۷)، دیده می‌شود که ماکزیمم کرنش برشی با قطر CA برابر است:

$$\gamma_{\max} = 400 \times 10^{-6} + 150 \times 10^{-6} = 550 \times 10^{-6} \text{ rad}$$

اگنون، حالت خاص تنش صفحه‌ای را در نظر می‌گیریم که در یک ورق نازک یا در سطح آزاد یک عضو ساختمانی یا مکانیکی روی می‌دهد (قسمت ۱-۷). با انتخاب محورهای x و y در صفحه تنش، $\sigma_z = \tau_{xy} = 0$. یعنی، محور z محور اصلی تنش است. همانطور که قبله دیدیم، برای تغییر شکل الاستیک و ماده همگن و همسانگرد، از قانون هوک نتیجه می‌شود $\epsilon_x = \gamma_{xy} = \gamma_{yz} = 0$ ؛ لذا، محور z نیز محور اصلی کرنش است و برای تحلیل تبدیل کرنش در صفحه xy می‌توان از دایره مور استفاده کرد. البته، هم‌اگنون خواهیم دید از قانون هوک نتیجه نمی‌شود $\epsilon_z = 0$ ؛ یعنی، حالت تنش صفحه‌ای، به طور کلی، حالت کرنش صفحه‌ای را نتیجه نمی‌دهد.

محورهای اصلی داخل صفحه تنش را با a و b و محور اصلی عمود بر آن صفحه را با c نشان می‌دهیم و در معادله‌های (۲۸-۲) فرار می‌دهیم $\sigma_z = \sigma_a = \sigma_b = 0$ ، در نتیجه،

$$\epsilon_a = \frac{\sigma_a}{E} - \frac{\nu \sigma_b}{E} \quad (55-7)$$

$$\epsilon_b = -\frac{\nu \sigma_a}{E} + \frac{\sigma_b}{E} \quad (56-7)$$

$$\epsilon_c = -\frac{\nu}{E} (\sigma_a + \sigma_b) \quad (57-7)$$

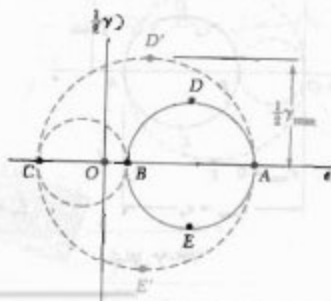
معادله‌های (۵۵-۷) و (۵۶-۷) را عضو به عضو با هم جمع می‌کنیم:

$$\epsilon_a + \epsilon_b = \frac{1-\nu}{E} (\sigma_a + \sigma_b) \quad (58-7)$$

با حل $\sigma_a + \sigma_b$ و جایگذاری در معادله (۵۷-۷)،

$$\epsilon_c = -\frac{\nu}{1-\nu} (\epsilon_a + \epsilon_b) \quad (59-7)$$

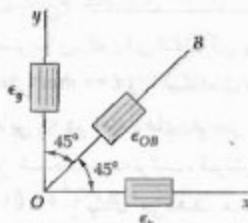
رابطه حاصل، کرنش اصلی سوم را بر حسب کرنش‌های اصلی "داخل صفحه" مشخص می‌کند. در دایره مور، اگر بین A و C فرار گیرد (شکل ۷-۷)، ماکزیمم کرنش برشی با قطر CA برابر است.



شکل ۷-۷

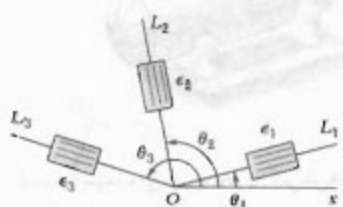
با اندازه‌گیری کرنش قائم در امتداد محورهای x و y گذرا از یک نقطه می‌توان مولفه‌های کرنش ϵ_x و ϵ_y را در آن نقطه اندازه‌گرفت. با اندازه‌گیری کرنش قائم سوم، که در امتداد نیمساز OB انجام می‌شود، کرنش برشی γ_{xy} را از معادله $43-7$ نیز می‌توان بدست آورد (شکل ۷۹-۷):

$$\gamma_{xy} = 2\epsilon_{OB} - (\epsilon_x + \epsilon_y) \quad (43-7)$$



شکل ۷۹-۷

با اندازه‌گیری کرنش‌های قائم در امتداد سه خط‌دلخواه گذرا از یک نقطه (شکل ۸۰-۷)، می‌توان ϵ_x ، ϵ_y و γ_{xy} را در آن نقطه بدست آورد.



شکل ۸۰-۷

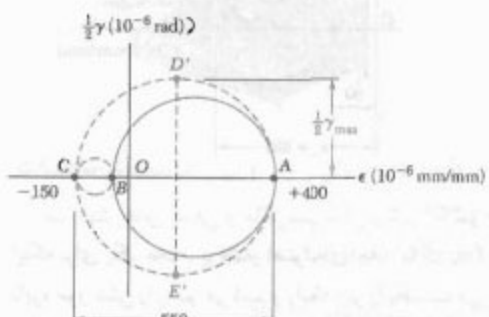
زاویه هریک از این سه خط با محور x را با θ_1 ، θ_2 و θ_3 و کرنش‌های متناظر را با ϵ_x ، ϵ_y و ϵ_{xy} نشان می‌دهیم و آنها را در معادله (۴۱-۷) جایگذاری می‌کنیم. درنتیجه،

$$\begin{aligned}\epsilon_x &= \epsilon_x \cos^2 \theta_1 + \epsilon_y \sin^2 \theta_1 + \gamma_{xy} \sin \theta_1 \cos \theta_1 \\ \epsilon_y &= \epsilon_x \cos^2 \theta_2 + \epsilon_y \sin^2 \theta_2 + \gamma_{xy} \sin \theta_2 \cos \theta_2 \\ \epsilon_{xy} &= \epsilon_x \cos^2 \theta_3 + \epsilon_y \sin^2 \theta_3 + \gamma_{xy} \sin \theta_3 \cos \theta_3\end{aligned} \quad (40-7)$$

با حل هم‌zman این معادله‌ها، ϵ_x و ϵ_y و γ_{xy} بدست می‌آیند.*

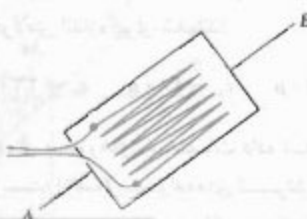
* باید دانست سطح آزاد که اندازه‌گیری‌های کرنش روی آن انجام می‌شوند یک حالت تش صفحه‌ای است، در حالی که معادله‌های (۴۱-۶) و (۴۳-۷) برای حالت کرنش صفحه‌ای استنتاج شدند. البته، همانطور که قبلاً دیده شد، خط عمود بر سطح آزاد یک محور اصلی کرنش است و استنتاج‌های داده شده در قسمت ۱۵-۷ صحت دارند.

گفتنی است گرچه ϵ_x و ϵ_y دارای علامت‌های مخالفاند، ولی ماکریم کرنش برشی "داخل صفحه" کرنش برشی ماکریم واقعی را نشان نمی‌دهد.

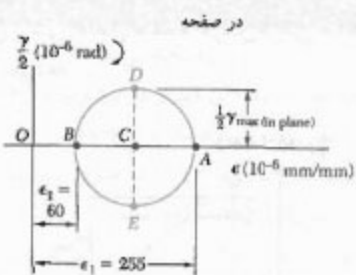


شکل ۷۷-۷

۱۳-۷. اندازه‌گیری‌های کرنش: گلبرگ کرنش ساختمانی را در هر جهت دلخواه روی سطح یک عایق مکانیکی می‌توان تعیین کرد. برای این منظقه می‌توان دو علامت A و B را روی یک خط با امتداد دلخواه نشان، زد و طول پاره‌خط AB را قابل از بارگذاری و پس از بارگذاری اندازه‌گیری. اگر L طول تغییرشکل نداده AB و δ تغییر طول آی باشد، کرنش قائم در امتداد AB چنین است $\epsilon_{AB} = \delta/L$. برای اندازه‌گیری دقیق تر کرنش قائم، از کرنش سنج الکتریک استفاده می‌شود. این وسیله مشکل است از سیم نازک با آرایه داده شده در شکل ۷۸-۷ که به دو تکه کاغذ متصل است. برای اندازه‌گیری کرنش ϵ_{AB} یک عضو در امتداد AB ، این وسیله را بر سطح عضو متصل می‌کنند، به طوری که چین‌های سیم به موازات AB باشند. وقتی عضو افزایش طول می‌دهد، سیم نسیم افزایش طول داده و قطر آن کاهش می‌یابد و ساعت افزایش مقاومت الکتریکی وسیله می‌شود. با اندازه‌گیری جریان عبور از کرنش سنج که دقیقاً درجه‌بندی شده است، ضمن افزایش بی می‌توان کرنش ϵ_{AB} را دقیقاً و به طور پیوسته اندازه‌گرفت. نار



شکل ۷۸-۷



ب. تنش‌های اصلی و ماکزیمم تنش برشی. با توجه به اینکه برای یک مخزن پرسشار استوانه‌ای جدار نازک دایره مور تنش را رسم می‌کنیم و رابطه زیر را بدست می‌آوریم:

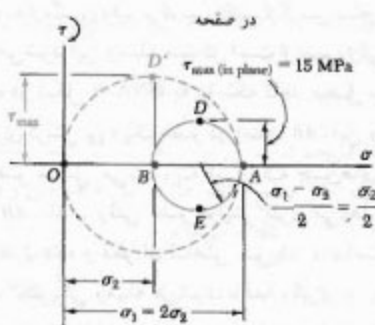
$$\sigma_r = \frac{1}{2} \tau_{\max} (\text{داخل صفحه}) = \frac{1}{2} (15 \text{ MPa}) = 7.5 \text{ MPa}$$

$$\Rightarrow \sigma_r = 7.5 \text{ MPa} \quad \blacktriangleleft$$

$$\sigma_i = \sqrt{\sigma_r} = \sqrt{(7.5 \text{ MPa})} \quad \Rightarrow \sigma_i = 8.66 \text{ MPa} \quad \blacktriangleleft$$

ماکزیمم تنش برشی با شعاع یک دایره به قطر OA برابر است و متاظر با چرخش 45° حول یک محور طولی است:

$$\tau_{\max} = \frac{1}{2} \sigma_i = \sigma_r = 7.5 \text{ MPa} \quad \tau_{\max} = 7.5 \text{ MPa} \quad \blacktriangleleft$$



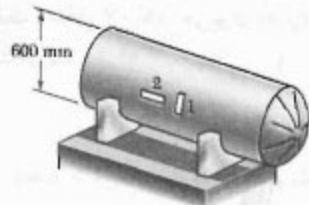
مسئله نمونه ۷-۷
با استفاده از گلبرگ 60° ، کرنش‌های زیر در نقطه Q روی سطح یک قطعه فولادی اندازه‌گیری شده‌اند:

$$\epsilon_1 = 40 \mu \quad \epsilon_r = 980 \mu \quad \epsilon_t = 330 \mu$$

با استفاده از محورهای مختصات داده شده، در نقطه Q مطلوبت: (الف) مولفه‌های کرنش ϵ_x ، ϵ_y ، γ_{xy} ، (ب) کرنش‌های اصلی، (ج) ماکزیمم کرنش برشی. (از $\gamma = 0$ استفاده کنید).

آرایش کرنش‌های را که برای اندازه‌گیری سه کرنش قائم ϵ_1 ، ϵ_r و ϵ_t می‌کار می‌رود گلبرگ کرنش می‌گویند. گلبرگ مورده استفاده برای اندازه‌گیری کرنش قائم در امتداد محورهای x و y و نیمساز آنها را گلبرگ 45° می‌گویند. گلبرگ دیگری که اغلب به کار می‌رود گلبرگ 60° است (به مثله نمونه ۷-۷ نگاه کنید).

مسئله نمونه ۷-۷
یک مخزن استوانه‌ای، که برای انتقال گاز پرسشار به کار می‌رود، دارای قطر داخلی 180 mm با ضخامت دیواره 18 mm است. کرنش سنج‌هایی که در امتدادهای عرضی و طولی به سطح مخزن متصل شده‌اند، به ترتیب، کرنش‌های 255×10^{-6} و $60 \times 10^{-6} \text{ mm/mm}$ را نشان می‌دهند. مدول صلابت مخزن عبارت است از $G = 77 \text{ GPa}$. مطلوبست: (الف) فشار پیمانه‌ای در مخزن، (ب) تنش‌های اصلی و ماکزیمم تنش برشی در دیواره مخزن



حل

الف. فشار پیمانه‌ای در مخزن. کرنش‌های داده شده، کرنش‌های اصلی در سطح مخزن هستند. با ترسیم نقاط A، B، C و D، دایره مور کرنش را رسم می‌کنیم. ماکزیمم کرنش برشی "داخل صفحه" با قطر این دایره برابر است:

$$\gamma_{\max} = \epsilon_1 - \epsilon_t = 255 \times 10^{-6} - 60 \times 10^{-6} = 195 \times 10^{-6} \text{ rad}$$

طبق قانون هوك،

$$\tau_{\max} = G \gamma_{\max} (\text{داخل صفحه}) = (77 \text{ GPa})(195 \times 10^{-6} \text{ rad}) = 15 \text{ MPa}$$

با جایگذاری در معادله (۳۳-۷)،

$$\tau_{\max} = \frac{pr}{4t} \Rightarrow 15 \text{ MPa} = \frac{p(300 \text{ mm})}{4(18 \text{ mm})}$$

در نتیجه،

$$p = 7.6 \text{ MPa} \quad \blacktriangleleft$$

ب. گرنش‌های اصلی. ضلع مربوط به ϵ_x به طور پادساعتگرد می‌چرخد. ابتدا نقاط (۳۷۵) و (۴۰) X و (۳۷۵) و (۸۶۰) و (۲)، و پس دایره مور را رسماً می‌کنیم.

$$\epsilon_{ave} = \frac{1}{\pi} (860\mu + 40\mu) = 450\mu$$

$$R = \sqrt{(375\mu)^2 + (40\mu)^2} = 386\mu$$

$$\tan 2\theta_p = \frac{375\mu}{40\mu} \Rightarrow 2\theta_p = 42,4^{\circ} \Rightarrow \theta_p = 21,2^{\circ}$$

نقاط A و B متناظر با گرنش‌های اصلی‌اند. می‌توانیم:

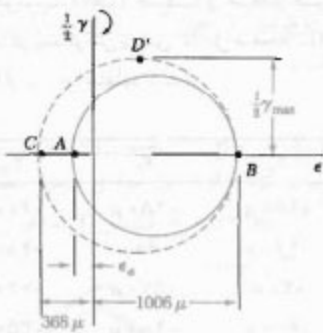
$$\epsilon_a = \epsilon_{ave} - R = 450\mu - 386\mu \quad \epsilon_a = -164\mu \quad \text{---}$$

$$\epsilon_b = \epsilon_{ave} + R = 450\mu + 386\mu \quad \epsilon_b = +836\mu \quad \text{---}$$

چون روی سطح $\sigma_z = 0$ ، از معادله (۵۹-۷) برای تعیین گرنش اصلی ϵ_c استفاده می‌کنیم:

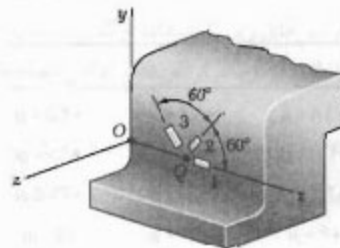
$$\epsilon_c = -\frac{v}{1-v}(\epsilon_a + \epsilon_b) = -\frac{0/29}{1-0/29}(-164\mu + 836\mu)$$

$$\epsilon_c = -368\mu \quad \text{---}$$



ج. ماکزیمم گرنش برشی. با ترسیم نقطه C و ترسیم دایره مور گذاشتراز نقاط B و C، نقطه D' را به دست آوریم می‌توانیم:

$$\frac{1}{\pi} \gamma_{max} = \frac{1}{\pi} (164\mu + 368\mu) \Rightarrow \gamma_{max} = 1372\mu \quad \text{---}$$



حل
الف. مولفه‌های گرنش ϵ_x ، ϵ_y و ϵ_{xy} در دستگاه مختصات نشان داده شده،

$$\theta_1 = 0 \quad \theta_2 = 60^{\circ} \quad \theta_3 = 120^{\circ}$$

با جایگذاری در معادله‌های (۵۹-۷)

$$\epsilon_1 = \epsilon_x(1) + \epsilon_y(0) + \gamma_{xy}(0)(1)$$

$$\epsilon_2 = \epsilon_x(0/60^{\circ}) + \epsilon_y(0/866) + \gamma_{xy}(0/866)(0/60^{\circ})$$

$$\epsilon_3 = \epsilon_x(-0/60^{\circ}) + \epsilon_y(0/866) + \gamma_{xy}(0/866)(-0/60^{\circ})$$

از حل این معادله‌ها نتیجه می‌شود:

$$\epsilon_x = \epsilon_1 \quad \epsilon_y = \frac{1}{\pi} (2\epsilon_2 + 2\epsilon_3 - \epsilon_1) \quad \gamma_{xy} = \frac{\epsilon_2 - \epsilon_3}{0/866}$$

با جایگذاری مقادیر داده شده ϵ_1 ، ϵ_2 ، ϵ_3 ، داریم:

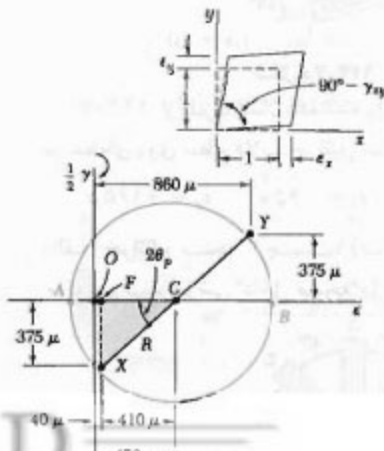
$$\epsilon_x = 40\mu \quad \epsilon_y = \frac{1}{\pi} [2(980) + 2(330) - 40]$$

$$\epsilon_y = +164\mu \quad \text{---}$$

$$\gamma_{xy} = (980 - 330)/0/866$$

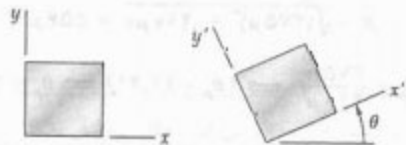
$$\gamma_{xy} = 750\mu \quad \text{---}$$

این گرنش‌ها روی جزء نشان داده شده‌اند.



مسائل

۱۲۶-۷ تا ۱۲۹-۷ برای کرنش‌های صفحه‌ای داده شده، از روش‌های قسمت ۱۰-۷ برای تعیین حالت کرنش مربوط به محورهای x و y که تحت زاویه θ چرخیده‌اند استفاده کنید.

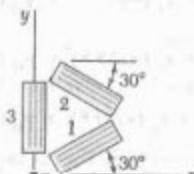


شکل ۱۲۶-۷ تا ۱۲۹-۷

۱۴۲-۷ کرنش‌های زیر با استفاده از گلبرگ نشان داده شده در طی آزمایش یک باروی مکانیکی به دست آمده‌اند:

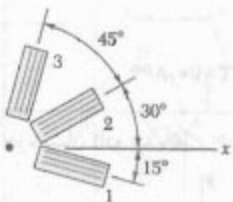
$$\epsilon_x = +900 \mu \quad \epsilon_y = +450 \mu \quad \gamma_{xy} = +750 \mu$$

مطلوبیست: (الف) کرنش‌های اصلی "داخل صفحه" ،
(ب) ماکریم کرنش برشی "داخل صفحه".



شکل ۱۴۲-۷

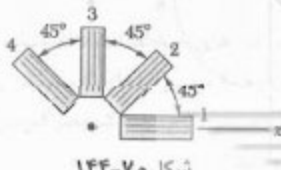
۱۴۳-۷ اگر کرنش‌های زیر با استفاده از گلبرگ نشان داده شده به دست آمده باشند، کرنش ϵ_x را باید:
 $\epsilon_x = +480 \times 10^{-6}$ mm/mm $\epsilon_y = -120 \times 10^{-6}$ mm/mm
 $\epsilon_r = +80 \times 10^{-6}$ mm/mm



شکل ۱۴۳-۷

۱۴۴-۷ از گلبرگ نشان داده شده برای تعیین کرنش‌های زیر در نقطه‌ای روی سطح قلاب چرخیل استفاده شده است:
 $\epsilon_x = +420 \mu$ $\epsilon_y = -45 \mu$ $\epsilon_r = +165 \mu$

(الف) خواسته سنتجه ۳ چیست؟ (ب) کرنش‌های اصلی و ماکریم کرنش برشی "داخل صفحه" را باید.



شکل ۱۴۴-۷

	ϵ_x	ϵ_y	γ_{xy}	θ
۱۲۶-۷ و ۱۳۰-۷	+۲۴۰ μ	+۱۶۰ μ	+۱۵۰ μ	۶۰°
۱۲۷-۷ و ۱۳۱-۷	۰	+۳۲۰ μ	-۱۰۰ μ	۳۰°
۱۲۸-۷ و ۱۳۲-۷	-۸۰۰ μ	+۴۰۰ μ	+۲۰۰ μ	۲۵°
۱۲۹-۷ و ۱۳۳-۷	+۵۰۰ μ	-۳۰۰ μ	"	۲۵°

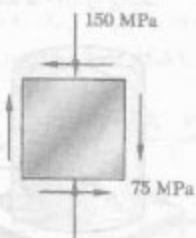
۱۳۳-۷ تا ۱۳۰-۷ برای کرنش صفحه‌ای داده شده، از دایره مور برای تعیین حالت کرنش مربوط به محورهای x و y که تحت زاویه θ چرخیده‌اند استفاده کنید.

۱۳۷-۷ تا ۱۳۴-۷ حالت کرنش زیر روی سطح یک ورق نازک اندازه‌گیری شده است. اگر سطح ورق بی‌تنش باشد، مطلوبیست: (الف) جهت و مقدار کرنش‌های اصلی، (ب) ماکریم کرنش برشی "داخل صفحه" ، (ج) ماکریم کرنش برشی (از $\frac{1}{\theta}$ استفاده کنید).

	ϵ_x	ϵ_y	γ_{xy}
۱۳۴-۷	+۱۶۰ μ	-۴۸۰ μ	-۶۰۰ μ
۱۳۵-۷	-۴۶۰ μ	-۶۰ μ	+۴۸۰ μ
۱۳۶-۷	+۳۰ μ	+۵۷۰ μ	+۷۲۰ μ
۱۳۷-۷	-۶۰۰ μ	-۴۰۰ μ	+۳۵۰ μ

۱۳۸-۷ تا ۱۴۱-۷ برای حالت کرنش صفحه‌ای داده شده، با استفاده از دایره مور مطلوبیست: (الف) وضعیت و مقدار کرنش‌های اصلی، (ب) ماکریم کرنش "داخل صفحه" ، (ج) ماکریم کرنش برشی

۱۴۸-۷ حالت تنش صفحه‌ای داده شده روی سطح یک قطعه روی داده است. اگر $G = 77 \text{ GPa}$ و $E = 200 \text{ GPa}$ باشند، مطلوبست جهت و مقدار سه گرنش اصلی: (الف) با تعیین حالت گرنش متناظر [از معادله‌های (۴۳-۲) و (۳۸-۲)] (ب) با استفاده از کنید] و سپس با استفاده از دایره مور گرنش، (ب) با استفاده از دایره مور تنش برای تعیین صفحات اصلی و تنش‌های اصلی و سپس با تعیین گرنش‌های متناظر.



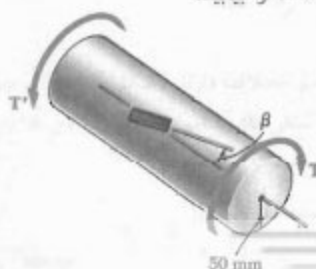
شکل ۱۴۸-۷م

۱۴۹-۷ حالت گرنش زیر روی سطح یک قطعه چندتی روی داده است:

$$\epsilon_1 = -720 \times 10^{-9} \text{ mm/mm}, \quad \epsilon_2 = -400 \times 10^{-9} \text{ mm/mm}, \\ \gamma = +660 \times 10^{-9} \text{ mm/mm}$$

اگر $G = 77 \text{ GPa}$ و $E = 200 \text{ GPa}$ باشند، مطلوبست صفحات اصلی و تنش‌های اصلی: (الف) با تعیین حالت تنش صفحه‌ای متناظر [از معادله (۳۶-۲) و (۴۳-۲) و دو معادله اول مثاله ۷۵-۲] (ب) و سپس با استفاده از دایره مور تنش، (ب) با استفاده از دایره مور گرنش برای تعیین وضعیت و مقدار گرنش‌های اصلی و سپس با تعیین تنش‌های متناظر.

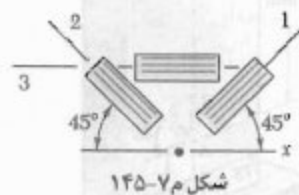
۱۵۰-۷ یک گرنش سنج به شفت آلمینیومی به قطر 100 mm تحت زاویه $\beta = 25^\circ$ با خط موازی محور شفت به آن متصل شده است. اگر $G = 77 \text{ GPa}$ و $E = 70 \text{ GPa}$ باشند، مطلوبست جهت و مقدار سه گرنش اصلی و سپس با استفاده از دایره مور تنش برای تعیین صفحات اصلی و تنش‌های اصلی.



شکل ۱۵۰-۷م

۱۴۵-۷ اگر گرنش‌های زیر با استفاده از گلبرگ نشان داده شده به دست آمده باشند، ماکریم گرنش قائم "داخل صفحه" را باید:

$$\epsilon_1 = -50 \times 10^{-9} \text{ mm/mm}, \quad \epsilon_2 = +360 \times 10^{-9} \text{ mm/mm}, \\ \epsilon_r = +315 \times 10^{-9} \text{ mm/mm}$$

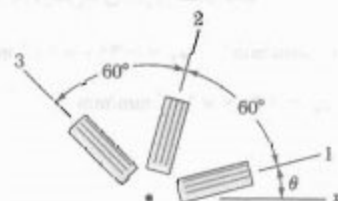


شکل ۱۴۵-۷م

۱۴۶-۷ نشان دهد که مجموع اندازه‌گیری‌های سه گرنش یک گلبرگ 60° مستقل از وضعیت گلبرگ است و برابر است با:

$$\epsilon_1 + \epsilon_2 + \epsilon_r = 3\epsilon_{ave}$$

که در آن ϵ_{ave} طول مرکز دایره مور گرنش است.

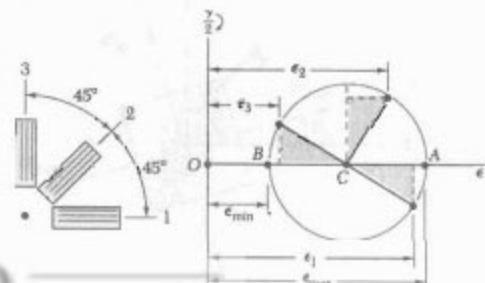


شکل ۱۴۶-۷م

۱۴۷-۷ با استفاده از گلبرگ 45° ، گرنش‌های ϵ_1 ، ϵ_2 و ϵ_r در نقطه‌ای داده شده‌اند. با استفاده از دایره مور، نشان دهد که گرنش‌های اصلی عبارتند از:

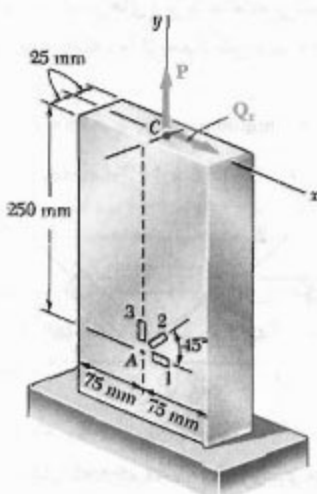
$$\epsilon_{max,min} = \frac{1}{2} (\epsilon_1 + \epsilon_2) \pm \frac{1}{\sqrt{3}} [(\epsilon_1 - \epsilon_2)^2 + (\epsilon_r - \epsilon_r)^2]^{1/2}$$

(راهنمایی: مثلث‌های سایه‌خورده همانندند.)



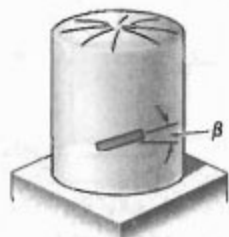
شکل ۱۴۷-۷م

۱۵۱-۷ مسئله ۱۵۰-۷ را با فرض $\beta = 35^\circ$ حل کنید.



شکل ۱۵۴-۷م

۱۵۲-۷ از یک گرنزی سنج که با افق زاویه $18^\circ - \beta = 18^\circ$ دارد برای تعیین فشار پیمانه‌ای در مخزن فولادی استوانه‌ای نشان داده شده استفاده می‌شود. دیواره استوانه‌ای مخزن به ضخامت ۶ mm و قطر داخلی آن ۶۰ mm است. مخزن از فولاد ساخته شده است. فشار داخل مخزن متناظر با خواسته 280μ را باید.



شکل ۱۵۲-۷م

۱۵۳-۷ مسئله ۱۵۲-۷ را با فرض $\beta = 35^\circ$ حل کنید.

۱۵۴-۷ نروری محوری مرکزی P و نروری افقی Q_x در نقطه C میله مستطیلی وارد شده‌اند. گلبرگ سنجه 45° روی سطح میله در نقطه A، گرنزه‌ای زیر را نشان می‌دهد:

$$\epsilon_1 = -75 \times 10^{-6} \text{ mm/mm} \quad \epsilon_7 = +300 \times 10^{-6} \text{ mm/mm}$$

$$\epsilon_r = +200 \times 10^{-6} \text{ mm/mm}$$

اگر $E = 200 \text{ GPa}$ و $\nu = 0.30$ ، مقادیر P و Q_x را باید.

مرور و خلاصه فصل ۷

در قسمت اول این فصل، تبدیل تنش را در دوران محورها و کاربرد آنها را در حل مسائل مهندسی بررسی کردیم، و در قسمت دوم همین کار را برای تبدیل گردنش انجام دادیم.

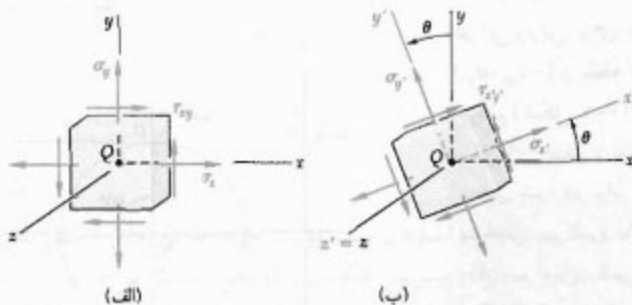
ابتدا، حالت تنش صفحه‌ای را در نقطه معین Q بررسی کردیم (قسمت ۷-۲) و مؤلفه‌های تنش مربوط به جزء داده شده در شکل ۵-۷ (الف) را با σ_x , σ_y و τ_{xy} نشان دادیم؛ سپس، فرمولهای زیر را برای مؤلفه‌های σ_x' , σ_y' و τ_{xy}' ، که مربوط به جزء پس از دوران آن تحت زاویه θ حول محور z هستند (شکل ۵-۷ ب)، بعدست آوردیم:

$$\sigma_x' = \frac{\sigma_x + \sigma_y}{2} + \frac{\sigma_x - \sigma_y}{2} \cos 2\theta + \tau_{xy} \sin 2\theta \quad (5-V)$$

$$\tau_{x'y'} = - \frac{\sigma_x - \sigma_y}{2} \sin 2\theta + \tau_{xy} \cos 2\theta \quad (6-V)$$

$$\sigma_y' = \frac{\sigma_x + \sigma_y}{2} - \frac{\sigma_x - \sigma_y}{2} \cos 2\theta - \tau_{xy} \sin 2\theta \quad (V-V)$$

تبدیل تنش صفحه‌ای



شکل ۵-۷

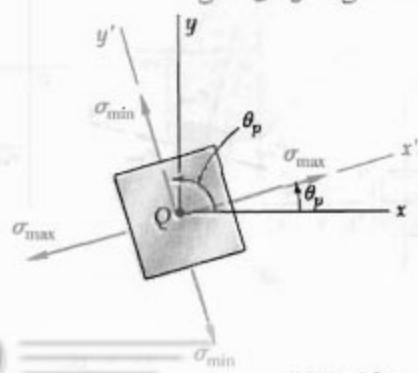
در قسمت ۳-۷، مقدار زاویه دوران را برای ماکریم و مینیمم تنش قائم در نقطه Q از رابطه زیر بدست آوردیم:

$$\tan 2\theta_p = \frac{2\tau_{xy}}{\sigma_x - \sigma_y} \quad (12-V)$$

دو مقدار حاصل برای θ_p به اندازه 90° با هم اختلاف دارند (شکل ۱۱-۷) و صفحات همیلی تنش را در نقطه Q مشخص می‌کنند. تنش‌های قائم متاظر با دو مقدار θ_p را تنش‌های همیلی در Q می‌گویند؛ رابطه زیر را بدست آوردیم:

$$\sigma_{\max,\min} = \frac{\sigma_x + \sigma_y}{2} \pm \sqrt{\left(\frac{\sigma_x - \sigma_y}{2}\right)^2 + \tau_{xy}^2} \quad (14-V)$$

صفحات اصلی. تنش‌های اصلی



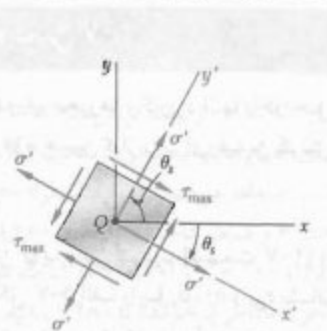
شکل ۱۱-۷

همچنین دیدیم که مقدار تنش برشی متناظر صفر است. سپس، زاویه θ را که به ازای آن ماکریم مقدار تنش برشی روی می‌دهد از رابطه زیر به دست آوردم:

$$\tan 2\theta_s = - \frac{\sigma_x - \sigma_y}{2\tau_{xy}} \quad (15-7)$$

دو مقدار حاصل برای θ به اندازه 90° با هم اختلاف دارند (شکل ۱۲-۷). همچنین، دیدیم که صفحات تنش برشی ماکریم با صفحات اصلی زاویه 45° دارند. ماکریم مقدار تنش برشی برای دوران در صفحه تنش عبارت است از:

$$\tau_{\max} = \sqrt{\left(\frac{\sigma_x - \sigma_y}{2}\right)^2 + \tau_{xy}^2} \quad (16-7)$$



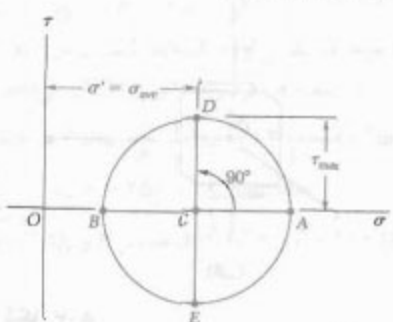
شکل ۱۲-۷

و مقدار متناظر تنش قائم چنین است:

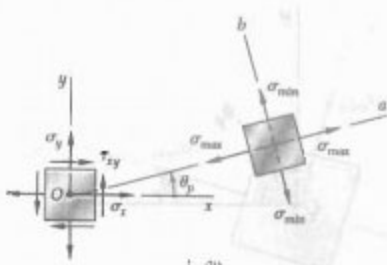
$$\sigma' = \sigma_{ave} = \frac{\sigma_x + \sigma_y}{2} \quad (17-7)$$

در قسمت ۴-۷، روش دایره مور را برای تبدیل تنش صفحه‌ای به کار بردیم. در این روش، برای حالت تنش داده شده در شکل ۱۷-۷ الف، نقطه X با مختصات $(\sigma_x, -\tau_{xy})$ و نقطه Y با مختصات $(\sigma_y, +\tau_{xy})$ را مشخص، و دایره‌ای به قطر XY رسم کردیم (شکل ۱۷-۷ ب). طول نقاط تلاقی این دایره با محور افقی، نقاط A و B تنش‌های اصلی را نشان می‌دادند، و زاویه دورانی که باعث می‌شود قطر XY بر AB منطبق شود دو برابر زاویه θ_p است (زاویه θ_p صفحات اصلی در شکل ۱۷-۷ الف را مشخص می‌کند و با زاویه دوران مذکور هم‌مرتب). همچنین، دیدیم که قطر DE بر مکاریم تنش برشی و وضعیت صفحه متناظر آن را مشخص می‌کند (شکل ۱۹-۷ ب) [مثال ۲-۷، مسائل نمونه ۲-۷ و ۳-۷].

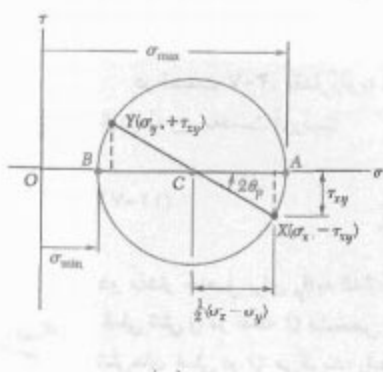
دایره مور برای تنش



شکل ۱۹-۷ ب



(الف)

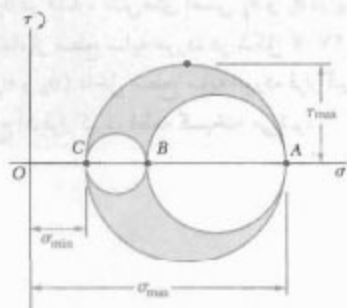


(ب)

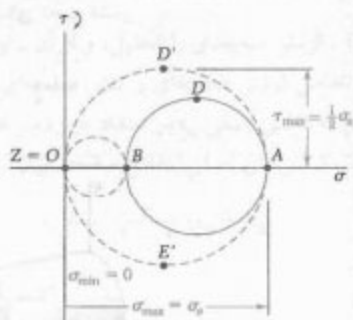
شکل ۱۷-۷

با در نظر گرفتن حالت کلی تنش که با شش مولفه تنش مشخص می‌شود [قسمت ۵-۷]، نشان دادیم که تنش قائم وارد بر یک صفحه با وضعیت اختیاری را به صورت معادله درجه دوم کسینوس‌های هادی عمود بر آن صفحه می‌توان بیان کرد. یعنی، سه محور هسلی تنش و سه محور اصلی (قسمت ۶-۷)، دوایر مر مناظر، که کوچک مکعبی حول هر یک از سه محور اصلی (قسمت ۶-۷)، در حالت خاص تنش "قادیر" σ_{\max} و σ_{\min} را می‌دهند، رسم کردیم (شکل ۲۹-۷). در حالت خاص تنش صفحه‌ای، و با انتخاب محورهای x و y در صفحه تنش، نقطه C بر مبدأ O منطبق می‌شود. اگر A و B در طرفین O قرار گیرند، تنش برشی ماکریم با ماکریم تنش برشی "داخل صفحه" برابر است (قسمت‌های ۳-۷ و ۴-۷). اگر A و B در یک طرف O باشند، این حالت برقرار نیست. اگر $\sigma_a > \sigma_b$ ، تنش برشی ماکریم برابر است با $\sigma_a - \frac{1}{2}\sigma_b$ و متناظر با دوران خارج از صفحه تنش می‌باشد (شکل ۳۲-۷).

حالات کلی تنش



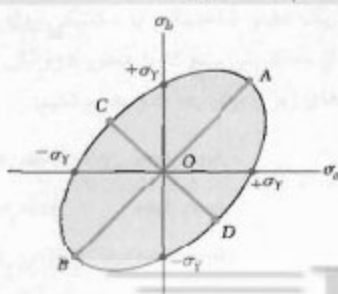
شکل ۲۹-۷



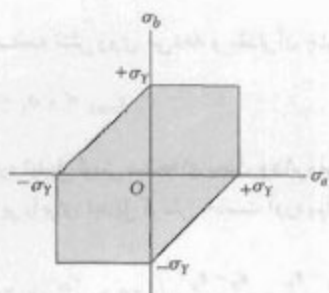
شکل ۳۲-۷

در قسمت ۷-۷، معیارهای تسلیم را برای مواد چکش خوار تحت تنش صفحه‌ای به دست آوردیم. برای پیش‌بینی شکست یک عضو ساختمانی با مکانیکی در یک نقطه بحرانی، ابتدا تنش‌های اصلی σ_a و σ_b را در آن نقطه برای بارگذاری داده شده به دست آوردیم. سپس، نقطه‌ای با مختصات (σ_a, σ_b) را رسم کردیم. اگر این نقطه داخل سطح معینی قرار گیرد قطعه به طور مطمئن کار می‌کند؛ اگر خارج آن قرار گیرد، قطعه گیخته می‌شود. در شکل‌های ۴۰-۷ و ۴۱-۷، به ترتیب، سطوح مورد استفاده را برای معیارهای ماکریم استقامت برشی و ماکریم انرژی تغییر شکل نشان داده‌ایم. هر دو مساحت به استقامت تسلیم σ_y بستگی دارند.

معیار تسلیم برای مواد چکش خوار



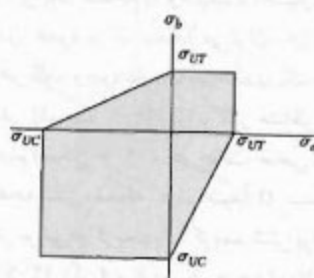
شکل ۴۱-۷



شکل ۴۰-۷

در قسمت ۷-۸، معیارهای شکست را برای مواد شکننده‌ای که تحت تنش صفحه‌ای اند بدست آوردیم. معیار مور متداول‌ترین معیار است. در این معیار، از نتایج انواع مختلف آزمایش‌ها روی ماده داده شده استفاده می‌شود. پس از تعیین آزمایشی استقامت نهایی σ_{UT} و استقامت نهایی σ_{UC} در فشار، تنش‌های اصلی σ_1 و σ_3 در یک نقطه داده شده از قطعه تحت بررسی با استفاده از سطح سایه‌خورده در شکل ۷-۷ ب بدست می‌آیند. اگر نقطه به مختصات (σ_1, σ_3) داخل سطح سایه‌خورده قرار گیرد، قطعه به طور مطمئن کار می‌کند، و اگر خارج آن قرار گیرد، قطعه گسیخته می‌شود.

معیار شکست برای مواد شکننده



شکل ۷-۷

در قسمت ۷-۹، تنش در مخزن‌های جدار نازک تحت فشار را بررسی کردیم و تنش در دیواره مخزن و فشارپیمانه‌ای سیال داخل آن را بدست آوردیم. در یک مخزن استانداری با شعاع داخلی r و ضخامت t (شکل ۷-۵۱)، عبارت‌های زیر را برای تنش حلقه‌ای σ_3 و تنش طولی σ_1 بدست آوردیم:

$$\sigma_1 = \frac{pr}{t} \quad \sigma_3 = \frac{pr}{2t} \quad (31-7) \text{ و } (30-7)$$

دیدیم که تنش برشی ماکریم در خارج از صفحه تنش روی می‌دهد و مقدار آن عبارت است از:

$$\tau_{max} = \sigma_r = \frac{pr}{4t} \quad (34-7)$$

در یک مخزن کروی با شعاع داخلی r و ضخامت t (شکل ۷-۵۵)، دو تنش اصلی با هم برابرند:

$$\sigma_1 = \sigma_3 = \frac{pr}{2t} \quad (36-7)$$

مجدداً، تنش برشی ماکریم در خارج از صفحه تنش روی می‌دهد و مقدار آن چنین است:

$$\tau_{max} = \frac{1}{2} \sigma_1 = \frac{pr}{4t} \quad (37-7)$$

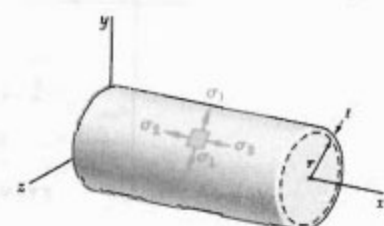
در قسمت‌های ۷-۱۱ و ۷-۱۰ درباره تبدیل کرنش صفحه‌ای پبحث و دایره مور کوشن صفحه‌ای را تعریف کردیم. فرمول‌های زیر را برای تبدیل کرنش به دست آوردیم:

$$\epsilon_x' = \frac{\epsilon_x + \epsilon_y}{2} + \frac{\epsilon_x - \epsilon_y}{2} \cos 2\theta + \frac{\gamma_{xy}}{2} \sin 2\theta \quad (44-7)$$

$$\epsilon_y' = \frac{\epsilon_x + \epsilon_y}{2} - \frac{\epsilon_x - \epsilon_y}{2} \cos 2\theta - \frac{\gamma_{xy}}{2} \sin 2\theta \quad (45-7)$$

$$\gamma_{x'y'} = -(\epsilon_x - \epsilon_y) \sin 2\theta + \gamma_{xy} \cos 2\theta \quad (46-7)$$

مخزن‌های استوانه‌ای تحت فشار



شکل ۷-۵۱

مخزن‌های کروی تحت فشار



شکل ۷-۵۵

تبدیل کرنش صفحه‌ای

دایره مور برای کرنش

با استفاده از دایره مور (شکل ۶۵-۷)، فرمولهای زیر را برای زاویه دوران θ_p متناظر با محورهای هسلی کرنش و برای مقدار کرنش‌های هسلی ϵ_{\max} و ϵ_{\min} بدست آوریدیم:

$$\tan \gamma \theta_p = \frac{\gamma_{xy}}{\epsilon_x - \epsilon_y} \quad (52-V)$$

$$\epsilon_{\max} = \epsilon_{ave} + R \quad \text{و} \quad \epsilon_{\min} = \epsilon_{ave} - R \quad (51-V)$$

که در آن،

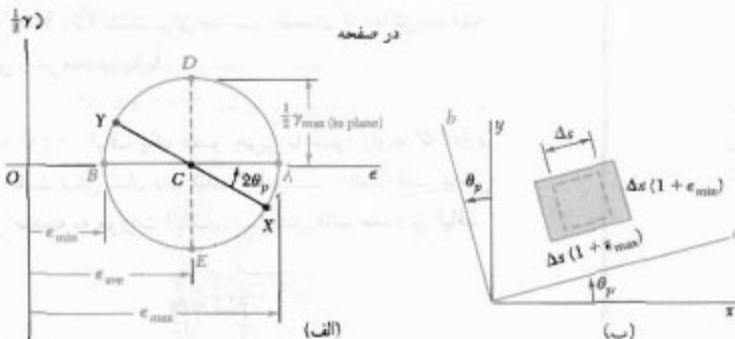
$$\epsilon_{ave} = \frac{\epsilon_x + \epsilon_y}{2} \quad \text{و} \quad R = \sqrt{\left(\frac{\epsilon_x - \epsilon_y}{2}\right)^2 + \left(\frac{\gamma_{xy}}{2}\right)^2} \quad (50-V)$$

ماکریسم کرنش برشی برای دوران در صفحه کرنش را به صورت زیر یافته‌یم:

$$\gamma_{\max} = 2R = \sqrt{(\epsilon_x - \epsilon_y)^2 + \gamma_{xy}^2} \quad (\text{داخل منب}) \quad (53-V)$$

در قسمت ۱۲-۷، کرنش سه بعدی را تحلیل، و از آن برای تعیین ماکریسم کرنش برشی در حالت‌های خاص کرنش صفحه‌ای و تنش صفحه‌ای استفاده کردیم. در حالت تنش صفحه‌ای، دیدیم که کرنش اصلی ϵ در امتداد عمود بر صفحه تنش را می‌توان به صورت زیر بر حسب کرنش‌های اصلی "داخل صفحه" بیان کرد:

$$\epsilon_c = -\frac{\nu}{1-\nu} (\epsilon_a + \epsilon_b) \quad (59-V)$$



شکل ۶۵-۷

در قسمت ۱۳-۷، درباره کرنش سنج بحث کردیم. این وسیله‌ها برای اندازه‌گیری کرنش قائم روی سطح یک عضو ساختمانی یا مکانیکی به کار می‌روند. با استفاده از گلبرگ کرنش، متشکل از سه کرنش سنج که با محور x زوایای θ_1 ، θ_2 و θ_3 می‌سازند (شکل ۶۸-۷)، فرمولهای زیر را برای ϵ_x ، ϵ_y و ϵ_{xy} نوشتیم:

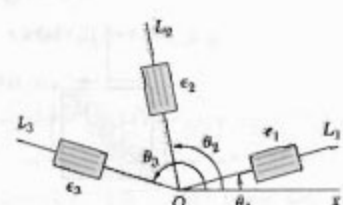
$$\epsilon_x = \epsilon_x \cos^2 \theta_1 + \epsilon_y \sin^2 \theta_1 + \gamma_{xy} \sin \theta_1 \cos \theta_1 \quad (54-V)$$

$$\epsilon_y = \epsilon_x \cos^2 \theta_2 + \epsilon_y \sin^2 \theta_2 + \gamma_{xy} \sin \theta_2 \cos \theta_2 \quad (55-V)$$

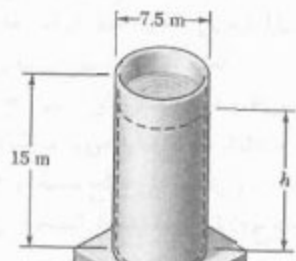
$$\epsilon_{xy} = \epsilon_x \cos \theta_3 \sin \theta_3 + \epsilon_y \sin \theta_3 \cos \theta_3 \quad (56-V)$$

با تعیین ϵ_x ، ϵ_y و ϵ_{xy} با حل معادله‌های بالا، ϵ_x ، ϵ_y و γ_{xy} را می‌توان یافت.

کرنش سنج. گلبرگ کرنش

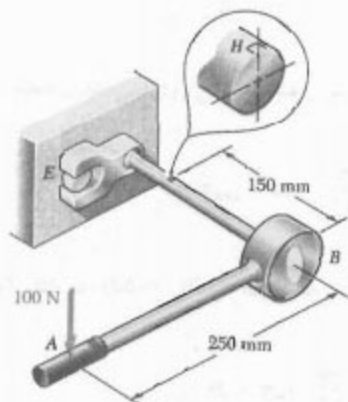


شکل ۶۸-۷



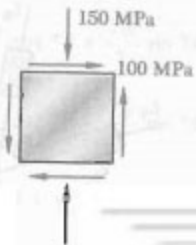
شکل ۱۵۹-۷

۱۶۰-۷ از آچار نشان داده شده برای شل کردن پیچ E استفاده می‌شود. اگر نیروی عمودی وارد در نقطه A برابر با 100 N باشد، تنش‌های اصلی و ماکزیمم تنش برشی را در نقطه H واقع در لبه شفت بباید. قطر شفت 1A mm است.



شکل ۱۶۰-۷

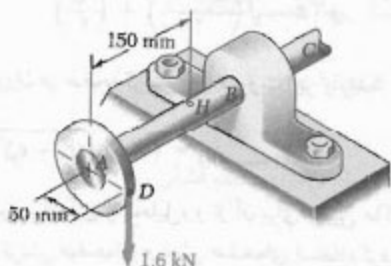
۱۶۱-۷ حالت تنش نشان داده شده در یک قطمه چدنی روی داده است. اگر برای چدن $\sigma_{UT} = 160\text{ MPa}$ و $\sigma_{UC} = 320\text{ MPa}$ با استفاده از معیار مور تعیین کنید که آیا گسیختگی روی می‌دهد یا نه.



شکل ۱۶۱-۷

مسائل تكميلی

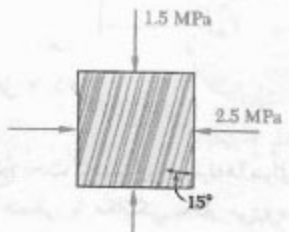
۱۵۶-۷ نیروی عمودی 1.6 kN را در نقطه D بر چرخ دندنای که به شفت AB ، به قطر 25 mm ، متصل است وارد شده است. تنش‌های اصلی و ماکزیمم تنش برشی را در نقطه H روی لبه فوئاتی شفت بباید.



شکل ۱۵۶-۷

۱۵۷-۷ قطر خارجی یک مخزن استوانه‌ای فولادی 1.6 m و ضخامت دیواره آن 16 mm است. اگر تنش قائم نهایی فولاد 450 MPa باشد، برای ضربی اطمینان 5 ، ماکزیمم فشار داخلی را در مخزن بباید.

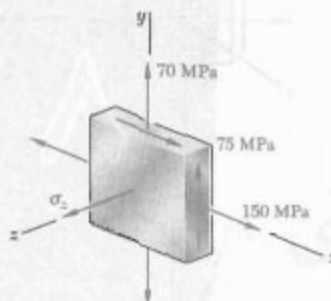
۱۵۸-۷ الیاف یک عضو چوبی با عمود زاویه 15° دارد. برای حالت تنش نشان داده شده، مطلوب است: (الف) تنش برشی داخل صفحه به موازات الیاف، (ب) تنش قائم عمود بر الیاف.



شکل ۱۵۸-۷

۱۵۹-۷ مخزن استوانه‌ای نشان داده شده، دارای ضخامت دیواره 5 mm است و استقامت نهایی آن در کشش 420 MPa است. اگر مخزن بر از آب باشد، برای ضربی اطمینان 4 ، ارتفاع h را بباید. چنگالی آب 1000 kg/m^3 است.

۱۶۶-۷ برای حالت تنش نشان داده شده، مطلوبست ماکریسم تنش برشی وقتی: (الف) $\sigma_z = 0$ ، (ب) $\sigma_y = +45 \text{ MPa}$ ، (ج) $\sigma_y = -45 \text{ MPa}$.



شکل ۱۶۶-۷

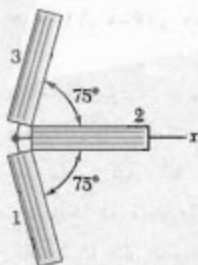
۱۶۷-۷ کرنش‌هایی که گلبرگ نشان داده شده برای سطح یک عضو مکانیکی نشان می‌دهند عبارتند از:

$$\epsilon_x = -93/1 \times 10^{-9} \text{ mm/mm}$$

$$\epsilon_y = +385 \times 10^{-9} \text{ mm/mm}$$

$$\epsilon_r = +21 \times 10^{-9} \text{ mm/mm}$$

مطلوبست: (الف) وضعیت و مقدار کرنش‌های اصلی در صفحه گلبرگ، (ب) ماکریسم تنش برشی "داخل صفحه"



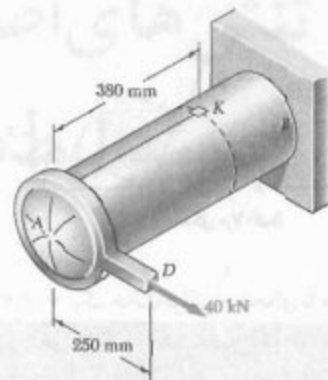
شکل ۱۶۷-۷

مسائل کامپیوتری

مسائل زیر برای حل با کامپیوتر طرح شده‌اند.

۱۶۸-۷ در شکل ۱۶۷-۷(الف)، یک حالت تنش صفحه‌ای نشان داده شده است. (الف) با استفاده از یک برنامه کامپیوتری، مولفه‌های تنش σ_x , σ_y , σ_r و τ_{xy} را بروزه به جزء را پس از دوران آن تحت زاویه θ حول محور z باید (شکل ۱۶۷-۷(ب)). (ب) با استفاده از این برنامه، مسائل ۱۶-۷ تا ۱۶-۷ را حل کنید.

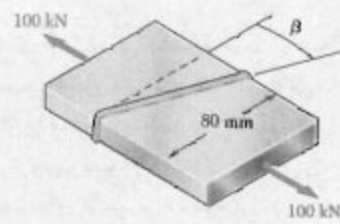
۱۶۲-۷ مخزن استوانه‌ای AB دارای قطر داخلی 200 mm و ضخامت دیواره 8 mm است. اگر فشار داخل مخزن 42 MPa باشد، ماکریسم تنش قائم و ماکریسم تنش برشی را در نقطه K واقع در لبه مخزن باید.



شکل ۱۶۲-۷

۱۶۳-۷ مسئله ۱۶۲-۷ را با این فرض حل کنید که نیروی 40 kN در نقطه D در امتداد قائم رو به پایین باشد.

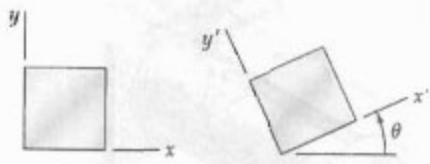
۱۶۴-۷ دو ورق فولادی با مقطع عرضی یکنواخت $10 \times 80 \text{ mm}$ به هم جوش شده‌اند. اگر $\beta = 25^\circ$ ، مطلوبست: (الف) تنش برشی داخل صفحه به موازات جوش، (ب) تنش قائم در امتداد عمود بر جوش.



شکل ۱۶۴-۷ و ۱۶۵-۷

۱۶۵-۷ دو ورق فولادی با مقطع عرضی یکنواخت $10 \times 80 \text{ mm}$ به هم جوش شده‌اند. اگر تنش برشی داخل صفحه به موازات الیاف 30 MPa باشد، مطلوبست: (الف) زاویه β ، (ب) تنش قائم متناظر عمود بر الیاف.

۷-۵ یک حالت کرنش صفحه‌ای با مولفه‌های کرنش σ_x ، σ_y و τ_{xy} در دستگاه xy مشخص شده است. (الف) یک برنامه کامپیوتری بنویسید و با استفاده از آن مولفه‌های کرنش σ_x ، σ_y و τ_{xy} را در دستگاه xy که از دوران محورهای x و y تحت زاویه θ به دست می‌آید، بباید. (ب) با استفاده از این برنامه، مسائل ۱۲۶ تا ۱۲۹ را حل کنید.

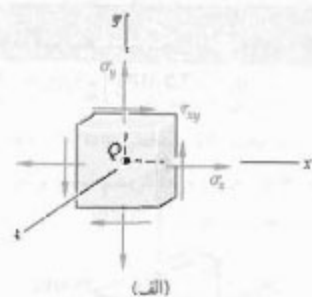


شکل ۷-۵

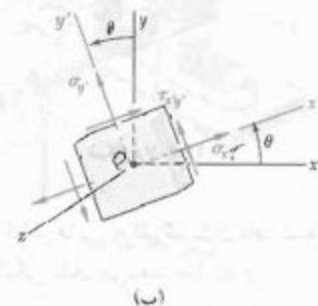
۷-۶ یک حالت کرنش صفحه‌ای با مولفه‌های کرنش σ_x ، σ_y و τ_{xy} در دستگاه xy مشخص شده است. (الف) یک برنامه کامپیوتری بنویسید و با استفاده از آن وضعیت و مقدار کرنش‌های اصلی، ماکریم کرنش برشی "داخل صفحه" و کرنش برشی ماکریم را بباید. (ب) با استفاده از این برنامه، مسائل ۱۳۴ تا ۱۳۷ را حل کنید.

۷-۷ یک حالت کرنش صفحه‌ای با مولفه‌های کرنش σ_x ، σ_y و τ_{xy} که در نقطعه‌ای اندازه‌گیری شده‌اند مشخص شده است. (الف) یک برنامه کامپیوتری بنویسید و با استفاده از آن وضعیت و مقدار کرنش‌های اصلی، ماکریم کرنش برشی "داخل صفحه" و کرنش برشی ماکریم را بباید. (ب) با استفاده از این برنامه، مسائل ۱۳۸ تا ۱۴۱ را حل کنید.

۷-۸ گلبرگی مشکل است از سه کرنش سنج که، به ترتیب، با محور x زوایای θ_x ، θ_y و θ_z ، می‌سازند و به سطح آزاد قطعه‌ای با ضریب پواسون ν متصل‌اند. (الف) یک برنامه کامپیوتری بنویسید و با استفاده از آن، برای خوانده‌های σ_x ، σ_y ، σ_z ، مولفه‌های کرنش در دستگاه x و y ، وضعیت و مقدار سه کرنش اصلی، ماکریم کرنش برشی "داخل صفحه" و کرنش برشی ماکریم را بباید. (ب) با استفاده از این برنامه، مسائل ۱۴۲ تا ۱۴۵ را حل کنید.



(الف)



(ب)

شکل ۷-۶

۷-۹ در شکل‌بم ۷-۶(الف)، یک حالت تنش صفحه‌ای نشان داده شده است. (الف) با استفاده از یک برنامه کامپیوتری، محورهای اصلی، تنش‌های اصلی، ماکریم تنش برشی "داخل صفحه" و تنش برشی ماکریم را بباید. (ب) با استفاده از این برنامه، مسائل ۷-۷، ۷-۸، ۱۱-۷ و ۶۶-۷ را حل کنید.

۷-۱۰ (الف) یک برنامه کامپیوتری بنویسید و با استفاده از آن، برای حالت تنش صفحه‌ای و استقامت تسلیم داده شده یک ماده چکش خوار (نرم)، تعیین کنید که آیا ماده تسلیم می‌شود یا نه. این برنامه باید با هر دو معیار ماکریم استقامت برشی و ماکریم انرژی تغییر‌شکل کار کند، مقدار تنش‌های اصلی را چاپ کند و ضریب اطمینان را برای عدم تسلیم ماده محاسبه نماید. (ب) از این برنامه برای حل مسائل ۷-۷ و ۸-۷ استفاده کنید.

۷-۱۱ (الف) یک برنامه کامپیوتری بر مبنای معیار شکست مور برای مواد شکننده (ترد) بنویسید و با استفاده از آن، برای حالت تنش صفحه‌ای و مقادیر معلوم استقامت تسلیم ماده در کشش و نشار، تعیین کنید که آیا گسختگی روی می‌دهد یا نه. این برنامه باید مقدار تنش‌های اصلی را نیز چاپ کند. (ب) با استفاده از این برنامه، مسائل ۷-۴۱، ۷-۴۲ و ۷-۹۲ را حل و پاسخ‌های داده شده برای مسائل ۷-۹۳ و ۷-۹۴ را وارسی کنید.